

249574

*Nie obcinac!*

ŁÓDZKIE TOWARZYSTWO NAUKOWE  
SOCIETAS SCIENTIARUM ŁODZIENSIS  
WYDZIAŁ III

SECTIO III

Nr 32

MARIAN GROTOWSKI

# OPTYKA

PRACE MATEMATYCZNO-FIZYCZNE  
UNIwersytetu Łódzkiego



ŁÓDŹ  
1954



WYDAWNICTWA  
ŁÓDZKIEGO TOWARZYSTWA NAUKOWEGO

Sprawozdania z czynności i posiedzeń

Bulletin de la Société des Sciences et des Lettres de Łódź

Przegląd Nauk Historycznych i Społecznych

Rozprawy Komisji Językowej

Biuletyn peryglacjalny

Odczyty

Prace Wydziału I

Językoznawstwa, Nauki o Literaturze i Filozofii

Prace Wydziału II

Nauk Historycznych i Społecznych

Prace Wydziału III

Nauk Matematyczno-Przyrodniczych

Prace Wydziału IV

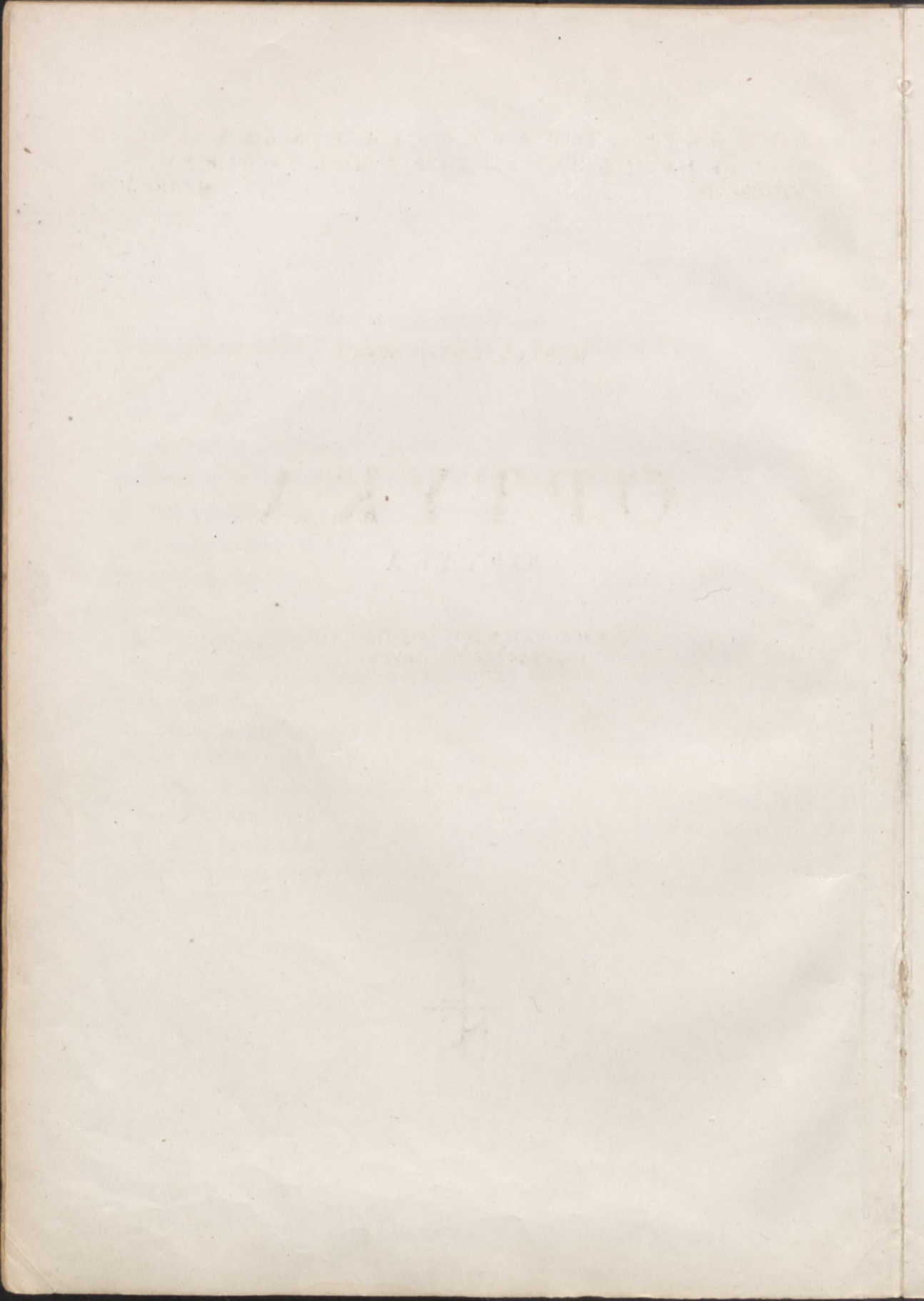
Nauk Lekarskich

Prace z historii myśli społecznej



ОПТИКА







*Nie obeinał*

ŁÓDZKIE TOWARZYSTWO NAUKOWE  
SOCIETAS SCIENTIARUM ŁODZIENSIS  
WYDZIAŁ III

SECTIO III

Nr 32

MARIAN GROTOWSKI

# OPTYKA

PRACE MATEMATYCZNO-FIZYCZNE  
UNIwersytetu Łódzkiego



ŁÓDŹ  
1954



Adres Łódzkiego Towarzystwa Naukowego  
ŁÓDŹ, UL. SIENKIEWICZA 29

Maszynopis przygotowała do druku oraz opracowała rysunki  
Helena Hofmoki

249574



Rysunki wykonał  
Mgr inż. Władysław Komsta

ŁÓDZKIE TOWARZYSTWO NAUKOWE

Nakład 3260 egz.

Druk zaczęto w listopadzie 1953

Stronic druku VIII+496

Druk ukończono w grudniu 1954

Papier bezdrz. 70 × 100

Zam. nr 824/53 F-5-34869

WROCŁAWSKA DRUKARNIA NAUKOWA

Cena zł 60



## SPIS RZECZY

	Str.
Rozdział I. Rozchodzenie się światła . . . . .	1—24
1. Prostoliniowe rozchodzenie się światła. — 2. Porównywanie źródeł światła. — 3. Prędkość rozchodzenia się światła.	
Rozdział II. Odbicie i załamanie promieni światła . . . . .	25—43
1. Prawa odbicia i załamania promieni światła. — 2. Zasada Fermata. — 3. Twierdzenie Malusa. — 4. Powstawanie obrazów. — Warunek stygmatyzmu.	
Rozdział III. Odbijanie i załamanie promieni na powierzchniach płaskich . . . . .	44—84
1. Obrazy w zwierciadle płaskim. — 2. Załamanie na powierzchni płaskiej. — 3. Załamanie w płycie równoległościennej. — 4. Załamanie w pryzmacie. — 5. Rozszczepienie światła przez pryzmat. — Pomiar współczynnika załamania. — 6. Współczynnik załamania różnych ciał. — Rozszczepienie anomalne. — 7. Achromatyczny układ pryzmatów. — Nieodchylający układ pryzmatów. — Pryzmaty odbijające.	
Rozdział IV. Odbicie i załamanie promieni na powierzchniach kulistych . . . . .	85—151
1. Odbijanie promieni przez powierzchnie kuliste. — 2. Załamanie na powierzchni kulistej. — 3. Układ osiowy kulistych powierzchni łamiących. — 4. Soczewki. — 5. Doświadczalne wyznaczenie odległości ogniskowych (Fokometria). — 6. Aberacja chromatyczna. — 7. Aberacja sferyczna. — Warunki otrzymania wyraźnych i geometrycznie podobnych obrazów. — 8. Przesłony (diafragmy). — 9. Oświetlenie i jasność obrazów.	
Rozdział V. Oko . . . . .	152—173
1. Schemat budowy oka. — 2. Oko jako osiowy układ kulistych powierzchni łamiących. — 3. Akomodacja oka. — Pole widzenia oka. — 4. Widzenie barw. — 5. Porównywanie źródeł światła o różnych barwach.	
Rozdział VI. Narzędzia optyczne . . . . .	174—194
1. Narzędzia optyczne. — 2. Lupa (szkło powiększające, mikroskop prosty). — 3. Mikroskop złożony (drobnowidz). — 4. Lunety (teleskopy). — 5. Aparaty fotograficzne. — Przyrządy projekcyjne.	
Rozdział VII. Okresowość zjawisk świetlnych. — Interferencja światła . . . . .	195—271
1. Okresowość zjawisk świetlnych. — 2. Zwierciadło Fresnela. — Zaburzenia optycznie spójne. — 3. Zmiana fazy przy odbiciu. — Dwu-	



pryzmat Fresnela. — Podwójna soczewka Billeta. — 4. Płytki płaskie o ściankach równoległych. — Krzywe jednakowego nachylenia. — 5. Płytki (lub warstwy) o grubości zmiennej. — Krzywe jednakowej grubości. — Pierscienie Newtona. — 6. Prążki Brewstera — Refraktometr interferencyjny Jamin'a. — 7. Światło niejednorodne. — Skala barw interferencyjnych. — 8. Światło pozornie jednorodne. — Interferometr Pérota i Fabry'ego. — Spektroskopia interferencyjna. — 9. Interferometr Michelsona. — Pomiar długości fal.	
Rozdział VIII. Uginanie się światła . . . . .	272 — 375
1. Zastosowanie zasady Huygensa-Fresnela do zjawisk świetlnych. — 2. Zjawiska dyfrakcji w punktach nie leżących na osi. — Spirala Cornu. — 3. Uginanie na krawędzi prostoliniowej. — 4. Uginanie w wąskiej szczelinie. — 5. Ugięcie na krawędziach bardzo wąskiej przesłony (pręt, drut). — 6. Uginanie w dwóch równoległych szczelinach. — Prążki Younga. — 7. Obraz dyfrakcyjny w płaszczyźnie sprzężonej ze źródłem światła. — 8. Zdolność rozpoznawcza układów optycznych (punkty świecące). — 9. Otwory prostokątne. — 10. Zdolność rozpoznawcza prostokątnej szczeliny uginającej. — Zdolność rozszczepiająca pryzmatu. — 11. Siatki dyfrakcyjne. — 12. Powstawanie widm dyfrakcyjnych. — Pomiar długości fali. — Spektroskop schodkowy. — 13. Obrazy mikroskopowe przedmiotów oświetlonych.	
Rozdział IX. Polaryzacja światła. Elektromagnetyczna teoria światła . . . . .	376 — 426
1. Polaryzacja. — 2. Fale stojące. — 3. Związek między zjawiskami świetlnymi i drganiami elektromagnetycznymi. — 4. Odbicie i załamanie na powierzchni ciał przezroczystych. — 5. Odbicie i załamanie na powierzchniach przewodzących.	
Rozdział X. Rozchodzenie się światła w środowiskach różnokierunkowych . . . . .	427 — 478
1. Uwagi ogólne. — 2. Kryształy jednoosiowe. — Założenie Huygensa. — 3. Kryształy jednoosiowe, elipsoida Cauchy'ego. — 4. Kryształy dwuosiowe. — 5. Załamanie stożkowe: wewnętrzne i zewnętrzne. — 6. Pleochroizm. — 7. Przechodzenie światła przez płytkę wyciętą z kryształu. — 8. Kompensatory. — 9. Analiza drgań świetlnych. — 10. Polaryzacja chromatyczna.	
Rozdział XI. Dwójłomność wymuszona. — Polaryzacja obrotowa	479 — 492
1. Dwójłomność na skutek odkształcenia. — 2. Dwójłomność elektryczna (elektrooptyczne zjawisko Kerra). — Dwójłomność magnetyczna. — 3. Polaryzacja obrotowa.	
Резюме . . . . .	493 — 494
Résumé . . . . .	495 — 496
Skorowidz . . . . .	497 — 507
Spis nazwisk . . . . .	508 — 515



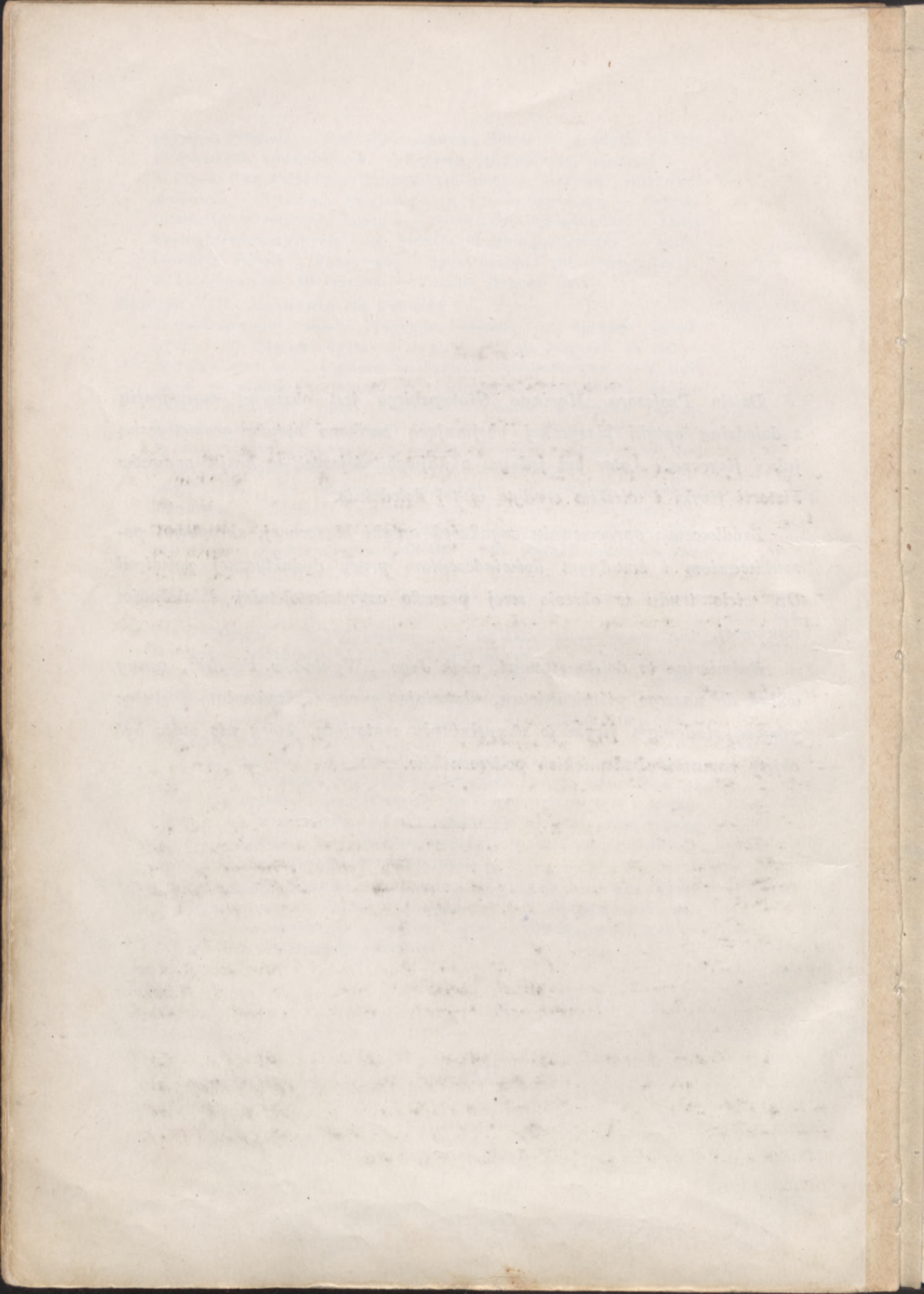
*Dzieło Profesora Mariana Grotowskiego jest obszerną monografią z dziedziny optyki klasycznej obejmującą zarówno optykę geometryczną jak i fizyczną. Autor był jednym z najwybitniejszych w kraju znawców historii fizyki i wielkim erudytą w tej dziedzinie.*

*Źródłowemu opracowaniu zagadnień optyki klasycznej, skrzętnym poszukiwaniom i żmudnym doświadczeniom pracy dydaktycznej poświęcił On wiele trudu w okresie swej przeszło czterdziestoletniej działalności naukowej.*

*Pośmiertne to dzieło stanowi, obok Jego „Wykładów Fizyki“, cenny wkład do naszego piśmiennictwa, ułatwiający pracę wykładowcom i służący pomocą studentom fizyki w uzupełnianiu materiału, który nie może być objęty ramami akademickich podręczników.*

---





## Rozdział I

### ROZCHODZENIE SIĘ ŚWIATŁA

#### 1. PROSTOLINIOWE ROZCHODZENIE SIĘ ŚWIATŁA

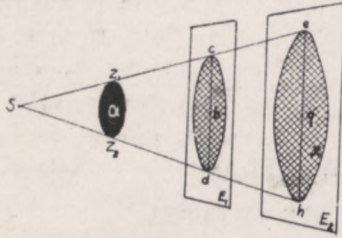
Za źródła wrażeń świetlnych uważamy widziane przez nas ciała. Jedne z nich działają na nasze oko nawet wtedy, gdy są całkowicie odosobnione od innych; nazywamy je ciałami świecącymi. Do nich należą między innymi: słońce, gwiazdy, ciała stałe ogrzane do bardzo wysokiej temperatury, gazy, przez które w odpowiednich warunkach przechodzi rozbrojenie elektryczne. Inne ciała widzimy tylko wtedy, gdy znajdują się w obecności ciała świecącego; po usunięciu lub zgaszeniu tego ciała przestają być widzialne; takie ciała nazywamy ciałami oświetlonymi. Przyjmujemy, że światło, wychodzące czy to bezpośrednio z ciał świecących czy też pośrednio z ciał oświetlanych, działa na nasze oko i umożliwia nam widzenie tych ciał.

Tego rodzaju ujmowanie zjawisk optycznych (gr. opis — widzenie) nie od razu wywalczyło sobie prawo obywatelstwa w fizyce. Aż do czasów średniowiecznych przeważał pogląd, oparty na autorytecie Pitagorasa (około 550 r. przed n. e.) i jego szkoły, że światło wychodzi nie z przedmiotów widzianych, lecz z oka, obejmując jakby mackami oglądane przez nas ciała. Poglądu tego, do którego rozpowszechnienia przyczynił się *Almagest* Ptolemeusza (87—156 po n. e.), nie zdołała zachwiać nawet powaga Arystotelesa (384—322 przed n. e.), który uważał, że ciała świecące działają na nasze oko za pośrednictwem „przezroczystego” środowiska, wypełniającego przestrzeń między danym ciałem i okiem i stanowiącego piątą żywioł — eter (gr. *ajther*). Jeszcze mniejszy wpływ wywarły poglądy atomistów: Demokryta (460—370 przed n. e.) i Epikura (341—270 przed n. e.), według których ciała działające na nasz zmysł wzroku, wysyłają swego rodzaju obrazy dochodzące do naszego oka. Te dwie teorie, odrzucone przez większość świata starożytnego i wczesnego średniowiecza, przekształciły się z czasem — w połowie wieku siedemnastego — arystotelesowska w teorię falową, atomistyczna — w teorię emisyjną światła.

Umieszczając między źródłem światła i ciałem oświetlonym jakieś inne nie świecące ciało, stwierdzamy, że zależnie od rodzaju użytego ciała albo gasimy całkowicie oświetlenie ciała albo też w mniejszym lub większym stopniu je osłabiamy. Gdy mamy do czynienia z pierwszym przypadkiem, ciało nazywamy nieprzezroczystym.



Umieścimy taką nieprzezroczystą zasłonę  $Z_1Z_2$  (rys. 1), mającą kształt koła, między arkuszem białego papieru (ekranem) i źródłem światła  $S$  o rozmiarach dostatecznie małych, abyśmy mogli je uważać za punkt świecący. Jeżeli ekran ustawimy prostopadłe do linii łączącej  $S$  ze środkiem  $a$  zasłony  $Z_1Z_2$ , zauważymy na ekranie nieoświetlone koło  $cd$ , będące cieniem rzucałym przez zasłonę na ekran. Poza tym kołem ekran będzie oświetlony, jednak nierównomiernie — oświetlenie będzie się stopniowo zmniejszało w miarę wzrastania odległości miejsca oświetlonego od źródła. Umieszczając ekran w różnych odległościach od zasłony (np. w  $E_1$  lub  $E_2$ ), z pomiaru promienia zasłony  $aZ_1$  i promieni cieni  $bc$ ,  $ge$  itd.



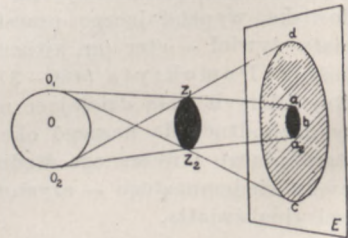
Rys. 1

znajdziemy, że są one w stosunku takim, jak odpowiednie odległości ekranu od źródła, tak że mamy

$$aZ_1 : bc : ge : \dots = Sa : Sb : Sg \dots,$$

skąd wynika, że punkty  $S, Z_1, c, e, \dots$  leżą na jednej prostej. Punkty ekranu, leżące na prostych takich, jak  $Sx$ , przecinających zasłonę  $Z_1Z_2$ , nie są oświetlone. Dany element ekranu jest tylko wtedy oświetlony, gdy prosta łącząca go z punktem świecącym nie przecina zasłony. Zjawisko przeto zachodzi w ten sposób, jak gdyby światło rozchodziło się z punktu świecącego wzdłuż linii prostych — promieni świetlnych. Zasłona nie dopuszcza do ekranu wiązki promieni, zawartej w kącie bryłowym  $Z_2SZ_1$ , i tym samym powoduje powstanie cieni odpowiednich rozmiarów na ekranie. Wniosek ten słuszny jest jednak tylko wtedy, gdy wiązka promieni jest dostatecznie szeroka; jeżeli zachowując wszystkie inne pozostałe warunki, zmniejszymy znacznie przekrój wiązki, nie otrzymamy wyraźnego cienia: na brzegach jego pojawiają się kolejne wzmocnienia i osłabienia oświetlenia, co będzie w oczywistej sprzeczności z założeniem prostoliniowego rozchodzenia się światła. Musimy zatem uznać, że założenie to czyni zadość warunkom doświadczenia jedynie w przypadku dostatecznie szerokich wiązek promieni.

Nieco bardziej złożone zjawisko otrzymamy biorąc źródło światła o rozmiarach znacznych. Niech źródłem tym będzie np. kula świecąca  $O_1O_2$ , o średnicy większej od średnicy zasłony  $Z_1Z_2$  (rys. 2). Na ekranie  $E$  otrzymamy wtedy ciemną plamę kołową  $a_1a_2$  o promieniu  $ba_1$  poza nią zaś koło,

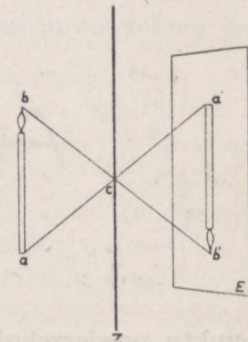


Rys. 2



o coraz bardziej wzrastającym w miarę oddalania się od środka  $b$  oświetleniu, stanowiące tzw. półcień, ograniczony (w płaszczyźnie rysunku) przez  $O_1Z_2c$  i  $O_2Z_1d$ . Stosując założenia prostoliniowego rozchodzenia się światła, stwierdzamy, że do stożka cienia  $Z_2Z_1$  nie dochodzi światło z żadnego punktu świecącej się kuli; do elementów powierzchni ekranu, leżących w granicach półcienia, dochodzi światło tylko części kuli, tym większej, im dalej od środka cienia znajduje się dany element, i że wreszcie do elementów, leżących poza półcieniem, dochodzi światło ze wszystkich punktów zwróconej ku zasłonie połowy kuli. Stąd wynika, że każdy z tych punktów (lub ściślej mówiąc elementów powierzchni) należy uważać za samodzielne źródło światła, łączne zaś ich działanie za sumę arytmetyczną działań, wywieranych przez każdy z nich.

Ten ostatni wniosek znajduje swe potwierdzenie w doświadczeniu następującym. Zróbmy w zasłonie  $Z$ , umieszczonej między źródłem światła (np. palącą się świecą) i ekranem  $E$ , niewielki otwór  $c$  (rys. 3), na ekranie otrzymamy wtedy (niezależnie od kształtu otworu) odwrócony obraz świecy. Powstanie tego obrazu możemy na podstawie przyjętych przez nas założeń objaśnić w sposób następujący. Każdy z punktów świecy (np.  $b$  lub  $a$ ) wysyła wiązkę promieni, wypełniającą otwór  $c$ ; wiązka ta na ekranie daje jasny obraz otworu; obrazy te, układając się na ekranie symetrycznie do odpowiednich punktów świecących, tworzą odwrócony obraz  $(a_1b_1)$  źródła wysyłającego, ułożony, jak mozaika, z obrazów otworu  $c$ . Obraz ten jest wszakże tylko wtedy wyraźny, gdy otwór jest dostatecznie mały, w przeciwnym bowiem razie poszczególne obrazy nakładają się jeden na drugi i albo zacierają kontur obrazu przedmiotu wysyłającego światło albo nawet całkowicie go zamazują (jak np. w przypadku, gdy światło wchodzi do pokoju przez okno), tak że ostatecznie otrzymujemy obraz otworu, nie zaś przedmiotu, wysyłającego światło. Nie znaczy to jednak, że bardzo małe otwory dają lepsze obrazy; przy bardzo bowiem małych otworach wiązki je wypełniające stają się zbyt cienkie, aby, jak o tym dopiero co była mowa, można było do nich stosować założenie prostoliniowego rozchodzenia się światła; powstają wtedy zjawiska bardziej złożone, o których będziemy mówili na innym miejscu (p. rozdz. VIII). Istnieje zatem pewne optimum wymiarów otworu, którego nie można przekroczyć.



Rys. 3

Obraz na ekranie jest, rzecz prosta, wyraźniejszy, gdy zabezpieczymy ekran od oświetlenia przez inne źródła światła, gdy więc ekranem będzie np. tylna ściana pudła zamkniętego, posiadającego tak, jak na



rys. 3, jeden tylko otwór na ścianie przeciwległej do ekranu. Otrzymamy wtedy tzw. ciemnię optyczną (camera obscura), w której ekranem jest zazwyczaj płytka matowego szkła. Obraz obserwujemy z drugiej strony nakrywając głowę czarnym suknem.

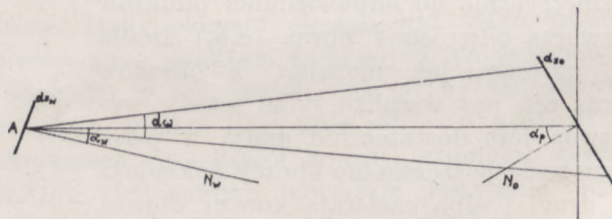
W ten sposób możemy stwierdzić, że przebieg zjawiska nie ulega zmianie, gdy ciało świecące zastąpimy przez ciało oświetlone.

Z odkryciem zjawiska powstawania tego rodzaju obrazów w ciemnym pokoju, do którego światło wchodziło przez mały otwór w okiennicy, wiąże się zazwyczaj nazwisko włoskiego uczonego della Porta (1558 r.). Samo zjawisko znane było wszakże o wiele wcześniej: opisał je dokładnie Roger Bacon (1214–1294) r.. Są również pewne dane do przypuszczenia, że znał je już Leonardo da Vinci w 1519 r.

Według Macha (1913 r.) doświadczenie Porty stanowiło pierwszy bezsporny dowód, że ciała oświetlane również wysyłają światło.

## 2. PORÓWNYWANIE ŹRÓDEŁ ŚWIATŁA

Objasniając opisanie wyżej doświadczenie, zakładamy, że każdy element powierzchni ciała świecącego stanowi samodzielne źródło światła i że oświetlenie ekranu jest sumą oświetleń wytwarzanych przez każdy z tych elementów oddzielnie. Niech  $ds_0$  (rys. 4) będzie elementem powierzchni ciała oświetlonego (ekranu). Promienie, wychodzące z jednego



Rys. 4

punktu powierzchni ciała świecącego i oświetlające element  $ds_0$ , tworzą, zgodnie z założeniem prostoliniowego rozchodzenia się światła, stożek o wierzchołku w danym punkcie  $A$ , i o podstawie  $ds_0$ . Ilość światła, wysyłanego w jednostkę czasu przez  $A$  i padającego na element  $ds_0$ , jest proporcjonalna do wartości tego kąta  $d\omega$ . Oznaczając przez  $\alpha_p$  kąt, jaki oś stożka tworzy z normalną  $N_0$  do elementu  $ds_0$ , możemy napisać

$$d\omega = \frac{ds_0 \cos \alpha_p}{r^2}. \quad (a)$$

Z drugiej jednak strony strumień światła jest również proporcjonalny do wielkości powierzchni wysyłającej światło, a więc do  $ds_w$ . Oznaczając przez  $\alpha_w$  kąt, jaki prosta, łącząca środek elementu powierzchni oświe-



tlanej ze środkiem elementu powierzchni oświetlającej, tworzy z normalną do powierzchni oświetlającej, możemy napisać, że ilość światła wysyłana w przeciagu 1 sek jest proporcjonalna również do  $ds_w \cos \alpha_w$ . Uwzględniając wreszcie, że ilość światła wysyłanego zależy od rodzaju światła użytego, możemy ostatecznie napisać

$$d^4 \Phi = e \frac{ds_w \cdot \cos \alpha_w \cdot ds_0 \cdot \cos \alpha_p}{r^2}, \quad (1)$$

gdzie wielkość  $\Phi$  nazywamy strumieniem światła; jest ona miarą ilości światła wysyłanego w ciągu 1 sek przez element  $ds_w$  i padającego na element  $ds_0$ . Współczynnik  $e$  charakteryzujący dane źródło światła, nazywamy jego blaskiem.

Witkowski (Zasady fizyki, tom II, wyd. drugie, 1908 r. str. 375) wielkość  $e$  nazywa emisją, rozumiejąc jednak przez nią wielkość, wyznaczającą ilość wypromieniowywanej energii. W danym przypadku chodzi o ilość wypromieniowanego światła, proporcjonalną w granicach widma widzialnego do energii (patrz rozdz. V, ust. 4). Termin blask odpowiada używanemu przez fizyków anglosaskich i francuskich terminowi *brilliance*.

Gdy mamy do czynienia z powierzchnią źródła światła o skończonych rozmiarach, na strumień światła, padający na powierzchnię  $ds_0$ , otrzymamy wzór

$$d^2 \Phi = \frac{ds_0 \cos \alpha_p}{r^2} \iint e \cdot ds_w \cdot \cos \alpha_w. \quad (2)$$

Napiszmy, że

$$\iint e \cdot ds_w \cdot \cos \alpha_w = I,$$

będziemy mieli wtedy

$$d^2 \Phi = I \frac{ds_0 \cos \alpha_p}{r^2} \quad (3)$$

i po uwzględnieniu wzoru (a)

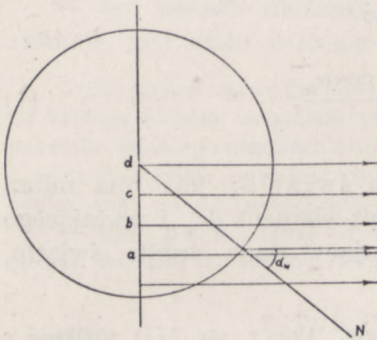
$$d^2 \Phi = I \cdot d\omega, \quad (3a)$$

gdzie  $I$  oznaczać będzie natężenie światła, wysyłanego przez źródło w tym kierunku, w którym znajduje się oświetlany element  $ds_0$ .

Założenie, że strumień wysyłanego światła jest proporcjonalny do kosinus kąta wysyłania  $\alpha_w$ , znajduje potwierdzenie w znanym fakcie, że kula równomiernie ogrzana do temperatury świecenia (lub walec obserwowany w kierunku prostopadłym do osi) wydaje nam się jednako jasną. Przyjmijmy dla uproszczenia, że oko znajduje się w dostatecznie wielkiej odległości od ciała świecącego, abyśmy



mogli promienie, dochodzące do oka, uważać za równoległe. Podzielmy płaszczyznę widzianą przez nas pozornie tarczy świecącej na elementy powierzchni  $ds$ , wycinające na średnicy tarczy równe odcinki  $ab, cd\dots$  (rys. 5). Tarcza wydaje się nam, jak to zaznaczyliśmy, jednakowo jasną. Strumienie więc wysyłane przez elementy,



Rys. 5

odpowiadające odcinkom  $ab, cd\dots$  są wzajemnie równe. W rzeczywistości jednak elementami wysyłającymi światło, są nie elementy płaszczyzny, prostopadłej do kierunku promieni i przechodzącej przez środek kuli, lecz elementy powierzchni kuli, których pola są odpowiednio równe

$$ds_w = \frac{ds}{\cos a_w},$$

gdzie  $a_w$  jest kątem, jaki normalna do powierzchni danego elementu tworzy z kierunkiem promieni; pola te są więc  $\cos a_w$  razy mniejsze od pól elementów tarczy.

Aby więc warunek równości wysyłanych przez nie strumieni światła był spełniony, strumień światła wychodzący z jednostki powierzchni tych elementów musi być  $\cos a_w$  razy większy, a więc proporcjonalny do kosinusa kąta  $a_w$ , zgodnie z naszym założeniem. Na tę proporcjonalność pierwszy wskazał wyraźnie Lambert (1760), stąd też nazwa prawa Lamberta, jaką się często proporcjonalność tę oznacza. Należy jednak zaznaczyć, że sam Lambert uważał prawo to za powszechnie znane; istotnie, można je znaleźć, jakkolwiek nie w tak wyraźnym sformułowaniu, w dziele o malarstwie Leonarda da Vinci.

Prawo Lamberta obowiązuje tylko w przypadku stałych ciał świecących.

Z proporcjonalności ilości światła do pola wysyłającej światło powierzchni nie wynika bynajmniej, że w wysyłaniu uczestniczy jedynie powierzchnia ciała, w rzeczywistości światło jest wysyłane przez warstwy o skończonej grubości. W gazach rozżarzonych, gdzie pochłanianie światła jest stosunkowo niewielkie,  $e$  wzrasta z grubością warstwy świecącej. Tak np. płaski płomień kuchennej lampy naftowej ma większy blask w kierunku równoległym do płaszczyzny płomienia, niż w kierunku do tej płaszczyzny prostopadłym.

Na jednostkę powierzchni oświetlanej pada strumień światła

$$\mathcal{E} = \frac{d^2\Phi}{ds_0} = I \frac{\cos a_p}{r^2}. \quad (4)$$

Wielkość  $\mathcal{E}$  nazywamy oświetleniem danej powierzchni.

Niech powierzchnią oświetlaną będzie powierzchnia siatkówki oka (p. rozdz. V, ust. 1). Przypuśćmy dla uproszczenia, co w żadnym razie nie zmniejszy ogólności ostatecznego wniosku, że wszystkie elementy powierzchni  $S$  danego rozciągniętego przedmiotu świecącego posiadają ten sam blask wewnątrz stożka promieni, mającego za wierzchołek środek optyczny oka (p. rozdz. V, ust. 2), za podstawę zaś dany przedmiot

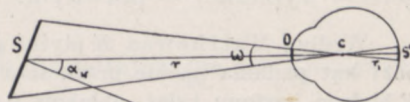


świecący (rys. 6). Strumień światła, wchodzący przez źrenicę, której pole oznaczmy przez  $O$ , będzie, zgodnie ze wzorem (2) równy

$$\Phi = \frac{e \cdot S \cdot \cos \alpha_w}{r^2} \cdot O \quad (5)$$

kąt padania bowiem jest przy patrzeniu na powierzchnię  $S$  zawsze równy zeru. Powierzchnia przedmiotu świecącego  $S$  i powierzchnia oświetlonej części siatkówki  $S'$  są przekrojami tego samego kąta bryłowego  $\omega$ . Wobec czego mamy

$$\frac{S \cos \alpha_w}{r^2} = \frac{S'}{r_1^2},$$



Rys. 6

gdzie  $r_1$  oznacza stałą odległość siatkówki od środka optycznego  $C$ .

Stąd oświetlenie powierzchni siatkówki

$$c = \frac{\Phi}{S'} = e \cdot O \cdot \frac{S'}{S' \cdot r_1^2} = e \cdot O \cdot \frac{1}{r_1^2} = K \cdot e \cdot O \quad (6)$$

jest wielkością niezależną od odległości przedmiotu świecącego od oka.

Wzrostowi oświetlenia siatkówki towarzyszy wrażenie wzrostu odczuwanej przez nas jasności przedmiotu świecącego. Jasność jest przeto zależna jedynie od blasku rozciągniętego przedmiotu świecącego i od pola źrenicy, nie zależy zaś od odległości przedmiotu (por. rozdz. V, ust. 4).

Twierdzenie to dotyczy również ciał oświetlonych, gdy rozpraszając we wszystkie strony padające na nie światło, upodabniają się w pewnym stopniu do ciał świecących. To właśnie światło rozpraszane przez ciało czy to przy odbiciu czy też dopiero po przejściu przez nie światła (tzw. ciała przeświecające, których przykładem jest szkło mleczne) pozwala nam je widzieć. Na ogół wszystkie ciała (z wyjątkiem przypadków granicznych ciał doskonale przezroczystych lub doskonale odbijających), rozpraszają jakąś część padającego na nie światła. Stosunek strumienia światła rozproszonego do strumienia światła padającego

$$R = \frac{\Phi_r}{\Phi_p} \quad (b)$$

nazwał Lambert — albedo (łac. albedo — białosc). Obecnie wielkość ta jest często nazywana współczynnikiem rozpraszania. Za ciało całkowicie rozpraszające uważamy ciało, w którym  $R$  nie zależy ani od kąta padania strumienia oświetlającego ani też od kąta, pod

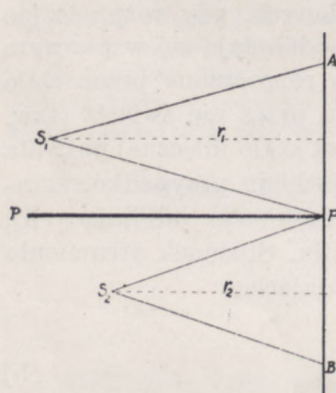


którym wychodzi strumień światła rozproszonego. Gdy  $R$  dla wszystkich rodzajów światła równe jest jedności lub też niewiele się od niej różni, ciało całkowicie rozpraszające nazywamy białym (takim ciałem jest np. węglan magnezu, dla którego  $R$  jest przeciętnie równe 0,98 oraz tlenek magnezu o  $R$ , równym przy prostopadłym oświetleniu powierzchni 0,95); gdy  $R$ , jednakowe dla wszystkich rodzajów światła, jest znacznie mniejsze od jedności — szarym, wreszcie, gdy  $R$  ma dla różnych rodzajów światła wartości różne (rozpraszanie selekcyjne) (łac. seligere — wybierać) — barwnym.

Według Matthews'a  $R$  płytki gipsowej jest mniej więcej wielkością stałą, dopóki kąt padania  $a_p$  nie przekracza  $50^\circ$ . W tych warunkach  $R$  wynosi około 0,8;  $R$  białego kartonu tyleż, obłoków 0,65, powierzchni księżycy zaledwie 0,073.

Porównując jasności powierzchni białych, oświetlonych przez badane źródła, możemy wyznaczyć stosunek natężeń światła wysyłanego przez te źródła. Ze wzorów bowiem (4) i (6) wynika, że oświetlenia tych powierzchni, a co za tym idzie, ich jasności są w tych samych pozostałych warunkach proporcjonalne do natężenia oświetlających źródeł. Oko jednak nie jest w stanie wyznaczyć stosunku jasności, może za to z dość dużą dokładnością (dochodzącą w nowszych przyrządach do 0,6% natężenia) stwierdzić ich równość. Toteż pomiary fotometryczne (gr. fos — światło) zazwyczaj w ten właśnie sposób się wykonuje.

Tak jest wszakże tylko wtedy, gdy porównywane źródła wysyłają światło jednorodne (p. rozdz. II, ust. 1) lub też światło złożone w ten sam sposób z promieni jednorodnych (por. rozdz. V, ust. 5).



Rys. 7

Niech  $AB$  (rys. 7) będzie ekranem przeświecającym, zrobionym z materiału rozpraszającego możliwie równomiernie światło padające lub przechodzące.

Temu ostatniemu warunkowi odpowiadają szybki szkła mlecznego, papier nasycony oliwą, arkusze cienkiego papieru itp.

Jedną z połów ekranu  $AP$  oświetlamy źródłem  $S_1$ , drugą  $PB$  — źródłem  $S_2$ ; zasłona nieprzezroczysta  $PP'$  zabezpiecza każdą z tych połów przed światłem drugiego źródła. Zmieniamy odległości  $r_1$  i  $r_2$  źródeł tak, aby obie połowy ekranu wydawały się jednakowo jasne.

(Oko może być umieszczone albo po tej samej stronie co źródła światła, gdy ekran rozprasza odbite promienie, lub po przeciwnej, gdy ekran jest przeświecający). Ze wzoru (4), w którym  $a_p$  ma dla obu połów



ekranu tę samą wartość, otrzymujemy przyrównując oświetlenie obu połów

$$C_1 = I_1 \frac{\cos \alpha_p}{r_1^2} = C_2 = I_2 \frac{\cos \alpha_p}{r_2^2},$$

skąd

$$\frac{I_1}{I_2} = \frac{r_1^2}{r_2^2}. \quad (7)$$

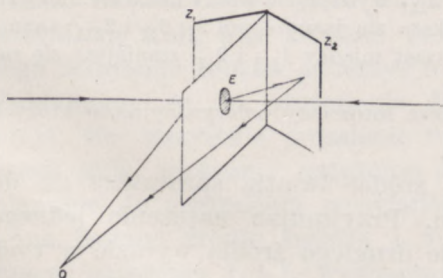
Natężenia źródeł w badanym kierunku są proporcjonalne do kwadratu ich odległości od ekranu.

Opisany wyżej prosty fotometr Bouguera (1729) obecnie mało jest używany. O wiele częściej służą obecnie do pomiarów fotometry, stanowiące rozwinięcie i udoskonalenie fotometru Bunsena (rys. 8). Na arkuszu białego papieru  $E$  zrobiona jest tłusta plama z parafiny, oleju lub stearyny. Gdy papier ten oświetlimy z obu stron, plama przy odpowiednim ustawieniu źródeł światła, z jednej strony zniknie, zleje się całkowicie z tłem, z drugiej jednak strony będzie widoczna, tak że nigdy nie otrzymamy jednoczesnego zniknięcia plamy z obu stron, co łatwo można sprawdzić obserwując jednoczesne odbicie plamy w zwierciadłach  $Z_1$  i  $Z_2$ , ustawionych pod kątem rozwartym.

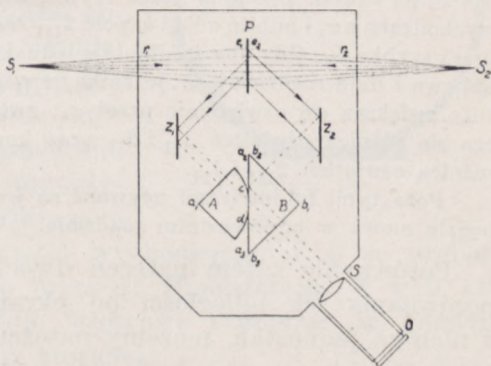
Umieścimy z jednej strony jakieś stałe źródło światła, z drugiej zaś ustawiamy kolejno badane źródła światła tak, aby plama, obserwowana zawsze z tej samej strony, za każdym razem zniknęła. Wtedy badane źródła powodują jednakowe oświetlenia plamy, wobec czego stosunek ich natężeń jest proporcjonalny do kwadratu ich odległości.

Pomiar ten można wykonać jeszcze nieco inaczej. Ustawmy badane źródła po dwóch stronach ekranu  $E$  tak, aby plama z obu stron wydawała się jednakowo jasną, wtedy, wobec równości oświetleń plamy z obu stron, natężenia badanych źródeł będą proporcjonalne do kwadratu ich odległości od ekranu.

Lummer i Brodhun zastąpili (1887 r.) plamę fotometru Bunsena powierzchnią zetknięcia się dwóch pro-



Rys. 8



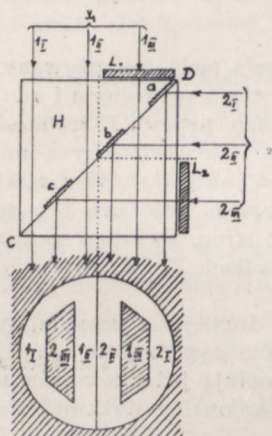
Rys. 9

stokątnych pryzmatów. W jednym z pierwszych typów tego rodzaju fotometru przeciwprostokątna  $a_2a_3$  pryzmatu  $A$  (rys. 9) ma z wyjątkiem płasko oszlifowa-



nej części  $ed$ , kształt kulisty; płaską częścią pryzmat ten ściśle przylega do przeciwprostokątnej drugiego prostokątnego pryzmatu  $B$ . Promienie światła, wysyłane przez źródła  $S_1$  i  $S_2$  i rozpraszane przez boki  $e_1, e_2$  białej możliwie równomiernie rozpraszającej płytki  $P$  (np. gipsowej), padają po odbiciu od zwierciadeł  $Z_1$  i  $Z_2$  prostopadłe na przyprostokątne  $a_1a_2$  i  $b_1b_2$  pryzmatów. Obserwator, patrząc przez odpowiednio ustawioną soczewkę  $S$ , widzi w  $O$  obraz powierzchni  $b_2b_3$ , oświetlony z wyjątkiem części  $ed$  przez promienie źródła  $S_2$ , znajdujące w pryzmacie całkowitego wewnętrznego odbicia (p. rozdz. III, ust. 4); od części  $ed$  promienie te się nie odbijają, lecz przechodzą przez nią do pryzmatu  $A$ . Podobnie promienie, idące od  $S_1$  i po odbiciu od zwierciadła  $Z_1$  wchodzące przez bok  $a_1a_2$  do pryzmatu  $A$ , odbijają się całkowicie od boku  $a_2a_3$ , z wyjątkiem płaskiej jego części  $ed$ , przez którą przechodzą do pryzmatu  $B$  i dalej do oka obserwatora. Jeżeli oświetlenie boków  $e_1$  i  $e_2$  płytki rozpraszającej jest jednakowe, jasność plamy środkowej  $ed$  jest równa jasności pozostałej części powierzchni  $b_2b_3$ , plama znika zlewając się z tłem. Z pomiaru odległości  $r_1$  i  $r_2$  źródeł światła od płytki  $P$  znajdujemy

$$\frac{I_1}{I_2} = \frac{r_1^2}{r_2^2}.$$



Rys. 10

W r. 1892 Lummer i Brodhun zastąpili ten fotometr czulszym znacznie fotometrem kontrastowym. W przyrządzie tym oba pryzmaty mają przeciwprostokątne płaskie; w przeciwprostokątnej jednego z nich  $H$  są wyżłobione niewielkie zagłębienia  $a, b, c$  o ścianach matowych i zaczernionych; do przyprostokątnych zaś obu pryzmatów są przyklejone szybki szklane  $L_1$  i  $L_2$ . Rozkład oświetlenia pola widzenia jest wtedy taki, jak na rys. 10. Pola  $1_I$  i  $1_{II}$  są oświetlone przez wiązkę promieni, wychodzącą ze źródła  $x_1$  i przechodzącą przez pryzmat między zagłębieniami  $c$  i  $b$ , pole  $1_{III}$  jest oświetlone przez promienie, wychodzące również z  $x_1$ , lecz przechodzące między zagłębieniami  $b$  i  $a$  i osłabione (mniej więcej o 8%) na skutek przejścia przez szybkę  $L_1$ . Pola  $2_I$  i  $2_{II}$  są oświetlone przez wiązki wychodzące z  $x_2$  i odbite od  $a$  i  $b$ , pole  $2_{III}$  zaś przez wiązkę, odbitą od  $c$ , lecz osłabioną przez szybkę  $L_2$ . Gdy oba źródła dają jednakowe oświetlenie,  $1_{II}$  i  $2_{II}$  są oświetlone jednakowo i linia rozdzielająca je znika,  $1_{III}$  i  $2_{III}$  wydają się wtedy nieco ciemniejsze. Gdy zwiększa się oświetlenie przez  $x_2$ , zwiększa się jasność pól  $2_I, 2_{II}$  i  $2_{III}$ ; zaznacza się różnica oświetleń  $1_{II}$  i  $2_{II}$  oraz kontrast między  $1_{III}$  i  $2_{II}$ , zmniejsza się zaś różnica oświetleń  $2_{III}$  i  $1_{II}$ .

Poza tymi fotometrami używane są jeszcze fotometry polaryzacyjne, o których będzie mowa w odpowiednim rozdziale.

Porównanie zatem natężeń dwóch źródeł światła sprowadza się do porównania ich odległości od ekranu. Przyjmując natężenie jednego z nich za jednostkę, możemy natężenie drugiego źródła wyrazić w tych jednostkach.

Z pomiarów tych wynika, że w znakomitej większości przypadków natężenie źródeł światła jest złożoną funkcją kąta, wyznaczającego kierunku, w jakim światło jest wysyłane. Wobec tego używa się często przy



porównywaniu różnych źródeł pojęcia natężenia przeciętnego, które zależnie od tego, czy źródło wysyła światło we wszystkie strony, czy też tylko w jedną stronę (np. do góry lub na dół) nosi nazwę przeciętnego natężenia kulistego (Allard, 1876 r.) lub też półkulistego: w pierwszym przypadku

$$I_{\circ} = \frac{1}{4\pi} \Phi_{\circ}, \quad (8)$$

gdzie  $\Phi_{\circ}$  jest sumą strumieni światła, wysyłanych przez źródło we wszystkie strony i przechodzących przez powierzchnię kulistą, opisaną dowolnym promieniem dookoła ciała świecącego, jako środka.

W drugim mamy

$$I_{\Delta} = \frac{1}{2\pi} \Phi_{\Delta}, \quad (8a)$$

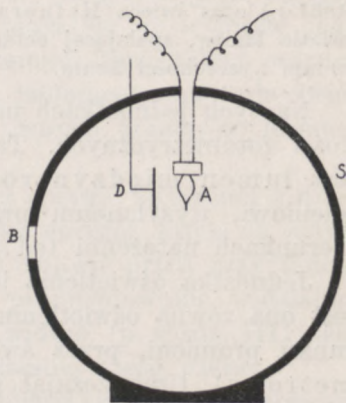
gdzie  $\Phi_{\Delta}$  jest strumieniem światła, przechodzącym przez półkulę, opisaną dookoła ciała świecącego.

Gdy ciało wysyła światło tylko do góry, natężenie nazywamy górnym i oznaczamy tak, jak wyżej, symbolem  $I_{\Delta}$ , gdy tylko na dół – dolnym natężeniem półkulistym i oznaczamy symbolem  $I_{\circ}$ .

Z przyrządów, służących do pomiaru natężenia przeciętnego opiszemy jedynie kulisty fotometr Ulbrichta (1909 r.). Kula  $S$  (rys. 11) o rozmiarach bardzo wielkich w porównaniu z rozmiarami źródła i o wewnętrznej powierzchni, możliwie dobrze rozpraszającej, zaopatrzona jest w okienko  $B$ , zakryte szybką szklaną. Przed okienkiem, wewnątrz kuli znajduje się nieprzezroczysta dobrze rozpraszająca zasłona  $D$ , nie dopuszczająca do  $B$  bezpośrednich promieni źródła  $A$ . Dla obserwatora okienko  $B$ , oświetlone promieniami, rozproszonymi przez wewnętrzną powierzchnię kuli, jest źródłem światła, którego natężenie można zmierzyć fotometrem. Zakładając, że do oświetlenia  $B$  przyczyniają się wszystkie promienie rozproszone przez kulę, uważamy natężenie światła wychodzącego z  $B$  za proporcjonalne do strumienia wysyłanego przez  $A$ . Umieszczając w kuli kolejno badane źródło światła i źródło wzorcowe i mierząc za każdym razem natężenia  $I_1$  i  $I_2$  wyznaczamy stosunek

$$\frac{\Phi_1}{\Phi_2} = \frac{I_1}{I_2},$$

stąd zaś stosunek natężeń przeciętnych.



\*Rys. 11



Teoretycznie za jednostkę natężenia przyjmuje się od 1884 r. natężenie światła wysyłanego przez  $1 \text{ cm}^2$  powierzchni ciekłej platyny w temperaturze jej topnienia ( $1753^\circ\text{C}$ ), w kierunku prostym do powierzchni. Jest to tzw. jednostka Violle'a od nazwiska fizyka francuskiego, który pierwszy zaproponował jej wprowadzenie. Wobec tego, że pole powierzchni świecącej jest równe  $1 \text{ cm}^2$ , jednostka ta jest również jednostką blasku. Dwudziesta część jednostki Violle'a nosi nazwę świecy dziesiętnej. Od 1909 r. w wyniku porozumienia Bureau of Standards w Waszyngtonie, angielskiego National Physical Laboratory i francuskiego Laboratoire Central de l'Electricité obowiązuje tzw. świeca międzynarodowa (cd — skrót angielskiego słowa candle — świeca), prawie dokładnie równa świecy dziesiętnej (jedna dziesiąta lampy pentanowej Vernon-Harcourta). Zazwyczaj do pomiarów używa się odpowiednio wycechowanych elektrycznych lamp żarowych lub też wspomnianej wyżej lampy pentanowej.

W 1948 r. przyjęto za jednostkę prawną natężenia tzw. nową świecę, którą określono w sposób następujący: blask ciała czarnego w temperaturze topniejącej platyny wynosi 60 n. św. na  $\text{cm}^2$  świecącej powierzchni.

Z dawniejszych jednostek są jeszcze w użyciu: świeca Carcela (1800 r.), równa natężeniu światła, wysyłanego w kierunku poziomym przez lampę, w której pali się olej rzepakowy w warunkach dokładnie ustalonych przez Dumasa i Regnaulta (1861 r.) oraz świeca Hefnera-Altenecka (1884 r.), równa poziomemu natężeniu światła lampy, spalającej octan amylu w knocie, dającym płomień o wysokości 40 mm i szerokości 8 mm.

Na tych jednostkach natężenia oparte są jednostki pozostałych wielkości fotometrycznych. Tak więc jednostką strumienia świetlnego ( $\Phi$ ) jest lumen międzynarodowy ( $lm$ ), lub niekiedy ( $lu$ ), równy strumieniowi, wysyłanemu przez źródło o równomiernym we wszystkich kierunkach natężeniu  $1 \text{ cd}$  i zawartemu w jednostce kąta bryłowego.

Jednostką oświetlenia jest lumen na  $\text{m}^2$ , nosząca nazwę luksa ( $lx$ ); jest ona równa oświetleniu powierzchni, ustawionej prostopadle do kierunku promieni, przez świecę, umieszczoną w odległości 1 m (świeca metrowa). Umieszczając powierzchnię tę w odległości 1 cm od świecy, otrzymamy oświetlenie 10 000 razy większe. Ta wartość oświetlenia została przez Międzynarodową Komisję Oświetleniową przyjęta w 1924 r. za jednostkę oświetlenia i nazwana fotem ( $Ph$ ), fot zatem jest równy 10 000  $lx$ ; często używana tysięczna jego część milifot równa jest 10  $lx$  (jednemu dekaluksowi).

Jednostką blasku jest świeca na  $\text{cm}^2$ , ostatnio nazwana stilbem (gr. stilbejn — błyszczyć).

Oko jest w stanie odczuć oświetlenie  $7,7 \cdot 10^{-6} \text{ lx}$ , to znaczy oświetlenie powierzchni o albedo równym jedności przez świecę ( $\text{cd}$ ), umieszczoną w odległości 360 m od niej. Górną granicę stanowi, jak się zdaje,



oświetlenie  $2,2 \cdot 10^5$  lx, to znaczy oświetlenie powierzchni (o  $R=1$ ) przez źródło o natężeniu 220 000 cd, umieszczone w odległości 1 m od danej powierzchni. Oświetlenie silniejsze powoduje oślepienie. Do czytania wystarcza oświetlenie 0,001 Ph (10 dekaluksów).

Oświetlenie poziomej powierzchni przez księżyc osiąga w najlepszych warunkach (pełnia, niebo bez chmur) wartość 0,26 lx, przez słońce w południe około 10 000 lx w grudniu, i około 50 000 lx w czerwcu. Blask słońca widzianego poprzez atmosferę ziemską wynosi około  $180\,000 \frac{\text{cd}}{\text{cm}^2}$ , węglowej lampy łukowej może dojść do  $13\,000 \frac{\text{cd}}{\text{cm}^2}$  (a przy użyciu specjalnych elektrod węglowych nawet do  $115\,000 \frac{\text{cd}}{\text{cm}^2}$ ), lampy naftowej (przeciętnie) równy jest  $1 \frac{\text{cd}}{\text{cm}^2}$ .

Gdy, jak to wyżej założyliśmy, porównywane źródła wysyłają światło tego samego rodzaju, można pomiar fotometryczny — nazywany często subiektywnym — zastąpić przez pomiar energii światła — pomiar obiektywny. Doświadczenie bowiem wskazuje, że z promieniowaniem światła związane jest zawsze promieniowanie energii. Jeżeli na drodze promieni świetlnych umieścimy ciało nieprzezroczyste, które nie odbija ani nie rozprasza światła, stwierdzimy w nim takie zmiany stanu fizycznego, jakie zwykliśmy przypisywać wzrostowi jego energii, a które w najpospolitszym przypadku ujawniają się we wzroście jego temperatury. Wzrost energii jest w tych samych pozostałych warunkach tym większy, im większy jest strumień padającego na ciało światła, którego wartość otrzymujemy z subiektywnych pomiarów fotometrycznych.

Z uwagi jednak, że pospolicie źródła oprócz energii, związanej z działaniami świetlnymi, promieniają również i taką energię, która na zmysł wzroku nie działa, należy na drodze promieni ustawić przed przyrządem odpowiednie filtry, przepuszczające jedynie promieniowanie widzialne, albo też rozłożyć promieniowanie ciała na widmo (p. rozdz. III) tak, aby na przyrząd mierniczy padała tylko widzialna część widma.

Nie wchodząc w szczegóły pomiarów obiektywnych zaznaczymy jedynie, że często używa się w nich platynowego termometru oporowego (bolometru, gr. bole — rzucanie, uderzanie) lub ogniwa termoelektrycznego. Ze zmiany oporu termometru lub siły elektrobodźczej ogniwa wyznaczamy ilość ciepła, w jakie przekształciła się energia świetlna, pochłonięta przez przyrząd mierniczy. Strumień światła  $\Phi$  jest proporcjonalny do zmierzonej w ten sposób energii

$$\Phi = C \cdot E.$$

(por. rozdz. V, ust. 4 i 5).



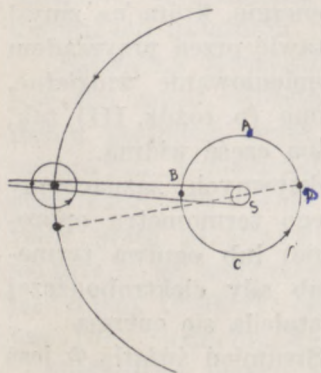
## 3. PRĘDKOŚĆ ROZCHODZENIA SIĘ ŚWIATŁA

Mówiąc w ustępach poprzednich o rozchodzeniu się światła, pomijaliśmy milczeniem zagadnienie, czy światło wysyłane przez źródło dochodzi do ciała oświetlonego lub oka natychmiast po wzbudzeniu świecenia, czy też dopiero po upływie pewnego czasu, innymi słowy, czy światło rozchodzi się z prędkością skończoną czy też nieskończoną wielką. Codzienne nasze obserwacje na to pytanie wyraźnej odpowiedzi dać nie mogą, co najwyżej możemy z nich wyciągnąć wniosek, że jeżeli światło rozchodzi się z prędkością skończoną, to wartość jej jest dostatecznie wielka, aby światło przebywało odległości ziemskie w przebiegu bardzo drobnych ułamków sekundy, których wyznaczenie zwykłymi sposobami jest niemożliwe.

Dowodzi tego ujemny wynik doświadczenia, obmyślonego przez Galileusza. Dwaj obserwatorzy  $A$  i  $B$  ustawili się z zakrytymi latarkami w odległości mniej więcej 1 mili jeden od drugiego. W pewnej chwili obserwator  $B$  puszczał snop światła w kierunku obserwatora  $A$ , który natychmiast po dostrzeżeniu błysku odkrywał swoją latarkę, kierując ją na obserwatora  $B$ . Jeżeli prędkość światła jest skończona, powinien upłynąć skończony przeciąg czasu  $t$  pomiędzy odkryciem latarki przez obserwatora  $B$  i dostrzeżeniem przez niego błysku latarki  $A$ . Czas  $t$  byłby równy czasowi, zużytemu przez światło na przebycie drogi  $l$  od  $B$  do  $A$  i z powrotem. Prędkość światła można byłoby wyznaczyć ze wzoru  $c = \frac{2l}{t}$ . Okazało się jednak, że pomiar ten nie dał żadnych wyraźnych wyników. Powtórzenie tego doświadczenia przez członków florenckiej Accademia del Cimento (akademii wynalazków) przy odległości znacznie zwiększonej również skończyło się niepowodzeniem.

Nie też dziwnego, że prędkość światła została po raz pierwszy wyznaczona nie przez bezpośredni pomiar na ziemi, lecz na podstawie obserwacji astronomicznych, jak to zalecał Descartes, a po nim Huygens.

a. Metoda Rømera. Wyznaczenia tego dokonał (1675 r.) Olaf Rømer opierając się na obserwacjach zaćmień księżyców Jowisza. Jowisz ma osiem księżyców (za czasów Rømera znane były tylko cztery), z których pięć krąży koło niego w płaszczyźnie, bardzo mało nachylonej do płaszczyzny jego równika, w tak niewielkiej od planety odległości, że za każdym obrotem przechodzą przez stożek rzucanego przez planetę cienia (rys. 12). Te okresowe zaćmienia i wynurzania się z cienia można dobrze obserwować z Ziemi; czas między kolejnymi zaćmieniami lub kolejnymi wynurzeniami się z cienia jest równy okresowi obiegu danego księżyca dookoła Jowisza.



Rys. 12



Przy obserwacji dwóch dalszych księżyców, zazwyczaj oznaczanych numerami 3 i 4 i noszących nazwy Ganimeda i Kallisto, można z tego samego położenia Ziemi obserwować zarówno wejście jak i wyjście z cienia, przy obserwacji bliższych księżyców (księżyc Barnarda, Jo i Europe) widzi się albo tylko początkową albo tylko końcową chwilę zaćmienia, zależnie od wzajemnego położenia Ziemi, Słońca i Jowisza.

Gdyby Jowisz był nieruchomy, czas ten mierzony przez obserwatora ziemskiego powinien być zawsze jednakowy, przesuwanie się jednak Jowisza (a co za tym idzie i jego cienia) powoduje konieczność wprowadzenia pewnej poprawki, którą zresztą można stosunkowo łatwo obliczyć. Obserwacje wszakże wykazały, że nawet po uwzględnieniu tej poprawki odstęp czasu między dwoma kolejnymi zaćmieniami ma wartość różną, zależnie od położenia Ziemi względem Jowisza. Tak więc, gdy Ziemia znajduje się w położeniu *B* i *D* (opozycji Słońca i Jowisza i koniunkcji) obserwator ziemski widzi zaćmienia, prawidłowo powtarzające się w równych odstępach czasu, w położeniach zaś *A* i *C* (kwadraturach) okresy kolejnych zaćmień są pozornie różne, przy czym w *A* okresy kolejnych zaćmień się zmniejszają, w *C* — zwiększają. Römer założył, że zjawisko to spowodowane jest zmienianiem się odległości Ziemi od Jowisza i co za tym idzie, zmienianiem się czasu, zużytego przez światło na przebycie drogi od Jowisza do Ziemi. Oznaczmy przez *T* prawdziwy okres obiegu obserwowanego księżycyca, taki, jaki wyznacza obserwator w *B* lub *D*, gdzie odległość Ziemi od Jowisza przez czas jednego obiegu prawie nie ulega zmianie i przypuśćmy, że gdy Ziemia znajduje się w punkcie *C*, obserwator ziemski widzi wynurzanie się księżycyca z cienia w chwili *t*; następne zaćmienie powinien zauważyć w chwili *t+T*, w rzeczywistości jednak widzi je w chwili o  $\tau$  późniejszej, a więc w chwili *t+T+ $\tau$* ; według RömERA opóźnienie wynika stąd, że przez ten czas Ziemia oddaliła się od Jowisza przechodząc do położenia *c'* i że światło, wysyłane przez Księżycyca, przebywa obecnie drogę dłuższą, niż poprzednio,  $\tau$  zatem jest czasem użytym przez światło na przebycie tego przyrostu odległości. Odwrotnie w punkcie *A* odległości obserwatora od Księżycyca się zmniejszają, wobec czego droga, jaką światło przebywa, staje się za każdym obiegiem krótsza. Zanotujmy chwilę wynurzania się Księżycyca wtedy, gdy Ziemia znajduje się w położeniu *B* i obliczmy na podstawie znanego nam czasu prawdziwego obiegu *T* chwilę, w której obserwator *D* (a więc po upływie mniej więcej pół roku) powinien zauważyć *n*-te wynurzanie się Księżycyca z cienia. Okaże się, że nastąpi to nie po upływie *nT* sek, lecz dopiero po upływie (*nT*+ $\tau_0$ ) sek, droga bowiem światła wzrasta przez ten czas o średnicę *2r* orbity ziemskiej; stąd wynika, że prędkość światła wynosi

$$c = \frac{2r}{\tau_0} \quad (a)$$



Według Rømera  $\tau_0$  wynosiło 660 sek, co niewątpliwie, jak wykazały późniejsze pomiary, jest liczbą zbyt małą. Delambre (1790 r.) na podstawie wieloletnich obserwacji przyjął  $\tau_0=986,38$  sek, najprawdopodobniejszą jednak wydaje się wartość 1001,6 sek (Glaserapp, 1874 r.).

Długość średnicy orbity ziemskiej można obliczyć z pomiaru tzw. paralaksy (gr. parallaxis — zmiana) Słońca tj. kąta, pod którym obserwator widziałby ze środka Słońca znajdującego się w płaszczyźnie poziomej jednego z punktów równika ziemskiego, promień  $R$  kuli ziemskiej. Oznaczając paralaksę przez  $\varepsilon$  mamy

$$r = \frac{R}{\operatorname{tg} \varepsilon}$$

( $r = \frac{R}{\sin \varepsilon}$ , gdy za  $r$  bierzemy odległość Słońca od środka Ziemi).

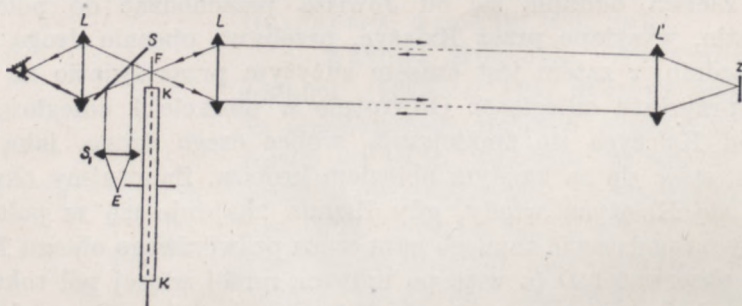
Kładąc  $\varepsilon=8,8''$ ;  $\tau_0=1001,6$  sek,  $R=63\,774$  km,

znajdujemy, że

$$c=298\,286 \text{ km/sek.}$$

Z uwagi jednak, że wartość paralaksy Słońca znana jest jedynie w przybliżeniu, (dane pomiarowe wahają się w granicach od  $8,782''$  do  $8,806''$ , a nawet  $8,85''$ ), dokładność tej metody jest mniejsza od dokładności innych metod, w których prędkość światła wyznacza się przy pomocy wyłącznie fizycznych pomiarów.

b. Metoda koła zębatego. (Fizeau). Pierwszym, który w ten właśnie sposób wyznaczył prędkość światła, był Fizeau (1849 r.). Metoda jego pomiaru znana pod nazwą metody koła zębatego lub metody Fi-



Rys. 13

zeau była bardzo prosta. Światło silnego źródła  $E$  (rys. 13) po załamaniu się w soczewce i odbiciu od szyby szklanej  $S$ , ustawicnej pod kątem  $45^\circ$  do osi soczewki, skupia się w ognisku  $F$  obiektywu lunety  $L$ , z której wychodzi w postaci wiązki równoległej i pada na obiektyw drugiej lu-



nety  $L'$ , skupiając się następnie w jego ognisku. W ognisku tym umieszczone jest płaskie zwierciadło  $Z$ , od którego promienie się odbijają i wracają tą samą drogą do punktu  $F$ . Przez punkt  $F$  przechodzi obwód koła zębatego  $KK$ , mogącego się obracać dookoła osi, równoległej do osi lunety  $L$ . Gdy koło jest w takim położeniu, że w punkcie  $F$  znajduje się w danej chwili otwór między zębami, światło pada na szybę  $S$ , przechodzi przez nią i po załamaniu się w okularze lunety  $L$ , dochodzi do oka obserwatora.

Przy kole nieruchomym obserwator albo stale widzi obraz źródła albo wcale go nie widzi. Po wprawieniu w ruch koła z mierną prędkością widzi światło migocące, obraz bowiem kolejno jest zakrywany i odkrywany. Migotanie znika, gdy liczba zębów, przechodzących w ciągu sekundy przez punkt  $F$  (a tym samym liczba zaciemnień pola widzenia) wynosi od 30 do 50. Wtedy trwałość wrażeń świetlnych cechująca nasz zmysł wzroku sprawia, że obserwator stale widzi światło o natężeniu mniej więcej dwa razy mniejszym (gdy odległość między zębami równa jest szerokości zębów) niż przy kole nieruchomym o otworze w punkcie  $F$ . Przy dalszym zwiększaniu prędkości obrotu natężenie stopniowo maleje, aż wreszcie przy pewnej ilości obrotów na sekundę staje się równe zeru. Wtedy światło źródła, które w danej chwili przechodzi w punkcie  $F$  między zębami koła, po odbiciu od zwierciadła  $Z$  trafia na ząb koła, które w tym czasie zdążyło się o pewien kąt obrócić, i nie dochodzi do oka obserwatora; światło zaś źródła, które trafia w drodze do lunety  $L'$  na ząb koła, wcale do zwierciadła nie dochodzi, pole widzenia jest więc stale zaciemnione. Oznaczmy przez  $n$  liczbę zębów na kole, przez  $N_1$  — liczbę obrotów koła na sekundę; czas, w ciągu którego koło obraca się o kąt  $\alpha_1 = \frac{2\pi}{2n}$  tak, że w punkcie  $F$  zamiast otworu między kątami zjawia się ząb, a więc o  $2n$ -tą część całkowitego obrotu, wynosi

$$t = \frac{1}{2nN_1}.$$

W ciągu tego czasu światło przechodzi dwukrotnie drogę  $FZ = d$  mamy zatem

$$t = \frac{2d}{c} = \frac{1}{2nN_1},$$

skąd

$$c = 4nN_1 \cdot d. \quad (b)$$

Przy dalszym zwiększaniu prędkości obrotu koła obraz znów się pojawia, natężenie światła stopniowo wzrasta i dochodzi do maksimum przy





$N_2=2N_1$ , wtedy bowiem światło, które przez otwór między zębami do-  
szło do zwierciadła, wracając znów spotyka w  $F$  otwór, kąt obrotu wy-  
nosi zatem  $a_2=2a_1=\frac{2\cdot 2\pi}{2n}=\frac{2\pi}{n}$ . Powtórne zaciemnienie następuje przy  
 $a_3=\frac{3\cdot 2\pi}{2n}$  i  $N_3=3N_1$ , prędkość światła jest wtedy równa

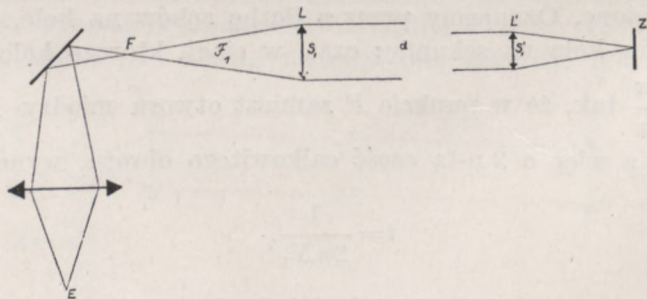
$$c=4n\cdot\frac{N_3}{3}d$$

i ogólnie

$$c=4n\frac{N_k}{k}\cdot d.$$

W rzeczywistości jednak przebieg zjawiska nie jest taki prosty. Uchwycenie  
bowiem chwili zniknięcia obrazu jest rzeczą bardzo trudną, przede wszystkim dla-  
tego, że do pola widzenia zawsze dostaje się nieco światła, następnie zaś, że na-  
tężenie, jak o tym była mowa, maleje stopniowo i wreszcie, że jest rzeczą prawie  
niemożliwą utrzymać przez dłuższy czas stałą prędkość koła. Toteż wkrótce za-  
stąpiono (Cornu) obserwację znikania światła przez obserwację pojawiania się i za-  
nikania światła i brania przeciętnej z prędkości, przy których zjawiska te zachodzą.  
Błąd popełniony przy tym pomiarze jest tym mniejszy, im większa jest prędkość  
obrotu koła, a więc im większe jest  $k$ .

Wtedy jednak należy używać możliwie dużych obiektywów lunet  $L$  i  $L'$  oraz  
źródeł światła o wielkim blasku. Istotnie, strumień światła wysyłany z obrazu  $F$



Rys. 13a

źródła i przechodzący przez obiektyw lunety  $L$ , jest, w założeniu, że blask ma  
w obrębie rozpatrywanego stożka we wszystkich kierunkach wartość tę samą,  
równy

$$\Phi=e\cdot S\cdot\omega \quad (c)$$

(p. wzory 1 i 2), gdzie  $S$  jest polem powierzchni obrazu źródła pozornego,  $\omega$  — ką-  
tem brylowym, pod którym z punktu  $F$  widzimy obiektyw lunety  $L$ . Oznaczając  
odległość punktu  $F$  od obiektywu przez  $F_1$  — jest to odległość ogniskowa



obiektywu  $L$  — przez  $S_1$ , pole prostopadłego do osi lunety przekroju obiektywu  $L$ , wzór (c) przepisujemy w postaci następującej

$$\Phi = e \cdot S \cdot \frac{S_1}{\mathcal{F}_1^2} = e \cdot \frac{S}{\mathcal{F}_1^2} \cdot S_1. \quad (d)$$

Z tego strumienia jedynie część wchodzi do obiektywu  $L'$ . Pole użytecznej części powierzchni źródła pozornego, wyznaczone przez warunek, aby wysyłany przez tę powierzchnię strumień całkowicie wypełniał obiektyw  $L'$ , jest do pola przekroju obiektywu  $L'$  w stosunku takim, jak  $\frac{\mathcal{F}_1^2}{d^2}$  (p. rys. 13a).

Oznaczając pole obiektywu  $L'$  przez  $S'_1$ , pole zaś użyteczne źródła pozornego przez  $S_u$ , otrzymujemy

$$S_u = S'_1 \cdot \frac{\mathcal{F}_1^2}{d^2},$$

skąd po podstawieniu  $S_u$  zamiast  $S$  we wzorze (d) mamy

$$\Phi_u = e \frac{S_1 S'_1}{d^2}.$$

Zjawisko więc zachodzi tak, jak gdyby powierzchnią świecąca był obiektyw  $L$  o tym samym blasku, co źródło pozorne. Im większe są przeto pola obiektywów  $L$  i  $L'$  tym strumień światła, przechodzący przez układ jest większy. Promienie odbite od zwierciadła  $Z$  dają po załamaniu w obiektywie  $L'$  i  $L$  obraz obiektywu  $L'$  w punkcie  $F$ . Wymiary liniowe tego obrazu powrotnego, który obserwator widzi między zębami koła są do wymiarów obiektywu  $L'$  w stosunku takim, jak  $\frac{\mathcal{F}_1}{d}$ .

W drugiej serii pomiarów Cornu (1874 r.) obiektyw  $L'$  miał średnicę 15 cm i ogniskową 200 cm, obiektyw  $L$  — średnicę 38 cm i ogniskową 900 cm, odległość  $d$  wynosiła około 23 000 m. Obraz powrotny miał zatem średnicę  $D$  równą

$$D = \frac{\mathcal{F}_1}{d} \cdot D_{a'} = \frac{900 \cdot 15}{23\,000 \cdot 100} \approx 0,0059 \text{ cm} \approx 0,06 \text{ mm}.$$

Obraz ten był oglądany przez okular o ogniskowej  $\mathcal{F}'$  równej 8 cm, widziany był zatem pod kątem

$$\frac{D}{\mathcal{F}'} = \frac{0,006}{8} = 2'36''$$

a więc wyglądem niewiele się różnił od punktu świecącego (p. rozdz. V, ust. 3). Wiązka wychodzących promieni miała średnicę

$$D_0 = D_{a'} \frac{\mathcal{F}'}{\mathcal{F}_1} = 38 \cdot \frac{8}{900} = 3,3 \text{ mm}$$

tego samego zatem rzędu wielkości, co średnica źrenicy.

Koło, jakiego używał Fizeau, miało na obwodzie 720 zębów, odległość  $d$  wynosiła 8 633 m, pierwsze zaćmienie następowało przy 12,6 obrotu na sekundę.



Prędkość tę wyznaczał Fizeau z wysokości tonu, wydawanego przez sztywną kartkę papieru, wprawioną w drganie przez uderzenia zębów koła.

Podstawiając te liczby do wzoru (b), znajdujemy, że

$$c = 4nN_1 \cdot d = 4 \cdot 720 \cdot 12,6 \cdot 8633 \approx 313\,274 \text{ km/sek.}$$

Śmierć przeszkodziła Fizeau w powtórny wykonaniu tego pomiaru, do którego zamierzał za radą i wskazówkami Arago wprowadzić poprawki, zwiększające ścisłość metody. Zamiary jego urzeczywistnił z całym mistrzostwem Cornu w 1872 r. i następnie w 1874 r. Z pierwszej serii ponad 1000 pomiarów otrzymał

$$c = 298\,500 \text{ km/sek,}$$

z drugiej obejmującej 504 pomiary

$$c = 300\,350 \text{ km/sek.}$$

Wszystkie te liczby wyznaczają prędkość światła w powietrzu. Chcąc znaleźć prędkość światła w próżni należy liczby te pomnożyć przez współczynnik załamania światła w powietrzu (p. rozdz. II, ust. 1), równy 1,0003, a więc zwiększyć podane wyżej liczby o  $\frac{3}{10000}$  tzn. mniej więcej o 90 km/sek. Wobec tego jednak, że dokładność tych pomiarów nie przekracza  $\frac{1}{1000}$  możemy przytoczone w tekście liczby uważać za wyrażające prędkość światła w próżni.

Tej samej metody użył Perrotin (1900, 1902) otrzymując z 1500 pomiarów (o bardzo jednak rozbieżnych wynikach) przeciętną wartość

$$c = 299\,889 \text{ km/sek.}$$

Karolus i Mittelstaedt (1928 r.) zastąpili koło zębate komórką Kerra (p. rozdz. XI, ust. 2), poddaną działaniu pola elektrycznego wysokiej częstotliwości, zmieniającego okresowo natężenie przechodzącego przez układ światła. Otrzymana przez nich wartość  $c$  wynosiła

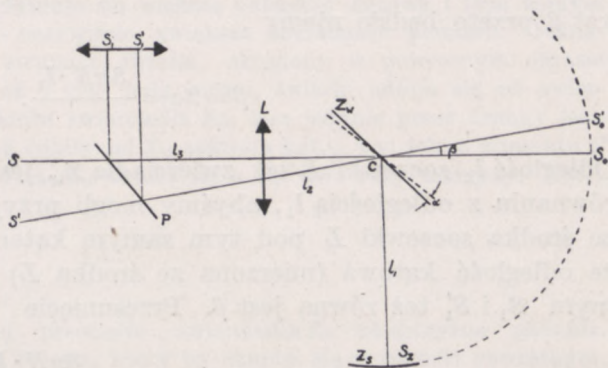
$$c = 299\,778 \text{ km/sek.}$$

Przy użyciu podobnej metody W. Anderson (1941 r.) znalazł na  $c$  wartość  $299\,776 \pm 6 \text{ km/sek.}$

c. Metoda zwierciadła wirującego. Droge światła można bez szkody dla dokładności pomiaru znacznie skrócić zastępując metodę koła zębatego inną metodą, opracowaną przy udziale Arago przez Fizeau i Foucaulta, a użytą po raz pierwszy do zmierzenia prędkości światła przez Foucaulta (1850 r.).



Źródłem światła jest w tym przypadku silnie oświetlona szczelina pionowa  $S$  (rys. 14). Soczewka  $L$  daje obraz tej szczeliny w  $S_0$ , promienie jednak wychodzące z soczewki padają przed przecięciem się w  $S_0$  na płaskie zwierciadło  $Z_w$ , mogące się obracać koło osi pionowej, i wskutek odbicia, jakiego doznają na powierzchni tego zwierciadła, skupiają się nie w  $S_0$ , lecz w punktach  $S_z$ , tworzącej pionowego zwierciadła cylindrycznego  $Z_s$ , o promieniu krzywizny równym odległości  $Z_s Z_w$ . Punkty więc  $S_z$  i co za tym idzie, zwierciadło  $Z_s$  znajdują się w tej samej odległości od zwierciadła  $Z_w$ , co punkty obrazu  $S_0$ . Gdy zwierciadło  $Z_w$  jest nieruchome, promienie odbite od  $Z_s$ , wracając tą



Rys. 14

samą drogą i odbijając się pod tym samym kątem od zwierciadła  $Z_w$ , dają po przejściu przez soczewkę  $L$  obraz  $S_0$  w  $S$ , a zatem skupiają się z powrotem w tych samych punktach, z których wyszły. Obserwator, obserwujący wiązki odbite od płytki  $P$ , ustawionej pod kątem  $45^\circ$  do kierunku promieni, będzie widział obraz  $S_0$  w  $S_1$ . Jeżeli jednak w ciągu czasu, jaki zużyje światło na przejście drogi  $Z_w Z_s$  tam i z powrotem, zwierciadło  $Z_w$  obróci się o kąt  $\alpha$ , promienie powrotne utworzą z poprzednim swym kierunkiem padania kąt  $\beta = 2\alpha$  (p. rozdz. III, ust. 1). Zjawisko zatem zachodzić będzie tak, jak gdyby  $S_0$  przesunęło się do  $S'_0$  na odległość kątową (mierzoną z  $C$ ), równą  $\beta$ ; obserwator widzi obraz  $S'_0$  w  $S'_1$ . Ponieważ zwierciadło  $Z_s$  ma rozmiary skończone, światło odbijać się będzie od niego tylko w ciągu drobnego ułamka okresu całkowitego obrotu zwierciadła  $Z_w$ , obserwator będzie przeto widział obrazy migocące. Migotanie znika, gdy, podobnie, jak w doświadczeniu z kołem zębatym, światło pojawiać się będzie częściej, niż 30 razy na sekundę, a więc gdy ilość obrotów zwierciadła  $Z_w$  na sekundę będzie przewyższała 30. Odległość kątowa obrazów zależy jedynie od kąta, o jaki obraca się zwierciadło w ciągu czasu

$$t = \frac{2l_1}{c},$$

gdzie  $l_1$  oznacza odległość  $CS_0 = CS_z$ , wobec czego przy stałej prędkości obrotowej zwierciadła  $Z_w$  odległość obrazu  $S'_1$  od  $S_1$  będzie stale ta sama.



Oznaczmy przez  $N$  liczbę obrotów na sekundę zwierciadła  $Z_w$ ; kąt  $\alpha$ , o jaki zwierciadło się obróci przez czas  $t$ , wyniesie

$$\alpha = 2\pi \cdot N \cdot t = 2\pi N \cdot \frac{2l_1}{c} = \frac{4\pi N \cdot l_1}{c},$$

kąt  $\beta$  przeto będzie równy

$$\beta = 2\alpha = \frac{8\pi N \cdot l_1}{c}.$$

Odległość  $l_2$  soczewki  $L$  od zwierciadła  $Z_w$  jest dostatecznie mała w porównaniu z odległością  $l_1$ , abyśmy mogli przyjąć, że obrazy  $S'_0S_0$  widać ze środka soczewki  $L$  pod tym samym kątem, co z punktu  $C$ , a więc, że odległość kątowna (mierzona ze środka  $L$ ) obrazów  $S$  i  $S'$  i tym samym  $S_1$  i  $S'_1$  też równa jest  $\beta$ . Przesunięcie przeto obrazów wyniesie

$$SS' = S_1S'_1 = \beta \cdot l_3 = \frac{8\pi N \cdot l_1}{c} \cdot l_3.$$

W niektórych pomiarach Foucault ustawiał zwierciadło  $Z_s$  pochyło do kierunku  $CZ_s$  i promienie odbite od tego zwierciadła skierowywał na drugie, trzecie i czwarte zwierciadła tak, aby dopiero w piątym zwierciadle promienie padały w kierunku normalnej do jego powierzchni. W ten sposób zwiększał odległość  $l_1$ , wynosząc początkowo 4 m, pięciokrotnie. Przy 800 obrotach na sekundę zwierciadła  $Z_w$  przesunięcie  $S_1S'_1$  wynosiło 0,7 mm, skąd na prędkość światła otrzymał

$$c = 298\,100 \text{ km/sek.}$$

Częstość obrotu zwierciadła  $Z_w$  Foucault mierzył stroboskopowo (gr. strobos — krążenie), umieszczając przed obrazem obracającą się tarczę, na której obwodzie były wycięte bardzo wąskie zęby. Gdy tarcza jest oświetlona światłem stałym, przy miernej nawet prędkości obrotu nie rozróżnia się już zębów, gdy zaś oświetlona jest światłem przerywanym tak, jak w danym doświadczeniu, zęby na ogół widać, gdyż każdy z nich przez krótką chwilę, w ciągu której jest oświetlony, przechodzi przez bardzo małą drogę. Dobierając tak częstość obrotów tarczy, aby przez czas jednego obrotu zwierciadła, a więc przez czas od jednego błysku oświetlającego tarczę do drugiego tarcza obracała się o jeden ząb, odniesiemy wrażenie, że tarcza jest nieruchoma, będziemy ją bowiem ciągle widzieli w tym samym położeniu. Tarcza wtedy będzie się obracała tyle razy wolniej od zwierciadła, ile zębów ma na obwodzie; gdy liczba ich jest znaczna, zjawisko to zajdzie już przy niewielkiej częstości obrotów, którą można bez trudu wyznaczyć zwykłymi sposobami. Tarcza ta służyła poza tym do sprawdzenia, czy zwierciadło  $Z_w$ , wprawiane w ruch przez turbinę, poruszaną zgęszczonym powietrzem, obraca się jednostajnie. Gdy prędkość zwierciadła maleje, tarcza pozornie obraca się w kierunku przeciwnym, gdy wzrasta, — w tym samym. Mechanizm konstrukcji Foucaulta był tak dokładny, że zwierciadło zachowywało tę samą prędkość całymi minutami.



Newcomb używając tej samej metody, lecz znacznie zwiększając odległość  $l_1$  otrzymał na  $c$  w próżni wartość

$$299\,860 \text{ km/sek.}$$

Zwiększając odległość  $l_1$  otrzymuje się większą odległość kątową i tym samym większe przesunięcie  $S_1S'_1$ , co, oczywiście, zwiększa dokładność pomiaru. Jednocześnie wszakże zmniejsza się strumień światła, skupiony w powrotnym obrazie szczeliny. Istotnie, jak wyżej już o tym była mowa, światło odbija się od zwierciadła  $Z_s$  nie przez cały czas obrotu zwierciadła  $Z_w$ , lecz jedynie przez drobny jego ułamek, w ciągu którego promień odbity od  $Z_w$  zakreśla kąt  $\gamma$ , pod jakim z punktu  $O$  widać zwierciadło  $Z_s$ , zwierciadło zaś  $Z_w$  obraca się o kąt dwa razy mniejszy. Kąt  $\gamma$  jest równy

$$\gamma = \frac{p_z}{l_1},$$

gdzie  $p_z$  jest długością krzywej przecięcia zwierciadła  $Z_s$  płaszczyzną padania. Oznaczając przeciętny strumień światła, który by skupiał się w obrazie powrotnym, gdyby promienie odbijały się od  $Z_s$  przez cały czas obrotu  $Z_w$ , przez  $\Phi_p$ , otrzymamy na strumień światła, istotnie skupiony w obrazie

$$\Phi = \Phi_p \cdot \frac{\gamma}{2 \cdot 2\pi} = \Phi_p \cdot \frac{p_z}{4\pi l_1}. \quad (e)$$

Dla zwiększenia tego strumienia Newcomb zastąpił pojedyncze zwierciadło, jakiego używał Foucault, czterema płaskimi zwierciadłami, tworzącymi ściany pryzmatu, zwiększając w ten sposób kąt czterokrotnie. Poza tym dla zwiększenia widzialności obrazu powrotnego tak umieszczał zwierciadło  $Z_s$ , że promienie powrotne padały na zwierciadło wirujące  $Z_w$  nieco wyżej od promieni ze szczeliny  $S$ ; to pozwoliło mu skierować promienie powrotne na inną, wyżej od  $L$  położoną soczewkę, stanowiącą obiektyw lunety obserwatora i usunąć całkowicie z pola widzenia światło pochodzące bezpośrednio ze świecącej szczeliny. W doświadczeniu Newcoma  $l_1 = 3\,700 \text{ m}$ ,  $N = 210$  obrotów na sekundę,  $p_z = 80 \text{ cm}$ . Kąt odchylenia  $\beta$  wynosił

$$\beta = \frac{8\pi N \cdot l_1}{c} \approx 3,8^\circ,$$

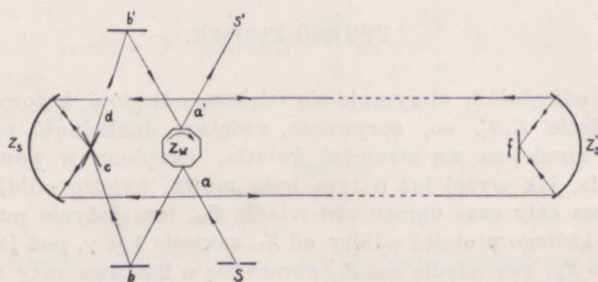
kąt  $\gamma$  był równy  $\frac{4p_z}{l_1}$ , skąd

$$\Phi = \Phi_p \cdot \frac{3,2}{12,56 \cdot 3\,700} \approx 0,000\,07 \Phi_p.$$

Michelson przeprowadził od roku 1880 szereg doświadczeń w celu wyznaczenia prędkości światła. W roku 1926 dokonał pomiaru między górami Mt. Wilson i Mt. San Antonio odległych o 35,4 km. Przebieg doświadczenia przedstawia schematycznie rysunek 15,



gdzie  $Z_w$  oznacza zwierciadło wirujące,  $a, a'$ , — płaszczyzny odbijające zwierciadła wirującego.  $Z_s, Z'_s$  zwierciadła wklęsłe,  $b, b', c, d, f$ , — zwier-



Rys. 15

ciadła płaskie.  $S$  — źródło światła,  $S'$  obraz.  $Z$  pomiaru tego otrzymał na prędkość rozchodzenia się światła w próżni wartość

$$c = 299\,796 \pm 4 \text{ km/sek}$$

#### Wyniki pomiarów prędkości światła w próżni otrzymanych:

metodą astronomiczną	km/sek
z zaćmień księżyców Jowisza	O. Römer (1675) — 298 800
z aberacji	Bradley (1728) — 298 500
metodą koła zębatego	Fizeau (1849) — 315 300
	Cornu-Helwert (1875) — 299 990 ± 200
metodą zwierciadła wirującego:	
	Foucault (1863) — 298 100 ± 500
	Michelson (1882) — 299 853 ± 60
	Newcomb (1883) — 299 860 ± 30
	Michelson (1902) — 299 910 ± 50
	Michelson (1926) — 299 796 ± 4
	Michelson Peace i Pearson (1932) — 299 744 ± 11

#### metodą komórki Kerra

Karolus i Mittelstaedt (1928)	— 299 778 ± 20
W. C. Anderson (1937)	— 299 765 ± 15
Huttel (1940)	— 299 771 ± 10
W. C. Anderson (1941)	— 299 776 ± 6
Bergstrand (1950)	— 299 793,1 ± 0,25



## Rozdział II

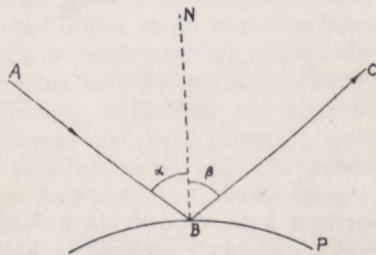
### ODBICIE I ZAŁAMANIE PROMIENI ŚWIATŁA

#### 1. PRAWA ODBICIA I ZAŁAMANIA PROMIENI ŚWIATŁA

Przy przechodzeniu światła z jednego środowiska do drugiego (np. z powietrza do szkła lub ze szkła do wody) zmienia się zazwyczaj na powierzchni rozdziału tych środowisk kierunek jego rozchodzenia się; część światła wraca do środowiska, z którego wyszła — odbija się, część zaś wchodząc do środowiska drugiego, biegnie w innym, niż poprzednio, kierunku — załamuje się. Stosunek natężeń światła odbitego i załamanego zależy od rodzaju środowiska, od stanu jego powierzchni, od rodzaju światła padającego i od kąta, pod którym na powierzchnię rozdziału pada badana wiązka promieni. Gdy środowisko, do którego światło wchodzi, jest całkowicie nieprzezroczyste, natężenie światła załamanego spada do zera, natężenie zaś światła odbitego może być wtedy znacznym ułamkiem natężenia światła padającego, a nawet być mu prawie równe. W granicznym przypadku, gdy natężenia te są równe, powierzchnię rozdziału nazywamy doskonale odbijającą (doskonałym zwierciadłem) albo doskonale rozpraszającą.

W przyrodzie z takimi powierzchniami nigdy nie mamy do czynienia; część światła padającego zawsze ulega pochłonięciu w warstewce powierzchniowej.

Niech na dowolną powierzchnię rozdziału np.  $P$  (rys. 16) pada wiązka tak cienka, że możemy uważać kierunek składających ją promieni za identyczny z kierunkiem środkowego jej promienia  $AB$ . Doświadczenie wskazuje, że, gdy powierzchnia  $P$  jest dostatecznie gładka, wiązka odbija się w kierunku  $BC$ , przy czym promień środkowy tworzy z normalną  $BN$  do powierzchni  $P$  w punkcie padania kąt odbicia  $\beta$  równy kątowi padania  $\alpha$ , jaki promień padający tworzy z tą samą normalną, i leży w płaszczyźnie przesuniętej przez promień padający  $AB$  i nor-



Rys. 16



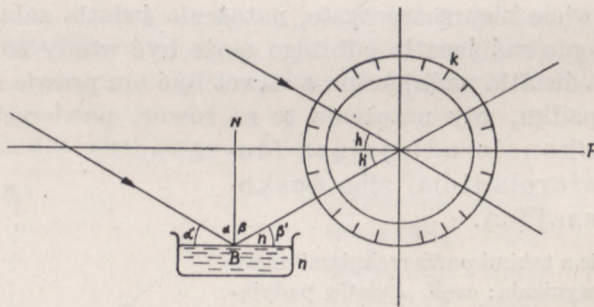
malną  $BN$  — w płaszczyźnie padania. Gdy powierzchnia rozdziału jest nierówna, chropowata, promienie, składające wiązkę, odbijają się w różnych kierunkach, światło odbite staje się rozproszone. Można uważać, że dla promieni świetlnych gładkimi powierzchniami są powierzchnie wody, rtęci czy też innej jakiej cieczy w spoczynku lub w jednostajnym ruchu obrotowym i dobrze wypolerowane powierzchnie ciał stałych, jak szkła, metali i in.

Umówmy się uważać ostry kąt, jaki promień tworzy z normalną za dodatni, gdy dla opisywania go w kierunku od promienia do normalnej obracamy promień w kierunku zgodnym z kierunkiem ruchu wskazówek zegarka, za ujemny — gdy w przeciwnym. Mamy zatem

$$\alpha = -\beta. \quad (1)$$

Przy odwróceniu biegu promienia tak aby promieniem padającym był promień  $CB$ , promieniem odbitym będzie promień  $BA$ ; droga promienia jest więc w tym przypadku odwracalna.

Najdokładniejsze sprawdzenie doświadczalne podanych wyżej praw odbicia otrzymamy przy użyciu wiązki promieni równoległych, wtedy bowiem wiązka może być dowolnie szeroka. Temu warunkowi odpowiadają wiązki wysyłane przez gwiazdy stałe, których odległość od nas jest biorąc praktycznie nieskończenie wielka. Niech  $K$  będzie tzw. kołem wysokości (rys. 17), używanym przez astronomów do



Rys. 17

pomiaru kąta wzniesienia gwiazdy nad poziomem  $P$ . Po ustawieniu lunety w kierunku gwiazdy i zmierzeniu kąta wysokości  $h$  obracamy lunetę tak, aby zobaczyć odbicie gwiazdy w powierzchni rtęci, nalanej do naczynia  $n$  (sztuczny poziom). Okazuje się, że kąt  $h'$  równy jest kątowi  $h$ , skąd z uwagi, że  $h'$  równe jest  $\beta'$ ,  $h$  zaś  $\alpha'$ , wynika, że  $\alpha'$  równe jest  $\beta'$  i  $\alpha$  równe jest  $-\beta$ . A ponieważ luneta przy obu pomiarach znajdowała się w tej samej płaszczyźnie pionowej, promień odbity leży w płaszczyźnie przesuniętej przez promień padający i pion  $BN$ , będący normalną do powierzchni odbijającej.

Zazwyczaj, jak o tym już wyżej była mowa, tylko część światła padającego odbija się od powierzchni rozdziału, reszta przechodzi do środowiska drugiego. Przypuśćmy, że środowisko to jest dostatecznie prze-

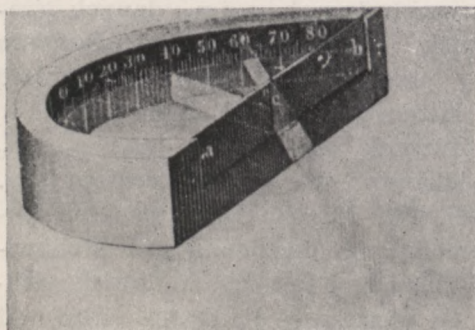


zroczyste, aby przepuścić przynajmniej ułamek światła wchodzącego, i uważajmy tak, jak poprzednio, za kierunek wiązki, padającej na powierzchnię rozdziału, kierunek jej promienia środkowego  $AB$  (rys. 18). Doświadczenie wskazuje, że wiązka wchodząca do środowiska drugiego odchyła się od kierunku, jaki miała w środowisku pierwszym, tak że promień  $BD$  na ogół nie jest przedłużeniem promienia  $AB$ . W środowiskach równokierunkowych promień załamany  $BD$  leży podobnie, jak promień odbity  $BC$  w płaszczyźnie padania, będącej wobec tego również płaszczyzną załamania i tworzy z normalną  $N$  do powierzchni rozdziału kąt załamania  $\alpha_2$ , związany z kątem padania  $\alpha_1$  wzorem

$$\frac{\sin \alpha_1}{\sin \alpha_2} = n_{1,2}, \quad (2)$$

gdzie  $n_{1,2}$  jest wielkością, zależną od rodzaju stykających się środowisk oraz od rodzaju użytego światła, niezależną zaś od wartości kąta padania. Stałą  $n_{1,2}$  nazywamy współczynnikiem załamania środowiska drugiego względem pierwszego.

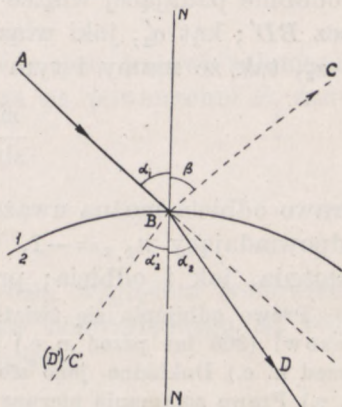
Wzór (2) można w dogodny sposób sprawdzić przy pomocy przyrządu, przedstawionego na rys. 19. Wiązka promieni równoległych wchodzi przez szczelinę  $c$  do wnętrza półkolistego naczynia, otwartego z wierzchu i do połowy wysokości wypełnionego jakąś przezroczystą cieczą, np. wodą. Górna część wiązki rozchodząca się w powietrzu, nie ulega załamaniu, dolna zaś załamuje się w cieczy; na podziałce, naklejonej na przeciwległej ścianie naczynia powstają dwie plamy światłne, co pozwala z łatwością zmierzyć kąt padania i kąt załamania.



Rys. 19

$\alpha_2$  i kąta  $\alpha_1$  będzie równy

$$\frac{\sin \alpha_2}{\sin \alpha_1} = \frac{1}{n_{1,2}} = n_{2,1}, \quad (2a)$$



Rys. 18

Gdy promieniem padającym jest promień  $DB$ , innymi słowy, gdy światło przechodzi ze środowiska drugiego do pierwszego, promieniem załamanym jest promień  $AB$ . Stosunek sinusów kąta



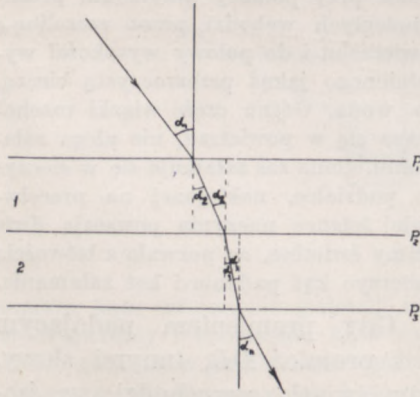
gdzie tym razem  $\alpha_2$  jest kątem padania,  $\alpha_1$  — kątem załamania,  $n_{2,1}$  jest współczynnikiem załamania środowiska pierwszego względem drugiego. I w tym więc przypadku zachodzi odwracalność biegu promienia padającego i załamane go. Całe jednak zjawisko nie jest odwracalne: przy przejściu ze środowiska pierwszego do drugiego światło odbija się w kierunku  $BC$ , przy przejściu z drugiego do pierwszego — w kierunku  $BC'$ . Podobnie padającej wiązce  $CB$  odpowiada po załamaniu nie wiązka  $BD$ , lecz  $BD'$ ; kąt  $\alpha'_2$ , jaki wiązka ta tworzy z normalną, jest jednak równy  $-\alpha_2$ , tak że mamy i tym razem

$$\frac{\sin \beta}{\sin \alpha'_2} = - \frac{\sin \alpha_1}{\sin \alpha_2} = n_{1,2}.$$

Prawo odbicia można uważać za szczególny przypadek prawa załamania, odpowiadający  $n_{1,2} = -1$ . Wzór (2) wyraża zatem zarówno prawa załamania, jak i odbicia; prawa te nazywamy prawami Descartes'a.

Prawo odbijania się światła znane już było, przynajmniej częściowo, Euklidesowi (300 lat przed n. e.) oraz Heronowi z Aleksandrii (około 100 roku przed n. e.) Dokładne jego sformułowanie dał wszakże dopiero Alhazen (1100 n. e.) Prawo załamania pierwszy ściśle sformułował Snellius (1591—1626). W postaci dzisiaj używanej wyraził je wszakże Descartes (1637 r.), dlatego też łączymy je z jego nazwiskiem.

Zastosowanie wzoru (2) do poszczególnych przypadków wymaga uprzedniego wyznaczenia współczynnika  $n_{1,2}$ , mającego dla każdej pary środowisk inną wartość. Unikamy jednak tego uciążliwego nieraz wyznaczania wyrażając współczynnik względny  $n_{1,2}$ , jako funkcję tzw. współczynników bezwzględnych  $n_1$  i  $n_2$  danych środowisk, odpowiadających załamaniu przy przechodzeniu światła z próżni do każdego z danych środowisk.



Rys. 20

Związek między  $n_{1,2}$  oraz  $n_1$  i  $n_2$  znajdziemy w sposób następujący. Niech  $P_1, P_2, P_3$  będą płaskimi powierzchniami, oddzielającymi środowisko pierwsze od próżni, środowisko drugie od pierwszego i wreszcie drugie od próżni (rys. 20). Przy przejściu przez powierzchnię  $P_1$  kąt załamania  $\alpha_2$  związany jest z kątem padania wzorem (2) tak, że mamy

$$\frac{\sin \alpha_1}{\sin \alpha_2} = n_{0,1} \quad (a)$$



gdzie  $n_{0,1}$  jest współczynnikiem załamania środowiska pierwszego względem próżni, a więc, zgodnie z przyjętą terminologią współczynnikiem bezwzględnym  $n_1$  tego środowiska. Załamanie na powierzchni  $P_2$  wyrazi się wzorem

$$\frac{\sin \alpha_2}{\sin \alpha_3} = n_{1,2}, \quad (\text{b})$$

kąt bowiem padania na powierzchnię  $P_2$  równy jest kątowi załamania na powierzchni  $P_1$ . Gdy promień po załamaniu na powierzchni  $P_3$  znów przechodzi do próżni, mamy

$$\frac{\sin \alpha_3}{\sin \alpha_n} = n_{2,0} \quad (\text{c})$$

gdzie  $n_{2,0}$  jest współczynnikiem załamania próżni względem środowiska drugiego, a więc odwrotnością współczynnika bezwzględnego  $n_2$  tego środowiska. Mnożąc (a) przez (b) i (c), znajdujemy

$$\frac{\sin \alpha_1}{\sin \alpha_2} \cdot \frac{\sin \alpha_2}{\sin \alpha_3} \cdot \frac{\sin \alpha_3}{\sin \alpha_n} = \frac{\sin \alpha_1}{\sin \alpha_n} = n_1 \cdot n_{1,2} \cdot \frac{1}{n_2} = n_{1,2} \cdot \frac{n_1}{n_2}. \quad (\text{d})$$

Doświadczenie jednak wskazuje, że tego rodzaju płytki równoległościenne, złożone z różnych ciał łamiących, których powierzchniami rozdziału są równoległe płaszczyzny, nie zmieniają kierunku biegu promieni, powodując jedynie boczne ich przesunięcie (por. rozdz. III, ust. 3), wobec czego

$$\alpha_1 = \alpha_n$$

i

$$n_{1,2} \cdot \frac{n_1}{n_2} = 1,$$

skąd

$$n_{1,2} = \frac{n_2}{n_1}. \quad (2\text{b})$$

Podstawiając do wzoru (2) otrzymujemy

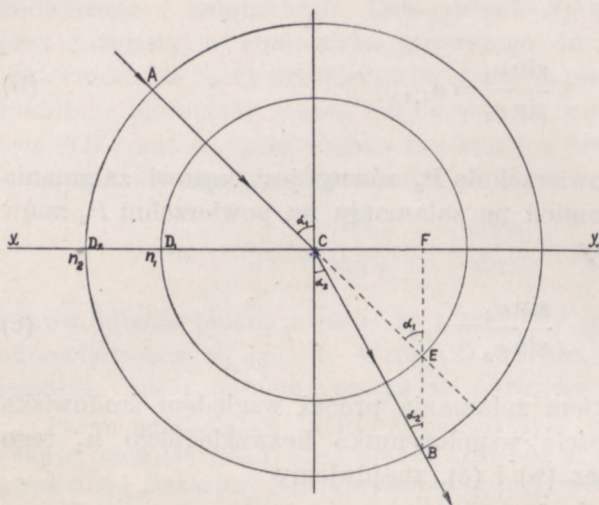
$$\frac{\sin \alpha_1}{\sin \alpha_2} = \frac{n_2}{n_1}$$

lub

$$n_1 \sin \alpha_1 = n_2 \sin \alpha_2. \quad (2\text{c})$$



Kierunek promienia załamanego można znaleźć w sposób wskazany przez Descartes'a. Z punktu padania  $C$  (rys. 21) opisujemy dwa koła promieniami  $CD_1=n_1$  i  $CD_2=n_2$  i z punktu przecięcia  $E$  przedłużenia promienia  $AC$  z kołem o promieniu  $n_1$  opuszczamy prostopadłą na płaszczyznę  $xx$ , styczną w punkcie padania  $C$  do powierzchni łamiącej. Prostopadła ta przetnie koło o promieniu  $n_2$  w punkcie  $B$ ; prosta, łącząca  $C$  z  $B$  wyznacza kierunek promienia załamanego. Istotnie z  $\triangle CEF$  znajdujemy



Rys. 21

$CF=CE \sin \alpha_1=n_1 \sin \alpha_1$ ,  
z  $\triangle CBF$ :

$$CF=CB \cdot \sin \alpha_2=n_2 \sin \alpha_2,$$

skąd

$$n_1 \sin \alpha_1=n_2 \sin \alpha_2.$$

Gdy  $n_2 > n_1$ ,  $\alpha_1$  jest większe od  $\alpha_2$ ; promień po załamaniu przybliży się do normalnej; środowisko drugie jest wtedy optycznie gęstsze; gdy  $n_2 < n_1$ ,  $\alpha_1$  jest mniejsze od  $\alpha_2$ ; promień po załamaniu oddala się od normalnej; środowisko drugie jest optycznie rzadsze.

Ciała optycznie gęstsze są na ogół gęstsze, w zwykłym tego słowa znaczeniu; zdarzają się jednak i wyjątki. Tak np. szczególnego rodzaju szkło ciężkie (szkło flintowe Guinanda) o gęstości 4,322 g/cm<sup>3</sup> ma współczynnik załamania promieni żółtych (linia D sodu) mniejszy ( $n_D=1,596\ 515$ ), niż inne szkło ciężkie (flint Bon-tempesa) o gęstości 2 razy mniejszej ( $d=2,011$  g/cm<sup>3</sup>), w którym  $n_D=1,697\ 97$ .

W tym ostatnim przypadku największą wartość kąta padania, przy którym promień doznaje prawidłowego załamania, otrzymamy ze wzoru (2) lub (2c), podstawiając  $\alpha_2=90$ , większym bowiem kątem padania odpowiadałby kąt załamania większy od 90°. Mamy wtedy

$$\sin \alpha_1=n_{1,2} \quad \text{lub} \quad n_1 \sin \alpha_1=n_2; \quad \sin \alpha_1=\frac{n_2}{n_1}. \quad (2d)$$

Tę wartość kąta padania nazywamy kątem granicznym. Doświadczenie wskazuje, że promienie, idące ze środowiska gęstszego do rzadszego i padające pod kątem większym od granicznego, odbijają się od



powierzchni rozdziału (rys. 22). Zjawisko to nosi nazwę całkowitego wewnętrznego odbicia.

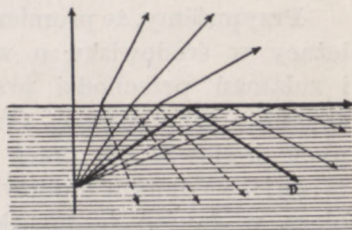
Jak wynika ze wzoru (2d) wartość kąta granicznego zależy od rodzaju środowisk oraz od rodzaju użytego światła. Tak np. gdy promień światła, wysyłanego przez świecącą parę sodu przechodzi z wody do powietrza, mamy, kładąc we wzorze (2d)  $n_2=1$  (ściśle biorąc,  $n_2$  jest nieco większe od jedności) i  $n_1=1,33$ ,

$$\sin a_g = \frac{1}{1,33}, \text{ skąd } a_g \approx 48^\circ 40' 37'';$$

przy przechodzeniu tego samego promienia ze zwykłego szkła do powietrza, na wartość kąta granicznego otrzymamy, kładąc  $n_2=1, n_1=1,5$ ,

$$\sin a_g = \frac{1}{1,5}; a_g \approx 41^\circ 18'.$$

W obu przypadkach światło odbite będzie miało tę samą barwę co światło padające, i kąt graniczny będzie można stosunkowo łatwo wyznaczyć z pomiaru (np. zwiększając stopniowo kąt padania promieni i mierząc kąt, przy którym światło przestaje wchodzić do środowiska drugiego). Inaczej jednak będzie, gdy powierzchnię rozdziału oświetlimy tzw. światłem białym to jest takim, jak światło słoneczne. Zwiększając stopniowo kąt padania wiązki świetlnej, stwierdzimy, że poczynając od pewnej jego wartości natężenie światła, wchodzącego do środowiska drugiego, zaczyna się stopniowo zmniejszać, aby wreszcie przy dalszym jego zwiększaniu, stać się równym zeru. Przy kątach padania, zawartych



Rys. 22

w tych granicach, ani światło przechodzące ani odbite nie jest białe; światło odbite, mające początkowo odcień fioletowy, przechodzi stopniowo przez różne barwy i staje się białe dopiero wtedy, gdy kąt graniczny osiągnie swą najwyższą wartość. W przeciwieństwie więc do światła pary sodu, dla którego wartość kąta granicznego jest ściśle oznaczona i zależy jedynie od rodzaju środowiska pierwszego, w przypadku światła białego mamy do czynienia z różnymi wartościami kąta granicznego, zawartymi w pewnych, zazwyczaj niewielkich granicach i odpowiadającymi różnym wartościom współczynnika załamania promieni, składających wiązkę. Tego rodzaju światło nazywamy niejednorodnym, w przeciwieństwie do światła jednorodnego lub monochromatycznego (jednobarwnego, gr. monos — jeden tylko, chroma — barwa) takiego, jak światło pary sodu.



Gdy środowiskiem pierwszym jest woda, wartości kąta granicznego przy oświetleniu światłem białym zawarte są w granicach



Rys. 23

$$\text{od } \alpha'_g = \arcsin \frac{1}{1,34350} = \arcsin 0,774 = 48^\circ 45' 15''$$

$$\text{do } \alpha''_g = \arcsin \frac{1}{1,33048} = 48^\circ 45' 49''.$$

Stwierdzenie tej różnicy kątów wymaga zatem dokładniejszej metody pomiaru od tej, jaką naszkicowaliśmy wyżej.

Zjawisko całkowitego wewnętrznego odbicia można wyzyskać do przenoszenia światła na pewną odległość prawie bez straty natężenia. Pałeczka szklana  $M_1M_2$  (lub jeszcze lepiej kwarcowa) w kształcie litery  $S$  (rys. 23) zakończona jest dwiema płaskimi dobrze wyszlifowanymi powierzchniami  $M_1$  i  $M_2$ . Soczewka  $O$  skupia na powierzchni  $M_1$  światło, wychodząc ze źródła  $A$ ; światło to po szeregu odbić wewnętrznych wychodzi przez powierzchnię  $M_2$ .

## 2. ZASADA FERMATA

Prawa odbicia i załamania światła można, jak to wykazał Fermat (1608—1665), wyrazić inaczej.

Przypuśćmy, że promień światła, przechodzący przez dowolny punkt  $A$ , leżący w środowisku o współczynniku załamania  $n_1$ , po szeregu odbić i załamania przechodzi przez punkt  $B$ , leżący w środowisku o współczynniku załamania  $n_n$ . Oznaczmy drogi przebieżone przez światło w różnych środowiskach przez  $l_1, l_2, \dots, l_n$  i nazwijmy drogą optyczną promienia w danym środowisku iloczyn długości drogi, jaką światło przebiega w danym środowisku, przez współczynnik załamania tego środowiska

$$L_m = n_m \cdot l_m.$$

Zasada Fermata stwierdza, że droga optyczna promienia między punktami  $A$  i  $B$  ma zawsze wartość największą lub najmniejszą.

Innymi słowy, różnica między długością drogi optycznej istotnie przebytej przez promień i długością innej drogi optycznej, nieskończenie bliskiej do rzeczywistej drogi promienia, jest w porównaniu ze wzajemną odległością tych dróg nieskończenie mała.

Na przykładzie paru prostych przypadków odbicia i załamania można bez trudu wykazać, że zasada Fermata prowadzi bezpośrednio do praw Descartes'a.

Niech  $ACB$  będzie promieniem, odbitym od płaskiej powierzchni  $P$  (rys. 24) i przechodzącym przez punkty  $A$  i  $B$ . Opuśćmy z tych punktów prostopadłe  $AE = y_1$ , i  $BF = y_2$  na powierzchnię rozdziału i oznaczmy

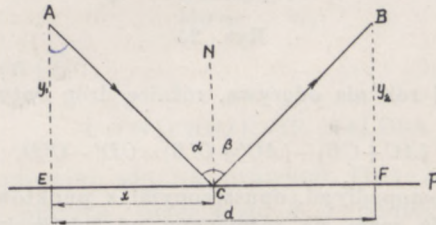


stałą odległość między spodkami tych prostopadłych przez  $d$ . Niech dalej  $EC$  będzie równe  $x$ .

Długość drogi optycznej wyrazi się wtedy wzorem

$$L = n_1 \cdot AC + n_1 CB = n_1 \sqrt{x^2 + y_1^2} + n_1 \sqrt{(d-x)^2 + y_2^2}$$

$A$  i  $B$  znajdują się bowiem w tym samym środowisku o współczynniku załamania  $n_1$ . Zmienną wielkością w tym wzorze jest jedynie  $x$ , wyzna-



Rys. 24

czające położenie punktu padania  $C$ , warunkiem zatem maksimum lub minimum jest

$$\frac{dL}{dx} = \frac{d}{dx} (n_1 \sqrt{x^2 + y_1^2}) + \frac{d}{dx} (n_1 \sqrt{(d-x)^2 + y_2^2}) = 0$$

Różniczkując, otrzymujemy

$$\frac{n_1 x}{\sqrt{x^2 + y_1^2}} - \frac{n_1 (d-x)}{\sqrt{(d-x)^2 + y_2^2}} = 0$$

ale

$$\frac{x}{\sqrt{x^2 + y_1^2}} = \sin \alpha \quad \text{i} \quad \frac{d-x}{\sqrt{(d-x)^2 + y_2^2}} = \sin \beta,$$

a więc

$$\sin \alpha = \sin \beta$$

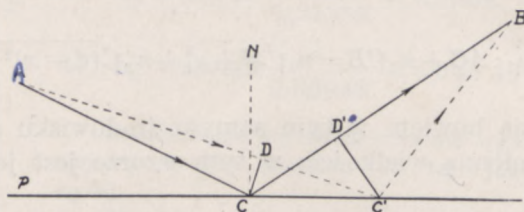
co z uwagi, że ani  $\alpha$  ani  $\beta$  nie mogą być większe od  $90^\circ$ , daje równość

$$\alpha = \beta,$$

wyrażającą, o ile pominiemy znaki, prawo odbicia.



Do tego samego wyniku moglibyśmy dojść jeszcze inaczej. Porównajmy rzeczywistą drogę promienia  $ACB$  z nieskończenie bliską drogą  $AC'B$  (rys. 25). Nie uwzględniając współczynnika załamania, który tym razem z uwagi na jednorod-



Rys. 25

ność środowiska żadnej roli nie odgrywa, różnicę dróg optycznych znajdujemy ze wzoru

$$(AC+CB)-(AC'+C'B)=CD'-C'D,$$

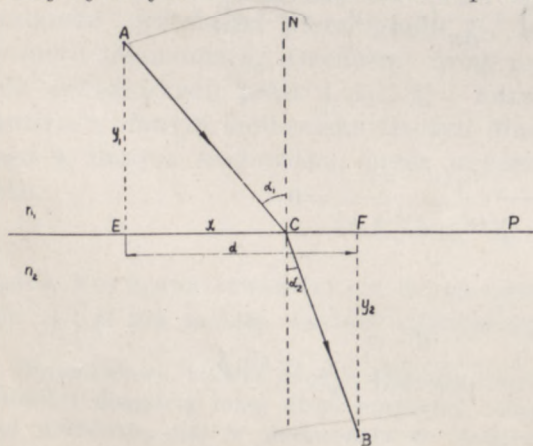
gdzie  $CD$  i  $C'D'$  są prostokątami, opuszczonymi z punktów  $C$  i  $C'$  na promieniach  $AC$  i  $C'B$  i nieskończenie mało się różniącymi od łuków kół, opisanych z  $A$  i  $B$  promieniami  $AC$  i  $BC'$ . Z  $\triangle CD'C'$  i  $\triangle CDC'$  znajdujemy

$$CD'=CC' \sin \sphericalangle D'C'C \text{ i } C'D=CC' \sin \sphericalangle DCC'.$$

Różnica zatem

$$CD'-C'D=CC'(\sin \sphericalangle D'C'C - \sin \sphericalangle DCC')$$

wtedy tylko jest nieskończenie mała w porównaniu z  $CC'$  lub z  $CD$  i  $C'D$ , które



Rys. 26

są długościami tego samego rzędu wielkości, gdy  $\sphericalangle D'C'C$  lub, co na jedno wychodzi, jego dopełnienie  $D'CC'$  nieskończenie mało różni się od  $DCC'$ . Ten ostatni kąt jednak, zgodnie z założeniem, nieskończenie mało się różni od kąta  $ACP$ , promień bowiem  $AC$  i  $AC'$  są nieskończenie bliskie; warunek więc Fermata sprowadza się do tego, aby kąty  $ACP$  i  $BCC'=D'CC'$ , a przeto i kąty  $ACN$  i  $NCB$  różniły się nieskończenie mało, innymi słowy, aby kąt padania równy był kątowi odbicia.

Niech teraz  $P$  będzie płaską powierzchnią łamiącą (rys. 26), tak że  $A$  i  $B$  leżą w dwóch różnych środowiskach. Wprowadzając te same, co poprzednio, oznaczenia, warunek Fermata wyrazimy wzorem

$$\frac{d}{dx} (n_1 \sqrt{x^2 + y_1^2}) + \frac{d}{dx} (n_2 \sqrt{(d-x)^2 + y_2^2}) = 0,$$



skąd uwzględniając, że

$$\frac{x}{\sqrt{x^2 + y_1^2}} = \sin \alpha_1 \quad \text{i} \quad \frac{d-x}{\sqrt{(d-x)^2 + y_2^2}} = \sin \alpha_2,$$

znajdujemy

$$n_1 \sin \alpha_1 = n_2 \sin \alpha_2$$

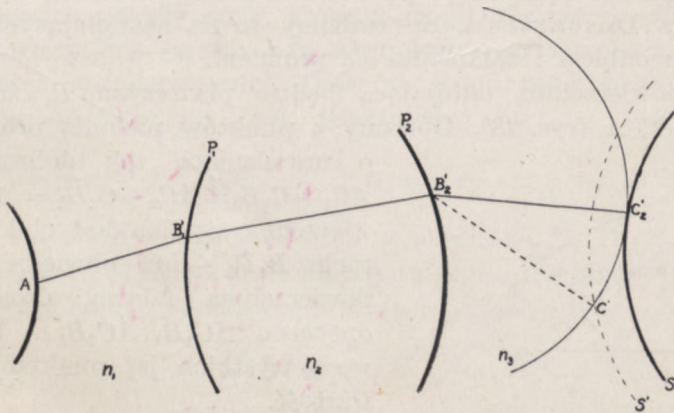
lub

$$\frac{\sin \alpha_1}{\sin \alpha_2} = \frac{n_2}{n_1},$$

zgodnie ze wzorem (2).

### 3. TWIERDZENIE MALUSA

Wykreślmy opierając się na prawach Descartes'a, bieg promieni, wychodzących z punktu świecącego  $A$  i podlegających odbiciom lub załamaniom na dowolnych powierzchniach rozdziału  $P_1, P_2, \dots$ , oddzielających środowiska jednorodne i równokierunkowe o współczynnikach załamania  $n_1, n_2, \dots$  (rys. 27). Przetnijmy te promienie powierzchniami  $S', S, \dots$  tak dobranymi, aby drogi optyczne wszystkich promieni, mie-



Rys. 27

rzony od punktu  $A$  do punktów przecięcia z daną powierzchnią  $S$ , miały dla danej powierzchni tę samą wartość, aby więc dla danej powierzchni ( $np$ )  $S$

$$L = n_1 r_1 + n_2 r_2 + n_3 r_3 + \dots = L'_0 = n_1 r'_1 + n_2 r'_2 + n_3 r'_3 + \dots = K = \text{stałej} \quad (3)$$

Różnym wartościom tej stałej będą odpowiadały różne powierzchnie  $S$ , które, oczywiście, nie mogą się wzajemnie przecinać. Powierzchnie te



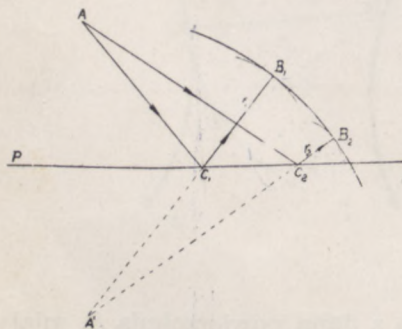
nazwiemy powierzchniami falowymi, nie nadając jednak tymczasem temu terminowi żadnego znaczenia fizycznego i uważając powierzchnie te za twór wyłącznie geometryczny. Opierając się na zasadzie Fermata, udowodnimy, że promienie, wychodzące z tego samego źródła świetlnego (izogeniczne, gr. izos, równy, jednakowy, genos — ród, pochodzenie), odbijające się i załamujące na dowolnych powierzchniach rozdziału są zawsze normalne do każdej powierzchni falowej. Wniosek ten znany jest pod nazwą twierdzenia Malusa.

Opiszmy z punktu padania dowolnego promienia wychodzącego z  $A$ , np. z punktu  $B'_2$  promieniem  $B'_2C'_2$  kulę styczną w punkcie  $C'_2$  do  $S$ ; prosta  $B'_2C'_2$ , normalna do  $S$ , stanowić będzie wtedy przedłużenie optyczne promienia  $AB'_2$ . Istotnie, droga optyczna  $AB'_2C'_2$  ma tę samą długość, co droga  $AB'_2B'_2C'$ ,  $C'$  jednak leży na powierzchni  $S'$ , na której stała wzoru (3) ma wartość  $K'$  mniejszą, niż  $K$  na powierzchni  $S$ , droga zatem  $AB'_2B'_2C'$  nie jest rzeczywistą drogą promienia, zawsze bowiem możemy znaleźć między punktami  $A$  i  $C'$  drogę krótszą od  $K$ , równego drodze optycznej  $AB'_2B'_2C'$ . Podobnie będzie ze wszystkimi punktami kuli, opisanej z  $B'_2$  z wyjątkiem punktu  $C'_2$ . Prosta  $B'_2C'_2$ , prostopadła do  $S$ , jest istotną drogą promienia  $AB'_2$  w środowisku  $n_3$ .

Odwrotnie, biorąc za punkt wyjścia twierdzenie Malusa, moglibyśmy, czego tu robić nie będziemy, wyprowadzić zasadę Fermata i, co za tym idzie, prawa Descartes'a. Sprawdźmy to na następujących prostych przykładach odbicia i załamania się promieni.

Niech powierzchnią odbijającą będzie płaszczyzna  $P$ , źródłem zaś światła punkt  $A$  (rys. 28). Opiszmy z punktów padania promieni kule o promieniach tak dobranych, aby  $AC_1 + C_1B_1 = AC_2 + C_2B_2 =$  stałej. Powierzchnia styczna do tych kul w punktach  $B_1B_2$  — ich obwiednia — będzie powierzchnią falową, drogi bowiem optyczne  $AC_1B_1, AC_2B_2 \dots$  będą miały we wszystkich jej punktach tę samą wartość.

Bieg promieni po odbiciu nie uległby żadnej zmianie, gdybyśmy usunęli płaszczyznę  $P$  i zastąpili punkt  $A$  symetrycznym do niego względem płaszczyzny  $P$  punktem  $A'$ , leżącym w tym



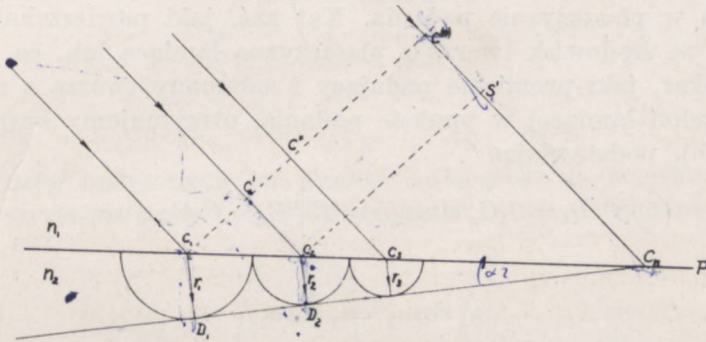
Rys. 28

samym środowisku co  $A$ . Wtedy bowiem drogi optyczne  $A'C_1B_1, A'C_2B_2 \dots$  również byłyby równe, powierzchnia falowa przechodziłaby więc przez te same punkty  $B_1, B_2 \dots$ . Wtedy jednak ta powierzchnia falowa byłaby kulą, gdyż powierzchnia prostopadła do promieni rozchodzących się z jednego



punktu w jednorodnym środowisku jest kulą. Taki też przeto kształt ma i powierzchnia falowa promieni odbitych. Stąd wynika, że promienie odbite  $C_1B_1, C_2B_2, \dots$  stanowią przedłużenie promieni urojonych  $A'C_1, A'C_2, \dots$ , zatem kąt padania jest równy kątowi odbicia, a promienie padający i odbity leżą w jednej płaszczyźnie.

Niech teraz płaska powierzchnia rozdziału będzie powierzchnią łamiącą, (rys. 29) oddzielającą środowisko o współczynniku  $n_1$  od środowiska



Rys. 29

o współczynniku  $n_2$ . Przyjmijmy dla uproszczenia, że punkt świecący  $A$  jest dostatecznie odległy od  $P$ , abyśmy mogli uważać promienie, padające na powierzchnię łamiącą, za równoległe, powierzchnie zaś falowe tych promieni za płaszczyzny. Opiszmy z punktów padania  $C_1, C_2, \dots$  kule o promieniach  $r_1, r_2, \dots$  tak dobranych, aby

$$n_2 r_1 = n_1 \cdot C'_1 C_2 + n_2 r_2 = n_1 \cdot C'' C_3 + n_2 r_3 = \dots = n_1 \cdot C^{(n)} C_n \quad (a)$$

Obwiednią tych kul, styczną do nich w punktach  $D_1, D_2, \dots$ , a więc powierzchnią falową promieni w środowisku drugim jest płaszczyzna. Mamy bowiem ze wzoru (a), podstawiając  $C_1 D_1 = r_1, C_2 D_2 = r_2, \dots$

$$n_2 \cdot C_1 D_1 = n_1 \cdot C^{(n)} C_n \quad (b)$$

$$n_2 \cdot C_2 D_2 = n_1 \cdot C^{(n)} C_n - n_1 \cdot C' C_2 = n_1 (C^{(n)} C_n - C' C_2) = n_1 S' C_n,$$

skąd

$$\frac{C_1 D_1}{C_2 D_2} = \frac{C^{(n)} C_n}{C_n S'}$$

Z trójkątów prostokątnych  $C_1 C^{(n)} C_n$  i  $C_2 S' C_n$  otrzymujemy

$$\frac{C^{(n)} C_n}{S' C_n} = \frac{C_1 C_n}{C_2 C_n},$$



tak, że ostatecznie mamy

$$\frac{C_1 D_1}{C_2 D_2} = \frac{C_1 C_n}{C_2 C_n}.$$

Ślad zatem powierzchni falowej na płaszczyźnie rysunku jest linią prostą; powierzchnia falowa promieni załamanych jest, podobnie jak powierzchnia falowa promieni padających, falą płaską. Promienie załamane leżą przeto w płaszczyźnie padania. Kąt zaś, jaki powierzchnie falowe w każdym ze środowisk tworzą z płaszczyzną łamiącą lub, co na jedno wychodzi, kąt, jaki promienie padający i załamany tworzą z normalną do powierzchni łamiącej w punkcie padania, otrzymujemy bezpośrednio ze wzoru (b), podstawiając

$$C_1 D_1 = C_1 C_n \sin a_2 \quad \text{i} \quad C^{(n)} C_n = C_1 C_n \sin a_1,$$

skąd mamy

$$n_2 \sin a_2 = n_1 \sin a_1,$$

zgodnie z prawem Descartes'a.

Twierdzenie Malusa, zasada Fermata i prawo Descartes'a są więc całkowicie równoważne i obowiązują w tych samych granicach, w jakich bez znaczniejszego błędu można prawo prostoliniowego rozchodzenia się światła uważać za słuszne.

We wszystkich tych przypadkach badanie biegu promieni odbitych i załamanych sprowadza się do rozważań wyłącznie geometrycznych, skąd też nazwa optyki geometrycznej, jaką nadajemy tej części fizyki.

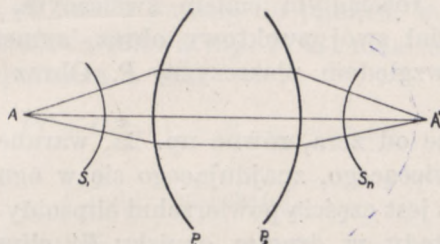
#### 4. POWSTAWANIE OBRAZÓW. — WARUNEK STYGMATYZMU

Jeżeli promienie wychodzące ze świecącego punktu  $A$  po szeregu odbić i załamań przetną się znów w jednym punkcie  $A'$ , punkt  $A'$  będzie obrazem punktu  $A$ , układ zaś powierzchni odbijających i załamujących dane promienie — układem stygmatycznym (gr. i łac. stigma — piętno).

Aby tak było, powierzchnie falowe w ostatnim środowisku — tym, w którym powstaje obraz  $A'$  — muszą być kulami współśrodkowymi o środku w punkcie  $A'$ , tylko wtedy bowiem promienie, wychodzące z układu i prostopadłe do powierzchni falowej, przecinają się w jednym punkcie. Niech  $P_1, P_2 \dots P_n$  będą powierzchniami rozdziału,  $S_n$  — kulistą powierzchnią falową w ostatnim środowisku. Gdy powierzchnia ta zwrócona jest do oka obserwatora wklęsłością, obraz  $A'$  jest obrazem rzeczywistym, w którym istotnie przecinają się promienie, wy-

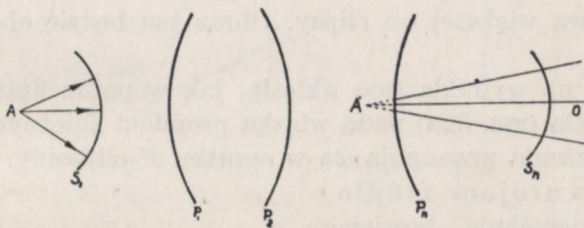


chodzące z układu (rys. 30); gdy powierzchnia ta zwrócona jest wypukłością, obraz  $A'$  jest obrazem urojonym, w którym przecinają się przedłużenia promieni wychodzących (rys. 31). W obu przypadkach



Rys. 30

długości dróg optycznych od punktu świecącego  $A$  do jego obrazu  $A'$  są dla wszystkich promieni, wychodzących z  $A$  i przechodzących przez



Rys. 31

układ, jednakowe, jak to wynika z określenia powierzchni falowej i faktu, że wszystkie punkty powierzchni  $S_n$  są jednakowo odległe od  $A'$ . Mamy więc

$$L_{AA'} = n_1 r_1 + n_2 r_2 + n_3 r_3 + \dots + n_n r_n = \text{stałej.} \quad (4)$$

W przypadku, gdy promienie podlegają w układzie jedynie odbiciu, a więc gdy powierzchnie rozdziału są zwierciadłami,

$$n_1 = n_2 = \dots = n_n$$

$$\text{i} \quad L_{AA'} = r_1 + r_2 + \dots + r_n = \text{stałej.} \quad (4a)$$

Tęgo rodzaju układ nazywamy katoptrycznym.

W prostym przypadku jednej powierzchni odbijającej warunek stygmatyzmu wyraża się wzorem

$$L_{AA'} = r_1 + r_2 = \text{stałej} = C \quad (4b)$$

Kładąc  $C=0$ , znajdujemy, że

$$r_1 = -r_2,$$

a więc przypadek, rozpatrywany w ustępie poprzednim, płaskiej powierzchni odbijającej, gdzie drogi optyczne po stronie przeciwnej, do tej



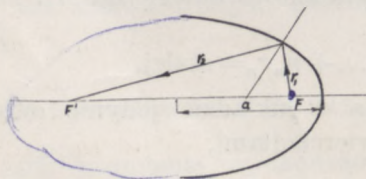
po której znajduje się punkt świecący  $A$ , bierzemy ze znakiem ujemnym (rys. 28). Warunek ten będzie spełniony dla każdego położenia punktu  $A$  względem powierzchni  $P$ . Jeżeli więc punkt  $A$  zastąpimy szeregiem punktów świetlnych lub rozciąglącym ciałem świecącym, każdy z punktów tego ciała będzie miał swój punktowy obraz, symetryczny do danego punktu świetlnego względem płaszczyzny  $P$ . Obraz ten będzie zawsze obrazem urojonym.

Jeżeli  $C$  jest różne od zera, równe np.  $2a$ , warunek (4b) będzie spełniony dla punktu świecącego, znajdującego się w ognisku  $F$  zwierciadła, którego powierzchnia jest częścią powierzchni elipsoidy obrotowej (rys. 32). Obraz powstanie wtedy w drugim ognisku  $F'$  elipsoidy, dla każdego bowiem promienia, wychodzącego z  $F$  i dochodzącego do  $F'$ , będziemy mieli

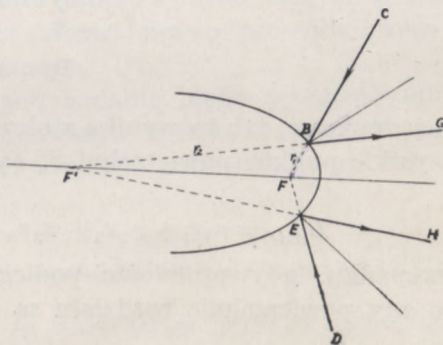
$$r_1 + r_2 = 2a,$$

gdzie  $a$  — połowa większej osi elipsy. Obraz ten będzie obrazem rzeczywistym.

Niech teraz na wypukłą (nie wklęsłą, jak w poprzednim przypadku) stronę zwierciadła (rys. 32a) pada wiązka promieni zbieżnych  $CB, DE, \dots$ , których przedłużenia przecinają się w ognisku  $F$  elipsoidy. Punkt  $F$  możemy uważać za urojone źródło światła, powierzchnie bowiem falowe promieni padających są kulami o wspólnym środku w  $F$ . Przedłużenia promieni odbitych



Rys. 32



Rys. 32a

$BG, EH, \dots$  przecinać się będą w punkcie  $F'$  drugim ognisku elipsoidy, gdyż drogi optyczne (tym razem urojone)

$$r_1 + r_2$$

będą miały dla wszystkich promieni tę samą wartość. Urojone więc źródło światła da w takim zwierciadle urojony swój obraz.

Jeżeli zwierciadło eliptyczne zastąpimy hiperbolicznym i umieścimy punkt świecący tak, aby promienie odbijały się od wklęsłej strony zwier-



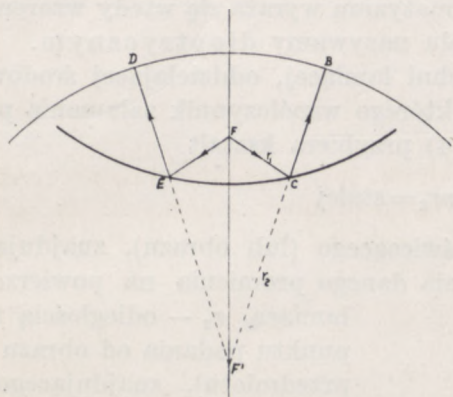
ciadła (rys. 33), promienie odbite dadzą obraz urojony w drugim ognisku  $F'$ . Istotnie, opiszmy z  $F'$  kulę promieniem  $F'B=R$ . Aby kula ta była powierzchnią falową promieni odbitych, droga optyczna każdego promienia, mierzona od źródła światła do punktu, w którym dany promień przecina powierzchnię falową (np.  $FCB$ ) musi mieć dla wszystkich promieni wartość jednakową a więc

$$FC + CB = r_1 + R - r_2 = \text{stałe},$$

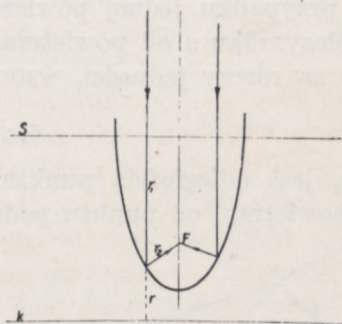
skąd

$$r_1 - r_2 = \text{stałe},$$

temu zaś warunkowi czynią zadość ogniska hiperboli. Odwrotnie, gdy promieniami padającymi są  $BC, DE\dots$ , których przedłużenia przeci-



Rys. 33



Rys. 34

nają się w  $F'$ , a więc gdy punkt świecący jest urojony, promienie odbite przetną się w  $F$ , dając obraz rzeczywisty tego punktu.

Gdy źródło światła jest w nieskończoności, gdy więc promienie padające są równoległe, warunkowi stygmatyzmu czynić będzie zadość powierzchnia zwierciadłana, stanowiąca część paraboloidy obrotowej, o osi równoległej do kierunku promieni. Obraz rzeczywisty powstanie w ognisku parabol  $F$  (rys. 34).

Niech  $S$  będzie płaską powierzchnią falową promieni padających, prostopadłą w myśl założenia do osi paraboloidy i równoległą do płaszczyzny kierowniczej  $K$  paraboloidy. Zgodnie z określeniem powierzchni falowej drogi optyczne wszystkich promieni od nieskończonego punktu świecącego do danej powierzchni  $S$  są jednakowe, pozostałe zaś drogi

$$r_1 + r_2,$$

jakie każdy z promieni przebiega od tej powierzchni do zwierciadła i po odbiciu do ogniska  $F$ , są też wzajemnie równe; z własności bowiem pa-



raboli wynika, że każdy z jej punktów znajduje się w tej samej odległości od kierownicy, co i od ogniska, tak że mamy

$$r_2 = r,$$

z drugiej zaś strony

$$r_1 + r = d$$

wobec czego

$$r_1 + r_2 = \text{stałe}.$$

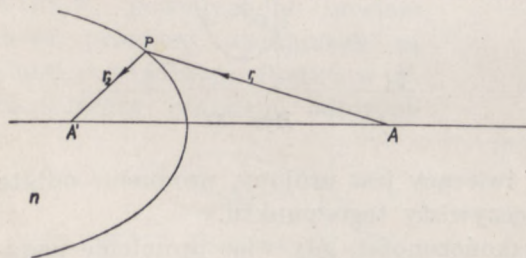
Odwrotnie, gdy punkt świecący znajduje się w ognisku paraboloidy, jego obraz rzeczywisty powstaje w nieskończenie wielkiej odległości od zwierciadła.

Przypuśćmy teraz, że powierzchniami rozdziału środowisk są powierzchnie łamiące. Warunek stygmatyzmu wyraża się wtedy wzorem (4). Układ takich powierzchni rozdziału nazywamy dioptrycznym.

W przypadku jednej powierzchni łamiącej, oddzielającej środowisko o współczynniku  $n$  od powietrza, którego współczynnik załamania przyjmujemy za równy jedności, wzór (4) przybiera kształt

$$r_1 + nr_2 = \text{stałe} \quad (4c)$$

gdzie  $r_1$  jest odległością punktu świecącego (lub obrazu), znajdującego się w powietrzu, od punktu padania danego promienia na powierzchnię



Rys. 36

łamiącą,  $r_2$  — odległością tegoż punktu padania od obrazu (lub przedmiotu), znajdującego się w środowisku o współczynniku  $n$ . Warunkowi temu czynią zadość powierzchnie, których przekrój przez płaszczyznę rysunku jest krzywą, nazywaną owałem Descartes'a (rys. 35). Punkty  $A$  i  $A'$ , wyznaczające położenie

punktu świecącego i obrazu są ogniskami tej krzywej.

Maxwell dał prosty sposób wykreślenia owalów. Niech  $n$  będzie np. 1,5 (co odpowiada współczynnikowi załamania zwykłego szkła). Mamy wtedy

$$r_1 + 1,5r_2 = \text{stałe} \text{ lub } 2r_1 + 3r_2 = \text{stałe}.$$

Przymocujemy nitkę odpowiedniej długości w  $A'$ , okręcemy ją około ołówka  $P$ , następnie jeszcze raz około  $A'$ , naciągamy ją znów na ołówek i prowadzimy do  $A$ , gdzie ją okręcemy, i koniec swobodny przymocujemy do  $P$ . Wodząc ołówkiem, kreślimy owal. Ponieważ długość nitki jest stała, warunek (4c) jest spełniony.

Gdy promienie padające na powierzchnię łamiącą, tworzą wiązkę równoległą, warunkowi stygmatyzmu czyni zadość obrotowa powierzchnia łamiąca o przekroju eliptycznym. Powierzchnia ta daje w ognisku elipsy obraz rzeczywisty, gdy pro-



mienie, idące ze środowiska rzadszego do gęstszego, padają na wypukłą stronę tej powierzchni, urojony, gdy padają na wklęsłą jej stronę. Gdy powierzchnia łamiąca ma kształt hiperboloidy obrotowej, promienie równoległe, idące ze środowiska rzadszego do gęstszego i padające na wklęsłą stronę powierzchni, dają obraz rzeczywisty w ognisku hiperboli, promienie zaś padające na wypukłą stronę — obraz urojony (też w ognisku). Twierzeń tych dowodzić tu nie będziemy.

Z rozważań powyższych wynika, że jedynie płaska powierzchnia odbijająca czyni zażość warunkowi stygmatyzmu przy wszystkich położeniach punktu świetlnego. Inne powierzchnie odbijające i wszystkie powierzchnie łamiące są stygmatyczne jedynie dla pewnych, ściśle określonych położeń punktowego źródła światła.



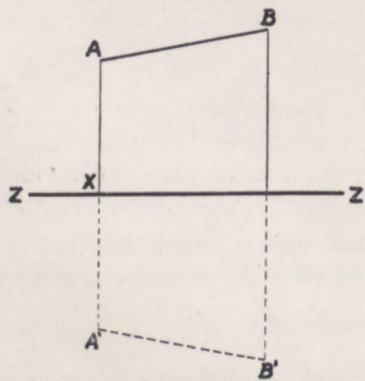
### Rozdział III

## ODBIJANIE I ZAŁAMANIE PROMIENI NA POWIERZCHNIACH PŁASKICH

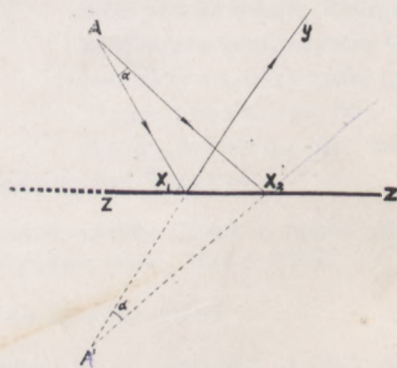
### 1. OBRAZY W ZWIERCIADLE PŁASKIM

Umieścimy przed płaskim zwierciadłem  $ZZ$  rozciągly przedmiot  $AB$  (rys. 36). Dla wyznaczenia położenia obrazu któregośkolwiek punktu przedmiotu, np.  $A$ , wystarczy opuścić z tego punktu prostopadłą  $AX$  do powierzchni odbijającej i odłożyć na niej po drugiej stronie zwierciadła odcinek  $A'X=AX$ . Gdy punkt  $A$  jest tak położony, że prostopadła  $AX$  nie przecina zwierciadła, wtedy odcinek  $A'X$  odkładamy od punktu przecięcia prostopadłej z przedłużeniem powierzchni zwierciadła (rys. 37). Punkt  $A'$  jest, jak to łatwo sprawdzić, i w tym przypadku obrazem punktu  $A$ .

Punkty  $A$  i  $A'$  są punktami sprzężonymi. Każdemu promieniowi, np.  $AX_1$ , wychodzącemu z punktu  $A$  i padającemu na zwierciadło, odpowiada promień (w tym przypadku urojony)  $A'X_1$ , przecho-



Rys. 36



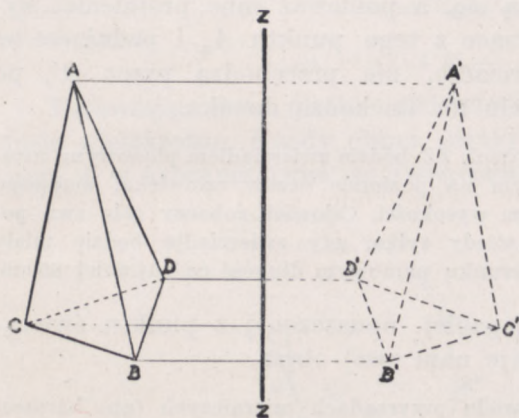
Rys. 37

dzący przez punkt  $A'$  i stanowiący przedłużenie promienia odbitego  $X_1Y$ . Promienie  $AX_1$  i  $A'X_1$  są promieniami sprzężonymi. Kąt  $\alpha$  jaki tworzą ze sobą dwa dowolne promienie, wychodzące z  $A$ , jest, jak to,

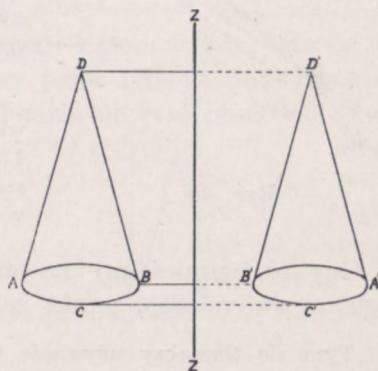


bez trudu można udowodnić, równe kąty, jaki tworzą odpowiednie promienie sprzężone. Zbieżność wiązki promieni, której miarą jest kąt między skrajnymi jej promieniami, nie ulega na skutek odbicia zmianie; stosunek przeto zbieżności wiązki padającej i odbitej ma dla wszystkich wiązek, wychodzących z  $A$  wartość jednakową, równą jedności.

Stąd wynika, że obraz jest równy i podobny do przedmiotu. Układy optyczne, dające obrazy podobne geometrycznie do przedmiotów, nazywamy ortoskopowymi (gr. orthos — prosty, skopejn — patrzyć). Płaska powierzchnia odbijająca jest przeto i stygmatyczna i ortoskopowa dla dowolnego położenia punktu świecącego. Symetryczność jednak obrazu i przedmiotu będzie w tym przypadku szczególnego rodzaju. Punkty, leżące bliżej powierzchni zwierciadła dadzą obrazy bliżej położone, leżące dalej — dalej położone; prawa strona przedmiotu będzie



Rys. 38



Rys. 39

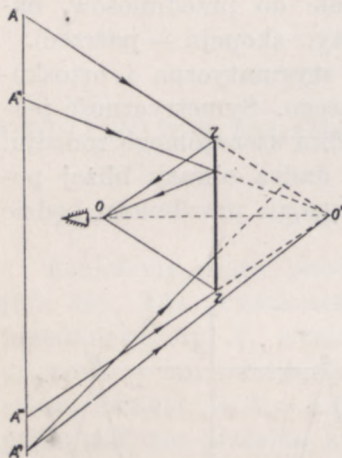
lewą obrazu. Tak np. odbiciem bryły  $ABCD$  (rys. 38) będzie bryła  $A'B'C'D'$ , równa i podobna, której jednak nie będzie można nałożyć na bryłę  $ABCD$  ani przez przesunięcie obrazu równoległe do niego samego ani przez obrót dookoła osi równoległej do płaszczyzny zwierciadła ani też przez oba te ruchy razem. Jeżeli jednak przedmiot jest bryłą symetryczną względem płaszczyzny prostopadłej do powierzchni zwierciadła, np. ostrosłupem  $ABCD$  wtedy wystarczy obraz obrócić o  $180^\circ$  dookoła osi, leżącej w jego płaszczyźnie symetrii, aby otrzymać bryłę, którą można przez równoległe przesunięcie nałożyć na bryłę  $ABCD$ . Brył o takich własnościach jest bardzo wiele, że wymienimy tytułem przykładu sześciąt i kołowy stożek prosty (rys. 39); do nich należy i ciało ludzkie.

Symetria przedmiotu i jego obrazu w zwierciadle płaskim jest szczególnym przypadkiem tzw. symetrii drugiego rodzaju\*.

\* M. Grotowski. Wykłady fizyki. Tom II. Rozdz. III, ust. 12.



Pole zwierciadła to znaczy ta część przestrzeni, którą przez odbicie możemy widzieć jednocześnie w zwierciadle, zależy zarówno od położenia oka obserwatora, jak i rozmiarów zwierciadła. Pole to ograniczone jest stożkiem, którego wierzchołek leży w punkcie  $O'$ , odbicia oka w zwierciadle, tworzące zaś przechodzą przez obwód zwierciadła. Promienie, wychodzące z punktów świecących  $A', A'', A'''$  (rys. 40) i przechodzące przez punkt  $O'$ , po odbiciu przechodzą przez oko  $O$ ; gdyby bowiem  $O$  było przedmiotem świecącym,  $O'$  — jego obrazem, każdy promień wychodzący z  $O$  po odbiciu przechodziłby przez  $O'$ . Promienie  $A_n O'$ , przechodzące przez  $O'$  poza stożkiem, nie trafiają w powierzchnię zwierciadła i nie odbijają się, a ponieważ inne promienie, wychodzące z tego punktu  $A_n$  i padające na zwierciadło, nie przechodzą przez  $O'$ , po odbiciu nie dochodzą do oka.



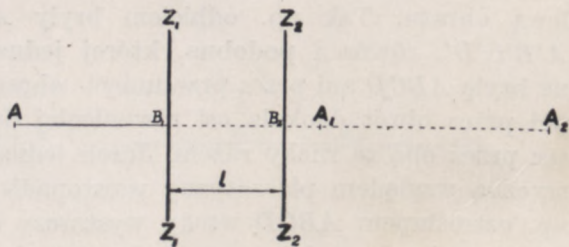
Rys. 40

Niech  $ZZ'$  będzie zwierciadłem pionowym, ustawionym na poziomie oczów człowieka, mającego 170 cm wysokości. Człowiek zobaczy całą swą postać wtedy tylko, gdy zwierciadło będzie miało w kierunku pionowym długość co najmniej 85 cm.

Gdy oko umieścimy na prostopadłej, opuszczonej z punktu świecącego na zwierciadło, punkt zakryje nam swój obraz.

Tym się tłumaczy używanie w wielu przyrządach mierniczych (np. barometrach rtęciowych) podziałek wytrawionych na zwierciadle. Chcąc dokładnie odczytać położenie danego przedmiotu (np. górnego meniska słupka rtęci) na skali, ustawiamy oko tak, aby nie widzieć odbicia przedmiotu w zwierciadle. Jeżeli jednocześnie nie widzimy odbicia odpowiedniej podziałki, możemy być pewni, że podziałka ta i dany przedmiot leżą na prostopadłej, opuszczonej z oka na powierzchnię zwierciadła.

Przesuwając zwierciadło równoległe do niego samego z początkowego położenia  $Z_1 Z_1$  (rys. 41) do odległego o  $l$  położenia  $Z_2 Z_2$ , powodujemy przesunięcie się obrazu o  $2l$ . Mamy bowiem



Rys. 41

skąd

$$A_2 B_2 = A B_2 = A B_1 + l = B_1 A_1 + l = l + B_2 A_1 + l,$$

$$B_2 A_2 - B_2 A_1 = A_1 A_2 = 2l \quad (1)$$



Obracając zwierciadło koło osi  $O$ , leżącej w płaszczyźnie zwierciadła (rys. 42, gdzie oś obrotu jest prostopadła do płaszczyzny rysunku), otrzymamy obrazy  $A'A''\dots$ , leżące w tej samej, co punkt świecący  $A$  odległości od osi, a więc rozmieszczone na obwodzie koła o promieniu  $OA$ . Obrotowi zwierciadła o kąt  $\alpha$  odpowiadać będzie obrót prostej  $OA'$  o kąt  $2\alpha$  do położenia  $OA''$ . Gdy zwierciadło wykonywa  $n$  obrotów na minutę, obraz wykonywa  $2n$  obrotów.

Oznaczając przez  $\beta$  kąt, jaki prosta  $OA$  tworzy z prostą  $OB_1$  mamy na długość łuku  $A'B_1$  wzór

$$\cup AB_1 = \cup A'B_1 = OA \cdot \beta,$$

skąd

$$\cup AB_2 = OA(a + \beta)$$

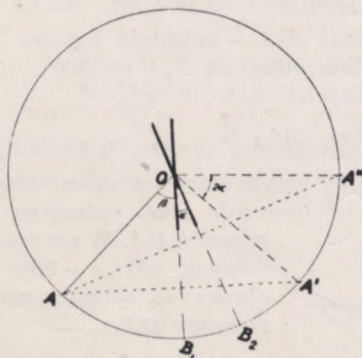
Długość łuku  $A''B_2$  równa długości łuku  $AB_2$  wynosi

$$\cup A''B_2 = OA(a + \beta),$$

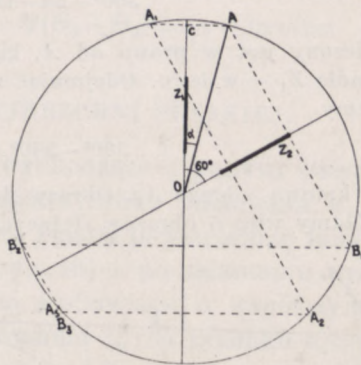
wobec czego

$$\cup A'A'' = \cup A'B_2 + \cup B_2A'' = OA \cdot 2a.$$

Ustawiając dwa płaskie zwierciadła pod kątem  $\Theta$  otrzymamy odbicie wielokrotne. Każdy obraz, otrzymany przez odbicie punktu świetlnego  $A$  w którymkolwiek ze zwierciadeł, będzie nowym punktem świetl-



Rys. 42



Rys. 43

nym (urojonym), odbijającym się w zwierciadle drugim. Gdy np. kąt  $\Theta = 60^\circ$ , otrzymamy 5 obrazów, co łącznie z punktem świecącym (rzeczywistym)  $A$  da nam 6 punktów świetlnych.

Niech  $O$  oznacza ślad prostej, wzdłuż której przecinają się płaszczyzny zwierciadeł, prostopadłe do płaszczyzny rysunku (rys. 43) i niech  $\sphericalangle Z_1OA$ , wyznaczający odległość kątową punktu świetlnego  $A$  od zwierciadła  $Z_1$ , będzie równy  $\alpha$ , kąt zaś  $Z_1OZ_2 = 60^\circ$ . Obraz  $A_1$  punktu  $A$  w zwierciadle  $Z_1$  powstaje po drugiej stronie zwierciadła w tej samej, co  $A$ , odległości kątowej od  $Z_1$ . Odległość obrazu  $A_1$  od  $O$  równa jest odległości punktu  $A$  od  $O$ , z trójkątów bowiem  $OA_1C$  i  $OAC$  otrzymujemy

$$OA_1 = \frac{OC}{\cos \alpha} = OA.$$



Obraz  $A_1$  daje w zwierciadle  $Z_2$  obraz  $A_2$ , leżący w tej samej odległości od  $O$  co  $A_1$ . Odległość kątowna  $A_1$  od  $Z_2$  wynosi  $60^\circ + a$ , odległość zatem  $A_2$  od  $A$

$$120^\circ + 2a - 2a = 120^\circ.$$

Odbicie  $A_2$  w zwierciadle  $Z_1$  daje obraz  $A_3$ . Odległość kątowna  $A_2$  od  $Z_1$  wynosi  $120^\circ + a$ , wobec czego odległość kątowna  $A_3Z_1A_2$  równa jest  $240^\circ + 2a$ , odległość zatem  $A_3A$

$$240^\circ + 2a - 120^\circ = 120^\circ + 2a.$$

W zwierciadle  $Z_2$  obraz  $A$  powstaje w punkcie  $B_1$ , leżącym od  $O$  w tej samej odległości, co  $A$ ; odległość kątowna  $B_1Z_2 = 60^\circ - a$ , skąd  $B_1A = 120^\circ - 2a$ . Odbicie  $B_1$  w zwierciadle  $Z_2$  daje obraz  $B_2$ . Odległość kątowna  $B_1Z_1$  równa jest  $120^\circ - a$ , wobec czego  $B_2B_1$  wynosi  $240^\circ - 2a$  i  $B_2A$

$$240^\circ - 2a - 120^\circ + 2a = 120^\circ,$$

a zatem punkt ten leży symetrycznie do  $A_2$  względem płaszczyzny prostopadłej do płaszczyzny rysunku i przechodzącej przez  $OA$ .

Odbicie  $B_2$  w zwierciadle  $Z_2$  daje obraz  $B_3$ . Odległość kątowna  $B_2Z_2$  równa jest

$$120^\circ + \sphericalangle AOZ_2 = 180^\circ - a$$

wobec czego odległość  $B_3B_2$  wynosi  $360^\circ - 2a$  i wreszcie odległość kątowna  $B_3A$

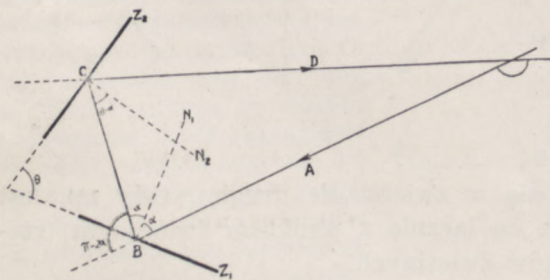
$$360^\circ - 2a - 120^\circ = 240^\circ - 2a,$$

kąt ten liczony jest w prawo od  $A$ , kąt zaś  $A_3A$  — odległość kątowna obrazu  $A_3$  w zwierciadle  $Z_1$  — w lewo. Odejmując zatem odległość  $B_3A$  od  $360^\circ$  otrzymujemy

$$360^\circ - 240^\circ + 2a = 120^\circ + 2a$$

odległość kątowną obrazu  $A_3$ . Obrazy  $A_3$  i  $B_3$  przypadają zatem w tym samym punkcie. Mamy więc 5 obrazów, leżących na obwodzie koła, opisanego z  $O$  promieniem  $OA$ . W przypadku szczególnym, gdy  $a = 30^\circ$ , wszystkie

obrazy są symetryczne do płaszczyzny  $OA$ .



Rys. 44

Odchylenie od pierwotnego kierunku, jakiego doznaje promień na skutek odbicia kolejno od dwóch tworzących dowolny kąt  $\theta$  zwierciadeł, (rys. 44) jest sumą odchylenia przy odbiciu od

zwierciadeł poszczególnych. Niech  $a$  będzie kątem padania na zwierciadło  $Z_1$  promienia  $AB$ , promień odbity tworzy z kierunkiem promienia padającego kąt  $\pi - 2a$ . Kąt padania na zwierciadło  $Z_2$  jest równy

$$\pi - (\pi - \theta) - a = \theta - a,$$



promień  $CD$  tworzy więc z promieniem  $BC$  kąt

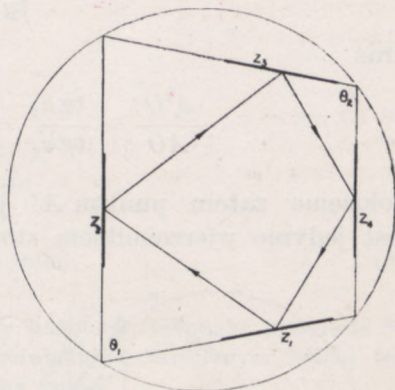
$$\pi - 2\theta + 2\alpha,$$

z promieniem zaś  $AB$

$$\pi - 2\theta + 2\alpha + \pi - 2\alpha = 2\pi - 2\theta. \quad (2)$$

Odchylenie jest przeto niezależne od kąta padania, zależy jedynie od kąta, jaki tworzą płaszczyzny zwierciadeł. Promień odbity kolejno od czterech płaskich zwierciadeł, ustawionych w ten sposób, aby przecięcie ich płaszczyzn płaszczyzną padania dawało czworobok, wpisany w koło (rys. 45) posiada ostatecznie ten sam, co poprzednio kierunek. Odchylenie bowiem wyrazi się wzorem

$$(2\pi - 2\theta_1) + (2\pi - 2\theta_2) = 4\pi - 2(\theta_1 + \theta_2) = 4\pi - 2\pi = 2\pi$$

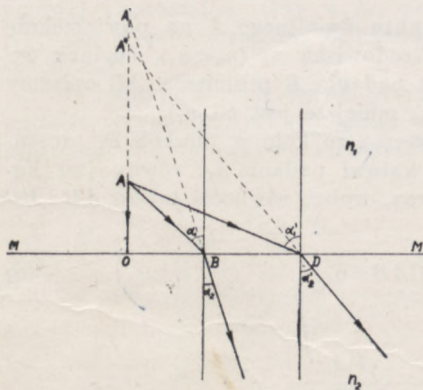


Rys. 45

## 2. ZAŁAMANIE NA POWIERZCHNI PŁASKIEJ

Przypuśćmy teraz, że promienie, wychodzące z punktu świetlnego  $A$ , znajdującego się w środowisku o współczynniku załamania  $n_1$ , padają na płaską powierzchnię łamiącą  $MM$  (rys. 46) i po załamaniu przechodzą do środowiska o współczynniku załamania  $n_2$  (na rysunku  $n_2 > n_1$ ). Promień  $AB$ , padający na powierzchnię rozdziálu pod kątem  $\alpha_1$ , załamuje się pod kątem  $\alpha_2$ , związanym z  $\alpha_1$  wzorem Descartes'a,

$$\frac{\sin \alpha_1}{\sin \alpha_2} = \frac{n_2}{n_1}$$



Rys. 46

Przedłużenia tego promienia oraz promienia  $AO$ , padającego prostopadle wzdłuż tzw. osi powierzchni łamiącej dla punktu  $A$ , przecinają się w punkcie  $A'$ . Punkt ten byłby więc obrazem urojonym punktu  $A$ ,



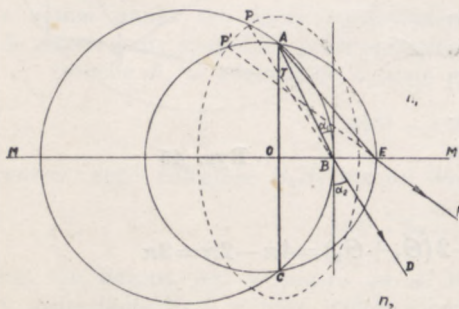
gdyby przedłużenia wszystkich promieni załamujących się ( $AO, AB, AD\dots$ ) przecinały się w tym punkcie. Tak jednakże nie jest, mamy bowiem

$$AO = OB \cdot \frac{1}{\operatorname{tg} a_1} \quad \text{i} \quad A'O = OB \cdot \frac{1}{\operatorname{tg} a_2}$$

oraz

$$\frac{A'O}{AO} = \frac{\operatorname{tg} a_1}{\operatorname{tg} a_2} = \frac{\sin a_1 \cdot \cos a_2}{\sin a_2 \cdot \cos a_1} = \frac{n_2 \cdot \cos a_2}{n_1 \cdot \cos a_1},$$

położenie zatem punktu  $A'$  jest funkcją kąta padania  $a_1$ . Punkt  $A'$  jest jedynie wierzchołkiem stożka promieni załamanych pod kątem  $a_2$ , a więc padających pod kątem  $a_1$ . Promienie, padające pod innymi kątami (np.  $a'_1$  promień  $AD$ ), przecinają oś w innych punktach. Płaska powierzchnia łamiąca jest, jak to można było przewidzieć z góry na podstawie rozważań ust. rozdz. II, powierzchnią astygmatyczną.



Rys. 47

Miejscem geometrycznym przecięcia się poszczególnych wiązek promieni jest pewna powierzchnia, która

w rozpatrywanym przez nas przypadku astygmatyzmu spowodowanego przez załamanie, nosi nazwę diakaustyki (gr. kaustikos — palący).

Odlóżyśmy na normalnej, opuszczonej z punktu świetlnego  $A$  na powierzchnię rozdziału  $MM$ , oddzielającą środowisko  $n_1$  od środowiska  $n_2$  ( $n_2 < n_1$ ), odcinek  $OC$  równy  $AO$  i przez punkty  $A, C$  oraz punkt padania  $B$  promienia  $AB$  opiszmy koło, którego cięciwą jest  $AC$  (rys. 47), gdzie  $n_2$  mniejsze jest od  $n_1$ .

Przedłużenie promienia załamanego  $BD$  przecina to koło w punkcie  $P$ , prostopadłą zaś  $AO$  w punkcie  $T$ . Kąt  $CAB$ , równy kątowi padania  $a_1$ , równy jest kątowi  $CPB$ , opierającemu się o ten sam łuk  $CB$ , oraz, wobec równości łuków  $AB$  i  $BC$  kątowi  $BPA$ , tak że mamy

$$\sphericalangle CPB = \sphericalangle BPA = \sphericalangle CAB = a_1 \quad (\text{a})$$

Z trójkąta  $TPA$  znajdujemy

$$\frac{AT}{\sin TPA} = \frac{AT}{\sin BPA} = \frac{PA}{\sin PTA}$$

lub, uwzględniając równość (a) oraz to, że  $PTA = a_2$ ,

$$\frac{AT}{PA} = \frac{\sin a_1}{\sin a_2} = \frac{n_2}{n_1} \quad \text{i} \quad n_1 \cdot AT = n_2 \cdot PA \quad (\text{b})$$



Promień  $BP$  jest dwusieczną kąta  $CPA$ , tak że mamy

$$CP:CT = PA:AT,$$

$$\frac{CP}{CT} = \frac{PA}{AT} = \frac{n_1}{n_2},$$

skąd

$$n_1 CT = n_2 CP. \quad (c)$$

Dodając (b) i (c) otrzymujemy

$$n_1(AT + CT) = n_2(PA + CP)$$

$$n_1 AC = n_2(PA + CP)$$

lub

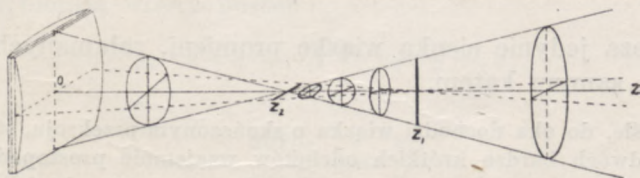
$$PA + CP = \frac{n_1}{n_2} AC = \text{stałej}. \quad (d)$$

Biorąc inny punkt padania (np.  $E$ ) znaleźlibyśmy podobnie, że punkt przecięcia  $P'$  przedłużonego promienia załamanego  $EF$  z odpowiednio nakreślonym kołem też czyniłby zadość warunkowi (d), tak że mielibyśmy znów

$$P'A + CP' = \frac{n_1}{n_2} AC = \text{stałej}.$$

Miejszem więc geometrycznym punktów  $P$  jest w przypadku przez nas rozpatrywanym ( $n_2 < n_1$ ) elipsa, której ogniskami są punkty  $A$  i  $C$ , długość zaś osi większej równa jest  $\frac{n_1}{n_2} AC$ . Promienie załamane  $BD, EF, \dots$ , jako dwusieczne kątów  $CPA$  i  $CP'A$ , są do niej prostopadłe. Obracając elipsę dookoła osi symetrii  $OA$ , otrzymujemy elipsoidę obrotową, do której wszystkie promienie, wychodzące z  $A$  są po załamaniu na powierzchni  $MM$  prostopadłe. Jest ona więc powierzchnią falową promieni załamanych. Fala kulista staje się przeto po załamaniu na powierzchni płaskiej elipsoidalną. Gdy  $n_2 > n_1$  powierzchnią falową promieni załamanych jest, czego tu wyprowadzać nie będziemy, hiperboloida obrotowa, o tych samych ogniskach  $A, C$ .

W żadnym z tych dwóch przypadków promienie nie przecinają się w jednym punkcie. Wyodrębnijmy (np. przez użycie kolistego ekranu) ciekawą wiązkę promieni, prostopadłych do jakiegoś elementu powierzchni falowej i niech  $OZ$  wyznacza kie-



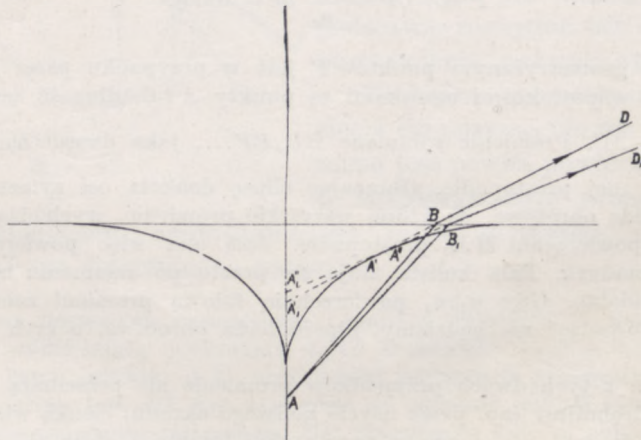
Rys. 48

runek środkowego promienia tej wiązki (rys. 48). Promienie tej wiązki uporządkujemy według dwóch głównych płaszczyzn krzywizny danego elementu powierzchni falowej. Promienie, leżące w tych płaszczyznach, przecinają promień środkowy  $OZ$



w odpowiednich środkach krzywizny tych przekrojów. W tych punktach cała wiązka się spłaszcza, tak że w pobliżu ich możemy uważać promienie za leżące w jednej płaszczyźnie i przechodzące przez dwie proste ( $Z_2$  i  $Z_1$  na rys. 48, gdzie  $Z_2$  odpowiada położeniu środka największej,  $Z_1$  — najmniejszej krzywizny). Są to tzw. ogniskowe wiązki.  $Z_2$  ogniskowa styczna (tangencjalna), prostopadła do płaszczyzny rysunku,  $Z_1$  — ogniskowa radialna (sagitalna — łac. sagitta — strzała), leżąca w płaszczyźnie rysunku. Miejscem geometrycznym tych ogniskowych jest powierzchnia kaustyczna lub w przypadku szczególnym, gdy chodzi o załamanie, diakaustyczna. Powierzchnia ta jest przeto dwupowłokowa. Można ją wykreślić, wyznaczając miejsce geometryczne środków krzywizny danej powierzchni falowej. Rachunku tego wykonywać nie będziemy. Gdy, jak w rozpatrywanym przypadku, powierzchnia falowa jest powierzchnią obrotową, której osią obrotu jest oś symetrii  $AO$  układu optycznego, jedna z powłok kaustyki sprowadza się do odcinka osi — jest to tzw. powłoka zwyrodniała.

W często spotykanym w praktyce przypadku, gdy punkt świecący  $A$  leży w środowisku optycznie gęstszym, diakaustyka ma kształt taki, jak na rys. 49. Promienie załamane  $BD, B_1D_1\dots$  zdają się wychodzić z punktów  $A', A''\dots$ . Mimo to jednak możemy widzieć dokładnie przedmioty, znajdujące się np. pod wodą, niewielkie bowiem pole naszej źre-



Rys. 49.

nicy dopuszcza jedynie cienką wiązkę promieni, załamanych mniej więcej pod tym samym kątem.

Biorąc ściśle, do oka dochodzi wiązka o skończonym przekroju, styczna do kaustyki wzdłuż dwóch bardzo krótkich odcinków wzajemnie prostopadłych. Istotnie przypuścimy, że do oka dochodzą promienie załamane przez niewielki element powierzchni łamiącej, której przecięciem z płaszczyzną rysunku jest  $B_1B$ . Promienie tej wiązki, załamane pod tym samym kątem, co  $B_1D_1$ , przecinają się w tym samym punkcie osi  $A''$ ; punkty ich styczności z diakaustyką leżą na prostej, prostopadłej w punkcie  $A'_1$  do płaszczyzny rysunku, wiązka więc tych promieni wchodzi do oka, da obraz tego odcinka prostej. Podobnie promienie, załamane pod



tym samym kątem, co  $BD$ , przecinają oś w  $A_1'$ , wiązka zatem, leżąca w płaszczyźnie rysunku, utworzy obraz punktu  $A$  w postaci odcinka osi  $A_1'A_1''$ , leżącego w płaszczyźnie rysunku. Odcinki te są właśnie omówionymi wyżej ogniskowymi wiązki. Zamiast więc punktu świecącego  $A$  zobaczymy, wskutek astygmatyzmu powierzchni łamiącej, dwie wzajemnie prostopadłe linijki świetlne.

Obraz punktu świecącego wyda się nam podniesiony i przesunięty w bok. W przypadku, gdy oko umieszczone jest blisko normalnej tak, że do oka dochodzą tylko promienie, wychodzące prawie prostopadle do powierzchni łamiącej, przesunięcie boczne znika, pozostaje jedynie podniesienie ku powierzchni łamiącej.

Niech  $OO$  będzie źrenicą obserwatora (rys. 50),  $A$  — punktem świecącym, umieszczonym w środowisku optycznie gęstszym i leżącym na prostej, przechodzącej przez środek źrenicy. Gdy wiązka promieni, wchodząca do źrenicy, jest dostatecznie cienka, przedłużenia promieni załamanych tej wiązki przecinają się mniej więcej w tym samym punkcie  $A'$ , co promienie skrajne  $A'B$  i  $A'C$ . Powierzchnia łamiąca jest dla tej wiązki w przybliżeniu stygmatyczna. Oznaczmy odległość  $AD$  punktu świecącego od powierzchni łamiącej przez  $x$ , obrazu  $A'D$  przez  $y$ . Z  $\triangle ABD$  i  $\triangle A'BD$  mamy

$$BD = AD \cdot \operatorname{tg} \alpha_1 \quad \text{i} \quad BD = A'D \cdot \operatorname{tg} \alpha_2. \quad (e)$$

Możemy z dostatecznym w tym przypadku przybliżeniem przyjąć

$$\operatorname{tg} \alpha_1 = \alpha_1; \operatorname{tg} \alpha_2 = \alpha_2 \quad \text{oraz} \quad \alpha_1 = \sin \alpha_1, \alpha_2 = \sin \alpha_2.$$

Wzory (e) przybierają wtedy postać

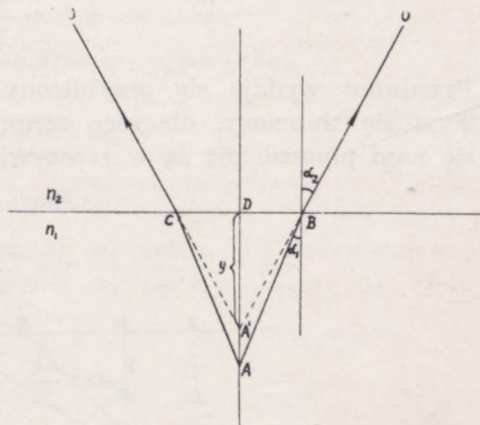
$$AD \cdot \alpha_1 = x \sin \alpha_1 = A'D \cdot \alpha_2 = y \sin \alpha_2,$$

skąd

$$y = x \cdot \frac{\sin \alpha_1}{\sin \alpha_2} = x \cdot \frac{n_2}{n_1}. \quad (3)$$

Pozorne więc wzniesienie obrazu będzie równe

$$AA' = x - y = x - x \frac{n_2}{n_1} = x \frac{n_1 - n_2}{n_1}. \quad (3a)$$



Rys. 50



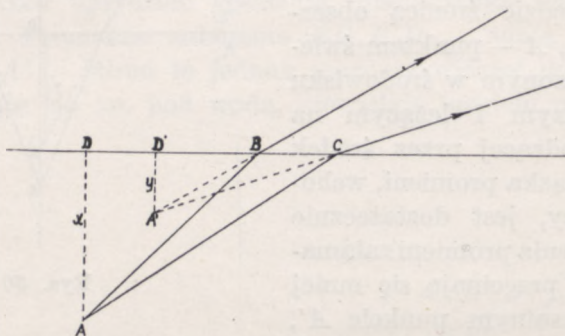
Gdy promienie wychodzą do powietrza,  $n_2 \approx 1$

$$AA' = x \cdot \frac{n-1}{n}.$$

W wodzie  $n_1$  (dla promieni żółtych  $D$  sodu) równe jest mniej więcej 1,33, wzniesienie pozorne wynosi przeto

$$x - y = x \cdot \frac{0,33}{1,33} \approx 0,25x.$$

Przedmiot wydaje się przybliżony o  $\frac{1}{4}$  swej odległości rzeczywistej. Tym się tłumaczy, dlaczego strumienie o przejrzystej wodzie wydają się nam płytsze, niż są w rzeczywistości.



Rys. 51

Umieszczając oko nie na prostopadłej, opuszczonej z punktu świecącego, lecz z boku (rys. 51), widzimy obraz podniesiony i przesunięty. Oznaczmy tak, jak poprzednio, przez  $x$  i  $y$  odległości punktu świecącego  $A$  i obrazu  $A'$  od powierzchni łamiącej, przez  $a = DD'$  boczne przesunięcie obrazu. Z  $\triangle ADB$  i  $\triangle A'D'B$  mamy

$$\frac{DB}{AD} = \frac{a + D'B}{x} = \operatorname{tg} \alpha_1,$$

$$\frac{D'B}{A'D'} = \frac{D'B}{y} = \operatorname{tg} \alpha_2,$$

z  $\triangle ADC$  i  $\triangle A'D'C$

$$\frac{DC}{AD} = \frac{a + D'B + BC}{x} = \operatorname{tg} \alpha'_1; \quad \frac{D'C}{A'D'} = \frac{D'B + BC}{y} = \operatorname{tg} \alpha'_2$$

Z pierwszych dwóch równań otrzymujemy

$$a = x \operatorname{tg} \alpha_1 - y \operatorname{tg} \alpha_2, \quad (f)$$

z dwóch ostatnich

$$a = x \operatorname{tg} \alpha'_1 - y \operatorname{tg} \alpha'_2, \quad (g)$$

skąd

$$y = x \cdot \frac{\operatorname{tg} \alpha_1 - \operatorname{tg} \alpha'_1}{\operatorname{tg} \alpha_2 - \operatorname{tg} \alpha'_2}. \quad (h)$$



Wiązka, wchodząca do źrenicy, ma na ogół rozbieżność niewielką, wobec czego możemy założyć, że

$$a'_1 = a_1 + da_1 \quad \text{i} \quad a'_2 = a_2 + da_2$$

oraz

$$\operatorname{tg} a_1 - \operatorname{tg} a'_1 = d(\operatorname{tg} a_1) = \frac{da_1}{\cos^2 a_1}, \quad (\text{i})$$

$$\operatorname{tg} a_2 - \operatorname{tg} a'_2 = d(\operatorname{tg} a_2) = \frac{da_2}{\cos^2 a_2}.$$

Z prawa Descartes'a znajdujemy, że

$$n_1 d(\sin a_1) = n_1 \cos a_1 da_1 = n_2 d(\sin a_2) = n_2 \cos a_2 \cdot da_2,$$

tak że

$$da_2 = \frac{n_1}{n_2} \cdot \frac{\cos a_1}{\cos a_2} da_1$$

Wzór (h) otrzymamy teraz w postaci następującej

$$y = x \frac{da_1}{\cos^2 a_1} \cdot \frac{\cos^2 a_2}{da_2} = x \cdot \frac{n_2}{n_1} \cdot \frac{\cos^3 a_2}{\cos^3 a_1}$$

i wreszcie po uwzględnieniu, że

$$\cos^2 a_1 = 1 - \frac{n_2^2}{n_1^2} \sin^2 a_2,$$

$$y = x \frac{n_2}{n_1} \left( \frac{\cos^2 a_2}{1 - \frac{n_2^2}{n_1^2} \sin^2 a_2} \right)^{3/2}. \quad (\text{k})$$

Podstawiając tę wartość  $y$  do wzoru (f) znajdziemy, że

$$a = x \frac{n_2}{n_1} \left( 1 - \frac{n_2}{n_1} \right) \left( \frac{\sin^2 a_2}{1 - \frac{n_2^2}{n_1^2} \sin^2 a_2} \right)^{3/2}. \quad (\text{l})$$

Wzór (k), którego wyprowadzenie podaliśmy za Wullnerem, przechodzi we wzór (3), gdy  $a_2 = 0$ , a więc, gdy oko znajduje się na tej samej normalnej, co punkt świecący.

$$y = x \frac{n_2}{n_1}.$$

Przesunięcie boczne w tym przypadku wynosi zero. Gdy  $a_2 = 90^\circ$ , a więc gdy patrzymy w kierunku stycznym do powierzchni łamiącej

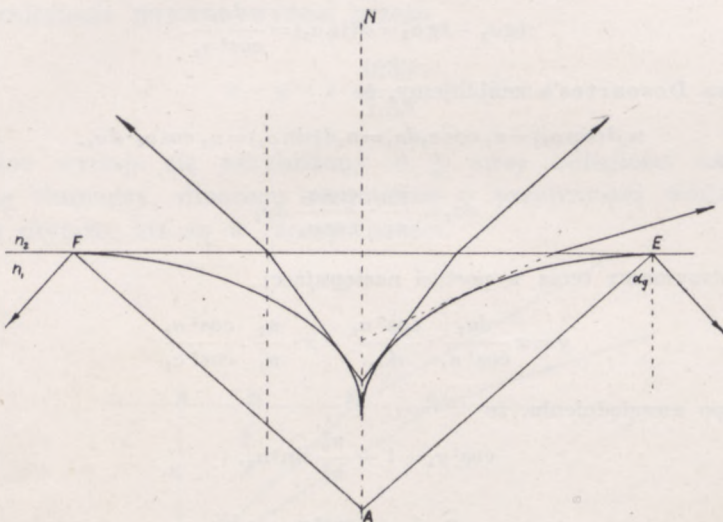
$$y = 0.$$

Obraz leży na samej powierzchni; przesunięcie boczne jest większe od zera, obraz jest przesunięty w kierunku obserwatora.

Promienie, wychodzące z przedmiotu rozciągniętego i przechodzące przez źrenicę, padają na powierzchnię łamiącą pod różnymi kątami, wobec czego obrazy tych punktów są niejednakowo wzniesione i niejednakowo przesunięte, obraz przeto jest zawsze nieco odkształcony.



W rozpatrywanym przez nas przypadku ( $n_1 > n_2$ ), nie wszystkie promienie wychodzące z punktu świecącego, przechodzą do środowiska drugiego. Promieniem granicznym jest promień  $AE$  (rys. 52), padający na powierzchnię rozdziału pod kątem  $\alpha_0$ . Do punktu zaś  $A$  dochodzą wszystkie promienie, wychodzące ze środowiska drugiego i padające na



Rys. 52

powierzchnię rozdziału w punktach powierzchni, leżących wewnątrz krzywej przecięcia stożka  $FAE$  z tą powierzchnią. Obserwator, którego oko umieszczone byłoby w punkcie  $A$ , widziałby wszystkie przedmioty wewnątrz tego stożka, którego przekrój przez powierzchnię łamiącą stanowiłby jakby okno na środowisko drugie. Przedmioty te wydawałyby mu się zatem skrócone w kierunku pionowym, kąt bowiem, jaki tworzą ze sobą promienie, wychodzące z różnych punktów przedmiotu, staje się po załamaniu mniejszy. Pozostała część powierzchni łamiącej byłaby dla obserwatora całkowicie nieprzezroczysta; stanowiłaby doskonale zwierciadło, w którym odbijałyby się przedmioty, znajdujące się w tym samym co obserwator, środowisku.

### 3. ZAŁAMANIE W PŁYTKCE RÓWNOLEGŁOŚCIENNEJ

Promienie, przechodzące przez płytkę równoległościenną, doznają załamań dwukrotnie. Gdy płytkę z obu stron styka się z tym samym środowiskiem, promienie, wychodzące z płytki, mają ten sam kierunek, jaki miały padając na płytkę. Istotnie, kąt padania na drugą po-



wierzchnię łamiącą  $NN$  jest równy kątowi załamania  $a_2$  na pierwszej powierzchni  $MM$  (rys. 53), wobec czego ze wzoru

$$\frac{\sin a'_1}{\sin a'_2} = \frac{n_1}{n_2} = \frac{\sin a_2}{\sin a_1}$$

otrzymujemy

$$\sin a'_2 = \sin a_1$$

i z uwagi, że kąty te nie mogą być większe od  $90^\circ$ ,

$$a'_2 = a_1.$$

Stąd jednak nie wynika, aby płytka taka była układem stygmatycznym, promienie bowiem doznają przesunięcia bocznego  $CD$ .

Z  $\triangle CBD$  mamy

$$CD = \delta = CB \cdot \sin(a_1 - a_2).$$

Z  $\triangle BCE$

$$CB = \frac{d}{\cos a_2},$$

wobec czego

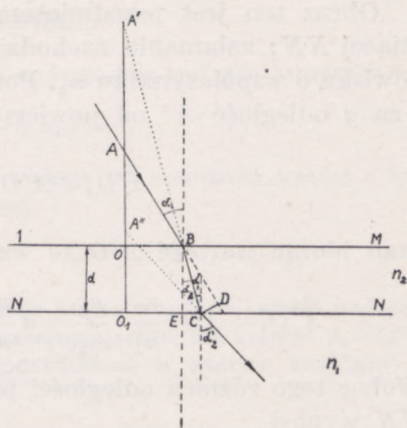
$$\begin{aligned} \delta &= d \frac{\sin(a_1 - a_2)}{\cos a_2} = d \cdot \sin a_1 \left( 1 - \frac{n_1 \cos a_1}{n_2 \cos a_2} \right) = \\ &= d \sin a_1 \left( 1 - n_1 \frac{\cos a_1}{\sqrt{n_2^2 - n_1^2 \sin^2 a_1}} \right), \end{aligned} \quad (4)$$

gdzie  $d$  — grubość płytki.

Promienie, padające na płytkę pod różnymi kątami  $a_1$  przecinają promień  $AOO_1$ , biegnący wzdłuż osi symetrii w różnych punktach  $A'$ ... Punktowy obraz punktu świetlnego otrzymujemy wtedy, gdy ograniczymy pęk promieni padających prawie pod tym samym kątem. W przypadku wiązki prawie prostopadłej do powierzchni (promienie osiowe), położenie obrazu znajdujemy, stosując dwukrotnie wzór (3) ustępu poprzedniego.

Po załamaniu na pierwszej powierzchni łamiącej  $MM$  odległość  $y$  równa jest

$$y = A'O = x \frac{n_2}{n_1} = AO \cdot \frac{n_2}{n_1}, \quad (a)$$



Rys. 53



(obraz zatem, wobec tego, że  $n_2 > n_1$ , leży w większej odległości od  $MM$ , niż punkt  $A$ ).

Obraz ten jest przedmiotem świecącym dla drugiej powierzchni łamiącej  $NN$ ; załamanie zachodzi tak, jak gdyby punkt  $A'$  leżał w środkowisku o współczynniku  $n_2$ . Podstawiając do wzoru (3) za  $x$  odległość  $A'$  i za  $y$  odległość  $A''$  od powierzchni  $NN$ , znajdujemy

$$A''O_1 = A'O_1 \cdot \frac{n_1}{n_2} = (A'O + d) \frac{n_1}{n_2},$$

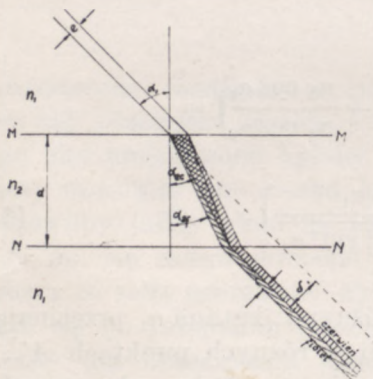
skąd biorąc wartość  $A'O$  ze wzoru (a), otrzymujemy

$$A''O_1 = AO \cdot \frac{n_2}{n_1} \cdot \frac{n_1}{n_2} + d \frac{n_1}{n_2} = AO + d \frac{n_1}{n_2} = AO_1 - d + d \frac{n_1}{n_2}.$$

Wobec tego różnica odległości przedmiotu  $A$  i obrazu  $A''$  od powierzchni  $NN$  wynosi

$$AO_1 - A''O_1 = h = d \left( 1 - \frac{n_1}{n_2} \right) = d \cdot \frac{n_2 - n_1}{n_2}. \quad (5)$$

Gdy  $n_2 > n_1$ , widzimy, umieszczając oko na tej samej normalnej, co punkt świecący, obraz bliżej, niż przedmiot. Patrząc z boku, widzimy obraz bliżej i nieco w bok od przedmiotu, przy czym zarówno przybliżenie, jak i boczne przesunięcie są zależne od kąta, pod jakim patrzymy na płytkę.



Rys. 54

Zawsze jednak ta pozorna zmiana położenia przedmiotu zależna jest od wartości współczynników załamania środkowisk. Nawet więc wtedy, gdy wszystkie promienie padają na płytkę pod tym samym kątem, gdy przeto przedmiot jest nieskończenie odległy i wiązka składa się z promieni równoległych, boczne przesunięcie będzie miało dla każdego rodzaju światła jednorodnego (por. ust. 1, rozdz. II) inną wartość. Płytkę jest więc chromatycznym układem optycznym.

We wszystkich prawie środowiskach współczynnik załamania wzrasta od czerwonej części widma (p. niżej, ust. 5) do fioletowej. Przy oświetlaniu więc płytki światłem białym otrzymujemy znaczniejsze przesunięcie boczne promieni fioletowych, niż czerwonych.

Przypuścimy dla uproszczenia, że światło padające składa się jedynie z tych dwóch barw (rys. 54). Przesunięcie boczne promieni czerwonych wynosi (p. wzór 4)

$$\delta_c = d \cdot \frac{\sin(\alpha_{1c} - \alpha_{2c})}{\cos \alpha_{2c}} = d \sin \alpha_{1c} - d \cdot \operatorname{tg} \alpha_{2c} \cdot \cos \alpha_{1c}.$$



gdzie  $\alpha_{1c}$  i  $\alpha_{2c}$  oznaczają kąty padania i załamania promieni czerwonych. Analogicznie dla promieni fioletowych znajdujemy

$$\delta_f = d \cdot \sin \alpha_{1f} - d \operatorname{tg} \alpha_{2f} \cdot \cos \alpha_{1f},$$

skąd uwzględniając, że promienie czerwone i fioletowe padają pod tym samym kątem

$$\Delta\delta = \delta_f - \delta_c = d(\operatorname{tg} \alpha_{2c} - \operatorname{tg} \alpha_{2f}) \cos \alpha_1. \quad (b)$$

Wiązki te wyjdą oddzielnie, gdy  $\Delta\delta$  będzie większe od szerokości każdej z tych wiązek, a więc od szerokości  $e$  wiązki padającej

$$\Delta\delta \geq e,$$

tylko przy spełnieniu tego warunku płytka będzie rozszczepiała światło padające.

Biorąc płytkę ze szkła wyjątkowo silnie rozszczepiającego, dla którego  $n_c = 1,735$ ,  $n_f = 1,788$ , znajdziemy w przypadku, gdy środowiskiem, w którym znajduje się płytka, jest powietrze, dla  $\alpha_1 = 45^\circ$

$$\operatorname{arc} \sin \alpha_{2c} = \operatorname{arc} \sin \left( \frac{1}{1,735} \sin 45^\circ \right) = 24^\circ 3' 6'',$$

skąd

$$\operatorname{tg} \alpha_{2c} = 0,4463.$$

Podobnie

$$\operatorname{arc} \sin \alpha_{2f} = \operatorname{arc} \sin \left( \frac{1}{1,788} \cdot \sin 45^\circ \right) = 23^\circ 17' 44''$$

i

$$\operatorname{tg} \alpha_{2f} = 0,4305.$$

Podstawiając te wartości do wzoru (b) i uwzględniając, że  $\cos 45^\circ = 0,7071$ , otrzymamy

$$\Delta\delta = d(0,4463 - 0,4305) \cdot 0,7071 = 0,011d.$$

Płytkę przeto o grubości 10 cm wyraźnie rozszczepi wiązkę o szerokości 0,1 cm na dwie wiązki różnych barw.

Zmniejszając szerokość wiązki, zwiększamy chromatyzm płytki. Przy patrzeniu przez szyby, których grubość jest niewielka, przekrój zaś padających na szybę pęków promieni bardzo znaczny, chromatyzmu na ogół nie dostrzegamy.

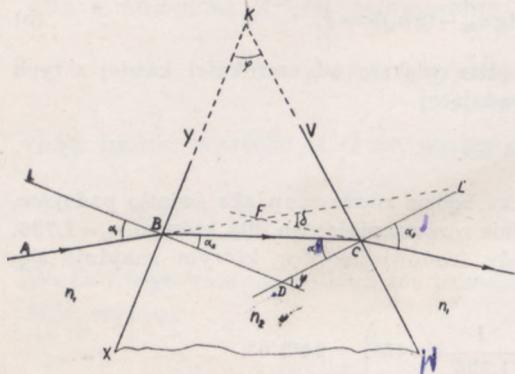
#### 4. ZAŁAMANIE W PRYZMACIE

Stosując dwukrotnie prawo Descartes'a możemy również wyznaczyć bieg promieni, załamanych przez pryzmat tj. przez dwie przecinające się płaskie powierzchnie. Niech  $XY$  i  $VW$  (rys. 55) będą tymi powierzchniami,  $K$  zaś śladem prostej, wzdłuż której one (lub jak na rys. 55 ich przedłużenia) się przecinają. Prosta  $K$  nazywamy krawędzią łamiącą, płaszczyznę do niej prostopadłą (w danym przypadku płaszczyznę rysunku) przecięciem głównym, płaszczyznę zaś  $XW$



(rzeczywistą lub jak na rysunku jedynie wyobrażalną), przeciwną do krawędzi łamiącej, podstawą pryzmatu. Kąt  $\varphi$  między płaszczyznami łamiącymi jest kątem łamiącym lub rozwartością pryzmatu.

Przypuśćmy, że pryzmat znajduje się w jednorodnym środowisku o współczynniku załamania  $n_1$ , mniejszym od współczynnika  $n_2$  środowiska ograniczonego przez pryzmat. Promień  $AB$  wychodzący z punktu  $i$  padający na pryzmat w płaszczyźnie przecięcia głównego pod dowolnym kątem  $\alpha_1$ , wyjdzie z pryzmatu odchyłony ku jego podstawie, załamania bowiem zarówno na pierwszej płaszczyźnie, gdzie kąt  $\alpha_2$  jest mniejszy od  $\alpha_1$ , jak i na drugiej, gdzie kąt  $\alpha'_2$  jest większy od  $\alpha'_1$ , będą odchyłały promień w tym właśnie kierunku.



Rys. 55

Z prawa Descartes'a otrzymujemy

$$\frac{\sin \alpha_1}{\sin \alpha_2} = \frac{\sin \alpha'_2}{\sin \alpha'_1} = \frac{n_2}{n_1}. \quad (a)$$

Z  $\triangle BDC$  mamy

$$\alpha_2 + \alpha'_1 + 180^\circ - \varphi = 180^\circ$$

lub

$$\alpha_2 + \alpha'_1 = \varphi \quad \text{i} \quad \alpha'_1 = \varphi - \alpha_2 \quad (b)$$

gdyż  $BL$  jest prostopadła do  $XY$ ,  $CL'$  do  $VW$ .

Możemy zatem napisać

$$\frac{\sin \alpha'_2}{\sin(\varphi - \alpha_2)} = \frac{\sin \alpha'_2}{\sin \varphi \cdot \cos \alpha_2 - \cos \varphi \cdot \sin \alpha_2} = \frac{n_2}{n_1}. \quad (c)$$

Podstawiając

$$\sin \alpha_2 = \frac{n_1}{n_2} \sin \alpha_1 \quad \text{i} \quad \cos \alpha_2 = \sqrt{1 - \frac{n_1^2}{n_2^2} \sin^2 \alpha_1} = \frac{1}{n_2} \sqrt{n_2^2 - n_1^2 \sin^2 \alpha_1},$$

otrzymujemy

$$\sin \alpha'_2 = \frac{1}{n_1} \sin \varphi \sqrt{n_2^2 - n_1^2 \sin^2 \alpha_1} - \frac{n_1}{n_2} \cos \varphi \cdot \sin \alpha_1. \quad (d)$$

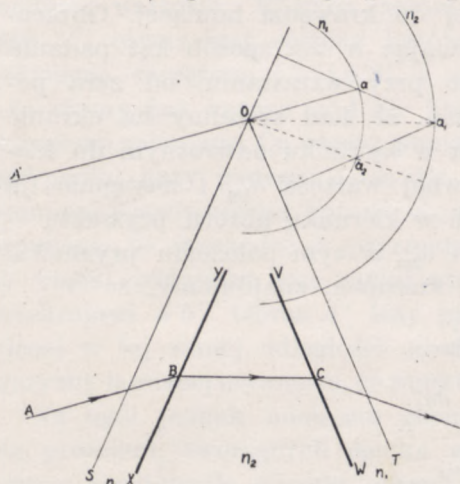


Znając więc  $n_1$  i  $n_2$  oraz kąt łamiący  $\varphi$ , możemy obliczyć kąt, pod którym wychodzi z pryzmatu promień, padający pod danym kątem  $\alpha_1$ . Promień ten jednak tylko wtedy wychodzi z pryzmatu, gdy kąt łamiący  $\varphi$  jest mniejszy od podwójnej wartości kąta granicznego  $\alpha_g$  dla środowiska, ograniczonego przez pryzmat; w przeciwnym bowiem przypadku kąt padania  $\alpha'_1$  na drugą powierzchnię łamiącą jest, jak wynika ze wzoru (b),

$$\alpha'_1 = \varphi - \alpha_2 \geq 2\alpha_g - \alpha_2$$

większy od kąta granicznego lub co najwyżej mu równy.

Kierunek promienia wychodzącego można wyznaczyć również graficznie, posługując się konstrukcją Descartes'a (p. rozdz. II, ust. 1). Z punktu  $O$  przecięcia się prostych  $S$  i  $T$ , równoległych do płaszczyzn łamiących  $XY$  i  $VW$  pryzmatu, opisujemy koła o promieniach  $n_1$  i  $n_2$  i kreślimy prostą  $OA'$  równoległą do promienia padającego (rys. 56). Prosta  $OA'$  przecina koło  $n_1$  w punkcie  $a$ ; prostopadła,



Rys. 56

opuszczona z  $a$  na prostą  $S$ , równoległą do pierwszej płaszczyzny łamiącej, przecina koło  $n_2$  w punkcie  $a_1$ . Prosta  $Oa_1$  wyznacza, jak wiemy, kierunek promienia załamanego przez pierwszą płaszczyznę łamiącą. Niech punkt  $a_2$  będzie punktem przecięcia prostopadłej, opuszczonej z  $a_1$  na prostą  $T$ , równoległą do drugiej płaszczyzny łamiącej pryzmatu, z kołem o promieniu  $n_1$ , prosta  $Oa_2$  będzie wtedy równoległa do kierunku, w jakim wychodzi promień załamany.

Odchylenie  $\delta$  promienia wychodzącego (rys. 55) od kierunku promienia padającego równe jest

$$\delta = \sphericalangle FBC + \sphericalangle FCB = \alpha_1 - \alpha_2 + \alpha'_2 - \alpha'_1 = \alpha_1 + \alpha'_2 - (\alpha_2 + \alpha'_1)$$

lub po uwzględnieniu wzoru (b)

$$\delta = \alpha_1 + \alpha'_2 - \varphi. \quad (e)$$

Wyznaczając  $\alpha'_2$  z równania (e) otrzymujemy  $\delta$ , jako funkcję kąta padania oraz współczynnika załamania. Dla różnych zatem kątów padania i różnych rodzajów światła odchylenie jest różne. Pryzmat jest więc układem astygmatycznym i chromatycznym nawet wtedy, gdy promienie padają na pryzmat w płaszczyźnie przecięcia głównego. Jedynie w przypadku wiązki promieni jednorodnych i równoległych, padających w przecięciu głównym, pryzmat staje się układem stygmatycznym.



Można jednak astygmatyzm wiązki padającej w przecięciu głównym znacznie zmniejszyć, jeżeli tak dobierzemy kąt padania środkowego promienia wiązki, aby kąt  $a'_2$  był równy kątowi  $a_1$ . Wtedy odchylenie  $\delta$  ma wartość najmniejszą, jak to można sprawdzić doświadczalnie, rzucając np. na ekran, poprzez pryzmat wiązkę promieni równoległych, wychodzących ze szczeliny równoległej do krawędzi łamiącej. Obracając pryzmat koło tej krawędzi i zmieniając w ten sposób kąt padania promieni, stwierdzimy, że początkowo przy wzrastaniu, od zera poczynając, kąta  $a_1$  odchylenie maleje tak, że ślad szczeliny na ekranie przesuwa się przy obracaniu pryzmatu w kierunku odwrotnym do kierunku obrotu. Gdy  $a_1$  dojdzie do pewnej wartości  $a_{1m}$  i następnie ją przekroczy, ślad zaczyna się przesuwać w kierunku obrotu pryzmatu — odchylenie wzrasta. Mierząc kąty  $a_{1m}$  i  $a'_{2m}$  w tym położeniu pryzmatu, przy których ruch śladu zmienia swój kierunek, znajdujemy, że

$$a_{1m} = a'_{2m}.$$

Ze wzoru (e) otrzymujemy

$$d\delta = da_1 + da'_2.$$

Warunek minimum wyraża się wzorem

$$\frac{d\delta}{da_1} = 1 + \frac{da'_2}{da_1} = 0. \quad (g)$$

Z równań (a) i (b) otrzymujemy

$$n_1 \cos a_1 da_1 = n_2 \cos a_2 da_2,$$

$$n_2 \cos a'_1 da'_1 = n_1 \cos a'_2 da'_2,$$

$$da_2 = -da'_1.$$

Po przemnożeniu tych równań mamy

$$n_1 n_2 \cos a_1 \cos a'_1 \cdot da_1 \cdot da'_1 \cdot da_2 = -n_1 n_2 \cos a_2 \cos a'_2 \cdot da_2 \cdot da'_2 da'_1,$$

skąd

$$\frac{da'_2}{da_1} = -\frac{\cos a_1 \cos a'_1}{\cos a_2 \cos a'_2},$$

wobec tego równanie (g) przybiera postać

$$\frac{\cos a_1 \cos a'_1}{\cos a_2 \cos a'_2} = 1 \quad \text{lub} \quad \cos a_1 \cos a'_1 = \cos a_2 \cos a'_2.$$

Po podniesieniu do kwadratu i zastąpieniu kosinusów sinusami znajdujemy

$$\frac{n_2^2(1 - \sin^2 a_1)}{n_2^2 - n_1^2 \sin^2 a_1} = \frac{n_2^2(1 - \sin^2 a'_2)}{n_2^2 - n_1^2 \sin^2 a'_2}$$

$$\frac{1 - \sin^2 a_1}{1 - \sin^2 a'_2} = \frac{n_2^2 - n_1^2 \sin^2 a_1}{n_2^2 - n_1^2 \sin^2 a'_2},$$

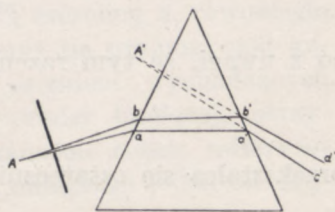
to zaś równanie może być spełnione tylko wtedy, gdy

$$a_1 = a'_2,$$

gdyż kąty padania i wyjścia nie mogą być większe od  $90^\circ$ .



W cienkiej (ograniczonej np. przez odpowiednio dobraną przesłonę) wiązce promieni, wychodzącej z punktu  $A$  i padającej na pryzmat w płaszczyźnie przecięcia głównego pod kątem  $\alpha_1 m$ , odchylenie ma dla wszystkich promieni prawie tę samą wartość, zmiana bowiem odchylenia jest przy niewielkiej zmianie kąta padania znikomo mała ( $\delta$  ma wtedy najmniejszą wartość). Różnica zatem kątów padania promieni  $Aa$  i  $Ab$  (rys. 57) równa jest różnicy kątów pod jakimi wychodzą z pryzmatu promienie sprzężone  $a'c'$  i  $b'd'$ , a zatem i kąt  $bAa$  równy jest kątowi  $c'A'd'$ , który tworzą promienie załamane. Co więcej, ponieważ w tym przypadku kąty padania  $\alpha_1$  są dla wszystkich promieni prawie równe kątowi  $\alpha_2$ , pod jakimi promienie te wychodzą z pryzmatu, przekrój  $ab$  wiązki padającej jest mniej więcej równy przekrojowi  $a'b'$ . Obraz  $A'$  leży przeto mniej więcej w tej samej odległości od drugiej płaszczyzny łamiącej pryzmatu, co punkt świecący  $A$  od pierwszej płaszczyzny.



Rys. 57

Na ogół jednak miejscem geometrycznym przecięcia się przedłużenia promieni, tworzących cienką wiązkę, są dwa bardzo krótkie wzajemnie prostopadłe odcinki prostej, których wzajemna odległość zależy od kąta padania wiązki na pryzmat.

Odcinki te są ogniskowymi wiązki (p. ust. 2); ogniskowa styczna jest równoległa do krawędzi łamiącej, a więc prostopadła do przecięcia głównego, ogniskowa radialna leży w płaszczyźnie przecięcia głównego.

Gdy przedmiotem świecącym jest nie punkt, lecz świecąca wąska szczelina, równoległa do krawędzi łamiącej, każdy jej punkt daje dwa obrazy (urojone) w postaci dwóch odcinków prostych, jednego równoległego, drugiego zaś prostopadłego do krawędzi łamiącej; odcinki równoległe pokrywają się wzajemnie (przynajmniej częściowo), tworząc w ten sposób pozorny obraz szczeliny. Obraz ten nie jest wszakże prosty, lecz wygięty wypukłością do podstawy, gdyż promienie wychodzące z końców szczeliny i nie leżące w przecięciu głównym, przechodzącym przez oko obserwatora i środek szczeliny, załamują się tym silniej, im większy kąt ich płaszczyzna padania tworzy z płaszczyzną przecięcia głównego.

Jedynie w przypadku promieni równoległych pryzmat jest dla każdego kąta padania układem stygmatycznym; gdy kąt ten równy jest kątowi najmniejszego odchylenia, przekrój wiązki wychodzącej równy jest przekrojowi wiązki padającej.

Kąt odchylenia  $\delta$  będzie miał wtedy dla wszystkich promieni wartość tę samą, równą

$$\delta = 2\alpha_1 - \varphi,$$



$\alpha_1$  bowiem będzie równe  $\alpha'_2$ . Stąd

$$\alpha_1 = \frac{\delta + \varphi}{2}$$

i

$$\frac{\sin \alpha_1}{\sin \alpha_2} = \frac{n_2}{n_1} = \frac{\sin \frac{\delta + \varphi}{2}}{\sin \alpha_2},$$

co z uwagi, że tym razem

$$\alpha_2 = \alpha'_1 = \frac{\varphi}{2},$$

przekształca się ostatecznie we wzór

$$\frac{n_2}{n_1} = \frac{\sin \frac{\delta + \varphi}{2}}{\sin \frac{\varphi}{2}}. \quad (6)$$

Gdy pryzmat znajduje się w próżni lub powietrzu, (a więc kiedy możemy przyjąć, że  $n_1$  dla wszelkiego rodzaju promieni jest równy lub prawie równy jedności), mamy

$$n_2 = \frac{\sin \frac{\delta + \varphi}{2}}{\sin \frac{\varphi}{2}}; \quad (6a)$$

promienie o większym współczynniku załamania doznają w pryzmacie większego odchylenia.

W pryzmatach o rozwartości niewielkiej można przyjąć, że

$$\sin \frac{\delta + \varphi}{2} \approx \frac{\delta + \varphi}{2} \quad \text{i} \quad \sin \frac{\varphi}{2} \approx \frac{\varphi}{2},$$

tak że mamy

$$\frac{n_2}{n_1} = \frac{\frac{\delta + \varphi}{2}}{\frac{\varphi}{2}}$$

i

$$\delta = \frac{n_2 - n_1}{n_1} \varphi, \quad (6b)$$

co, gdy  $n_1 = 1$ , przybiera postać

$$\delta = (n_2 - 1) \varphi. \quad (6c)$$



## 5. ROZSZCZEPIENIE ŚWIATŁA PRZEZ PRYZMAT. POMIAR WSPÓŁCZYNNIKA ZAŁAMANIA

Światło, wysyłane przez źródła, jest zazwyczaj światłem niejednorodnym, jak o tym może nas przekonać następujące doświadczenie.

Wiązkę promieni rozbieżnych, wysyłaną przez dane źródło, zamieniamy przy pomocy odpowiednio dobranych układów optycznych (p. rozdz. IV) na wiązkę promieni równoległych, leżących w płaszczyźnie przecięcia głównego, ograniczamy ją wąską szczeliną  $S$ , równoległą do krawędzi łamiącej pryzmatu (rys. 58) i rzucamy na pryzmat pod kątem najmniejszego odchylenia. Gdy wiązkę promieni wychodzących przetniemy ekranem, też równoległym do krawędzi łamiącej, otrzymamy na ekranie nie jeden, lecz kilka lub kilkanaście różnie zabarwionych śladów wiązki, rozmieszczonych w pewnej odległości jeden od dru-



Rys. 58

giego (na rysunku odległości śladów  $ab$  i  $cd$  są znacznie zwiększone), lub też zlewających się w jeden pas różnobarwny, przechodzący od czerwieni do fioletu przez wszystkie barwy tęczy. W pierwszym przypadku (oddzielnych śladów barwnych), zachodzącym przy użyciu za źródło światła jarzących się gazów lub ogrzanych do świecenia par, mamy do czynienia z tzw. liniowym (lub prążkowanym) widmem pryzmatycznym, w drugim, zachodzącym przy użyciu za źródło ciała stałego, ogrzanego do temperatury świecenia, — z ciągłym widmem pryzmatycznym. W obu przypadkach odchylenia, a przeto i współczynniki załamania promieni różnych barw są różne: w widmie liniowym różnice współczynników dwóch wiązek, tworzących na ekranie dwa sąsiadujące ze sobą ślady, mają wartość skończoną, w widmie ciągłym — wartości współczynników zmieniają się w sposób ciągły. Gdy w tym miejscu ekranu, w którym powstaje np. ślad  $ab$  umieścimy szczelinę, przez którą będzie mogła przejść wiązka padających tam promieni, i wiązkę tę rzucimy na drugi pryzmat o krawędzi równoległej do krawędzi pryzmatu pierwszego, stwierdzimy, że odchylenia wszyst-



kich promieni tej wiązki są prawie dokładnie jednakowe; wszystkie zatem promienie tej wiązki mają prawie dokładnie ten sam współczynnik załamania, wiązka ta jest przeto zgodnie z podanym wyżej (p. ust. 4 rozdz. II) określeniem, prawie zupełnie jednorodna, tak że każdej barwie, otrzymanej przez załamanie w pryzmacie, odpowiada ściśle określony współczynnik załamania. Te jednorodne barwy widma często są nazywane czystymi.

Ważny ten związek między widmową barwą światła i współczynnikiem załamania pierwszy stwierdził Newton w słynnej rozprawie pt. „Nowa teoria światła i barw” ogłoszonej w 1672 r.

W widmie ciągłym barwy te, jak mówiliśmy wyżej, stopniowo przechodzą z jednego odcienia w drugi, tak że współczynnik załamania posiada różne wartości dla różnych odcieni tej samej barwy, — odcieni, których oko nie jest nieraz w stanie odróżnić (por. rozdz. V, ust. 4).



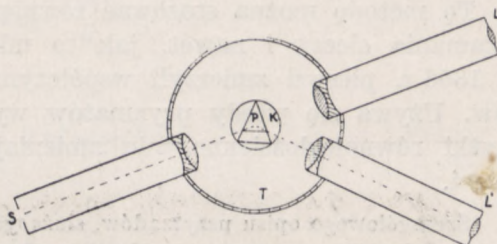
Rys. 59

Stąd wynika nieoznaczoność określeń takich, jak współczynnik załamania barwy „czerwonej”, czy też „niebieskiej”, czy jakiegokolwiek innej, dla której język potoczny ustalił odrębną nazwę. Można jednak przy najmniej częściowo, usunąć tę nieoznaczoność, wybierając w widmie pewne stałe linie odniesienia. Linie te dają nam widmo słoneczne. Przy powierzchniowym badaniu widmo słoneczne wydaje się nam ciągle, w rzeczywistości jednak jest ono, jak to pierwszy stwierdził Wollaston (1802 r.), a jak to następnie dokładnie zbadał Fraunhofer (1814 r.) poprzecinane licznymi liniami ciemnymi, wskazującymi, że brak w nim zupełnie pewnych odcieni barwnych lub też, że światło tych właśnie odcieni ma natężenie znacznie mniejsze od natężenia odcieni sąsiednich, wobec czego dana linia jest na ekranie ciemniejsza od otoczenia. Linij takich, nazywanych liniami Fraunhofera jest bardzo wiele. Fraunhofer naliczył ich 500, Brewster i Gladstone (1860 r.) około 1000, Kirchhoff (1865 r.) przeszło 2000, dziś wiemy, że jest ich znacznie więcej. Linie te są rozrzucone bezładnie w różnych częściach widma. Fraun-



hofer wybrał z nich osiem, rozmieszczonych mniej więcej równomiernie i wyraźniej odcinających się od otoczenia i oznaczył je dużymi literami alfabetu. Linie te są następujące: szeroka linia *A* w ciemnoczerwonej części widma, *B* — w czerwonej, *C* — na pograniczu czerwonej i pomarańczowej, *D* — w żółtej części, *E* — w zielonej, *F* — na pograniczu zielonej i niebieskiej, *G* — w ciemnoniebieskiej i wreszcie dwie szerokie linie *H* w fioletowej części widma (rys. 59).

Ustawmy lunetę *L* (rys. 60), tak, aby widzieć na pionowej nitce, znajdującej się w ognisku obiektywu (p. rozdz. VI, ust. 4), wyraźny obraz pionowej szczeliny *S*, oświetlonej przez promienie równoległe (np. promienie słoneczne, które z dużym i często wystarczającym przybliżeniem możemy uważać za równoległe) i zanotujmy odpowiednie położenie lunety na tarczy *T*, podzielonej na stopnie i części stopnia. Następnie umieścimy na ruchomym obracającym się niezależnie od tarczy stoliku *K* pryzmat *P*, wycięty



Rys. 60

z badanego materiału, w ten sposób, aby krawędź lamiecia pryzmatu była równoległa do szczeliny i aby promienie padały na pryzmat pod kątem najmniejszego odchylenia. Przesuwając lunetę do położenia *L'*, w którym widzimy na nitce pionowej obiektywu wyraźny obraz badanej linii Fraunhofera, odczytujemy na tarczy kąt  $\delta$ , o jaki obróciliśmy lunetę. Kąt ten równy jest kątowi odchylenia promieni, których brak w widmie słonecznym powoduje powstanie danej ciemnej linii. Ze wzoru (6) lub, przy bardzo małej rozwartości pryzmatu, ze wzoru (6e) wyznaczamy współczynnik załamania promieni danej barwy w badanym materiale.

Zazwyczaj jednak szczelina umieszczona jest w ognisku soczewki, tworząc tzw. kolimator (dosłownie celownik, od łac. collineare — w zepsutej łacinie collimare — celować, kierować celując). Promienie wychodzące z kolimatora są przy należytych umieszczeniu soczewki prawie dokładnie równoległe.

Używanie kolimatora jest szczególnie wskazane, gdy, jak to bywa najczęściej, posługujemy się ziemskimi źródłami światła, zwłaszcza takimi, które wysyłają widmo liniowe. Tak np. pobudzając do świecenia rozbrojeniami elektrycznymi wodór, zamknięty pod niewielkim ciśnieniem (około 5 mm Hg.), otrzymujemy (w widzialnej części widma) trzy linie barwne (trzy zabarwione szczeliny), z których jedna odpowiada



linii *C* Fraunhofera, druga — linii *F*, trzecia — linii (oznaczonej małą literą *h*), leżącej między liniami *G* i *H*; umieszczając w palniku Bunsena o płomieniu bezbarwnym szczyptę soli kuchennej, otrzymujemy po załamaniu jedną linię, odpowiadającą linii *D* Fraunhofera — jest to wspomniana już przez nas linia sodu; jeszcze inne linie otrzymamy pobudzając do świecenia inne gazy lub pary.

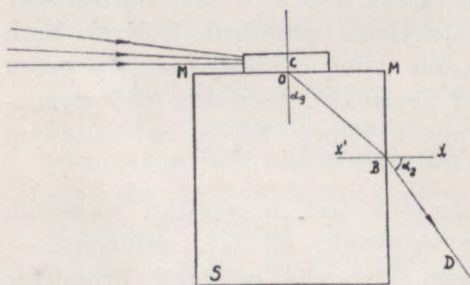
Światło sodu nie jest jednak światłem jednorodnym (nawet w widzialnej części widma); biorąc silnie rozszczepiające pryzmaty (lub układ pryzmatów) można stwierdzić, że linia *D* składa się w rzeczywistości z dwóch linii  $D_1$  i  $D_2$ , o mało różniących się współczynnikach załamania.

Tę metodę można stosować również do wyznaczania współczynnika załamania cieczy i nawet, jak to udowodnili Biot i Arago, którzy w 1806 r. pierwsi zmierzili współczynnik załamania powietrza, do gazów. Używa się wtedy pryzmatów wydrążonych, których ścianami są płytki równoległościenne, nie zmieniające, jak wiemy, kierunku promieni.

Szczegółowego opisu przyrządów, służących do pomiarów tą metodą, tzw. spektrometrów (łac. spectrum — widmo), podawać tu nie będziemy, jak również nie podamy opisu metody (Abbe i Littrow, 1874 r. Kohlrausch, 1882 r.) wyznaczania współczynnika załamania z pomiaru kąta odchylenia promieni, padających nie pod kątem  $a_m$ .

Współczynnik załamania można też wyznaczyć, jak o tym była już mowa wyżej (rozdz. II, ust. 1), z pomiaru kąta granicznego. Z licznych metod tego pomiaru, użytego po raz pierwszy przez Wollastona (1802 r.), opiszemy jedynie metodę refraktometru (łac. refringere — złamać) Pulfricha i Abbego (1887 r.).

Na walec szklany *S*, o możliwie wielkim współczynniku załamania  $n_s$ , umieszczamy badane ciało stałe *C* lub ciecz w szklanym naczyniu, o ścianach z płytek płasko równoległych i oświetlamy rozciągłym źródłem światła jednorodnym umieszczonym mniej więcej na poziomie górnej części walca *MM* (rys. 61). Wszystkie promienie, wchodzące po załamaniu w *C* do walca szklanego, leżą, gdy współczynnik załamania  $n_c$  jest mniejszy od  $n_s$ , wewnątrz stożka o kącie wierzchołkowym  $2\alpha_0$ . Pole widzenia lunety, ustawionej w kierunku *BD*, zawiera wtedy część oświetloną przez promienie, załamane w szkło pod kątami  $a < a_0$  i część zupełnie ciemną. Kąt, jaki oś lunety tworzy z płaszczyzną *Bx*,



Rys. 61



równy jest kątowi  $\alpha_2$ , jaki z normalną  $Bx$  do bocznej powierzchni walca  $S$  tworzą promienie, załamane w szkłe pod kątem granicznym  $\alpha_g$ .

Przyjmując, jak zazwyczaj, współczynnik załamania powietrza za równy jedności, mamy

$$\frac{\sin OBx'}{\sin \alpha_2} = \frac{\cos OBM}{\sin \alpha_2} = \frac{\cos \alpha_g}{\sin \alpha_2} = \frac{1}{n_s}$$

i

$$\sin \alpha_g = \sqrt{1 - \cos^2 \alpha_g} = \sqrt{1 - \frac{\sin^2 \alpha_2}{n_s^2}} = \frac{1}{n_s} \sqrt{n_s^2 - \sin^2 \alpha_2}.$$

Wiemy jednak, że

$$\sin \alpha_g = \frac{n_c}{n_s}$$

wobec czego

$$\frac{n_c}{n_s} = \frac{1}{n_s} \sqrt{n_s^2 - \sin^2 \alpha_2}$$

i ostatecznie

$$n_c = \sqrt{n_s^2 - \sin^2 \alpha_2}.$$

Czasami umieszcza się źródło światła poniżej powierzchni rozdziału szkła i badanego ciała i wyznacza się kąt  $\alpha_2$ , przy którym natężenie światła odbitego nagle wzrasta.

Gdy badane ciało ma kształt płytki płaskorównoległej, współczynnik załamania można wyznaczyć, jak na to zwrócił uwagę ks. de Chaulnes (1767 r.), jeszcze w następujący sposób. Weźmy pod mikroskop jakiś mały przedmiot i ustawmy mikroskop tak, aby otrzymać wyraźny obraz przedmiotu. Gdy między obiektyw i przedmiot wsuniemy badaną płytkę, obraz przestanie być wyraźny, załamanie bowiem promieni w płycie powoduje pozorne podniesienie przedmiotu i tym samym przybliżenie go do obiektywu mikroskopu. Dla otrzymania więc wyraźnego obrazu należy przesunąć do góry rurę mikroskopu na wysokość  $h$ , (p. rys. 53) równą pozornemu wzniesieniu przedmiotu. Ze wzoru (5), gdzie

$$h = d \frac{n_2 - n_1}{n_2},$$

otrzymujemy kładąc  $n_1 = 1$

$$n_2 = \frac{d}{d - h}.$$

O metodach opartych nie na załamaniu światła, lecz na innych zjawiskach optycznych, będzie mowa na innym miejscu (p. rozdz. VII).



6. WSPÓŁCZYNNIK ZAŁAMANIA RÓŻNYCH CIAŁ. ROZSZCZEPIENIE ANOMALNE

We wszystkich przezroczystych i bezbarwnych ciałach stałych współczynnik załamania wzrasta tak, jak w szkłe, od czerwonej do fioletowej części widma, wartości jego jednak dla poszczególnych części widma, jak również wartości rozszczepienia całkowitego, to jest różnicy współczynników załamania skrajnych linii Fraunhofera, są dla różnych ciał różne.

Tak np. w pewnym gatunku szkła ciężkiego (flint Nr 13 ang. flint-glass — kryształ) współczynniki załamania mają, według Fraunhofera, wartości następujące.

<i>B</i>	<i>C</i>	<i>D</i>	<i>E</i>	<i>F</i>	<i>G</i>
1,627 749	1,629 681	1,635 036	1,642 024	1,648 260	1,660 285
<i>H</i>					
1,671 062					

(linię *A* Fraunhofera, leżącą w skrajnej czerwieni trudno nieraz obserwowac, często więc za granice widma bierze się linie *B* i *H*). W tym więc przypadku

$$n_H - n_B = 0,043\ 213.$$

W szkłe lekkim (koronowym — crown Nr 9) Fraunhofer znalazł

<i>B</i>	<i>C</i>	<i>D</i>	<i>E</i>	<i>F</i>	<i>G</i>	<i>H</i>
1,525 832	1,526 849	1,529 587	1,533 005	1,536 052	1,541 657	1,546 566,

skąd

$$n'_H - n'_B = 0,020\ 734;$$

w wodzie zaś o temperaturze 18,75°, również według Fraunhofera

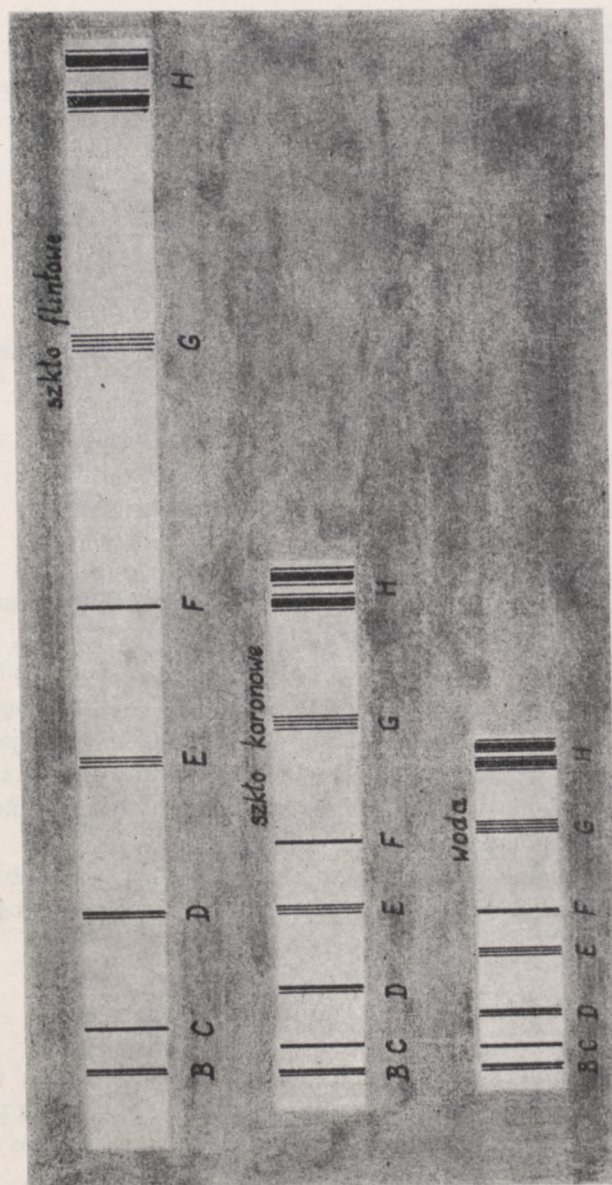
<i>B</i>	<i>C</i>	<i>D</i>	<i>E</i>	<i>F</i>	<i>G</i>	<i>H</i>
1,330 935	1,331 712	1,333 577	1,335 871	1,337 818	1,341 293	1,344 177

a więc

$$n''_H - n''_B = 0,013\ 242$$

Biorąc więc pryzmaty o tej samej rozwartości ze szkła flintowego, koronowego i wody otrzymamy na ekranie, ustawionym we wszystkich trzech przypadkach w tej samej od pryzmatów odległości, widma niejednakowej długości, takie mniej więcej, jak na rys. 62, wziętym z fizyki Chwolsona (tom II, 1922 r. str. 249).





Rys. 62



Niech pryzmaty mają rozwartość niewielką, taką, aby można było odchylenie wyrazić wzorem przybliżonym (6c); niech kąt łamiący będzie np. równy  $1^\circ$ . Wyrażając kąt ten w radianach, dla różnicy odchyień w pryzmacie flintowym skrajnych promieni widma otrzymamy

$$\delta_H - \delta_B = (n_H - n_B) \cdot 0,017 = 0,043\ 213 \cdot 0,017$$

Na ekranie ustawionym w odległości 1 m długość widma będzie równa

$$\Delta = (\delta_H - \delta_B) \cdot 1000 \text{ mm} = 0,043\ 213 \cdot 17 \approx 0,73 \text{ mm.}$$

Długość widma, wytworzonego przez pryzmat koronowy, wyniesie

$$\Delta' = (\delta'_H - \delta'_B) \cdot 1000 \text{ mm} = 0,020\ 734 \cdot 17 \approx 0,35 \text{ mm,}$$

widmo będzie zatem dwa razy krótsze od widma pryzmatu z flintu. Pryzmat z wodą da widmo

$$\Delta'' = (\delta''_H - \delta''_B) \cdot 1000 \text{ mm} = 0,013\ 24 \cdot 17 \approx 0,22 \text{ mm}$$

trzy i pół raza krótsze od widma pryzmatu z flintu.

Zmieniając odpowiednio kąty łamiące każdego z tych pryzmatów, można doprowadzić widma do tej samej długości (rozwartości będą, oczywiście, w każdym pryzmacie inne), okaże się jednak, że i wtedy różnice odchyień poszczególnych par linii Fraunhofera będą w każdym z tych widm inne, tak że równym wartościom  $\delta_H - \delta_B$  nie będą odpowiadały równe wzajemnie wartości różnic  $\delta_C - \delta_B, \delta_F - \delta_D$  lub jakichkolwiek innych. W wodzie rozszczepienie będzie stosunkowo większe w części zbliżonej do czerwieni, w szkłe flintowym — w części zbliżonej do fioletu (rys. 63, według Chwolsona).

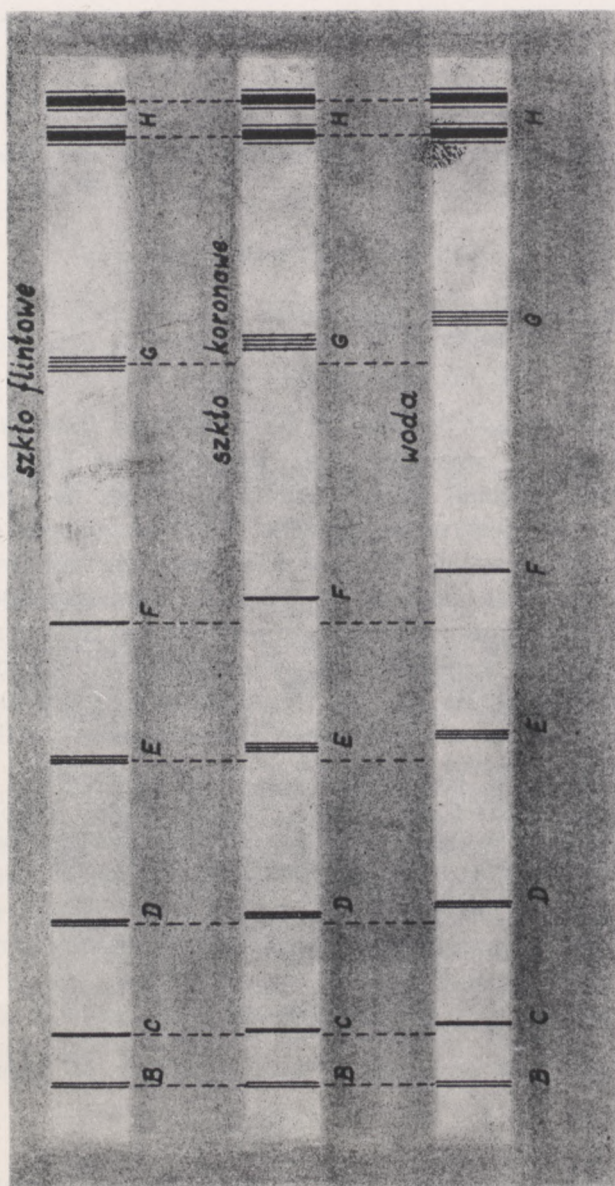
Niech  $m, p, s$  oznaczają rozwartości pryzmatów, dostatecznie małe, aby można było stosować wzór (6c), przy których długości widm są jednakowe. Wtedy

$$\delta_H - \delta_B = (n_H - n_B)m = (n'_H - n'_B)p = (n''_H - n''_B)s \quad (\text{a})$$

Gdyby różnice współczynników załamania linii pośrednich  $n_x - n_y$  były do siebie w takim samym wzajemnym stosunku w badanych pryzmatach, jak np.  $n_H - n_B$ , innymi słowy, gdyby tzw. rozszczepienie częściowe było proporcjonalne do rozszczepienia całkowitego, a więc

$$\frac{n_x - n_y}{n_H - n_B} = \frac{n'_x - n'_y}{n'_H - n'_B} = \frac{n''_x - n''_y}{n''_H - n''_B} = \frac{1}{q},$$





Rys. 63



różnice odchyień poszczególnych linii Fraunhofera byłyby we wszystkich przyzmatkach jednakowe. Wtedy bowiem w poszczególnych przyzmatkach mielibyśmy

$$\delta_x - \delta_y = (n_x - n_y)m = (n_H - n_B) \frac{m}{q}$$

$$\delta'_x - \delta'_y = (n'_x - n'_y)p = (n'_H - n'_B) \frac{p}{q}$$

$$\delta''_x - \delta''_y = (n''_x - n''_y)s = (n''_H - n''_B) \frac{s}{q}$$

Skąd z uwagi na wzór (a) wynika

$$\delta_x - \delta_y = \delta'_x - \delta'_y = \delta''_x - \delta''_y.$$

We wszystkich widmach zatem, których skrajne linie *B* i *H* byłyby jednakowo odchyłone, wszystkie linie pośrednie też byłyby odchyłone jednakowo. Doświadczenie jednak wskazuje, że tak nie jest. Rozszczepienie częściowe nie jest proporcjonalne do rozszczepienia całkowitego.

W gazach bezbarwnych i przezroczystych wartość współczynnika załamania niewiele jest większa od jedności, rozszczepienie zaś całkowite tak małe, że opisane wyżej metody pomiaru nie dają w zastosowaniu do gazów dokładnych wyników. Tak np. w powietrzu o temperaturze 0° pod ciśnieniem 760 mm Hg  $n_H - n_B$  wynosi zaledwie 0,000 006 7, jest więc około 6500 razy mniejsze od całkowitego rozszczepienia w szkłe flintowym.

Tym się tłumaczy, że jakkolwiek rozszczepienie w powietrzu stwierdził już Couguer (1748 r.), w parach zaś Arago (1806 r.); dopiero Leroux w 1861 r. podał pierwsze (przybliżone zresztą i niezbyt dokładne) dane liczbowe, poprawione następnie przez Kettelera (1885 r.), posługującego się zupełnie odmienną metodą pomiaru, opartą na zjawiskach interferencji (p. rozdz. VII, ust. 6).

Szczególnie niską wartość ma współczynnik załamania w neonie i helu. W neonie

$$n_D = 1,000 067$$

jest mniejszy od  $n_D$  w powietrzu równego 1,000 29. W helu

$$n_D = 1,000 035.$$

Pomiar rozszczepienia w helu daje wartości, leżące w granicach błędu doświadczenia.

W ciekłym tlenie współczynnik załamania żółtej linii sodu wynosi, według Witkowskiego i Olszewskiego (1891 r.), 1,227.



Próby ustalenia związku między współczynnikiem załamania danego ciała i jego stanem fizycznym, a przede wszystkim jego temperaturą i ciśnieniem, jakiemu podlega, nie doprowadziły do zadowalających wyników.

Newton przypuszczał, że związek ten wyraża się wzorem

$$\frac{n^2 - 1}{d} = C_N, \quad (b)$$

gdzie  $d$  jest gęstością ciała,  $C_N$  — wielkością stałą. Gladstone i Dale (1863 r.) zastąpili wzór Newtona innym

$$\frac{n - 1}{d} = C_G, \quad (c)$$

wreszcie L. Lorenz i H. A. Lorentz jednocześnie, lecz niezależnie jeden od drugiego, wyprowadzili (1880 r.), wychodząc zresztą z całkowicie różnych założeń, wzór

$$\frac{n^2 - 1}{n^2 + 1} \cdot \frac{1}{d} = C_L \quad (d)$$

który po pomnożeniu przez ciężar drobinowy  $M$  daje tzw. refrakcję drobinową

$$\frac{n^2 - 1}{n^2 + 1} \cdot \frac{M}{d} = C_M \quad (e)$$

(por. rozdz. IX, ust. 3).

W niektórych ciałach stałych  $n$  ze wzrostem temperatury wzrasta; tak jest np. w różnych rodzajach szkła, diamencie, topazie; w innych zaś ciałach (np. w kwarcu) — maleje. (Fizeau, 1862 r.).

Z dwunastu, badanych przez Pulfricha (1892 r.) gatunków szkła jenajskiego, osiem, między innymi wszystkie szkła ciężkie (flintowe), wykazały ze wzrostem temperatury zwiększanie się współczynnika załamania, cztery zmniejszanie. We wszystkich jednak przypadkach wzrostowi temperatury towarzyszyło zwiększenie się rozszczepienia, w ciałach bowiem, w których współczynnik załamania wzrastał, wzrost był większy dla promieni bardziej lamliwych, w ciałach zaś, w których się zmniejszał, zmniejszanie dla tych promieni było mniejsze.

W cieczach współczynnik załamania ze wzrostem temperatury maleje.

W gazach  $n$  ze wzrostem ciśnienia, a więc i ze wzrostem gęstości, wzrasta, tak że iloraz

$$\frac{n - 1}{d} \quad (f)$$

jest mniej więcej stały.

Pod wysokimi ciśnieniami (do 200 at) danym pomiarom lepiej odpowiada, zdaniem Magri'ego (1905 r.), wzór (d).



Podwyższenie temperatury powoduje zmniejszanie się współczynnika załamania, większe nieco od tego, jakie możnaby było przypisać zmianie gęstości, spowodowanej przez ogrzewanie (Mascart, 1877 r.).

W ciałach, pochłaniających promienie pewnych barw, porządek barw w widmie jest na ogół inny, niż w wyżej w rozpatrywanych przypadkach rozszczepienia normalnego. Tak np. w alkoholowym 18,8% roztworze fuksyny, zbadanym przez Christiansena (1871 r.), współczynniki załamania linii Fraunhofera mają wartości następujące:

B	C	D	E	F	G	H
1,450	1,502	1,561	(zielona	1,312	1,285	1,312
			część widma			
			jest			
			pochłonięta			
			przez			
			roztwór)			

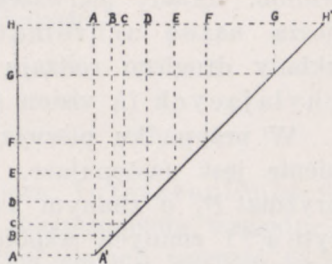
Najmniej przeto odchyłona jest fioletowa i ciemnoniebieska część widma, najbardziej żółta; porządek więc barw w widmie, gdy idziemy od najmniej ku najbardziej odchyłonym promieniom, jest mniej więcej taki: pas fioletowo-niebieski, za nim ciemna smuga, odpowiadająca pochłoniętej zielonej części widma, dalej pas czerwony, potem pomarańczowy i wreszcie żółty. Jednocześnie wzrasta ogromnie rozszczepienie: różnica współczynników załamania skrajnych barw  $G$  i  $D$  wynosi 0,276, podczas gdy w czystym alkoholu o rozszczepieniu normalnym  $n_H - n_B$  równe jest 0,013, a w silnie rozszczepiającym szkle ciężkim około 0,04.

To zjawisko rozszczepienia anomalnego (dyspersji anomalnej — łac. *dispergere* — rozrzucić, łac. *średniow. anomalis* — nieprawidłowy) jest, jak to ustalił Kundt (1871 i 1872 r.) w ścisłym związku z pochłanianiem promieni pewnych barw przez dane ciało i występuje tym wyraźniej, im pochłanianie jest silniejsze. W miarę zbliżania się od czerwonego końca widma do barwy pochłanianej stwierdzamy stopniowy wzrost współczynnika załamania, który osiąga swą najwyższą wartość dla promieni o barwie zbliżonej do barwy pochłanianej, po czym, po przekroczeniu pasa absorpcji, nagle się zmniejsza, aby znów stopniowo wzrastać ku końcowi fioletowemu.

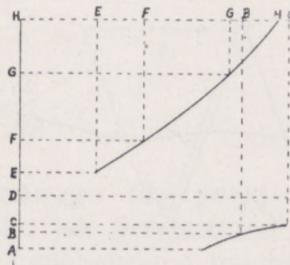
Rozszczepienie anomalne szczególnie wyraźnie występuje przy użyciu newtonowskiej metody widm „skrzyżowanych”, jaką zastosował Kundt do badania tego zjawiska. Wiązka promieni równoległych, wychodzących z wąskiej i krótkiej poziomej szczeliny, dająca po załamaniu w pryzmacie o poziomej krawędzi łamiącej pionowe widmo  $AH$  (rys. 64, gdzie rozszczepienie poszczególnych linii Fraunhofera odpowiada pryzmatowi, zwróconemu krawędzią na dół), przed dojściem do ekranu załamuje się po raz drugi w pryzmacie o krawędzi łamiącej pionowej. Ponieważ promienie różnych barw załamują się niejednakowo, odchylenie od po-



łożenia pionowego różnych części widma będzie różne. Gdy pryzmat pionowy jest z tego samego materiału, co pryzmat poziomy, widmo wypadkowe  $A'H'$  będzie, wobec równości rozszczepień częściowych w obu pryzmatach, również linią prostą, gdy z innego materiału, widmo „krzyżowe” będzie jakąś linią krzywą. Jeżeli oba pryzmaty rozszczepiają normalnie, w obu przypadkach otrzymamy widmo w postaci nieprzerwanej linii (lub raczej, wobec skończonej wysokości szczeliny, jedno nieprzerwane pasmo). Jeżeli jednak drugi pryzmat rozszczepia anomalnie, widmo będzie w pobliżu części pochłanianej nagle przerwane, wyginając się po obu jej stro-



Rys. 64



Rys. 65

nach w przeciwnych kierunkach. Tak np. dla silnego roztworu cjaniny, pochłaniającego promienie, bliskie linii  $D$ , otrzymuje się widmo takie, jak na rys. 65. Odchylenie promieni bliskich  $D$  (np. linii  $C$ ) silnie wzrasta, aby po przekroczeniu pasa absorpcji spaść do anomalnie małej wartości dla promieni  $E$ .

Zmniejszenie się współczynnika załamania może być tak wielkie, że wartość jego spada poniżej jedności; dla pewnego więc rodzaju promieni dane ciało może być optycznie rzadsze od próżni. Taki przypadek zachodzi np. w fuksynie, w której, jak to stwierdził Pflugger (1895 r.), współczynnik załamania linii strontu (leżącej między liniami  $F$  i  $G$ ) wynosi 0,83.

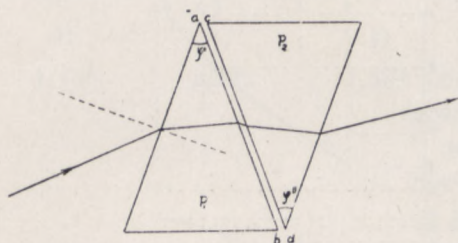
Kundtowi udało się (1888 r.) przez użycie małych, na pół przezroczystych pryzmatów metalowych o rozwarości 11" do 51" zmierzyć współczynniki załamania metali i stwierdzić istnienie anomalnej dyspersji w metalach. Metoda ta jednak wobec bardzo małej rozwarości pryzmatów nie daje, zdaniem Lummera, dokładnych wyników. Niektóre wszakże dane, otrzymane przez Kundta, znalazły potwierdzenie w badaniach, wykonanych przy użyciu innych metod. Okazało się, że istotnie metale takie, jak kobalt, miedź i inne, rozszczepiają anomalnie i że w kilku przypadkach  $n$  jest mniejsze od jedności. Tak np. w glinie  $n_G=0,76$  (Voigt, 1881 r.) w srebrze  $n_D=0,18$  (Minor 1903 r.), w cynie  $n_G=0,83$  (Voigt, 1881 r.). W sodzie, według Drudego (1890 r.),  $n_D=0,0045$ .

Rozszczepienia anomalne wykazują również zabarwione pary, jak to pierwszy wykazał Le Roux (1861 r.), a jak to później potwierdził Kundt (1872 r.), H. Becquerel (1899 r.), Lummer (1903 r.): Wood (1902 r.) i wielu innych.



### 7. ACHROMATYCZNY UKŁAD PRYZMATÓW. NIEODCHYLAJĄCY UKŁAD PRYZMATÓW. PRYZMATY ODBIJAJĄCE

Rozpatrzone w ustępie poprzednim własności rozszczepiające ciał stałych i ciekłych pozwalają na otrzymanie układów pryzmatów, powodujących odchylenie wiązki promieni bez rozszczepienia lub co najwyżej z rozszczepieniem niewielkim, jak również układów, nie odchyłających wiązki padającej, ale mimo to dających dostatecznie wyraźne widmo. Układy pierwszego rodzaju noszą nazwę achromatycznych, układy drugiego rodzaju — nieodchyłających (*à vision directe*).



Rys. 66

W przypadku pierwszym zagadnienie jest następujące. Dany jest pryzmat  $P_1$  o znanym kącie łamiącym  $\varphi'$  i znanych współczynnikach załamania  $n'$  dla wszystkich rodzajów światła; dobrać tak materiał

i kąt łamiący  $\varphi''$  drugiego pryzmatu  $P_2$ , odchyłającego promienie w kierunku przeciwnym, aby promienie skrajnych barw widma odchyłały się o ten sam kąt  $\delta$  od kierunku początkowego (rys. 66). Pryzmaty mogą nie stykać się, ale krawędź  $cd$  musi być równoległa do  $ab$ .

W przypadku ogólnym, gdy kąty łamiące pryzmatu mają znacznie mniejszą wartość, rozwiązanie tego zadania wymaga uciążliwych i długich rachunków: dlatego też poprzestaniemy na rozpatrzeniu przypadku szczególnego — pryzmatów o małych kątach łamiących, do których można stosować wzór (6c).

Odchylenia promieni linii  $B$  i  $H$  w pryzmacie  $P_1$  są odpowiednio równe

$$\delta'_B = (n'_B - 1)\varphi' \quad \text{i} \quad \delta'_H = (n'_H - 1)\varphi',$$

różnica zatem odchyżeń, spowodowanych przez ten pryzmat

$$\delta'_H - \delta'_B = (n'_H - n'_B)\varphi'.$$

Pryzmat  $P_2$  powoduje nową różnicę odchyżeń w przeciwnym kierunku

$$\delta''_H - \delta''_B = (n''_H - n''_B)\varphi''$$

Odchylenia więc promieni  $B$  i  $H$  będą jednakowe, gdy

$$\delta'_H - \delta'_B = \delta''_H - \delta''_B,$$

gdy przeto

$$\frac{\varphi'}{\varphi''} = \frac{n''_H - n''_B}{n'_H - n'_B}. \quad (2)$$



Kąty łamiące pryzmatów muszą być zatem w stosunku odwrotnym do rozszczepień całkowitych w użytych pryzmatach.

Kąt odchylenia  $\delta$ , jaki promienie  $B$  i  $H$  tworzą po wyjściu z układu z kierunkiem promieni padających, równy jest

$$\delta = \delta'_B - \delta''_B = (n'_B - 1)\varphi' - (n''_B - 1)\varphi'' = (n'_H - n'_B) \left( \frac{n'_B - 1}{n'_H - n'_B} - \frac{n''_B - 1}{n''_H - n''_B} \right) \varphi' \quad (b)$$

gdzie wielkość

$$\frac{n'_B - 1}{n'_H - n'_B}$$

jest miarą rozszczepienia względnego (dyspersji względnej). Gdyby rozszczepienie względne miało, jak przypuszczał Newton, we wszystkich ciałach wartość tę samą, odchylenie  $\delta$  byłoby równe zeru: układ achromatyczny pryzmatów byłby układem nieodchylającym; tak jednak nie jest, układ achromatyczny może więc być układem odchylającym.

Usunięcie achromatyzmu dla drugiej pary barw np.  $D$  i  $E$  wymaga spełnienia warunku dodatkowego:

$$\frac{n''_E - n''_D}{n'_E - n'_D} = \frac{n''_H - n''_B}{n'_H - n'_B}$$

lub nieco inaczej

$$\frac{n''_E - n''_D}{n''_H - n''_B} = \frac{n'_E - n'_D}{n'_H - n'_B}$$

Warunku tego przy użyciu dwóch tylko pryzmatów spełnić nie możemy, wiemy bowiem z doświadczeń, opisanych w ustępie poprzednim, że rozszczepienia częściowe nie są proporcjonalne do rozszczepień całkowitych, wobec czego promienie wszystkich innych barw zawsze odchyliły się o inny kąt, niż promienie  $B$  i  $H$  dając tzw. widmo wtórne, tym mniej wyraźne, im mniej w użytych pryzmatach różnią się stosunki rozszczepień częściowych od stosunków rozszczepień całkowitych. Środek widma wtórnego jest prawie biały, jeden jego brzeg ma obwódkę purpurową (gdy odchylenia promieni  $B$  i  $H$  są jednakowe), drugi — zielonawą. Dołączając trzeci pryzmat można otrzymać, czego tu wyprowadzać nie będziemy, to samo odchylenie dla trzech barw. Zazwyczaj achromatyzuje się układ nie dla linii  $B$  i  $H$ , lecz  $C$  i  $F$ , odgraniczają-



cych tę część widma, która przy tym samym natężeniu silniej, niż pozostałe, działa na nasze oko. Wtedy odchylenie promieni  $D$  wynosi

$$\delta_D = (n'_F - n'_C) \left( \frac{n'_D - 1}{n'_F - n'_C} - \frac{n''_D - 1}{n''_F - n''_C} \right) \varphi', \quad (c)$$

gdzie  $\frac{n_D - 1}{n_F - n_C}$  często jest oznaczane przez  $v$ .

Użyjmy do budowy układu achromatycznego pryzmatów ze szkła koronowego Dollanda o kącie łamiącym  $20^\circ$  i o współczynnikach załamania  $n_C = 1,608\,933$ ,  $n_D = 1,611\,428$ ,  $n_F = 1,617\,457$ ;  $n_G = 1,622\,696$ . Chodzi o wyznaczenie kąta łamiącego pryzmatu ze szkła flintowego Guinanda ( $n_C = 1,771\,761$ ,  $n_D = 1,777\,664$ ,  $n_F = 1,792\,420$ ;  $n_G = 1,806\,195$ ).

Ze wzoru (a) otrzymujemy

$$\varphi'' = \frac{0,008\,52}{0,020\,66} \cdot 20^\circ = 8^\circ 15' 36''.$$

Odchylenie promieni  $C$  i  $F$ , obliczone ze wzoru (b) wynosi  $5^\circ 52' 13''$ , odchylenie promieni  $D$ , obliczone ze wzoru (c) równe jest  $5^\circ 48'$ , odchylenie zaś promieni  $G$  ze wzoru

$$\delta_G = (n'_F - n'_C) \left( \frac{n'_G - 1}{n'_F - n'_C} - \frac{n''_G - 1}{n''_F - n''_C} \right) \varphi' = 5^\circ 49' 12'',$$

największa zatem różnica odchyłeń promieni załamanych wynosi nieco ponad  $4'$ . Używając nowych rodzajów szkła lekkiego i ciężkiego można otrzymać o wiele lepsze wyniki.

W nieodchylających układach pryzmatów chodzi o usunięcie odchylenia promieni środkowej części widma (zazwyczaj promienia  $D$ ), zachowanie zaś rozszczepienia. Tym razem przeto kąty łamiące muszą zadość czynić warunkowi

$$(n'_D - 1)\varphi' - (n''_D - 1)\varphi'' = 0, \quad (d)$$

skąd

$$\frac{\varphi'}{\varphi''} = \frac{n''_D - 1}{n'_D - 1};$$

różnica więc odchyłeń promieni  $F$  i  $C$ , będąca miarą długości otrzymanego w tym układzie widma

$$\Delta\delta = (\delta'_F - \delta'_C) - (\delta''_F - \delta''_C) = (n'_D - 1) \left( \frac{n'_F - n'_C}{n'_D - 1} - \frac{n''_F - n''_C}{n''_D - 1} \right) \varphi' \quad (e)$$

Biorąc te same rodzaje szkła, co w poprzednim przykładzie, na kąt łamiący pryzmatu z flintu otrzymujemy przy  $\varphi' = 20^\circ$  wartość

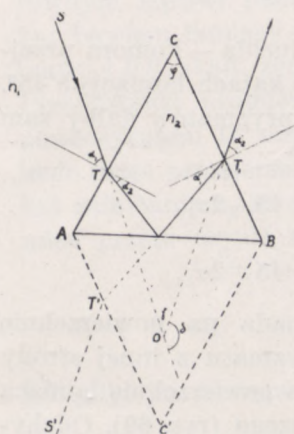
$$\varphi'' = \frac{0,611\,428}{0,777\,664} \cdot 20^\circ = 15^\circ 43' 12''.$$



Różnica odchyłeń promieni  $F$  i  $C$  będzie wtedy

$$\Delta\delta = 9'44''$$

W tego rodzaju układzie, złożonym z dwóch tylko pryzmatów, rozszczepienie, nawet przy użyciu pryzmatów o dużym kącie łamiącym, jest niewielkie. Dlatego też najczęściej używa się układów z 3, 5 i 7 pryzmatów, przy czym pryzmaty środkowe są prostokątne, krańcowe — ostrokątne, o kątach rozwarcia obliczonych z podanych wyżej wzorów.



Rys. 67

W pryzmatach odbijających, których przecięcie główne tworzy trójkąt równoramienny, promień załamany przez pierwszą powierzchnię łamiącą odbija się od podstawy pryzmatu i wychodzi przez drugą powierzchnię.

Gdy promienie padają na podstawę pod kątem mniejszym od granicznego, podstawę powleka się cienką warstwą srebra, zamieniając ją tym sposobem w zwierciadło.

Promień odbity  $T_1S_1$  (rys. 67) przechodzi w pryzmacie tę samą drogę, co promień  $S'T'$  równoległy do promienia wychodzącego  $T_1S_1$ , załamany na powierzchni  $AC'$ , będącej obrazem urojonym powierzchni  $AC$  w zwierciadle  $AB$ . Zjawisko zachodzi więc tak, jak przy załamaniu przez płytkę płaskorównoległą; promień fikcyjny  $S'T'$  jest symetryczny względem zwierciadła do promienia padającego  $ST$ ; stygmatyzm układu jest ograniczony tymi samymi warunkami, co w płytce płaskorównoległej.

Odchylenie  $\delta$  promienia wychodzącego, równe kątowi, jaki promień  $S_1T_1$  tworzy z promieniem  $ST$ , wyraża się wzorem

$$\delta = 180^\circ - \gamma$$

ponieważ

$$\gamma + \varphi + \sphericalangle CTO + \sphericalangle CT_1O = 360^\circ$$

i

$$\sphericalangle CTO = 90^\circ + \alpha_1; \quad \sphericalangle CT_1O = 90^\circ + \alpha_2'$$

$$|\alpha_1| = \alpha_2'$$

to

$$180^\circ - \delta + \varphi + 180^\circ + 2\alpha_1 = 360^\circ$$

skąd

$$\delta = \varphi + 2\alpha_1$$

lub po uwzględnieniu, że  $\alpha_1$  jest w danym przypadku kątem ujemnym (p. rozdz. II, ust. 1),  $\alpha_2'$  — dodatnim, równym  $-\alpha_1$ ,

$$\delta = \varphi - 2\alpha_1 = \varphi + 2\alpha_2'$$



Odchylenie jest niezależne od współczynnika załamania; układ jest achromatyczny.

W najprostszym pryzmacie tego typu — pryzmacie Amici'ego — (rys. 68) kąt łamiący równy jest  $90^\circ$ , odchylenie więc promieni wychodzących równe jest

$$\delta_A = 90 - 2\alpha_1.$$

Gdy  $\alpha_1 = 45^\circ$ ,  $\delta = 0$ ; pryzmat nie odchyła promieni, obrazy są odwrócone.

Często używana kostka Wollastona (camera lucida — komora przejrzysta) jest układem dwóch równych pryzmatów o kątach łamiących  $45^\circ$ .

Pierwszy z tych pryzmatów dałby sam jeden odchylenie

$$\delta_1 = 45 - 2\alpha_1,$$

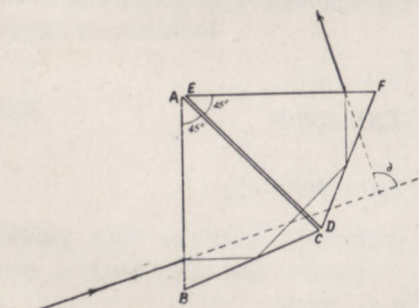
drugi

$$\delta_2 = 45 + 2\alpha_1,$$

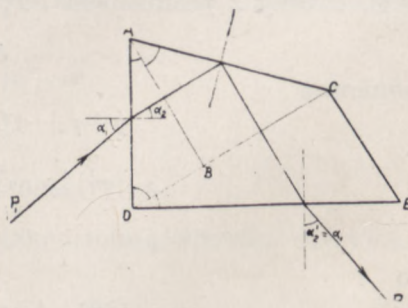
gdyż promień pada na powierzchnię łamiącą tego pryzmatu z innej strony normalnej, niż na powierzchnię łamiącą pryzmatu pierwszego (rys. 69). Odchylenie więc ostateczne

$$\delta = \delta_1 + \delta_2 = 90^\circ$$

jest niezależne od kąta padania. Gdy pod pryzmatem położymy kartkę papieru, oko zaś umieścimy w pobliżu krawędzi  $EF$ , zobaczymy obraz na tle papieru i będziemy mogli obrysować jego zarysy.



Rys. 69



Rys. 70

Szczególnie ważne zastosowanie znalazły pryzmaty odbijające w tzw. monochromatorach, gdzie promienie wychodzące po rozszczepieniu w tym samym kierunku są możliwie jednorodne. Z tych pryzmatów o stałym odchyleniu najczęściej używany jest pryzmat Pellin-



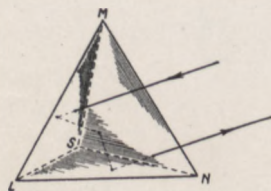
Broca (rys. 70). Układ ten można uważać za złożony z trzech pryzmatów:  $ADB$ ,  $BAC$  i  $CDE$ . Gdy promień  $P_1$  po załamaniu się w pryzmacie  $ABD$  pada prostopadłe na powierzchnię rozdziału  $AB$  (rozdziału w rzeczywistości nie istniejącego), przechodzi przez nią bez załamania i odbija się od powierzchni  $AC$  pryzmatu  $BAC$  pod kątem  $45^\circ$ , wobec czego na powierzchnię rozdziału  $DC$  pada również pod kątem prostym i po załamaniu na powierzchni  $DE$  wychodzi na zewnątrz pod kątem  $\alpha'_2$  równym kątowi padania  $\alpha_1$  promienia  $P_1$  na powierzchnię łamiącą  $AD$ , kąt bowiem łamiący pryzmatu  $CDE$  równy jest kątowi łamiącemu pryzmatu  $ADB$ , skąd, zgodnie z zasadą odwracalności biegu promieni  $\alpha_1 = \alpha'_2$ . Przedłużenia promieni  $P_1$  i  $P_2$ , tworzących z wzajemnie prostopadłymi płaszczyznami te same kąty, przecinają się pod kątem prostym, odchylenie więc promienia wychodzącego równe jest  $90^\circ$ . Aby jednak tak było, kąt załamania  $\alpha_2$  na powierzchni  $AD$  musi być równy  $30^\circ$ , kąt padania  $\alpha_1$  musi przeto czynić zadość równaniu

$$n_1 \sin \alpha_1 = n_2 \sin 30^\circ = \frac{n_2}{2}$$

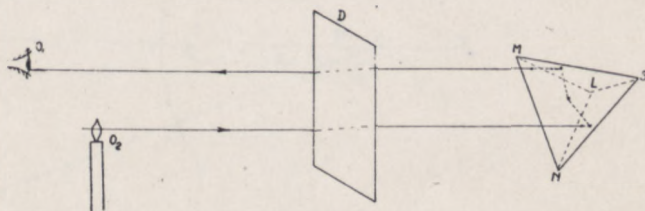
lub gdy, jak to bywa zazwyczaj,  $n_1 = 1$ ,

$$\sin \alpha_1 = \frac{n}{2}. \quad (h)$$

Z promieni zatem padających pod danym kątem padania  $\alpha_1$  na układ, w kierunku  $P_2$  wychodzić będą tylko promienie oznaczonej barwy widmowej, których współczynnik załamania czynić będzie zadość równaniu (h); wszystkie inne wychodzić będą w innych kierunkach. Obracając pryzmat i zmieniając w ten sposób stopniowo kąt  $\alpha_1$ , otrzymamy w kierunku  $P_2$  kolejno wszystkie barwy widma pryzmatycznego.



Rys. 71



Rys. 71a

Ciekawe własności optyczne posiada ostrosłup, ograniczony trzema ścianami łamiącymi, z których każda jest trójkątem prostokątnym, i podstawą  $LMN$ , stanowiącą trójkąt równoboczny (rys. 71). W takim układzie każdy promień padający na podstawę i odbity kolejno od wszystkich ścian ostrosłupa, wychodzi z powrotem równoległe do promienia padającego. Jeżeli więc układ podstawą swą  $LMN$



zwrócony jest w stronę obserwatora  $O_1$  (rys. 71a), obserwator zobaczy odbicie światła, wychodzącego z przedmiotu świecącego (np. świecy lub zapalniczki), umieszczonego w pobliżu oka. Ponieważ przesunięcie promienia odbitego wynosi zaledwie parę milimetrów, (na rys. 71a znacznie powiększone), inny obserwator, patrzący z boku, odbicia widzieć nie będzie. Układ nadaje się zatem do sygnalizacji tajnej: drugi obserwator  $O_2$ , zasłaniając układ na krótszy lub dłuższy przeciąg czasu nieprzezroczystym ekranem  $D$ , może przesyłać obserwatorowi  $O_1$  świetlne sygnały Morse'a, które odbierać będzie tylko obserwator  $O_1$ .

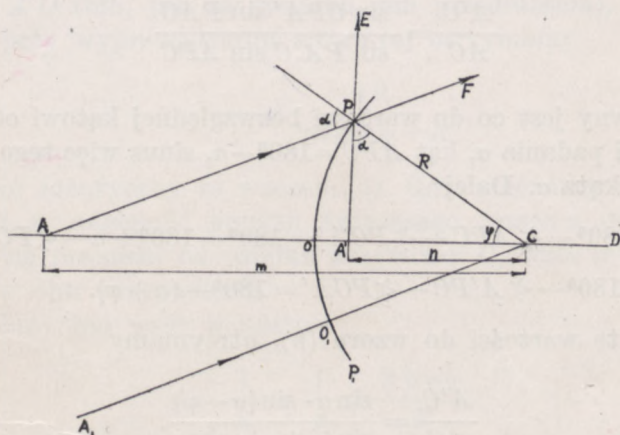


## Rozdział IV

### ODBICIE I ZAŁAMANIE PROMIENI NA POWIERZCHNIACH KULISTYCH

#### 1. ODBIJANIE PROMIENI PRZEZ POWIERZCHNIE KULISTE

Odbicie poszczególnych wiązek promieni od powierzchni kulistej możemy rozpatrywać zupełnie w ten sam sposób, co odbicie od powierzchni płaskiej, kierunek bowiem promienia odbitego zależy jedynie od kształtu powierzchni w bezpośrednim sąsiedztwie punktu padania, a więc nie ulega zmianie, gdy dany element powierzchni odbijającej zastąpimy elementem płaszczyzny, stycznym w punkcie padania do rozpatrywanej powierzchni. Jedyną różnicą polegać będzie na tym, że normalne do powierzchni nie będą wzajemnie równoległe, lecz będą się przecinały w środku krzywizny  $C$  danej powierzchni kulistej. I tym



Rys. 72

razem przeto promienie, wychodzące z punktu świecącego  $A$  i padające w punkcie  $P$  na powierzchnię odbijającą, będą się odbijały zgodnie z prawem Descartes'a. Spomiędzy tych promieni jeden  $AO$  (rys. 72) będzie biegł wzdłuż prostej, przechodzącej przez środek krzywizny  $C$ , po



odbiciu więc wracać będzie wzdłuż tej samej prostej. Promień ten nazywamy środkowym, prostą  $AD$  — osią układu, punkt  $O$  wierzchołkiem powierzchni odbijającej. Jest rzeczą oczywistą, że każdemu punktowi, nie leżącemu na osi  $AO$ , np. punktowi  $A_1$ , odpowiadać będzie inna oś (np.  $A_1C$ ) i inny wierzchołek (np.  $O_1$ ). Zazwyczaj jednak za oś kulistego układu odbijającego bierze się prostą, przechodzącą przez punkt  $C$  i środek powierzchni odbijającej. Oś ta, nazywana osią główną, jest osią symetrii układu, bieg promieni jest przeto w każdej płaszczyźnie, przechodzącej przez oś, ten sam, wystarczy więc rozpatrzyć odbicie w jednej z tych płaszczyzn, np. w płaszczyźnie rysunku, aby przez obrót dookoła osi  $AO$  wyznaczyć kierunek wszystkich promieni odbitych.

Gdyby układ był stygmatyczny, wszystkie promienie odbite (lub ich przedłużenia) przecinałyby się w jednym punkcie  $A'$ , będącym obrazem rzeczywistym (lub jak na rys. 72 urojonym) punktu  $A$ ; wystarczyłoby więc wyznaczenie punktu przecięcia dwóch dowolnych promieni odbitych (np.  $PE$  i  $AO$ ) dla znalezienia położenia obrazu.

Z trójkątów  $CPA'$  i  $ACP$  znajdujemy

$$\frac{A'C}{CP} = \frac{\sin CPA'}{\sin PA'C} \quad \text{i} \quad \frac{CP}{AC} = \frac{\sin PAC}{\sin APC}, \quad (\text{a})$$

skąd

$$\frac{A'C}{AC} = \frac{\sin CPA' \sin PAC}{\sin PA'C \sin APC}. \quad (\text{b})$$

Kąt  $CPA'$  równy jest co do wartości bezwzględnej kątowi odbicia i tym samym kątowi padania  $\alpha$ , kąt  $APC = 180^\circ - \alpha$ , sinus więc tego kąta równy jest sinusowi kąta  $\alpha$ . Dalej

$$\sphericalangle PAC = 180^\circ - \sphericalangle APC - \sphericalangle PCA' = 180^\circ - 180^\circ + \alpha - \sphericalangle PCA' = \alpha - \varphi,$$

$$\sphericalangle PA'C = 180^\circ - \sphericalangle A'PC - \sphericalangle PCA' = 180^\circ - (\alpha + \varphi).$$

Podstawiając te wartości do wzoru (b), otrzymamy

$$\frac{A'C}{AC} = \frac{\sin \alpha \cdot \sin(\alpha - \varphi)}{\sin(\alpha + \varphi) \cdot \sin \alpha}. \quad (\text{c})$$

Oznaczmy odległości  $AC$  i  $A'C$  przez  $m$  i  $n$ , uważając je za dodatnie w kierunku od  $O$  do  $C$  (w danym więc przypadku  $m$  i  $n$  są dodatnie):

$$\frac{n}{m} = \frac{\sin \alpha \cdot \cos \varphi - \cos \alpha \cdot \sin \varphi}{\sin(\alpha + \varphi)},$$



wobec czego

$$\frac{n}{m} + 1 = \frac{n+m}{m} = \frac{2 \sin \alpha \cdot \cos \varphi}{\sin(\alpha + \varphi)};$$

z pierwszej proporcji (a) otrzymujemy

$$\frac{n}{R} = \frac{\sin \alpha}{\sin(\alpha + \varphi)},$$

gdzie  $R$  promień krzywizny powierzchni odbijającej, mamy zatem

$$\frac{n+m}{m} = \frac{2n}{R} \cos \varphi$$

i

$$n = \frac{m \cdot R}{2m \cos \varphi - R}. \quad (e)$$

Położenie przeto punktu  $A'$  jest funkcją kąta  $\varphi$ , jaki tworzy normalna do powierzchni w punkcie padania z osią układu.

Taki sam wzór otrzymamy i wtedy, gdy punkt świecący znajdować się będzie po wklęsłej stronie powierzchni odbijającej, wtedy bowiem punktowi świecącemu  $A'$  odpowiada punkt przecięcia promieni odbitych  $PF$  i  $A'O$  (lub, jak na rysunku, ich przedłużenia), i idąc tą samą drogą, co przy wyprowadzaniu wzoru (e) otrzymamy

$$m = \frac{nR}{2n \cos \varphi - R},$$

a więc wzór identyczny ze wzorem (e). Gdy umówimy się oznaczać zawsze przez  $m$  odległość punktu świecącego, przez  $n$  odległość punktu przecięcia się promieni od środka krzywizny  $O$ , wzór (e) będzie można stosować w obu przypadkach.

Przepiszmy ten wzór w postaci

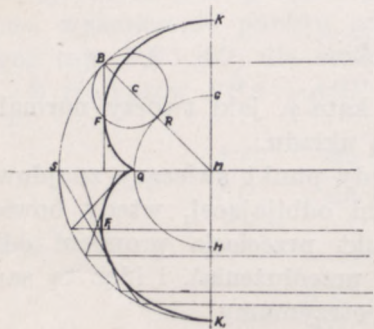
$$\frac{1}{m} + \frac{1}{n} = \frac{2 \cos \varphi}{R}. \quad (f)$$

W punkcie  $A'$  przecinają się zatem jedynie promienie, tworzące stożek  $PAP_1$ , wszystkim bowiem punktom padania promieni tego stożka odpowiada ten sam kąt  $\varphi$ .

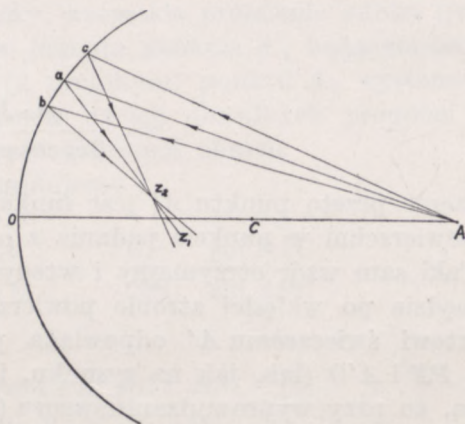
Miejszem geometrycznym przecięcia się poszczególnych wiązek, padających w punktach, o różnych wartościach kąta  $\varphi$ , jest powierzchnia kaustyczna, nazywana w tym przypadku katakaustyczną. Gdy pro-



mienie wychodzą z nieskończonego odległego punktu świecącego, leżącego na osi głównej, katakaustyka jest, co podamy bez udowodnienia, powierzchnią otrzymaną przez obrót dookoła osi epicykloidy  $KFF_1K_1$ , (rys. 73) tj. krzywej, opisanej przez punkt  $F$  koła  $RFB$ , toczącego się po kole  $GQH$ , przy czym toczące się ma promień cztery razy mniejszy od promienia krzywizny kulistej powierzchni odbijającej, koło zaś nieruchome  $GQH$  ma promień dwa razy mniejszy. Dla wklęsłych powierzchni odbijających a więc przy takim, jak na rysunku, kierunku promieni padających, katakaustyka jest powierzchnią, na której natężenie światła jest większe, niż w punktach, leżących poza nią, jest więc powierzchnią rzeczywistą; dla powierzchni wypukłych jest ona jedynie miejscem geometrycznym obrazów urojonych, tworzonych przez poszczególne wiązki odbitego pęku promieni.



Rys. 73



Rys. 74

Niech  $Aa, Ab, Ac$  będą promieniami wiązki, padającej na bardzo mały element powierzchni. Promienie wiązki będą, jak wiemy, (rozd. III, ust. 2, str. 52) przechodziły przez dwa, bardzo krótkie wzajemnie prostopadłe odcinki prostej — ogniskowe wiązki (rys. 74). Promienie wiązki odbite od tych punktów elementu powierzchni, którym odpowiada ten sam kąt  $\varphi$  (np. od punktów  $b$ , otrzymanych przez obrót około osi  $AO$ ), przecinają się w tym samym punkcie osi, wobec tego jedną z tych ogniskowych wiązki będzie odcinek  $Z_1$  osi, druga ogniskowa  $Z_2$  będzie prostopadła do płaszczyzny rysunku. Katakaustyka, jako miejsce geometryczne tych ogniskowych, jest na ogół powierzchnią dwupowłokową, w danym jednak przypadku składać się będzie z odcinka osi, stanowiącego jedną powłokę zwyrodniałą i z powierzchni krzywej, której kształt zależy od położenia punktu świecącego względem powierzchni odbijającej.

W przypadku wszakże, gdy kąt  $\varphi$  niewiele różni się od zera, a więc gdy albo rozwartość powierzchni odbijającej jest niewielka albo szerokość wiązki padającej jest odpowiednio ograniczona, możemy przyjąć, że promienie odbite przecinają się w jednym punkcie. Wtedy wiązka,



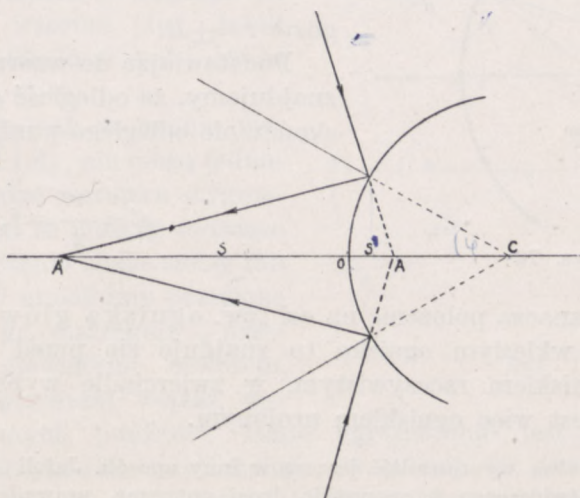
wychodząca z jednego punktu — homocentryczna (gr. homoios — podobny, jednakowy) pozostanie po odbiciu homocentryczna.

Dla tego rodzaju promieni osiowych wzór (f) przybierze postać

$$\frac{1}{m} + \frac{1}{n} = \frac{2}{R}, \quad (1)$$

$n$  będzie zatem niezależne od położenia punktu padania danego promienia.

Zazwyczaj położenie punktu świecącego i obrazu odnosimy nie do środka krzywizny  $C$ , lecz do wierzchołka powierzchni odbijającej uważając te odległości  $s$  i  $s'$  za dodatnie, gdy punkt czy obraz znajduje się



Rys. 75

po tej stronie powierzchni, na którą pada światło; ujemne zatem odległości punktu świecącego czy obrazu oznaczają urojony punkt świecący (na powierzchnię padają promienie zbieżne, rys. 75) czy też urojony obraz. Podstawiając do wzoru (1)

$$m = s + R, \quad \text{i} \quad n = R - (-s') = R + s'$$

$s'$  bowiem jest tym razem ujemne (p. rys. 72), otrzymujemy po przeobrażeniach

$$\frac{1}{s} + \frac{1}{s'} = -\frac{2}{R}.$$



Dla wklęsłej powierzchni odbijającej otrzymamy, kładąc

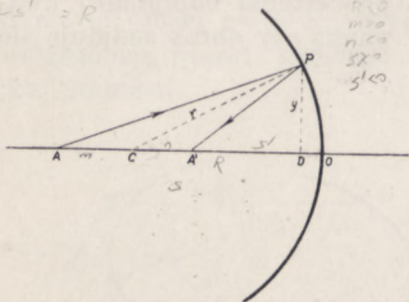
$$m=R-s \quad \text{i} \quad n=R-s'$$

$$\frac{1}{s} + \frac{1}{s'} = \frac{2}{R}.$$

Uważając promień  $R$  powierzchni, zwróconej wypukłością ku padającemu światłu, za ujemny, zwróconej wklęsłością — za dodatni, otrzymamy wzór ogólny, obowiązujący w obu przypadkach

$$m = R - s$$

$$n + s' = R$$



Rys. 76

$$\frac{1}{s} + \frac{1}{s'} = \frac{2}{r}, \quad (1a)$$

gdzie  $r = \pm R$ .

Podstawiając do wzoru (1a)  $s = \infty$ , znajdujemy, że odległość  $s'$  obrazu nieskończenie odległego punktu równa jest

$$s' = \frac{r}{2} = f,$$

odległość ta wyznacza położenie na osi tzw. ogniska głównego układu. W zwierciadle wklęsłym ognisko to znajduje się przed zwierciadłem, jest przeto ogniskiem rzeczywistym, w zwierciadle wypukłym — poza zwierciadłem, jest więc ogniskiem urojonym.

Wzór (1a) można wyprowadzić jeszcze w inny sposób. Jeżeli  $A'$  (rys. 76) jest obrazem punktu świecącego  $A$ , wszystkie drogi optyczne, prowadzące z  $A$  do  $A'$  muszą być równe, a przeto

$$s + s' = AP + PA', \quad (g)$$

(por. wzór 4a rozdz. II).

Z trójkątu  $APD$  mamy

$$AP^2 = AD^2 + y^2 = (AC + CD)^2 + y^2 = (s - r + \sqrt{r^2 - y^2})^2 + y^2 =$$

$$= \left[ s - r + r \left( 1 - \frac{y^2}{2r^2} \right) \right]^2 + y^2 = \left( s - \frac{y^2}{2r} \right)^2 + y^2.$$

Odrzucając  $\frac{y^4}{4r^2}$ , jako wielkość małą w porównaniu z, pozostałymi, otrzymujemy

$$AP = s \sqrt{1 + \frac{y^2}{s} \left( \frac{1}{s} - \frac{1}{r} \right)} = s + \frac{y^2}{2} \left( \frac{1}{s} - \frac{1}{r} \right).$$

Analogicznie znajdujemy

$$PA' = s' + \frac{y^2}{2} \left( \frac{1}{s'} - \frac{1}{r} \right).$$



Równanie (g) będzie więc spełnione, gdy

$$s + s' = s + \frac{y^2}{2} \left( \frac{1}{s} - \frac{1}{r} \right) + s' + \frac{y^2}{2} \left( \frac{1}{s'} - \frac{1}{r} \right);$$

jest to możliwe tylko wtedy, gdy

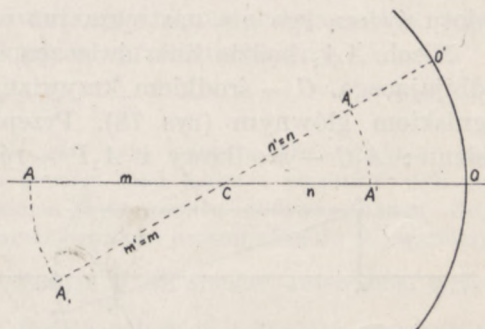
$$\frac{1}{s} - \frac{1}{r} + \frac{1}{s'} - \frac{1}{r} = 0 \quad \text{lub} \quad \frac{1}{s} + \frac{1}{s'} = \frac{2}{r}.$$

Gdy punkt świecący leży z boku osi głównej, np. w punkcie  $A_1$ , obraz utworzony przez ciekłą wiązkę promieni padających prawie prostopadle na powierzchnię odbijającą i stanowiących zatem wiązkę promieni środkowych, leży na osi  $A_1C$  tego punktu (rys. 77), przy czym odległość jego  $s'_1$  od odpowiedniego wierzchołka  $O'$ , jest związana z odległością  $s_1$  punktu świecącego od wierzchołka wzorem (1a). Jeżeli w dodatku odległości  $A_1C$  i  $AC$  są równe,  $CA' = CA'_1$ .

Na ogół jednak promienie, wychodzące z  $A$  i  $A_1$ , nie mogą jednocześnie spełniać warunku stygmatyzmu, chyba że punkty świecące leżą nieskończenie blisko siebie lub też, gdy w  $C$  umieścimy przesłonę (diafragmę, gr. diafragma — przegroda) z niewielkim otworem, który by ograniczał wiązkę, wysyłane z danych punktów. Takie ograniczenie jest jednak możliwe jedynie w przypadku powierzchni, zwróconej ku punktom świecącym wklęsłą swą stroną, tylko wtedy bowiem promienie istotnie przechodzą przez punkt  $C$ .

Jeżeli warunki te są spełnione, obrazy zarówno punktów  $A$  i  $A_1$ , jak i, oczywiście, wszystkich punktów, leżących między nimi na powierzchni kulistej o środku w  $C$ , powstają na współśrodkowej powierzchni kulistej  $A'A'_1$ . Biorąc pod uwagę, że kąty  $A_1CA$  i  $A'CA'_1$  muszą być, z istoty rzeczy, bardzo małe, możemy elementy powierzchni kulistej  $A_1A$  i  $A'A'_1$  rozpatrywać, bez wielkiego błędu, jako elementy płaszczyzny. W przypadku zatem spełnienia warunków stygmatyzmu punkty świecące, rozłożone na bardzo małym elemencie płaszczyzny, prostopadłej do osi głównej, dają obrazy punktowe, leżące również na płaszczyźnie, prostopadłej do osi.

Uogólniając pojęcia, wprowadzone już w rozdz. III (str. 44) nazwiemy przestrzenią przedmiotu — przestrzeń, w której leżą punkty świecące, przestrzenią obrazu — przestrzeń, w której leżą sprze-



Rys. 77

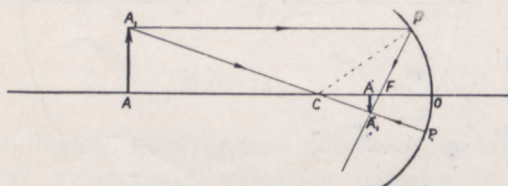


zone z nimi obrazy. Przestrzenie te mogą, rzecz prosta, zachodzić na siebie wzajemnie, a nawet częściowo się ze sobą pokrywać, jak np. w przypadku obrazów powstających przez odbicie w zwierciadle wklęsłym. Przy spełnieniu warunków stygmatyzmu każdemu punktowi przestrzeni przedmiotu odpowiada sprzężony z nim punkt przestrzeni obrazu, każdemu zaś promieniowi w przestrzeni przedmiotu sprzężony z nim promień w przestrzeni obrazu i wreszcie, promienie sprzężone w przestrzeni obrazu z promieniami, przecinającymi się w dowolnym punkcie  $A$  przestrzeni przedmiotu, przecinają się w punkcie  $A'$  przestrzeni obrazu, sprzężonym z punktem  $A$ .

Pojęcie elementów sprzężonych pierwszy wprowadził Lagrange (1778 r.).

W tych warunkach wykreślne znalezienie położenia obrazu przedmiotu świecącego nie następuje już większych trudności.

Niech  $AA_1$  będzie linią świecącą, prostopadłą do osi głównej układu odbijającego,  $C$  — środkiem krzywizny powierzchni odbijającej,  $F$  — jej ogniskiem głównym (rys. 78). Przeprowadźmy z punktu  $A$  dwa promienie:  $A_1C$  — środkowy i  $A_1P$  — równoległy do osi głównej. Promień



Rys. 78

pierwszy odbija się wzdłuż  $P_1C$ , drugi po odbiciu przechodzi przez ognisko główne; punkt przecięcia tych promieni, sprzężonych w przestrzeni obrazu z promieniami  $A_1P$  i  $A_1P_1$ , przecinającymi się w punkcie  $A_1$  przestrzeni przedmiotu, jest

sprzężony z punktem  $A'_1$ , jest więc jego obrazem. Ponieważ, zgodnie z założeniem, obraz elementu płaszczyzny, prostopadłej do osi, jest też elementem płaskim, prostopadłym do osi, obraz linii  $AA_1$  otrzymamy, opuszczając z  $A'_1$  prostopadłą na oś główną.

Stosunek długości  $A'A'_1$  i  $AA_1$ , wyrażający poprzeczne powiększenie liniowe obrazu  $\mathcal{P}$ , znajdujemy z trójkątów  $AA_1C$  i  $A'_1CA'$ :

$$\frac{A'A'_1}{AA_1} = \frac{CA'}{CA}.$$

Zazwyczaj odcinki  $AA_1$  i  $A'A'_1$  uważamy za dodatnie, gdy leżą ponad osią, za ujemne — gdy pod nią. Uwzględniając to znakowanie i oznaczając odcinki te przez  $y$  i  $y'$  w przypadku przedstawionym na rys. 78 otrzymamy

$$\mathcal{P} = \frac{y'}{y} = -\frac{r-s'}{s-r} = \frac{r-s'}{r-s}.$$



Podstawiając wartość  $s, s'$  lub  $r$  z równania (1a) otrzymujemy

$$\mathcal{P} = \frac{y'}{y} = -\frac{2s' - r}{r} = -\frac{r}{2s - r} = -\frac{s'}{s}, \quad (2)$$

i wreszcie wprowadzając odległość ogniskową  $f$

$$\mathcal{P} = \frac{f - s'}{f} = \frac{f}{f - s}. \quad (2a)$$

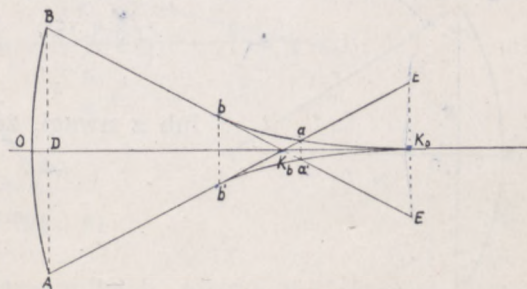
Poprzeczne powiększenie liniowe będzie przeto miało tę samą wartość dla wszystkich przedmiotów świecących, leżących w tej samej prostopadłej do osi głównej płaszczyźnie, co linia świecąca  $AA_1$ .

Gdy  $s > f$ ,  $\mathcal{P}$  jest ujemne, obraz jest odwrócony; gdy  $s > 2f$ ,  $\mathcal{P}$  jest mniejsze od jedności, obraz jest odwrócony i zmniejszony; obraz więc jest wtedy tylko rzeczywisty i większy od przedmiotu, gdy

$$f < s < 2f.$$

Obraz przedmiotu bardzo odległego jest tym większy, im większy jest promień  $r$  powierzchni odbijającej, kąt  $\gamma$  bowiem, pod jakim z punktu  $O$  widzimy przedmiot, równy jest kątowi, pod jakim z tegoż punktu widzimy obraz. Gdy obraz leży w płaszczyźnie, przechodzącej przez ognisko i prostopadłej do osi, wymiary jego liniowe są równe  $f \cdot \operatorname{tg} \gamma = \frac{r}{2} \operatorname{tg} \gamma$ . Zwiększając zatem promień zwierciadła, otrzymuje się dość duże obrazy przedmiotów bardzo odległych (obrazy te, oczywiście, są mniejsze od przedmiotów). Tak np. Herschel (1738—1822) przy użyciu zwierciadła o promieniu 16 m otrzymał obraz słońca o średnicy 7 cm.

Warunek stygmatyzmu nigdy wszakże nie jest w praktyce całkowicie spełniony. Promienie odbite, jak o tym już była mowa w rozdziale poprzednim, nie przecinają się w jednym punkcie. W zwierciadłach wklęsłych promienie brzeżne przecinają oś bliżej wierzchołka powierzchni odbijającej, promienie środkowe — dalej. Gdy, jak to bywa zazwyczaj, powierzchnia odbijająca stanowi niewielką część powierzchni kulistej, krzywą katakaustyczną jest krzywa  $bK_0b'$  (rys. 79). Punkt  $K_b$  jest punktem przecięcia z osią promieni brzeżnych, punkt  $K_0$  — osiowych. Przesuwając ekran z położenia  $bb'$  do  $EE'$ , otrzymujemy na ekranie obraz punktu świecącego w postaci nierównomiernie oświetlonej tarczy; w położeniu  $bb'$  najsilniej oświetlone są brzegi, w położeniu  $EE'$  — środek tarczy.



Rys. 79



Tarcza ma promień najmniejszy, gdy obraz jest w położeniu  $aa'$ , w tym miejscu promienie brzeżne przecinają kaustykę; jest to tzw. koło najmniejszego rozproszenia (p. niżej, ust. 7). Koło to przyjmujemy za obraz punktu świecącego.

Różnicę odległości od wierzchołka punktów  $K_0$  i  $K_b$  nazywamy aberacją podłużną (łac. aberrare — zabłąkać się). Wartość jej można łatwo wyznaczyć w przypadku promieni równoległych. Kładąc we wzorze (f)  $m = \infty$ , otrzymujemy dla promieni brzeżnych

$$n_b = \frac{r}{2 \cos \varphi},$$

dla promieni osiowych

$$n_0 = \frac{r}{2}.$$

Wobec tego

$$OK_0 - OK_b = CK_b - CK_0 = \frac{r}{2} \left( \frac{1}{\cos \varphi} - 1 \right) = r \frac{\sin^2 \frac{\varphi}{2}}{\cos \varphi}. \quad (3)$$

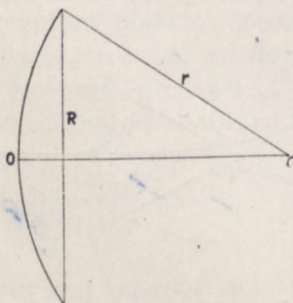
(Punkt  $C$  nie oznaczony na rysunku).

Jest to tzw. główna aberacja podłużna.

Dla  $\varphi$  równego np.  $20^\circ$  aberacja ta wynosi 0,03 r.

Gdy  $\varphi$  jest dostatecznie małe, aby można było bez znaczniejszego błędu przyjąć  $\cos \varphi = 1$ ;  $\sin \frac{\varphi}{2} = \frac{\varphi}{2}$ , wzór (3) przybiera postać

$$CK_b - CK_0 = r \frac{\varphi^2}{4}$$



lub z uwagi, że

$$\varphi \approx \sin \varphi = \frac{BD}{r} = \frac{R}{r},$$

gdzie  $R$  jest promieniem prostopadłego do kierunku promieni przekroju zwierciadła — miarą jego rozwartości (rys. 80)

Rys. 80

$$OK_0 - OK_b = r \cdot \frac{R^2}{4r^2} = \frac{R^2}{4r} \quad (3a)$$



Promień  $EK_0$  koła rozproszenia w płaszczyźnie ogniskowej promieni osiowych jest miarą głównej aberracji poprzecznej. Przyjmując, że kąt  $EK_bK_0$  równy kątowi  $BK_bO$  równy jest  $2\varphi$  ( $OK_b$  bowiem mało się różni od  $\frac{r}{2}$ ) z trójkąta  $EK_bK_0$  znajdujemy

$$EK_0 = (OK_0 - OK_b) \cdot \operatorname{tg} 2\varphi, \quad (4)$$

co dla małych kątów  $\varphi$  daje

$$EK_0 = \frac{R^2}{4r} \cdot \frac{2R}{r} = \frac{R^3}{2r^2}. \quad (4a)$$

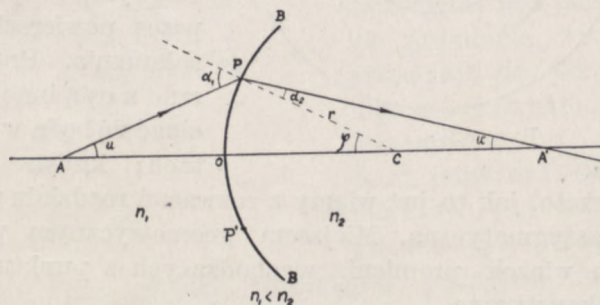
Średnica koła najmniejszego rozproszenia wynosi, czego tu wyprowadzać nie będziemy, połowę promienia głównej aberracji poprzecznej, a więc

$$D_m = \frac{R^3}{4r^2}, \quad (4b)$$

skąd wynika, że źrenica ta szybko wzrasta ze wzrostem rozwartości zwierciadła.

## 2. ZAŁAMANIE NA POWIERZCHNI KULISTEJ

Analogiczne zjawiska zachodzą przy załamaniu się światła na powierzchni kulistej. Niech  $BB$  będzie kulistą powierzchnią łamiącą, roz-



Rys. 81

dzielającą środowiska o współczynnikach załamania, równych odpowiednio  $n_1$  i  $n_2$ , i niech punkt świecący  $A$  znajduje się w środowisku o współczynniku  $n_1$  mniejszym od  $n_2$  (rys. 81). Promień  $AP$ , padający pod kątem  $\alpha_1$ , załamuje się pod kątem  $\alpha_2$  związanym z kątem padania wzorem Descartes'a

$$n_1 \sin \alpha_1 = n_2 \sin \alpha_2. \quad (a)$$



Z trójkąta  $APC$  otrzymujemy

$$\frac{AC}{PC} = \frac{\sin APC}{\sin PAC} = \frac{\sin \alpha_1}{\sin u}, \quad (b)$$

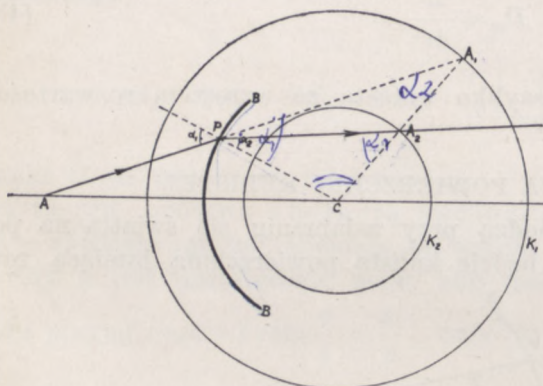
z trójkąta zaś  $A'PC$

$$\frac{A'C}{PC} = \frac{\sin CPA'}{\sin PA'C} = \frac{\sin \alpha_2}{\sin u'} \quad (c)$$

dzieląc (c) przez (b) znajdujemy

$$\frac{A'C}{AC} = \frac{\sin \alpha_2}{\sin \alpha_1} \cdot \frac{\sin u}{\sin u'} = \frac{n_1}{n_2} \cdot \frac{\sin u}{\sin u'}. \quad (d)$$

Położenie zatem punktu  $A'$  na osi jest zależne od wartości kąta  $u$  a więc od położenia punktu padania  $P$ . W tym samym punkcie przecinać się



Rys. 82

będą jedynie promienie, tworzące z osią ten sam kąt  $u$ . Promienie te będą tworzyły stożek  $PAP'$ , który otrzymamy przez obrót  $AP$  dookoła osi  $AC$ , gdzie  $AC$  jest, jak w rozważaniach ustępu poprzedniego, promieniem osiowym, przechodzącym przez powierzchnię  $BB$  bez załamania. Promienie, tworzące z osią inne kąty  $u$ , przecinać się będą w innych punktach; kulista powierzchnia

łamiąca jest przeto, jak to już wiemy z rozważań rozdziału poprzedniego, powierzchnią astygmatyczną. Miejscem geometrycznym przecięcia się poszczególnych wiązek promieni, wychodzących z punktu  $A$ , jest powierzchnia diakaustyczna.

Opiszmy z punktu  $C$ , środka krzywizny powierzchni łamiącej, dwie kule  $K_1$  i  $K_2$  o promieniach, równych odpowiednio  $r_1 = \frac{n_2}{n_1} r$  i  $r_2 = \frac{n_1}{n_2} r$ , gdzie  $r$  — promień powierzchni łamiącej (rys. 82). Przedłużmy promień padający  $AP$  do przecięcia z kulą  $K_1$  i połączmy punkt przecięcia  $A_1$  ze środkiem  $C$ . Prosta  $PA_2$ , łącząca punkt padania  $P$  z punktem, w którym prosta  $A_1C$  przecina kulę  $K_2$ , wyznacza kierunek promienia załamanego, stosunek bowiem sinusów kątów  $CPA_1 = \alpha_1$  i  $CPA_2 = \alpha_2$  równy



jest stosunkowi  $n_2$  do  $n_1$ . Istotnie, z podobieństwa trójkątów  $PCA_2$  i  $PCA_1$ , w których kąt  $PCA_1$  i bok  $PC$  są wspólne, inne zaś boki wzajemnie proporcjonalne, wynika, że

$$\sphericalangle A_1PC = \alpha_1 = \sphericalangle PA_2C,$$

skąd, wobec tego, że

$$\frac{\sin PA_2C}{PC} = \sin \frac{CPA_2}{A_2C},$$

otrzymujemy

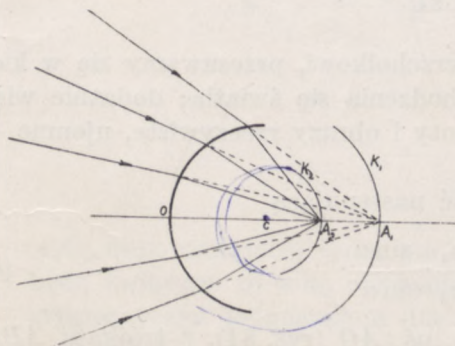
$$\frac{r}{r_2} = \frac{\sin PA_2C}{\sin CPA_2} = \frac{\sin \alpha_1}{\sin \alpha_2}$$

i ostatecznie

$$\frac{\sin \alpha_1}{\sin \alpha_2} = \frac{n_2}{n_1},$$

zgodnie ze wzorem (a). (konstrukcja Weierstrassa).

Kreśląc w ten sposób promienie załamane, sprzężone z promieniami padającymi na powierzchnię pod różnymi kątami  $\alpha_1$ , stwierdzimy bez trudu, że promienie te przecinają oś w różnych punktach. Jedynie w przypadku, gdy punktem świecącym jest punkt  $A_1$ , wszystkie promienie, wychodzące z  $A_1$ , przecinają się, jak to wprost wynika z konstrukcji, w punkcie  $A_2$ , leżącym na osi, odpowiadającej temu punktowi. Gdy jeden z tych punktów jest urojony (gdy np. jak na rys. 83 punkt  $A_1$  jest



Rys. 83

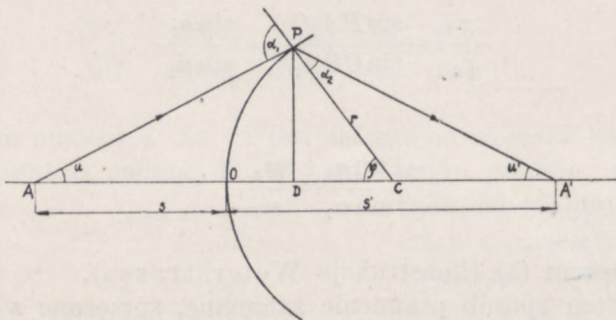
punktem przecięcia wiązki rozbieżnej, padającej na powierzchnię łamiącą), drugi jest rzeczywisty. Punkty o takich własnościach nazywamy anaberacyjnymi. Kulista powierzchnia łamiąca ma przeto trzy punkty anaberacyjne: punkty  $A_1$  i  $A_2$ , odległe o  $r_1 = \frac{n_2}{n_1} r$  i  $r_2 = \frac{n_1}{n_2} r$  od środka krzywizny  $C$  oraz sam środek krzywizny; dwa pierwsze są punktami wzajemnie sprzężonymi, punkt  $C$  zaś sprzężony jest sam ze sobą, wszystkie bowiem promienie, wychodzące z  $C$ , przechodzą po załamaniu na powierzchni kulistej również przez punkt  $C$ .



Kulista powierzchnia odbijająca ma tylko jeden punkt anaberacyjny — środek krzywizny  $O$ .

Przy innych położeniach punktu świecącego kulista powierzchnia łamiąca jest stygmatyczna jedynie dla bardzo cienkich wiązek jednorodnych promieni osiowych.

Oznaczmy przez  $s$  i  $s'$  odległości punktu świecącego i obrazu od wierzchołka  $O$  powierzchni łamiącej i umówmy się promień krzywizny  $r$  uważać za dodatni, gdy światło pada na wypukłą stronę powierzchni łamiącej,  $s$  — za dodatnie, gdy idąc od danego punktu ku wierzchołkowi, poruszamy się w kierunku rozchodzenia się światła i wreszcie  $s'$  — za



Rys. 84

dodatnie, gdy idąc od obrazu ku wierzchołkowi, przesuwamy się w kierunku odwrotnym do kierunku rozchodzenia się światła; dodatnie więc wartości  $s$  i  $s'$  wyrażać będą przedmioty i obrazy rzeczywiste, ujemne — urojone.

Wzór (d) przybierze wtedy postać następującą

$$\frac{s' - r}{s + r} = \frac{n_1}{n_2} \cdot \frac{\sin u}{\sin u'}. \quad (e)$$

Opuśćmy z  $P$  prostopadłą  $PD$  na oś  $AO$  (rys. 84), z trójkąta  $APD$  znajdujemy

$$PD = AP \sin u,$$

z trójkąta zaś  $A'PD$

$$PD = A'P \sin u',$$

skąd

$$\frac{\sin u}{\sin u'} = \frac{A'P}{AP}.$$

Zalóżmy, że kąty  $u$  i  $u'$  są bardzo małe, wtedy

$$AP \approx AO = s$$

$$A'P \approx A'O = s'.$$



Po podstawieniu do wzoru (e) otrzymujemy

$$\frac{s' - r}{s + r} = \frac{n_1}{n_2} \cdot \frac{s'}{s} \quad (5)$$

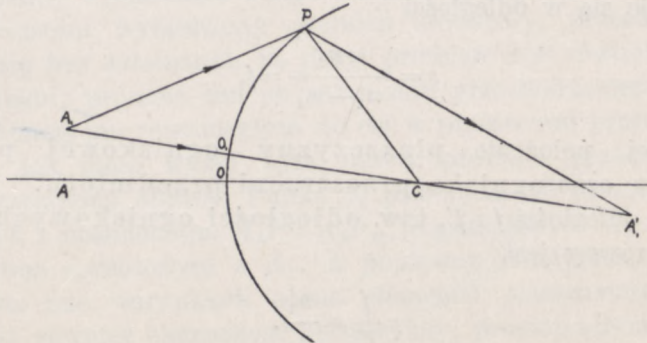
lub

$$n_2 \cdot ss' - n_2 sr = n_1 ss' + n_2 s' r,$$

skąd po podzieleniu przez  $ss'r$  mamy

$$\frac{n_1}{s} + \frac{n_2}{s'} = \frac{n_2 - n_1}{r}. \quad (5a)$$

Podobnie wiązka promieni osiowych, wychodzących z punktu  $A_1$ , nie leżącego na osi  $AO$  (rys. 84a), utworzy po załamaniu obraz  $A'_1$  na osi



Rys. 84a

$A_1O_1$ , odpowiadającej temu punktowi, przy czym odległości  $A_1O_1$  i  $A'_1O_1$  będą związane ze sobą równaniem (5a). Powierzchnia jednak nie będzie stygmatyczna jednocześnie dla obu tych punktów, chyba że punkt  $A_1$  będzie leżał nieskończenie blisko punktu  $A$ .

Jednoczesne ograniczenie wiązek, wysyłanych z różnych punktów, przez umieszczenie w  $C$  diafragmy z niewielkim otworem jest w praktyce trudne i nigdy nie używane.

W tym ostatnim przypadku warunek stygmatyzmu będzie również spełniony dla wszystkich punktów, leżących między  $A$  i  $A_1$ , a więc dla nieskończenie małego przedmiotu świecącego  $AA_1$ . Gdy przedmiotem będzie element płaszczyzny prostopadłej do osi, obrazem jego będzie element powierzchni, którą bez wielkiego błędu można uważać za płaską i prostopadłą do osi i wszystkie punkty tego elementu będą leżały w tej samej mniej więcej odległości  $s'$  od wierzchołka, związanej z  $s$  równaniem (5a).



Wtedy też obowiązywać będą wnioski, wynikające ze spełnienia warunków stygmatyzmu, o jakich była mowa w ustępie poprzednim (str. 86). Gdy płaski element świecący znajduje się w nieskończenie wielkiej odległości od wierzchołka  $O$ , tak że  $s = \infty$ , obraz jego powstaje w odległości  $s'$  równej

$$s' = \frac{rn_2}{n_2 - n_1} = f'; \quad (6)$$

płaszczyznę prostopadłą do osi, w której obraz ten powstaje, nazywamy płaszczyzną ogniskową przestrzeni obrazu, punkt zaś jej przecięcia z osią — głównym ogniskiem lub po prostu ogniskiem przestrzeni obrazu. Odwrotnie, obraz przesuwa się do nieskończoności (promienie więc, wychodzące z punktu elementu świecącego, biegną po załamaniu równoległe do osi, odpowiadającej temu punktowi), gdy przedmiot znajduje się w odległości

$$s = \frac{rn_1}{n_2 - n_1} = f, \quad (6a)$$

wyznaczającej położenie płaszczyzny ogniskowej przestrzeni przedmiotu oraz ogniska przestrzeni przedmiotu.

Stosunek odległości  $f$  i  $f'$ , tzw. odległości ogniskowych powierzchni łamiącej równy jest

$$\frac{f}{f'} = \frac{n_1}{n_2}. \quad (6b)$$

Podstawiając wartości  $f$  i  $f'$ , do wzoru (5a), otrzymujemy go w postaci

$$\frac{f}{s} + \frac{f'}{s'} = 1. \quad (7)$$

Często mierzy się odległości przedmiotu i obrazu nie od wierzchołka  $O$ , lecz od odpowiednich ognisk, wtedy po podstawieniu do wzoru (7)

$$s = x + f \quad \text{i} \quad s' = x' + f'$$

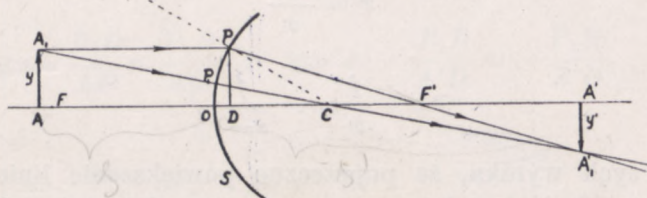
otrzymujemy tzw. wzór Newtona

$$xx' = ff'. \quad (8)$$

Przedmiot i obraz leżą przeto zawsze po przeciwnych stronach odpowiednich ognisk, odległości bowiem ogniskowe mają zawsze ten sam znak, iloczyn ich więc jest zawsze dodatni. Zgodnie zatem z naszą umową co do znaków, gdy  $x$  jest dodatnie, a więc gdy przedmiot znajduje się po tej stronie ogniska  $F$ , z której pada światło,  $x'$  jest również dodatnie, obraz leży po przeciwnej stronie ogniska  $F'$ .



Znając położenie ognisk możemy w prosty sposób wykreślić obraz przedmiotu świecącego. Niech tym przedmiotem będzie np. świecąca linia  $AA_1$ , prostopadła do osi  $AO$  (rys. 85). Dla wyznaczenia położenia obrazu punktu  $A_1$  wystarczy znaleźć punkt przecięcia się dwóch jakiegokolwiek promieni, wychodzących z tego punktu, z założenia bowiem



Rys. 85

stygmatyzmu wynika, że w punkcie tym przetną się również wszystkie inne promienie, wychodzące z  $A_1$  i załamane na powierzchni  $S$ . Za jeden z tych promieni wybierzemy promień środkowy, przechodzący przez powierzchnię bez załamania, za drugi promień  $A_1P$  równoległy do głównej osi układu; promień ten po załamaniu przechodzi przez ognisko  $F'$ , gdyż z promieniem, równoległym do osi w przestrzeni przedmiotu, sprzężony jest, jak nieco wyżej była mowa, promień przechodzący przez ognisko przestrzeni obrazu. Punkt  $A_1'$  przecięcia się promieni  $PF'$  i  $P_1C$ , sprzężonych z promieniami  $A_1P$  i  $A_1P_1$ , przecinających się w punkcie  $A_1$ , jest punktem sprzężonym z  $A_1$ . A ponieważ założyliśmy, że w dobranych przez nas warunkach obraz elementu płaszczyzny prostopadłej do osi, jest również elementem płaszczyzny, prostopadłym do osi, obraz linii  $AA_1$ , którą możemy uważać za leżącą na tym elemencie, też będzie prostopadły do osi. Opuszczając więc prostopadłą z punktu  $A_1'$  na oś, otrzymamy obraz  $A_1'A'$  linii świecącej.

Stosunek długości  $A_1'A'$  i  $AA_1$ , wyrażający poprzeczne powiększenie liniowe, znajdujemy z trójkątów  $AA_1C$  i  $A_1'A'C$ :

$$\frac{A_1'A'}{AA_1} = \frac{A'C}{AC} = \frac{s' - r}{s + r}.$$

Wprowadzając te same oznaczenia i te same znaki, co w ustępie poprzednim i uwzględniając wzór (5) znajdujemy

$$\mathcal{P} = \frac{y'}{y} = -\frac{n_1}{n_2} \cdot \frac{s'}{s}. \quad (9)$$

Podobnie z trójkątów  $PDF'$  i  $A_1'F'A_1$  mamy

$$\frac{A_1'A'}{PD} = \frac{A_1'A'}{AA_1} = \frac{A_1'F'}{F'D} \approx \frac{A_1'F'}{F'O},$$



skąd

$$\mathcal{P} = \frac{y'}{y} = -\frac{x'}{f'} = -\frac{s'-f'}{f'} \quad (9a)$$

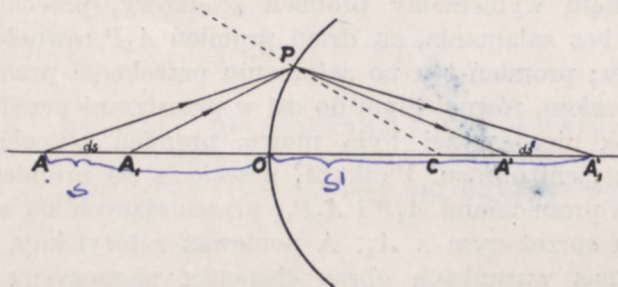
lub z uwagi, że

$$x' = \frac{ff'}{x}$$

$$\mathcal{P} = -\frac{f}{x} = -\frac{f}{s-f} \quad (9b)$$

Ze wzorów tych wynika, że poprzeczne powiększenie liniowe ma dla wszystkich przedmiotów, leżących na danym elemencie płaskim, wartość tę samą.

Gdy przedmiotem świecącym jest odcinek osi, dostatecznie krótki, aby można było uważać, że warunki stygmatyzmu są jednocześnie speł-



Rys. 86

nione dla wszystkich jego punktów, podłużnym powiększeniem liniowym  $\mathcal{A}$  nazywamy stosunek długości obrazu  $A'A_1' = ds'$  do długości przedmiotu  $AA_1 = ds$ . (rys. 86).

Ze wzoru (7) znajdujemy

$$s' = \frac{sf'}{s-f}$$

skąd

$$\mathcal{A} = \frac{ds'}{ds} = -\frac{ff'}{(s-f)^2} \quad (9c)$$

lub z uwagi, że

$$s-f = x,$$

$$\mathcal{A} = -\frac{ff'}{x^2} \quad (9d)$$



Przypuśćmy, że skrajne promienie wiązki tworzą przed załamaniem z osią układu kąt  $u$ , po załamaniu zaś kąt  $u'$  (rys. 87). Kąty te uważać będziemy za dodatnie, gdy wiązka jest rozbieżna i za ujemne, gdy zbieżna (na rysunku  $u$  jest dodatnie,  $u'$  — ujemne). Z trójkątów  $AP_1D$  i  $A'P_1D$  znajdujemy

$$\operatorname{tg} u = \frac{P_1D}{AD} \approx \frac{P_1D}{AO} \quad \text{i} \quad \operatorname{tg} u' = -\frac{P_1D}{A'D} \approx -\frac{P_1D}{A'O},$$

skąd

$$\mathcal{K} = \frac{\operatorname{tg} u'}{\operatorname{tg} u} = -\frac{s}{s'}. \quad (10)$$

Jest to tzw. powiększenie kątowe, które, jak wynika ze wzoru (10), ma wartość stałą dla wszystkich wiązek, wychodzących z punktów, rozłożonych na danym elemencie płaszczyzny, prostopadłej do osi głównej.

Podstawiając wartość  $\frac{s}{s'}$  ze wzoru (9) do ostatnio otrzymanego wzoru, znajdujemy, że

$$\frac{\operatorname{tg} u'}{\operatorname{tg} u} = \frac{n_1 y}{n_2 y'}$$

i

$$n_2 y' \operatorname{tg} u' = n_1 y \operatorname{tg} u \quad (11)$$

lub wreszcie

$$\mathcal{K} \cdot \mathcal{P} = \text{stałej, charakterystycznej dla danych środowisk.} \quad (12)$$

Wzór (11) wyprowadził Lagrange (1803 r.)

Wartość stałą, niezależną od własności optycznych środowisk, rozdzielonych przez daną powierzchnię łamiącą, otrzymamy, mnożąc powiększenie osiowe przez kątowe i dzieląc ten iloczyn przez powiększenie poprzeczne

$$\frac{\mathcal{A} \cdot \mathcal{K}}{\mathcal{P}} = \left[ -\frac{ff'}{(s-f)^2} \right] \left( \frac{n_1 y}{n_2 y'} \right) \cdot \frac{y}{y'} = -1. \quad (12a)$$

Gdy, jak to bywa w rozpatrywanych przez nas przypadkach, kąty  $u$  i  $u'$  są bardzo małe, tangensy tych kątów możemy zastąpić przez kąty.

Mamy wtedy

$$\frac{u'}{u} = -\frac{s}{s'}.$$

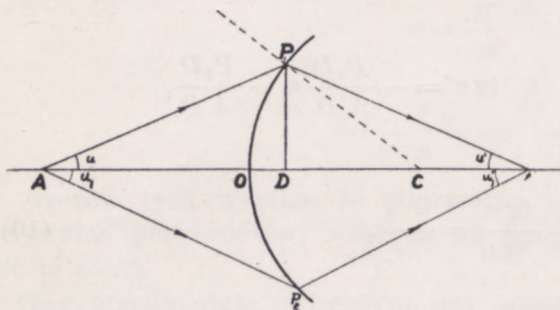


Jeżeli zatem skrajne promienie wiązki, wychodzącej z punktu  $A$ , tworzą przed załamaniem z osią optyczną kąty  $u$  i  $u_1$  (p. rys. 87), kąt  $u - u_1 = \psi$ , wyznaczający rozbieżność wiązki, jest do kąta  $u' - u'_1 = \psi'$ , wyznaczającego jej zbieżność po załamaniu, w stosunku takim, jak  $(-s)$  do  $s'$ . Istotnie stosując wzór (11) otrzymujemy

$$u' = -\frac{s}{s'} u \text{ i } u'_1 = -\frac{s}{s'} u_1,$$

skąd

$$\frac{u' - u'_1}{u - u_1} = \frac{\psi'}{\psi} = -\frac{s}{s'}. \quad (12b).$$



Rys. 87

Gdy  $s$  i  $s'$  są tych samych znaków, stosunek  $\frac{\psi'}{\psi}$  jest ujemny; wiązka rozbieżna (a więc wychodząca z rzeczywistego punktu świecącego) zamienia się po załamaniu w zbieżną (obraz rzeczywisty), zbieżna (punkt świecący urojony) — w rozbieżną (obraz urojony), gdy  $s$  i  $s'$  są znaków przeciwnych, stosunek  $\frac{\psi'}{\psi}$  jest dodatni: wiązka rozbieżna (punkt świecący rzeczywisty) pozostaje po załamaniu rozbieżną (obraz urojony), zbieżna (punkt świecący urojony) — zbieżną (obraz rzeczywisty). Wzór Lagrange'a będzie miał wtedy postać następującą

$$n_2 y' \cdot \psi' = n_1 y \cdot \psi. \quad (12c)$$

Wobec tego, że kąty  $\psi$  i  $\psi'$  są bardzo małe, możemy przyjąć, że

$$\psi = \frac{P_1 P_2}{s} \text{ i } \psi' = -\frac{P_1 P_2}{s'}.$$

Po podstawieniu do wzoru (5a) otrzymujemy

$$\frac{n_1 \psi}{P_1 P_2} - \frac{n_2 \psi'}{P_1 P_2} = \frac{n_2 - n_1}{r}$$

lub, oznaczając przekrój wiązki na powierzchni łamiącej  $P_1 P_2$  przez  $S$ ,

$$\frac{n_1 \psi}{S} - \frac{n_2 \psi'}{S} = \frac{n_2 - n_1}{r}. \quad (13)$$



Wzory, wyprowadzone w tym ustępie, stosują się również do płaskich powierzchni łamiących, gdy przyjmiemy promień krzywizny  $r$  za nieskończenie wielki. Wzór (5a) przekształci się wtedy we wzór

$$\frac{n_1}{s} + \frac{n_2}{s'} = 0 \quad (13a)$$

skąd

$$s' = -\frac{n_2}{n_1} s,$$

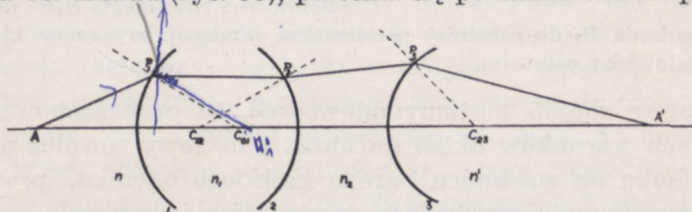
zgodnie ze wzorem (3) rozdz. III.

Obraz rzeczywistego punktu świecącego jest zawsze urojony; znajduje się po tej stronie powierzchni łamiącej, co punkt świecący w odległości od powierzchni rozdziału większej, niż przedmiot, gdy  $n_2 > n_1$ , mniejszej, gdy  $n_2 < n_1$ . Odległości ogniskowe są nieskończenie wielkie: wiązka promieni równoległych pozostaje po załamaniu równoległą.

### 3. UKŁAD OSIOWY KULISTYCH POWIERZCHNI ŁAMIĄCYCH

Warunki stygmatyzmu pozostaną bez zmiany, gdy promienie załamane się będą nie na jednej, lecz dwóch lub więcej kulistych powierzchni łamiących, rozmieszczonych w ten sposób, aby ich środki krzywizny leżały na jednej prostej, stanowiącej ściśle tym razem wyznaczoną oś układu, nazywanego osiowym układem kulistych powierzchni łamiących.

Istotnie, wiązka promieni, wychodzących z punktu świecącego  $A$ , leżącego na osi układu (rys. 88), przecina się po załamaniu na powierzchni



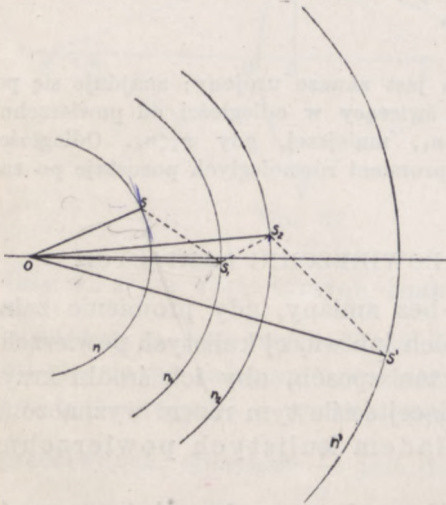
Rys. 88

w punkcie  $A'_{(1)}$ , (punkt  $A'_{(1)}$  i  $A''_{(2)}$  nie są na rys. uwidocznione) będącym obrazem punktu  $A$  w środowisku o współczynniku  $n_1$ ; obraz ten jest przedmiotem świecącym w stosunku do powierzchni 2; gdy kąt rozwarcia stożka promieni, wychodzących z tego punktu jest dostatecznie mały, aby można było wszystkie zawarte w nim promienie uważać za osiowe, wiązka ta po załamaniu na powierzchni 2 pozostanie homocentryczną, dając obraz punktu  $A'_{(1)}$  w punkcie  $A''_{(2)}$  (na rysunku obraz ten jest urojony); punkt ten jest z kolei punktem świecącym w stosunku do powierzchni 3, promienie bowiem padają na tę powierzchnię pod takimi kątami, jak gdyby wychodziły z punktu  $A''_{(2)}$ ; w przypadku



spełnienia warunków stygmatyzmu promienie te przecinają się w punkcie  $A'$ , obrazie punktu  $A$ , leżącym, podobnie, jak punkty  $A'_{(1)}$  i  $A'_{(2)}$  na osi układu.

Bieg promieni w takim układzie możemy wykreślić posługując się konstrukcją Dowella. Z dowolnego punktu  $O$  (rys. 89) opisujemy koła promieniami, odpowiednio równymi współczynnikom załamania kolejnych środowisk,  $n, n_1, n_2, n'$ , i z tegoż punktu prowadzimy prostą  $OS$ , równoległą do promienia padającego  $AP_1$  (p. rys. 88). Z punktu przecięcia  $S$  tej prostej z kołem o promieniu  $n$  kreślimy prostą równoległą do normalnej  $P_1C_{01}$ , do pierwszej powierzchni łamiącej; łącząc punkt przecięcia  $S_1$  koła  $n_1$  przez tę prostą ze środkiem  $O$ , otrzymamy kierunek promienia załamanego na powierzchni I. Istotnie, z trójkąta  $OSS_1$  znajdujemy



Rys. 89

$$\frac{\sin OSS_1}{\sin SS_1O} = \frac{OS_1}{OS} = \frac{n_1}{n} = \frac{\sin \alpha_1}{\sin \alpha_2}$$

Kreśląc dalej z punktu  $S_1$  równoległą do normalnej  $C_{12}P_2$  do drugiej powierzchni łamiącej i łącząc punkt przecięcia  $S_2$  przez tę prostą koła  $n_2$ , otrzymamy kierunek promienia  $P_2P_3$  w trzecim środowisku i wreszcie prosta  $OS'$ , łącząca punkt  $O$  z punktem przecięcia się koła o promieniu  $n'$  z równoległą  $S_2S'$  do normalnej

w punkcie padania  $P_3$  do ostatniej powierzchni łamiącej, wyznaczy kierunek promienia w środowisku ostatnim.

W podobny sposób możemy udowodnić, że przy zachowaniu wyżej wymienionych warunków układ da obraz punktowy również punktu  $A_1$ , leżącego z boku osi na końcu bardzo krótkiego odcinka, prostopadłego do osi, i że promienie, wychodzące z punktów świecących, rozmieszczonych na bardzo małym elemencie płaskim, prostopadłym do osi, dają po załamaniu w układzie obrazy tych punktów na elemencie płaskim też do osi prostopadłym.

Stosując wzór Lagrange'a kolejno do poszczególnych środowisk napiszemy

$$ny \cdot \operatorname{tg} u = n_1 \cdot y_1 \cdot \operatorname{tg} u_1$$

$$n_1 y_1 \operatorname{tg} u_1 = n_2 y_2 \cdot \operatorname{tg} u_2 \cdot$$

$$\dots \dots \dots$$

$$n_n y_n \cdot \operatorname{tg} u_n = n' \cdot y' \cdot \operatorname{tg} u'$$

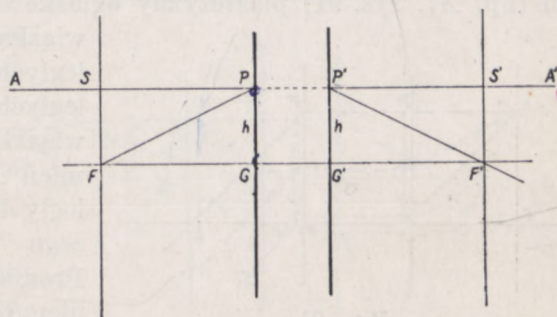
skąd po przemnożeniu

$$n \cdot y \cdot \operatorname{tg} u = n' y' \operatorname{tg} u' \tag{14}$$



Wyberzmy spośród sprzężonych wzajemnie płaszczyzn przestrzeni przedmiotu i przestrzeni obrazu dwie płaszczyzny prostopadłe do osi, którym by odpowiadało poprzeczne powiększenie liniowe równe jedności, innymi słowy takie, że przedmiot, umieszczony w jednej z tych płaszczyzn, daje w drugiej z nich obraz prosty o tych samych wymiarach liniowych. Płaszczyzny te nazwiemy za Gaussem (1843 r.) płaszczyznami głównymi układu, punkty zaś ich przecięcia z osią punktami głównymi.

Z promieniem równoległym do osi, przecinającym płaszczyznę główną przestrzeni przedmiotu w punkcie  $P$ , odległym o  $h$  od osi, sprzężony jest promień  $P'F'$  (rys. 90), przechodzący przez punkt  $P'$  płaszczyzny głównej obrazu  $G'$ , sprzężony z punktem  $P$ . Punkt  $P'$  leży w tej samej odległości  $h$  od osi, co punkt  $P$ , zgodnie bo-



Rys. 90

wiem z określeniem płaszczyzn głównych obraz  $G'P'$  odcinka  $GP$  ma tę samą długość i leży po tej samej stronie osi, co dany odcinek.

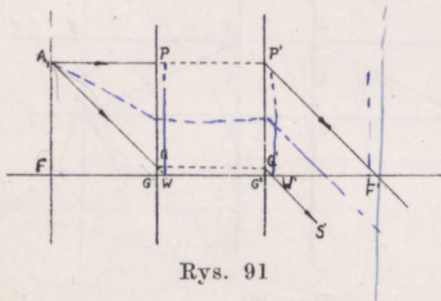
Promień  $P'S'$  albo jest równoległy do osi albo też przecina ją w punkcie  $F'$ , leżącym w skończonej odległości od płaszczyzny  $G'$ . W pierwszym przypadku, którego tymczasem rozpatrywać nie będziemy, (p. rozdz. V, ust. 4) mamy do czynienia z układem teleskopowym (gr. tele — daleko, skopejn — oglądać), w drugim — punkt  $F'$  jest sprzężony z punktem  $A$  przestrzeni przedmiotu, leżącym na osi układu w nieskończenie wielkiej odległości od płaszczyzny  $G$ , punkt  $F'$  bowiem jest przecięciem dwóch promieni, wychodzących z tego punktu: promienia osiowego, przechodzącego przez układ bez załamania i promienia  $AP$ , a tym samym, zgodnie z założeniem stygmatyzmu, punktem przecięcia wszystkich promieni, wychodzących z  $A$  i załamanych przez układ.

Odwrotnie, z promieniem  $P'A'$ , równoległym do osi w przestrzeni obrazu, sprzężony jest w przestrzeni przedmiotu promień  $PF$ , przechodzący przez sprzężony z punktem  $P'$  punkt  $P$  i przecinający oś w punkcie  $F$ , sprzężonym z punktem  $A'$ , leżącym na osi układu w nieskończenie wielkiej odległości od płaszczyzny  $G'$ . (W układzie teleskopowym nieskończenie odległy punkt  $A'$  jest sprzężony z nieskończenie odległym punktem  $A$ ).

Punkty  $F$  i  $F'$  nazywamy ogniskami głównymi lub po prostu ogniskami przestrzeni przedmiotu i przestrzeni obrazu, płaszczyzny zaś, przechodzące przez te punkty i prostopadłe do osi — płaszczyznami



ogniskowymi. Z punktami płaszczyzny  $F'$  sprzężone są w przestrzeni przedmiotu punkty nieskończenie odległej płaszczyzny, prostopadłej do osi, z punktami płaszczyzny  $F$  — punkty nieskończenie odległej i prostopadłej do osi płaszczyzny w przestrzeni obrazu. Wiązka zatem promieni równoległych, wychodzących z nieskończenie odległego punktu i tworzących z osią dowolny kąt, przecina się w jednym z punktów płaszczyzny ogniskowej  $F'$ , wiązka zaś, wychodząca z jakiegokolwiek punktu (np.  $A_1$ , rys. 91) płaszczyzny ogniskowej  $F$ , staje się po załamaniu



Rys. 91

wiązką promieni wzajemnie równoległych, na ogół jednak nie równoległych do osi. Jeden z promieni wiązki, wychodzącej z  $A_1$ , np. promień  $A_1Q$ , jest na pewno równoległy do promienia  $P'F'$ , wyznaczającego kierunek wiązki załamanej. Promień ten jest sprzężony z promieniem  $Q'S'$ , przecinającym płaszczyznę główną  $G'$  w punkcie  $Q'$ , sprzężonym z punktem  $Q$ , w którym promień  $A_1Q$  przecina płaszczyznę główną  $G$ . Te sprzężone promienie przecinają oś w punktach  $W$  i  $W'$ , które wobec tego też są ze sobą sprzężone. Z równości trójkątów  $FA_1W$  i  $G'P'F'$  (kąty  $A_1WF$  i  $P'F'G'$  są w myśl założenia równe) wynika, że

$$FW = G'F'; \quad (a)$$

z równości zaś trójkątów  $GQW$  i  $G'Q'W'$

$$GW = G'W', \quad (b)$$

skąd

$$GF = F'W'. \quad (c)$$

Położenie zatem punktów  $W$  i  $W'$  na osi jest niezależne od położenia punktu  $A_1$  na płaszczyźnie ogniskowej i tym samym od nachylenia  $u$  promienia padającego. Każdy zatem promień (lub jego przedłużenie) przechodzący przed załamaniem przez punkt  $W$ , przejdzie po załamaniu w tym samym kierunku przez punkt  $W'$ , innymi słowy, promienie przechodzące przez punkt  $W$ , nie załamują się w układzie, doznają jedynie przesunięcia bocznego.

Punkty  $W$  i  $W'$  dla których powiększenie katowe

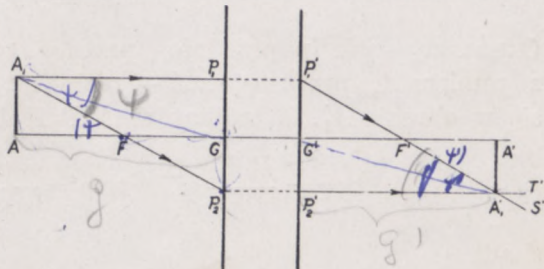
$$\mathcal{K} = \frac{\operatorname{tg} u'}{\operatorname{tg} u} = 1, \quad (d)$$

noszą nazwę punktów węzłowych. Punkty te w osiowym układzie powierzchni łamiących odgrywają tę samą rolę, co środek krzywizny



w pojedynczej powierzchni kulistej. Punkty główne, ogniska i węzły stanowią punkty kardynalne układu (łac. cardinalis — główny).

Niech  $AA_1$  będzie świecąca linia prosta, prostopadła do osi układu (rys. 92). Obraz punktu  $A_1$  będzie w przypadku spełnienia warunków stygmatyzmu leżał na przecięciu dwóch dowolnych promieni w przestrzeni obrazu, sprzężonych z dwoma promieniami przestrzeni przedmiotu, przecinających się w punkcie  $A_1$ . Za jeden z tych promieni weźmy promień  $A_1P_1$ , równoległy do osi i przecinający płaszczyznę główną  $G$  w punkcie  $P_1$ ; z promieniem tym sprzężony jest promień  $P_1'S'$ , przechodzący przez ognisko przestrzeni obrazu i przez punkt  $P_1'$  płaszczyzny głównej  $G'$ , sprzężony z punktem  $P_1$ . Za drugi promień weźmy promień  $A_1P_2$ , przechodzący przez ognisko  $F$  przestrzeni przedmiotu i przez punkt  $P_2$  płaszczyzny głównej  $G$ ; z promieniem tym jest sprzężony promień  $P_2'T'$ , równoległy do osi i przecinający płaszczyznę główną  $G'$  w punkcie  $P_2'$ , sprzężonym z punktem  $P_2$ .



Rys. 92

Z podobieństwa trójkątów  $AA_1F$  i  $FGP_2$  otrzymujemy

$$\frac{AF}{FG} = \frac{AA_1}{GP_2},$$

z podobieństwa zaś trójkątów  $A'A_1F'$  i  $F'G'P_1'$

$$\frac{A'F'}{F'G'} = \frac{A'A_1'}{P_1'G'} = \frac{GP_2}{AA_1},$$

skąd

$$\frac{AF}{FG} = \frac{g - \mathcal{F}}{\mathcal{F}} = \frac{F'G'}{A'F'} = \frac{\mathcal{F}'}{g' - \mathcal{F}'}, \quad (f)$$

gdzie  $g$  i  $g'$  oznaczają odległości przedmiotu i obrazu od płaszczyzn głównych,  $\mathcal{F}$  zaś i  $\mathcal{F}'$  odległości ogniskowe, mierzone też od płaszczyzn głównych, przy czym odległości  $g$  i  $\mathcal{F}$  uważamy za dodatnie, gdy przedmiot lub ognisko  $\mathcal{F}$  leży po tej stronie płaszczyzny głównej, na którą pada światło, odległości zaś  $g'$  i  $\mathcal{F}'$  za dodatnie, gdy obraz czy ognisko  $\mathcal{F}'$  leży po stronie płaszczyzny głównej  $G'$  przeciwnej do tej, na którą pada światło.



Ze wzoru (f) znajdujemy po odpowiednim przekształceniu

$$\frac{\mathcal{F}}{g} + \frac{\mathcal{F}'}{g'} = 1. \quad (15)$$

Wzór ten różni się od wzoru (7) jedynie tym, że odległości liczymy tym razem nie do wierzchołka  $O$ , lecz do odpowiednich płaszczyzn głównych.

Wprowadzając odległości przedmiotu i obrazu od odpowiednich ognisk otrzymamy wzór Newtona

$$xx' = \mathcal{F}\mathcal{F}' \quad (15a)$$

Oznaczmy jak poprzednio przez  $\psi$  rozbieżność wiązki wychodzącej z punktu  $A_1$  przez  $\psi'$  zaś — rozbieżność (ujemną) wiązki schodzącej się w obrazie  $A'_1$ . Z trójkątów  $A_1P_1P_2$  i  $A'_1P'_1P'_2$  znajdujemy

$$\operatorname{tg} \psi = \frac{P_1P_2}{g} \quad \text{i} \quad \operatorname{tg} \psi' = -\frac{P'_1P'_2}{g'} = -\frac{P_1P_2}{g'},$$

skąd

$$\frac{\operatorname{tg} \psi'}{\operatorname{tg} \psi} = -\frac{g}{g'} = \mathcal{K}, \quad (16)$$

analogicznie do wzoru (12b).

Na mocy jednak uogólnionego twierdzenia Lagrange'a możemy napisać

$$\frac{y'}{y} = \frac{n \operatorname{tg} \psi}{n' \operatorname{tg} \psi'} = -\frac{ng'}{n'g}. \quad (g)$$

Z trójkątów zaś  $A_1P_1P_2$  i  $FGP_2$  oraz  $P'_1A'_1P'_2$  i  $P'_1F'G'$  otrzymujemy

$$\frac{P_2G}{P_2P_1} = \frac{FG}{A_1P_1} = \frac{\mathcal{F}}{g}$$

i

$$\frac{P'_1G'}{P_2P_1} = \frac{F'G'}{A'_1P'_2} = \frac{\mathcal{F}'}{g'}$$

wobec czego

$$\frac{P_2G}{P'_1G'} = -\frac{y'}{y} = \frac{\mathcal{F}}{\mathcal{F}'} \cdot \frac{g'}{g} \quad (16a)$$

ostatecznie po uwzględnieniu wzoru (g)

$$\frac{\mathcal{F}}{\mathcal{F}'} = \frac{n}{n'}, \quad (17)$$

odległość ogniskowa jest zatem większa w środowisku o większym współczynniku załamania.



W przypadku szczególnym, gdy skrajne środowiska są jednakowe, gdy więc  $n=n'$ , odległości ogniskowe są wzajemnie równe.

Odległości punktów węzłowych od odpowiednich płaszczyzn głównych są, jak wynika ze wzorów (a) i (c) równe

$$GW = FW - FG = F'G' - FG = \mathcal{F}' - \mathcal{F} \quad (18)$$

i

$$G'W' = F'G' - F'W' = \mathcal{F}' - \mathcal{F}.$$

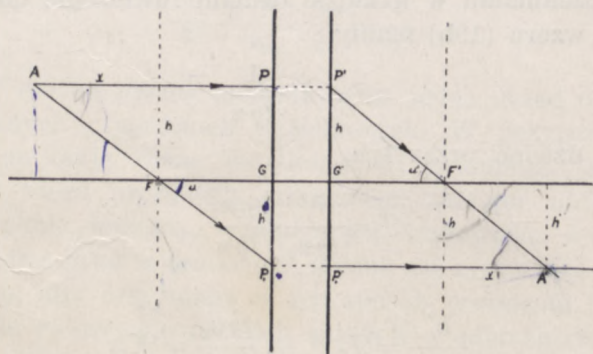
Gdy  $n=n'$ , a więc gdy  $\mathcal{F}=\mathcal{F}'$ , punkty węzłowe zbiegają się z punktami  $G$  i  $G'$  przecięcia płaszczyzn głównych z osią.

Zestawiając dwa układy osiowe o znanych odległościach ogniskowych  $\mathcal{F}_1$  i  $\mathcal{F}'_1$  oraz  $\mathcal{F}_2$  i  $\mathcal{F}'_2$ , otrzymamy układ złożony, którego ogniskowe możemy wyznaczyć na podstawie następujących twierdzeń.

Oznaczmy przez  $h$  (rys. 93) odległość od osi punktu przecięcia  $P$  promienia  $AP$  równoległego do osi, z płaszczyzną ogniskową przestrzeni przedmiotu; promień ten po załamaniu przechodzi przez ognisko przestrzeni obrazu, tworząc z osią kąt  $u'$ . Jest rzeczą oczywistą, że

$$h = -\mathcal{F}' \operatorname{tg} u'. \quad (19a)$$

Podobnie, gdy  $u$  oznacza kąt nachylenia do osi promienia  $FP_1$ , przechodzącego przez ognisko  $F$  przestrzeni przedmiotu,  $h'$  — odległość



Rys. 93

od osi punktu przecięcia promienia załamanego  $P_1P'_1$ , wychodzącego równoległo do osi, z płaszczyzną ogniskową przestrzeni obrazu

$$h' = \mathcal{F} \operatorname{tg} u. \quad (19b)$$

Niech teraz  $A$  i  $A'$  będą punktami sprzężonymi (rys. 93). Mamy wtedy

$$h = x \operatorname{tg} u \quad \text{i} \quad h' = -x' \operatorname{tg} u'.$$



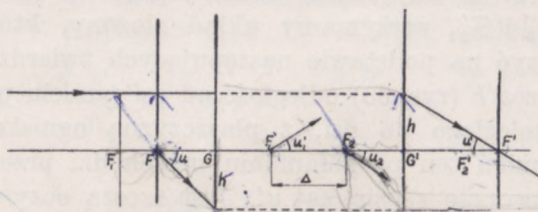
Zestawiając ze wzorami (19a) i (19b) otrzymujemy

$$\mathcal{F} = -x' \frac{\operatorname{tg} u'}{\operatorname{tg} u} \quad \text{i} \quad \mathcal{F}' = -x \frac{\operatorname{tg} u}{\operatorname{tg} u'},$$

a zatem powiększenie kątowe

$$\mathcal{K} = \frac{\operatorname{tg} u'}{\operatorname{tg} u} = -\frac{\mathcal{F}}{x'} = -\frac{x}{\mathcal{F}'}. \quad (20)$$

Zastosujmy te twierdzenia do wyznaczenia ogniskowych układu, złożonego z dwóch układów osiowych (rys. 94). W takim układzie złożonym ognisko  $F'$  przestrzeni przedmiotu całego układu jest względem pierw-



Rys. 94

szego układu łamiącego sprzężone z ogniskiem  $F_2$  przestrzeni przedmiotu układu drugiego, wszystkie bowiem promienie, przechodzące przez  $F$ , wychodzą po załamaniu w układzie drugim równoległe do osi. Na podstawie wzoru (19b) mamy

$$\mathcal{F} = h' \cdot \frac{1}{\operatorname{tg} u}$$

lub mnożąc i dzieląc przez  $\operatorname{tg} u_2$

$$\mathcal{F} = \frac{h'}{\operatorname{tg} u_2} \cdot \frac{\operatorname{tg} u_2}{\operatorname{tg} u},$$

Ale

$$\frac{h'}{\operatorname{tg} u_2} = \mathcal{F}_2 \quad \text{i} \quad \frac{\operatorname{tg} u_2}{\operatorname{tg} u} = \mathcal{K}_1,$$

gdzie  $\mathcal{K}_1$  jest powiększeniem kątowym pierwszego układu, równym

$$\mathcal{K}_1 = -\frac{\mathcal{F}_1}{x'}.$$

Wobec tego mamy

$$\mathcal{F}_2 = -\frac{\mathcal{F}_1 \mathcal{F}_2}{x'};$$



odległość  $x'$ , równa wzajemnej odległości ognisk  $F_1'$  i  $F_2$ , nosi nazwę odstepu optycznego (interwału optycznego — łac. intervallum — odstęp)  $\Delta$  danego układu, ostatecznie więc otrzymujemy

$$\mathcal{F} = -\frac{\mathcal{F}_1 \mathcal{F}_2}{\Delta}. \quad (21)$$

Ognisko  $F'$  sprzężone jest z ogniskiem  $F_1'$  względem układu drugiego, promienie bowiem, biegnące przed załamaniem równolegle do osi i przechodzące po załamaniu w obu układach przez ognisko  $F'$  przechodzą po załamaniu w układzie pierwszym przez ognisko  $F_1$ . Rozumując tak, jak poprzednio, znajdziemy, że

$$\mathcal{F}' = -\frac{\mathcal{F}_1' \mathcal{F}_2'}{\Delta}. \quad (21a)$$

Stosunek tych ogniskowych wyraża się wzorem

$$\frac{\mathcal{F}}{\mathcal{F}'} = \frac{\mathcal{F}_1}{\mathcal{F}_1'} \cdot \frac{\mathcal{F}_2}{\mathcal{F}_2'}.$$

Oznaczając współczynnik załamania środowiska przed pierwszym układem przez  $n$ , środowiska między układami przez  $n_m$ , środowiska za układem drugim przez  $n'$ , otrzymujemy

$$\frac{\mathcal{F}}{\mathcal{F}'} = \frac{n}{n_m} \cdot \frac{n_m}{n'} = \frac{n}{n'}. \quad (21b)$$

Układ złożony można przeto zastąpić przez jeden układ osiowy o odpowiednio dobranych długościach ogniskowych. W przypadku, gdy środowiska skrajne mają różne współczynniki załamania ( $n \neq n'$ ), można przy kreśleniu biegu promienia załamanego zastąpić układ taki przez jedną powierzchnię łamiącą, rozdzielającą środowiska  $n$  i  $n'$ , a której wierzchołek będzie leżał w punkcie  $G$ , środek zaś krzywizny w punkcie  $W$ , pod warunkiem, aby otrzymane w ten sposób promienie i obrazy przesunąć następnie równolegle do nich samych o odcinek, równy odległości płaszczyzn głównych  $G$  i  $G'$ . Gdy współczynniki  $n$  i  $n'$  mają wartości jednakowe, wtedy, jak się o tym niżej przekonamy, każdy układ osiowy można zastąpić osiowym układem dwóch powierzchni łamiących.

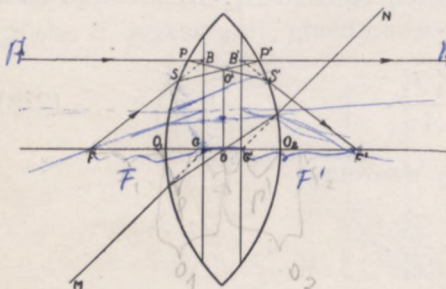
#### 4. SOCZEWKI

Tego rodzaju układy nazywamy soczewkami. Oznaczmy przez  $r_1, f_1$  i  $f_1'$  — promień krzywizny oraz ogniskowe pierwszej powierzchni łamiącej, przez  $r_2, f_2$  i  $f_2'$  — promień krzywizny i ogniskowe drugiej powierzchni, przez  $d$  — odległość między wierzchołkami, wyznaczającą



grubość soczewki. Niech  $AA'$  będzie dowolną linią prostą, równoległą do osi soczewki (rys. 95). Promień  $AP$ , biegnący w przestrzeni przedmiotu soczewki wzdłuż tej prostej, będzie po załamaniu przechodził przez ognisko  $F'$  przestrzeni obrazu soczewki. Promień  $P'A'$ , wychodzący z soczewki równoległe do osi optycznej, przechodzi przed załamaniem przez ognisko  $F$  przestrzeni przedmiotu soczewki.

Przedłużenia promieni  $FS$  i  $AP$ , padających na soczewkę, przecinają się w punkcie  $B$ , który uważać możemy za urojony przedmiot świecący. Obraz tego punktu po załamaniu na pierwszej płaszczyźnie łamiącej



Rys. 95

powstaje w punkcie  $O'$  przecięcia się promieni  $AP$  i  $FS$  po pierwszym załamaniu. Punkt  $O'$  jest przedmiotem świecącym względem drugiej powierzchni łamiącej, obraz jego powstaje w punkcie  $B'$  przecięcia się przedłużenia promieni, załamanych na drugiej powierzchni łamiącej. Punkt  $B'$  jest zatem obrazem (urojonym) punktu  $B$  (urojonego) po załamaniu na obu powierzchniach soczewki. Obraz ten znajduje się w tej

samej odległości od osi, co przedmiot, gdyż zarówno punkt  $B$  jak i  $B'$  muszą leżeć na prostej  $AA'$ . Stąd wynika, że  $B$  i  $B'$  są punktami odpowiednich płaszczyzn głównych, płaszczyzny zatem, przechodzące przez te punkty i prostopadłe do osi, są płaszczyznami głównymi, punkty zaś  $G$  i  $G'$  punktami głównymi i jednocześnie punktami węzłowymi układu ( $n=n'$ ). Płaszczyzna  $O'O$  przechodząca przez punkt  $O'$  prostopadłe do osi i będąca miejscem geometrycznym obrazów, jakie dają punkty płaszczyzny głównej  $G$  po załamaniu na powierzchni pierwszej, oraz punktów, których obrazami są po załamaniu na powierzchni drugiej punkty płaszczyzny  $G'$ , jest sprzężona z obu tymi płaszczyznami. Punkt  $O$  przeto jest sprzężony z  $G$  w stosunku do pierwszej powierzchni łamiącej i z  $G'$  w stosunku do drugiej. Promień więc  $MN$ , przechodzący przed załamaniem przez punkt  $G$  i wychodzący po załamaniu w soczewce przez punkt  $G'$  w tym samym kierunku (punkty  $G$  i  $G'$  są punktami węzłowymi), przechodzi wewnątrz soczewki przez punkt  $O$ . Dlatego też punkt  $O$  nazywamy środkiem optycznym soczewki.

Niech  $o_1$  i  $o_2$  będą odległościami środka optycznego,  $p$  i  $p'$  — odległościami punktów  $G$  i  $G'$  od odpowiednich wierzchołków soczewki. Ze wzoru na powiększenie liniowe (wzór 9) otrzymujemy

$$\frac{O'O}{GB} = \frac{y'}{y} = \frac{n_1}{n_2} \cdot \frac{o_1}{p},$$



gdyż przedmiot jest w tym przypadku urojony, obraz zaś rzeczywisty. W najczęściej spotykanym przypadku, soczewek zanurzonych w powietrzu,  $n_1 = n_3 = 1$ ,  $n_2 = n$ , mamy zatem

$$\frac{O'O}{GB} = \frac{1}{n} \cdot \frac{o_1}{p} \quad (\text{a})$$

Analogicznie

$$\frac{G'B'}{O'O} = n \cdot \frac{p'}{o_2}$$

(przedmiot rzeczywisty, obraz urojony), skąd wobec tego, że  $G'B' = GB$

$$\frac{o_1}{p} \cdot \frac{p'}{o_2} = 1,$$

a więc

$$\frac{o_1}{o_2} = \frac{p}{p'},$$

co, z uwagi, że

$$o_1 + o_2 = d$$

daje

$$o_1 = \frac{pd}{p+p'}; \quad o_2 = \frac{p'd}{p+p'} \quad (\text{c})$$

Odległości te są poza tym związane równaniami (7), tak że mamy

$$-\frac{f_1}{p} + \frac{f'_1}{o_1} = 1, \quad \frac{f_2}{o_2} - \frac{f'_2}{p'} = 1.$$

Po podstawieniu

$$f_1 = \frac{r_1}{n-1}; \quad f'_1 = \frac{nr_1}{n-1}, \quad f_2 = \frac{nr_2}{1-n} = -\frac{nr_2}{n-1}; \quad f'_2 = \frac{r_2}{1-n} = -\frac{r_2}{n-1}$$

i uwzględnieniu wzorów (c) otrzymujemy

$$-\frac{r_1}{(n-1)p} + \frac{nr_1(p+p')}{(n-1)pd} = 1 \quad \text{i} \quad -\frac{nr_2(p+p')}{(n-1)p'd} + \frac{r_2}{(n-1)p'} = 1,$$

skąd

$$[(n-1)d - nr_1]p - nr_1p' = -r_1d,$$

$$[(n-1)d + nr_2]p' + nr_2p = r_2d$$



i ostatecznie

$$p = \frac{-r_1 d}{(n-1)d + n(r_2 - r_1)} = \frac{r_1 d}{n(r_1 - r_2) - (n-1)d}, \quad (22)$$

$$p' = \frac{r_2 d}{(n-1)d + n(r_2 - r_1)} = -\frac{r_2 d}{n(r_1 - r_2) - (n-1)d}.$$

A więc

$$\frac{p}{p'} = \frac{o_1}{o_2} = -\frac{r_1}{r_2}. \quad (d)$$

Odległości ogniskowe  $\mathcal{F}$  i  $\mathcal{F}'$  (licząc do płaszczyzn głównych) wyznaczamy ze wzorów (21), (21a), w których zamiast  $\mathcal{F}_1, \mathcal{F}_2, \mathcal{F}'_1, \mathcal{F}'_2$  podstawiamy  $f_1, f_2, f'_1, f'_2$ , — odległości, liczone do wierzchołków  $O_1$  i  $O_2$  odpowiednich powierzchni łamiących, dla każdej bowiem z tych powierzchni płaszczyzny główne zbiegają się w jedną płaszczyznę, styczną w wierzchołku do danej powierzchni, tak że każdy z punktów  $O_1$  i  $O_2$  posiada te same własności optyczne, co punkty  $G$  i  $G'$ . Mamy przeto

$$\mathcal{F} = -\frac{f_1 f_2}{\Delta} \quad \text{i} \quad \mathcal{F}' = -\frac{f'_1 f'_2}{\Delta},$$

przy czym odstęp optyczny wynosi

$$\Delta = d - F'_1 O_1 - F_2 O_2 = d - (f'_1 + f_2).$$

Po podstawieniu wartości ogniskowych otrzymujemy

$$\begin{aligned} \mathcal{F} &= \frac{nr_1 r_2}{(n-1)^2 \left[ d - \left( \frac{nr_1}{n-1} - \frac{nr_2}{n-1} \right) \right]} = \frac{nr_1 r_2 (n-1)}{(n-1)^2 [d(n-1) - n(r_1 - r_2)]} = \\ &= -\frac{nr_1 r_2}{(n-1)[n(r_1 - r_2) - (n-1)d]} \end{aligned}$$

lub kładąc

$$n(r_1 - r_2) - (n-1)d = C$$

$$\mathcal{F} = -\frac{nr_1 r_2}{(n-1)C} \quad \text{i} \quad \mathcal{F}' = -\frac{nr_1 r_2}{(n-1)C}. \quad (23)$$

Odległości te są więc tym razem równe.



Wprowadzając te oznaczenia, napiszemy wzory (22) nieco inaczej

$$p = \frac{r_1 d}{C} \quad \text{i} \quad p' = -\frac{r_2 d}{C} \quad (23a)$$

Równanie (15) przekształca się w następujące

$$\frac{1}{g} + \frac{1}{g'} = \frac{1}{f} \quad (24)$$

lub analogicznie do wzoru (13)

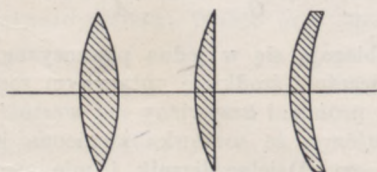
$$\frac{\psi}{S'} - \frac{\psi'}{S} = \frac{1}{f} = \Psi.$$

Rozbieżności

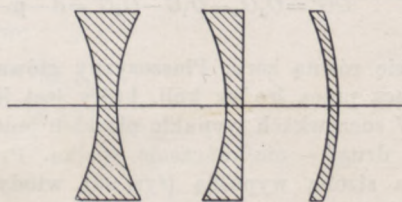
$$\frac{\psi}{S'} = \frac{1}{g} \quad \text{i} \quad \frac{\psi'}{S} = \frac{1}{g'}$$

wyrażamy zazwyczaj w tzw. dioptriach (gr. i łac. dioptra — celownik), przyjmując za równą jednej dioptrii (1D) rozbieżność wiązki, mającej na odpowiedniej płaszczyźnie głównej przekrój równy jednostce i padającej z punktu odległego od płaszczyzny głównej o 1 m. Tak np. wiązka, wychodząca z punktu odległego o 25 cm ma rozbieżność 4D, schodząca się w punkcie odległym od płaszczyzny głównej o 25 cm — rozbieżność ujemną — 4D. Wielkość  $\Psi = \frac{1}{f}$  nosi nazwę zdolności zbierającej soczewki. Zależnie od znaku tej wielkości dzielimy soczewki na zbierające i rozpraszające.

Do pierwszej kategorii przy dotychczasowym założeniu, odpowiadającym najczęściej w praktyce spotykanym przypadkom, że  $n_2 > n_1$ , a przeto  $n > 1$ , należą na ogół soczewki grubsze w środku, niż na brzegach (rys. 96),



Rys. 96



Rys. 97

a więc dwuwypukłe, płasko-wypukłe i wypukło-wklęsłe, do rozpraszających — cieńsze w środku, a więc dwuwklęsłe, płasko-wklęsłe i wklęsło-wypukłe (rys. 97).



W soczewce dwuwypukłej  $r_1 > 0, r_2 < 0$ ; rozumiejąc więc w dalszym rozważaniu przez  $r_1$  i  $r_2$  bezwzględne wartości promieni krzywizny, z wyżej wyprowadzonych wzorów otrzymujemy

$$C = [n(r_1 + r_2) - (n-1)d],$$

$$\mathcal{F} = \mathcal{F}' = \frac{nr_1 r_2}{(n-1)[n(r_1 + r_2) - (n-1)d]}.$$

Gdy  $C$  jest większe od zera,  $\mathcal{F}$  i  $\mathcal{F}'$  są dodatnie, soczewka jest układem zbierającym. Warunek ten jest spełniony, gdy

$$d < \frac{n}{n-1}(r_1 + r_2).$$

Soczewka więc ze zwykłego szkła lekkiego ( $n_D = 1,5$ ), o jednakowej krzywiznie obu powierzchni, jest układem zbierającym, dopóki

$$d < 6r.$$

Gdy  $d = 6r$ , ogniska oddalają się do nieskończoności, soczewka staje się układem teleskopowym, przy  $d > 6r$  odległości ogniskowe są ujemne, soczewka jest układem rozpraszającym.

Położenia punktów głównych otrzymujemy ze wzorów (23a). Odległość  $G$  od wierzchołka  $O_1$  równa w myśl założenia —  $p$ , wynosi

$$GO_1 = -\frac{r_1 d}{C}.$$

Odległość  $G'$  od wierzchołka  $O_2$ , równa —  $p'$ ,

$$G'O_2 = -\frac{r_2 d}{C}.$$

Obie więc płaszczyzny główne leżą wewnątrz soczewki, dopóki  $C > 0$ .

Gdy soczewka jest kulą

$$r_1 + r_2 = d,$$

odległość wzajemna płaszczyzn głównych

$$GG' = O_1 O_2 - O_1 G - O_2 G' = d - p - p' = d - \frac{(r_1 + r_2)d}{C} = d - \frac{d^2}{d} = 0.$$

staje się równą zeru. Płaszczyzny główne zbiegają się w jedną płaszczyznę, przechodzącą przez środek kuli, który jest jednocześnie środkiem optycznym soczewki.

W soczewkach wypukło-płaskich jeden z promieni krzywizny ma wartość skończoną, drugi — nieskończenie wielką. Przypuścimy, że soczewka zwrócona jest do światła stroną wypukłą (rys. 98), wtedy  $r_2 = \infty$ . Dzielać licznik i mianownik we wzorach (23) przez  $r_2$ , otrzymujemy

$$\mathcal{F} = \mathcal{F}' = -\frac{nr_1}{(n-1)(-n)} = \frac{r_1}{n-1}.$$

Ogniskowe są więc zawsze dodatnie bez względu na grubość soczewki; układ zawsze jest zbierający.



Odległość punktów głównych otrzymamy kładąc  $GO_1 = -p$  i  $G'O_2 = -p'$ , mamy wtedy

$$GO_1 = 0; G'O_2 = -\frac{d}{n}.$$

Pierwsza płaszczyzna główna jest więc styczna w punkcie wierzchołkowym do powierzchni wypukłej, druga leży wewnątrz soczewki. Ognisko  $F$  znajduje się przeto w odległości  $\frac{r_1}{n-1}$  od wierzchołka  $O_1$ .

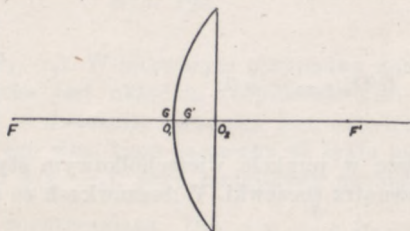
Gdy soczewkę zwrócimy do światła stroną płaską (rys. 99),  $r_1$  będzie równe nieskończoności,  $r_2$  będzie ujemne.

$$\mathcal{F} = \mathcal{F}' = \frac{r_2}{n-1}.$$

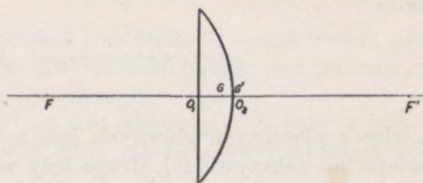
Odległości płaszczyzn głównych od wierzchołków będą

$$GO_1 = -p = -\frac{d}{n}, G'O_2 = 0.$$

W tego rodzaju soczewkach ze zwykłego szkła płaszczyzna główna, leżąca wewnątrz



Rys. 98



Rys. 99

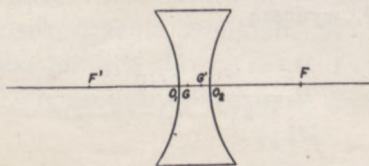
soczewki, odległa jest od odpowiedniego wierzchołka o  $\frac{2}{3}d$ , ogniskowa zaś wynosi  $2r$ .

W soczewkach dwuwklęsłych (rys. 100)  $r_1$  jest ujemne,  $r_2$  — dodatnie, a zatem

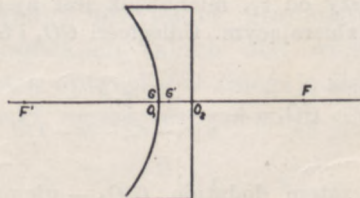
$$C = -n(r_1 + r_2) - (n-1)d$$

jest zawsze ujemne. Wobec tego ogniskowe

$$\mathcal{F} = \mathcal{F}' = -\frac{nr_1 r_2}{(n-1)C}$$



Rys. 100



Rys. 101



są też zawsze ujemne. Soczewki tego typu są, bez względu na grubość, rozpraszające. Płaszczyzny główne są odległe od odpowiednich wierzchołków o

$$GO_1 = -p = -\frac{r_1 d}{n(r_1 + r_2) + (n-1)d} \quad \text{i} \quad G'O_2 = -p' = -\frac{r_2 d}{n(r_1 + r_2) + (n-1)d},$$

leżą więc wewnątrz soczewek.

W soczewkach płasko-wklęsłych (rys. 101), zwróconych ku światłu wklęsłością,  $r_1 < 0, r_2 = \infty$ , mamy zatem

$$\mathcal{F} = \mathcal{F}' = -\frac{r_1}{n-1}.$$

W zwróconych ku światłu płaską powierzchnią  $r_1 = \infty, r_2 > 0$ , wtedy

$$\mathcal{F} = \mathcal{F}' = -\frac{r_2}{n-1}.$$

Soczewki te są zatem w obu przypadkach rozpraszające. Odległości płaszczyzn głównych od odpowiednich wierzchołków wynoszą w pierwszym przypadku

$$GO_1 = -p = 0 \quad \text{i} \quad G'O_2 = -p' = -\frac{d}{n},$$

w drugim

$$GO_1 = -p = -\frac{d}{n} \quad \text{i} \quad G'O_2 = -p' = 0.$$

Jedna więc z płaszczyzn głównych jest zawsze w punkcie wierzchołkowym styczna do powierzchni zakrzywionej, druga leży wewnątrz soczewki. W soczewkach ze szkła lekkiego

$$\mathcal{F} = \mathcal{F}' = 2r; \quad GO_1 (\text{lub } G'O_2) = -\frac{2}{3}d.$$

W soczewkach wypukło-wklęsłych, zwróconych ku światłu powierzchnią wypukłą (rys. 102), oba promienie  $r_1$  i  $r_2$  są dodatnie; ogniskowe są zatem

$$\mathcal{F} = \mathcal{F}' = -\frac{nr_1 r_2}{(n-1)[n(r_1 - r_2) - (n-1)d]}.$$

Licznik tego ułamka ma zawsze wartość dodatnią, wobec czego znak odległości ogniskowej zależy od znaku mianownika. Gdy  $r_2$  — promień powierzchni wklęsłej jest większy od  $r_1$ , mianownik jest ujemny, ogniskowe są dodatnie, soczewka jest układem zbierającym. Odległości  $GO_1$  i  $G'O_2$  wynoszą

$$GO_1 = -\frac{r_1 d}{n(r_1 - r_2) - (n-1)d} \quad \text{i} \quad G'O_2 = \frac{r_2 d}{n(r_1 - r_2) - (n-1)d},$$

$GO_1$  jest zatem dodatnie,  $G'O_2$  — ujemne. Obie płaszczyzny leżą poza soczewką, z tej strony, z której pada światło.



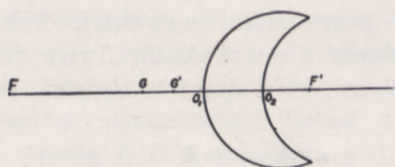
Gdy światło pada ze strony przeciwnej,  $r_1$  i  $r_2$  są ujemne, licznik więc we wzorze (23) pozostaje dodatnim; zmieniając odpowiednio oznaczenia, gdyż teraz  $r_1$  jest większe od  $r_2$ , znajdujemy, że

$$C = n(-r_1 + r_2) - (n-1)d = n(r_2 - r_1) - (n-1)d$$

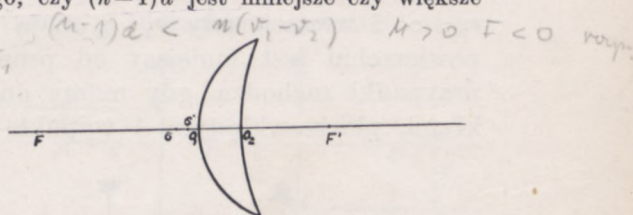
jest ujemne. Ogniskowe są więc dodatnie, soczewka i tym razem jest układem zbierającym.

Podobnie rzecz się ma, gdy  $r_1 = r_2$ , wtedy bowiem mianownik jest zawsze ujemny.

Gdy promień wklęsłej powierzchni jest mniejszy, wtedy przy padaniu światła na powierzchnię wypukłą (rys. 103),  $r_1$  i  $r_2$  oraz  $n(r_1 - r_2)$  są dodatnie. Mianownik jest dodatni lub ujemny, zależnie od tego, czy  $(n-1)d$  jest mniejsze czy większe



Rys. 102



Rys. 103

od  $n(r_1 - r_2)$ . W pierwszym przypadku mianownik jest dodatni, ogniskowe są ujemne, soczewka jest układem rozpraszającym; w drugim mianownik jest ujemny, ogniskowe — dodatnie, soczewka jest układem zbierającym.

Tego więc typu soczewka ze szkła lekkiego jest zbierająca, dopóki  $d$  jest większe od  $3(r_1 - r_2)$ , przy mniejszych grubościach jest, jak to zazwyczaj bywa w prak-

tyce, rozpraszająca. Dla  $d = \frac{n}{n-1}(r_1 - r_2)$  ogniskowe stają się nieskończenie wielkie, soczewka jest układem teleskopowym.

Podobnie zatem, jak w przypadku układów osiowych, własności optyczne soczewek są całkowicie wyznaczone, gdy znane są położenia płaszczyzn głównych i ogniskowe. Dobierając odpowiednio te wielkości, możemy zawsze, jak o tym wspomnieliśmy w ustępie poprzednim, zastąpić dowolny układ osiowy, o identycznych środowiskach skrajnych, soczewką.

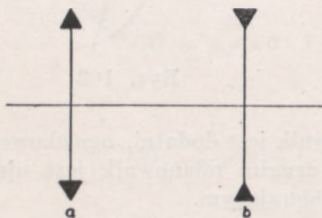
Podane wyżej wzory stają się o wiele prostsze, gdy je zastosujemy do soczewek o dostatecznie małej grubości, aby można ją było w rachunkach pominąć. Kładąc  $d=0$ , otrzymujemy przypadek graniczny — soczewek nieskończenie cienkich. W soczewkach takich oba wierzchołki  $O_1$  i  $O_2$ , oba punkty główne  $G$  i  $G'$  i środek optyczny  $O$  zbiegają się w jednym punkcie, środku optycznym soczewki, ogniskowe zaś stają się równe

$$\mathcal{F} = \mathcal{F}' = -\frac{r_1 r_2}{(n-1)(r_1 - r_2)}, \quad \text{skąd} \quad \frac{1}{\mathcal{F}} = (n-1) \left( \frac{1}{r_1} - \frac{1}{r_2} \right). \quad (25)$$

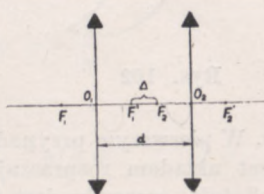


Ogniskowe te są dodatnie, gdy  $r_1 > 0, r_2 < 0$ , gdy  $r_1 > 0, r_2 = \infty$  lub  $r_1 = \infty, r_2 < 0$ , i wreszcie, gdy oba promienie mają ten sam znak, ale promień krzywizny wklęsłej powierzchni jest większy od promienia wypukłej. Odpowiada to trzem typom soczewek: dwuwypukłej, plasko-wypukłej i wypukło-wklęsłej, szerszej w środku, niż na brzegach. Schematycznie tego rodzaju soczewki odtwarzamy na rysunku (104a) w postaci linii prostej, zakończonej przyzmatami, zwróconymi podstawą ku osi, te bowiem soczewki załamują rozbieżną wiązkę promieni w tym samym kierunku, co układ dwóch przyzmatów złączonych podstawami i ustawionych na osi optycznej.

Ogniskowe są ujemne, gdy  $r_1 < 0, r_2 > 0$ , gdy  $r_1 = \infty, r_2 > 0$  lub  $r_1 = 0, r_2 = \infty$  i wreszcie gdy  $r_1$  i  $r_2$  mają ten sam znak, ale promień wklęsłej powierzchni jest mniejszy od promienia powierzchni wypukłej. Takie przypadki zachodzą, gdy mamy do czynienia z soczewkami dwuwypukłymi, plasko-wklęsłymi i wypukło-wklęsłymi, cieńszymi w środku niż



Rys. 104



Rys. 105

po brzegach. Schematycznie odtwarzamy te soczewki w postaci linii prostej, zakończonej przyzmatami, zwróconymi wierzchołkami do osi (rys. 104b); załamują one bowiem wiązki promieni w tym samym kierunku, co układ dwóch przyzmatów, złączonych wierzchołkami i ustawionych na osi.

Gdy  $r_1 = r_2$ , ogniska oddalają się do nieskończoności; soczewka działa tak, jak płytka równoległościenna. Cienka więc warstewka, ograniczona dwoma równoległymi powierzchniami kulistymi, nie zmienia kierunku biegu promieni.

Stosując wzór (21) możemy wyznaczyć ogniskową układu, złożonego z dwu soczewek, umieszczonych w odległości  $d$  jedna od drugiej (rys. 105, gdzie obie soczewki są zbierające); po podstawieniu

$$\Delta = d - (F_1 + F_2),$$

$$(21) \quad F = \frac{-F_1 F_2}{\Delta}$$

otrzymujemy

$$F = \frac{F_1 F_2}{F_1 + F_2 - d}. \quad (26)$$



Dla dodatnich (jak na rysunku) wartości  $\mathcal{F}_1, \mathcal{F}_2, \mathcal{F}$  jest dodatnie, dopóki

$$d < \mathcal{F}_1 + \mathcal{F}_2;$$

przy większej więc wartości  $d$  układ soczewek zbierających staje się układem rozpraszającym. Gdy

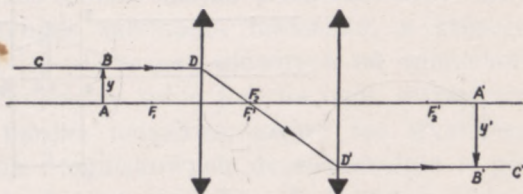
$$d = \mathcal{F}_1 + \mathcal{F}_2,$$

a więc, gdy

$$\Delta = 0,$$

ogniska zatem  $F'_1$  i  $F_2$  leżą w tym samym punkcie, układ jest bezogniskowy lub teleskopowy.

Niech  $AB$  rys. 105a będzie świecącym odcinkiem prostoliniowym prostopadłym do osi, ograniczonym przez oś i równoległą do niej prostą  $CD$ , obraz  $A'B'$  będzie ograniczony przez oś i prostą  $C'D'$ , sprzężoną z  $CD$  i równoległą do osi. Powiększenie liniowe będzie miało zatem wartość stałą, niezależną od odległości przedmiotu od soczewki pierwszej i równą



Rys. 105a

$$\mathcal{P} = \frac{y'}{y} = -\frac{\mathcal{F}_2}{\mathcal{F}'_1}. \quad (26a)$$

Podobnie będzie z powiększeniem kątowym, ze wzoru bowiem Lagrange'a otrzymujemy

$$\mathcal{K} = \frac{\text{tg } u'}{\text{tg } u} = \frac{n_1}{n_2} : \mathcal{P} = -\frac{\mathcal{F}'_1}{\mathcal{F}_2} \cdot \frac{n_1}{n_2}. \quad (26b)$$

Wiązka promieni równoległych do osi wychodzi po załamaniu w takim układzie, jako wiązka równoległa.

Podstawiając  $\Psi$  zamiast  $\frac{1}{\mathcal{F}}$  (p wzór 24a), otrzymujemy po odpowiednich przekształceniach

$$\Psi = \Psi_1 + \Psi_2 - d \cdot \Psi_1 \cdot \Psi_2. \quad (27)$$

Odległość płaszczyzn głównych i ognisk układu od wierzchołków soczewek możemy wyznaczyć w identyczny sposób do tego, jakim posługiwaliśmy się przy wyznaczaniu tych położenia w soczewce grubej. Oznaczmy

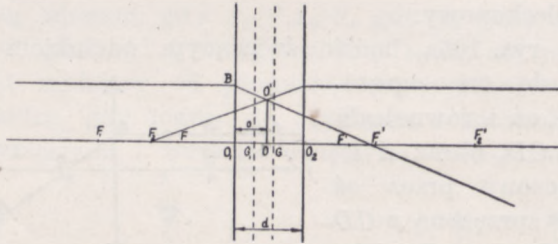


odległość środka optycznego  $O$  (rys. 106) układu od wierzchołka  $O_1$  pierwszej soczewki przez  $o$ , odległość od wierzchołka  $O_2$  drugiej będzie wtedy  $d-o$ . Ze wzorów na powiększenie liniowe (9b) otrzymujemy

$$\frac{BO_1}{OO'} = \frac{\mathcal{F}_1}{o - \mathcal{F}_1} = \frac{\mathcal{F}_2}{d - o - \mathcal{F}_2},$$

skąd

$$o = \frac{d \cdot \mathcal{F}_1}{\mathcal{F}_1 + \mathcal{F}_2}.$$



Rys. 106

Odległość od  $O_1$  punktu  $O$ , jako obrazu punktu  $G$ , związana jest z odległością  $GO_1$  wzorem

$$-\frac{1}{GO_1} + \frac{1}{o} = \frac{1}{\mathcal{F}_1}.$$

Po podstawieniu wartości  $o$  mamy

$$GO_1 = \frac{\mathcal{F} \cdot d}{\mathcal{F}_1 + \mathcal{F}_2 - d}, \quad (28)$$

wobec czego odległość ogniskowa układu  $\mathcal{F}$  od wierzchołka  $O_1$

$$FO_1 = FG - GO_1 = \frac{\mathcal{F}_1 \cdot \mathcal{F}_2}{\mathcal{F}_1 + \mathcal{F}_2 - d} - \frac{\mathcal{F}_1 \cdot d}{\mathcal{F}_1 + \mathcal{F}_2 - d} = \frac{\mathcal{F}_1(\mathcal{F}_2 - d)}{\mathcal{F}_1 + \mathcal{F}_2 - d}. \quad (28a)$$

Stykając dwie soczewki ( $d=0$ ) otrzymamy

$$GO_1 = 0 \quad \text{i} \quad FG = FO_1 = \frac{\mathcal{F}_1 \cdot \mathcal{F}_2}{\mathcal{F}_1 + \mathcal{F}_2} \quad \text{lub} \quad \frac{1}{\mathcal{F}} = \frac{1}{\mathcal{F}_1} + \frac{1}{\mathcal{F}_2}.$$

Zdolność zbierająca takiego układu będzie, zgodnie ze wzorem (24a)

$$\Psi = \Psi_1 + \Psi_2.$$



Z rozważań powyższych wynika, że przy wykreślaniu promieni, załamanych przez soczewkę o dowolnej grubości, można soczewkę tę zastąpić soczewką nieskończenie cienką o tej samej ogniskowej i następnie przesunąć wykreślone promienie o odcinek równoległy do osi i równy odległości płaszczyzn głównych danej soczewki. Podobnie zatem, jak kulista powierzchnia łamiąca w stosunku do osiowych układów łamiących, w których skrajne środowiska mają różne współczynniki załamania, soczewka doskonale cienka jest w stosunku do soczewek rzeczywistych, zanurzonych w środowisku jednorodnym, układem równoważnym.

#### 5. DOŚWIADCZALNE WYZNACZENIE ODLEGŁOŚCI OGNISKOWYCH (FOKOMETRIA)

Na podstawie wzorów (22) i (23) można znając promienie krzywizny soczewki, grubość jej i współczynnik załamania materiału, z którego jest zrobiona, obliczyć odległości jej płaszczyzn głównych od wierzchołków oraz odległości ogniskowe. Obliczenie takie jest na ogół, zwłaszcza, gdy chodzi o układ soczewek, bardzo uciążliwe, często też wyznacza się położenie płaszczyzn głównych i ogniskowych doświadczalnie z pomiarów fokometrycznych (łac. focus — ognisko). Z licznych metod tego typu pomiarów opiszemy jedynie trzy: metodę Bessela, metodę Cornu i metodę Mac-Gillavry'ego.

a. Metoda Bessela. Między przedmiotem i ekranem, ustawionym przed przedmiotem w pewnej nieziennej odległości  $l$  większej od ogniskowej co najmniej 4 razy, przesuwamy badany układ optyczny tak, aby na ekranie pojawił się wyraźny obraz przedmiotu. Mamy wtedy

$$g + g' + \delta = l, \quad (a)$$

gdzie  $\delta$  oznacza wzajemną odległość płaszczyzn głównych i gdzie  $g$  i  $g'$  związane są równaniem

$$\frac{1}{g} + \frac{1}{g'} = \frac{1}{f}. \quad (b)$$

Z symetrii równania (b) względem  $g$  i  $g'$  wynika, że wyraźny obraz otrzymamy przy dwóch różnych położeniach układu, a mianowicie, gdy odległość przedmiotu od płaszczyzny głównej  $G$  układu równa jest  $g$ , odległość zaś obrazu od płaszczyzny głównej  $G'$  równa jest  $g'$  i odwrotnie, gdy pierwsza z tych odległości równa jest  $g'$  druga zaś  $g$ . W jednym z tych przypadków obraz jest powiększony, w drugim zmniejszony. Odległość  $q$ , na jaką przesuwamy układ z jednego położenia do drugiego, równą

$$q = g' - g, \quad (c)$$

można podobnie jak odległość  $l$  przedmiotu od ekranu, zmierzyć z dużą dokładnością.



Z równań (a) i (c) znajdujemy

$$2g = l - \delta - q,$$

$$2g' = l - \delta + q,$$

skąd po podstawieniu tych wartości do równania (b) otrzymujemy

$$\frac{2}{l - \delta - q} + \frac{2}{l - \delta + q} = \frac{1}{\mathcal{F}}$$

i ostatecznie

$$4\mathcal{F} = l - \delta - \frac{q^2}{l - \delta}.$$

W soczewkach pojedynczych, o grubości małej w porównaniu z odlegością  $l$  przedmiotu od ekranu,  $\delta$  można pominąć, wtedy mamy

$$\mathcal{F} = \frac{l^2 - q^2}{4l}. \quad (d)$$

Nieco dokładniejszy wzór będziemy mieli wyznaczając ze wzorów (22) wzajemną odległość płaszczyzn głównych.

Kładąc

$$C = n(r_1 - r_2),$$

otrzymamy

$$\delta = \frac{n-1}{n}d,$$

wobec czego ogniskowa

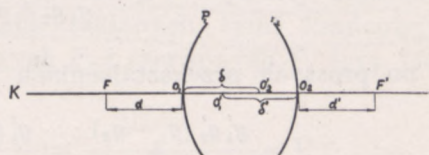
$$\mathcal{F} = \frac{\left(l - \frac{n-1}{n}d\right)^2 - q^2}{4\left(l - \frac{n-1}{n}d\right)} = \frac{l^2 - \frac{2(n-1)}{n}d \cdot l - q^2}{4\left(l - \frac{n-1}{n}d\right)}. \quad (e)$$

Pomiar ten bardzo prosty i dokładny, gdy mamy do czynienia z niezbyt grubymi soczewkami, daje wyniki tylko przybliżone w zastosowaniu do układów złożonych. Wtedy zazwyczaj używana jest:

b) metoda Cornu. Promienie równoległe, wychodzące z kolimatora  $K$  po załamaniu w układzie, którego skrajnymi powierzchniami są powierzchnie  $P_1$  i  $P_2$ , dają po załamaniu obraz szczeliny w ognisku  $F'$  przestrzeni obrazu układu. Obraz ten obserwujemy przez lunetę, skierowaną wzdłuż osi układu. Lunetę tę przesuwamy następnie wzdłuż osi (nie zmieniając jej nastawienia) tak, aby widzieć znaczek  $O_2$  (np. krzyż



namalowany tuszem) na powierzchni  $P_2$  układu (rys. 107). Odległość  $d'$ , na jaką przesuujemy lunetę, równa jest oczywiście, odległości ogniska  $F'$  od wierzchołka  $O_2$ . Lunetę przesuujemy jeszcze dalej, np. o  $\delta'$ , aby zobaczyć wyraźny obraz  $O'_1$  znaczka  $O_1$  na powierzchni  $P_1$ , otrzymany przez załamanie w układzie. Po czym zmieniamy kierunek padania światła, przedstawiając kolimator na miejsce lunety, lunetę na miejsce kolimatora i w ten sam sposób wyznaczamy odległość  $d$



Rys. 107

ogniska  $F$  od wierzchołka  $O_1$  i odległość  $\delta$ , na jaką trzeba przesunąć lunetę, żeby zobaczyć obraz  $O'_2$  znaczka  $O_2$  po załamaniu w układzie.

Ze wzoru Newtona znajdujemy

$$O_2F' \cdot O'_2 \cdot F = x_2 \cdot x'_2 = \mathcal{F}^2$$

$$\text{i } O_1F \cdot O'_1F' = x_1 \cdot x'_1 = \mathcal{F}^2.$$

Podstawiając

$$O_2F' = d'; \quad O'_2F = d + \delta; \quad O_1F = d; \quad O'_1F' = d' + \delta'$$

otrzymujemy

$$d'(d + \delta) = \mathcal{F}^2,$$

$$d(d' + \delta') = \mathcal{F}^2.$$

W każdym z tych równań niewiadomą jest jedynie ogniskowa  $\mathcal{F}$ , wobec tego każde z nich może służyć do jej wyznaczenia. Zazwyczaj bierze się przeciętną z obu wyznaczeń, dających, rzecz prosta, zawsze nieco różne wyniki wskutek nieuniknionych błędów pomiaru. Znając  $\mathcal{F}$  i odległości  $O_1F$  i  $O_2F'$  możemy wyznaczyć odległości płaszczyzn głównych od wierzchołków  $O_1$  i  $O_2$ .

c) Metoda Mac-Gillavry'ego polega na pomiarze powiększeń obrazu przedmiotu, umieszczonego w dowolnej odległości od wierzchołka skrajnej powierzchni układu, a następnie przesuniętego wzdłuż osi o  $q$  bliżej lub dalej. Oznaczmy odległość przedmiotu od płaszczyzny ogniskowej  $G$  w pierwszym położeniu przez  $g_1$  w drugim — przez  $g_2$ , odpowiednie zaś odległości obrazu od płaszczyzny  $G'$  przez  $g'_1$  i  $g'_2$ . Ze wzorów (24) i (16a) znajdujemy

$$\frac{1}{g_1} + \frac{1}{g'_1} = \frac{1}{g_2} + \frac{1}{g'_2} = \frac{1}{\mathcal{F}} \quad \text{i} \quad \mathcal{P}_1 = \frac{y'}{y} = -\frac{g'_1}{g_1}; \quad \mathcal{P}_2 = -\frac{g'_2}{g_2},$$

skąd

$$\mathcal{F} = \frac{g_1 g'_1}{g_1 + g'_1} = \frac{g_2 \cdot g'_2}{g_2 + g'_2} \quad (\text{f})$$



lub mnożąc i dzieląc pierwszy ułamek przez  $g'_2$ , drugi przez  $g'_1$

$$\mathcal{F} = \frac{g_1 g'_1 g'_2}{g_1 g'_2 + g'_1 g'_2} = \frac{g_2 \cdot g'_2 \cdot g'_1}{g_2 \cdot g'_1 + g'_2 \cdot g'_1}$$

i po prostych przekształceniach

$$\mathcal{F} = \frac{g'_1 g'_2 (g_1 - g_2)}{g_1 g'_2 - g_2 g'_1} = \frac{g'_1 g'_2}{g_1 g_2} \cdot \frac{g_1 - g_2}{\frac{g'_2}{g_2} - \frac{g'_1}{g_1}} = \mathcal{P}_1 \mathcal{P}_2 \frac{q}{\mathcal{P}_1 - \mathcal{P}_2}, \quad (g)$$

gdzie wszystkie wielkości otrzymujemy z pomiarów.

Znając  $\mathcal{F}$ , obliczamy  $g_1$  i  $g'_1$  z równań

$$\frac{1}{g_1} + \frac{1}{g'_1} = \frac{1}{\mathcal{F}} \quad \text{i} \quad \mathcal{P}_1 = \frac{y'_1}{y_1} = -\frac{g'_1}{g_1},$$

otrzymując

$$g_1 = \mathcal{F} \cdot \frac{\mathcal{P}_1 - 1}{\mathcal{P}_1} \quad \text{i} \quad g'_1 = -\mathcal{F} (\mathcal{P}_1 - 1)$$

oraz

$$g_1 + g'_1 = \mathcal{F} \frac{(\mathcal{P}_1 - 1)^2}{\mathcal{P}_1}.$$

Mierzmy odległość  $l$  między przedmiotem i obrazem w pierwszym położeniu i ze wzoru

$$GG' = l - g_1 - g'_1 \quad (h)$$

wyznaczamy wzajemną odległość płaszczyzn głównych. Znając  $g_1$  i odległość przedmiotu od wierzchołka skrajnej powierzchni układu, znajdujemy położenie płaszczyzny  $G$  i następnie po uwzględnieniu wzoru (h) płaszczyzny  $G'$ .

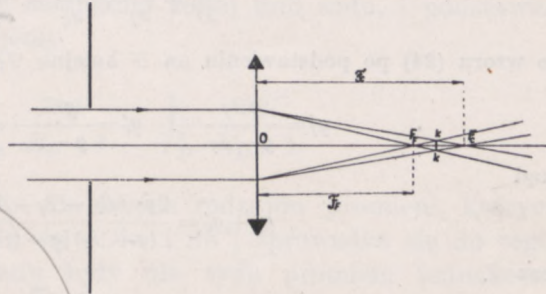
Gdy układ badany jest układem rozpraszającym, łączymy go z układem zbierającym o znanej ogniskowej i po zmierzeniu ogniskowej złożonego w ten sposób układu, znajdujemy szukaną ogniskową ze wzorów na układ złożony.

## 6. ABERACJA CHROMATYCZNA

Pomiary te dają ścisłe wyniki jedynie przy użyciu światła jednorodnego, zarówno bowiem odległości ogniskowe, jak i położenie płaszczyzn głównych zmienia się, jak na to wskazują wzory (22) i (23), ze zmianą współczynnika załamania.



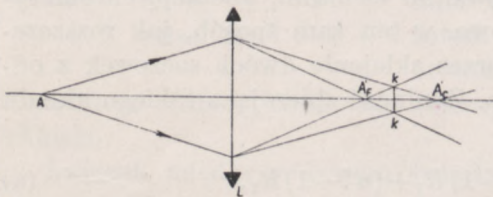
Wiązka promieni równoległych światła białego skupia się po załamaniu nie w jednym punkcie, lecz w nieskończenie wielu punktach osi między dwoma punktami — ogniskami najbardziej i najmniej łamliwych promieni. W pojedynczych soczewkach szklanych tymi krańcowymi punktami są ogniska promieni fioletowych  $F_f$  i czerwonych  $F_c$  (rys. 108), przy czym ognisko promieni fioletowych leży bliżej soczewki, niż ognisko promieni czerwonych. Na ekranie, przesuwanym z  $F_f$  do  $F_c$  nie otrzymamy nigdy niezabarwionego obrazu punktu, lecz kolistą plamę, której środek i brzegi przybierają w miarę przesuwania ekranu różne barwy. W punkcie  $F_f$  środek plamy jest bladofioletowy, brzeg czerwony, w punkcie  $F_c$  — środek jest bladoczerwony, brzeg fioletowy.



Rys. 108

Podobnie są zabarwione obrazy punktu, znajdującego się w skończonej odległości od soczewki. Promienie załamane zawarte są między dwoma stożkami o wierzchołkach w punktach  $A'_f$  i  $A'_c$ , będących punktami przecięcia z osią skrajnych promieni widma. Promienie te przecinają się wzajemnie w punktach obwodu koła  $KK$  (rys. 108a). Zjawisko to nazywamy aberracją chromatyczną, koło zaś  $KK$  — kołem najmniejszej aberracji chromatycznej. Umieszczając ekran w płaszczyźnie tego koła, otrzymamy obraz punktu  $A$  stosunkowo mało zabarwiony.

W cieniwej soczewce dwuwypukłej ze szkła lekkiego, dla którego  $n_B=1,512$ ,  $n_H=1,532$ , promienie zaś krzywizny równe są  $r_1=-r_2=50$  cm,  $F_c=48,83$  cm,  $F_f=47$  cm, punkt przecięcia z osią promieni czerwonych, wychodzących z punktu



Rys. 108a

odległego o 100 cm od soczewki, będzie leżał w odległości 93,47 cm od soczewki, punkt przecięcia promieni fioletowych w odległości 88,68 cm. Różnica wynosić będzie zatem 4,79 cm.

Średnica koła najmniejszej aberracji chromatycznej jest tym mniejsza, im przy danej średnicy

prostopadłego do osi przekroju soczewki ogniskowa jest większa. Tym się, między innymi, tłumaczy używanie przed wynalezieniem układów achromatycznych (p. niżej) bardzo długich lunet, nieraz przeszło trzydziestometrowych.



Oznaczmy przez  $x_f$  i  $x_c$  odległości płaszczyzny koła  $KK$  od obrazów  $A_f$  i  $A'_c$ , przez  $O$  — średnicę prostopadłego do osi przekroju soczewki, przez  $g_f$  i  $g'_c$  odległości odpowiednich obrazów od soczewki, której grubość przyjmujemy za dostatecznie małą, aby mogła być pominięta w rachunku, wreszcie przez  $D$  — średnicę koła  $KK$ . Mamy wtedy

$$\frac{O}{D} = \frac{g_f}{x_f} = \frac{g'_c}{x_c} = \frac{g_f + g'_c}{x_f + x_c}.$$

Ze wzoru (24) po podstawieniu na  $\mathcal{F}$  kolejno  $\mathcal{F}_f$  i  $\mathcal{F}_c = \mathcal{F}_f + \Delta\mathcal{F}$  otrzymujemy

$$g_f = \frac{g\mathcal{F}_f}{g - \mathcal{F}_f} \quad \text{i} \quad g'_c = \frac{g\mathcal{F}_c}{g - \mathcal{F}_c} = \frac{g(\mathcal{F}_f + \Delta\mathcal{F})}{g - (\mathcal{F}_f + \Delta\mathcal{F})},$$

skąd

$$g_f + g'_c = \frac{2g\mathcal{F}_f(g - \mathcal{F}_f - \Delta\mathcal{F}) + g^2\Delta\mathcal{F}}{(g - \mathcal{F}_f)[g - (\mathcal{F}_f + \Delta\mathcal{F})]}$$

oraz

$$x_f + x_c = g'_c - g_f = \frac{g^2 \cdot \Delta\mathcal{F}}{(g - \mathcal{F}_f)[g - (\mathcal{F}_f + \Delta\mathcal{F})]}.$$

Pomijając w mianowniku  $\Delta\mathcal{F}$ , jako małe w porównaniu z  $\mathcal{F}_f$ , znajdujemy

$$D = O \cdot \frac{x_f + x_c}{g_f + g'_c} = O \cdot \frac{\Delta\mathcal{F}}{2\mathcal{F}_f} \cdot \frac{g}{g - \mathcal{F}_f}. \quad (29)$$

Gdy  $g = \infty$ ,

$$D_\infty = O \cdot \frac{\Delta\mathcal{F}}{2\mathcal{F}_f}. \quad (29a)$$

W rozpatrywanym wyżej przykładzie, gdy  $O = 10$  cm,

$$D = 10 \cdot \frac{1,83}{2,47} \cdot \frac{100}{53} \approx \frac{1}{2} \cdot 0,73 \text{ cm} \approx 0,37 \text{ cm}.$$

Po przesunięciu punktu świecącego do nieskończoności

$$D_\infty = 10 \cdot \frac{1,83}{2,47} \approx \frac{1}{2} \cdot 0,39 \text{ cm} \approx 0,19 \text{ cm}.$$

Gdy mamy do czynienia z soczewkami cienkimi, aberację chromatyczną usuwamy, przynajmniej częściowo, w ten sam sposób, jak rozszczepienie w pryzmacie, a mianowicie przez sklejenie dwóch soczewek z odpowiednio dobranych rodzajów szkła. Zdolność zbierająca takiego układu wynosi, zgodnie ze wzorem (24a)

$$\Psi = \Psi_1 + \Psi_2 = (n' - 1)R_1 + (n'' - 1)R_2, \quad (a)$$

gdzie  $R_1$  i  $R_2$  oznaczają sumy krzywizn (suma odwrotności promieni krzywizny) poszczególnych soczewek.

Ze zmianą współczynnika załamania promienia, przechodzącego przez ten układ o  $\Delta n$ , zdolność zbierająca zmienia się o

$$\Delta\Psi = \Delta n' \cdot R_1 + \Delta n'' \cdot R_2. \quad (b)$$



Wyznaczając  $R_1$  i  $R_2$  z równań

$$\Psi_{1D} = \frac{1}{\mathcal{F}'_D} = (n'_D - 1)R_1 \quad \text{i} \quad \Psi_{2D} = \frac{1}{\mathcal{F}''_D} = (n''_D - 1)R_2, \quad (c)$$

gdzie  $n_D$  oznacza współczynnik załamania żółtej linii sodu, i podstawiając do równania (b), otrzymujemy

$$\Delta\Psi = \frac{1}{\mathcal{F}'_D} \cdot \frac{\Delta n'}{n'_D - 1} + \frac{1}{\mathcal{F}''_D} \cdot \frac{\Delta n''}{n''_D - 1}.$$

Warunek achromatyzmu układu dla dwóch rodzajów promieni, których współczynniki załamania różnią się o  $\Delta n'$  i  $\Delta n''$ , sprowadza się do tego, aby zdolności zbierające układu były dla tych promieni jednakowe, a więc, aby

$$\Delta\Psi = \frac{1}{\mathcal{F}'_D} \cdot \frac{\Delta n'}{n'_D - 1} + \frac{1}{\mathcal{F}''_D} \cdot \frac{\Delta n''}{n''_D - 1} = 0. \quad (d)$$

Ułamki  $\frac{1}{v} = \frac{\Delta n}{n_D - 1}$  są z natury rzeczy dodatnie, wobec czego w układzie achromatycznym jedna z soczewek musi być zbierająca, druga rozpraszająca. Chcąc otrzymać układ zbierający należy tak dobrać soczewki, żeby

$$\Psi = \Psi_1 + \Psi_2 > 0 \quad (e)$$

a więc, żeby

$$\mathcal{F}'_D < |\mathcal{F}''_D|,$$

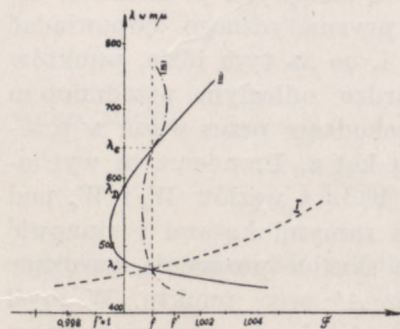
gdzie  $\mathcal{F}'_D$  oznacza ogniskową soczewki zbierającej. Stąd zaś wynika, że  $v'$  musi mieć wartość większą od  $v''$ . W układzie zatem achromatycznym, złożonym z soczewek ze szkła lekkiego (koronowego)

i ciężkiego (flint), soczewką zbierającą musi być soczewka ze szkła lekkiego.

Związek między rodzajem światła i odległością ogniskową odtwarza w przypadku soczewki pojedynczej krzywa rys. 109.

Krzywa ta wyraża zależność między długością ogniskowej i długością fali użytego światła (p. rozdz. VII).

W układzie achromatycznym związek ten wyraża się krzywą II. Przy achromatyzmie doskonałym odległość ogniskowa miałaby tę samą wartość dla wszystkich rodzajów promieni, krzywa II przekształciłaby się



Rys. 109

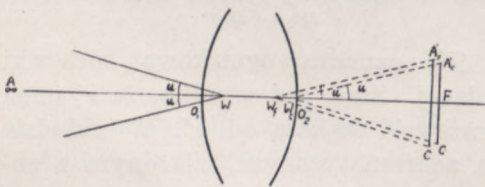


w prostą (kropkowaną na rysunku). Tak w rzeczywistości nigdy nie jest; użycie jednak do budowy układów achromatycznych tzw. nowych rodzajów szkła pozwala znacznie zmniejszyć różnice ogniskowych różnych barw i tym samym usunąć w znacznym stopniu widmo wtórne, o którym już wspominaliśmy przy omawianiu achromatycznego układu pryzmatów. Związek między rodzajem światła i odległością ogniskową wyraża w tym przypadku krzywa III, znacznie mniej, niż krzywa II, odchylająca się od linii prostej.

Układy, w których widmo wtórne jest prawie całkowicie zniesione i które poza tym czynią zadość warunkom, o jakich będzie mowa w ust. 7, noszą nazwę apochromatów.

Jeżeli jednak mamy do czynienia z soczewkami bardzo grubymi lub ze złożonymi układami optycznymi, w których odległości punktów głównych od wierzchołków są dość znaczne, wtedy zrównanie odległości ogniskowych nie wystarcza dla otrzymania achromatyzmu. Ze zmianą bowiem współczynnika załamania zmienia się również, jak wiemy, położenie płaszczyzn głównych, do i od których liczymy odległości ogniskowe, tym samym przeto odległościom nie będą odpowiadały te same położenia ognisk na osi.

Przypuśćmy, że mamy układ, w którym ogniska wszystkich rodzajów promieni leżą w tej samej odległości od skrajnych powierzchni łamiących. Wtedy każdej barwie widma pryzmatycznego odpowiadać będzie inne położenie płaszczyzn głównych i, co za tym idzie, punktów węzłowych. Niech  $A$  (rys. 110) będzie bardzo odległym przedmiotem świecącym, którego skrajne promienie, przechodzące przez węzeł w przestrzeni przedmiotu, tworzą z osią optyczną kąt  $u$ . Promienie te wychodzą z węzłów  $W_f$  i  $W_c$  pod tymi samymi kątami i stanowią skrajne promienie, tworzące obraz  $A'$  tego punktu. W myśl założenia obrazu, utworzone przez promienie poszczególnych barw powstają w tej samej odległości od wierzchołka  $O_2$  układu (na



Rys. 110

rysunku obrazy  $A'_f$  i  $A'_c$  są dla wyrazistości rozsunięte), ponieważ jednak węzły  $W_f$  i  $W_c$  nie leżą w tym samym punkcie, wielkości obrazów nie będą jednakowe; różnica wielkości będzie tym większa, im większy będzie kąt  $u$ , a więc im większy będzie przedmiot.

Nie można wyrównać jednocześnie odległości ognisk od wierzchołków i od płaszczyzn głównych, wobec czego musimy się ograniczyć do usunięcia jednej tylko z tych nierówności. Gdy chodzi o obrazy przedmiotów o dużych stosunkowo rozmiarach i o tzw. subiektywną obser-



wację, to znaczy, gdy obrazu nie rzucamy na ekran lub na kliszę fotograficzną, lecz bezpośrednio na siatkówkę oka, należy wybrać raczej wyrównanie odległości ogniskowych od płaszczyzn głównych. Wtedy bowiem, czego tu dowodzić nie będziemy, obrazy, utworzone przez promienie różnych barw, widzimy pod tym samym kątem, wobec czego nakrywają się one wzajemnie i przestają być zabarwione.

Temu warunkowi odpowiadają układy dwóch cienkich soczewek zbierających, z jednakowego materiału, umieszczonych w odpowiedniej odległości  $d$  jedna od drugiej. Oznaczmy zdolności zbierające soczewek przez  $\Psi_1$  i  $\Psi_2$ ; zdolność zbierająca układu będzie zgodnie ze wzorem (27)

$$\Psi = \Psi_1 + \Psi_2 - d \cdot \Psi_1 \cdot \Psi_2.$$

Gdy współczynnik załamania zmienia się o  $\Delta n$ , zdolność zbierająca zmienia się o

$$\Delta \Psi = \Delta \Psi_1 + \Delta \Psi_2 - d(\Delta \Psi_1 \cdot \Psi_2 + \Psi_1 \cdot \Delta \Psi_2).$$

Warunek achromatyczności dla promieni, których współczynnik załamania różni się o tę właśnie wielkość, wyraża się wzorem

$$\Delta \Psi_1 + \Delta \Psi_2 - d(\Delta \Psi_1 \cdot \Psi_2 + \Psi_1 \cdot \Delta \Psi_2) = 0. \quad (f)$$

Z drugiej jednak strony mamy (wzór d)

$$\Delta \Psi = \frac{1}{v} \Psi,$$

wobec czego

$$\frac{\Psi_1}{v_1} + \frac{\Psi_2}{v_2} - d \left( \frac{\Psi_1 \cdot \Psi_2}{v_1} + \frac{\Psi_1 \cdot \Psi_2}{v_2} \right) = 0.$$

Gdy, jak to założyliśmy, soczewki są z jednakowego materiału

$$v_1 = v_2$$

i

$$\Psi_1 + \Psi_2 = 2d \cdot \Psi_1 \cdot \Psi_2,$$

skąd

$$d = \frac{\Psi_1 + \Psi_2}{2\Psi_1 \cdot \Psi_2} = \frac{\mathcal{F}_1 + \mathcal{F}_2}{2}. \quad (30)$$

W ten właśnie sposób zbudowane są okulary Huygensa i Ramsdena (łac. oculus — oko). W okularze Huygensa, składającym się z dwóch soczewek wypukło-płaskich, zwróconych ku źródłu światła wypukłością, stosunek ogniskowych i wzajemnej odległości  $d$  soczewek wynosi

$$\mathcal{F}_1 : d : \mathcal{F}_2 = 3 : 2 : 1.$$



Odległość ogniska  $F$  układu od wierzchołka pierwszej soczewki równa jest, zgodnie ze wzorem (28a),

$$FO_1 = \frac{\mathcal{F}_1(\mathcal{F}_2 - d)}{\mathcal{F}_1 + \mathcal{F}_2 - d} = \frac{\frac{3}{2}d \left( \frac{1}{2}d - d \right)}{\frac{3}{2}d + \frac{1}{2}d - d} = -\frac{3}{4}d.$$

Ognisko to leży zatem między soczewkami układu, stąd nazwa okularu ujemnego. Z tego też powodu okular Huygensa nie może służyć jako lupa (p. rozdz. VI, ust. 2) do obserwacji przedmiotów rzeczywistych.

W okularze Ramsdena soczewki płasko-wypukłe zwrócone są do światła swą płaską stroną. Stosunek ogniskowych i wzajemnej odległości  $d$  soczewek równy jest mniej więcej

$$\mathcal{F}_1 : d : \mathcal{F}_2 = 1 : 1 : 1.$$

W praktyce bierze się  $d$  nieco mniejsze tak, aby  $\mathcal{F}_2 - d$  było nieco większe od zera i aby w ten sposób ognisko  $F$  leżało nieco przed pierwszą soczewką, nie zaś na samej soczewce. Okular jest dodatni.

#### 7. ABERACJA SFERYCZNA. WARUNKI OTRZYMANIA WYRAŻNYCH I GEOMETRYCZNIE PODOBNYCH OBRAZÓW

Wszystkie udowodnione w ustępach poprzednich twierdzenia obowiązują, jak na to niejednokrotnie zwracaliśmy uwagę, jedynie w przypadku spełnienia warunków stygmatyzmu, a więc, gdy promienie padające stanowią wiązkę osiową, lub też wiązkę środkową, wychodzącą z punktu, leżącego bardzo blisko osi, albo wreszcie, gdy punkt świecący jest jednym z punktów anaberacyjnych (p. ust. 2).

We wszystkich innych przypadkach zarówno pojedyncze powierzchnie kuliste, jak i soczewki są powierzchniami astygmatycznymi.

Z trójkątów  $APC$  i  $A'P'C$  (rys. 81, str. 95) otrzymaliśmy

$$\frac{\sin a_1}{\sin \varphi} = \frac{AC}{AP} \quad \text{i} \quad \frac{\sin a_2}{\sin \varphi} = \frac{A'C}{A'P'}$$

skąd po uwzględnieniu, że

$$\frac{\sin a_1}{\sin a_2} = \frac{n_2}{n_1},$$

mamy

$$\frac{AC}{A'C} = \frac{AP}{A'P'} \cdot \frac{n_2}{n_1}. \quad (\text{a})$$



Podstawiając

$$AP = \sqrt{AC^2 + r^2 - 2AC \cdot r \cos \varphi}$$

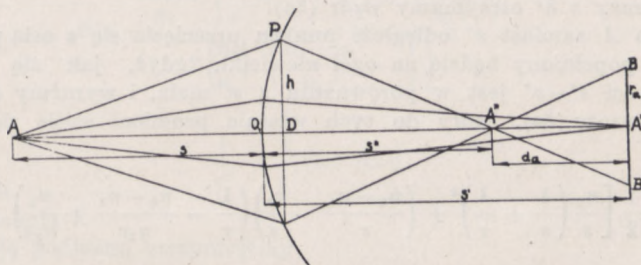
i

$$A'P = \sqrt{A'C^2 + r^2 + 2A'C \cdot r \cos \varphi}, \quad (b)$$

znajdujemy

$$A'C = \frac{n_1}{n_2} AC \frac{\sqrt{A'C^2 + r^2 + 2A'C \cdot r \cos \varphi}}{\sqrt{AC^2 + r^2 - 2AC \cdot r \cos \varphi}}.$$

Ze wzrastaniem więc kąta  $\varphi$  odległość  $A'C$  maleje (przy  $r$  dodatnim) a więc promienie brzeżne skupiają się po załamaniu na powierzchni kulistej, zwróconej do światła wypukłością, bliżej wierzchołka powierzchni, niż promienie osiowe rys. 111. Umieścimy w punkcie  $A'$  przecięcia się



Rys. 111

promieni osiowych ekran, promienie brzeżne, przecinające się w punkcie  $A''$ , przetną ten ekran wzdłuż obwodu koła  $BB$  o promieniu  $r_a$ , będącym miarą poprzecznej aberracji sferycznej. Odległość  $A''A' = d_a$  wyznacza podłużną aberrację sferyczną.

Z trójkątów  $APD$  i  $PDA''$  mamy

$$AP = \sqrt{(s + O_1D)^2 + h^2} = \sqrt{\left(s + \frac{h^2}{2r}\right) + h^2}$$

i

$$A''P = \sqrt{(s'' - O_1D)^2 + h^2} = \sqrt{\left(s'' - \frac{h^2}{2r}\right) + h^2},$$

gdzie  $s$  i  $s''$  oznaczają odległości do wierzchołka  $O_1$  punktów  $A$  i  $A''$ ; odrzucając wyższe potęgi  $\frac{h^2}{r}$  otrzymujemy

$$AP = s \left[ 1 + \frac{h^2}{2s} \left( \frac{1}{r} + \frac{1}{s} \right) \right] \quad \text{i} \quad A''P = s'' \left[ 1 + \frac{h^2}{2s''} \left( \frac{1}{s''} - \frac{1}{r} \right) \right].$$

Po podstawieniu do wzoru (a) znajdziemy

$$\frac{n_1(s+r)}{s \left[ 1 + \frac{h^2}{2s} \left( \frac{1}{r} + \frac{1}{s} \right) \right]} = \frac{n_2(s''-r)}{s'' \left[ 1 + \frac{h^2}{2s''} \left( \frac{1}{s''} - \frac{1}{r} \right) \right]};$$



podzielmy przez  $r$  i wykonajmy dzielenie

$$n_1 \left( \frac{1}{s} + \frac{1}{r} \right) \left[ 1 - \frac{h^2}{2s} \left( \frac{1}{r} + \frac{1}{s} \right) \right] = n_2 \left( \frac{1}{r} - \frac{1}{s''} \right) \left[ 1 - \frac{h^2}{2s''} \left( \frac{1}{s''} - \frac{1}{r} \right) \right],$$

skąd

$$\frac{n_1}{s} + \frac{n_2}{s''} = \frac{n_2 - n_1}{r} + \frac{n_1}{s} \left( \frac{1}{s} + \frac{1}{r} \right)^2 \cdot \frac{h^2}{2} + \frac{n_2}{s''} \left( \frac{1}{r} - \frac{1}{s''} \right)^2 \frac{h^2}{2}$$

lub kładąc

$$A = \frac{n_1}{2s} \left( \frac{1}{s} + \frac{1}{r} \right)^2 + \frac{n_2}{2s''} \left( \frac{1}{r} - \frac{1}{s''} \right)^2,$$

$$\frac{n_1}{s} + \frac{n_2}{s''} = \frac{n_2 - n_1}{r} + Ah^2 \quad (c)$$

odrzucając wyrazy z  $h^2$  otrzymamy wzór (5a).

Podstawmy do  $A$  zamiast  $s''$  odległość punktu przecięcia się z osią promieni osiowych  $s'$ ; błąd popełniony będzie na ogół niewielki, gdyż, jak się przekonamy, różnica odległości  $s' - s''$  jest w porównaniu z  $s'$  mała, i wyrażmy  $s'$  w funkcji  $s$  na podstawie wzoru (5a), który do tych właśnie promieni ściśle się stosuje. Będziemy mieli

$$\begin{aligned} A &= \frac{1}{2} \left[ \frac{n_1}{s} \left( \frac{1}{s} + \frac{1}{r} \right)^2 + \left( \frac{n_2 - n_1}{r} - \frac{n_1}{s} \right) \left( \frac{1}{r} - \frac{n_2 - n_1}{n_2 r} + \frac{n_1}{n_2 s} \right)^2 \right] = \\ &= \frac{1}{2} \left( \frac{1}{s} + \frac{1}{r} \right)^2 \left[ \frac{n_1 (n_2^2 - n_1^2)}{n_2^2 s} + \frac{n_1^2}{n_2^2} \cdot \frac{n_2 - n_1}{r} \right] = \\ &= \frac{1}{2} \left( \frac{1}{s} + \frac{1}{r} \right)^2 \frac{(n_2 - n_1) n_1}{n_2^2} \left( \frac{n_1 + n_2}{s} + \frac{n_1}{r} \right) = \\ &= \frac{1}{2} \left( \frac{1}{s} + \frac{1}{r} \right)^2 (n_2 - n_1) \left( \frac{n_1}{n_2} \right)^2 \left( \frac{1}{r} + \frac{n_1 + n_2}{n_1 s} \right). \end{aligned} \quad (d)$$

Z drugiej strony

$$\frac{n_2 - n_1}{r} - \frac{n_1}{s} = \frac{n_2}{s}.$$

Mamy przeto

$$\frac{n_2}{s''} = \frac{n_2}{s'} + \frac{1}{2} \left( \frac{1}{s} + \frac{1}{r} \right)^2 (n_2 - n_1) \left( \frac{n_1}{n_2} \right)^2 \left( \frac{1}{r} + \frac{n_1 + n_2}{n_1 s} \right) \cdot h^2;$$

wyprowadzając za nawias  $\frac{n_2}{s'}$  i skracając przez  $n_2$

$$\frac{1}{s''} = \frac{1}{s'} \left[ 1 + \frac{1}{2} (n_2 - n_1) \left( \frac{n_1}{n_2} \right)^2 \frac{\left( \frac{1}{s} + \frac{1}{r} \right)^2 \left( \frac{1}{r} + \frac{n_1 + n_2}{n_1 s} \right)}{\frac{n_2}{s'}} \right] \cdot h^2;$$



otrzymujemy po podstawieniu w nawiasie wartości  $s'$

$$\frac{1}{s''} = \frac{1}{s'} \left[ 1 + \frac{1}{2} \frac{(n_2 - n_1) \left( \frac{n_1}{n_2} \right)^2 \left( \frac{1}{s} + \frac{1}{r} \right)^2 \left( \frac{1}{r} + \frac{n_1 + n_2}{s} \right)}{\frac{n_2 - n_1}{r} - \frac{n_1}{s}} \right] \cdot h^2 =$$

$$= \frac{1}{s'} \left[ 1 + \frac{1}{2} \frac{\frac{n_2 - n_1}{n_1} \left( \frac{1}{s} + \frac{1}{r} \right)^2 \left( \frac{1}{r} + \frac{n_1 + n_2}{s} \right)}{\left( \frac{n_2}{n_1} \right)^2 \left( \frac{n_2 - n_1}{n_1 r} - \frac{1}{s} \right)} \right] \cdot h^2. \quad (e)$$

Kładąc

$$B = \frac{\frac{n_2 - n_1}{n_1} \left( \frac{1}{s} + \frac{1}{r} \right)^2 \left( \frac{1}{r} + \frac{n_1 + n_2}{n_1 s} \right)}{2 \left( \frac{n_2}{n_1} \right)^2 \left( \frac{n_2 - n_1}{n_1 r} - \frac{1}{s} \right)},$$

napiżemy

$$\frac{1}{s''} = \frac{1}{s'} (1 + Bh^2), \quad (f)$$

gdzie  $B$  jest funkcją  $s$ .

Stąd na aberację podłużną otrzymujemy

$$d_a = s' - s'' = s'' \cdot B \cdot h^2. \quad (g)$$

Przy załamaniu więc na wklęsłej powierzchni łamiącej aberacja ta jest ujemna.

Z podobnych trójkątów  $A'A''B$  i  $PDA''$  znajdujemy

$$\frac{A'A''}{A'B} = \frac{A''D}{PD} = \frac{s''}{h},$$

stąd

$$A'B = r_a = \frac{h}{s''} \cdot d_a,$$

wobec czego

$$r_a = B \cdot h^3. \quad (h)$$

Gdy promienie padają na powierzchnię łamiącą równoległe do osi,  $B$  staje się równe

$$B_\infty = \left( \frac{n_1}{n_2} \right)^2 \cdot \frac{1}{2r^2}, \quad (i)$$

$r_a$  zaś i  $d_a$

$$r_{a\infty} = \left( \frac{n_1}{n_2} \right)^2 \cdot \frac{h^3}{2r^2}, \quad (j)$$

$$d_{a\infty} = \frac{n_1^2 h^2}{n_2(n_2 - n_1) \cdot 2r}. \quad (k)$$

Są to tzw. aberacje główne.



W soczewce otrzymujemy w tym przypadku wzory, które podamy bez wyprowadzenia

$$B_{\infty} = \frac{n^2}{2} \left\{ \frac{1}{r_1^2} \left[ 1 - \frac{2(n^2-1)}{n^3} \right] + \frac{1}{r_1 r_2} \left( \frac{1}{n^2} + \frac{2}{n} - 2 \right) + \frac{1}{r_2^2} \right\} \quad (1)$$

$$d_{a\infty} = \mathcal{F} \cdot B \cdot h^2,$$

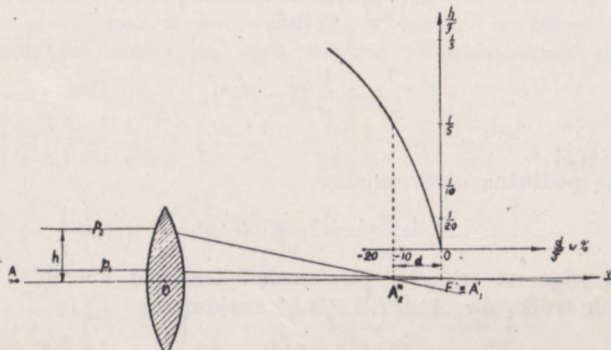
$$r_{a\infty} = Bh^3.$$

W soczewce ze szkła lekkiego o średnicy przekroju, prostopadłego do osi, równej 10 cm ( $h=5$  cm) i równych promieniach krzywizny  $r_1=(r_2)=50$  cm mamy

$$B_{\infty} = 0,0007; \quad d_{a\infty} = 47.0,0007.25 \approx 0,8 \text{ cm}; \quad r_{a\infty} \approx 0,09 \text{ cm}.$$

Stąd wynika, że aberacja poprzeczna wywiera mniejszy wpływ na ostrość obrazów, niż aberacja chromatyczna, której koło ma w tej samej soczewce promień 0,2 cm (p. str. 129).

Często jest wygodnie dać graficzną charakterystykę aberacji danej soczewki (rys. 112). Odkładamy na osi odciętych odległości  $d_h$  punktów przecięcia się z osią



Rys. 112

promieni  $p_2$ , biegnących przed załamaniem w odległości  $h$  od osi  $x$ , od ogniska  $F$  promieni osiowych  $p_1$ , biorąc za jednostkę długości ogniskową  $\mathcal{F}$  (na rysunku  $\frac{d}{\mathcal{F}}$  podane jest w %); na osi zaś rzędnych – odpowiednie odległości  $\frac{h}{\mathcal{F}}$ . Krzywa w ten sposób otrzymana daje całkowity obraz podłużnej aberacji sferycznej. W soczewkach wartość aberacji sferycznej zależy od krzywizny powierzchni, zwróconej do światła. Im krzywizna ta jest w stosunku do krzywizny drugiej powierzchni większa (promień krzywizny mniejszy), tym aberacja sferyczna jest mniejsza.

Tak np. w soczewce płasko-wypukłej mamy kładąc  $r_1 = \infty$  (soczewka zwrócona płaską stroną do światła),  $r_2 = -r$

$$B'_{\infty} = \frac{n^2}{2r^2};$$

kładąc zaś  $r_1 = r, r_2 = \infty$  (soczewka zwrócona do światła powierzchnią wypukłą),

$$B''_{\infty} = \frac{n^2}{2r^2} \left[ 1 - \frac{2(n^2-1)}{n^3} \right].$$



skąd

$$\frac{B''_{\infty}}{B'_{\infty}} = 1 - \frac{2(n^2 - 1)}{n^3} < 1.$$

Dla  $n=1,5$  otrzymujemy

$$\frac{B''_{\infty}}{B'_{\infty}} \approx 0,26.$$

W soczewce dwuwypukłej minimum aberacji sferycznej otrzymamy, dobierając odpowiednio promienie krzywizny powierzchni łamiących. Wyrugujmy ze wzoru (l)  $r_2$  przy pomocy równania

$$\frac{1}{\mathcal{F}} = (n-1) \left( \frac{1}{r_1} - \frac{1}{r_2} \right), \quad (\text{m})$$

skąd

$$\frac{1}{r_2} = \frac{1}{r_1} - \frac{1}{\mathcal{F}(n-1)}.$$

Wzór na  $B_{\infty}$  przybierze wówczas postać

$$B_{\infty} = \frac{n^2}{2} \left\{ \frac{1}{r_1^2} \left[ 1 - \frac{2(n^2-1)}{n^3} \right] + \frac{1}{r_1^2} \left( \frac{1}{n^2} + \frac{2}{n} - 2 \right) - \frac{1}{r_1 \mathcal{F}(n-1)} \left( \frac{1}{n^2} + \frac{2}{n} - 2 \right) + \frac{1}{r_1^2} - \frac{2}{r_1 \mathcal{F}(n-1)} + \frac{1}{\mathcal{F}^2 (n-1)^2} \right\},$$

co po odpowiednich przeróbkach da

$$B_{\infty} = \frac{n^2}{2} \left[ \frac{n+2}{n^3} \cdot \frac{1}{r_1^2} - \frac{2n+1}{n^2(n-1)\mathcal{F}} \cdot \frac{1}{r_1} + \frac{1}{(n+1)^2 \mathcal{F}^2} \right].$$

Weźmy pochodną  $B_{\infty}$  względem  $r_1$  i przyrównajmy ją do zera

$$-\frac{2(n+2)}{n^3} \cdot \frac{1}{r_1^3} + \frac{2n+1}{n^2(n-1)\mathcal{F}} \cdot \frac{1}{r_1^2} = 0.$$

Ponieważ  $r_1$  nie może być równe ani zeru ani nieskończoności, możemy skrócić przez  $r_1^2$ , otrzymamy wtedy

$$\frac{1}{r_1} = \frac{n(2n+1)}{2(n+2)(n-1) \cdot \mathcal{F}}.$$

Podstawiając wartość  $\mathcal{F}$  ze wzoru (m), znajdujemy

$$\frac{r_1}{r_2} = -\frac{4+n-2n^2}{n(2n+1)}, \quad (\text{n})$$

skąd dla  $n=1,5$

$$\frac{r_1}{r_2} = -\frac{1}{6}$$

(promień  $r_2$  w soczewce dwuwypukłej jest ujemny).



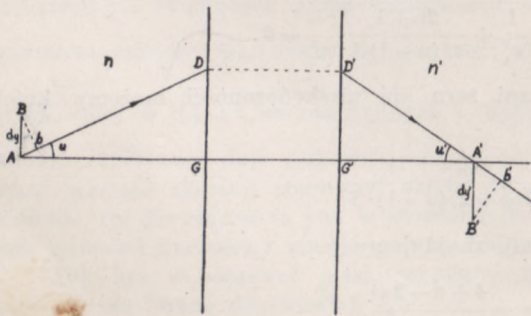
Promień krzywizny zwróconej do światła musi być zatem sześć razy mniejszy (krzywizna sześć razy większa) od promienia drugiej powierzchni.

Zastępując soczewkę pojedynczą układem dwóch tak dobranych soczewek, aby ich aberracje podłużne (dla przedmiotu znajdującego się w nieskończoności) miały tę samą wartość bezwzględną, znak zaś przeciwny, można aberrację tę prawie całkowicie usunąć. Gdy chodzi o układ o małej ogniskowej (a więc znacznej na ogół krzywiznie powierzchni łamiących), korzystniej jest używać układu z kilku soczewek, z których każda będzie mogła mieć znacznie mniejszą krzywiznę od soczewki pojedynczej o żądanej ogniskowej.

Zastąpienie powierzchni kulistej powierzchniami innego kształtu nie dałoby lepszych wyników. I wtedy bowiem warunek stygmatyzmu byłby spełniony tylko dla niektórych (na ogół nielicznych) położen punktu świecącego (por. rozdz. I, ust. 4).

Aberacja ta wszakże może być usunięta (lub zmniejszona) tylko w przypadku, gdy źródłem światła jest punkt świecący, znajdujący się na osi w tym właśnie miejscu, dla którego układ jest „sferycznie poprawiony”. Przy innych położeniach punktu aberracja sferyczna będzie istniała w dalszym ciągu; co więcej, będzie istniała również dla punktów nieskończenie małego elementu płaszczyzny prostopadłego do osi i przecinającego ją w punkcie, dla którego układ jest poprawiony. Chcąc otrzymać wyraźny i wierny obraz tego elementu, musimy użyć układu, który by spełniał, jak to stwierdził Abbe (1881 r.), jeszcze jeden warunek dodatkowy.

Niech  $A$  będzie punktem przecięcia osi przez dany element płaski,  $B$  — punktem tego elementu, nieskończenie bliskim osi,  $A', B'$  — obrazami tych punktów,  $AD$  i  $A'D'$  — promieniami sprzężonymi (rys. 113).



Rys. 113

Opuśćmy z punktów  $B$  i  $B'$  prostopadłe  $Bb$  i  $B'b'$  na promienie  $AD$  i  $A'D'$ . Możemy przyjąć, że spodki tych prostopadłych leżą na tej samej powierzchni falowej, co punkty  $B$  i  $B'$ , rzuty bowiem prostych  $Bb$  i  $B'b'$ , prostopadłe, w myśl założenia, do powierzchni falowych, przechodzących przez punkty  $b$  i  $b'$ , są równe zero, a więc

czynią zadość warunkowi, jaki powinny spełniać rzuty na promień nieskończenie małych elementów powierzchni falowych. W przypadku zatem, gdy spełnione są warunki stygmatyzmu dla punktu  $B$ , wzajemnie



równe długości dróg optycznych, wiodących z  $B$  do  $B'$ , są równe długościom dróg optycznych z  $b$  do  $b'$ . Mamy przeto

$$L = (BB') = (bb') = (AA') - nAb + n'A'b',$$

gdzie  $n$  i  $n'$  są współczynnikami załamania środowisk, z którymi się stykają skrajne powierzchnie łamiące. Stąd wynika, że

$$n'A'b' - nAB = \text{stałej.}$$

Oznaczmy  $AB$  przez  $dy$ ,  $A'B'$  przez  $dy'$ , wtedy

$$Ab = dy \sin u \quad \text{i} \quad A'b' = dy' \sin u',$$

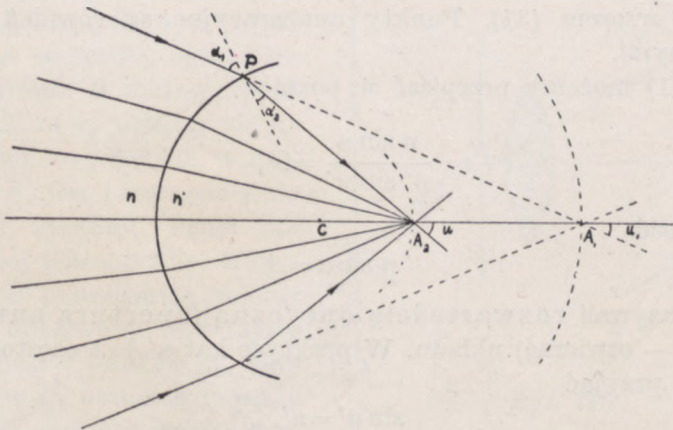
wobec czego

$$n' \cdot dy' \cdot \sin u' - n \cdot dy \cdot \sin u = \text{stałej.}$$

Stała ta musi być równa zeru, gdyż dla  $u=0$ ,  $u'$  też jest równe zeru, otrzymujemy zatem

$$\frac{\sin u}{\sin u'} = \frac{n'}{n} \cdot \frac{dy'}{dy} = \frac{n'}{n} \cdot \mathcal{P} = \text{stałej.} \quad (31)$$

Punkt  $A$  jest wtedy tzw. punktem aplanatycznym. Obraz elementu płaszczyzny, prostopadłej do osi w tym punkcie, jest również elementem płaszczyzny, prostopadłej do osi.



Rys. 114

Temu warunkowi czynią zadość wspomniane wyżej punkty anaberracyjne. Powiększenie poprzeczne w tych punktach wynosi (rys. 114)

$$\mathcal{P} = \frac{CA_2}{CA_1} = \frac{r_2}{r_1} = \left(\frac{n}{n'}\right)^2,$$



stosunek zaś sinusów kątów  $u$  i  $u'$  (obu, według umowy co do znaków, ujemnych) równy jest

$$\frac{\sin u}{\sin u'} = \frac{\sin \alpha_2}{\sin \alpha_1} = \frac{n}{n'},$$

gdyż

$$\frac{PC}{CA_2} = \frac{r}{\frac{n'}{n} r} = \frac{n'}{n} = \frac{\sin u'}{\sin \alpha_2} = \frac{\sin \alpha_1}{\sin \alpha_2}$$

oraz

$$\frac{PC}{CA_1} = \frac{r}{\frac{n}{n'} \cdot r} = \frac{n}{n'} = \frac{\sin u}{\sin \alpha_1} = \frac{\sin \alpha_2}{\sin \alpha_1},$$

skąd

$$u' = \alpha_1 ; u = \alpha_2.$$

Mamy zatem

$$\frac{\sin u}{\sin u'} = \frac{\mathcal{P}}{\frac{n}{n'}} = \frac{n'}{n} \mathcal{P},$$

zgodnie ze wzorem (31). Punkty anaberacyjne są również punktami aplanatycznymi.

Wzór (31) możemy przepisać w postaci

$$\frac{n \sin u}{n' \sin u'} = \mathcal{P},$$

gdzie wielkość

$$n \sin u = A \tag{32}$$

będziemy nazywali rozwartością optyczną (aperturą numeryczną łac. aperire — otwierać) układu. W praktyce kąt  $u'$  jest często tak mały, że możemy przyjąć

$$\sin u' = u'.$$

Wtedy poprzeczne powiększenie liniowe równe jest

$$\mathcal{P} = \frac{A}{n' u'}. \quad \text{waw. Abbego} \tag{33}$$

Jeżeli jednak punkt  $B$  leży nie na płaszczyźnie, prostopadłej do osi, lecz na samej osi, nieskończenie blisko punktu  $A$ , wtedy jednocześnie



otrzymanie obrazów stygmatycznych obu punktów  $A$  i  $B$ , możliwe jest, jak to można udowodnić w ten sam sposób, co twierdzenie Abbego, tylko wtedy, gdy

$$\frac{\sin \frac{u}{2}}{\sin \frac{u'}{2}} = \mathcal{P} \cdot \frac{n'}{n} \quad (34)$$

(Czapski, 1888).

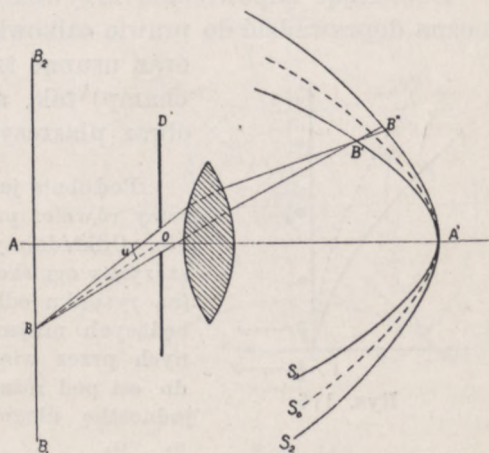
Równania (32 i (34) nie mogą być spełnione jednocześnie, wobec czego, ściśle mówiąc, nigdy nie jest możliwe całkowicie wyraźne odtworzenie elementu objętości.

Ograniczenie wiązki promieni, padających na układ, przez odpowiednio umieszczoną przesłonę (diafragmę) na ogół usuwa lub co najmniej zmniejsza aberację, gdyż wiązka ta tworzy niewielki kąt z osią; wtedy bowiem zbliżamy się do warunków, omawianych w ustępach poprzednich; okazuje się jednak niewystarczającym, gdy wiązka tworzy z osią znaczny kąt  $u$ , a więc, gdy wychodzi z punktu, leżącego daleko od osi układu. Niech punktem tym będzie punkt  $B$  płaszczyzny świecącej  $B_1B_2$  (rys. 115). Punktowi temu odpowiada na ogół pewna powierzchnia kaustyczna (p. ust. 2, str. 52).

W przypadku jednak, przez nas rozpatrywanym, gdy wiązka promieni, wychodzących z  $B$  i padających na soczewkę, ograniczona jest otworem  $O$  diafragmy  $D$ , powierzchnia ta sprowadza się do dwóch odcinków prostych, z których jeden  $B'$  jest prostopadły do płaszczyzny rysunku, drugi zaś  $B''$  leży w tej płaszczyźnie. Można to sprawdzić przesuwając wzdłuż osi ekran i obserwując powstające na nim obrazy punktu  $B$ . Gdy ekran jest w  $C$ , obrazem punktu  $B$  jest mały odcinek prostej, stycznej do koła  $CB'$ , gdy ekran jest w  $C'$ , obrazem jest mały odcinek prostej skierowanej wzdłuż  $C'B''$  (rys. 115a).

Odcinek w  $B'$  jest ogniskową styczną wiązki promieni, w  $B''$  — ogniskową radialną (p. rozdz. III, ust. 2).

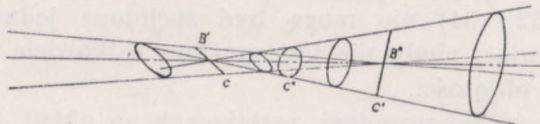
I wreszcie umieszczając ekran w  $C''$ , gdzie wiązka ma przekrój najmniejszy, otrzymujemy najwyraźniejszy stosunkowo obraz punktu  $B$



Rys. 115



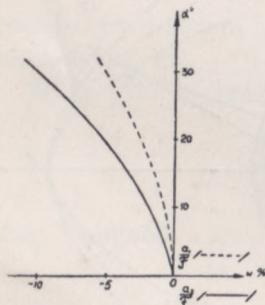
w postaci koła. Koło to nazwał *T. Young* (1800 r.) kołem najmniejszego rozproszenia (circle of least confusion). Zjawisko to, nazywane zazwyczaj astygmatyzmem czystym, zachodzi identycznie dla wszystkich punktów płaszczyzny  $B_1B_2$  (p. rys. 115). Z płaszczyzną tą są zatem sprzężone dwie powierzchnie, które otrzymujemy przez obrót krzywych  $S_1$  i  $S_2$  dookoła osi  $AA'$ . Powierzchnie te stykają się ze sobą w punkcie  $A'$ , sprzężonym z punktem  $A$  płaszczyzny, leżącym na osi układu. Powierzchnię  $S_0$  można w tym przypadku uważać za obraz płaszczyzny  $B_1B_2$ .



Rys. 115a

Gdy zwiększamy otwór  $O$  diafragmy, astygmatyzm czysty znika; zamiast odcinków prostej otrzymujemy skończone części kaustyki. Zależnie od położenia punktu  $B$  względem otworu, na ekranie powstają figury, podobne do owali, komety lub przecinków; mamy wtedy do czynienia z tzw. komą (łac. coma — włos, liście drzew).

Dobierając odpowiednio krzywizny poszczególnych soczewek układu, można doprowadzić do prawie całkowitego zetknięcia powierzchni  $S_1$  i  $S_2$ , oraz usunąć tzw. wygięcie pola (courbure du champ) tak, aby otrzymać mniej więcej płaski obraz płaszczyzny  $B_1B_2$ .



Rys. 116

Podobnie jak w przypadku aberracji sferycznej, możemy również przebieg tego zjawiska odtworzyć graficznie. Odkładajmy na osi odciętych odległości od płaszczyzny ogniskowej (rys. 116) punktów krzywych  $S_1$  i  $S_2$  (na rysunku odległości te są oznaczone przez  $a_1$  i  $a_2$ ), będących miejscem geometrycznym odcinków, utworzonych przez wiązki promieni równoległych, nachylonych do osi pod różnymi kątami  $\alpha$ , biorąc i tym razem za jednostkę długości ogniskową  $\mathcal{F}$ , — na osi zaś rzęd-

nych kąty  $\alpha$ . Gdy krzywe  $\frac{a_1}{\mathcal{F}}$  i  $\frac{a_2}{\mathcal{F}}$  zbiegają się ze sobą, astygmatyzmu nie ma; gdy w dodatku zbiegają się z osią rzędnych, obraz płaszczyzny jest płaszczyzną. Układy achromatyczne czynią zadość temu warunkowi, noszą nazwę anastygmatów.

Obraz ten jednak i w tym ostatnim przypadku może jeszcze podlegać tzw. skróceniu (dystorsji), wskutek czego nie jest geometrycznie podobny do przedmiotu. Przypuśćmy, że przedmiotem tym jest świecąca płaszczyzna (rys. 117), na której nakreśliliśmy szereg kół współ-



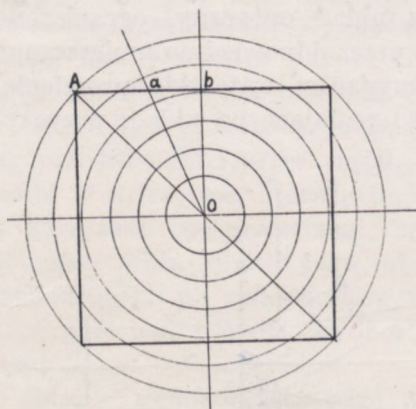
środkowych o promieniach wzrastających w postępie arytmetycznym. Wpiszmy do największego z tych kół kwadrat i nakreślmy proste  $OA$ ,  $Oa$  i  $ob$ , przechodzące przez środek kół i tworzące z poziomą średnicą dowolne kąty  $\theta_1, \theta_2, \theta_3$ . Każdemu z tych punktów  $A, a, b$  będzie odpowiadał obraz, leżący odpowiednio na prostych  $O'A', O'a'$  i  $O'b'$ , tworzących, jak to bezpośrednio wynika z warunków symetrii, te same kąty ze średnicą poziomą, co  $OA, Oa$  i  $Ob$ . Długości jednak odcinków  $O'A', O'a', O'b'$  nie będą na ogół równe długości odcinków  $OA, Oa, Ob$ ; tak że będziemy mieli

$$r' = f(r)$$

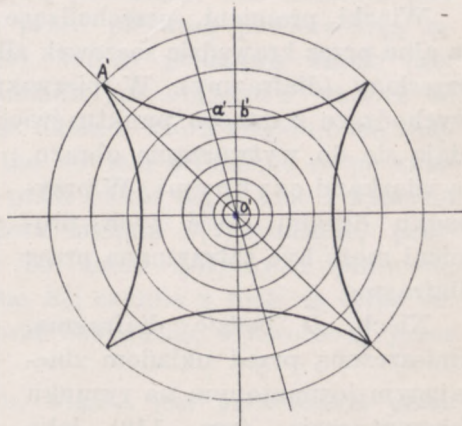
lub rozwijając tę funkcję i poprzestając na pierwszych dwóch wyrazach szeregu

$$r' = mr \pm pr^2. \quad (o)$$

W przypadku, gdy  $r'$  w miarę wzrastania  $r$  będzie coraz to szybciej wzrastało (znak  $+$  we wzorze (o)), odległości między kołami, na przedmiocie równe, będą w miarę wzrastania promienia wzrastały, punkty



Rys. 117



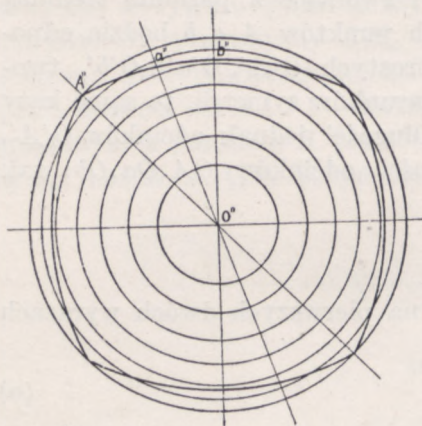
Rys. 118

$A, a, b$ , leżące w przedmiocie na prostej, równoległej do średnicy poziomej, będą w obrazie leżały na krzywej, zwróconej wypukłością ku środkowi  $O'$  (skręcenie poduszkowate — en coussinet) tak, jak na rys. 118).

Gdy zaś  $r'$  w miarę wzrastania  $r$  będzie wzrastało coraz to wolniej (znak  $-$  we wzorze (o)), obrazy kół będą stawały się coraz bardziej sku-



pione; punkty  $A''$ ,  $a''$ ,  $b''$  będą leżały na krzywej, zwróconej wklęsłością do środka, jak na rys. 118a (skręcenie beczkowe — en barillet).



Rys. 118a

Jedynie wtedy, gdy  $p$  jest równe zero, obraz będzie geometrycznie podobny do przedmiotu. Aby tak było, dla wszystkich punktów przedmiotu stosunek  $\frac{\operatorname{tg} u}{\operatorname{tg} u'}$  musi mieć tę samą wartość

$$\frac{\operatorname{tg} u}{\operatorname{tg} u'} = \text{stałej} \quad (35)$$

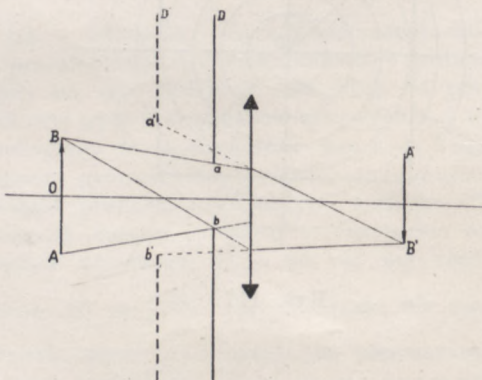
(wzór Airy'ego).

Układ, czyniący zadość temu warunkowi, jest układem ortoskopowym (p. rozdz. III, ust. 1).

#### 8. PRZESŁONY (DIAFRAGMY)

Wiązki promieni, przechodzące przez układ optyczny, ograniczone są albo przez krawędzie soczewek albo też przez odpowiednio umieszczone przesłony (diafragmy). W pierwszym przypadku wszystkie promienie, wychodzące z danego punktu świecącego i padające na układ, przyczyniają się do wytwarzania obrazu, są wiązkami czynnymi. W przypadku drugim część tych promieni może być zatrzymana przez diafragmę.

Niech  $D$  będzie diafragmą, umieszczoną przed układem zbierającym (oznaczonym na rysunku schematycznie, (rys. 119) jako cienka soczewka zbierająca),  $D'$  — jej obrazem (w danym przypadku urojonym), wytworzonym przez układ. Załóżmy, że układ jest stygmatyczny; każdy z promieni, przechodzących w przestrzeni przedmiotu przez jeden z punktów otworu  $ab$  diafragmy (np. przez punkt  $a$ ), będzie po załamaniu przechodził w przestrzeni obrazu przez punkt sprzężony z tym punktem (np. przez punkt  $a'$ ). Obraz  $B'A'$  będzie więc utworzony jedynie przez

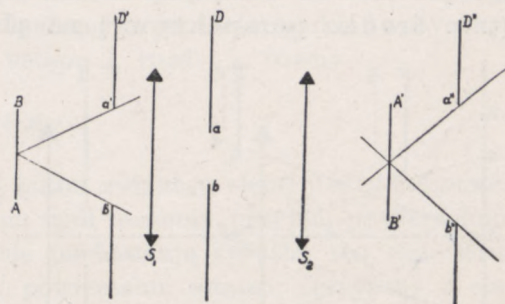


Rys. 119



te promienie, które po załamaniu przechodzą przez punkty obrazu  $a'b'$  otworu  $ab$ , tak że wiązka promieni wychodzących z układu będzie ograniczona przez otwór diafragmy  $D'$  — obraz otworu rzeczywistego diafragmy  $D$ . Wiązki czynne promieni, wychodzących z punktów przedmiotu świecącego  $AB$ , mają za swą podstawę otwór  $ab$  przesłony  $D$ ; odwrotnie, wiązka promieni schodząca się w każdym z punktów przesłony ma za podstawę przedmiot świecący  $AB$ . Możemy więc zespół tych promieni czynnych rozpatrywać albo jako wiązki, wychodzące z punktów świecącego ciała i mające za podstawę otwór przesłony, albo też, jako wiązki, wychodzące z punktów przesłony i mające za podstawę przedmiot świecący.

Podobnie możemy rozpatrywać wiązki, schodzące się w obrazie  $A'B'$  i przechodzące przez obraz  $D'$  przesłony  $D$ .



Rys. 120

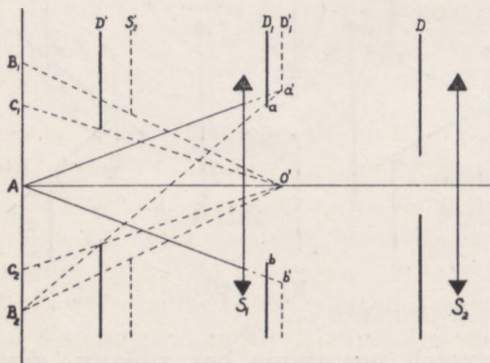
Zjawisko w swych ogólnych zarysach pozostanie bez zmiany, gdy przesłona  $D$  znajdować się będzie nie przed pierwszą powierzchnią łamiącą, lecz wewnątrz układu (rys. 120). Wtedy podstawą wiązki promieni padających na pierwszą część układu jest obraz  $a'b'$  otworu  $ab$  przesłony  $D$ , wytworzony przez tę część układu, która znajduje się między przedmiotem i przesłoną  $D$ . Te tylko bowiem promienie są po załamaniu w  $S_1$  czynne, które przechodzą przez otwór  $ab$ , a więc z którymi są sprzężone w przestrzeni przedmiotu układu  $S_1$  promienie, przechodzące przez obraz tego otworu. To samo dotyczy i promieni, wychodzących po załamaniu w układzie  $S_2$ ; czynne z nich są tylko te, które przechodzą przez otwór  $a''b''$ , obraz otworu  $ab$ , wytworzony przez układ  $S_2$ .

Gdy w układzie jest parę przesłon, wiązka jest ograniczona przez otwór tej przesłony, której obraz w przestrzeni przedmiotu układu widać z osiowego punktu przedmiotu świecącego pod kątem najmniejszym. Otwór ten nosi nazwę źrenicy pierwszej lub wejściowej. Obraz jej w przestrzeni obrazu jest źrenicą drugą lub wyjściową.

Niech np.  $D$  i  $D_1$  (rys. 121) będą diafragmami badanego układu,  $D'$  i  $D'_1$  obrazami wytworzonymi przez tę część układu, która leży między diafragmami i przedmiotem świecącym,  $S'_2$  obrazem układu  $S_2$ , wytworzonym przez tę samą część układu  $S_1$ . Źrenicą pierwszą jest wtedy otwór obrazu  $D'_1$ . Kąt  $a'A'b'$  jest kątem rozwartości układu. Im ten kąt jest większy, tym więcej światła, wysyłanego przez dany punkt  $A$



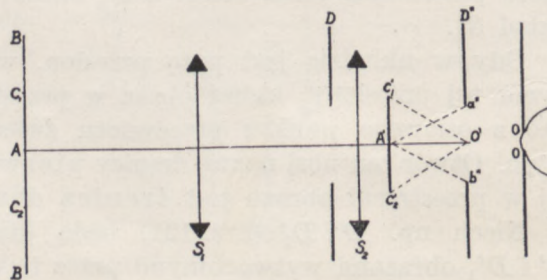
przechodzi przez układ. Gdyby nie było diafragmy  $D$  i układu  $S_2$ , przez cały układ przeszłyby promienie ze wszystkich punktów przedmiotu rozciągniętego  $BAB$ . Strumień światła przechodzący przez układ z danego punktu byłby oczywiście, tym mniejszy, im bardziej dany punkt byłby oddalony od osi. Obrazy jednak przesłony  $D'$  i układu  $S_2'$  część tych promieni zatrzymują, tak że promienie, wychodzące np. z punktu  $B_1$  wcale przez układ nie przechodzą; otrzymujemy wtedy obraz tylko części przedmiotu. Rzutujemy z osiowego punktu  $O'$  źrenicy pierwszej (tzw. środka perspektywy) na płaszczyznę, w której się znajduje



Rys. 121

przedmiot, obrazy  $D'_1$  i  $S'_2$ . Ta przesłona, której rzut widziany jest z punktu  $A$  pod kątem najmniejszym, wyznacza pole widzenia układu, kąt zaś, pod jakim rzut ten widziany jest z punktu  $O'$  — kąt  $C_2O'C_1$ , jest kątem widzenia układu. Strumienie światła, wysyłane przez punkty układu, tym mniej wypełniają źrenicę pierwszą, im dalej od osi leży dany punkt. Tak np. promienie z punktów  $C_1$  wypełniają jedynie połowę źrenicy wejściowej (punkt  $C_1$  — górną, punkt  $C_2$  — dolną). Wobec tego oświetlenie obrazu maleje ku brzegom. Brak ten można jednak usunąć umieszczając tak przesłonę, ograniczającą pole widzenia (przesłona lub diafragma pola), aby obraz jej leżał w płaszczyźnie przedmiotu  $BB$ .

Podobnie przebiegają zjawiska w przestrzeni obrazu. Otwór  $a''b''$  diafragmy  $D''$  (rys. 122) jest źrenicą drugą, kąt  $a''A'b''$  jest kątem rzutu, kąt zaś  $C'_1O'C'_2$  jest kątem obrazu. Należy jednak zaznaczyć, że podczas gdy z punktów przedmiotu świecącego promienie wychodzą na ogół we wszystkich kierunkach, promienie, wychodzące (po przecięciu się) z punktów obrazu, zawarte są w stożku, mającym wierzchołek w danym punkcie, podstawę zaś w źrenicy drugiej (np. stożek  $a''A'b''$ ). Poza obręb tego stożka żadne promienie nie są wysyłane.



Rys. 122



Przy obserwacji subiektywnej źrenica oka  $oo$  odgrywa rolę dodatkowej przesłony. Tylko wtedy nie zmniejsza ona kąta obrazu, gdy znajduje się w płaszczyźnie źrenicy wyjściowej, dlatego też punkt  $O'$  nosi nazwę punktu ocznego, otwór zaś  $a''b''$  — koła ocznego.

### 9. OŚWIETLENIE I JASNOŚĆ OBRAZÓW

Strumień światła, wychodzący z elementu  $ds$  powierzchni świecącej, prostopadłego do osi układu, i przechodzący przez badany układ optyczny, jest, zgodnie ze wzorami (1) i (2) ustępu 2, rozdz. 1, równy

$$d^2\Phi = e \cdot ds \cdot \omega$$

gdzie  $\omega$  jest kątem bryłowym, pod jakim z danego elementu widać otwór źrenicy wejściowej. Jeżeli, jak to na ogół możemy przyjąć, powierzchnie łamiące układu nie odbijają ani nie pochłaniają światła, ten sam strumień przechodzi przez element  $ds'$  powierzchni obrazu, sprzężony z elementem  $ds$ . Strumień ten wypełnia stożek, utworzony przez promienie, wychodzące z danego elementu i przechodzące przez źrenicę wyjściową. Strumień zatem, jakim obraz  $ds'$  oświetla źrenicę drugą, równy jest

$$d^2\Phi' = d^2\Phi = e' \cdot ds' \cdot \omega',$$

gdzie  $e'$  jest blaskiem obrazu,  $\omega'$  — kątem bryłowym, objętym przez stożek promieni wychodzących.

W danym jednak przypadku — promieni osiowych — kąty bryłowe są proporcjonalne do kwadratów kątów  $\psi$  i  $\psi'$ , wyrażających rozbieżność wiązki, stosunek zaś pola przedmiotu  $ds$  i pola obrazu  $ds'$ , równy stosunkowi kwadratów poprzecznych powiększeń liniowych, z  $\psi$  i  $\psi'$  związany jest wzorem Lagrange'a (p. wzór 12c), wobec czego

$$\frac{ds}{ds'} = \left(\frac{n'}{n}\right)^2 \left(\frac{\psi'}{\psi}\right)^2.$$

Z równości zatem

$$e \cdot ds \cdot \omega = e' \cdot ds' \cdot \omega'$$

otrzymujemy

$$e' = e \frac{ds}{ds'} \frac{\omega}{\omega'} = e \left(\frac{n'}{n}\right)^2 \left(\frac{\psi'}{\psi}\right)^2 \cdot \left(\frac{\psi}{\psi'}\right)^2 = e \left(\frac{n'}{n}\right)^2. \quad (36)$$

Przy wyprowadzaniu tego wzoru zakładaliśmy, że rozbieżności wiązek są niewielkie i że promienie, przechodzące przez układ są promieniami osiowymi. Gdy



mamy do czynienia z układem stygmatycznym dla rozwartych wiązek promieni, układ musi spełniać, jak wiemy, warunek, aby

$$\frac{\sin u}{\sin u'} = \frac{n'}{n} \rho$$

(p. wzór 31).

W tym przypadku wartość strumienia światła, przechodzącego przez układ, otrzymamy ze wzoru (a) ust. 2 rozdz. I, podstawiając  $d\omega = 2\pi \sin \alpha_w \cdot d\alpha_w$  i kładąc na granice całkowania  $\alpha_w = 0, \alpha_w = u$ ,

$$d^2\Phi = e \cdot \pi \cdot ds \cdot \sin^2 u;$$

analogicznie, strumień światła, wysyłany przez element  $ds'$  obrazu

$$d^2\Phi' = d^2\Phi = e' \cdot \pi \cdot ds' \sin^2 u',$$

skąd

$$e' = e \frac{ds}{ds'} \cdot \frac{\sin^2 u}{\sin^2 u'} = e \cdot \frac{1}{\rho^2} \left( \frac{n'}{n} \right)^2 \cdot \rho^2 = e \left( \frac{n'}{n} \right)^2,$$

zgodnie ze wzorem (36).

Blask więc obrazu nie zależy ani od rozwartości układu ani też od odległości przedmiotu, lecz jest wyznaczony przez stosunek współczynników załamania skrajnych środowisk. W narzędziach optycznych  $n'$  jest na ogół równe jedności,  $n$  — większe od jedności lub też jej równe. Blask przeto obrazu jest co najwyżej równy blaskowi przedmiotu.

W praktyce często wyznacza się tzw. siłę świetlną układu lub innymi słowy oświetlenie obrazu. Strumień światła, przechodzący przez układ, jest (w układzie stygmatycznym) proporcjonalny do rozmiarów przedmiotu i do powierzchni  $S$  źrenicy wejściowej, odwrotnie zaś proporcjonalny do kwadratu odległości przedmiotu od tej źrenicy, możemy bowiem przyjąć (przy niewielkim nachyleniu promieni do osi), że kąt bryłowy, utworzony przez stożek promieni, wychodzących z dowolnego punktu przedmiotu świecącego jest prawie równy  $\frac{S}{g^2}$ , gdzie  $g$  odległość punktu od płaszczyzny głównej przestrzeni przedmiotu, jest jednakowa dla wszystkich punktów przedmiotu. Mamy zatem

$$\Phi = C' \cdot y^2 \frac{S}{g^2} = C \cdot y^2 \cdot \frac{D^2}{g^2},$$

gdzie  $D$  — średnica źrenicy pierwszej. Oświetlenie obrazu jest więc równe

$$e' = \frac{\Phi}{y'^2} = C \frac{y^2}{y'^2} \cdot \frac{D^2}{g^2}$$

Ze wzoru (9b) rozdz. IV mamy

$$\frac{y}{y'} = \frac{x}{\mathcal{F}},$$

skąd

$$e' = C \cdot \frac{x^2}{\mathcal{F}^2} \cdot \frac{D^2}{(x+\mathcal{F})^2} = C \cdot \frac{x^2}{(x+\mathcal{F})^2} \cdot \frac{D^2}{\mathcal{F}^2}, \quad (37)$$



gdy  $\mathcal{F}$  jest małe w porównaniu z  $x$ , oświetlenie wyraża się wzorem

$$\mathcal{E}' \approx C \cdot \left(\frac{D}{\mathcal{F}}\right)^2. \quad (37a)$$

Oświetlenie obrazu jest niezależne od odległości przedmiotu i wzrasta ze wzrostem stosunku  $\frac{D}{\mathcal{F}}$  nazywanego często stosunkiem rozwartości. Układ więc ma tym większą siłę świetlną, im stosunek ten jest większy.

Gdy oko umieszczone jest w płaszczyźnie koła ocznego i pole koła jest większe od pola źrenicy lub co najmniej polu temu równe, strumień, wychodzący z danego elementu powierzchni obrazu, wypełnia całą źrenicę oka. Oświetlenie powierzchni siatkówki jest, zgodnie ze wzorem (6) rozdz. I, równe

$$\mathcal{E} = K \cdot e' \cdot O = K \cdot e \left(\frac{n'}{n}\right)^2 \cdot O;$$

w przypadku więc, spotykanym najczęściej,  $n = n' = 1$ , oświetlenie to, a co za tym idzie i jasność obrazu są takie same, jak przedmiotu, oglądanego okiem nieuzbrojonym.

Jeżeli jednak pole koła ocznego jest mniejsze od źrenicy oka, oświetlenie siatkówki jest

$$\mathcal{E}_1 = K \cdot e' \cdot O_1,$$

gdzie

$$O_1 < O$$

jest polem oświetlonej części źrenicy; jasność obrazu jest więc mniejsza od jasności przedmiotu.

W wywodzie naszym przyjmowaliśmy, że wiązka promieni, wychodząca z danego elementu powierzchni świecącej, wypełnia całą źrenicę wejściową. Warunek ten nie jest spełniony, gdy przedmiot świecący jest bardzo rozciągnięty w porównaniu z jego odległością od układu (p. ustęp poprzedni); wtedy strumień światła, wychodzący ze sprzężonego elementu obrazu też nie wypełnia całkowicie koła ocznego; jasność tego elementu jest wtedy mniejsza od normalnej, obraz przeto przedmiotu o jasności równomiernej jest niejednakowo oświetlony.

Gdy przedmiotem jest punkt świecący, strumień światła, wchodzący poprzez układ do oka, jest na ogół tyle razy większy od strumienia, który by z tego samego punktu dochodził do oka nieuzbrojonego, ile razy pole źrenicy pierwszej jest większe od źrenicy oka; w tym też stosunku wzrasta oświetlenie siatkówki.

Jest to słuszne nawet wtedy, gdy układ nie jest całkowicie stygmatyczny, jeżeli tylko kolo aberacji poprzecznej ma pole mniejsze od pola elementu siatkówki (p. rozdz. V).

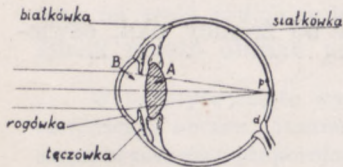


## Rozdział V

### OKO

#### 1. SCHEMAT BUDOWY OKA

Z pewnym, nieraz wystarczającym przybliżeniem, można uważać oko za osiowy układ kulistych powierzchni łamiących. Środowiska, oddzielone tymi powierzchniami i stanowiące tzw. gałkę oczną, (rys. 123, przedstawiający poziomy przekrój oka), objęte są białą, tęgą błoną — białkówką lub sklerotyką (sclerotica lub tunica albuginea); przednia jej część bardziej wypukła jest przezroczysta i stanowi rogówkę



Rys. 123

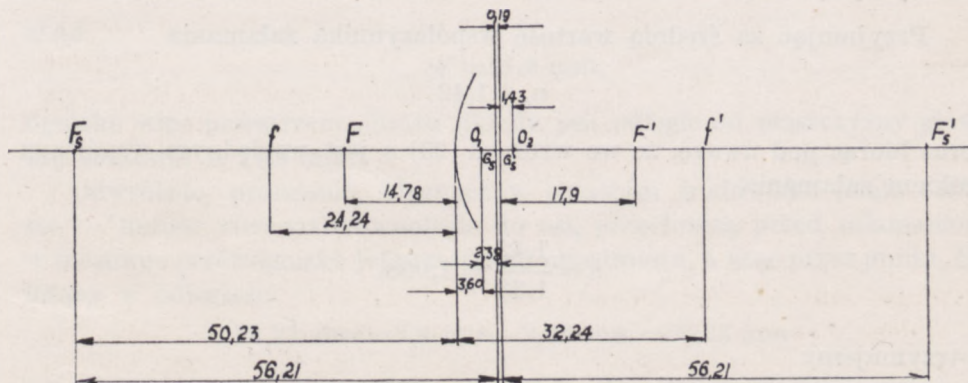
oka (cornea). Białkówka pokryta jest wewnątrz warstwą naczyniową (na rysunku oznaczona grubszą linią), zawierającą naczynia krwionośne; warstewka ta — naczyniówka (chorioidea) w pobliżu rogówki znacznie zwiększa swą grubość i przechodzi ostatecznie w tęczówkę (iris), niejednakowo zabarwioną u różnych ludzi i posiadającą w środku otwór — źrenicę oka (pupilla). Przed przejściem w tęczówkę naczyniówka rozdziela się na dwie części, zawierające układy mięśniowe: jeden z nich zmniejsza lub zwiększa źrenicę oka, drugi zaś podtrzymuje soczewkę oczną A i odkształca ją w razie potrzeby (p. ust. 3). Soczewka (lens cristallina) oddzielona od rogówki cieczą wodnistą B (humor aquaeus) jest ciałem dwuwypukłym, przezroczystym i bezbarwnym. Składa się ona z warstw o różnej gęstości, wzrastającej ku środkowi. Odpowiednio do zmian gęstości warstw zmienia się też ich współczynnik załamania od  $n=1,386$  do  $n=1,454$ . Komora, leżąca za soczewką, wypełniona jest galaretowatą przezroczystą cieczą (humor vitreus), o współczynniku załamania  $n=1,33$ , prawie dokładnie równym współczynnikowi cieczy wodnistej i rogówki. Dno oka (ponad naczyniówką) wysłane jest rozgałęzieniami nerwu optycznego, stanowiącymi siatkówkę (retina). Siatkówka składa się na ogół z kilku warstw komórkowych; najgłębsza z nich, stykająca się z naczyniówką, posiada komórki dwójakiego rodzaju: jedne dłuższe, walcowate tzw. pręciki (bacilli), drugie grubsze,



krótsze, kształtu butelek tzw. czopki (coni). Siatkówka nie ma jednokowej grubości: największą (0,22 mm) osiąga w plamce żółtej  $p$  (macula lutea retinae), leżącej w pobliżu wejścia do gałki ocznej nerwu optycznego  $d$  nieco z boku osi optycznej oka i nie mającej wyraźnie zaznaczonych granic. W środkowej swej części plamka ta ma grubość mniejszą, przez co powstaje w niej zagłębienie, (fovea centralis) o średnicy dochodzącej do 0,5 mm, nie posiadające wcale naczyń. Środek tego zagłębienia wypełniają wyłącznie czopki, stają się one tam wysmuklejsze i dłuższe; średnica ich przekroju wynosi w tym miejscu około  $2,5 \mu$ , długość około  $60 \mu$ . To zagłębienie jest miejscem najdokładniejszego widzenia. Miejsce wejścia nerwu optycznego do siatkówki jest zupełnie na światło niewrażliwe.

## 2. OKO, JAKO OSIOWY UKŁAD KULISTYCH POWIERZCHNI ŁAMIAJĄCYCH

Zarówno krzywizny, jak i wzajemne odległości powierzchni łamiących w oku nie mają u różnych ludzi wartości tych samych, co więcej u jednego i tego samego człowieka mogą, jakkolwiek nieznacznie, zmieniać się zależnie od odległości rozpatrywanego przedmiotu, wobec czego położenie punktów kardynalnych całego układu ocznego należałoby obliczać dla każdego poszczególnego przypadku. Zazwyczaj jednak wystarcza przybliżone ich wyznaczenie, jakie otrzymujemy, podstawiając



Rys. 124

do odpowiednich wzorów wartości przeciętne, wyprowadzone z pomiarów, wykonanych na znacznej ilości osobników. Otrzymujemy w ten sposób tzw. oko schematyczne (rys. 124).

Ogniskowe układu, złożonego z rogówki i cieczy wodnistej obliczamy ze wzorów (6) i (6a) ust. 2 rozdz. IV podstawiając do nich

$$n_1 = 1; n_2 = 1,33; r = 0,8 \text{ cm.}$$



Posługujemy się tu wartościami przybliżonymi; wartościami dokładniejszymi byłyby

$$n_2 = 1,3365; r = 7,829 \text{ mm.}$$

Ogniskowa przestrzeni przedmiotu jest zatem równa

$$f = \frac{0,8}{0,33} = 2,424 \text{ cm} = 24,24 \text{ mm.}$$

Ogniskowa zaś przestrzeni obrazu

$$f' = \frac{1,33 \cdot 0,8}{0,33} = 3,224 \text{ cm} = 32,24 \text{ mm.}$$

Soczewka oczna styka się z obu stron ze środowiskami o tym samym współczynniku załamania, wobec czego obie jej ogniskowe są wzajemnie równe, węzły zaś leżą w punktach głównych. Kładziemy we wzorach (23) rozdz. IV

$$r_1 = 1,0 \text{ cm}; r_2 = -0,6 \text{ cm}; d = 0,4 \text{ cm.}$$

Podanym wartościom  $r$  odpowiada, ściśle biorąc,  $d = 0,36 \text{ cm}$ . Poprzestajemy jednak dla uproszczenia rachunku na wartości przybliżonej, podobnie, jak to zrobiliśmy wyżej.

Przyjmując za średnią wartość współczynnika załamania

$$n_s = 1,42$$

oraz biorąc pod uwagę, że we wzorach (23)  $n$  jest względnym współczynnikiem załamania

$$n = \frac{1,42}{1,33} = 1,068,$$

otrzymujemy

$$\mathcal{F}_s = \mathcal{F}'_s = 5,621 \text{ cm} = 56,21 \text{ mm.}$$

Odległości płaszczyzn głównych od wierzchołków soczewki wyznaczamy ze wzorów (22) tegoż rozdziału

$$G_s O_1 = -p = -2,38 \text{ mm}; G'_s O_2 = -p' = -1,43 \text{ mm.}$$

Odległość więc wzajemna punktów głównych (a więc i węzłowych)

$$G_s G'_s = d - (p - p') = 0,19 \text{ mm.}$$



Przyjęta przez nas przeciętna wartość 1,42 współczynnika załamania jest według Gullstranda (1912 r.) mniej więcej równa przeciętnej wartości współczynnika załamania soczewki oka dwudziestoletniego człowieka przy najsilniejszej akomodacji ( $n_s=1,4263$ ); przy najmniejszej akomodacji wartość ta spada do 1,4085.

Z danych tych wynika, że wiązka promieni równoległych, padających na rogówkę, schodziłaby się w punkcie, odległym od jej przedniej powierzchni o 32,24 mm, dawałaby zatem obraz w punkcie odległym od płaszczyzny głównej  $G_s$  soczewki o

$$32,24 \text{ mm} - 3,6 \text{ mm} - 2,38 \text{ mm} = 26,26 \text{ mm}.$$

Obraz ten byłby przedmiotem urojonym względem soczewki, obraz zatem nieskończenie odległego punktu tworzyłby się w odległości  $g'$ , wyznaczonej ze wzoru

$$\frac{1}{g} + \frac{1}{g'} = \frac{1}{F_s}$$

od płaszczyzny głównej  $G'_s$  przestrzeni obrazu soczewki. Podstawiając znalezione wyżej liczby otrzymujemy

$$-\frac{1}{26,26} + \frac{1}{g'} = \frac{1}{56,21},$$

skąd

$$g' = 17,9 \text{ mm},$$

ognisko więc przestrzeni obrazu układu jest odległe od płaszczyzny głównej soczewki o 17,9 mm.

Odwrótnie, promienie, biegnące w ostatnim środowisku (ciało szkliste — humor vitreus) równoległe do osi, przechodzą przed załamaniem w soczewce przez ognisko jej przestrzeni przedmiotu, a więc przez punkt  $F'_s$ , leżący w odległości

$$56,21 \text{ mm} - 3,6 \text{ mm} - 2,38 \text{ mm} = 50,23 \text{ mm}$$

od przedniej powierzchni rogówki.

Ten punkt zbieżności jest sprzężony z punktem przestrzeni przedmiotu układu — rogówka i ciecz wodnista, — leżącym w odległości  $s$  wyznaczonej ze wzoru

$$\frac{24,24}{s} - \frac{32,24}{50,23} = 1,$$

z którego otrzymujemy

$$s = 14,78 \text{ mm}.$$







Punkt  $O$  jest, jak wiemy, obrazem punktu  $G$  względem pierwszej płaszczyzny łamiącej. Kładąc we wzorze

$$\frac{f}{s_G} + \frac{f'}{s'} = 1$$

$f=24,24$  mm,  $f'=32,34$  mm,  $s'=2,18$  mm, otrzymujemy

$$s_G = -1,75 \text{ mm.}$$

Ogniskowa  $\mathcal{F}$  jest przeto (w warunkach przez nas przyjętych — przy akomodacji na nieskończoność) równa

$$\mathcal{F} = 14,78 \text{ mm} + 1,75 \text{ mm} = 16,53 \text{ mm.}$$

W podobny sposób (uważając punkt  $G'$  za obraz punktu  $O$  względem drugiego środowiska) znajdziemy, że płaszczyzna główna  $G'$  jest odległa od wierzchołka rogówki o 2,07 mm a od płaszczyzny głównej  $G_s$  o 4,1 mm. Ogniskowa  $\mathcal{F}'$  wynosi zatem 22 mm.

Według Gullstranda  $\mathcal{F}=17$  mm,  $\mathcal{F}'=22,8$  mm.

Odległości punktów węzłowych od płaszczyzn głównych są równe

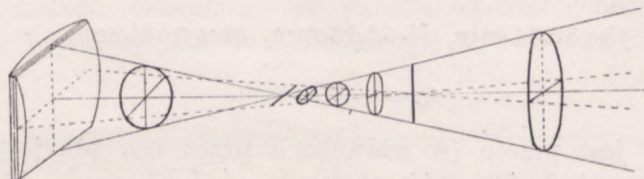
$$GW = G'W' = \mathcal{F}' - \mathcal{F} = 5,47 \text{ mm.}$$

Płaszczyzny główne są, jak z przytoczonych wyżej liczb wynika, bardzo bliskie ( $GG'=0,32$  mm). Przyjmując wzajemną ich odległość za równą zeru, możemy zastąpić układ oczny jedną powierzchnią łamiącą (p. ust. 3, rozdz. IV), tak dobierając krzywiznę i współczynnik załamania, aby ogniska powierzchni leżały w tych samych punktach, co w układzie ocznym. Umieścimy tę powierzchnię pośrodku między płaszczyznami głównymi  $G$  i  $G'$  a więc w odległości  $1,75 \text{ mm} + 0,16 \text{ mm} = 1,91$  mm od rogówki. Środkiem krzywizny będzie punkt węzłowy (podwójny), odległy od płaszczyzny głównej (podwójnej), stycznej do powierzchni łamiącej, o 5,47 mm. Taką więc będzie musiał mieć wartość promień krzywizny. Chcąc otrzymać ognisko  $F$  w tym samym, co poprzednio, punkcie, a więc odległe od wierzchołka powierzchni (lub stycznej do niej płaszczyzny głównej) o  $14,78 \text{ mm} + 1,91 \text{ mm} = 16,69$  mm, musimy na wartość współczynnika załamania środowiska, ograniczonego tą fikcyjną powierzchnią łamiącą, wziąć, (zgodnie ze wzorem (6a) rozdz. IV), 1,328. Tego rodzaju układ zastępczy nosi nazwę oka zredukowanego.

Wszystkie te dane dotyczą oka normalnego, w którym powierzchnie rozdziału mają kształt kulisty. Bardzo często jednak tak nie jest. Zazwyczaj można wtedy z wystarczającym przybliżeniem przyjąć, że mają one dwie wzajemnie prostopadłe



plaszczyny symetrii, przecinając się wzdłuż osi optycznej. W tym przypadku załamanie promieni świetlnych zachodzi w podobny sposób, jak w układzie dwóch powierzchni cylindrycznych o wzajemnie prostopadłych tworzących (rys. 126). W takim układzie nawet promienie osiowe nie dają punktowego obrazu punktu świecącego — stąd nazwa astygmatyzmu osiowego, jaki nadajemy temu zjawisku. Przesuwając ekran wzdłuż wiązki promieni załamanych, otrzymujemy na



Rys. 126

nim plamki, na ogół eliptyczne, które w dwóch różnych miejscach przechodzą w odcinki linii prostych, równoległych do tworzących powierzchni układu. Miarą tego astygmatyzmu jest odległość (wyrażona w dioptriach) między tymi prostoliniowymi obrazami.

### 3. AKOMODACJA OKA. POLE WIDZENIA OKA

Jakieśmy już o tym wspominali, przedmiot widzimy wyraźnie tylko wtedy, gdy obraz jego tworzy się na siatkówce, a raczej, mówiąc ściślej, na plamce żółtej. Przy niezmiennym więc położeniu punktów kardynalnych układu ocznego moglibyśmy widzieć wyraźnie jedynie przedmioty, znajdujące się w oznaczonej odległości od płaszczyzny głównej  $G$ ; odległość tę wyznacza wzór

$$\frac{F}{g} + \frac{F'}{g'} = 1, \quad (a)$$

gdzie  $g'$  byłoby stałą odległością siatkówki od płaszczyzny głównej  $G'$ . Doświadczenie jednak przeczy temu wnioskowi. Na ogół możemy widzieć wyraźnie przedmioty, znajdujące się w różnych odległościach od oka, co wskazuje, że wielkości, charakteryzujące układ optyczny oka nie mają wartości stałej.

Tę akomodację (łac. *accomodare* — przystosować, zastosować) oka do różnych odległości oglądanych przedmiotów powoduje, jak to pierwszy wykazał Tomasz Young (1800 r.), zmiana kształtu soczewki, zachodząca pod działaniem mięśni, przyczepionych z jednej strony do soczewki, z drugiej zaś do naczyniówki (chorioidy). W stanie spoczynku, gdy oko jest przystosowane do widzenia przedmiotów odległych, soczewka ma krzywiznę najmniejszą, w miarę zmniejszania się odległości przedmiotu krzywizna soczewki wzrasta, przy czym jednocześnie wzrasta jej współczynnik załamania.

Wzrost ten zachodzi na skutek wzajemnego przesuwania się warstw o jednakowym współczynniku załamania.



Zakres akomodacji wyznaczają różnice odległości od płaszczyzny głównej najdalszego (punctum remotum, łac. remotus — oddalony, daleki) i najbliższego (punctum proximum łac. proximus — najbliższy) położenia przedmiotu, przy którym powstaje wyraźny obraz na siatkówce. Odległości te, zazwyczaj wyrażone w dioptriach, nie są u różnych ludzi jednakowe.

Według Dondersa (1876 r.), którego dane przytaczamy za Rohrem, dziecko dziesięcioletnie może widzieć dokładnie zarówno przedmioty, znajdujące się w bardzo wielkiej odległości, jak i znajdujące się w odległości zaledwie 7,1 cm od płaszczyzny głównej  $G$ . Przyjmując, co zresztą niewiele odbiega od rzeczywistości, że akomodacja nie zmienia położenia płaszczyzn głównych, zmienia zaś jedynie wartości ogniskowych, na zakres akomodacji otrzymujemy

$$A = \frac{1}{GP} - \frac{1}{GR} = \frac{1}{0,071} - \frac{1}{\infty} = 14,08 D,$$

gdzie  $GP$  i  $GR$  oznaczają odpowiednio odległości (mierzone w metrach) od płaszczyzny głównej punktu najbliższego i najdalszego.

U człowieka czterdziestoletniego punkt najbliższy odsuwa się do odległości 22 cm; zakres akomodacji zmniejsza się do 4,5 dioptrii; widzenie małych przedmiotów staje się utrudnione. Odległość zatem wyraźnego widzenia tzn. odległość, do której oko przystosowuje się bez wielkiego wysiłku, jest, wbrew rozpowszechnionemu mniemaniu, mniejsza od 25 cm. Powyżej 40 lat rozpoczyna się okres starczego widzenia (presbiopii, gr. presbys — stary); około pięćdziesiątego piątego roku życia punkt najdalszy przybliży się do 400 cm, najbliższy oddala się do 66 cm; w siedemdziesiątym piątym roku życia akomodacja prawie zanika: punkt najbliższy i najdalszy leżą w tej samej odległości.

Przytoczone dane dotyczą oka normalnego (emmetropowego, gr. emmetros — mający należyłą miarę). U tzw. krótkowidzów (miopia, gr. myops — krótkowidz) promienie, wychodzące z bardzo odległego punktu i padające na rogówkę prawie równoległe do osi optycznej oka, dają obraz przed siatkówką; punkt odległy jest w skończonej odległości od płaszczyzny głównej:  $GR$  jest mniejsze od nieskończoności. Za to odległość punktu najbliższego jest mniejsza od normalnej. Umieszczając przed okiem odpowiednio dobraną soczewkę rozpraszającą, możemy przesunąć te granice, nie możemy jednak zmienić zakresu akomodacji.

Z równania (a) otrzymujemy

$$\frac{1}{GR} + \frac{\mathcal{F}'_R}{g'} = \frac{1}{\mathcal{F}_R} \quad \text{i} \quad \frac{1}{GR} + \frac{n}{g'} = \frac{1}{\mathcal{F}_R},$$



skąd w dioptriach

$$\delta_R + \Delta = \psi_R, \quad (b)$$

gdzie  $\Delta = \frac{n}{g_1}$  jest, w myśl założenia, wielkością stałą. Dołączenie soczewki ma przesunąć najdalszy dokładnie widziany punkt do nieskończoności, a więc przyrównać  $R$  do zera. Ze wzoru 27 rozdz. IV znajdujemy kładąc  $d$  równe zero, a więc przyjmując, co nie odpowiada, jak wiemy, rzeczywistości, że dodatkowa soczewka bezpośrednio dotyka oka

$$\delta'_R + \Delta = \psi_R + \psi_S \quad \text{i} \quad \Delta = \psi_R + \psi_S.$$

Podstawiając wartość  $\psi_R$  z równania (b), mamy

$$\Delta = \delta_R + \Delta + \psi_S \quad \text{i} \quad 0 = \delta_R + \psi_S,$$

ostatecznie zatem

$$\psi_S = -\delta_R. \quad (c)$$

Zdolność zbierająca soczewki powinna być zatem równa odległości dioptrycznej najdalszego punktu, jaki może krótkowidz widzieć, znak jej, jakśmy to już zaznaczyli, jest ujemny.

Zakres akomodacji oka nieuzbrojonego wynosi

$$A = \delta_P - \delta_R = \psi_P - \psi_R,$$

gdzie  $\psi_P$  i  $\psi_R$  oznaczają odpowiednio zdolności zbierające układu ocznego przy akomodacji na punkt najbliższy i najdalszy. Dołączenie soczewki zmienia odległość tych punktów od płaszczyzny głównej  $G$ . Mamy wtedy

$$\delta'_P + \Delta = \psi_P + \psi_S \quad \Delta = \psi_R + \psi_S,$$

stąd nowy zakres akomodacji

$$A' = \delta'_P - \delta'_R = \delta'_P - \psi_P + \psi_S - \Delta = \psi_P - \psi_R$$

jest taki sam, jak poprzednio.

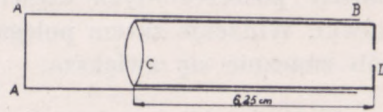
U tzw. dalekowidzów (hypermetropia, gr. hyper — ponad) obraz punktu bardzo odległego tworzy się poza siatkówką; dla otrzymania go na siatkówce należy umieścić przed okiem odpowiednio dobraną soczewkę zbierającą; zakres akomodacji i tym razem się nie zmienia.

Soczewka ta musi mieć zdolność zbierającą, równą dioptrycznej odległości punktu, widzianego okiem nieuzbrojonym, przystosowanym do widzenia nieskończone odległych przedmiotów (nastawionym na nieskończoność). Odległość ta jest ujemna, w tych bowiem warunkach na siatkówce oka wyraźny obraz dają promienie zbieżne, a więc takie, których przedłużenia przecinałyby się (gdyby oka nie było) w punkcie, leżącym poza siatkówką. Zgodnie więc ze wzorem (c), zdolność zbierająca soczewki musi być dodatnia.



Do wyznaczenia zakresu akomodacji używa się różnych metod pomiarowych, z których opiszemy tylko jedną, polegającą na użyciu optometru Badala.

Przeświecający rysunek  $AA$  (rys. 126a) znajduje się na końcu rurki  $AB$ , w której może się przesuwac rurka  $CD$ , zamknięta na końcu zwróconym do rysunku, soczewką  $C$ , na drugiej zaś przesłoną  $D$  z niewielkim otworem w środku. Długość tej rurki, równa ogniskowej soczewki, wynosi 6,25 cm (16 dioptrii). Gdy soczewka dotyka  $AA$ , obraz rysunku zbiega się z samym rysunkiem, odległość więc oka od obrazu wynosi 16 dioptrii. W miarę wysuwania rurki  $CD$  obraz (urojony) przesuwa się w lewo, oddalając się od oka obserwatora; przy całkowitym wysunięciu rurki obraz odsuwa się do nieskończoności; tym sposobem przesunięcie rurki o 6,25 cm zmienia odległość dioptryczną obrazu od 16 do 0 dioptrii. Wyznacza się najmniejszą i największą odległość, przy której oko może widzieć dokładnie obraz. Przy dalszym wysuwaniu rurki odległość obrazu (tym razem rzeczywistego) od oka zmienia swój znak; obraz może być wtedy widziany jedynie przez oko daleko widzące (hypermetropowe).



Rys. 126a

Ale nawet przy zupełnej akomodacji zdolność rozpoznawcza oka (ostrość widzenia) jest, ze względu na dość stosunkowo znaczne rozmiary elementów plamki żółtej, ograniczona. Doświadczenie bowiem wskazuje, że wtedy tylko widzimy oddzielnie dwa punkty świecące, gdy obrazy ich tworzą się na dwóch czopkach, przedzielonych trzecim niewzbudzonym, a więc gdy wzajemna odległość obrazów wynosi co najmniej  $5 \mu$ . Tej odległości odpowiada między promieniami środkowymi, wychodzącymi z danych punktów (przechodzącymi przez punkty węzłowe układu ocznego), kąt mniej więcej równy  $1'$ .

Gdy, jak to często bywa przy pomiarach, chodzi o stwierdzenie, czy dana kreska stanowi przedłużenie innej, można patrząc jednym okiem wykryć różnicę, której odpowiada kąt nie większy od  $15''$ ; przy patrzeniu obu oczami można kąt ten zmniejszyć do  $3''$ .

Ziarnista budowa siatkówki zwiększa wszakże tzw. głębię pola widzenia, to znaczy odległość osiową punktów, które możemy widzieć jednocześnie z dostateczną wyrazistością. Dopóki bowiem koło rozproszenia nie przekracza średnicy wzbudzonego elementu, widzimy obraz punktu, jako punkt.

Ograniczając znacznie wiązkę promieni, wchodzących do oka, możemy widzieć dokładnie przedmioty, znajdujące się bliżej oka, niż punkt najbliższy (punctum proximum). Tak np. gdy umieścimy bardzo blisko oka tekturkę z przekłutym w niej igłą otworem, będziemy mogli czytać drobny druk z odległości nie większej od 3 cm.

Poza tym głębia wzrasta na skutek bardzo wielkiej prędkości, z jaką zachodzi akomodacja: patrząc kolejno na znajdujące się przed nami przedmioty, widzimy je dokładnie w ciągu dostatecznie krótkiego czasu, aby odnieść wrażenie, że widzimy je jednocześnie.

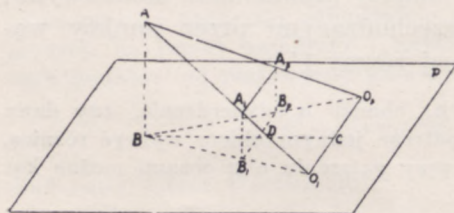


Oko nieruchome w jamie ocznej ma kąt wyraźnego widzenia niewielki (rzędu  $1^\circ$ ), odpowiadający rozmiarom plamki żółtej (a nawet tylko jej środkowego zagłębienia); przedmioty, leżące poza tym kątem, dają obrazy niewyraźne; toteż patrząc na przedmioty rozciągle, obracamy oko w jamie ocznej około punktu leżącego w oku normalnym mniej więcej w odległości 10,5 mm od środka źrenicy, tak, aby stopniowo naprowadzać obrazy poszczególnych części przedmiotu na najwrażliwszą część siatkówki. Widzenie zatem polega na oglądaniu. Pole widzenia w ten sposób znacznie się zwiększa.

Widzenie okiem ruchomym, gdy oko kierujemy kolejno na poszczególne części oglądanych przedmiotów, nazywamy widzeniem bezpośrednim; widzenie okiem nieruchomym, gdy tylko część przedmiotu widzimy wyraźnie — widzeniem pośrednim.

W obu jednak przypadkach, a więc zarówno wtedy, gdy oko jest nieruchome, jak i wtedy, gdy jest ruchome (co zresztą zachodzi popolicie, gdyż oko obracamy instynktownie), w punkcie, na który w danej chwili patrzymy, przecinają się osie optyczne (linie widzenia) obydwu oczu.

Niech  $A$  (rys. 127) będzie rozpatrywanym punktem,  $O_p$  — prawym,  $O_l$  — lewym okiem obserwatora,  $O_p O_l$  — linią poziomą, łączącą środki obrotu oczu i mającą długość od 5 do 7,2 cm,  $P$  — płaszczyznę poziomą, przechodzącą przez linię oczu. Linie widzenia,  $A O_p$  i  $A O_l$  przecinają płaszczyznę  $B_l A_l A_p B_p$ , pionową i równoległą do linii oczu w dwóch różnych punktach. Im dalej będzie leżał punkt  $A$ , tym odległość  $A_p A_l$  będzie mniejsza; odległość ta więc może być dla nas miarą odległości punktu  $A$ .



Rys. 127

Opuśćmy z  $B$  (spodku prostopadłej  $AB$  na płaszczyznę  $P$ ) prostopadłą  $BC=r$ . Oznacząc odległość  $O_p O_l$  przez  $2a$ , odległość  $DC$  płaszczyzny  $B_l A_l A_p B_p$  od linii oczu przez  $b$ , otrzymujemy, jak to udowodnił Helmholtz, następujący związek

$$r = \frac{2ab}{2a - B_l B_p}. \quad (1)$$

Z trójkątów  $BB_l D$  i  $BCO_l$  otrzymujemy

$$\frac{BD}{BC} = \frac{B_l D}{O_l C}$$



lub

$$\frac{BC-BD}{BC} = \frac{O_1C-B_1D}{O_1C}$$

i po podstawieniu

$$\frac{b}{r} = \frac{O_1C-B_1D}{O_1C} \quad \text{lub} \quad r(O_1C-B_1D) = b \cdot O_1C. \quad (d)$$

Podobnie z trójkątów  $BB_pD$  i  $BO_pC$

$$\frac{BD}{r} = \frac{B_pD}{O_pC}$$

lub

$$\frac{r-BD}{r} = \frac{b}{r} = \frac{O_pC-B_pD}{O_pC}$$

i

$$r(O_pC-B_pD) = b \cdot O_pC. \quad (e)$$

Dodając stronami równanie (d) i (e), znajdujemy

$$r[O_1C + CO_p - (B_1D + DB_p)] = b(O_1C + CO_p)$$

i ostatecznie

$$r = \frac{2ab}{2a - B_1B_p}.$$

Przepiszmy wzór (1) w postaci

$$\frac{1}{r} = \frac{c}{2ab}, \quad \text{gdzie } c = 2a - B_1B_p \text{ jest to tzw. różnica stereoskopowa.}$$

Dla dwóch punktów, w odległościach  $r_1$  i  $r_2$  od linii ocznej, będziemy mieli

$$\frac{1}{r_1} - \frac{1}{r_2} = \frac{c_1 - c_2}{2ab} = \frac{1}{l}. \quad (2)$$

Gdy  $r_2 = \infty$ ,  $l$  oznacza największą odległość przedmiotu, który będzie się nam wydawał występującym przed nieskończone odległe tło.

Kładąc

$$\frac{c_1 - c_2}{b} = \operatorname{tg} \eta,$$

otrzymujemy

$$l = 2a \operatorname{ctg} \eta.$$



Według Rohra, z którego wzięliśmy cały ten wywód, najprawdopodobniejszą wartością  $\eta$  jest  $30''$ . Wobec tego  $l$  byłoby zawarte w granicach od mniej więcej 300 m ( $2a=5$  cm) do 420 m ( $2a=7,2$  cm). Przeciętnie odległość 400 m stanowi, jak się zdaje, granicę spostrzegania różnic odległości przedmiotów, jak również dostrzegania ich bryłowatości.

#### 4. WIDZENIE BARW

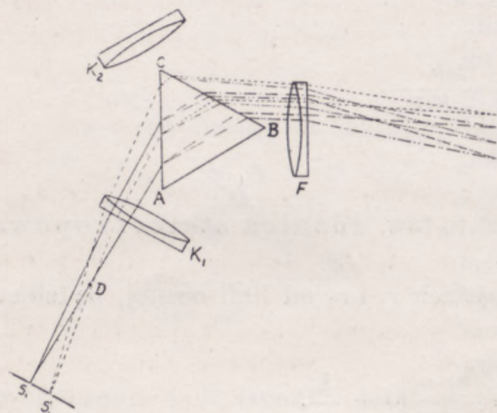
Rozpatrując załamanie światła w pryzmacie (rozd. III, ust. 5), stwierdziliśmy, że każdej barwie widma odpowiada oznaczony współczynnik załamania. Nie wynika stąd jednak, aby każde światło, wywierające na nas wrażenie tej samej barwy, co jedna z barw widma, było światłem jednorodnym. Doświadczenie wskazuje, że te same wrażenia barwne mogą wywierać wiązki, złożone z odpowiednio dobranych promieni o różnych łamliwościach.

Do dokładnego badania tego zjawiska mieszania barw służyć może, o ile chodzi o barwy widma, przyrząd Helmholtza, wyobrażony schematycznie na rys. 128.

W płaszczyźnie ogniskowej kolimatora  $K_1$  znajduje się nie jedna, jak w zwykłym spektroskopie, lecz dwie równoległe szczeliny  $S_1$  i  $S'_1$ , pro-

stopadłe do płaszczyzny rysunku, oświetlone przez to samo źródło światła.

Widma, będące obrazami tych szczelin, powstającymi w płaszczyźnie, ogniskowej soczewki  $F$ , wzajemnie częściowo się pokrywają. W tej właśnie części widma znajduje się wąska szczelina (również prostopadła do płaszczyzny rysunku), przez którą patrząc, widzimy bok  $CB$  pryzmatu w świetle, otrzymanym ze zmieszania dwóch pokrywających się części widma.



Rys. 128

Ta prosta budowa przyrządu nie pozwalałaby wszakże ani na mieszanie dowolnych części widma, ani też na zmianę natężenia światła widm składowych. Zmiananie wzajemnej odległości szczelin  $S_1$  i  $S'_1$ , co by usunęło pierwszy z tych dwóch braków, jest w praktyce niedogodne; bardziej celowe okazało się zastąpienie jednej ze szczelin (np.  $S'_1$ ) szczeliną urojoną, otrzymaną przez umieszczenie na osi kolimatora  $K_1$  (np. w punkcie  $D$ ) pryzmatu w połowie ze szkła, w połowie ze szpatu islandzkiego (kalecytu). Część promieni, wychodzących ze szczeliny  $S_1$ , po załamaniu w podwójnie łamiącej części pryzmatu (p. rozdz. X) odchyła się tak, jak gdyby wychodziła nie ze szczeliny  $S_1$ , lecz z innej szczeliny  $S'_1$ . Przesuwając pryzmat



wzdłuż osi kolimatora, można dowolnie zmieniać odległość szczeliny rzeczywistej  $S_1$  od szczeliny urojonej  $S'_1$ . Do zmiany natężeń światła służy umieszczony między szczeliną  $S_1$  i punktem  $D$  pryzmat Nicola (p. rozdz. IX ust. 1), polaryzujący prostoliniowo światło szczeliny. Obracając ten pryzmat koło osi kolimatora, zmieniamy stosunek natężeń światła obu szczelin i tym samym stosunek natężeń pokrywających się wzajemnie części widma.

Często używa się jeszcze jednego kolimatora  $K_2$ , (na rysunku znajduje się tylko obiektyw kolimatora  $K_2$ ) zbudowanego tak, jak kolimator  $K_1$ . Promienie, wychodzące z  $K_2$  padają na ścianę  $AC$  pryzmatu i po wyjściu przez ścianę  $AB$  wypełniają drugą połowę soczewki. W ten sposób obserwuje się jednocześnie cztery widma, przy czym obserwator może dowolnie mieszać barwy każdej pary.

Do porównywania barwników używa się zazwyczaj tarczy, obracającej się koło osi, przechodzącej przez jej środek. Poszczególne wycinki tarczy pokryte są badanymi barwnikami. Przy dostatecznie szybkim obrocie tarczy (p. ust. 5) otrzymuje się wrażenie barwy, będącej mieszaniną barw poszczególnych. Zmieniając stosunek pól wycinków tarczy, pokrytych poszczególnymi barwnikami, zmieniamy skład mieszaniny.

Okazuje się, że przy mieszaniu barw leżących w widmie blisko siebie, np. czerwonej i żółtozielonej, otrzymuje się, zmieniając odpowiednio natężenie barw składowych, kolejno wszystkie barwy pośrednie, tzn. leżące w widmie między dwiema mieszanymi barwami. Tak np. mieszając w odpowiednim stosunku czerwień, odpowiadającą czerwonej linii litu z żółtozieloną barwą, odpowiadającą barwie linii, wysyłanej przez świecące pary talu, otrzymuje się, jak to stwierdził Rayleigh (1886 r.), barwę, prawie nie różniącą się od barwy światła żółtej linii sodu  $D$ .

Czerwona linia litu ma długość fali (p. rozdz. VII)  $\lambda_C = 671 m\mu$ , żółtozielona linia talu długość  $\lambda = 536 m\mu$ , żółta linia sodu  $\lambda_D = 589 m\mu$ .

Zazwyczaj jednak otrzymana w ten sposób barwa jest nieco bledsza — mniej nasycona od odpowiedniej barwy widma. Zmniejszanie się nasycenia występuje tym wyraźniej, im większa jest odległość widmowa mieszanych barw; mieszając w różnych stosunkach barwy wzajemnie odległe, otrzymuje się zamiast zmiany barwy raczej stopniową zmianę nasycenia. Tak np. mieszanina barwy czerwonej z zielono niebieską daje przy stopniowym zmniejszaniu natężenia światła czerwonego blednącą stopniowo czerwień, przechodzącą przy pewnym oznaczonym stosunku natężeń obu barw w całkowitą biel, następnie zaś nabierającą przy dalszym wzroście natężenia światła niebieskiego odcienia niebieskawego, wzmacniającego się stopniowo, aby ostatecznie przejść w nasyconą barwę zielono niebieską, gdy natężenie barwy czerwonej spadnie do zera. Tego rodzaju barwy, dające przy zmieszaniu w odpowiednim stosunku wrażenie światła białego, nazywamy barwami dopełniającymi.

Par takich jest, oczywiście, bardzo wiele: do barwy czerwonej dopełniającej jest, jak widzieliśmy, zielono niebieska, do pomarańczowej —



niebieska, do żółtej — ciemno niebieska, do żółto zielonej — fioletowa, przy czym każdy z odcieni poszczególnej barwy ma odpowiadający sobie odcień barwy dopełniającej.

Tablice barw dopełniających, zestawione przez różnych obserwatorów nie zawsze są zgodne; wynika to z niejednakowej u różnych ludzi zdolności rozróżniania poszczególnych odcieni barwnych. Tak np. do barwy czerwonej o długości fali  $\lambda = 656,2 \text{ m}\mu$  (linia *C* Fraunhofera) dopełniającą jest, według Kriesa, barwa zielono niebieska o długości fali  $\lambda = 494,2 \text{ m}\mu$  (w pobliżu linii *F* Fraunhofera w stronę czerwonej części widma), według Freya,  $\lambda = 485,2 \text{ m}\mu$  (w pobliżu linii *F* w stronę fioletowej części widma).

Barwy jednak, zawarte między żółto zieloną i zielono niebieską częścią widma, nie mają wśród barw widma żadnej dopełniającej. Dopiero mieszając w różnych stosunkach skrajne barwy widma — czerwoną i fioletową — możemy wśród tych barw purpurowych, których w widmie nie ma, znaleźć odpowiednie dopełniające do barw tej właśnie części widma. Barwy purpurowe stanowią więc jak gdyby fizjologiczne uzupełnienie barw widmowych, stanowiąc wraz z nimi zamknięty łańcuch barw. Doświadczenie wskazuje, że jakkolwiek byśmy mieszały barwy, zawsze otrzymamy jakąś mniej lub więcej nasyconą barwę z uzupełnionego w ten sposób łańcucha lub też barwę, wywołującą wrażenie białej.

W pozornej sprzeczności z tym twierdzeniem stoi fakt, że wiele z otaczających nas ciał wykazuje zabarwienie brązowe, oliwkowe, szare, nie mające w owym łańcuchu żadnego odpowiednika. W rzeczywistości jednak tego rodzaju wrażenia barwne są wywołane tym, że światło, rozpraszane przez dane ciało, ma natężenie mniejsze, niż światło, rozpraszane przez jednocześnie obserwowane inne ciała. Jeżeli jednak dane ciało oświetlimy o wiele silniej, niż ciała sąsiednie, będziemy mogli zawsze dobrać taką mieszaninę barw, która by odpowiadała barwie danego ciała.

Całą mnogość barw możemy przedstawić graficznie, jak to uczynił Lambert (1772 r.), w postaci punktów koła, na którego obwodzie leżą nasycone barwy widma uzupełnionego, w środku zaś nasycona biel; punkty leżące na promieniach koła, odpowiadają coraz to bardziej blakącym ku środkowi odcieniom barwy nasyconej, leżącej w punkcie przecięcia danego promienia z kołem. Natężenie wyraża się długością prostej, łączącej dany punkt z wierzchołkiem stożka, którego podstawą jest dane koło, oś zaś, przechodząca przez środek koła, jest do niego prostopadła. Wierzchołkowi tego stożka Lamberta odpowiada całkowita czerń.

Konstrukcja Lamberta nie pozwala wszakże na zdanie sobie sprawy z ilościowych stosunków barw, tworzących przez zmieszanie dany odcień barwny lub też barwę białą. Załóżmy za Maxwellem (1860 r.), że każdą barwę można otrzymać przez zmieszanie w odpowiednim stosunku tzw. podstawowych barw wid-



ma, a mianowicie czerwonej, zielonej i niebieskiej (między liniami  $F$  i  $G$  widma słonecznego), każdemu przeto odcieniowi barwnemu odpowiadać będzie symboliczne równanie

$$B = x_1C + x_2Z + x_3N, \quad (3)$$

gdzie  $B$  oznacza dany odcień,  $C, Z, N$  — barwy podstawowe, a  $x_1, x_2, x_3$  możemy upodobnić do tzw. jednorodnych współrzędnych punktu, z jakimi się np. spotykamy, gdy położenie punktu na płaszczyźnie wyznaczamy z jego odległości od trzech boków trójkąta. Zazwyczaj za trójkąt odniesienia bierze się trójkąt równoboczny i tak się dobiera „jednostki” barw podstawowych (proporcjonalne do natężenia światła danej barwy), aby nasyconej bieli odpowiadały współrzędne  $x_1 = x_2 = x_3$ . Wtedy punkt, oznaczający barwę białą, leży w środku trójkąta, punkty, odpowiadające barwom zasadniczym, leżą w wierzchołkach trójkąta, punkty zaś, odpowiadające barwom nasyconym, leżą poza trójkątem, mając jedną ze współrzędnych ujemną. Gdy barwą tą jest np. nasycona barwa żółta widma, równanie (3) ma postać następującą

$$B_2 = x_1C + x_2Z - x_3N; \quad (f)$$

punkt, odpowiadający tej barwie leży poza bokiem  $CZ$  trójkąta, gdyż, jak to wynika z równania (3) równaniem tego boku jest  $x_3 = 0$ . Równanie (f) oznacza, że dopiero po zmieszaniu w odpowiednich stosunkach barwy żółtej z niebieską otrzymamy barwę, która by powstała ze zmieszania czerwieni i zieleni w stosunku  $x_1 : x_2$ .

Teoria Maxwella znalazła praktyczne zastosowanie w fotografii trójbarwnej. Kliszę fotograficzną pokrywa się warstewką drobnych ziarn, z których każde przepuszcza światło tylko jednej barwy podstawowej; elementy więc powierzchni kliszy naświetla głównie ta składowa padającego światła złożonego, którą przepuszcza ziarno, leżące bezpośrednio na danym elemencie. Mniejsza lub większa przezroczystość tego elementu (po wywołaniu kliszy) zależy od natężenia barwy podstawowej, dla której ziarno filtru, przylegające do elementu, było przezroczyste. Gdy kliszę (po wywołaniu) oglądać będziemy w świetle przechodzącym, stwierdzimy, że przez te elementy powierzchni kliszy, które wyświetliły się pod działaniem np. światła czerwonego, będzie przechodziła składowa czerwona światła padającego; przez te, które wyświetliły się pod działaniem światła zielonego — zielona, niebieskiego — niebieska, w stosunkach proporcjonalnych do tych, w jakich barwy te znajdowały się w świetle wysyłanym przez przedmioty fotografowane. A że ziarna filtru są małe, i koła ich rozproszenia na siatkówce wzajemnie na siebie zachodzą, wrażenie barwne, jakie otrzymujemy, odpowiada sumie barw, przepuszczonych przez poszczególne ziarna; przedmioty fotografowane ukazują się nam w barwach mniej więcej podobnych do rzeczywistych.

Odpowiednikiem fizjologicznym teorii Maxwella jest teoria Younga (1807) rozwinięta następnie przez Helmholtza (1882 r.). Teoria ta, której bliżej rozpatrywać nie będziemy, zakłada, że widzeniu barw towarzyszą trzy odrębne procesy fizjologiczne. Pierwszy wywołuje wrażenie światła czerwonego, drugi — zielonego, trzeci — według Younga, niebieskiego, według niektórych badaczy późniejszych, fioletowego. Światło jednorodne wzbudza na ogół wszystkie trzy procesy, lecz w niejednakowym natężeniu; tak np. światło żółte wzbudza proces czerwony (że go tak dla skrócenia nazwiemy), w nieco mniejszym stopniu — zielony i w znikomym małym stopniu — niebieski (lub fioletowy). Gdy wszystkie trzy procesy zachodzą jednocześnie z jednakowym natężeniem, otrzymujemy wrażenie światła białego; światło białe o natężeniu równym zeru wywołuje wrażenie czerni, która tym sposobem tylko ilościowo różni się od bieli, podobnie zresztą, jak w teorii Maxwella i w stożku Lamberta.



Na innych zgoła założeniach oparta jest tzw. psychologiczna teoria Heringa (1872 r.), której omawianie przekroczyłyby ramy tej książki.

Z nieskończonej ilości barw oko rozróżnia stosunkowo niewiele (z barw widma od 100 do 130), zdolność bowiem rozpoznawania odcieni zbliżonych jest u człowieka ograniczona. Najmniej wrażliwe jest oko na odcienie końcowych barw widma (zwłaszcza części czerwonej), największą wrażliwość wykazuje w pobliżu żółtej linii *D* (nieco poza nią, w stronę zielonej części widma) i w pobliżu linii *F* (nieco przed nią, ku zielonej części widma). Podobnie rzecz się ma z odróżnianiem stopnia nasycenia danej barwy. Według Gottlieba (1917 r.), zblednięcie barwy czerwonej staje się wyraźne, gdy ilość domieszanej barwy białej dochodzi do 20% (przy niezbyt silnym oświetleniu), barwy żółtej przy mniej więcej 30%, zielonej przy dwudziestu paru, niebieskiej przy 37% i wreszcie fioletowej przy 24%.

Jeszcze większe różnice zachodzą we wrażliwości oka na światło różnych barw. Okazuje się, że oko jest najwrażliwsze na promienie żółto-zielone (w pobliżu linii *D*, nieco poza nią ku zielonej części widma) i że wrażliwość ta szybko maleje zarówno w stronę czerwoną, jak i fioletową części widma.

Oznaczmy przez  $E_\lambda$  energię światła, wysłanego przez daną wąską część widma, przez  $J_\lambda$  — jasność tej części; miarą wrażliwości oka na daną część widma będzie wtedy

$$\varphi(\lambda) = \frac{J_\lambda}{E_\lambda}.$$

Wielkość  $\varphi(\lambda)$  ma dla różnych barw różne wartości, zjawisko zatem zachodzi tak, jak gdyby siatkówkę pokrywała cienka warstewka, niejednakowo przezroczysta dla promieni różnych barw. Strumień światła, zmierzony fotometrycznie, równy jest

$$\Phi(\lambda) = m \varphi(\lambda) E_\lambda,$$

gdzie  $m$  jest wielkością stałą o wartości, zależnej od wyboru jednostek, w których mierzymy energię i strumień światła. Gdy mamy do czynienia ze źródłami, wysyłającymi światło tej samej barwy,  $\varphi(\lambda)$  ma dla tych źródeł wartość jednakową i stosunek strumieni światła jest w granicach widma widzialnego równy stosunkowi energii, wypromieniowanych przez źródła.

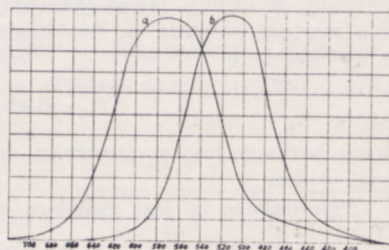
Oznaczając przez jedność największą wrażliwość oka, otrzymujemy, według Hyde'a, Forsythe'a i Cady'ego (1918 r.) krzywą *a* (rys. 129), gdzie odciętymi są długości fal danego światła (p. rozdz. VII), rzędnymi — względnymi wrażliwościami oka.

Ten rozkład wrażliwości pozostaje bez zmiany przy wszystkich natężeniach, większych od pewnej dolnej granicy. Poniżej tej granicy krzywa wrażliwości przesuwana jest w stronę fioletowej części widma (krzywa *b* rys. 129). Tak np. znak czerwony na drogowskaziu, wydający się nam



w świetle dziennym jaśniejszy od niebieskiego, staje się o zmierzchu o wiele ciemniejszy, prawie czarny, podczas gdy niebieski staje się jaśniejszy i mniej nasycony (zjawisko Purkinjego). Jednocześnie następuje stopniowo zanik zdolności rozróżniania barw. Krzywa *a* wyraża zatem wrażliwość przy pełnym oświetleniu (widzenie za dnia), krzywa *b* — przy oświetleniu słabym (widzenie o zmierzchu).

Według Kriesa (1894 r.) zjawisko to wiąże się z istnieniem na siatkówce dwójakiego rodzaju zakończeń nerwu ocznego, a mianowicie pręcików i czopków. Czopki skupione głównie na plamce żółtej i w jej pobliżu, są właśnie tymi organami, w których zachodzą owe trzy podstawowe procesy fizjologiczne, których istnienie zakłada teoria Younga i które warunkują widzenie barw; wzbudzenie jednak tych procesów wymaga światła o znacznym stosunkowo natężeniu. Pręciki, rozmieszczone poza plamką żółtą, są bardzo wrażliwe na światło, nie pozwalają jednak rozróżniać barw. Tym się tłumaczy znany fakt, że w nocy zarysy przedmiotów nie są nigdy tak ostre, jak w dzień, wtedy bowiem światło o małym natężeniu działa tylko na obwodowe części siatkówki, na których jak wiemy, nie może powstać wyraźny obraz. Przesunięcie maksimum krzywej wrażliwości ku fioletowemu końcowi widma nadaje wszystkim przedmiotom zabarwienie niebieskie (podobne w pewnym stopniu do tego, jak przy świetle księżycy). Zjawisko Purkinjego polega po prostu na tym, że o zmierzchu zmniejsza się działalność czopków, zwiększa się pręcików, wobec czego oko staje się wrażliwsze na światło niebieskie.



Rys. 129

Teoria Kriesa, na ogół dobrze wyjaśniająca zjawisko, ma jednak przeciwników, głównie wśród zwolenników teorii Heringa.

##### 5. PORÓWNYWANIE ŹRÓDEŁ ŚWIATŁA O RÓŻNYCH BARWACH

Na podstawie rozważań ustępu poprzedniego łatwo zrozumieć, dlaczego porównywanie źródeł światła o różnych barwach — fotometria heterochromatyczna (gr. heteros — inny, różny) następuje z trudnością, z jakimi nie spotykamy się w pomiarach, omówionych w ust. 2 rozdz. I. Pierwszą i bodaj największą trudność stanowi określenie, co należy rozumieć przez jednakową jasność przedmiotów, oświetlonych przez źródła, wysyłające światło o różnych barwach. W pierwszej chwili skłonni bylibyśmy mniemać, że pojęcie to w ogóle w tym przypadku nie ma żadnego znaczenia, że jest rzeczą niemożliwą mówić o jednakowej jasności powierzchni, z których jedna oświetlona jest np. światłem czerwonym, druga — niebieskim. Doświadczenie jednak wskazuje, że przy pewnej wprawie możemy, zmieniając odpowiednio natężenie jednego ze źródeł, ustalić przy jakim natężeniu jasności tych powierzchni najmniej się różnią i przyjąć, że wtedy właśnie są one równe. Stwier-



dzenie jednakowej jasności powierzchni  $A$  i  $B$ , oświetlonych przez źródła o różnych barwach, polegałoby, w myśl tego założenia (Helmholtz), na wyszukaniu z szeregu odcieni, jakie można przez samą zmianę natężenia otrzymać ze źródła oświetlającego ciało  $B$ , takiej barwy, która by była najpodobniejsza do barwy  $A$ .

W analogiczny zresztą sposób wykonywamy zwykle pomiary fotometryczne. Używane przez nas źródła światła białego dają na ogół światło różnych odcieni, często dość odmiennych od białej barwy światła słonecznego. Według Ives'a (1911 r.) barwa światła słonecznego wyraża się równaniem (p. wzór 3)

$$B_S = 0,38 C + 0,37 Z + 0,25 N,$$

a więc jedynie swym składnikiem niebieskim odbiega nieco bardziej od białości teoretycznej, w której, jak o tym była wyżej mowa, wszystkie trzy współczynniki mają wartość jednakową. Dla żarówki o włóknach węglowych (3,1 wata na 1 cd.) mamy równanie

$$B_Z = 0,48 C + 0,41 Z + 0,11 N;$$

odcień barwny jest w stosunku do światła słonecznego przesunięty ku czerwonej części widma.

Przesunięcie to jest mniejsze w świetle palnika Auera

$$B_A = 0,42 C + 0,41 Z + 0,17 N$$

i jeszcze mniejsze w łuku elektrycznym (na prąd stały)

$$B_L = 0,41 C + 0,36 Z + 0,23 N.$$

Tzw. światłu Moore'a, to znaczy światłu wysyłanemu przez elektrycznie pobudzany do świecenia dwutlenek węgla, odpowiada równanie

$$B_M = 0,31 C + 0,31 Z + 0,38 N,$$

a więc barwa prawie identyczna z teoretyczną białą.

Na tym określeniu jasności opierają się tzw. bezpośrednie metody pomiarów, nie odbiegające od metod zwykłej fotometrii. Gdy różnica porównywanych barw jest zbyt wielka, używa się zazwyczaj tzw. metody kaskadowej, w której bierze się szereg barw, pośrednich między danymi barwami, i porównywa się kolejno barwy sąsiednie, mniej, rzecz prosta, różniące się, niż barwy skrajne. Osiąga się w ten sposób większą dokładność każdego pomiaru poszczególnie, błąd jednak ostateczny jest sumą błędów poszczególnych.

Z metod tzw. pośrednich najczęściej używana jest metoda migotania (Rood, 1899 r.), oparta na następującej zasadzie.

Oświetlamy w równych odstępach czasu ekran fotometru to jednym, to drugim źródłem światła; przy powolnej stosunkowo zmianie oświetleń będziemy odczuwali wrażenie każdej barwy oddzielnie, przy większej częstotliwości zmian doznamy przykrego na ogół wrażenia migotania,



które ze wzrostem częstości będzie się stopniowo zmniejszało, aby przy pewnej częstości krytycznej przejść we wrażenie barwy, otrzymanej ze zmieszania barw oświetlających.

Natężenie światła tej barwy mieszanej jest takie, jak gdyby oba źródła oświetlały ekran stale z natężeniem, równym przeciętnej natężeń (w ciągu jednego obrotu) danego źródła (prawo Talbota).

Częstość ta jest tym wyższa, im bardziej różnią się porównywane barwy. Zmieniając stosunek natężeń światła tych barw, mierzymy odpowiednie częstości krytyczne i przyjmujemy, że najmniejszej z nich odpowiada jednakowa jasność.

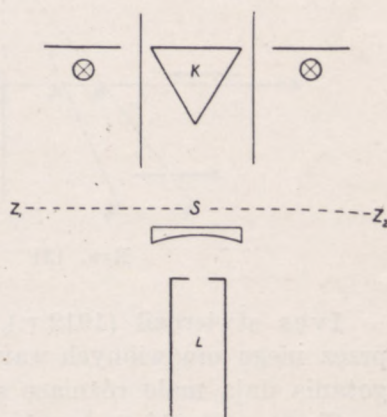
Przy porównywaniu źródeł światła o barwach jednakowych migotanie znika przy każdej częstości zmian, gdy oświetlenia są wyrównane.

W pierwszym z tego typu przyrządów — fotometrze Rooda — przed klinem gipsowym  $K$ , oświetlonym z dwóch stron przez badane źródła światła przesuwa się tam i z powrotem równoległe do prostej  $Z_1Z_2$  (rys. 130), soczewka  $S$ , rzucająca do lunety  $L$  obserwatora światło, rozpraszane to przez jeden, to przez drugi bok klina.

Później zbudowane fotometry tego typu (Ives'a i Brady'ego, 1912 r. Lummera i Pringsheima, 1906 r. i innych) różnią się od fotometru Rooda jedynie szczegółami konstrukcyjnymi.

Od metody tej niewiele odbiega metoda oświetlenia przerywanego (Heycraft, 1897 r.). Ekran jest oświetlany światłem jednego z porównywanych źródeł tak, aby w przerwach był w zupełnej ciemności, następnie zaś w podobny sposób światłem drugiego źródła. Wyznacza się w obu przypadkach częstość, przy której znika migotanie. Dobiera się tak stosunek natężeń światła źródeł, aby częstość krytyczna była w obu przypadkach jednakowa. Przyjmujemy, że temu stosunkowi natężeń odpowiada jednakowa jasność ekranu.

Z innych metod pośrednich omówimy jeszcze pokrótce metodę stereoskopową (Pulfrich, 1922 r.), opartą na ustalonym przez badania fizjologiczne fakcie, że wrażenie świetlne nie występuje natychmiast po podrażnieniu siatkówki, lecz nieco później; opóźnienie to wzrasta ze zmniejszeniem się jasności. Umieścmy np. na jednym tle (arkusz papieru, szyba jasno oświetlonego okna) dwa ostrza, jedno na przedłużeniu drugiego i prawie stykające się, i przesuwać je dolne ostrze wzdłuż prostej, prostopadłej do ostrza górnego. Patrząc na ostrze obu oczami, stwier-

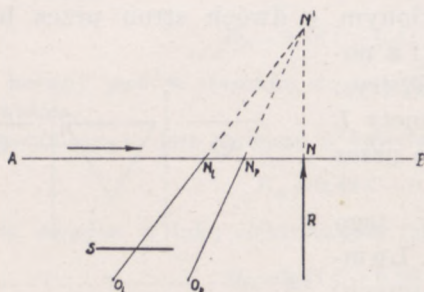


Rys. 130

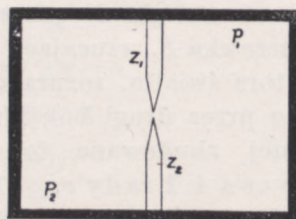


dzamy, że ruch jego jest prostoliniowy. Jeżeli jednak jedno oko przykryjemy szkłem zadymionym lub barwnym, wyda się nam, że ostrze porusza się po elipsie, leżącej w płaszczyźnie osi oczów. Niech np. w pewnej chwili ruchome ostrze  $R$  zajmuje położenie  $N$  na prostej  $AB$  (rys. 131), poruszając się w kierunku wskazanym strzałką. Opóźnienie w odczuwaniu wrażeń spowoduje, że w tej właśnie chwili każde oko będzie widziało, ostrze nieco na lewo od punktu  $N$ , przy czym dla oka  $O_l$  (lewego na rysunku), otrzymującego światło o natężeniu, wskutek pochłaniania w szkłe  $s$ , mniejszym, przesunięcie będzie większe, niż dla oka  $O_p$ , wobec czego będzie się wydawało, że ostrze znajduje się w punkcie  $N'$  poza linią  $AB$ .

W fotometrze Pulfricha (rys. 132) dwie wskazówki  $Z_1$  i  $Z_2$ , poruszają się drgającym ruchem prostoliniowym na tle ekranów  $P_1$  i  $P_2$  ze szkła mlecznego. Obserwatorowi, patrzącemu na każdą z tych wskazówek jednym tylko okiem, wydają się one, jako jedna wskazówka  $Z$ . Gdy ekrany  $P_1$  i  $P_2$  oświetlone są różnymi źródłami światła, pozorna droga wskazówki ma kształt elipsy, która przy odpowiednim dobraniu natężeń badanych źródeł przechodzi w linię prostą. Pulfrich zakłada, że wtedy właśnie jasność obu ekranów jest jednakowa.



Rys. 131



Rys. 132

Ives stwierdził (1912 r.), że przy spełnieniu pewnych, szczegółowo przez niego omówionych warunków, metody bezpośrednie i metoda migotania dają mało różniące się wyniki.

Chcąc zastąpić te pomiary subiektywne (p. rozdz. I, ust. 2) pomiarami obiektywnymi, należy uwzględnić niejednakową wrażliwość oka na światło różnych barw (p. ust. 4), co sprawia, że używanie przyrządów mierniczych, których wskazania byłyby, niezależnie od rodzaju użytego światła, proporcjonalne do pochłanianej przez nie energii, (jak np. bolometru), prowadzi do wyników, całkowicie odmiennych od tych, jakie otrzymujemy z właściwych pomiarów fotometrycznych.

Podobnie nie nadają się i przyrządy, które, pochłaniając selekcyjnie energię świetlną, mają krzywą pochłaniania inną, niż krzywa wrażliwości oka, jak np. kłisza fotograficzna, której zaczerwienie jest do pewnego stopnia miarą pochłanianego przez nią światła, lub komórka fotoelektryczna, w której cienka warstewka metalu (litu, sodu, potasu, rubidu, cezu), umieszczona w naczyniu, opróżnionym z powietrza, wysyła pod działaniem światła strumień elementarnych nabożów ujemnych (elektronów ujemnych). Gdy połączymy warstewkę tę z ujemnym biegunem źródła prądu (którego biegun dodatni połączymy z ziemią), przeciwległą zaś do war-



stewki płytkę metalową poprzez galwanometr z ziemią, stwierdzimy przepływ prądu (od płytki do warstewki) o natężeniu, w szerokich granicach proporcjonalnych do natężenia oświetlającego warstewkę światła. W tych samych pozostałych warunkach natężenie prądu zależy od rodzaju użytego do oświetlenia światła. Dla litu i sodu maksimum leży poza granicami promieniowania widzialnego, dla potasu — w niebiesko-fioletowej części widma, między liniami *F* i *G*, dla rubidu w pobliżu linii *F*, dla cezu zaś nieco poza nią, ku czerwonej części widma (Pohl i Pringsheim, 1910 r.). Wszystkie te krzywe znacznie odbiegają od krzywej wrażliwości oka

Tej niezgodności można jednak zapobiec, umieszczając, jak na to wskazał Féry (1908 r.), przed przyrządem mierniczym odpowiednio dobrane filtry ciekłe o pochłanianiu selekcyjnym.

Spomiędzy wielu filtrów tego rodzaju najlepiej, jak się zdaje, odpowiada swemu przeznaczeniu filtr Ives'a (1917 r.).



## Rozdział VI

### NARZĘDZIA OPTYCZNE

#### 1. NARZĘDZIA OPTYCZNE

Oko nie odróżnia, jak wiemy, punktów, których odległość kątowna jest mniejsza od  $1'$  (p. rozdz. V, ust. 3), wobec czego dla szczegółowego obejrzenia przedmiotu musimy oko przysunąć jak najbliżej, aby zwiększyć kąt, pod jakim widzimy poszczególne części przedmiotu. Przyjmijmy, że odległość punktu najbliższego wynosi przeciętnie 15 cm, co, niewątpliwie dla znacznej ilości ludzi leży poniżej granicy dokładnego widzenia. W tych najlepszych przeto warunkach oko będzie widziało oddzielnie punkty odległe wzajemnie o 0,045 mm. Dalsze przybliżanie przedmiotu zwiększając kąt widzenia, zmniejszy jednocześnie ostrość obrazu. W dodatku, nie zawsze jest rzeczą możliwą zbliżyć się do badanego przedmiotu, często zmuszeni jesteśmy oglądać go ze znacznej odległości, co oczywiście zmniejsza zdolność rozpoznawczą oka. Gdy, jak np. w obserwacjach astronomicznych, oglądane przedmioty znajdują się tak daleko, że wydają się nam świecącymi punktami, dokładnemu ich widzeniu może poza tym stanąć na przeszkodzie zbyt mała ilość światła wysyłanego przez nie do naszego oka i tym samym zbyt słabe oświetlenie siatkówki. We wszystkich tych przypadkach używa się pomocniczych układów optycznych, nazywanych zazwyczaj narzędziami optycznymi.

Ściśle biorąc narzędziami optycznymi są wszystkie przyrządy, których działanie oparte jest na zjawiskach optycznych (odbicia, załamania, rozszczepienia itd.). Zwyczaj jednak utrwalił nazwę narzędzi optycznych dla przyrządów, ułatwiających widzenie lub też zwiększających zdolność rozpoznawczą oka.

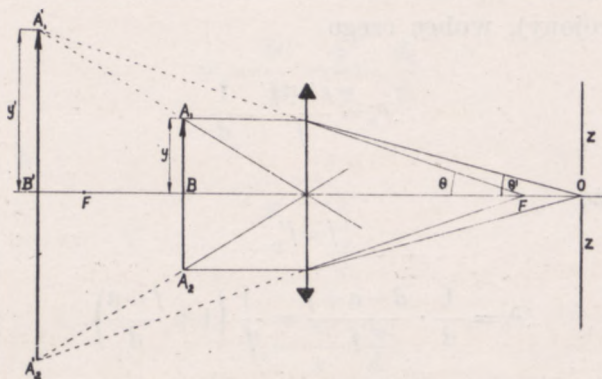
Narzędzia te ujmując rzecz z gruba, podzielić można na dwie grupy. Do pierwszej należą układy dające obrazy urojone (lupa, mikroskop, luneta), do drugiej — układy dające obrazy rzeczywiste (przyrządy projekcyjne, aparaty fotograficzne).



## 2. LUPA (SZKŁO POWIĘKSZAJĄCE, MIKROSKOP PROSTY)

Najprostszym przyrządem pierwszego typu jest zwykła soczewka zbierająca tzw. lupa (fr. loupe) albo szkło powiększające albo wreszcie mikroskop prosty.

Umieścimy badany przedmiot  $A_1A_2$  między ogniskiem a lupą (rys 133) tak, aby odległość  $d$  urojonego prostego obrazu od oka  $OZZ$  była za-



Rys. 133

warta w granicach odległości punktu najbliższego (punctum proximum) i najdalszego (punctum remotum).

Powiększeniem bezwzględnym lupy nazywamy za Verdetem kąt, pod jakim widzimy obraz jednostki długości przedmiotu a więc kąt

$$\mathcal{P}_b = \frac{\sphericalangle A_1'OB'}{y},$$

gdzie przez  $y$  oznaczamy długość  $A_1B$ . Obecnie jednak przyjmuje się zazwyczaj za powiększenie bezwzględne stosunek tangens kąta  $\theta'$  do  $y$  (Abbe) tak, że mamy

$$\mathcal{P}_b = \frac{\text{tg}\theta'}{y}. \quad (1)$$

Z trójkąta  $A_1'OB'$  otrzymujemy

$$\text{tg}\theta' = \frac{A_1'B'}{OB'} = \frac{y'}{d},$$

skąd

$$\mathcal{P}_b = \frac{y'}{y} \cdot \frac{1}{d}.$$



Oznaczmy przez  $a$  odległość oka od środka soczewki,  $d$  będzie wtedy równe  $s'+a$ , gdzie  $s'$  jest odległością obrazu od środka soczewki. Wiemy jednak, że (wzór 9a, rozdz IV)

$$\frac{y'}{y} = \frac{s'}{s} = \frac{s'+f'}{f'}$$

(obraz jest urojony), wobec czego

$$\mathcal{P}_b = \frac{s'+f'}{f'} \cdot \frac{1}{d}$$

lub z uwagi, że

$$f=f'$$

$$\mathcal{P}_b = \frac{1}{d} \cdot \frac{d-a+f}{f} = \frac{1}{f} \left( 1 + \frac{f-a}{d} \right). \quad (2)$$

Gdy  $a$  jest mniejsze od  $f$ , a więc, gdy  $f-a$  jest większe od zera, wielkość  $\mathcal{P}_b$  nazywana często mocą optyczną lupy, zmniejsza się w miarę wzrastania  $d$ ; w tym więc przypadku lupa jest najlepiej wyzyskana, gdy obraz przypada w odległości punktu najbliższego  $d=d_p$ . Gdy  $a=f$ , oko znajduje się w ognisku

$$\mathcal{P}_b = \frac{1}{f}; \quad (2a)$$

moc optyczna nie zależy od odległości obrazu. Powiększenie wyraża się tym samym wzorem, gdy przedmiot znajduje się w ognisku,  $d$  jest bardzo wielkie, ułamek  $\frac{f-a}{d}$  bardzo mały; w jakiegokolwiek więc odległości od lupy umieścimy oko, obraz widzicie będziemy zawsze pod tym samym kątem.

Wrażenie jednak, jakiego wtedy doznajemy, oddalając oko od lupy, jest wręcz przeciwne: wydaje się nam, że im dalej umieścimy oko, tym kąt, pod jakim widzimy obraz, jest większy. Jest to złudzenie, wynikające stąd, że wtedy zmniejsza się kąt, pod jakim widzimy lupę, obraz zatem wzrasta w stosunku do lupy.

Wreszcie, gdy  $a > f$ ,  $\mathcal{P}_b$  wzrasta ze wzrostem odległości  $d$ ; największą wartość  $\mathcal{P}_b$  otrzymujemy dla  $d=d_p$ .

Często za miarę powiększenia przyjmuje się stosunek kąta, pod jakim widzimy obraz, do kąta, pod jakim byśmy widzieli przedmiot, gdybyśmy go umieścili w odległości dokładnego widzenia.



Oznaczając odpowiednie kąty przez  $\Theta$  i  $\Theta'$ , mamy z wystarczającym przybliżeniem

$$\Theta' = \frac{y'}{d}; \quad \Theta = \frac{y}{d_0},$$

skąd

$$\mathcal{P}_s = \frac{\Theta'}{\Theta} = \frac{y'}{y} \cdot \frac{d_0}{d}$$

lub z uwagi, że

$$\frac{y'}{y} = \frac{s'}{s}$$

$$\mathcal{P}_s = \frac{s'}{s} \cdot \frac{d_0}{d}. \quad (2b)$$

Gdy  $s'$  jest bardzo wielkie,  $s$  zatem równe  $f$ , możemy przyjąć

$$d = s',$$

o ile oko znajduje się dostatecznie blisko lupy, a więc  $a$  jest małe w porównaniu z  $s'$ . Otrzymujemy wtedy

$$\mathcal{P}_s = \frac{d_0}{s} = \frac{d_0}{f}. \quad (2c)$$

Zwyczajowo  $d_0$  przyjmuje się za równe 25 cm (por. rozdz. V, ust. 3), tak że mamy

$$\mathcal{P}_s = \frac{25}{f}.$$

Wielkość  $\mathcal{P}_s$  oznacza powiększenie subiektywne.

W rozważaniach powyższych uważaliśmy lupę za soczewkę nieskończenie cienką. Uwzględniając jej grubość, otrzymalibyśmy wzory identyczne, w których  $a$  byłoby odległością oka od płaszczyzny głównej przestrzeni obrazu soczewki,  $\mathcal{F}$  zaś odległością ogniskową liczoną od płaszczyzny głównej przestrzeni przedmiotu.

Gdy, jak to bywa najczęściej, średnica soczewki jest większa od źrenicy oka, źrenicą wejściową jest źrenica oka, krawędź soczewki — przesłoną pola widzenia, (p. rozdz. IV, ust. 8). Ponieważ obrazem soczewki w jej przestrzeni przedmiotu jest też soczewka, przesłona pola widzenia



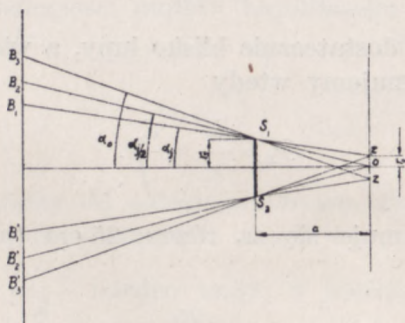
nigdy nie leży w płaszczyźnie  $A'_1 A'_2$  obrazu, który, wobec tego, nie ma jasności równomiernej. Promienie, wychodzące ze środkowej części  $B_1 B'_1$  rozległego obrazu wypełniają całkowicie źrenicę oka (rys. 134), promienie z pasa, zawartego między  $B'_1 B_1$  i  $B_2 B'_2$  jedynie połowę źrenicy, promienie, wychodzące z punktów, leżących poza  $B_3, B'_3$  wcale do oka nie dochodzą. Oznaczmy przez  $\alpha_j, \alpha_{j/2}$  i  $\alpha_0$  — kąty, jakie z osią układu tworzą promienie, wychodzące z granicznych punktów tych pasów jasności (nie odgraniczonych wyraźnie, lecz stopniowo przechodzących jeden w drugi), a przez  $r_s$  i  $r_o$  promienie soczewki i źrenicy oka. Mamy

$$\operatorname{tg} \alpha_j = \frac{r_s - r_o}{a}; \quad \operatorname{tg} \alpha_{j/2} = \frac{r_s}{a}; \quad \operatorname{tg} \alpha_0 = \frac{r_s + r_o}{a},$$

skąd można wyznaczyć kąty widzenia o największej, średniej i najmniejszej jasności.

Tak np. w lupie o promieniu 2,5 cm, umieszczonej w odległości 1,5 cm od oka, ( $r_o$  około 4 mm) pole jasności normalnej będzie zawarte w kącie mniej więcej równym  $108^\circ$  ( $\alpha_j \approx 54^\circ$ ) całkowite zaś pole widzenia w kącie mniej więcej równym  $124^\circ$  ( $\alpha_0 \approx 62^\circ$ ).

Lupa posiada, oczywiście, wszystkie te wady optyczne soczewek, o których była mowa w rozdz. IV. Braki te tym silniej się uwydatniają,



Rys. 134

im większa jest moc optyczna lupy, a więc im krótsza jest jej ogniskowa i co za tym idzie, mniejsze promienie krzywizny. Z tego też powodu nie używa się lup, powiększających silniej niż kilka razy (do 10).

Lupa Wollastona składa się z dwóch sklejonych ze sobą półkuli szklanych (rys. 135) oddzielonych od siebie diafragmą z otworem w środku; przez lupę przechodzą tylko promienie prawie prostopadłe do powierzchni łamiących, co, rzecz prosta, zmniejsza zarówno sferyczną, jak i chromatyczną aberację.

Znaczne powiększenie daje lupa Stanhope'a (rys. 136). Jest to walec szklany o jednej podstawie kulistej, drugiej zaś — prawie płaskiej. Długość walca jest równa ogniskowej przestrzeni przedmiotu kulistej powierzchni łamiącej. Przedmiot jest przy-

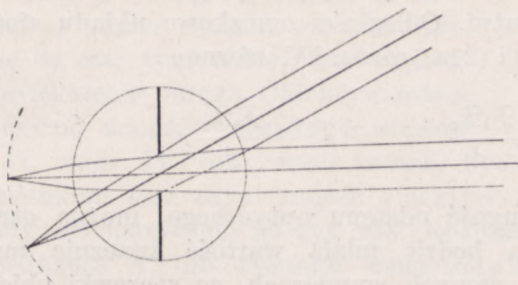


stawiony (zazwyczaj przyklejony) do płaskiej podstawy walca, widzi go się więc tak, jak gdyby znajdował się w szkle. Mamy zatem

$$\frac{n}{s} + \frac{1}{s'} = \frac{n-1}{R}$$

i kładąc  $s' = \infty$ , przedmiot bowiem znajduje się w ognisku, otrzymujemy

$$s = f = \frac{nR}{n-1};$$



Rys. 135



Rys. 136

gdy  $n = 1,5$ ,

$$f = 3R.$$

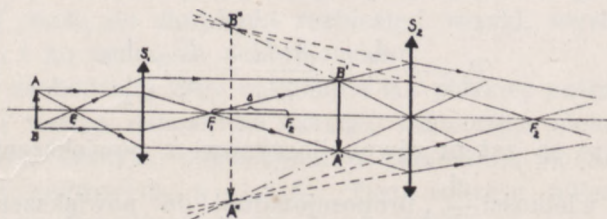
Niech  $R$  będzie równe 2 mm,  $f$  zatem 6 mm.

$$p_s = \frac{250}{6} \approx 42.$$

Przedmiot o promieniu 1 mm wyda się nam, jak przedmiot o promieniu 4,2 cm, oglądany z odległości 25 cm.

### 3. MIKROSKOP ZŁOŻONY (DROBNOWIDZ)

Do otrzymania znacznie większych powiększeń używa się nie pojedynczej soczewki, lecz układu soczewek. W najprostszym przypadku układ ten sprowadza się do dwóch soczewek zbierających (rys. 137). Pierwsza



Rys. 137

z nich  $S_1$ , którą nazywamy obiektywem lub soczewką przedmiotową, daje odwrócony rzeczywisty obraz  $A'B'$  rozpatrywanego przedmiotu w takiej odległości od drugiej soczewki  $S_2$  tzw. okularu lub soczewki ocznej, aby po załamaniu w niej powstał ostatecznie obraz



urojony  $A''B''$  prosty w stosunku do  $A'B'$ , (odwrócony w stosunku do  $AB$ ) w odległości dokładnego widzenia od oka obserwatora. Tego rodzaju układ nosi nazwę mikroskopu złożonego lub drobnowidza.

Pierwszy mikroskop złożony zbudował, jak się zdaje, optyk holenderski Zachariasz Janson około r. 1590.

Oznaczmy przez  $\mathcal{F}_1$  i  $\mathcal{F}'_1$  ogniskowe obiektywu, przez  $\mathcal{F}_2$  i  $\mathcal{F}'_2$  — ogniskowe okularu, przez  $\Delta$  — odstęp optyczny (p. rozdz. IV, ust. 3), w mikroskopie zawsze dodatni. Odległości ogniskowe układu złożonego są, zgodnie ze wzorem (21) i (21a) rozdz. IV, równe

$$\mathcal{F} = -\frac{\mathcal{F}_1\mathcal{F}_2}{\Delta} \quad \text{i} \quad \mathcal{F}' = -\frac{\mathcal{F}'_1\mathcal{F}'_2}{\Delta}.$$

Dobierając odpowiednio długość odstepu optycznego, można otrzymać układ, w którym ogniskowa będzie miała wartość znacznie mniejszą od ogniskowej lupy o tych samych wymiarach, co soczewki obiektywu czy okularu.

Niech np.  $\Delta$  jest, jak to bywa najczęściej, równe 160 mm,  $\mathcal{F}_1 = 5$  mm,  $\mathcal{F}_2 = 10$  mm, wtedy  $\mathcal{F}$  jest równe 0,3 mm, a więc równe ogniskowej soczewki dwuwypukłej ze szkła lekkiego o promieniu krzywizny (w założeniu, że oba promienie są jednakowe) równym 0,3 mm, gdy tymczasem promienie krzywizny obiektywu i okularu są (przy tych samych założeniach) równe 5 i 10 mm.

Podstawiając do wzorów (2a) i (2c) tę wartość ogniskowej, znajdujemy, że powiększenia bezwzględne i subiektywne są równe

$$\mathcal{P}_b = -\frac{1}{\mathcal{F}'} = \frac{\Delta}{\mathcal{F}'_1\mathcal{F}'_2} = \frac{1}{\mathcal{F}'_1} \left( \frac{\Delta}{\mathcal{F}'_2} \right) \quad (3)$$

(obraz jest odwrócony, stąd znak — przed  $\frac{1}{\mathcal{F}'}$ ),

$$\mathcal{P}_s = -\frac{d_0}{\mathcal{F}'} = \frac{\Delta \cdot d_0}{\mathcal{F}'_1\mathcal{F}'_2} = \frac{d_0}{\mathcal{F}'_1} \cdot \frac{\Delta}{\mathcal{F}'_2}. \quad (3a)$$

Powiększenia te są zatem równe iloczynowi z powiększenia obiektywu  $\left( \frac{1}{\mathcal{F}'_1} \right.$  lub  $\left. \frac{d_0}{\mathcal{F}'_1} \right)$  i wielkości  $\frac{\Delta}{\mathcal{F}'_2}$ , proporcjonalnej do powiększenia okularu.

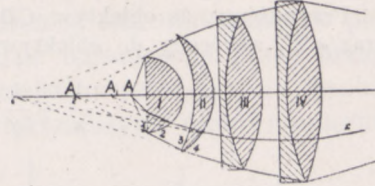
Wielkość ta nosi nazwę siły lub liczby okularu.

Tak np. obiektyw o ogniskowej 5 mm i sile okularu (zazwyczaj na okularze zaznaczonej)  $12 \times$  daje powiększenie

$$\mathcal{P}_b = \frac{1}{0,5} \cdot 12 = 24 \quad \text{i} \quad \mathcal{P}_s = \frac{25}{0,5} \cdot 12 = 600.$$



Wywody powyższe pozostaną, oczywiście, w mocy, gdy soczewki obiektywu i okularu zastąpimy układami soczewek. Każdy z tych układów musi czynić zadość nieco odmiennym wymaganiom. Jak wynika bowiem z rozpatrzenia biegu promieni w mikroskopie (rys. 137), do obiektywu wchodzi z każdego elementu powierzchni przedmiotu wiązki silnie rozwarłe, tworzące na ogół niezbyt wielkie kąty z osią optyczną przyrządu, do okularu zaś — wiązki cienkie, ale silnie nachylone do osi, tym silniej, im większe jest powiększenie obrazu. Obiektów zatem musi czynić zadość warunkowi sinusów (wzór 31, rozdz. IV) oraz, rzecz prosta, być układem achromatycznym.



Rys. 138

Warunkom tym czyni zadość obiektyw Amici'ego (1840 r.), przedstawiony schematycznie na rys. 138. Rozpatrywany element powierzchni przedmiotu  $A$  (na rysunku oznaczony jako punkt) znajduje się, w takiej odległości od półkulistej soczewki, że obraz jego  $A_1$  (urojony), otrzymany przez załamanie na pierwszej (płaskiej) powierzchni soczewki, leży w odległości  $\frac{r}{n}$  od środka krzywizny powierzchni 2, gdzie  $r$  jest promieniem krzywizny soczewki. Punkt  $A$  jest więc punktem aplanatycznym (p. ust. 7, rozdz. IV). Promienie, wychodzące pozornie z tego punktu, a właściwie mówiąc, załamane na powierzchni płaskiej, dają po załamaniu na powierzchni 2 obraz urojony w sprzężonym drugim punkcie aplanatycznym  $A_2$ , odległym od środka krzywizny tej powierzchni o  $nr$ . Punkt  $A_2$  jest środkiem krzywizny powierzchni 3, wobec czego promienie, wychodzące (pozornie) z tego punktu, przechodzą przez powierzchnię bez załamania; jest ona poza tym punktem anaberacyjnym w stosunku do powierzchni 4; ostatecznie zatem promienie biegają tak, jak gdyby wychodziły z punktu  $A_4$ , sprzężonego z  $A_2$ . Soczewki złożone III i IV służą do skupienia rozbieżnej wiązki, wychodzącej z soczewki I i II, i do usunięcia achromatyzmu.

Aberację, zachodzącą przy załamaniu na płaskiej powierzchni pierwszej soczewki można całkowicie usunąć, zanurzając element  $A$  w środowisku o tym samym współczynniku załamania, co szkło soczewek (np. w olejku cedrowym,  $n=1,515$ ). Tego rodzaju układ nosi nazwę immersyjnego (łac. immergere — zanurzyć).

Drugi ze składowych układów mikroskopu — okular, do którego, jak widzieliśmy, wchodzi cienkie wiązki, nachylone pod znacznymi kątami do osi musi czynić zadość przede wszystkim warunkowi ortoskopii  $\left( \frac{\operatorname{tg} u}{\operatorname{tg} u'} = \text{stałej, p. wzór 35, rozdz. IV} \right)$ , następnie być pozbawio-

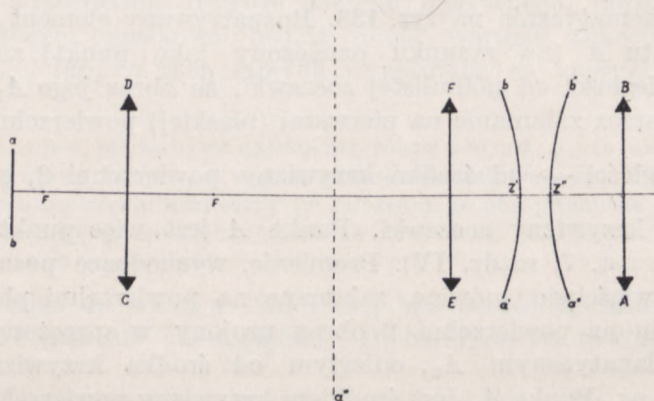


nym astygmatyzmu czystego (p. ust. 7, rozdz. IV) i wreszcie usuwać niepoprawione dostatecznie przez obiektyw zabarwienie obrazu oraz wygięcie pola. Warunki te spełnia z dostatecznym przybliżeniem okular Huygensa (ust. 6, rozdz. IV).

Przypuśmy, że obiektyw  $CD$  (rys. 139) dawałby, gdyby nie było okularu, obraz  $a'b'$ , zwrócony do obiektywu wklęsłością, gdyż, jak to wynika ze wzorów

$$\frac{1}{s} + \frac{1}{s'} = \frac{1}{\mathcal{F}} \quad \text{i} \quad s' = \frac{\mathcal{F}}{1 - \frac{\mathcal{F}}{s}},$$

$s'$  wzrasta, gdy  $s$  — w tym przypadku dodatnie i większe od  $\mathcal{F}$  — maleje. Na skutek załamania w pierwszej soczewce okularu  $EF$  powstaje obraz rzeczywisty  $a''b''$  wygięty w stronę przeciwną (tym bowiem razem odległość  $s$  punktów obrazu  $a'b'$



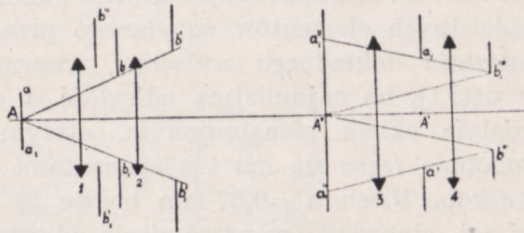
Rys. 139

od środka soczewki jest ujemna, wobec czego  $s'$  ze wzrostem  $s$  wzrasta); wygięcie jest wobec wygięcia przedmiotu  $a'b'$  mniejsze. Gdyby obraz  $a''b''$  był płaski, soczewka  $AB$  dalałaby obraz zakrzywiony, zwrócony wypukłością do soczewki ( $s$  jest mniejsze od  $\mathcal{F}$ ), ponieważ jednak  $z''$  jest nieco dalej od soczewki, niż  $a''$  i  $b''$ , krzywizna jeszcze raz się zmniejszy i otrzymamy obraz  $a'''b'''$  albo zupełnie płaski albo, w najgorszym przypadku, nieco zakrzywiony, mniej jednak, niż obraz  $a'b'$ . Rolę lupy pełni zatem, ściśle mówiąc, tylko soczewka  $AB$ .

Niech  $bb_1$  będzie otworem przesłony, umieszczonej w obiektywie i ograniczającej wiązkę promieni, wchodzącą do mikroskopu (rys. 140). Obraz otworu tej przesłony  $b'b'_1$  wytworzony przez pierwszą soczewkę obiektywu, jest źrenicą wejściową obiektywu, a zarazem całego układu; obraz  $b''b''_1$  otworu  $b'b'_1$ , wytworzony przez drugą soczewkę obiektywu (lub układ soczewek obiektywu, leżący po przeciwnej do soczewki pierwszej stronie przesłony  $bb_1$ ), jest źrenicą wyjściową obiektywu. Obraz tej źrenicy, wytworzony przez okular, jest źrenicą wyjściową układu.



Obraz ten jest obrazem rzeczywistym i odwróconym i stanowi kolo oczne mikroskopu, które możemy wyraźnie widzieć w postaci jasnej tarczy, umieszczając w płaszczyźnie  $b''b_1'''$  ekran (por. rozdz. IV, ust. 8). Wiązka promieni, wychodzących z dowolnego elementu powierzchni obserwowanego ciała, mająca za podstawę otwór źrenicy pierwszej, ma po załamaniu za podstawę źrenicę  $b''b_1'''$ . Jeżeli źrenicę oka umieścimy w płaszczyźnie koła ocznego, pole widzenia będzie ograniczone przez brzegi soczewek okularu, wobec czego przy znaczniejszym powiększeniu jasność obrazu będzie, podobnie, jak w szkłe powiększającym, nierównomierna. Umieszczając w płaszczyźnie  $a_1A'a'$  przesłonę o odpowiednio dobranym otworze, nie dopuszcza się do źrenicy wyjściowej wiązek, wysyłanych przez dalej od osi leżące elementy powierzchni obrazu  $a''A''a''$  i nie wypełniających całkowicie koła ocznego. W ten sposób ogranicza się pole widzenia do tej części przedmiotu, która wydaje się nam równomiernie jasna.



Rys. 140

Przedmiot, obserwowany przez mikroskop, bywa najczęściej nie przedmiotem świecącym, lecz oświetlonym. W rozważaniach więc naszych należałoby brać pod uwagę również i przesłony, ograniczające wiązki światła, wysyłanego przez źródło oświetlające.

Dopóki promień koła ocznego jest większy od promienia źrenicy oka lub jemu równy, jasność obrazu jest mniej więcej taka sama, jak przedmiotu, oglądanego okiem nieuzbrojonym. Jeżeli jednak promień koła ocznego jest mniejszy, jasność też jest mniejsza. Jasność obrazu wyraża się wtedy wzorem

$$J = J_0 \frac{\pi r_z^2}{\pi r_0^2} = J_0 \frac{r_z^2}{r_0^2}.$$

Promień  $r_z$  — promień koła ocznego — możemy przyjąć za równy  $u'd$ , gdzie  $u'$  jest połową rozbieżności wiązek, wychodzących z mikroskopu. Przyjmując, zgodnie zresztą z istotnym przebiegiem zjawiska, że  $u'$  jest dostatecznie małe, abyśmy mogli założyć  $\sin u' = u'$  ze wzoru (33) rozdz. IV otrzymujemy

$$r_z = u'd = \frac{A \cdot d}{\mathcal{P}_s},$$



skąd jasność obrazu

$$J = J_0 \frac{A^2 \cdot d^2}{r_0^2 \mathcal{P}_s^2} \quad (4)$$

jest w tych samych pozostałych warunkach tym mniejsza, im większe jest powiększenie.

Założenia optyki geometrycznej, na których dotychczas opieraliśmy swoje wywody, prowadzą do wniosku, że ze wzrostem powiększenia wzrasta również zdolność rozpoznawcza mikroskopu tzn. zdolność odróżniania oddzielnych elementów oglądanego przedmiotu (por. ust. 1). Biorąc na odległość dokładnego widzenia umowną wartość 25 cm (inaczej, niż w ust. 1), na najmniejszą odległość  $a$  elementów, które widzimy rozdzielnie okiem nieuzbrojonym, otrzymujemy mniej więcej 0,07 mm. Podobnie rzecz się ma i z elementami obrazów, oglądanymi przez mikroskop. Niech  $a' = 0,07$  mm będzie tą odległością w obrazie. Odległości tej odpowiada w przedmiocie odległość  $a$ , związana z  $a'$  wzorem

$$\frac{a}{a'} = \frac{y}{y'} = \frac{1}{\mathcal{P}_s}, \text{ skąd } a = \frac{a'}{\mathcal{P}_s} = \frac{0,07}{\mathcal{P}_s}.$$

Powiększeniu więc stokrotnemu odpowiada odległość  $a = 0,0007$  mm, tysiąckrotnemu — jeszcze dziesięć razy mniejsza. Stąd wynika, że jedynie trudności techniczne mogą stać na przeszkodzie dowolnemu zwiększaniu zdolności rozpoznawczej mikroskopu. W rzeczywistości jednak sprawa przedstawia się inaczej. Jak o tym będzie mowa na innym miejscu (rozdz. VIII, ust. 13), sama istota światła narzuca nieprzekraczalną granicę zdolności rozpoznawczej. Po przekroczeniu tej granicy wzrost powiększania mikroskopu prowadzi jedynie do zwiększenia rozmiarów obrazu, nie pozwala jednak wykryć żadnych nowych szczegółów budowy badanego przedmiotu, wobec czego staje się bezużytecznym. Zazwyczaj przeto powiększenie mikroskopu jest najwyżej tysiąckrotne.

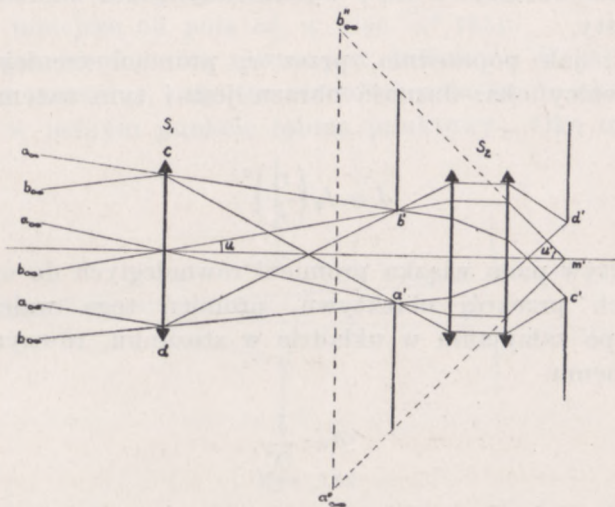
#### 4. LUNETY (TELESKOPIY)

Do zwiększenia kąta widzenia, pod którym widzimy przedmioty oddalone lub też do zwiększenia jasności oglądanego punktu świecącego służą lunety (fr. lunette), inaczej teleskopy, składające się tak, jak mikroskopy, z obiektywu i okularu. W lunetach astronomicznych i ziemskich każdy z tych układów jest układem zbierającym.

Pomysł takiej lunety wysunął Kepler w swej Dioptryce (1611 r.), sam jednak przyrzędu tego nie zbudował. Pierwszy teleskop został zbudowany w parę lat później przez Scheinera (między 1613 i 1617 r.).



Obiektyw  $S_1$  (rys. 141) mający w przeciwieństwie do obiektywu mikroskopu długą ogniskową, daje rzeczywisty i odwrócony obraz  $a'b'$  bardzo odległego przedmiotu  $a_\infty b_\infty$  w swojej płaszczyźnie ogniskowej, którą, z wystarczającą dokładnością możemy przyjąć za płaszczyznę ogniskową okularu  $S_2$  (na rysunku okular jest złożony). Wobec czego obraz ostateczny (odwrócony w stosunku do przedmiotu) znajduje się w równie wielkiej odległości od lunety, co oglądany przedmiot. Kąt



Rys. 141

jednak, pod którym obraz widzimy, jest znacznie większy. Istotnie, w tego rodzaju układzie bezogniskowym powiększenie kątowe, o wartości niezależnej od odległości przedmiotu od układu, równe jest (p. wzór 26b, rozdz. IV)

$$\mathcal{K} = \frac{\psi'}{\psi} = \frac{1}{\mathcal{P}} = -\frac{\mathcal{F}_1}{\mathcal{F}_2},$$

gdyż  $\mathcal{F}'_1 = \mathcal{F}_1$ ,  $n_1 = n_2$ .

Jednocześnie wszakże zmniejsza się pole widzenia, ograniczone, jak w mikroskopie, przez brzeg soczewki okularu. Umieszczając w płaszczyźnie ogniskowej odpowiednio dobraną przesłonę, dopuszczamy do oka tylko te promienie, które całkowicie wypełniają źrenicę wejściową.

Niech  $u$  będzie kątem, jaki z osią tworzą promienie, wychodzące z tych skrajnych elementów przedmiotu, jakie wydają się równomiernie jasnymi,  $u'$  zaś, odpowiednim kątem promieni obrazów tych elementów. Mamy wtedy

$$\frac{\operatorname{tg} u'}{\operatorname{tg} u} = \mathcal{K},$$



skąd

$$\operatorname{tg} u = \frac{1}{\mathcal{K}} \operatorname{tg} u'.$$

W przypadku więc przedmiotów rozciąglonych widzimy tym mniejszą część przedmiotu, im większe jest powiększenie.

Źrenicą wejściową jest tym razem obiektyw lunety  $S_1$ , źrenicą wyjściową — obraz obiektywu  $c'd'$ , wytwarzany przez okular. Obraz ten jest rzeczywisty.

Oznaczmy, jak poprzednio, przez  $r_z$  promień źrenicy wyjściowej, przez  $r_0$  — źrenicy oka. Jasność obrazu jest i tym razem (gdy  $r_z \leq r_0$ ) równa

$$J = J_0 \left( \frac{r_z}{r_0} \right)^2.$$

Gdy na obiektyw pada wiązka promieni równoległych do osi, całkowicie wypełniających przekrój obiektywu, promień tego waleca świetlnego zwiększa się po załamaniu w układzie w stosunku, równym powiększeniu poprzecznemu

$$\mathcal{P} = \frac{1}{\mathcal{K}}.$$

W tym samym stosunku zwiększają się i wymiary liniowe obrazu obiektywu. Oznaczając promień obiektywu przez  $R$ , otrzymujemy

$$\frac{r_z}{R} = \mathcal{P} = \frac{1}{\mathcal{K}} \quad \text{i} \quad r_z = \frac{R}{\mathcal{K}},$$

skąd

$$J = J_0 \left( \frac{R}{r_0} \right)^2 \cdot \frac{1}{\mathcal{K}^2}. \quad (5)$$

Gdy

$$\mathcal{K} = \frac{R}{r_0},$$

jasność obrazu jest normalna, ze wzrostem jednak  $\mathcal{K}$  powyżej tej granicy, nazywanej powiększeniem normalnym, jasność maleje.

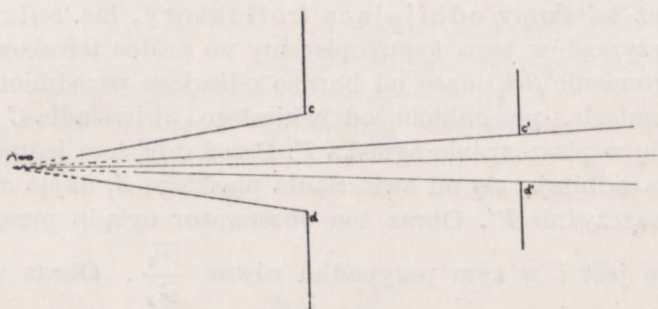
W silnym świetle dziennym średnica źrenicy oka wynosi około 2 mm, przy oświetleniu słabym dochodzi do 8 mm. Wobec czego przy powiększeniu 50-krotnym, średnica obiektywu powinna być równa co najmniej 10 cm w przypadku pierwszym, 40 cm — w drugim, o ile chcemy mieć jasność normalną.



Przebieg zjawiska jest zupełnie inny, gdy przedmiot znajduje się w tak wielkiej odległości, że wydaje się punktem świecącym. Niech  $A_\infty$  będzie tym nieskończenie odległym punktem (rys. 142), wysyłającym wiązkę promieni, prawie dokładnie równoległych, wypełniającą całkowicie przekrój obiektywu. Wiązka ta po załamaniu wypełni otwór źrenicy wyjściowej  $c'd'$ , będącej, jak wiemy, obrazem obiektywu.

Strumień światła w obu wiązkach jest ten sam, oświetlenie przeto powierzchni  $c'd'$  jest tyle razy większe od oświetlenia obiektywu, ile razy pole  $c'd'$  jest mniejsze od pola  $cd$ , a więc  $\mathcal{K}^2$  razy.

Gdy średnica źrenicy oka równa jest średnicy  $c'd'$ , gdy przeto powiększenie jest normalne, cały ten strumień wchodzi do oka i jest przez nie skupiany w jednym punkcie (obraz punktowy). Oko otrzymuje za-



Rys. 142

tem  $\mathcal{K}^2$  razy więcej światła. Jasność więc punktu świecącego, oglądanego przez lunetę, jest  $\mathcal{K}^2$  razy większa, niż przy patrzeniu okiem nieuzbrojonym. Ze wzrostem powiększenia,  $r_0$  staje się większe od  $r_z$ , ponieważ jednak i wtedy cały strumień światła, wchodzącego do obiektywu, skupia się w oku na jednym elemencie siatkówki, jasność obrazu się nie zmienia; jedynie zatem wtedy, gdy  $r_0 < r_z$ , a więc gdy powiększenie jest mniejsze od normalnego, jasność wzrasta w stosunku mniejszym, niż  $\mathcal{K}^2$ .

Tym się tłumaczy, dlaczego przez lunetę o dostatecznie wielkim powiększeniu możemy widzieć gwiazdy nawet przy świetle dziennym. W miarę wzrostu powiększenia wzrasta jasność gwiazd, jasność zaś nieba, jako przedmiotu rozciągniętego, pozostaje bez zmiany aż do chwili, gdy powiększenie stanie się normalne; przy powiększeniu wyższym od normalnego jasność gwiazd zachowuje tę samą wartość, co poprzednio, jasność zaś nieba maleje, spadając poniżej jasności przedmiotu, oglądanego okiem nieuzbrojonym.

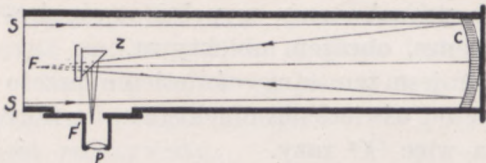
Obiektyw i okular są w lunecie z reguły układami złożonymi. W obiektywie chodzi głównie o usunięcie chromatyzmu obrazu i zmniejszenie aberacji sferycznej.

Pierwszy z tych warunków jest tym lepiej spełniony, im mniejszy jest stosunek rozwarości układu. Dlatego też w lunetach, budowanych przed wprowadzeniem układów achromatycznych, stosunek ten był możliwie mały.



Okularem lunety jest okular typu Ramsdena (rozd. IV, ust. 6).

Obraz rzeczywisty, wytwarzany przez obiektyw, znajduje się przed pierwszą soczewką okularu, co ułatwia umieszczenie w tym miejscu przesłony, ograniczającej pole widzenia.



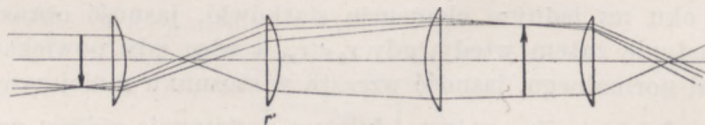
Rys. 142a

W okularze Huygensa obraz ten znajduje się między soczewkami okularu.

Do obserwacji astronomicznych, poza opisanymi wyżej lunetami (nazywanymi również refraktorami, łac. refringere — łamać) są używane również teleskopy odbijające (reflektory, łac. reflexio — zwracanie). Z przyrządów tego typu opiszemy po krótku teleskop Newtona (1671 r.). Promienie  $SS_1$  idące od bardzo odległego przedmiotu, a przeto prawie równoległe, po odbiciu od wklęsłego zwierciadła  $C$  (rys. 142a) przecinają się w płaszczyźnie ogniska  $F$ . Przed dojściem jednak do punktu przecięcia odbijają się od zwierciadła płaskiego  $Z$ , dając obraz przedmiotu w płaszczyźnie  $F'$ . Obraz ten obserwator ogląda przez okular  $p$ .

Powiększenie jest i w tym przypadku równe  $\frac{F_1}{F_2}$ . Obraz wytworzony przez zwierciadło jest, oczywiście, achromatyczny.

Zarówno w refraktorze, jak i w reflektorach ostateczne obrazy są odwrócone w stosunku do przedmiotu. W obserwacjach astronomicznych odwrócenie to nie odgrywa żadnej roli, inaczej jednak jest, gdy luneta ma służyć do oglądania przedmiotów ziemskich. Toteż w lunetach



Rys. 143

ziemskich (nazywanych dawniej perspektywami) okular zaopatrzone jest w dodatkowe soczewki, których zadaniem jest odwrócenie obrazu, wytworzonego przez obiektyw. W najprostszym przypadku tego rodzaju okular składa się z czterech soczewek, rozmieszczonych tak, jak na rys. 143. Soczewka  $r'$  nosi nazwę soczewki odwracającej.

Lunety służą często, jako celowniki, do wyznaczania kierunku.

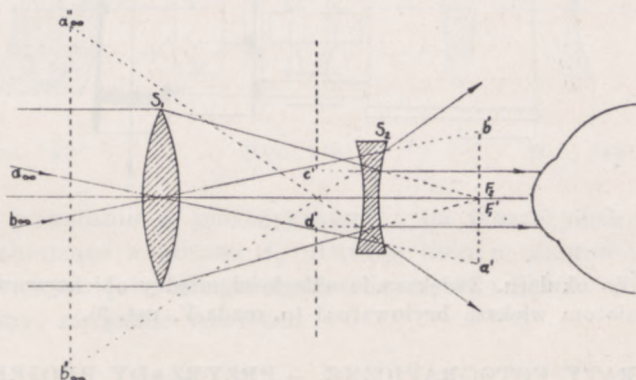
W płaszczyźnie ogniskowej obiektywu umocowuje się krzyż z nitek pajęczych i nastawia się lunetę tak, aby obraz punktu, leżącego w danym kierunku tworzył



się w płaszczyźnie krzyża, na przecięciu nitki, co łatwo sprawdzić przesuwając oko nieco w bok i obserwując, czy obraz punktu przesuwa się względem krzyża; jeżeli się nie przesuwa, obraz leży w płaszczyźnie nitki. Wtedy linia, łącząca dany punkt ze środkiem źrenicy wyjściowej, wyznacza dany kierunek.

W lunecie Galileusza, nazywanej również lunetą holenderską, okular jest układ rozpraszający.

Taką lunetę pierwszy zbudował w 1608 r. optyk holenderski Lippershey. Galileusz użył jej w r. 1609 do obserwacji astronomicznych, odkrywając przy jej pomocy (na początku 1610 r.) księżyc Jowisza.



Rys. 144

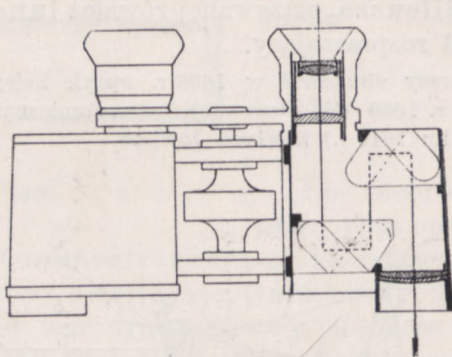
Promienie, wychodzące z odległego przedmiotu  $a_{\infty}b_{\infty}$  (rys. 144), padają po załamaniu w obiektywie  $S_1$  na okular rozpraszający  $S_2$ , umieszczony przed ogniskiem obiektywu  $F_1'$ , leżącym, jak w lunecie astronomicznej w tym samym punkcie, co ognisko  $F_2$  przestrzeni przedmiotu okularu, o ogniskowej ujemnej. Wobec tego nie powstaje żaden obraz rzeczywisty. Promienie, załamane przez okular, dają ostatecznie obraz  $a''b''$  w bardzo wielkiej odległości od lunety.

Źrenicą wejściową jest i w tej lunecie soczewka obiektywu, źrenicą wyjściową — obraz jej  $c'd'$ , wytworzony przez okular. Obraz ten jest urojony, skutkiem czego nie można w jego płaszczyźnie umieścić źrenicy oka; odgrywa on zatem rolę przesłony pola widzenia, przez którą oko ogląda obraz  $a''b''$ . Podobnie więc jak w lupie, jasność obrazu nie jest równomierna i żadną przesłoną nie można wyodrębnić części o jasności normalnej, a to dlatego że, jak mówiliśmy, obiektyw nie daje obrazu rzeczywistego, w którego płaszczyźnie możnaby przesłonę umieścić.

Obecnie używa się lunety Galileusza w postaci lornetki (fr. lorgnette), składającej się z dwóch lunet, w ten sposób ze sobą połączonych, aby można było obrazy w nich utworzone oglądać jednocześnie każdym okiem oddzielnie. Lornetka powiększa zwykle od 2 do 8 razy.



W ostatnich czasach w powszechne użycie weszły lornety pryzmatyczne, w których można osiągnąć znacznie większe powiększenie bez zbytniego zwiększenia długości lornety, a to dzięki użyciu dwóch układów pryzmatycznych o całkowitym wewnętrznym odbiciu (rys. 145), wskutek czego promień przebiega dwukrotnie drogę

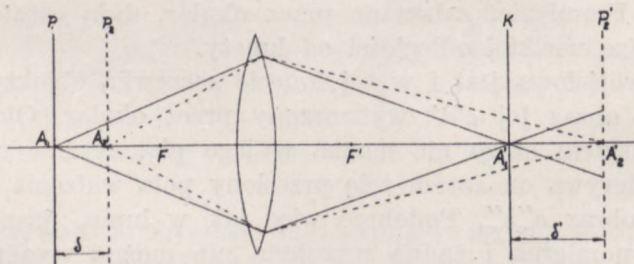


Rys. 145

od obiektywu do okularu. Zwiększenie odległości między obiektywami nadaje oglądanym przedmiotom większą bryłowatość (p. rozdz. V, ust. 3).

#### 5. APARATY FOTOGRAFICZNE. — PRZYRZĄDY PROJEKCYJNE

Aparaty fotograficzne posiadają jeden tylko układ optyczny — obiektyw, wytwarzający na odpowiednio umieszczonej kliszy fotograficznej obraz rzeczywisty fotografowanego przedmiotu. Obiektyw ten w wyższym jeszcze stopniu, niż obiektyw mikroskopu czy lunety musi czynić zadość warunkom stygmatyzmu, aplanatyzmu, ortoskopii i wreszcie achromatyzmu, zwłaszcza w dziedzinie promieni chemicznie najczynniej-



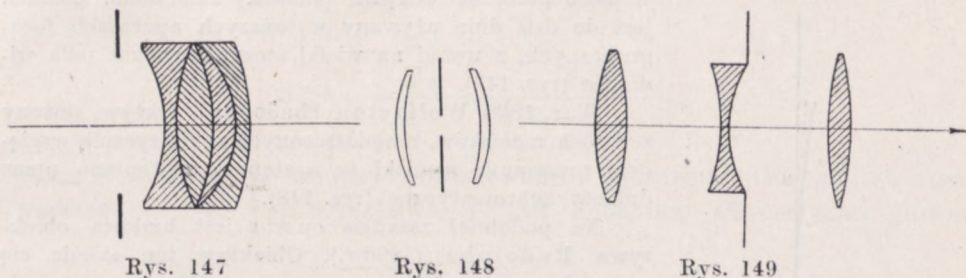
Rys. 146

szych, a więc, w granicach widma widzialnego, w dziedzinie promieni niebieskich i fioletowych.

Dodatkowy warunek stanowi znaczna głębia pola widzenia (p. rozdz. V, ust. 3). Jest on spełniony tym lepiej, im mniejsza jest ogniskowa obiektywu.



Istotnie, niech  $K$  (rys. 146) oznacza płaszczyznę kliszy fotograficznej sprzężoną z płaszczyzną  $P_1$ , w której leży przedmiot  $A_1$  (dla uproszczenia sprowadzony do jednego punktu). Na kliszy powstanie zatem (oczywiście przy spełnieniu warunków stygmatyzmu) wyraźny obraz tego przedmiotu. Obraz przedmiotu  $A_2$ , leżącego w płaszczyźnie  $P_2$ , odległej



Rys. 147

Rys. 148

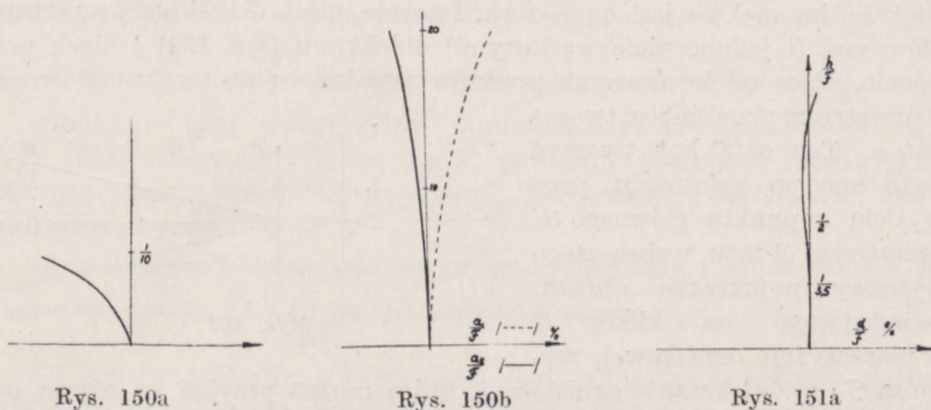
Rys. 149

od  $P_1$  o  $\delta$ , powstanie w płaszczyźnie  $P_2'$ ; na płaszczyźnie więc  $K$  promienie, wychodzące z obrazu  $A_2'$  utworzą koło o promieniu tym większym, im większa jest odległość płaszczyzn  $P_2'$  i  $K$ . Te dwie odległości są, jak wiemy, związane wzorem

$$\delta' = -\delta \frac{\mathcal{F}^2}{x^2}$$

(por. wzór 9d rozdz. IV, gdzie  $\mathcal{A} = \frac{\delta'}{\delta}$  i  $f = f' = \mathcal{F}$ ). Dla tej samej przeto odległości  $x$  przedmiotu od ogniska obiektywu,  $\delta'$  jest proporcjonalne do  $\mathcal{F}^2$ .

Budowa większości używanych obecnie obiektywów fotograficznych opiera się na rozwinięciu i udoskonaleniu pomysłu Wollastona (1812 r.) i Chevaliera



Rys. 150a

Rys. 150b

Rys. 151a

(1821 r.). Wollaston nadał soczewce obiektywu kształt meniska zbierającego, przez co znacznie zmniejszył aberrację sferyczną; przed meniskiem zaś umieścił od-



powiednią diafragmę, która, nie dopuszczając do soczewki promieni, nachylonych do osi pod większymi kątami, usuwała lub co najmniej zmniejszała astygmatyzm czysty i komę.

Chevalier uzupełnił tę soczewkę przez dublet (dwie soczewki) achromatyczny, wskutek czego zwiększył co prawda, aberację sferyczną i astygmatyzm, ale nie w takim stopniu, aby obrazy nie miały dostatecznej ostrości. Obiektyw Chevaliera, w nieco przez Rudolpha (1894 r.) zmienionej postaci, jest do dziś dnia używany w tańszych aparatach fotograficznych, z uwagi na wielki stosunkowo kąt pola widzenia (rys. 147).

W r. 1860 Wollaston zbudował obiektyw, złożony z dwóch menisków, rozmieszczonych symetrycznie względem przesłony; meniski te następnie zastąpiono przez dublety achromatyczne (rys. 148).

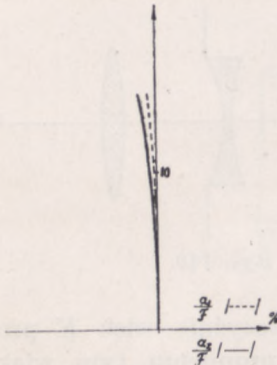
Na podobnej zasadzie oparta jest budowa obiektywu Rudolpha (1890 r.). Obiektyw ten składa się z dwóch części, z różnego gatunku szkła, symetrycznie rozmieszczonych względem diafragmy; pierwsza część jest dubletem, druga — tripletem lub dubletem. Odmienny typ stanowi obiektyw Taylora (1893 r.) złożony z trzech soczewek, dwóch zbierających i jednej rozpraszającej (rys. 149). Obiektyw ten był później wielokrotnie

naśladowany, jak np. w budowie znanego obiektywu tessar firmy Zeissa.

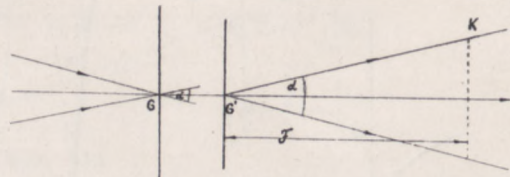
Postęp w budowie obiektywów najlepiej wyjaśniają krzywe aberacji sferycznej i astygmatyzmu obiektywu Chevaliera (rys. 150a i b) i jednego z nowych obiektywów (Merté 1934, rys. 151a i b).

W często obecnie używanych aparatach o nieziennej odległości kliszy od obiektywu używa się obiektywów o krótkiej ogniskowej. Odległość przedmiotu zdejmowanego, zazwyczaj wielokrotnie przewyższająca ogniskową, jest, praktycznie rzecz biorąc, równoważna odległości nieskończenie wielkiej.

W przypadku zdjęć przedmiotów odległych, których obraz tworzy się mniej więcej w płaszczyźnie ogniskowej, wymiary obrazu są tym większe, im większa jest ogniskowa. Istotnie, niech  $G$  i  $G'$  będą punktami głównymi (i jednocześnie węzłowymi) obiektywu (rys. 152) i niech promienie, idące od krańcowych punktów przedmiotu do punktu głównego  $G$  przestrzeni przedmiotu, tworzą kąt  $\alpha$ . Ten sam kąt tworzyć będą one po załamaniu przy wyjściu z punktu głównego  $G'$  przestrzeni obrazu, wobec czego wymiary poprzeczne obrazu, powstającego na kliszy  $K$  w płaszczyźnie ogniskowej, wyniosą  $F \cdot \alpha$ . Zwiększanie ogniskowej, którą można przyjąć za równą odległości kliszy od obiektywu, wymaga zwiększenia długości, co w przypadkach, gdy się chce otrzymać dostatecznie wielkie obrazy, (np. przy zdjęciach z samolotów), jest rzeczą niedogodną, a niekiedy wprost



Rys. 151b



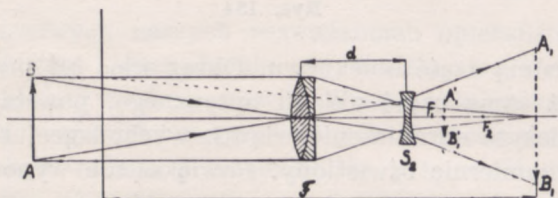
Rys. 152



niemożliwą. Trudność tę można jednak usunąć, umieszczając między obiektywem i kliszą soczewkę rozpraszającą i dobierając w ten sposób ogniskowe obu układów, aby wypadkowa odległość ogniskowa miała wartość taką, jaka jest potrzebna do otrzymania obrazu o danych rozmiarach. Niech  $\mathcal{F}_1$  oznacza ogniskową obiektywu,  $\mathcal{F}_2$  — bezwzględną wartość ogniskowej soczewki rozpraszającej. Ze wzoru 21 rozdz. IV otrzymujemy

$$\mathcal{F} = \frac{\mathcal{F}_1 \mathcal{F}_2}{\Delta} = -\frac{\mathcal{F}_1 \mathcal{F}_2}{(\mathcal{F}_1 - \mathcal{F}_2) - d},$$

gdzie  $d$  — odległość między obiektywem i soczewką. Gdy  $d$  jest nieco większe od  $\mathcal{F}_1 - \mathcal{F}_2$ , ogniskowa  $\mathcal{F}$  jest dodatnia. Płaszczyzna główna



Rys. 153

przestrzeni obrazu układu leży wtedy przed obiektywem, tym samym więc odległość obiektywu od kliszy jest mniejsza od  $\mathcal{F}$ .

Niech np.  $\mathcal{F}$  ma być równe 100 cm, wtedy wystarczy wziąć obiektyw o ogniskowej 20 cm, soczewkę rozpraszającą o ogniskowej — 5 cm i  $d = 16$  cm. Należy jednak zaznaczyć, że przez dołączenie soczewki rozpraszającej zmniejsza się stosunek rozwartości obiektywu, a co za tym idzie i siła świetlna (p. ust. 9, rozdz. IV) aparatu. W przykładzie wyżej podanym siła świetlna obiektywu wynosiła  $\frac{O}{\mathcal{F}_1} = \frac{O}{20}$ , siła świetlna po dołączeniu soczewki rozpraszającej zmniejsza się do  $\frac{O}{100}$ .

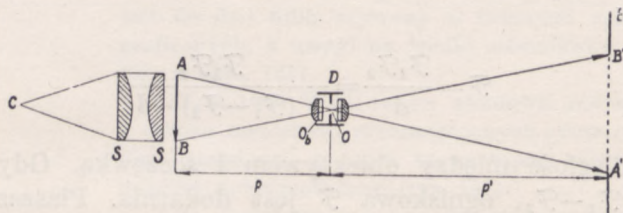
Obiektyw sam wytworzyłby obraz rzeczywisty odwrócony  $A'_1B'_1$  (rys. 153); załamanie w soczewce  $S_2$  powoduje powstanie obrazu  $A_1B_1$ , również rzeczywistego i odwróconego. Tego rodzaju układ nosi nazwę teleobiektywu.

Lee (1925 r.) zbudował teleobiektyw anastygmacyjny i ortoskopowy o stosunku rozwartości  $\frac{O}{\mathcal{F}} = \frac{1}{3}$  lub, jak się zwykle oznacza  $\frac{\mathcal{F}}{3}$ .

W przyrządach projekcyjnych (łac. proiectus — rzucony daleko) układ optyczny rzuca rzeczywisty obraz przedmiotu oświetlonego na możliwie doskonale rozpraszającą powierzchnię (rys. 154). Promienie wychodzące ze źródła światła  $C$ , o małych zazwyczaj rozmiarach, sku-



pięnie są przez układ soczewek  $SS$ , o niewielkiej stosunkowo aberacji sferycznej. Promienie te padają na przedmiot  $AB$ , którego niektóre części są przezroczyste lub przeświecające, umieszczony bezpośrednio przed układem  $SS$ , i po załamaniu w obiektywie  $O_b$ , dają odwrócony obraz  $A'B'$  nieprzezroczystych części przedmiotu na ekranie  $E$ . Przesłona  $D$  znajduje się w punkcie  $O$ , w którym powstaje obraz źródła  $C$ , wytworzony przez



Rys. 154

układ  $SS$  i przednią część obiektywu. Obraz więc tej przesłony, wytworzony przez tę samą część układu optycznego, powstaje w  $C$ , co pozwala przez należyte ograniczenie wiązki, wychodzącej ze źródła, otrzymać obraz równomiernie oświetlony. Powiększenie wynosi

$$\mathcal{P} = -\frac{y'}{y} = -\frac{p'}{p} \approx \frac{OA'}{OA}.$$

Gdy chodzi o przedmioty całkowicie nieprzezroczyste, przedmiot oświetlamy z przodu; mamy wtedy do czynienia z projekcją episkopową (gr. episkopejn — oglądać). Często przyrządy są w ten sposób budowane, aby mogły służyć do obu rodzajów projekcji; są to tzw. epidiaskopy.

Pokrewny typ przyrządów stanowią projektory, służące do oświetlania odległych przedmiotów. Najkorzystniejsze warunki otrzymuje się wtedy, gdy użyty układ optyczny daje obraz źródła światła, leżący w nieskończoności, wtedy bowiem promienie, wychodzące z projektora, tworzą walec o niezmiennym przekroju, natężenie więc światła (o ile pominiemy pochłanianie przez powietrze) nie zmienia się z odległością. Tego rodzaju warunkowi odpowiadałby punkt świetlny umieszczony w ognisku zwierciadła wklęsłego (parabolicznego, eliptycznego lub kulistego) albo układu soczewek. W praktyce jest to prawie niemożliwe do spełnienia. Zwykle przeto wychodzące promienie tworzą stożek, którego kąt wierzchołkowy (kąt rozproszenia) wyraża się, w najlepszych warunkach, wzorem

$$\operatorname{tg} \alpha = \frac{r}{\mathcal{F}},$$

gdzie  $r$  — wymiar poprzeczny źródła światła,  $\mathcal{F}$  — ogniskowa układu. W znaczniejszych odległościach oświetlenie jest takie, jak gdyby świecąca powierzchnią o tym samym blasku był otwór układu. Oświetlenie wzrasta zatem w stosunku  $\frac{D^2}{4r^2}$ , gdzie  $D$  jest średnicą otworu układu,  $2r$  — średnicą źródła. Jest to tzw. współczynnik wzmocnienia światła. Tak np. w projektorze zwierciadlanym, w którym  $D$  równe jest 150 cm, oświetlanym przez łuk elektryczny, współczynnik wzmocnienia wynosi przeszło 3 000, kąt rozproszenia  $2\alpha = 2^\circ 2'$ .

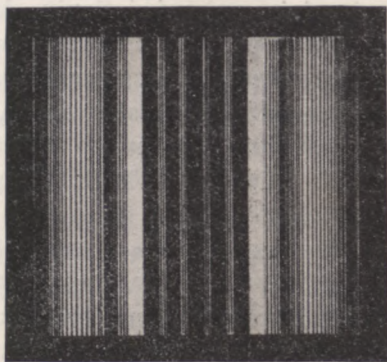


## Rozdział VII

### OKRESOWOŚĆ ZJAWISK ŚWIETLNYCH — INTERFERENCJA ŚWIATŁA

#### 1. OKRESOWOŚĆ ZJAWISK ŚWIETLNYCH

W dotychczasowych naszych rozważaniach opieraliśmy się na założeniu prostoliniowego rozchodzenia się światła, co w tych granicach dokładności, jakieśmy sobie postawili, wystarczało całkowicie do wyjaśnienia wszystkich zjawisk, rozpatrywanych w rozdziałach poprzednich. Z góry jednak było można przewidzieć, że przy dokładniejszym badaniu okaże się ono niewystarczające, najważniejsze bowiem doświadczenie, na którym założenie to się opierało, a mianowicie pomiar cienia, rzucanego na ekran przez nieprzezroczystą zasłonę, umieszczoną między ekranem i oświetlającym go źródłem światła, przy znacznym zmniejszeniu rozmiarów zasłony prowadzi do zgola odmiennych wniosków; zjawiska, zachodzące wtedy w obrębie cienia i w przylegającej do niego oświetlonej części ekranu, w żaden sposób nie dadzą się pogodzić z założeniem prostoliniowego rozchodzenia się światła wzdłuż promieni, wysyłanych przez poszczególne punkty ciała świecącego.



Rys. 155

W prostym stosunkowo przypadku, gdy zasłoną jest cienki drut, równoległy do szczeliny, wysyłającej wiązkę promieni równoległych, na ekranie otrzymujemy wewnątrz cienia geometrycznego szereg jaśniejszych od tła prążków (rys. 155). Gdy wiązka jest monochromatyczna, prążki te są tej samej barwy, co światło, wysyłane przez szczelinę i rozmieszczone w równych wzajemnych odstępach. Ze zmianą barwy światła zmienia się również i odstęp prążków, zwiększając się w miarę zbliżania się tej barwy do czerwonego końca widma, zmniejszając się zaś w miarę zbliżania się do końca fioletowego; jest on zatem największy



dla promieni czerwonych, najmniejszy dla fioletowych. Gdy drut oświetlimy źródłem, wysyłającym promienie niejednorodne, każda z barw pryzmatycznych, na które można rozszczepić światło tego źródła, wytworzy niezależne układy prążków; w obrębie każdego z tych układów odstępów prążków zachowują tę samą wartość, jaką mają, gdy innych układów nie ma.

Może się, oczywiście, zdarzyć, że w niektórych miejscach ekranu prążki różnych układów będą się nakładały jeden na drugi; barwa prążka wypadkowego będzie sumą barw prążków składowych (p. niżej, ust. 7)

Z tego rodzaju doświadczeń, wykonanych częściowo jeszcze przez Grimaldi'ego (1665 r.), a następnie o wiele bardziej szczegółowo przez Younga (1801 i nast.), można wyciągnąć następujące wnioski: 1. Promienie, przechodząc bezpośrednio koło drutu, zmieniają kierunek swego rozchodzenia się — uginają się — i wchodzą do obszaru cienia geometrycznego. 2. Ugięcie jest na ogół niewielkie, inaczej bowiem pomiary wymiarów cienia, rzucanego przez przedmioty rozciągle, nawet w przybliżeniu nie mogłyby potwierdzić założenia o prostoliniowym rozchodzeniu się światła. 3. Oświetlenie ekranu wewnątrz cienia przez promienie ugięte nie jest jednostajne, lecz zmienia się okresowo przechodząc przez maksima i minima. 4. Odstępów miejsc o największym (czy też najmniejszym) oświetleniu, które możemy wziąć za miarę tej okresowości przestrzennej, są dla każdej barwy pryzmatycznej inne. 5. Okresowość przestrzenna ujawnia się jedynie wtedy, gdy w płaszczyźnie ekranu przecinają się wiązki, ugięte z obu stron drutu, jeżeli bowiem przystawimy z boku do drutu zasłonę, która by nie dopuszczała jednej z tych wiązek do ekranu, prążków na ekranie nie otrzymamy (Young, 1803 r.).

Wynika to zresztą z faktu, że w cieniu przedmiotów rozciąglonych, gdzie wiązki ugięte przez krawędzie nie przecinają się wzajemnie, prążki nie powstają.

Ta okresowość nie tylko zresztą przestrzenna, lecz i czasowa, warunkująca wszystkie wyżej opisane zjawiska, upodabnia z formalnego, oczywiście, punktu widzenia zjawiska świetlne do akustycznych.

Gdyby istniała jedynie okresowość przestrzenna, pojedyncza wiązka promieni musiałaby w różnych miejscach przestrzeni wykazywać stale różne własności, czego, jak dotychczas, żadne doświadczenie nie wykazało (Mach).

Biorąc tę analogię, zauważoną po raz pierwszy przez Younga (1801 r.), za punkt wyjścia, Fresnel założył (1816 r.), że punkt świecący monochromatycznie jest źródłem zaburzeń okresowych, które można ująć we wzór

$$y = a \sin 2\pi \frac{t}{T} = a \sin \omega t, \quad (1)$$

gdzie  $y$  oznacza wielkość, charakteryzującą zaburzenia świetlne.



Jest to założenie, niewątpliwie, najprostsze, nie wynika stąd jednak, aby ono było jedynym możliwym. Jakimkolwiek wszakże innym założeniem chcielibyśmy je zastąpić, będziemy zmuszeni zawsze to nowe założenie dobrać tak, aby zdawało sprawę z okresowości zjawisk świetlnych, stanowiącej, jak widzimy, istotną ich cechę.

Ponieważ zaburzenia te rozchodzą się z prędkością skończoną, w odległości  $x$  od źródła, mierzonej w kierunku rozchodzenia się zaburzeń, wielkość  $y$  będzie miała w chwili  $t$  wartość

$$y_x = a_x \sin 2\pi \left( \frac{t}{T} - \frac{x}{cT} \right) = a_x \sin (\omega t - \omega' x) \quad (1a)$$

(p. M. Grotowski, Wykłady fizyki, tom II, str. 4).

Wprowadzając tę samą terminologię, jakiej używaliśmy przy omawianiu drgań sprężystych, nazwiemy

$$cT = \lambda$$

długością fali wysyłanego przez źródło światła, wielkość zaś

$$2\pi \frac{x}{cT} = 2\pi \frac{x}{\lambda} = \omega' x = \delta$$

fazą początkową rozpatrywanego zaburzenia (p. M. Grotowski, Wykłady fizyki tom I, str. 50 i 52).

Wprowadzenie tej terminologii bynajmniej nie oznacza, abyśmy zaburzenia świetlne uważali za zjawisko analogiczne pod względem fizycznym do drgań sprężystych. Jediną wspólną cechą tych dwóch dziedzin zjawisk jest ich okresowość czasowa i przestrzenna.

Powstawanie prążków jaśniejszych na ciemnym tle będzie w tym ujęciu rzeczy wynikiem spotkania się w danym punkcie ekranu dwóch zaburzeń o fazach zgodnych, a więc będzie znanym nam już z badań nad drganiami sprężystymi zjawiskiem interferencji, przy czym, podobnie, jak tam, miarą natężenia światła w danym punkcie ekranu będzie kwadrat amplitudy wypadkowej.

Wielkość  $y$  może być wtedy równie dobrze wielkością skalarną, jak i wektorem, w tym ostatnim jednak przypadku powstanie interferencji wymaga dodatkowego warunku, aby w danym miejscu przestrzeni kierunki wektorów interferujących były mniej więcej zgodne. Warunek ten w wyżej opisanym doświadczeniu, gdzie promienie interferujące przecinają się pod niewielkimi kątami, można uważać za spełniony.

Między prążkami jasnymi będą, rzecz prosta, leżały prążki zupełnie ciemne, powstające ze spotkania się zaburzeń o fazach przeciwnych; w punktach pośrednich ekranu będą spotykały się promienie, których fazy różniły się będą o kąty  $\varphi$ , zawarte w granicach między  $2k\pi$



i  $(2k+1) \cdot \pi$ , oświetlenie zatem będzie stopniowo przechodziło od maksimum do minimum, co istotnie znajduje potwierdzenie w doświadczeniu.

Odstępy między prążkami są, jak o tym wyżej była mowa, dla każdej barwy pryzmatycznej inne, wobec czego musimy przyjąć, że światłu każdej takiej barwy odpowiada inny okres  $T$  a więc i inna długość fali; długość ta ma tę samą wartość, zarówno wtedy, gdy źródło wysyła tylko światło tej barwy (źródło monochromatyczne), jak i wtedy, gdy wysyła poza tym światło innych barw, układ bowiem prążków, odpowiadających danej barwie, pozostaje, jakeśmy widzieli, w obu przypadkach ten sam. A zatem zaburzenie świetlne, odpowiadające danej barwie złożonej, możemy ująć we wzór

$$y = \sum a_i \sin 2\pi \frac{t}{T_i}. \quad (1b)$$

Pojęcie powierzchni falowej któreśmy wprowadzili w ust. 3 rozdz. II i którym posługiwaliśmy się niejednokrotnie w rozdziałach poprzednich, nabiera przy tym założeniu znaczenia fizycznego; jak wynika z twierdzenia Malusa, jest ona, podobnie jak czoło fal w środowiskach sprężystych (p. M. Grotowski. Wykłady fizyki, tom II, rozdz. I, ust. 1), prostopadła do kierunku rozchodzenia się zaburzeń i wobec tego miejscem geometrycznym zaburzeń o jednakowej fazie.

Takie pojmowanie fal świetlnych pierwszy wprowadził do fizyki Huygens (1690 r.), z tego też tytułu uważany jest za twórcę tzw. falowej (undulacyjnej — łac. unda — fala) teorii światła.

Warunek stygmatyzmu powierzchni odbijających czy załamujących (p. rozdz. II, ust. 4 rys. 30) sprowadza się do tego, aby w punkcie  $A'$  — obrazie punktu świecącego  $A$  — wszystkie zaburzenia, wysyłane przez punkt  $A$  i przechodzące przez badany układ, schodziły się w tej samej fazie, dla wszystkich bowiem promieni przecinających się w  $A'$ , powierzchnią falową w ostatnim środowisku musi być kula o środku w punkcie  $A'$ . Ponieważ powierzchnia ta jest powierzchnią jednakowej fazy wszystkich przechodzących przez układ zaburzeń, zaburzenia te będą miały w  $A'$  fazę jednakową.

Niech  $x_1, x_2, \dots, x_n$  oznaczają długości dróg, jakie światło przechodzi w badanych środowiskach w kierunku, tworzącym w pierwszym środowisku kąt  $u$  z osią optyczną. Jednorodne zaburzenie świetlne, dochodzące z tego właśnie kierunku do  $A'$ , będzie miało w chwili  $t$  wartość

$$y_u = a_u \sin \frac{2\pi}{T} \left[ t - \left( \frac{x_1}{c_1} + \frac{x_2}{c_2} + \dots + \frac{x_n}{c_n} \right) \right], \quad (a)$$

gdzie  $c_1, c_2, \dots, c_n$  oznaczają prędkości rozchodzenia się światła w tych środowiskach.



Zaburzenie zaś, biegnące w kierunku, tworzącym w pierwszym środowisku kąt  $u'$  z osią będzie

$$y_w = a_w \sin \frac{2\pi}{T} \left[ t - \left( \frac{x'_1}{c_1} + \frac{x'_2}{c_2} + \dots + \frac{x'_n}{c_n} \right) \right] \text{ itd.}$$

Warunek więc zgodności faz wszystkich zaburzeń, schodzących się w  $A'$  wyrazi się wzorem

$$\begin{aligned} \frac{x_1}{c_1} + \frac{x_2}{c_2} + \dots + \frac{x_n}{c_n} &= \frac{x'_1}{c_1} + \frac{x'_2}{c_2} + \dots + \frac{x'_n}{c_n} = \\ &= \dots = \frac{x_1^{(n)}}{c_1} + \frac{x_2^{(n)}}{c_2} + \dots + \frac{x_n^{(n)}}{c_n} = \text{stałej.} \end{aligned} \quad (b)$$

Upřednio jednak (w rozdz. II, ust. 4) warunek ten wyraziliśmy wzorem

$$L_{AA'} = n_1 r_1 + n_2 r_2 + \dots + n_n r_n = \text{stałej,}$$

w którym  $r_1, r_2, \dots, r_n$  mają to znaczenie, co  $x_1, x_2, \dots, x_n$  we wzorze (b). Jeżeli oba te wzory mają wyrażać ten sam warunek, współczynniki załamania muszą być odwrotnie proporcjonalne do odpowiednich prędkości  $c_1, c_2, \dots, c_n$ .

$$n_1 = \frac{k}{c_1}; \quad n_2 = \frac{k}{c_2} \dots n_n = \frac{k}{c_n}. \quad (c)$$

Wartości zatem względnych współczynników załamania byłyby równe

$$n_{1,2} = \frac{c_1}{c_2}; \quad n_{2,3} = \frac{c_2}{c_3} \dots \dots \dots \text{ itd.}$$

Biorąc pod uwagę, że bezwzględny współczynnik załamania danego środowiska jest w istocie rzeczy współczynnikiem załamania danego środowiska względem próżni i oznaczając prędkość rozchodzenia się światła w próżni przez  $c$ , otrzymujemy

$$n_1 = \frac{c}{c_1}; \quad n_2 = \frac{c}{c_2}. \quad (2)$$

Bezpośrednie sprawdzenie słuszności tego wniosku nastęrcza, jak na to pierwszy zwrócił uwagę Gouy (1880 r.), pewne trudności. Nigdy bowiem, ściśle biorąc, nie mamy do czynienia ze światłem całkowicie jednorodnym. Nawet wtedy, gdy źródło wysyła widmo liniowe (p. rozdz. III,



ust. 5), światłu każdej poszczególnej linii odpowiadają długości fal zawarte w granicach  $\lambda$  i  $\lambda + \Delta\lambda$  (patrz niżej, ustęp 8); tym bardziej, rzecz prosta, nie jest jednorodna wiązka promieni, wydzielona z widma pryzmatycznego przez wąską szczelinę.

Przypuścimy, że w danym kierunku rozchodzą się dwa tylko rodzaje zaburzeń jednorodnych o tych samych amplitudach i o kołowych częstościach zmian, równych odpowiednio  $\omega + \Delta\omega$  i  $\omega - \Delta\omega$  oraz  $\omega' + \Delta\omega'$  i  $\omega' - \Delta\omega'$ , a więc różniących się bardzo mało od pewnych częstości przeciętnych  $\omega$  i  $\omega'$ . Zaburzenie wypadkowe w odległości  $x$  od źródła wyrazi się wtedy wzorem (p. M. Grotowski, Wykłady fizyki tom II, ust. 5)

$$y = y_1 + y_2 = a \{ \sin [(\omega + \Delta\omega)t - (\omega' + \Delta\omega')x] + \sin [(\omega - \Delta\omega)t - (\omega' - \Delta\omega')x] \} = \\ = 2a \cos(\Delta\omega \cdot t - \Delta\omega' \cdot x) \cdot \sin(\omega t - \omega' x);$$

zjawisko zatem zachodzić będzie tak, jak gdyby amplituda nie miała wartości stałej, lecz zmieniała się okresowo z częstością kołową  $\Delta\omega$ . W chwili  $t$  największe wartości amplitud danego ciągu fal będą rozmieszczone w odległościach  $x_m$ , wyznaczonych z równania

$$\cos(\Delta\omega \cdot t - \Delta\omega' \cdot x_m) = \pm 1$$

lub

$$\Delta\omega \cdot t - \Delta\omega' \cdot x_m = m\pi. \quad (d)$$

Równanie (d) musi być spełnione przy każdej wartości  $t$ , po upływie zatem  $t_1$  sek m-te maksimum przesunie się do odległości  $x'_m$ , związanej z  $t_1$  równaniem

$$\Delta\omega(t + t_1) - \Delta\omega' x'_m = m\pi,$$

skąd

$$\frac{x'_m - x_m}{t_1} = \frac{\Delta\omega}{\Delta\omega'}.$$

Prędkość więc przesuwania się maksimum amplitudy będzie stała i równa

$$U = \frac{\Delta\omega}{\Delta\omega'} = \Delta \left( \frac{2\pi}{T} \right) : \Delta \left( \frac{2\pi}{c'T} \right) = \Delta \left( \frac{1}{T} \right) : \Delta \left( \frac{1}{c'T} \right) \quad (3)$$

Musimy przeto rozróżniać w tym przypadku dwojakiego rodzaju prędkości: prędkość rozchodzenia się poszczególnych fal składowych, dla każdej długości fali w granicach danego ciągu inną,  $c'(\lambda)$  tzw. prędkość fazy i prędkość rozchodzenia się maksimum amplitudy danego ciągu fal  $U$  tzw. prędkość grupy, posiadającą dla danego ciągu ściśle oznaczoną wartość.



Zakładając, że częstości graniczne nieograniczenie mało różnią się od częstości  $\omega$  i  $\omega'$ , możemy we wzorze (3) różnice zastąpić przez różniczki

$$U = d\left(\frac{1}{T}\right) : d\left(\frac{1}{e'T}\right)$$

lub uwzględniając, że

$$\frac{1}{T} = \frac{c'}{\lambda'} \quad \text{i} \quad c'T = \lambda'$$

$$U = d\left(\frac{c'}{\lambda'}\right) : d\left(\frac{1}{\lambda'}\right) = c' - \lambda' \frac{dc'}{d\lambda'}, \quad (3a)$$

gdzie  $c'$  i  $\lambda'$  oznaczają prędkość fazy i długość fali w danym środowisku.

Z założeń naszych wynika, że

$$c = nc' \quad \text{i} \quad \lambda' = \lambda \frac{c'}{c} = \lambda \cdot \frac{1}{n}, \quad (4)$$

gdzie  $c$  i  $\lambda$  oznaczają prędkość fazy i długości fali w próżni.

Stąd otrzymujemy

$$0 = c'dn + ndc' \quad \text{i} \quad dc' = -\frac{c'}{n} dn \quad \text{oraz} \quad d\lambda' = \frac{d\lambda}{n} - \lambda \frac{dn}{n^2} = \frac{d\lambda}{n} \left(1 - \frac{\lambda}{n} \frac{dn}{d\lambda}\right).$$

Po podstawieniu do wzoru (3a) mamy

$$U = c' + c'\lambda' \frac{dn}{d\lambda} \cdot \frac{1}{1 - \frac{\lambda}{n} \frac{dn}{d\lambda}} = c' \left(1 + \frac{\lambda}{n} \frac{dn}{d\lambda} \cdot \frac{1}{1 - \frac{\lambda}{n} \frac{dn}{d\lambda}}\right).$$

Mianownik

$$1 - \frac{\lambda}{n} \frac{dn}{d\lambda}$$

ma wartość tak mało różniącą się od jedności, że możemy bez popełnienia wielkiego błędu napisać

$$U = c' \left(1 + \frac{\lambda}{n} \frac{dn}{d\lambda}\right) \quad (5)$$

(Gouy, 1880 r., Rayleigh, 1881 r.).

W pomiarach prędkości rozchodzenia się światła wyznaczamy zawsze chwilę odczuwania wrażenia świetlnego, a więc chwilę pojawiania się maksimum amplitudy; mierzona prędkość jest przeto prędkością grupy,



nie fazy. W środowiskach mało rozszczepiających, jak np. w powietrzu, gdzie  $\frac{dn}{d\lambda}$  jest znikomo małe, (a nawet i w wodzie), różnice prędkości są tak niewielkie, że przy niezbyt daleko posuniętej dokładności pomiaru leżą w granicach błędu doświadczenia. Tym się tłumaczy, że Foucault, który pierwszy (1850 r.), z mniejszą jednak dokładnością, niż jego następcy, wykonał ten pomiar, posługując się metodą zwierciadła, znalazł, umieszczając między zwierciadłem wirującym i nieruchomym słup wody i obserwując jednoczesne przesunięcia się obrazów, wytworzonych przez promienie, których cała droga przebiegała w powietrzu, i przez promienie, których znaczna część drogi przebiegała w wodzie, że stosunek prędkości rozchodzenia się światła w powietrzu i w wodzie równy jest w przybliżeniu współczynnikowi załamania wody w najjaśniejszej części widma, a więc 1,33.

Inaczej jednak będzie, gdy przy użyciu dokładniejszych sposobów pomiaru mierzyć się będzie prędkość światła w środowiskach silnie rozszczepiających. Wtedy okaże się, że stosunek prędkości rozchodzenia się światła w próżni (lub powietrzu) do prędkości, otrzymanej z pomiaru w danym środowisku, jest większy od współczynnika załamania. Mierzona bowiem prędkość jest prędkością mniejszą od prędkości fazy (we wzorze (5)  $\frac{dn}{d\lambda}$  jest ujemne). Wniosek ten potwierdziły wykonane przez Michelsona (1884 r.) pomiary prędkości światła w dwusiarczku węgla, w którym dla promieni bliskich linii  $D$

$$\frac{\lambda}{n} \frac{dn}{d\lambda} \approx -0,08$$

(dla wody wielkość ta jest przeszło cztery razy mniejsza).

Używając tak jak Foucault, światła białego, Michelson znalazł, że stosunek prędkości w próżni i prędkości w dwusiarczku węgla wynosi 1,77, przewyższając wartość współczynnika załamania najjaśniejszej części widma, równą 1,63, o 0,14, a zatem o 8%, co jest w dobrej zgodzie z założeniami teoretycznymi.

Dokładne sprawdzenie wzoru Gouy'a-Rayleigh'a wykonał Gutton (1911 r.), otrzymując wyniki, całkowicie wzór ten potwierdzające.

Pośrednie potwierdzenie słuszności założeń Fresnela znajdziemy przy dokładniejszym rozpatrzeniu zjawisk interferencji i uginania się światła.

## 2. ZWIERCIADŁO FRESNELA. ZABURZENIA OPTYCZNIE SPÓJNE

Jeden z prostszych sposobów otrzymania zjawisk interferencji podał Fresnel w 1816 r. Na dwa płaskie zwierciadła,  $Z_1, Z_2$  (rys. 156), których



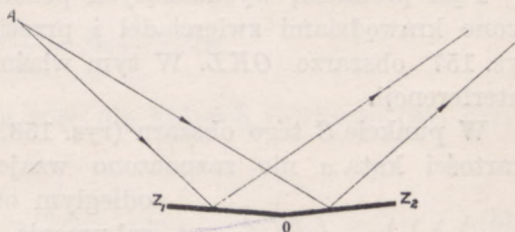
plaszczyny tworzą ze sobą niewielki kąt  $\alpha$ , pada światło jednorodne, wychodzące z punktu świecącego  $A$ .

Takim punktem świecącym może być np. otwór, przekłuty igłą w tekturowej lub metalowej zasłonie i oświetlony płomieniem gazowym, do którego wprowadzona jest szczypta soli kuchennej. Światło wysyłane przez otwór, możemy z dokładnością, wystarczającą całkowicie przy tym pomiarze, uważać za jednorodne (por. ust. 8).

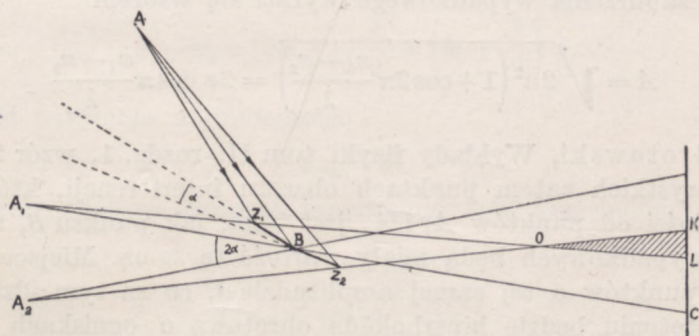
W zwierciadłach powstaną wtedy dwa urojone obrazy  $A_1$  i  $A_2$ , których odległość kątowa wynosić będzie  $2\alpha$ .

Niech  $ABC$  będzie jednym z promieni, odbitych od zwierciadła  $Z_1$  (rys. 157), droga optyczna  $AB$  jest, jak wiemy, geometrycznie równa drodze

$A_1B$ , wobec czego, jeżeli odbicie od zwierciadła nie wprowadza żadnej zmiany fazy, faza zaburzenia w  $B$  ma tę samą wartość zarówno wtedy, gdy źródłem światła jest  $A$ , jak i wtedy, gdy —  $A_1$ . Możemy zatem zastąpić w naszych rozważaniach punkt  $A$  obrazem jego  $A_1$  i przyjąć, że zaburzenia wychodzą nie z  $A$ , lecz z  $A_1$ , posiadając zawsze tę samą fazę, co zaburzenia, wychodzące z  $A$ . Punkty  $A$  i  $A_1$  są wtedy synchronicznymi źródłami światła (gr. syn — razem z czym, wspólnie). Jeżeli jednak odbicie powoduje zmianę fazy, wtedy zastępując



Rys. 156



Rys. 157

punkt  $A$  punktem  $A_1$ , musimy zaburzeniom, wychodzącym pozornie z tego punktu przypisać fazę, różniącą się od fazy zaburzeń, wysyłanych przez  $A$ , o pewną stałą wielkość  $\delta$ .

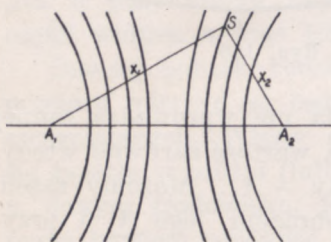
Podobnie rzecz się ma z obrazem  $A_2$ : albo jest on źródłem synchronicznym z  $A$  albo też faza wychodzących z niego pozornie zaburzeń różni się o pewną stałą wielkość  $\delta'$  od fazy zaburzeń, wychodzących z  $A$ . Po-



nieważ jednak odbicie od obu zwierciadeł zachodzi w tych samych warunkach,  $\delta$  musi być równe  $\delta'$ . Więc i w pierwszym przypadku (gdy  $A_1$  i  $A_2$  są źródłami synchronicznymi z  $A$ ), i w drugim, (gdy fazy pozornie przez nie wysyłanych zaburzeń różnią się o stałą wielkość od faz zaburzeń, wysyłanych przez  $A$ ),  $A_1$  i  $A_2$  są źródłami wzajemnie synchronicznymi.

Pęki promieni, wychodzących pozornie z tych punktów, są ograniczone krawędziami zwierciadeł i przecinają się w zakreskowanym na rys. 157 obszarze  $OKL$ . W tym właśnie obszarze zachodzą zjawiska interferencji.

W punkcie  $S$  tego obszaru (rys. 158, na którym wobec małej bardzo wartości kąta  $\alpha$  nie zaznaczono wzajemnego nachylenia zwierciadeł), odległym od punktów  $A_1$  i  $A_2$  o  $x_1$  i  $x_2$ , zaburzenia składowe będą odpowiednio równe



Rys. 158

$$y_1 = a \sin \left( 2\pi \frac{t}{T} + \delta - 2\pi \frac{x_1}{\lambda} \right),$$

$$y_2 = a \sin \left( 2\pi \frac{t}{T} + \delta - 2\pi \frac{x_2}{\lambda} \right),$$

gdzie  $\delta$  — faza początkowa zaburzeń wysyłanych z  $A_1$  i  $A_2$ . Wobec tego amplituda zaburzenia wypadkowego wyrazi się wzorem

$$A = \sqrt{2a^2 \left( 1 + \cos 2\pi \frac{x_1 - x_2}{\lambda} \right)} = 2a \cos \pi \frac{x_1 - x_2}{\lambda} \quad (6)$$

(por. M. Grotowski, Wykłady fizyki tom II, rozdz. 1, wzór 20b).

We wszystkich zatem punktach obszaru interferencji, których różnica odległości od punktów  $A_1$  i  $A_2$  jest taka, jak punktu  $S$ , amplitudy zaburzeń wypadkowych będą miały wartość tę samą. Miejscem geometrycznym punktów o tej samej amplitudzie i, co za tym idzie, o tym samym natężeniu będzie hiperboloida obrotowa o ogniskach w punktach  $A_1$  i  $A_2$ , której wszystkie punkty powierzchni czyniły będą zadość równaniu

$$x_1 - x_2 = C = k \frac{\lambda}{2}, \quad (6a)$$

gdzie  $k$  jest dowolną liczbą całkowitą lub ułamkową.

Zmieniając w sposób ciągły wartość  $k$ , otrzymamy nieskończenie wiele tego rodzaju hiperboloid współogniskowych. Spośród nich wyróż-



niać się będą te, dla których  $k$  jest zerem lub jakąkolwiek liczbą całkowitą. Hiperboloidy o  $k=2m$ , gdzie  $m$  jest równe zeru lub jakiejkolwiek liczbie całkowitej, będą miejscem geometrycznym punktów o natężeniu największym, w punktach bowiem ich powierzchni spotykają się zaburzenia składowe o fazach jednakowych lub różniących się o wielokrotność  $2\pi$ ; tak np. dla  $k=2$ , a więc dla  $x_1 - x_2 = \lambda$  różnica faz wynosi

$$2\pi \frac{x_1}{\lambda} - 2\pi \frac{x_2}{\lambda} = 2\pi \frac{\lambda}{\lambda} = 2\pi.$$

Hiperboloidy o  $k$  nieparzystym, a więc dla których równanie (6a) przybiera postać

$$x_1 - x_2 = (2m + 1) \frac{\lambda}{2}, \quad (6b)$$

gdzie  $m$  może być zerem lub dowolną liczbą całkowitą, wyznaczają położenie punktów o natężeniu najmniejszym.

Podstawiając do wzoru (6)

$$x_1 - x_2 = 2m \cdot \frac{\lambda}{2} = m\lambda, \quad (6c)$$

na wartość natężenia największego otrzymujemy

$$I_{\max} = A_{\max}^2 = 4a^2, \quad (7)$$

podstawiając zaś

$$x_1 - x_2 = (2m + 1) \frac{\lambda}{2} = \left(m + \frac{1}{2}\right) \lambda, \quad (6d)$$

na wartość natężenia najmniejszego

$$I_{\min} = 0. \quad (7a)$$

Między tymi dwiema grupami hiperboloid leżą hiperboloidy o natężeniach

$$I = 4a^2 \cos^2 \pi \frac{x_1 - x_2}{\lambda}, \quad (7b)$$

stopniowo przechodzących od wartości  $4a^2$  do wartości zero.

Miejsce geometryczne punktów obszaru interferencyjnego, mających stale fazy jednakowe, wyznaczymy ze wzoru

$$\begin{aligned} y = y_1 + y_2 &= a \sin 2\pi \left( \frac{t}{T} - \frac{x_1}{\lambda} \right) + a \sin 2\pi \left( \frac{t}{T} - \frac{x_2}{\lambda} \right) = \\ &= 2a \cos \pi \frac{x_1 - x_2}{\lambda} \cdot \sin 2\pi \left( \frac{t}{T} - \frac{x_1 + x_2}{2\lambda} \right). \end{aligned}$$



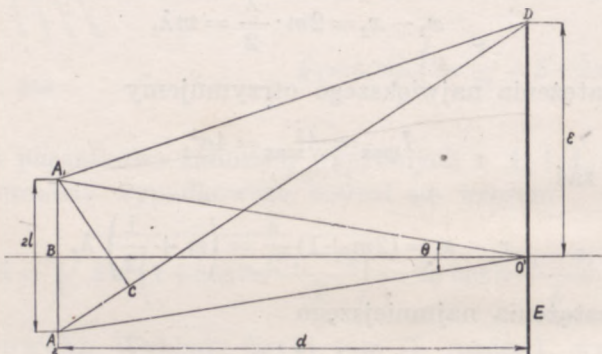
Faza zaburzenia wypadkowego jest opóźniona względem fazy źródeł o  $\frac{x_1+x_2}{\lambda}$ . Miejscem geometrycznym punktów o tej samej fazie są tedy powierzchnie elipsoid obrotowych, mających ogniska w punktach  $A_1$  i  $A_2$  i wyznaczanych równaniem

$$x_1+x_2=\text{stałej} \cdot 2\lambda$$

(p. rys. 158).

Elipsoidy te są przecinane przez hiperboloidy o natężeniu równym zeru. Rozchodzeniu się więc światła towarzyszyć będzie stopniowe przesuwanie się odcinków elipsoid między ścianami tych hiperboloid, tworzących jakby kanał. W jaki sposób wobec tego do dowolnego punktu obszaru interferencji dochodzą zaburzenia z obu źródeł nie łatwo wyjaśnić. Należy przypuszczać, że w punktach hiperboloid o natężeniu najmniejszym, leżących w niejednakowych odległościach od źródeł, amplitudy mają też niejednakowe wartości, skutkiem czego  $I_{\min}$  nie jest dokładnie równe zeru i hiperboloidy, odpowiadające temu natężeniu, nie stanowią dla światła zasłon doskonale nieprzezroczystych. Światło „przesącza się” przez nie, jak woda przez napięte półprzepuszczalne przepony.

Tego rodzaju rozkład natężeń można dogodnie obserwować, umieszczając w obszarze interferencji ekran, prostopadły do dwusiecznej kąta, jaki tworzą proste, łączące punkty  $A_1$  i  $A_2$  z punktem przecięcia się płaszczyzn zwierciadeł.



Rys. 159

Niech  $E$  (rys. 159, z którego dla jasności usunęliśmy zwierciadło) będzie ekranem,  $d$  niech oznacza jego odległość od źródeł,  $2l$  — odległość wzajemną źródeł. Ekran przecina hiperboloidy wzdłuż hiperbol, których krzywizna wobec znacznej na ogół w porównaniu z długością fali światła odległości ekranu od źródeł jest dostatecznie mała, aby łuki ich można było uważać za odcinki prostoliniowe, prostopadłe do linii łączącej źródła i tym samym do płaszczyzny rysunku. Na ekranie tworzą się prążki zupełnie ciemne i bardzo jasne. W punkcie  $O'$ , leżącym na dwusiecznej  $O'B$  powstaje prążek jasny, w tym bowiem punkcie, jednakowo odległym od obu źródeł, zaburzenia wypadkowe spotykają się zawsze w tej samej fazie.



Może się jednak zdarzyć, że dwusieczna  $O'B$  znajdzie się poza obszarem interferencji; jest to możliwe np. wtedy, gdy jedno ze zwierciadeł nieco występuje przed drugie. Wtedy na ekranie nie będzie wcale prążka środkowego.

W punkcie  $D$  ekranu różnicę dróg zaburzeń składowych, którą z wystarczającym przybliżeniem możemy przyjąć za równą  $A_2C$ , ( $A_1C$  jest prostopadłą, opuszczoną z  $A_1$  na  $A_2D$ ), wyznaczymy ze wzoru

$$A_2C = A_2D - A_1D = \sqrt{d^2 + (l + \varepsilon)^2} - \sqrt{d^2 + (l - \varepsilon)^2}.$$

W porównaniu z odległością  $d$  ekranu od źródeł  $l + \varepsilon$  i  $l - \varepsilon$  są bardzo małe, możemy więc napisać

$$A_2C = d \left[ 1 + \frac{(l + \varepsilon)^2}{d^2} \right]^{\frac{1}{2}} - d \left[ 1 + \frac{(l - \varepsilon)^2}{d^2} \right]^{\frac{1}{2}} = \frac{2l}{d} \varepsilon.$$

W punktach, dla których różnica ta wynosi całkowitą ilość fal, a więc dla których

$$\frac{2l}{d} \varepsilon = m\lambda$$

(por. wzór 6c) i

$$\varepsilon = \frac{md}{2l} \lambda, \quad (8)$$

natężenie ma wartość największą; prążki jasne są przeto odległe od środkowego jasnego prążka w  $O'$  o

$$\frac{d}{2l} \lambda, \quad \frac{2d}{2l} \lambda, \quad \frac{3d}{2l} \lambda \quad . \quad . \quad . \quad . \quad .$$

Ich odległości wzajemne są równe

$$p = \frac{d}{2l} \lambda, \quad (8a)$$

prążki są zatem rozmieszczone równomiernie na ekranie.

Oznaczmy przez  $\Theta$  kąt, pod jakim z punktu  $O'$  widzimy prostą, łączącą oba źródła; mamy

$$\Theta = \frac{2l}{d},$$

skąd

$$p = \frac{\lambda}{\Theta}. \quad (8b)$$



W punktach, dla których

$$\frac{2l}{d} \varepsilon = \left(m + \frac{1}{2}\right) \lambda$$

(por. wzór 6d) i

$$\varepsilon = \frac{m + \frac{1}{2}}{2l} d \cdot \lambda,$$

powstają prążki ciemne.

Odległości kolejnych prążków ciemnych od jasnego prążka w  $O'$  są odpowiednio równe

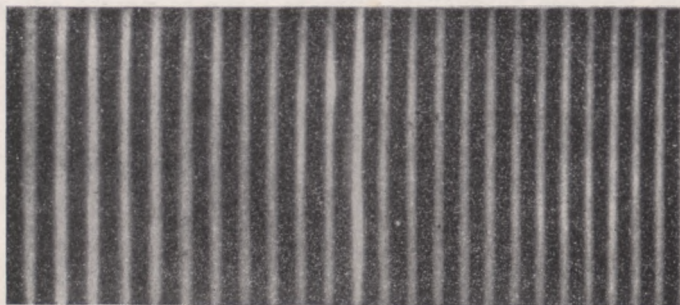
$$\frac{d}{4l} \lambda, \quad \frac{3d}{4l} \lambda, \quad \frac{5d}{4l} \lambda, \quad \dots$$

wzajemne więc ich odległości, wynoszące

$$p_1 = \frac{d}{2l} \lambda,$$

są równe odległościom wzajemnym prążków jasnych; prążki ciemne leżą dokładnie w środku między prążkami jasnymi.

Rozkład prążków schematycznie przedstawia rys. 160.



Rys. 160

Prążki powstają w każdej odległości ekranu od źródeł, byle by tylko ekran znajdował się w obszarze interferencji; nie są więc umiejscowione; w miarę wzrostu odległości  $d$  ekranu od źródeł wzrasta zarówno odstęp między prążkami, jak i ich grubość.

Przypuśćmy, że ekran znajduje się w odległości  $d=2$  m od linii  $A_1A_2$ , punkt zaś świecący  $A$  w odległości 1 m od punktu  $O$  przecięcia się linii zetknięcia zwierciadeł z płaszczyzną rysunku. Chodzi o wyznaczenie wartości kąta  $\alpha$ , przy której



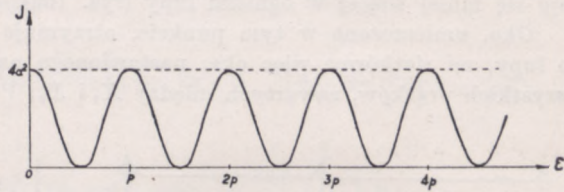
odstęp prążków  $p$  wynosiłby przy użyciu światła sodu ( $\lambda = 0,000\ 589\ \text{mm}$ )  $0,5\ \text{mm}$ . Po podstawieniu do wzoru (8a)  $p = 0,5\ \text{mm}$ ,  $d = 2000\ \text{mm}$  i  $\lambda = 0,000\ 589\ \text{mm}$  znajdujemy, że  $2l \approx 2,36\ \text{mm}$ . Stąd

$$a = \frac{l}{OA} = \frac{1,18}{1000} = 0,001\ 18 \approx 4'.$$

Oświetlenie ekranu, proporcjonalne do natężenia padającego nań światła, jest, jak wiemy, w danym punkcie ekranu proporcjonalne do

$$4a^2 \cos^2 \pi \frac{x_1 - x_2}{\lambda} = 4a^2 \cos^2 \pi \cdot \frac{2l}{d} \cdot \frac{\varepsilon}{\lambda} = 4a^2 \cos^2 \pi \frac{\varepsilon}{p}. \quad (9)$$

Odkładając na osi odciętych odległości  $\varepsilon$  danych punktów obszaru od prążka środkowego, na osi rzędnych odpowiednie natężenie, otrzymamy krzywą, wyznaczającą rozkład oświetlenia ekranu (rys. 161). Całkowita ilość światła, jaką otrzymuje ekran, jest równa tej ilości, jaką by otrzymał, gdyby interferencji nie było, przeciętna bowiem wartość natężenia

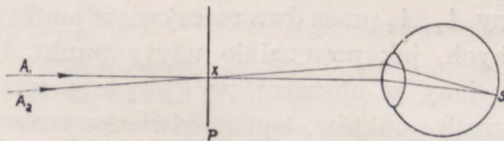


Rys. 161

dla punktów, leżących między prążkiem ciemnym i jasnym, wynosi  $2a^2$ . Interferencja zmienia zatem jedynie rozkład padającego na ekran strumienia światła. Rozkład ten jest tego rodzaju, że, jak to już parokrotnie zaznaczaliśmy, przejście od maksimum do minimum zachodzi przy zmianie  $\varepsilon$  stosunkowo wolno, prążki więc nie mają wyraźnych granic.

Można je widzieć i bez pomocy ekranu, nastawiając oko na jakąkolwiek płaszczyznę, prostopadłą do osi symetrii  $OO'$  obrazu interferencyjnego i leżącą w obszarze interferencji.

Dla ułatwienia akomodacji dobrze jest położenie tej płaszczyzny zaznaczyć umieszczeniem w niej jakiegoś przedmiotu np. niewielkiej ramki, prążki wtedy leżą wewnątrz ramki.



Rys. 162

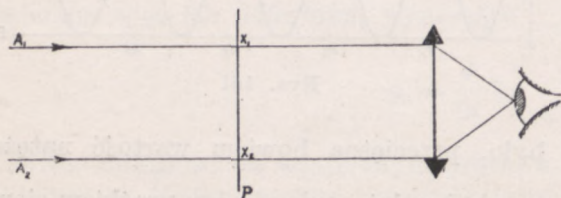
Założenia Fresnela pozwalają wyjaśnić bez trudu i to zjawisko. Niech  $P$  będzie płaszczyzną, na którą oko jest nastawione,  $X$  — miejscem odpowiedniego prążka, utworzonego przez interferencję promieni wychodzących z odległych na ogół punktów  $A_1$  i  $A_2$  (rys. 162). Zgodnie z zasadą niezależności małych zaburzeń (p. M. Groto wski, Wykłady



fizyki tom II, str. 44), którąśmy zresztą i w poprzednich naszych wywodach się posługiwali, promienie  $A_1X$  i  $A_2X$  po przecięciu się w  $X$  przechodzą się dalej, zachowując wszystkie swoje poprzednie własności, i przecinają się po raz drugi w punkcie  $S$  siatkówki oka, będącym obrazem punktu  $X$  płaszczyzny  $P$ . Z rozważań ust. 4 rozdz. II, opartych na twierdzeniu Malusa, wynika, że drogi optyczne obu promieni od  $X$  do  $S$  są jednakowe, wobec czego spotykają się one w  $S$  z tą samą różnicą faz, co w punkcie  $X$ ; jeżeli więc w  $X$  był prążek jasny, w  $S$  powstanie również prążek jasny.

Dogodniej jest jednak używać do tej obserwacji lupy. Promienie, interferujące, wychodząc z punktów bardzo (w stosunku do ogniskowej lupy) odległych, przecinają się mniej więcej w ognisku lupy (rys. 163).

Oko, umieszczone w tym punkcie, otrzymuje wszystkie promienie, wchodzące do lupy, na siatkówce więc oka, nastawionego na płaszczyznę  $P$ , powstają obrazy **wszystkich** prążków, zawartych między  $X_1$  i  $X_2$ . Ponieważ średnica źrenicy oka jest



Rys. 163

mniejsza od średnicy lupy, przy obserwacji okiem nieuzbrojonym widzimy mniejszą, niż przy użyciu lupy część płaszczyzny  $P$  i tym samym, mniejszą ilość prążków. Poza tym lupa pozwala dość stosunkowo dokładnie zmierzyć odstęp prążków. Do tych pomiarów używa się zazwyczaj lupy Fresnela, schematycznie

przedstawionej na rys. 163. Lupę tę, zaopatrzoną w krzyż z nitek pajęczych, służący do ustalenia płaszczyzny  $P$ , można przy pomocy śruby mikrometrycznej przesuwając w kierunku prostopadłym do prążków i w ten sposób mierzyć odstęp między nimi.

Prążki interferencyjne powstają wszakże tylko wtedy, gdy punkty  $A_1$  i  $A_2$  są obrazami rzeczywistego punktu świecącego  $A$ . Jeżeli usuniemy zwierciadła i zastąpimy obrazy  $A_1, A_2$  przez dwa rzeczywiste punkty świecące o rozmiarach takich samych, jak poprzednio użyty punkt  $A$ , prążki nie powstaną. Ekran, ustawiony w obszarze, w którym przecinają się wiązki, wychodzące z danych punktów, będzie oświetlony równomiernie. Interferencji więc podlegać mogą jedynie zaburzenia, wychodzące z tego samego punktu świetlnego. Zaburzenia mogące interferować, nazywamy optycznie spójnymi, (koherentnymi, łac. cohaerens — zjednoczony, złączony) w przeciwstawieniu do zaburzeń niespójnych optycznie (inkoherentnych) niezdolnych do interferencji.

Różnica ta zdaje się wskazywać, że fazy początkowe zaburzeń, wysyłanych przez dany punkt świecący, nie mają wartości stałych.



Niech  $a_1, a_2, \dots, a_n$  będą amplitudami zaburzeń, wysyłanych przez różne punkty świecące,  $\delta_1, \delta_2, \dots, \delta_n$  ich fazami początkowymi. Natężenie światła w punkcie, w którym zaburzenia te się spotykają, jest w każdej chwili równe

$$A^2 = a_1^2 + a_2^2 + \dots + a_n^2 + 2a_1 a_2 \cos \left[ \left( \delta_1 - 2\pi \frac{x_1}{\lambda} \right) - \left( \delta_2 - 2\pi \frac{x_2}{\lambda} \right) + \dots + \right. \\ \left. + 2a_{n-1} a_n \cos \left( \delta_{n-1} - 2\pi \frac{x_{n-1}}{\lambda} \right) - \left( \delta_n - 2\pi \frac{x_n}{\lambda} \right) \right],$$

gdzie  $x_1, x_2, \dots, x_n$  oznaczają odległości punktu spotkania się zaburzeń od odpowiedniego punktu świecącego. Wrażenie świetlne, jakiego doznajemy, odpowiada przeciętnemu natężeniu światła, padającego na siatkówkę, odniesionemu do pewnego oznaczonego czasu, rzędu mniej więcej 0,1 sek. To natężenie przeciętne jest proporcjonalne do przeciętnej amplitudy

$$A_p^2 = \frac{1}{t} \int_0^t \left\{ a_1^2 + \dots + a_n^2 + 2a_1 a_2 \cos \left[ \left( \delta_1 - 2\pi \frac{x_1}{\lambda} \right) - \left( \delta_2 - 2\pi \frac{x_2}{\lambda} \right) + \dots \right] + \dots \right\} dt = \\ = \frac{1}{t} \int_0^t \left\{ a_1^2 + \dots + 2a_1 a_2 \cos \left[ (\delta_1 - \delta_2) - 2\pi \frac{x_1 - x_2}{\lambda} \right] + \dots \right\} dt. \quad (a)$$

Gdyby różnice faz początkowych  $\delta_{n-1} - \delta_n$  miały wartość stałą, rozkład natężeń we wspólnym obszarze wszystkich wiązek zależałby od odległości danego punktu obszaru od źródeł światła; w szczególnym przypadku dwóch źródeł otrzymalibyśmy zjawisko prążków Fresnela. Doświadczenie jednak wskazuje, że natężenie w całym tym obszarze ma (o ile tak, jak poprzednio, pominiemy zmniejszanie się amplitudy ze wzrostem odległości) wartość mniej więcej stałą. Należy zatem przypuścić, że przeciętna wartość wielkości

$$2a_m a_p \cos \left[ (\delta_m - \delta_p) - 2\pi \frac{x_m - x_p}{\lambda} \right] = 0. \quad (b)$$

Tak może być tylko wtedy, gdy kosinus kąta w ciągu czasu  $t$  bardzo wiele razy się zmienia, przybierając wszystkie możliwe wartości dodatnie czy ujemne. Ponieważ  $\frac{x_m - x_p}{\lambda}$  jest wielkością stałą, zmiany te dotyczyć mogą jedynie różnicy  $\delta_m - \delta_p$ . To jednak zachodzi jedynie w przypadku, gdy każda z faz początkowych  $\delta_m$  i  $\delta_p$  zmienia się inaczej. Wtedy spełniony jest warunek (b) i natężenie przeciętne ma w obszarze wspólnym wartość proporcjonalną do wielkości

$$A_p^2 = \frac{1}{t} \int_0^t \{ a_1^2 + \dots + a_n^2 \} dt,$$

a więc jest sumą natężeń poszczególnych źródeł światła.

Możnaby zatem powiedzieć, że w każdym punkcie obszaru wspólnego co chwila zachodzi zjawisko interferencji, co chwila jednak zmienia się rozkład prążków: miejsce przy pewnej oznaczonej różnicy faz początkowych zupełnie ciemne staje się jasne, gdy różnica ta się zmienia, a ponieważ zmiany te zachodzą bardzo







odległości zaś wzajemne prążków każdego układu oddzielnie pozostaną takie, jak w przypadku jednego punktu świecącego, a zatem

$$p = \frac{d}{2l} \lambda,$$

(p. wzór (8a)), gdzie  $2l$  oznacza, jak poprzednio, odległość wzajemną obrazów  $A_1A_2$ , równą odległości  $B_1B_2$ . Dopóki przesunięcie  $O'O''$  jest małe w porównaniu z  $p$ , prążki ciemne i jasne obu układów przypadają mniej więcej w tych samych miejscach, w miarę wszakże wzrastania tego przesunięcia coraz bardziej się od siebie oddalają: w miejscach, w których tworzą się prążki ciemne jednego układu, drugi wytwarza oświetlenie pośrednie, kontrast między prążkami i tłem staje się coraz mniejszy; wreszcie, gdy przesunięcie dojdzie do wartości  $\frac{p}{2}$ , a więc gdy

$$s' = \frac{pq}{2(d-q)}, \quad (10)$$

prążki ciemne układu  $A$  powstaną w tych samych miejscach, co jasne układu  $B$ , ekran będzie oświetlony równomiernie.

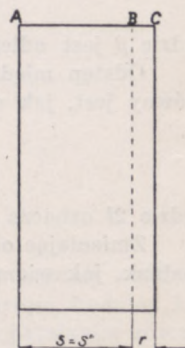
Załóżmy teraz, że między punktami  $A$  i  $B$  znajduje się bardzo wiele punktów świecących. Stosując to samo rozumowanie, stwierdzimy, że przy odległości punktów skrajnych  $AB$ , równej

$$s' = \frac{pq}{2(d-q)},$$

prążki występują mniej wyraźnie, niż przy odległości mniejszej: punkty krańcowe dadzą równomierne oświetlenie ekranu, z punktów zaś, leżących między nimi, tylko bezpośrednio sąsiadujące ze sobą dadzą prążki odcinające się od tła. Przy dalszym zwiększaniu szerokości pasa świecącego  $AB$  widzialność prążków coraz bardziej się zmniejsza, coraz większa bowiem staje się liczba par punktów, których układy wzajemnie się znoszą i gdy wreszcie szerokość ta wzrośnie do wartości

$$s'' = \frac{pq}{d-q}, \quad (10a)$$

prążki znikną całkowicie. Powiększając dalej szerokość pasa np. do wartości  $s = s'' + r$  (rys. 165), znów zauważymy prążki, wytwarzane przez



Rys. 165

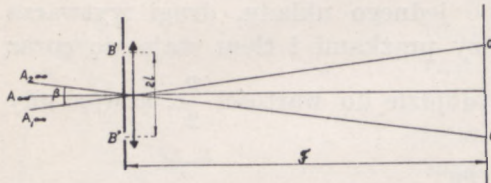


punkty, leżące między  $B$  i  $C$ ; prążki te, leżąc na tle oświetlonym równomiernie przez pas punktów  $AB$ , będą miały widzialność na ogół słabą.

Zjawisko takiego zanikania prążków interferencyjnych wziął Michelson za podstawę pomiaru kątowej odległości gwiazd podwójnych (1890 r.) oraz wartości kątowej średnic gwiazd stałych (1920 r. i nast.), urzeczywistniając w ten sposób pomysł Fizeau z 1868 r.

Obiektyw lunety był przykryty zasłoną o dwóch małych otworach  $B', B''$  (rys. 166), leżących na końcach tej samej średnicy; otwory te można było przesuwać wzdłuż średnicy i w ten sposób zmieniać ich wzajemną odległość.

Promienie, wychodzące z nieskończonego odległego punktu  $A_{1\infty}$  po przejściu przez otwory  $B', B''$  i ugięciu się w nich tworzą obszar interferencji, którego środ-



Rys. 166

kowy prążek jasny, będący obrazem geometrycznym punktu  $A_{1\infty}$ , powstaje w płaszczyźnie ogniskowej lunety na osi optycznej  $A_{1\infty}O'$ . Koło tego prążka jasnego powstają w różnych odstępach podobnie, jak w zwierciadłach Fresnela, prążki ciemne i jasne. (Zjawisko to, zaobserwowane i zbadane po raz pierwszy przez Younga, bardziej złożone od zjawiska, otrzymanego przy

użyciu zwierciadeł Fresnela, omówimy nieco obszerniej w rozdziale następnym). Analogiczny układ prążków wytworzy punkt  $A_{2\infty}$ , przy czym środkowy prążek jasny powstanie w  $O''$ . Odstęp między  $O'$  i  $O''$  będzie równy

$$O'O'' = \beta F,$$

gdzie  $\beta$  jest odległością kątową punktów  $A_{1\infty}, A_{2\infty}$ .

Odstęp między prążkami każdego z poszczególnych układów interferencyjnych równy jest, jak w doświadczeniu Fresnela,

$$p = \frac{d\lambda}{2l},$$

gdzie  $2l$  oznacza odległość między otworami  $B'$  i  $B''$ ,  $d$  zaś równe jest  $F$ .

Zmieniając odpowiednio  $2l$ , możemy doprowadzić do zniknięcia prążków, wtedy jednak, jak wiemy,

$$O'O'' = \beta \cdot F = \frac{p}{2} = \frac{1}{2} \cdot \frac{d \cdot \lambda}{2l} = \frac{1}{2} \cdot \frac{F\lambda}{2l}, \quad (d)$$

skąd

$$\beta = \frac{\lambda}{2} \cdot \frac{1}{2l}.$$

Na tej drodze Anderson używając, znajdującego się w obserwatorium na Mount Wilson, obiektywu o średnicy 100 cali angielskich (około 254 cm), zmierzył (1920 r.) odległość kątową gwiazd, stanowiących podwójną gwiazdę Capella i znalazł, że jest ona mniej więcej równa  $0,05''$ .

Gdy mamy do czynienia z pojedynczym rozciągłym ciałem świecącym, prążki znikają, gdy przesunięcie układów, wytworzonych przez skrajne punkty ciała, równe jest  $p$ , a więc

$$O'O'' = \beta \cdot F = \frac{p \cdot \lambda}{2l},$$

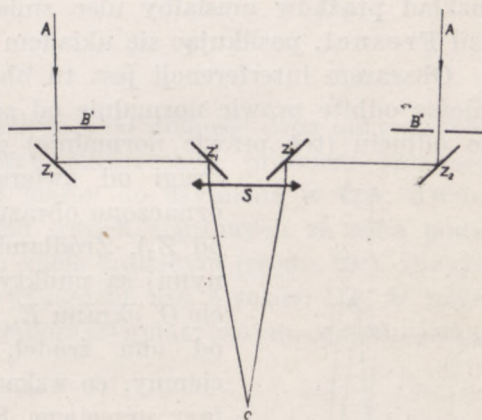


skąd

$$\beta = \lambda \cdot \frac{1}{2l} \quad (e)$$

W zastosowaniu do gwiazd, które można przyrównać do tarcz kołowych, prawą stronę równania należy pomnożyć przez 1,22 (p. rozdz. VIII).

Zakładając, że obserwujemy prążki w tej części widma, na które oko jest najwrażliwsze ( $\lambda = 0,55 \mu$ ), na dolną granicę  $\beta$  otrzymujemy przy odległości szczelin  $2l = 250$  cm wartość rzędu  $0,04''$ . Tego rzędu wartość ma średnica kątowa  $\alpha$  Oriona (Betelgeuse), wynosząca  $0,047''$  (Michelson i Peace, 1921 r.). Inne gwiazdy stałe mają średnice kątowe mniejsze, do pomiarów należałoby przeto używać obiektywów o średnicy jeszcze większej, niż obiektywu z Mount Wilson. Michelson ominął tę trudność, umieszczając przed obiektywem na sztabie stalowej o długości 20 stóp angielskich (około 6 m 10 cm) układ zwierciadeł, schematycznie przedstawiony na rys. 167. Odległość szczelin  $B'B''$  może być w ten sposób zwiększona do 6 m, tym samym granica dolna  $\beta$  przesuwa się do wartości rzędu  $0,02''$ . Przy pomocy tego przyrządu Peace stwierdził, że średnica kątowa  $\alpha$  Wolarza (Arcturus) wynosi  $0,0237''$ , nieco większa jest średnica kątowa  $\alpha$  Byka (Aldebaran), Wega zaś ma średnicę mniejszą od  $0,02''$ , prążki bowiem nie zanikają przy największym nawet rozsunięciu zwierciadeł. Jakkolwiek dokładność metody nie jest wielka (około 10%, według Michelsona i Peace'a) i jakkolwiek wzór (e), ściśle biorąc, stosuje się do oznaczonej długości fali i do ciał o blasku równomiernym, któremu to warunkowi gwiazdy stałe nie zupełnie odpowiadają, metoda daje jedyny, jak dotychczas, sposób zmierzenia tak małych kątów.



Rys. 167

Znając paralaksę danej gwiazdy i średnicę orbity ziemskiej, możemy obliczyć odległość danej gwiazdy od ziemi, skąd po pomnożeniu przez wartość średnicy kątowej znajdujemy średnicę gwiazdy. Okazuje się, że  $\alpha$  Oriona (o paralaksie równej  $0,018''$ ) ma średnicę równą  $380 \cdot 10^6$  km, nieco tylko mniejszą od średnicy orbity Marsa (około  $420 \cdot 10^6$  km); tego samego rzędu wielkości jest średnica  $\alpha$  Wolarza ( $30,6 \cdot 10^6$  km). Liczby te wszakże wskazują co najwyżej rząd wielkości średnic, dokładność bowiem pomiarów paralaks gwiazd stałych poniżej  $0,1''$  jest bardzo mała.

Przebieg zjawiska nie ulegnie żadnej zmianie, gdy punkty świecące przesuniemy do innej płaszczyzny, również prostopadłej do krawędzi zetknięcia się zwierciadeł, wobec czego wzory (10) i (10a) obowiązywać będą również w przypadku jednej lub dwóch bardzo wąskich prostokątnych szczelin świecących, równoległych do krawędzi  $O$ . Przy pewnej szerokości szczeliny lub pewnej odległości szczelin prążki interferencyjne znikną, aby znów się ukazać przy dalszym zwiększaniu szerokości szcze-

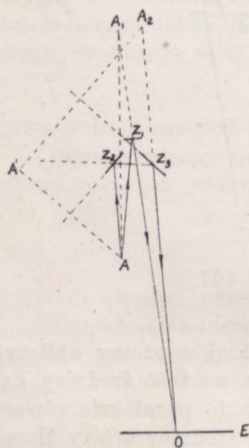


liny pojedynczej lub odległości dwóch wąskich szczelin. Widzialność jednak prążków za każdym ich nawrotem będzie coraz to mniejsza, aż wreszcie stanie się równa zeru.

### 3. ZMIANA FAZY PRZY ODBICIU. DWUPRYZMAT FRESNELA. PODWÓJNA SOCZEWKA BILLETA

Rozpatrywane przez nas wyżej doświadczenie Fresnela nie daje odpowiedzi na pytanie, czy i jakim zmianom podlega światło przy odbiciu; jakiegokolwiek bowiem byłyby te zmiany, podlegają im w jednakowym stopniu obie wiązki, padające na zwierciadło, wobec czego punkty  $A_1$  i  $A_2$  są zawsze, jak na to zwracaliśmy już uwagę, źródłami synchronicznymi. Gdyby wszakże jedna z tych wiązek odbijała się np. dwa razy, druga zaś — tylko raz, wtedy w przypadku zmiany fazy przy odbiciu rozkład prążków musiałby ulec zmianie. Zmianę taką istotnie stwierdził Fresnel, posilkując się układem zwierciadeł takim, jak na rys. 168.

Obszarem interferencji jest tu obszar, w którym spotykają się promienie odbite prawie normalnie od zwierciadła  $Z_1$ , z promieniami, które po odbiciu (też prawie normalnie) od zwierciadła  $Z_2$  odbiły się po raz



Rys. 168

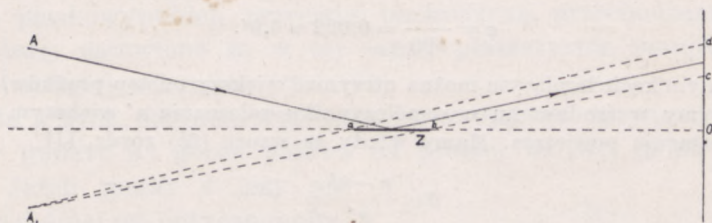
drugi od zwierciadła  $Z_3$  (rys. 168, na którym nie oznaczono obrazu, jaki dają promienie, odbite tylko od  $Z_3$ ). Źródłami więc światła (rzecz prosta, urojonymi) są punkty  $A_1$  i  $A_2$ . Okazuje się, że w punkcie  $O$  ekranu  $E$ , leżącym w jednakowej odległości od obu źródeł, powstaje nie prążek jasny, lecz ciemny, co wskazuje, że źródła  $A_1$  i  $A_2$  mają zawsze fazy przeciwne. Stąd wynika, że dodatkowe odbicie, jakiego doznała wiązka, wychodząca pozornie z  $A_2$ , zmieniło jej fazę o  $\pi$ . Odbicie zatem od zwierciadła, a więc od środowiska, optycznie gęstszego, zmienia fazę zaburzenia o  $\pi$  (por. M. Grotowski, Wykłady fizyki tom II, str. 80). Źródła ( $A$  rzeczywiste i  $A_1$  urojone) mają fazy przeciwne, źródła zaś  $A_2$  i  $A$  fazy zgodne (różnica faz wynosi  $2\pi$ ).

Lloyd stwierdził (1837 r.), że podobna zmiana zachodzi również wtedy, gdy kąt padania jest bliski  $90^\circ$ .

Niech  $A$  będzie punktem świecącym (lub szczeliną prostopadłą do płaszczyzny rysunku), umieszczonym nieco przed zwierciadłem  $Z$  z boku, tak, żeby promienie z niego wychodzące padały na zwierciadło pod kątem bliskim  $90^\circ$  (rys. 169). Promienie odbite, wychodzące pozornie z punktu  $A_1$ , będą się spotykały z promieniami nie odbitymi, wychodzącymi bezpośrednio z  $A$ , w obszarze  $abcd$ . Źródłami interferującymi będą tym razem punkty  $A$  (źródło rzeczywiste) i  $A_1$  (źródło urojone). Płaszczyzną symetrii zjawiska interferencji jest płaszczyzna zwierciadła  $Z$ , wobec czego w najlepszym razie widzimy jedynie połowę tego obszaru interferencji,



jaki dają nam zwierciadła Fresnela. Punkt środkowy  $O$  leży, co najwyżej, na granicy tego obszaru, a właściwie już poza nim. Umieścimy jednak na drodze promieni wychodzących bezpośrednio z  $A_1$  cieniutką blaszkę mikową; ponieważ mika ma współczynnik załamania większy, niż powietrze, droga optyczna tych promieni się wydłuży, punkt ekranu, w którym drogi optyczne promieni interferujących są wzajemnie równe, przesunie się do góry i z nim razem cały obszar interferencji. Okaże się wtedy, że w punkcie  $O$  powstaje prążek ciemny, a więc, że fazy źródeł  $A$  i  $A_1$  są przeciwne.



Rys. 169

Tej dodatkowej różnicy faz, niezależnej od długości dróg optycznych promieni interferujących, nie ma przy interferencji promieni załamanych. Z takimi właśnie promieniami mamy do czynienia w tzw. dwupryzmacie Fresnela. Jest to układ dwóch złączonych z sobą podstawami pryzmatów o bardzo małym kącie łamiącym (rzędu  $10'$ ). Przyjmując tak, jak to uczyniliśmy w rozważaniach ust. 4 rozdz. III, że pryzmat o małym kącie łamiącym jest układem stygmatycznym, otrzymujemy na odległość wzajemną 2 obrazów  $A_1, A_2$  (rys. 170)

$$A_1 A_2 = 2l = 2q \cdot \delta,$$

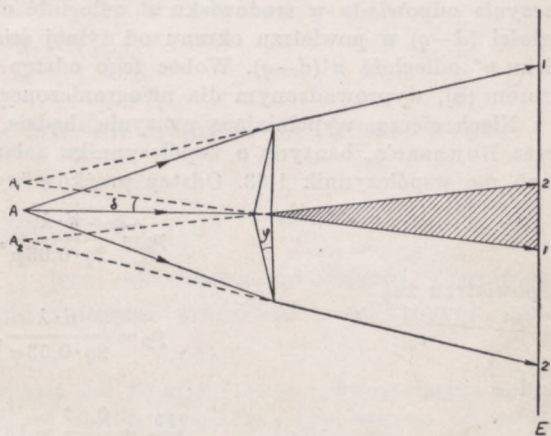
gdzie  $q$  oznacza odległość punktu (lub szczeliny)  $A$  od pryzmatu,  $\delta$  odchylenie promieni. Podstawiając wartość  $\delta$  ze wzoru (6c) rozdz. III otrzymujemy

$$A_1 A_2 = 2l = 2q(n-1)\varphi. \quad (a)$$

Odstęp prążków w obszarze interferencji wynosi zatem

$$p = \frac{d \cdot \lambda}{2l} = \frac{d \cdot \lambda}{2q(n-1)\varphi},$$

gdzie  $d$  jest odległością ekranu  $E$  od źródła  $A$ .



Rys. 170



Jeżeli więc chcemy otrzymać w świetle o długości fali  $0,5 \mu$  prążki, których odstęp wynosiłby na ekranie odległym o 2 m od źródła  $0,5 \text{ mm}$ , musimy użyć dwupryzmatu szklanego ( $n=1,5$ ) o kącie łamiącym równym

$$\varphi = \frac{d \cdot \lambda}{2q(n-1)p} = \frac{2000 \cdot 0,0005}{q \cdot 2 \cdot 0,5 \cdot 0,5}$$

Umieszczając więc pryzmat w połowie odległości ekranu od źródła ( $q=1000 \text{ mm}$ ) otrzymamy żądany odstęp prążków przy kącie  $\varphi$  równym

$$\varphi = \frac{1}{500} = 0,002 \approx 6,9'$$

Przy tym samym kącie łamiącym można otrzymać większy odstęp prążków, gdy pryzmat zanurzymy w środowisku o współczynniku załamania  $n'$  większym od współczynnika załamania powietrza. Mamy wtedy ze wzoru (6b) rozdz. III

$$\delta = \frac{n-n'}{n'} \varphi$$

i

$$A_1 A_2 = 2l = 2q \cdot \delta = 2q \cdot \frac{n-n'}{n'} \varphi,$$

skąd po uwzględnieniu, że długość fali w tym środowisku jest mniejsza  $n'$  razy od długości w próżni lub powietrzu

$$p = \frac{d \cdot \lambda}{n'} \cdot \frac{1}{2l} = \frac{d \cdot \lambda}{n'} \cdot \frac{n'}{2q(n-n')\varphi} = \frac{d\lambda}{2q(n-n')\varphi} \quad (\text{b})$$

Zazwyczaj dwupryzmat umieszcza się w naczyniu równoległościennym, napełnionym cieczą o współczynniku załamania niewiele mniejszym od współczynnika załamania szkła. Pomijając w rachunku grubość ścianek naczynia, znajdziemy, że zgodnie ze wzorem (3a) rozdz. III, odległości w powietrzu punktu  $A$  od przedniej ściany naczynia odpowiada w środowisku  $n'$  odległość obrazu  $A_1$  równa  $qn'$ ; podobnie, odległości  $(d-q)$  w powietrzu ekranu od tylnej ściany naczynia odpowiada w środowisku  $n'$  odległość  $n'(d-q)$ . Wobec tego odstęp prążków i tym razem wyraża się wzorem (b), wyprowadzonym dla nieograniczonego środowiska  $n'$ .

Niech cieczą, wypełniającą naczynie, będzie, że użyjemy przykładu, podanego przez Bouasse'a, benzyna o współczynniku załamania 1,5, szkło zaś dwupryzmatu niech ma współczynnik 1,53. Odstęp prążków wynosi

$$p_b = \frac{d \cdot \lambda}{2q \cdot 0,03\varphi},$$

w powietrzu zaś

$$p_p = \frac{d \cdot \lambda}{2q \cdot 0,53\varphi},$$

skąd

$$\frac{p_b}{p_p} = \frac{0,53}{0,03} \approx 18.$$

Odstęp prążków jest osiemnaście razy większy.

Wszystkie jednak wyżej przytoczone wzory jedynie w przybliżeniu odtwarzają przebieg zjawiska, które w rzeczywistości jest o wiele bardziej złożone. Doświadczenie wskazuje, że rozmieszczenie prążków jest dla wiązek, załamanych w różnych



punktach powierzchni pryzmatu, a więc przechodzących w szkle różne drogi, na ogół różne, tak że, chcąc otrzymać wyraźne prążki, należy wiązkę padającą ograniczyć odpowiednimi przesłonami. Poza tym, podobnie zresztą, jak i w zwierciadłach Fresnela, mamy tu do czynienia również i ze zjawiskiem uginania się światła, tak że ścisła teoria tych zjawisk, nad którą pracowali między innymi H. Weber (1878 r.) i H. Struve (1881 r.), a której omawiać tu nie będziemy, jest dość zawiła.

Podobnym do pryzmatu Fresnela układem optycznym jest podwójna soczewka Billeta (1862 r.). Dwie części soczewki dwuwypukłej lub płaskowypukłej, przeciętej płaszczyzną, przechodzącą przez jej oś optyczną, ustawione są w tej samej płaszczyźnie pionowej i nieco jedna od drugiej odsunięte (rys. 171).

Każda z tych połówek wytwarza na swojej osi optycznej obraz rzeczywisty punktu  $A$ : górna połowa na prostej  $AC_1A_1$ , dolna na prostej  $AC_2A_2$ . Jeżeli punkt  $A$  leży na dawnej wspólnej osi optycznej obu połówek, połówki te zaś znajdują się w jednakowych od niej odległościach, jeżeli więc, innymi słowy, układ jest symetryczny względem prostej  $AO_1$ , drogi optyczne  $(AA_1)$  i  $(AA_2)$  wszystkich promieni, przecinających się czy to w  $A_1$ , czy też w  $A_2$ , są wzajemnie równe. Źródła zatem  $A_1, A_2$  (tym razem rzeczywiste) wiązek interferujących są synchroniczne. Niech  $s$  i  $s'$  oznaczają odpowiednio odległości źródła  $A$  i obrazów  $A_1, A_2$  od soczewki,  $\delta$  — odległość wzajemną środków optycznych  $C_1, C_2$ ; odległość źródeł  $2l$  jest wtedy równa

$$2l = \delta \cdot \frac{s + s'}{s},$$

skąd odstęp między prążkami interferencyjnymi na ekranie wynosi

$$p = \frac{d \cdot \lambda}{2l} = \frac{\lambda \cdot d}{\delta} \cdot \frac{s}{s + s'}.$$

Wiązka skupiająca się w  $A_1$ , jest oddzielona od wiązki, skupiającej się w  $A_2$ , co pozwala dowolnie zmieniać środowiska, w których każda z tych wiązek się rozchodzi.

Pewną odmianę tego doświadczenia dał Meslin (1893 r.), umieszczając połówki soczewek w różnych odległościach od źródła (rys. 172) i tym samym otrzymując obrazy  $A_1, A_2$  w niejednakowych odległościach od odpowiednich soczewek.

Promień, idący od punktu  $A$  poprzez soczewkę górną, przechodzi do ekranu  $E$  drogą  $AA_1 + A_1X$ , promień, idący przez soczewkę dolną — drogą  $AA_2 + A_2X$ , różnica zatem dróg promieni interferujących w  $X$  wynosi

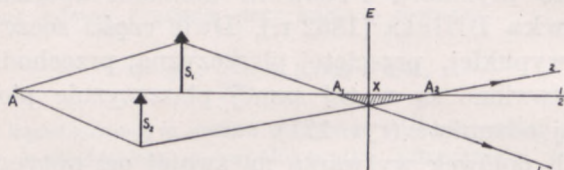
$$\Delta = AA_1 + A_1X - AA_2 + A_2X = A_1A_2 + A_1X + A_2X.$$



Miejscem przeto geometrycznym punktów o jednakowej różnicy dróg są powierzchnie

$$A_1X + A_2X = \text{stałej}, \quad (a)$$

odległość bowiem  $A_1A_2$  ma wartość stałą. Równaniu (a) czynią zadość powierzchnie elipsoid obrotowych o ogniskach w punktach  $A_1$  i  $A_2$ . Płaszczyzna ekranu, prostopadła do osi optycznej, przecina te powierzchnie wzdłuż kół współśrodkowych. Prążki zatem tworzą półkola, leżące w przypadku, przedstawionym na rys. 172, poniżej



Rys. 172

osi optycznej. Środek tych kół powinien być jasny, promienie bowiem interferujące na osi przebiegają jednakowe drogi optyczne. Okazuje się jednak, że jest on, o ile można go w ogóle dostrzec, ciemny.

Meslin opierając się na doświadczeniach Gouy'a (p. rozdz. VIII, ust. 9) przypisał tę różnicę przejściu jednej z wiązek interferujących przed interferencją przez ognisko (punkt  $A_1$ ), co powoduje dodatkową różnicę faz równą  $\pi$ .

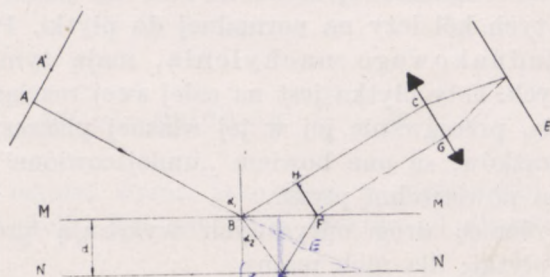
#### 4. PŁYTKI PŁASKIE O ŚCIANKACH RÓWNOLEGLYCH. KRZYWE JEDNAKOWEGO NACHYLENIA

We wszystkich wyżej opisanych przypadkach mamy zazwyczaj do czynienia poza zjawiskami interferencji ze zjawiskami uginania się światła (p. rozdz. VIII), co nieraz bardzo utrudnia należyłą obserwację. Można jednak otrzymać i „czystą” interferencję, wolną zupełnie od zakłócającego wpływu uginania, gdy promieniami interferującymi będą promienie odbite od przedniej i tylnej powierzchni przezroczystej płytki lub warstewki. Będziemy tu rozróżniali dwa przypadki: 1) płytek lub warstewek, ograniczonych powierzchniami płaskimi i doskonale równoległymi, a więc o grubości stałej i 2) płytek lub warstewek o grubości zmiennej.

Niech  $MMNN$  będzie płytką równoległościenną (rys. 173), oświetloną rozciągląym źródłem światła jednorodnego. Promień  $AB$ , wychodzący z dowolnego punktu  $A$  źródła, padając na przednią powierzchnię  $MM$  płytki częściowo się odbija w kierunku  $BC$ , częściowo zaś załamuje i wchodzi do wnętrza płytki, gdzie znów odbija się w punkcie  $D$  od tylnej powierzchni  $NN$  płytki i po powtórny załamaniu na przedniej jej powierzchni wychodzi w kierunku  $FG$ , równoległym do  $BC$ . Równoległe promienie  $BC$  i  $FG$  przecinają się w nieskończoności lub, gdy na ich drodze umieścimy soczewkę zbierającą, w jednym z punktów ekranu  $E$ , umieszczonego w ognisku soczewki, lub wreszcie na siatkówce oka, nastawionego na nieskończoność. Drogi optyczne obu promieni



od punktów  $H$  i  $F$  ich przecięcia z płaszczyzną do nich prostopadłą aż do punktu przecięcia się ich czy to w nieskończoności czy też w jednym z punktów ekranu lub siatkówki oka obserwatora są wzajemnie równe; promienie te bowiem biegają tak, jak promienie wiązki, wychodzącej z nieskończenie odległego punktu świecącego, dla której powierzchnią falową byłaby właśnie płaszczyzna  $HF$ , z twierdzenia zaś Malusa wy-



Rys. 173

nika, że drogi optyczne od powierzchni falowej do punktu przecięcia się promieni mają dla wszystkich promieni wartości jednakowe. Wobec tego różnica dróg optycznych promieni  $BC$  i  $FG$  w punktach ich przecięcia jest ta sama, co w punktach  $H$  i  $F$ , a więc równa

$$n(BD + DF) - HB + \frac{\lambda}{2},$$

gdyż jeden z promieni interferujących odbija się w powietrzu od szkła, drugi zaś — w szkłe od powietrza, to zaś, jak wiemy, powoduje dodatkową różnicę faz i zwiększa różnicę dróg optycznych o  $\frac{\lambda}{2}$ .

Oznaczając kąty padania i załamania przez  $\alpha_1$  i  $\alpha_2$ , grubość zaś płytki przez  $d$ , znajdujemy, że

$$BD = DF = \frac{d}{\cos \alpha_2} = \frac{d}{\sqrt{1 - \sin^2 \alpha_2}} = \frac{d \cdot n}{\sqrt{n^2 - \sin^2 \alpha_1}}$$

oraz

$$HB = 2d \cdot \sin \alpha_1 \cdot \operatorname{tg} \alpha_2 = 2 \sin^2 \alpha_1 \cdot \frac{d}{\sqrt{n^2 - \sin^2 \alpha_1}},$$

skąd różnica dróg optycznych

$$\Delta = \frac{2dn^2}{\sqrt{n^2 - \sin^2 \alpha_1}} - \frac{2d \cdot \sin^2 \alpha_1}{\sqrt{n^2 - \sin^2 \alpha_1}} + \frac{\lambda}{2} = 2d \sqrt{n^2 - \sin^2 \alpha_1} + \frac{\lambda}{2}. \quad (11)$$



Różnica ta zależy jedynie od kąta padania  $\alpha_1$ . Dla wszystkich zatem promieni, wychodzących z punktów  $AA' \dots$ , i padających na płytkę pod tym samym kątem ma wartość tę samą. Źródłem światła może być przeto w tym przypadku dowolnie rozciągle ciało świecące. Miejscem geometrycznym punktów przecięcia się promieni, których różnice dróg optycznych mają jednakową wartość, są koła, leżące albo w nieskończoności albo w płaszczyźnie ogniskowej soczewki albo na siatkówce oka obserwatora. Środek tych kół leży na normalnej do płytki. Prążki, tworzące tzw. krzywe jednakowego nachylenia, mają tym razem kształt pierścieni kołowych. Gdy płytka jest na całej swej rozciągłości dokładnie płasko-równoległa, przesuwanie jej w jej własnej płaszczyźnie nie zmienia położenia prążków, są one bowiem „umiejscowione” w nieskończoności, nie zaś na powierzchni płytki.

Największą różnicę dróg optycznych wykazują promienie, odbite prostopadle od płytki; dla nich mamy

$$\Delta = 2d \cdot n + \frac{\lambda}{2}.$$

Gdy

$$2d \cdot n + \frac{\lambda}{2} = 2m \frac{\lambda}{2} = m\lambda$$

i

$$2d \cdot n = \left(m - \frac{1}{2}\right) \lambda, \quad (12)$$

a więc, gdy różnica dróg optycznych wynosi całkowitą ilość fal, środek pierścienia jest jasny. Gdy

$$2d \cdot n + \frac{\lambda}{2} = (2m + 1) \frac{\lambda}{2} = \left(m + \frac{1}{2}\right) \lambda$$

i

$$2d \cdot n = m\lambda, \quad (12a)$$

środek pierścienia jest ciemny. Liczbę  $m$  nazywamy w obu przypadkach rzędem interferencji środka obrazu interferencyjnego.

Przypuśćmy, że  $2d \cdot n$  jest całkowitą wielokrotnością  $\frac{\lambda}{2}$ , że przeto

$$2d \cdot n = q \cdot \frac{\lambda}{2}. \quad (a)$$



Pierwszy pierścień (jasny, gdy środek jest ciemny, ciemny, gdy środek jest jasny) powstanie przy zmniejszeniu się różnicy faz o  $\frac{\lambda}{2}$ . Będziemy wtedy mieli

$$2d\sqrt{n^2 - \sin^2 \alpha'_1} = (q-1)\frac{\lambda}{2},$$

skąd

$$4d^2(n^2 - \sin^2 \alpha'_1) = q^2 \cdot \frac{\lambda^2}{4} - 2q \frac{\lambda^2}{4} + \frac{\lambda^2}{4}$$

lub, odrzucając ostatni wyraz, jako mały w porównaniu z dwoma pierwszymi (grubość płytki jest wielokrotnie większa od długości fali),

$$4d^2 n^2 - 4d^2 \sin^2 \alpha'_1 \approx q^2 \frac{\lambda^2}{4} - 2q \frac{\lambda^2}{4},$$

co, z uwagi na założenie (a), można przepisać w postaci

$$\sin^2 \alpha'_1 = \frac{2q}{4d^2} \left(\frac{\lambda}{2}\right)^2 = \frac{4d \cdot n}{4d^2} \cdot \frac{\lambda}{2} = \frac{n\lambda}{2d}$$

i ostatecznie, kładąc  $\sin \alpha'_1 = \alpha'_1$  (kąta  $\alpha'_1$  jest bardzo mały),

$$\alpha'_1 = \sqrt{\frac{n\lambda}{2d}}.$$

Analogicznie dla drugiego z kolei pierścienia (ciemnego przy środku ciemnym, jasnego przy środku jasnym)

$$2d\sqrt{n^2 - \sin^2 \alpha_1^{(2)}} = (q-2)\frac{\lambda}{2}$$

$$\alpha_1^{(2)} = \sqrt{2} \cdot \sqrt{\frac{n\lambda}{2d}}.$$

Wzór ten możemy stosować, dopóki kąta padania promieni interferujących będzie dostatecznie mały, aby można było zakładać  $\sin \alpha_1^{(n)} = \alpha_1^{(n)}$ . Przy zachowaniu tego warunku dla pierścienia  $i$ -tego znajdziemy

$$\alpha_1^{(i)} = \sqrt{i} \cdot \sqrt{\frac{n\lambda}{2d}}. \quad (13)$$

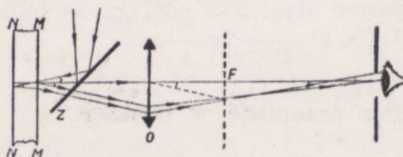
Taki właśnie przypadek zachodzi, gdy zjawisko obserwujemy przez lunetę, której oś optyczna jest prostopadła do płytki (lub też okiem nie-



uzbrojonym, nastawionym na nieskończoność i umieszczonym na normalnej do płytki). Wobec niewielkiego kąta widzenia lunety (niewielkiej średnicy źrenicy oka) w jej płaszczyźnie ogniskowej (na siatkówce oka) skupią się jedynie te wiązki, które padają na płytkę pod niewielkimi kątami  $\alpha_1$ . Oznaczając odległość ogniskową lunety przez  $\mathcal{F}$ , na wartość promieni kół jednakowego nachylenia otrzymamy

$$r_i = \alpha_1^{(i)} \cdot \mathcal{F} = \sqrt{\frac{n\lambda}{2d}} \cdot \sqrt{i} \cdot \mathcal{F}. \quad (13a)$$

Wtedy układ doświadczenia jest zazwyczaj taki, jak na rys. 174; promienie wychodzące ze źródła, odbijają się od płytki szklanej  $Z$ , ustawionej pod kątem  $45^\circ$  do osi lunety (na rys. oznaczony jest tylko obiektyw  $O$  lunety) i padają na płytkę  $MMNN$ ; oko obserwuje obraz, utworzony w płaszczyźnie  $F$  lunety.



Rys. 174



Rys. 174a

Gdy środek obrazu interferencyjnego jest jasny, kwadraty promieni pierścieni jasnych są do siebie w stosunku takim, jak kolejne liczby parzyste (2, 4, 6...), pierścieni ciemnych, jak kolejne liczby nieparzyste (1, 3, 5...). Ze wzrostem więc odległości od środka pierścienie te będą się stawały coraz bardziej zagęszczone. Rozkład ich będzie mniej więcej taki, jak na rys. 174a.

W płytkach grubszych pierścienie będą miały promienie mniejsze, w cieńszych — większe.

W płytce o grubości 12 mm ( $n=1,5$ ), oświetlonej płomieniem sodu ( $\lambda=0,589 \mu$ ) promień pierścienia  $2i$ , a więc  $i$ -tego pierścienia, licząc oddzielnie pierścienie ciemne i jasne, będzie wynosił

$$r_{2i} = 0,019 \cdot \sqrt{2i} \cdot \mathcal{F}.$$

W płytce tysiąc razy cieńszej ( $d=0,012$  mm)

$$r_{2i} = 0,6 \cdot \sqrt{2i} \cdot \mathcal{F}.$$

Płytki więc bardzo cienkie (o grubości rzędu długości fali światła) wydadzą się nam mniej więcej równomiernie oświetlone.

W płytce o grubości  $1 \mu$  ( $n=1,5$ ), oświetlonej płomieniem sodowym, ( $\lambda=0,589 \mu$ ) różnica dróg promieni, odbitych prostopadle, wynosi około 5,5 długości fali, różnica zaś dróg promieni, odbitych pod kątem bliskim  $90^\circ$ , około 4,2 długości fali.



Przez pole widzenia przechodzi zatem przy obrocie lunety o  $90^\circ$  tylko jeden prążek ciemny. Natężenie światła, które i tym razem wyraża się wzorem (9), zmienia się ze zmianą kąta odbicia bardzo powoli.

Gdy oś lunety nie jest prostopadła do osi płytki, widzimy na ogół tylko części pierścieni, które przy bardzo znacznym nachyleniu (bliskim  $90^\circ$ ) niewiele się różnią od odcinków linii prostej.

Podobnie przebiega zjawisko w świetle przechodzącym przez płytkę (rys. 175). Promieniami interferującymi są tym razem promień  $BC$ , przechodzący bez odbicia przez płytkę, i promień  $FG$ , wychodzący do powietrza po dwukrotnym odbiciu od przedniej i tylnej powierzchni płytki.

Ponieważ za każdym odbiciem różnica faz wzrasta o  $\frac{\lambda}{2}$ , ogółem więc

zmienia się o  $\lambda$ , różnica dróg optycznych promieni, przechodzących prawie prostopadle, wynosi

$$\Delta = 2d \cdot n + \lambda,$$

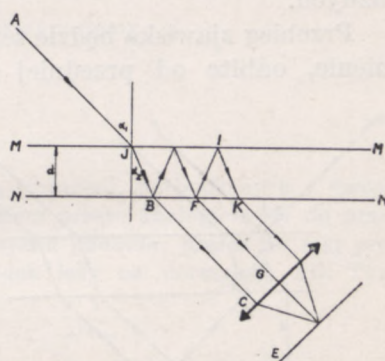
skąd warunek, aby środek obrazu interferencyjnego był jasny, wyraża się wzorem

$$2d \cdot n + \lambda = 2m \cdot \frac{\lambda}{2} = m\lambda,$$

$$2d \cdot n = (m-1)\lambda, \quad (14)$$

gdzie  $m$  jest dowolną liczbą całkowitą.

Tam więc, gdzie w świetle odbitym powstaje prążek ciemny, w świetle przechodzącym — jasny. Oba zjawiska wzajemnie się dopełniają. Widzialność jednak prążków nie jest w obu przypadkach jednakowa. W świetle odbitym interferują promienie, z których każdy był raz odbity (promień  $BC$  w powietrzu od szkła, promień  $FG$  w szkłe od powietrza p. rys. 173); zmniejszenie się amplitudy na skutek odbicia jest w obu przypadkach jednakowe; pomijając więc zmniejszenie się amplitudy na skutek dwukrotnego załamania się promienia  $FG$  w szkło, można uważać amplitudy promieni interferujących za prawie równe; amplituda wypadkowa zmienia się zatem od wartości  $2a$  (w prążkach jasnych) do zera. Różnica więc oświetleń różnych punktów ekranu jest zupełnie wyraźna. Inaczej jest w świetle przechodzącym. Promień  $BC$  przechodzi przez płytkę z niewielkim jedynie zmniejszeniem amplitudy, promień zaś  $FG$  po dwukrotnym odbiciu ma amplitudę znacznie mniejszą. W żadnym punkcie ekranu  $E$  oświetlenie nie będzie równe zeru. Ani prążki jasne, ani ciemne nie będą się zbyt od tła odcinały. Widzialność prążków będzie przeto gorsza.



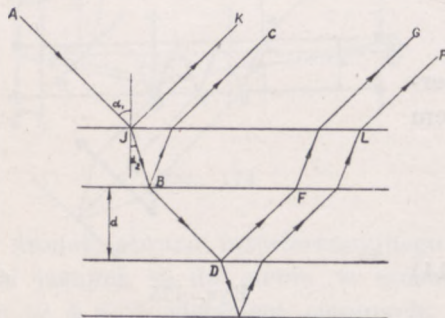
Rys. 175



Przy prostopadłym odbiciu w powietrzu od szkła amplituda zmniejsza się pięciokrotnie, dwukrotne zatem odbicie zmniejszy ją do  $\frac{1}{25}$  wartości amplitudy światła padającego. Amplituda wypadkowa w świetle przechodzącym będzie się zmniejszała od wartości 1,04a do 0,96a.

Tym zmniejszeniem się amplitudy na skutek odbicia tłumaczy się, dlaczego w wywodach naszych nie uwzględniamy promieni takich jak *FIK* (rys. 175), odbitych trzy lub więcej razy; promienie te w niewielkim jedynie stopniu wpływają na rozkład oświetlenia, które, praktycznie rzecz biorąc, jest całkowicie wyznaczone przez interferencję promieni *BC* i *FG*. Natężenie światła w poszczególnych miejscach ekranu *E* wyraża się i tym razem wzorem (9), prążki przeto nie mają granic wyraźnych.

Przebieg zjawiska będzie ten sam, gdy interferencji będą podlegały promienie, odbite od przedniej i tylnej powierzchni warstwy powietrza, zawartej między dwiema znacznie od niej grubszymi płasko-równoległymi płytkami szklanymi. Promienie interferujące *JBC* i *JBDFG* (rys. 176) przechodzą w szkło drogi jednakowe, wobec czego różnica ich dróg optycznych powstaje na skutek niejednakowych warunków, w jakich się odbijają (*BC* w szkło od powietrza, *DG* — w powietrzu od szkła) oraz na skutek tego, że promień *JBDFG* przechodzi dodatkowo



Rys. 176

drogę *BDF* w powietrzu. Różnica więc dróg optycznych tych promieni wynosi

$$\Delta = (BDF) + \frac{\lambda}{2} = 2d \cos \alpha_1 + \frac{\lambda}{2} = 2d \sqrt{1 - \sin^2 \alpha_1} + \frac{\lambda}{2}. \quad (14a)$$

Oprócz tego układu pierścieni interferencyjnych powstaje jeszcze drugi, wytworzony przez interferencję promieni *JK* i *LP*, odbitych od przedniej powierzchni górnej płytki szklanej i tylnej powierzchni dolnej. Jeżeli jednak grubości płytek są o wiele większe od grubości warstwy powietrza, pierścienie tego układu są tak zagęszczone, że w małym jedynie stopniu wpływają na widzialność układu pierwszego.

Opisana wyżej interferencja promieni, padających na płytkę pod tym samym kątem i wytwarzających prążki interferencyjne w nieskończoności, jest przypadkiem szczególnym zjawiska ogólniejszego interferencji promieni, padających na płytkę pod różnymi kątami i spotykającymi się w punkcie *P* (rys. 177), którego położenie zależy od kątów padania promieni interferujących.



W przypadku promieni, padających prawie normalnie na płytkę, a więc gdy płytkę można z wystarczającym przybliżeniem uważać za układ stygmatyczny, promienie interferujące będą tak, jak gdyby wychodziły z obrazów  $A_1$  i  $A_2$  punktu świecącego  $A$ , otrzymanych: pierwszy przez odbicie od powierzchni  $MM$  płytki, drugi przez odbicie od powierzchni  $NN$  po uprzednim załamaniu na powierzchni  $MM$ .

Oznaczmy odległość punktu świecącego  $A$  od powierzchni  $MM$  przez  $h$ , obraz  $A_1$  będzie leżał w tej samej odległości od tej powierzchni. Obraz  $A_2$  powstaje, jak mówiliśmy, przez odbicie od obrazu  $N'N'$  tylnej powierzchni  $NN$ , powstającego na skutek załamania tej powierzchni na powierzchni  $MM$ . Odległość  $N'M$  jest, zgodnie ze wzorem 3 rozdz. III,  $n$  razy mniejsza od  $MN$ , a więc równa  $\frac{d}{n}$ , gdzie  $d$  — grubość płytki;  $A_2$  leży zatem w odległości  $h + \frac{d}{n}$  od  $N'N'$ , a ponieważ odległość  $A_1$  od  $N'N'$  równa jest  $h - \frac{d}{n}$ , na odległość  $A_1A_2$  otrzymujemy

$$A_1A_2 = a = 2 \frac{d}{n}.$$

Mamy tu więc do czynienia z interferencją promieni, pochodzących z dwóch źródeł (urojonych) optycznie spójnych, ze zjawiskiem przeto analogicznym do prążków Fresnela. Płaszczyzną symetrii jest płaszczyzna padania; prążki do niej prostopadłe tworzą pierścienie kołowe, których środek leży na normalnej  $AO$ . Tym razem jednak nie są one umiejscowione, lecz mogą zależnie od kątów padania promieni interferujących powstawać w całym obszarze interferencyjnym. Podobnie jak w doświadczeniu Fresnela, powstają one tylko wtedy, gdy rozmiary źródeł światła są odpowiednio dobrane.

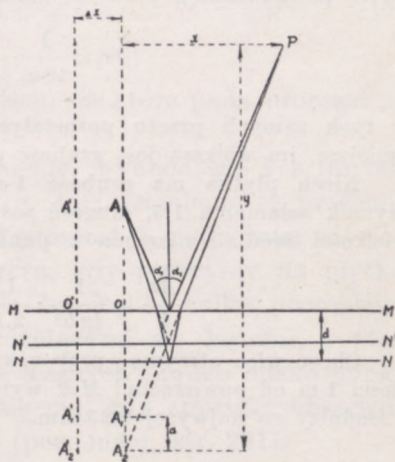
Rozmiary te możemy wyznaczyć w sposób następujący.

Różnica odległości punktów  $A_1, A_2$  od punktu interferencji  $P$  o współrzędnych  $x, y$  wynosi

$$A_2P - A_1P = \delta = \sqrt{y^2 + x^2} - \sqrt{(y-a)^2 + x^2}. \quad (a)$$

Umieścimy bardzo blisko punktu  $A$  w tej samej, co i on, odległości od powierzchni  $MM$ , drugi punkt świecący  $A'$ . Obrazy tego punktu będą, oczywiście, leżały w tej samej odległości od płytki, co i obrazy punktu  $A$ , ta sama będzie i ich wzajemna odległość. Zmianę, zachodzącą w różnicy odległości źródeł od punktu  $P$  przy zastąpieniu  $A_1$  i  $A_2$  przez punkty  $A'_1$  i  $A'_2$ , znajdziemy, różniczkując wzór (a), w którym jedną zmienną jest  $x$ . Otrzymamy

$$\Delta\delta = \frac{x \cdot \Delta x}{\sqrt{y^2 + x^2}} - \frac{x \cdot \Delta x}{\sqrt{(y-a)^2 + x^2}},$$



Rys. 177



skąd, przyjmując, że  $x$  jest małe w porównaniu z  $y$  (promienie padają prawie prostopadle,  $y$  jest zawsze większe od  $a$ ),

$$\Delta\delta = x \left( \frac{1}{y} - \frac{1}{y-a} \right) \Delta x = -\frac{x}{y} \cdot \frac{a \cdot \Delta x}{y-a} = -\operatorname{tg} a_1 \cdot \frac{a}{y-a} \Delta x$$

i ostatecznie

$$-\Delta x = \frac{1}{\operatorname{tg} a_1} \cdot \frac{y-a}{a} \Delta\delta;$$

dopóki  $\Delta\delta$  jest mniejsze od  $\frac{\lambda}{2}$ , dopóki zatem

$$|\Delta x| < \frac{1}{\operatorname{tg} a_1} \cdot \frac{y-a}{a} \cdot \frac{\lambda}{2},$$

obrazy interferencyjne, wytworzone przez promienie, wychodzące z  $A$  i  $A'$ , nie będą się wzajemnie niweczyły. Przy tym samym więc kącie padania promienia, wychodzącego pozornie z  $A_2$  i tej samej odległości  $a$ , największa dopuszczalna odległość punktów  $A$  i  $A'$  jest tym większa, im większe jest  $y$  — odległość od płaszczyzny, równoległej do płytki i przechodzącej przez  $A_2$ , punktu  $P$ , w którym obserwujemy interferencję; jednocześnie tym mniejsza jest różnica kątów padania promieni interferujących. Przy  $y = \infty$  kąty padania promieni interferujących są wzajemnie równe, odległość  $AA'$  może być nieograniczenie wielka, otrzymujemy krzywe jednakowego nachylenia.

Gdy obserwujemy prążki, tworzące się na powierzchni płytki (oko nastawione na tę powierzchnię),  $y = h + a$ , mamy zatem

$$|\Delta x| < \frac{1}{\operatorname{tg} a_1} \cdot \frac{h}{a} \cdot \frac{\lambda}{2} = \frac{1}{\operatorname{tg} a_1} \cdot \frac{h \cdot n}{2d} \cdot \frac{\lambda}{2};$$

w tych samych przeto pozostałych warunkach rozmiary źródła muszą być tym mniejsze, im większa jest grubość płytki.

Niech płytka ma grubość 1 cm, kąt padania niech będzie równy  $5^\circ$ , współczynnik załamania 1,5, długość zaś fali światła  $0,6 \mu$ . Największa wartość katowej wielkości źródła (mierzona z punktu padania) nie może być wtedy większa od

$$\frac{\Delta x}{h} = \frac{1}{\operatorname{tg} 5^\circ} \cdot \frac{1,5}{2,10} \cdot 0,0003 = 0,0002521 \approx 53''.$$

Cheąc więc otrzymać przy oświetleniu płytki źródłem umieszczonym w odległości 1 m od powierzchni  $MM$  wyraźny obraz interferencyjny, musimy użyć źródła o średnicy co najwyżej 0,25 mm.

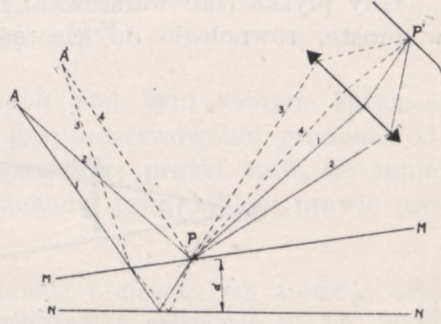
##### 5. PŁYTKI (LUB WARSTWY) O GRUBOŚCI ZMIENNEJ. KRZYWE JEDNAKOWEJ GRUBOŚCI. PIERŚCIENIE NEWTONA

Gdy mamy do czynienia z płytkami (lub warstwami) o grubości niejednakowej, np. ograniczonymi przez płaskie powierzchnie ku sobie nachylone, otrzymujemy obraz interferencyjny nie w nieskończoności, lecz na powierzchni danej płytki (lub warstewki), tak że przy przesuwaniu płytki przed okiem obserwatora obraz przesuwa się wraz z nią;



jest na niej umiejscowiony. Chcąc tym razem widzieć prążki interferencyjne, musimy oko (lub lunetę) nastawić na przednią powierzchnię płytki.

Niech  $A, A'$  będą dowolnymi punktami rozciągniętego źródła światła (rys. 178). W punkcie  $P$  płytki interferują dwa promienie, wychodzące z punktu  $A$ , a mianowicie promień, odbity od przedniej powierzchni  $MM$  płytki, i promień, załamany na tej powierzchni i odbity od tylnej powierzchni  $NN$  płytki. Promienie te, padające na płytkę nie pod tymi samymi kątami i wychodzące z niej też pod różnymi kątami, są skupiane przez oko (lub obiektyw lunety) w punkcie  $P'$ , obrazie punktu  $P$  płytki. Gdy, jak w rozpatrywanym przypadku, nachylenie powierzchni granicznych jest bardzo małe, można płytkę w pobliżu punktu  $P$  uważać za płasko-równoległą i różnicę dróg optycznych promieni 1 i 2 przyjąć za równą (p. wzór 11)



Rys. 178

$$\Delta = 2d \sqrt{n^2 - \sin^2 \alpha_1} + \frac{\lambda}{2}, \quad (a)$$

gdzie  $d$  oznacza grubość płytki w tym miejscu, na które pada promień 2,  $\alpha_1$  — kąt padania tegoż promienia.

W punkcie  $P$  interferują również promienie, wychodzące i z innych punktów rozciągniętego ciała świecącego (np. z  $A'$ ); promienie te przechodząc przez płytkę w innych miejscach, niż promień 2, mają inną różnicę dróg optycznych. Do oka wszakże, zwłaszcza, gdy patrzymy na płytkę z nieco większej odległości, wchodzi przez źrenicę te tylko promienie, które wychodzą z płytki pod niewiele różniącymi się kątami, a więc które przechodzą przez płytkę w punktach, leżących bardzo blisko punktu padania promienia 2. Podobnie rzecz się ma, gdy zjawisko obserwujemy przez lupę o niewielkiej rozwartości (por. niżej, str. 231).

W punktach zatem, którym odpowiada ta sama grubość płytki (przy niezmiennym położeniu oka oraz bardzo małych różnicach wartości kąta padania) różnice długości dróg optycznych mają dla wszystkich par promieni wartości mniej więcej jednakowe. Prążki jasne powstają w miejscach, w których (por. wz. (12))

$$\Delta = 2d \sqrt{n^2 - \sin^2 \alpha_1} + \frac{\lambda}{2} = 2m \frac{\lambda}{2} = m\lambda, \quad (15)$$

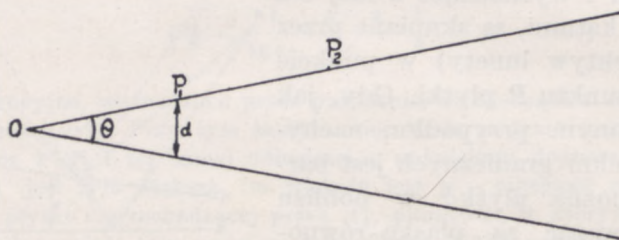


prążki ciemne w miejscach, w których (por. wz. 12a)

$$\Delta = 2d\sqrt{n^2 - \sin^2 \alpha_1} + \frac{\lambda}{2} = (2m+1)\frac{\lambda}{2} = \left(m + \frac{1}{2}\right)\lambda. \quad (15a)$$

Prążki te tworzą krzywe jednakowej grubości.

Gdy płytka (lub warstewka) ma kształt klina, krzywe te przechodzą w proste, równoległe do krawędzi klina (lub, ujmując rzecz bardziej



Rys. 179

ogólnie, prostopadłe do kierunku największego spadku). Na samej krawędzi leży wtedy prążek ciemny, tam bowiem

$$d=0 \quad \text{i} \quad \Delta = \frac{\lambda}{2}.$$

Następny prążek ciemny powstaje w punktach  $P_1$  (rys. 179), w których grubość klina jest równa

$$d = \frac{\lambda}{2\sqrt{n^2 - \sin^2 \alpha_1}}.$$

Punkty te leżą, oczywiście, na prostej (prostopadłej do płaszczyzny rysunku), której odległość od krawędzi  $O$  wynosi

$$OP_1 = \frac{\lambda}{2\sqrt{n^2 - \sin^2 \alpha_1}} \cdot \frac{1}{\operatorname{tg} \Theta},$$

gdzie  $\Theta$  oznacza kąt łamiący klina.

Drugi prążek ciemny powstaje w odległości

$$OP_2 = \frac{2\lambda}{2\sqrt{n^2 - \sin^2 \alpha_1}} \cdot \frac{1}{\operatorname{tg} \Theta}.$$



Odległość więc wzajemna prążków  $P_2$  i  $P_1$  równa jest

$$\begin{aligned} OP_2 - OP_1 &= \frac{2\lambda}{2\sqrt{n^2 - \sin^2 \alpha_1}} \cdot \frac{1}{\operatorname{tg} \Theta} - \frac{\lambda}{2\sqrt{n^2 - \sin^2 \alpha_1}} \cdot \frac{1}{\operatorname{tg} \Theta} = \\ &= \frac{\lambda}{2\sqrt{n^2 - \sin^2 \alpha_1}} \cdot \frac{1}{\operatorname{tg} \Theta}. \end{aligned} \quad (15b)$$

Odstępy zatem prążków, obserwowanych pod tym samym kątem  $\alpha_1$  są wzajemnie równe. Ze wzrostem  $\alpha_1$ , przy obserwowaniu promieni odbitych bardziej ukośnie, odstępów te wzrastają; prążki stają się mniej zagęszczone. Największe zagęszczenie zachodzi przy odbiciu prawie prostopadłym ( $\alpha_1 \approx 0$ ).

Przypuśćmy, że chcemy otrzymać w świetle, o długości fali  $\lambda = 0,6 \mu$ , odbitym prostopadle od szklanego klina, o współczynniku załamania  $n = 1,5$ , prążki w odstępach  $0,5 \text{ mm}$  kąt  $\Theta$  musi być wtedy równy

$$\operatorname{tg} \Theta \approx \Theta = \frac{0,0006}{3 \cdot 0,5} = 0,0004 = 1'24''.$$

W układzie, utworzonym przez odbicie pod kątem bliskim  $90^\circ$ , odstęp ten wzrasta do wartości

$$OP_n - OP_{n-1} \approx \frac{0,0006}{2 \cdot 1,1} \cdot \frac{1}{0,0004} \approx 0,68 \text{ mm}.$$

Wtedy jednak można oko przybliżyć do płytki (lub też użyć układu optycznego o większej rozwartości), w miarę bowiem zmniejszania się kąta  $\alpha_1$  wzrasta największa wartość kąta, jaką mogą bez szkody dla widzialności obrazu interferencyjnego tworzyć skrajne promienie wiązki, wchodzącej do oka (lub danego układu optycznego).

Przepiszmy wzór (a) w postaci

$$\Delta = 2d\sqrt{n^2 - \sin^2 \alpha_1} + \frac{\lambda}{2} = 2d \cdot n \cdot \cos \alpha_2 + \frac{\lambda}{2}.$$

Dla małych wartości kąta  $\alpha_2$  możemy przyjąć

$$\cos \alpha_2 = 1 - \frac{\alpha_2^2}{2}$$

i

$$\Delta = 2d \cdot n \left( 1 - \frac{\alpha_2^2}{2} \right) + \frac{\lambda}{2}.$$



Układy interferencyjne, wytworzone przez promienie, załamane pod różnymi kątami  $\alpha_2$  pozostaną widzialne, dopóki różnice ich dróg optycznych będą różniły się o wartość mniejszą od  $\frac{\lambda}{2}$ , a więc dopóki

$$\Delta' - \Delta'' = 2dn \left(1 - \frac{\alpha_2'^2}{2}\right) - 2dn \left(1 - \frac{\alpha_2''^2}{2}\right) = 2dn \left(\frac{\alpha_2''^2}{2} - \frac{\alpha_2'^2}{2}\right) < \frac{\lambda}{2},$$

skąd

$$\frac{\alpha_2''^2}{2} - \frac{\alpha_2'^2}{2} < \frac{\lambda}{4dn}.$$

Licząc kąty od kierunku promienia, odbitego prostopadłe od płytki ( $\alpha_1' = 0$ ) będziemy mieli

$$\alpha_2''^2 < \frac{\lambda}{2dn} \quad \text{i} \quad \alpha_2'' < \sqrt{\frac{\lambda}{2dn}}.$$

Dopuszczalna zatem rozwartość stożka promieni będzie tym mniejsza, im grubość płytki w miejscu obserwacji będzie większa, a więc im wyższemu rzędowi interferencji będzie odpowiadał dany prążek.

Oznaczmy przez  $\varrho$  — promień źrenicy oka, przez  $d_d$  — odległość dokładnego widzenia; największa wartość kąta, jaki z normalną do płytki tworzyć mogą promienie, wchodzące do oka obserwatora, patrzącego na płytkę w kierunku do niej prostopadłym, wynosi

$$\operatorname{tg} \beta \approx \beta = \frac{\varrho}{d_d} = \frac{2}{200} = 0,01.$$

Temu kątowi odpowiada kąt  $\alpha_2''$  równy

$$\alpha_2'' = \frac{\beta}{n} = \frac{0,01}{1,5} \approx 0,007.$$

Wobec tego dopuszczalna grubość płytki w miejscu obserwacji

$$d < \frac{\lambda}{2 \cdot \alpha_2''^2 \cdot n} = \frac{\lambda \cdot n}{2\beta^2} = \frac{\lambda \cdot 1,5}{2 \cdot 0,0001} = 7500 \lambda.$$

Przy obserwacji więc okiem nieuzbrojonym możemy widzieć prążki o stosunkowo wysokim rzędzie interferencji. W rzeczywistości jednak obraz interferencyjny staje się niewyraźny już przy

$$\Delta' - \Delta'' = 0,3 \lambda,$$

tak że mamy

$$d < 0,3 \cdot \frac{\lambda \cdot n}{\beta^2} = 4500 \lambda.$$

Obserwowany rząd interferencji można znacznie powiększyć, gdy przed okiem umieścimy przesłonę z otworem o średnicy mniejszej od  $2\varrho$ .

Obraz interferencyjny nie ulegnie żadnej zasadniczej zmianie, gdy promienie odbijać się będą od granicznych powierzchni warstewki powietrza, zawartej między dwiema płytkami szklanymi, nachylonymi ku



sobie pod bardzo małym kątem. Wszystkie poprzednio wyprowadzone wzory pozostaną bez zmiany, płytki bowiem nie zmieniają w niczym różnicy dróg optycznych promieni interferujących.

Wtedy w tych samych pozostałych warunkach odstęp między prążkami będzie większe. Tak np. w przykładzie, podanym na str. 231 ( $\Theta = 0,0004$ ,  $\lambda = 0,6\mu$ ) odstęp między prążkami przy odbiciu prostopadłym będzie wynosił

$$p = OP_n - OP_{n-1} = \frac{0,0006}{2 \cdot 0,0004} = 0,75 \text{ mm,}$$

przy odbiciu zaś pod kątem bliskim  $90^\circ$  będzie nieograniczenie wielki.

Do badania krzywych jednakowej grubości służyć może układ optyczny, użyty po raz pierwszy przez Newtona (1675 r.). W układzie tym środowiskiem o zmiennej grubości jest warstewka powietrza, zawarta między płaską płytką  $NN$  (rys. 180) i wypukłą powierzchnią płasko-wypukłej soczewki  $S$ , dotykającej płytki w punkcie  $O$ . Grubość warstewki powietrza wzrasta ze wzrostem odległości od punktu zetknięcia  $O$ . Opuśćmy z punktu  $M$ , w którym chcemy wyznaczyć grubość warstewki, prostopadłą  $HM$  do średnicy kuli  $OO'$ . Będziemy mieli

$$HM^2 = OH \cdot HO'$$

lub, oznaczając przez  $R$  promień kuli (i tym samym promień wypukłej powierzchni soczewki), przez  $r$  długość prostopadłej  $HM$ ,

$$r^2 = d(2R - d),$$

skąd, z uwagi, że  $d$  jest, jak o tym później się przekonamy, znacznie mniejsze od  $2R$ , otrzymujemy

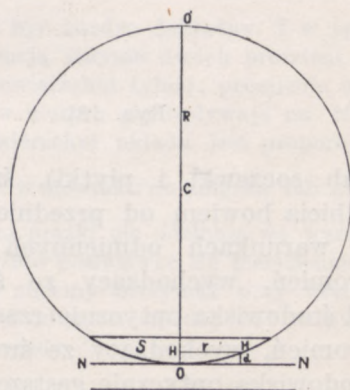
$$r^2 = 2Rd$$

i ostatecznie

$$d = \frac{r^2}{2R}, \quad (16)$$

krzywe więc jednakowej grubości są tym razem kołami współśrodkowymi.

Najdogodniej jest badać interferencję promieni odbitych normalnie, do czego się nadaje układ optyczny, obmyślony przez Fizeau (rys. 181). Promienie źródła  $A$ , skupione przez soczewkę pomocniczą  $S$ , doznają całkowitego wewnętrznego odbicia w małym pryzmacie  $P$ , umieszczo-



Rys. 180



nym w ognisku soczewki  $S_1$ , stanowiącej górną część przyrządu interferencyjnego. Dolną część przyrządu stanowi tu nie płytka, lecz soczewka  $S_2$ , o bardzo zresztą małej krzywiznie. Promienie światła padają na warstwę powietrza, zawartą między soczewkami, prawie prostopadle; chcąc zatem obserwować prążki interferencyjne, należy oko, nastawione na powierzchnię soczewki  $S_1$ , umieścić w pobliżu przyzmatu.

W tym przypadku grubość warstewki wynosi

$$d = \frac{r^2}{2} \left( \frac{1}{R_1} + \frac{1}{R_2} \right), \quad (16a)$$

gdzie  $R_1$  i  $R_2$  są promieniami krzywizny soczewek.

W tego rodzaju układzie, w którym współczynnik załamania światła warstewki jest mniejszy od współczynnika załamania ograniczających warstewkę soczewek

(lub soczewki i płytki), środek kół interferencyjnych jest ciemny, odbicia bowiem od przedniej i tylnej powierzchni warstewki zachodzą w warunkach odmiennych (przy odbiciu od przedniej powierzchni promień, wychodzący ze środowiska optycznie gęstszego, odbija się od środowiska optycznie rzadszego, przy odbiciu od tylnej powierzchni promień, wychodzący ze środowiska optycznie rzadszego, odbija się od środowiska optycznie gęstszego); przy grubości więc równej zero różnica dróg optycznych promieni interferujących wynosi  $\frac{\lambda}{2}$ . Pierwsze koło

ciemne powstaje w tym miejscu, gdzie warstewka ma grubość  $\frac{\lambda}{2}$ , promień zatem koła jest równy

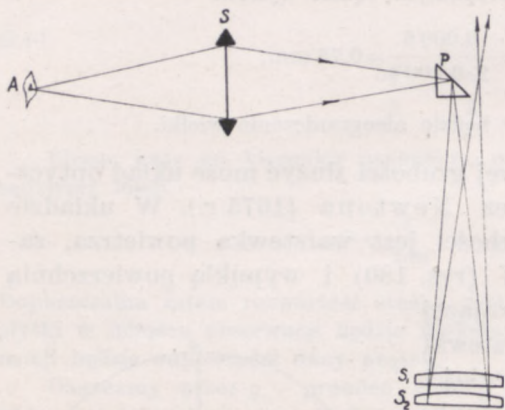
$$r_1 = \sqrt{2 \cdot \frac{\lambda}{2} \cdot \sqrt{R}} = \sqrt{R \cdot \sqrt{\lambda}},$$

drugiego koła powstaje tam, gdzie  $d = \lambda$ ; promień przeto drugiego koła wynosi

$$r_2 = \sqrt{R \cdot \sqrt{2\lambda}},$$

podobnie promień  $m$ -tego koła

$$r_m = \sqrt{R \cdot \sqrt{m\lambda}}. \quad (17)$$



Rys. 181



Promienie krzywych jednakowej grubości tzw. pierścieni Newtona są do siebie w stosunku takim, jak pierwiastki kwadratowe kolejnych liczb całkowitych

$$r_1 : \dots : r_m = \sqrt{1} : \sqrt{2} : \dots : \sqrt{m}. \quad (17a)$$

Pierścienie te w miarę wzrastania rzędu interferencji stają się coraz bardziej zagęszczone.

Stosunek promieni pozostaje bez zmiany, gdy powietrze zastąpimy innym środowiskiem, np. wodą, wtedy bowiem promienie wszystkich kół zmieniają się proporcjonalnie do pierwiastka kwadratowego ze stosunku długości fali w nowym środowisku do długości fali w powietrzu, a więc, zgodnie z założeniem Fresnela, odwrotnie proporcjonalnie do pierwiastka kwadratowego ze współczynnika załamania danego środowiska. Istotnie, pomiar pierścieni Newtona, otrzymanych przy użyciu różnych środowisk, założenie to całkowicie potwierdza.

Pomiar ten z samej natury rzeczy nie może być bardzo dokładny. I w tym bowiem przypadku mamy do czynienia z interferencją jedynie dwóch promieni — odbitego od powierzchni przedniej i odbitego od powierzchni tylnej; promienie odbite wielokrotnie mają tak małe natężenie, że w niczym nie wpływają na bieg zjawiska. Wobec tego natężenie na przedniej powierzchni układu jest proporcjonalne (p. wzór 9) do  $\cos^2 \pi \frac{d}{\lambda}$ , przy niewielkiej więc w stosunku do długości fali grubości warstewki zmienia się bardzo powoli, pierwsze prążki nie odcinają się wyraźnie od tła. W dokładniejszych pomiarach należy przeto posługiwać się pierścieniami o znacznym rzędzie interferencji. Przypuśćmy, że chcemy otrzymać przy użyciu światła o  $\lambda = 0,6 \mu$  pierścienie tak rozmieszczone, aby odległość między 49 i 50 pierścieniem była rzędu 0,3 mm. W powietrzu mamy wtedy

$$r_{50} - r_{49} = 0,3 = \sqrt{R} \cdot \sqrt{50 \cdot 0,0006} - \sqrt{R} \cdot \sqrt{49 \cdot 0,0006} = \sqrt{R} (0,173 - 0,171) = \sqrt{R} \cdot 0,002,$$

skąd

$$R \approx 225 \text{ cm.}$$

Krzywizna więc górnej soczewki musi być bardzo mała. Grubość warstewki w tym miejscu wyniesie

$$d = \frac{r^2}{2R} = \frac{R \cdot 50 \cdot 0,0006}{2R} = 0,015 = 15 \mu,$$

co ex post uzasadnia uproszczenie, użyte przy wyprowadzeniu wzoru (16).

W wodzie promienie pierścieni będą

$$\sqrt{n} = \sqrt{1,33} \approx 1,15$$

razy mniejsze.

Środek pierścieni będzie również ciemny, gdy współczynnik załamania warstewki będzie większy od współczynników załamania soczewki i płytki (lub obu soczewek) i wtedy bowiem warunki odbicia będą dla obu pro-

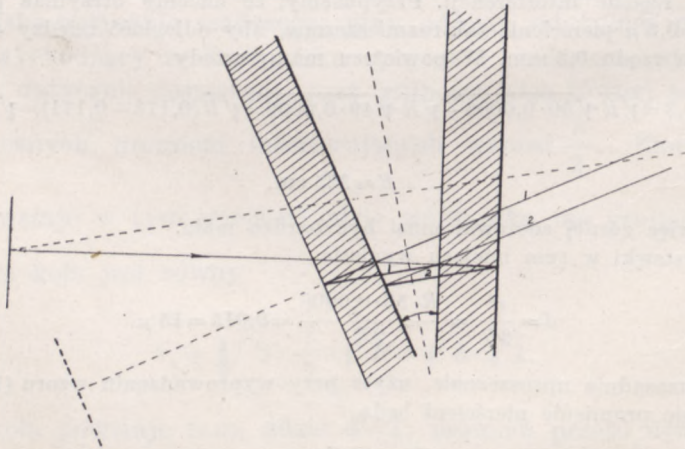


mieni interferujących różne. Jeżeli jednak, jak to pierwszy stwierdził Th. Young (1802 r.) współczynnik warstewki ma wartość pośrednią (np. większą od współczynnika załamania górnej soczewki, mniejszą od współczynnika załamania dolnej), środek pierścieni jest jasny. Wtedy, oczywiście, każda z soczewek (lub też soczewka i płytka) musi mieć inny współczynnik załamania (np. jedna z soczewek jest ze szkła lekkiego, druga — z ciężkiego). Doświadczenie Younga, wcześniejsze od omawianego w ust. 3 doświadczenia Fresnela, stanowi jeszcze jedno potwierdzenie analogii (powtarzamy, wyłącznie formalnej) między zjawiskami świetlnymi i akustycznymi.

W świetle przechodzącym prążki ciemne będą powstawały w tych miejscach, w których światło odbite wytwarza prążki jasne (por. ust. 4). Podobnie, jak w przypadku krzywych jednakowego nachylenia, widzialność prążków jest w świetle przechodzącym mniejsza, niż w świetle odbitym.

#### 6. PRAŻKI BREWSTERA. REFRAKTOMETR INTERFERENCYJNY JAMIN'A

Patrząc poprzez dwie dość grube, mniej więcej o tej samej grubości płytki, nachylone ku sobie pod niewielkim kątem (rzędu  $1^\circ$ ), na otwór oświetlony światłem słonecznym, widzimy poza obrazem otworu, utworzonym przez promienie, przechodzące wprost przez płytki, obrazy boczne, utworzone przez promienie odbite dwa lub więcej razy od powierzchni płytek, jak to schematycznie wyjaśnia rys. 182. Jasność tych obrazów



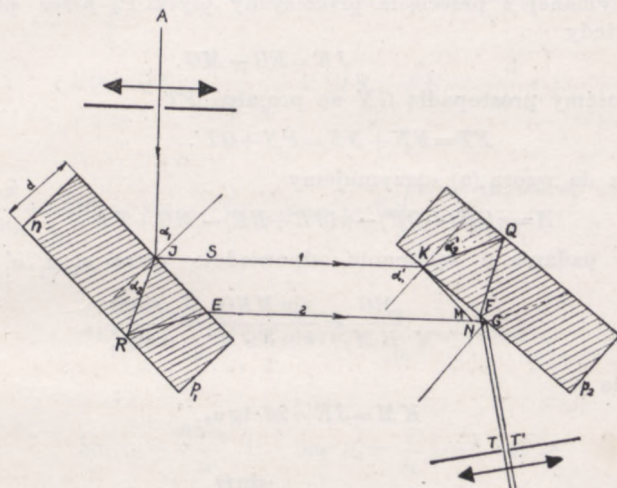
Rys. 182

bocznych bardzo szybko maleje, tak że zazwyczaj wyraźnie widać tylko obraz pierwszy. Brewster stwierdził (1815 r.), że obraz ten jest przecinany prążkami interferencyjnymi, mniej więcej równoległymi do kra-



wędzi, wzdłuż której przecinają się płaszczyzny płytek. Nie wchodząc w szczegółowy rozbiór tego zjawiska, którego teorię dał J. Herschel (1831 r.), poprzestaniemy na rozpatrzeniu warunków powstawania tych prążków (tzw. prążków Brewstera) w nieco odmiennym układzie, obmyślonym przez Jamin'a (1856 r.).

Jedną z dwóch płytek  $P_1, P_2$  (rys. 183) o tej samej grubości, możliwie dokładnie płasko-równoległych, nachylonych ku sobie pod niewielkim kątem  $\theta$ , oświetlamy jakimś rozciągniętym źródłem światła jedno-



Rys. 183

rodnego, umieszczonym na ogół dość daleko od oświetlonej płytki. Prążki interferencyjne przecinają obraz źródła, powstający przez odbicie w płytce  $P_2$ . Prążki te można obserwować albo okiem nieuzbrojonym, albo przez lupę. Promień  $AJ$ , wychodzący z punktu  $A$ , leżącego w płaszczyźnie rysunku i padający na przednią powierzchnię płytki  $P_1$ , częściowo się od niej odbija w kierunku  $JK$ , częściowo załamuje w kierunku  $JR$  i po odbiciu od tylnej powierzchni płytki  $P_1$  w punkcie  $R$  i powtórny załamaniu na jej powierzchni w punkcie  $E$  idzie w kierunku  $EG$  i odbija się od przedniej powierzchni płytki  $P_2$  w kierunku  $GT'$ . Promień  $JK$  po załamaniu się w płytce  $P_2$  i odbiciu w punkcie  $Q$  wychodzi z niej w kierunku  $FT$ , równoległym do  $GT'$ .

W rzeczywistości mamy do czynienia jeszcze z dwoma promieniami: promieniem odbitym od płytki  $P_2$  w punkcie  $K$  i z promieniem załamany w punkcie  $G$ , a następnie odbitym od tylnej powierzchni  $P_2$  i wychodzącym po powtórny załamaniu na przedniej powierzchni  $P_2$  też w kierunku równoległym do  $GT$ . Promienie te o znacznej różnicy dróg optycznych tymczasem w rozważaniu naszym pomijamy.



Droga optyczna promienia  $JK$ , który oznaczać będziemy cyfrą 1, wynosi od  $J$  do  $T$

$$(1) = JK + n(KQ + QF) + FT,$$

promienia zaś 2, załamane na przedniej powierzchni  $P_1$ ,

$$(2) = n(JR + RE) + EG + GT'.$$

Różnica przeto ich dróg optycznych

$$\Delta = n[(KQ + QF) - (JR + RE)] + JK + FT - EG - GT'. \quad (a)$$

Przeprowadźmy z punktu  $K$  do przecięcia z promieniem  $EG$  równoległą  $KM$  do prostej  $JE$ , otrzymanej z przecięcia płaszczyzny płytki  $P_2$  przez płaszczyznę padania. Mamy wtedy

$$JK = EG - MG.$$

Z punktu  $G$  opuśćmy prostopadłą  $GN$  na promień  $FT$

$$FT = FN + NT = FN + GT'.$$

Po podstawieniu do wzoru (a) otrzymujemy

$$\Delta = n(KQ + QF) - n(JR + RE) - MG + FN. \quad (b)$$

Oznaczmy kąty padania i załamania odpowiednio przez  $\alpha_1, \alpha_2, \alpha'_1, \alpha'_2$ ; z  $\Delta MKG$

otrzymamy

$$\frac{MG}{KM} = \frac{\sin MKG}{\sin KGM} = \frac{\sin \Theta}{\cos \alpha'_1},$$

skąd z uwagi, że

$$KM = JE = 2d \cdot \operatorname{tg} \alpha_2,$$

mamy

$$MG = 2d \cdot \operatorname{tg} \alpha_2 \frac{\sin \Theta}{\cos \alpha'_1}.$$

Z  $\Delta NFG$  znajdujemy

$$FN = FG \cdot \sin \alpha'_1,$$

gdzie  $FG = KG - KF = KG - 2d \operatorname{tg} \alpha'_2$ .

$KG$  wyznaczamy z  $\Delta MKG$

$$\frac{KG}{KM} = \frac{\sin KMG}{\sin KGM} = \frac{\cos \alpha_1}{\cos \alpha'_1},$$

wobec czego

$$FG = 2d \cdot \operatorname{tg} \alpha_2 \cdot \frac{\cos \alpha_1}{\cos \alpha'_1} - 2d \cdot \operatorname{tg} \alpha'_2$$

i

$$FN = 2d \left( \operatorname{tg} \alpha_2 \cdot \frac{\cos \alpha_1}{\cos \alpha'_1} - \operatorname{tg} \alpha'_2 \right) \cdot \sin \alpha'_1.$$

Mamy więc

$$\begin{aligned} FN - MG &= 2d \left( \operatorname{tg} \alpha_2 \frac{\cos \alpha_1}{\cos \alpha'_1} - \operatorname{tg} \alpha'_2 \right) \sin \alpha'_1 - 2d \cdot \operatorname{tg} \alpha_2 \cdot \frac{\sin \Theta}{\cos \alpha'_1} = \\ &= 2d \cdot \operatorname{tg} \alpha_2 \left( \operatorname{tg} \alpha'_1 \cos \alpha_1 - \frac{\sin \Theta}{\cos \alpha'_1} \right) - 2d \cdot \operatorname{tg} \alpha'_2 \cdot \sin \alpha'_1. \end{aligned} \quad (c)$$



Gdy, jak to dotychczas przyjmowaliśmy, promienie 1 i 2 biegną w płaszczyźnie przesuniętej przez normalne do płytek (w płaszczyźnie rysunku),

$$a'_1 = a_1 + \Theta$$

i pierwszy wyraz wzoru (c) przybiera postać

$$2d \cdot \operatorname{tg} a_2 \left( \operatorname{tg} a'_1 \cdot \cos a_1 - \frac{\sin \Theta}{\cos a'_1} \right) = 2d \cdot \operatorname{tg} a_2 \cdot \sin a_1,$$

wobec czego

$$FN - MG = 2d(\operatorname{tg} a_2 \sin a_1 - \operatorname{tg} a'_2 \cdot \sin a'_1).$$

Ale

$$KQ = QF = \frac{d}{\cos a'_2} \quad \text{i} \quad JR = RE = \frac{d}{\cos a_2},$$

przeto

$$\Delta = \frac{2nd}{\cos a'_2} - \frac{2n \cdot d}{\cos a_2} + 2d(\operatorname{tg} a_2 \cdot \sin a_1 - \operatorname{tg} a'_2 \cdot \sin a'_1) = 2d \left( \frac{n - \sin a'_1 \cdot \sin a'_2}{\cos a'_2} - \frac{n - \sin a_1 \sin a_2}{\cos a_2} \right).$$

Podstawiając

$$\sin a'_2 = \frac{\sin a'_1}{n} \quad \text{i} \quad \cos a'_2 = \frac{1}{n} \sqrt{n^2 - \sin^2 a'_1}$$

oraz

$$\sin a_2 = \frac{\sin a_1}{n} \quad \text{i} \quad \cos a_2 = \frac{1}{n} \sqrt{n^2 - \sin^2 a_1}$$

znajdujemy ostatecznie

$$\Delta = 2d(\sqrt{(n^2 - \sin^2 a'_1) - \sqrt{n^2 - \sin^2 a_1}}). \quad (18)$$

Jeżeli promień, padający w punkcie  $J$  na płytkę  $P_1$ , wychodzi z punktu, leżącego za płaszczyzną rysunku, punkt  $K$  padania tego promienia na płytkę  $P_2$  leży przed płaszczyzną rysunku; jeszcze bardziej przed tę płaszczyznę wysunięty jest punkt  $G$  padania promienia 2 na płytkę  $P_2$ , punkt bowiem  $E$  wyjścia jego z płytki  $P_1$  leży również przed tą płaszczyzną. Proste  $KF$  i  $KG$ , skierowane ku przodowi tworzą ze sobą pewien kąt. Ale i w tym przypadku, czego tu dowodzić nie będziemy, obowiązuje wzór (18).

Różnica dróg optycznych zależy nie tylko od grubości płytek, lecz również i od kątów padania na płytkę. Gdy kąty te są równe ( $a_1 = a'_1$ ), a więc gdy promienie, biegnące między płytkami, są prostopadłe do dwusiecznej kąta  $\Theta$  (promienie główne lub symetryczne),  $\Delta$  staje się równe zero. A zatem prążek środkowy obrazu interferencyjnego (w danym przypadku jasny), tworzący się w nieskończoności, jest linią prostą, równoległą do prostej, wzdłuż której przecinają się płaszczyzny płytek. Prążki interferencyjne wyższych rzędów, rozłożone symetrycznie względem prążka środkowego  $\Delta = 0$ , tworzą krzywe na ogół bardzo złożone (Ketteler, 1865 r.), jeżeli jednak, jak to bywa zazwyczaj, poprze-

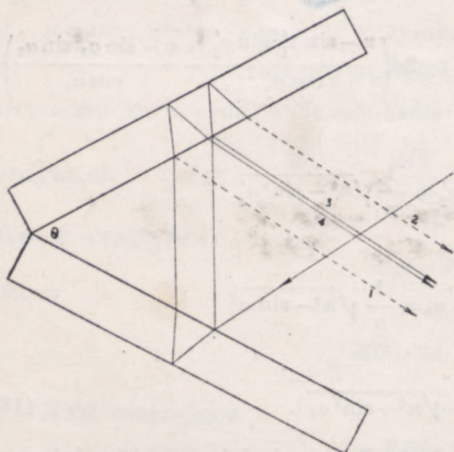


staniemy na rozpatrywaniu tej tylko części obrazu, która powstaje na skutek interferencji promieni, tworzących niewielki kąt z promieniami głównymi, krzywe interferencji mało różnić się będą od odcinków prostoliniowych, równoległych do prążka środkowego.

Taki właśnie obraz widzimy, gdy oko umieszczamy w płaszczyźnie, przesuniętej przez normalne do płytek, lub też gdy zjawisko obserwujemy przez lupę, w której ognisku znajduje się przesłona z niewielkim otworem, lub wreszcie, gdy układ oświetlamy promieniami prawie równoległymi.

Krzywe te odpowiadają niewielkim różnicom dróg optycznych; prążki otrzymane są niskiego rzędu interferencji.

Lummer wykazał (1885 r.), że nachylając płytki pod kątami większymi można otrzymać prążki wyższego rzędu interferencji. Tym razem jednak, jak to wynika



Rys. 184

bezpośrednio z rys. 184, interferują promienie, pominięte przez nas w uprzednich wywodach, a mianowicie, promienie 3, 4, z których promień 3 nie załamuje się w żadnej z płytek, lecz jedynie się od nich odbija, promień zaś 4 załamuje się w obydwu, nie odbija się od żadnej. Promienie te, które przy małych kątach  $\Theta$  wychodzą z płytek w tak wielkiej w stosunku do promieni 1, 2 wzajemnej odległości, że mogą być przez umieszczenie odpowiedniej przesłony nie dopuszczone do oka obserwatora, zbliżają się do siebie w miarę zwiększania się kąta  $\Theta$ , promienie zaś 1, 2 jednocześnie się oddalają. Różnica dróg optycznych promieni 3, 4 równa jest drodze optycznej promienia 4 w obu płytkach, a więc równa

$$\Delta = 2d(\sqrt{n^2 - \sin^2 \alpha_1} + \sqrt{n^2 - \sin^2 \alpha'_1}) \quad (18a)$$

(por. wz. 18).

Kształt krzywych interferencji zależy w tym przypadku od wartości kąta  $\Theta$ .

Tego rodzaju układ zastosował Jamin do budowy przyrządu, przedstawionego na rys. 185. Promienie prawie równoległe padają na płytkę  $P_1$  pod kątem bliskim  $45^\circ$  i pod prawie tym samym kątem wychodzą z płytki  $P_2$ , której płaszczyzna przecina się z płaszczyzną  $P_1$  pod bardzo małym kątem. W tych warunkach prążki interferencyjne są liniami prostymi, rozmieszczonymi w równych odstępach. Odstępy te, czego tu dowodzić nie będziemy, są równe

$$p = \frac{\lambda}{4d \cdot \Theta} \cdot \sqrt{n^2 - 1}, \quad (18b)$$

wzrastają więc w miarę zmniejszania się kąta  $\Theta$ .



Przy tym sposobie obserwacji zjawiska interferencji zachodzą tak, jak przy interferencji promieni, wychodzących z jednego punktu świetlnego (por. ust. 4), prążki nie są więc umiejscowione; są one widzialne i wtedy, gdy płytki nie mają dokładnie tej samej grubości i nie są całkowicie płasko-równoległe.

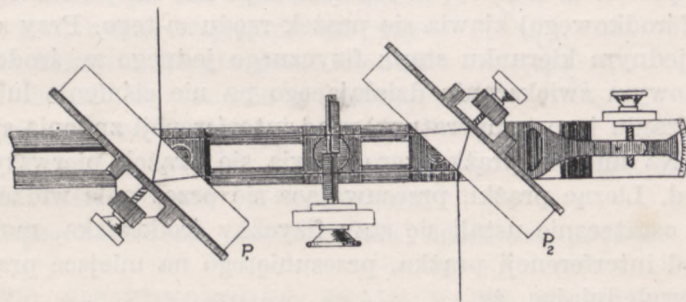
Odległość wzajemna promieni interferujących  $JK$  i  $EG$  (p. rys. 183) wynosi

$$ES = 2d \cdot \operatorname{tg} a_2 \cdot \cos a_1,$$

przy płytkach więc o grubości 4 cm i kącie padania  $a_1 = 45^\circ$

$$ES \approx 3 \text{ cm.}$$

Jest to odległość zupełnie wystarczająca, aby móc każdy z tych promieni przepuszczać przez inne środowisko i tym sposobem zmieniać różnicę ich dróg optycznych. Umieścimy na drodze promienia  $JK$  rurkę (o średnicy



Rys. 185

np. 1 cm), wypełnioną badaną cieczą lub gazem pod stałym ciśnieniem i w stałej temperaturze i zamkniętą z obu końców płasko-równoległymi płytkami, na drodze zaś promienia  $EG$  taką rurkę, wypełnioną tą samą cieczą lub gazem, w której ciśnienie i temperaturę możemy dowolnie zmieniać. Oznaczmy przez  $l$  — długość rurki, przez  $n$  i  $n'$  współczynniki załamania obu środowisk. Dopóki współczynniki te będą miały wartości jednakowe, rozkład prążków interferencyjnych pozostanie bez zmiany, z chwilą jednak, gdy współczynniki te przybierać będą różne wartości, prążki zaczną się przesuwają. W miejscu, w którym powstawał początkowo prążek  $\Delta = 0$ , powstanie prążek, odpowiadający

$$\Delta = \frac{l}{\lambda'} - \frac{l}{\lambda}.$$

Chcąc otrzymać tę samą różnicę dróg w próżni, musielibyśmy odpowiednio zmienić długość geometryczną dróg, przebieganych przez promienie.



Drogi w próżni optycznie równoważne danym drogom, byłyby równe

$$l'_0 = \frac{l}{\lambda'} \cdot \lambda_0 \quad \text{i} \quad l_0 = \frac{l}{\lambda} \cdot \lambda_0, \quad (\text{a})$$

gdzie  $\lambda_0$  oznacza długość fali światła w próżni. Różnica zatem dróg optycznych, odniesiona do próżni, wynosi

$$\Delta = l'_0 - l_0,$$

gdyż współczynnik załamania równy jest w tym przypadku jedności. Po podstawieniu wartości  $l_0$  i  $l'_0$  ze wzorów (a) otrzymujemy

$$\Delta = l \left( \frac{\lambda_0}{\lambda'} - \frac{\lambda_0}{\lambda} \right) = m \lambda_0, \quad (\text{b})$$

gdzie  $m$  jest pewną liczbą dodatnią. Gdy  $m$  jest liczbą całkowitą,  $\Delta_0$  odpowiada prążkowi  $m$ -tego rzędu interferencji. Na miejscu zatem prążka rzędu zero (środkowego) zjawia się prążek rzędu  $m$ -tego. Przy stopniowej zmianie w jednym kierunku stanu fizycznego jednego ze środowisk (np. przy stopniowym zwiększaniu działającego na nie ciśnienia lub stopniowym zwiększaniu jego temperatury) rząd interferencji zmienia się również stopniowo. Na miejsce prążka zero zjawia się prążek pierwszy, następnie drugi itd. Licząc prążki, przesuwające się przez pole widzenia aż do chwili, gdy ostatecznie ustali się stan fizyczny środowiska, możemy wyznaczyć rząd interferencji prążka, przesuniętego na miejsce prążka środkowego. Uwzględniając, że

$$\frac{\lambda_0}{\lambda'} = n' \quad \text{i} \quad \frac{\lambda_0}{\lambda} = n,$$

otrzymujemy

$$n' - n = m \cdot \frac{\lambda_0}{l}.$$

Przy dużej staranności można wyznaczyć przesunięcie o 0,05 odstępu między prążkami. Używając światła płomienia sodu ( $\lambda = 0,589 \mu$ ) i biorąc rurę długości 40 cm, możemy wyznaczyć różnicę współczynników załamania rzędu

$$n' - n = 0,05 \cdot \frac{589 \cdot 10^{-6}}{4 \cdot 10^2} \approx 7 \cdot 10^{-8}.$$

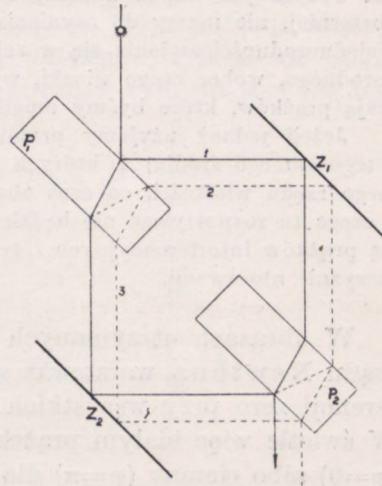
Przyrząd Jamina — tzw. refraktometr interferencyjny — jest często używany do wyznaczania współczynnika załamania gazów, ich dyspersji (różnicy współczynników załamania różnych długości fal), zależności własności optycznych od ciśnienia i temperatury itp.



Nie wchodząc w szczegóły późniejszych ulepszeń tego przyrządu, wspomnimy jedynie o zmianach, jakie wprowadził do niego L. Mach (1891 r.). Promienie odbite i załamane w płytce  $P_1$  po odbiciu od zwierciadeł  $Z_1$  i  $Z_2$ . (rys. 186) padają na płytkę  $P_2$ . Promienie 2 i 3, wychodzące z układu po doznaniu wielokrotnych odbić od powierzchni płytek mają natężenie mniejsze, niż promienie 1; odpowiednio umieszczona przesłona nie dopuszcza ich do oka obserwatora.

Jest rzeczą oczywistą, że do takich pomiarów nadają się wszystkie układy optyczne, w których wiązki interferujące biegną, przed spotkaniem się, w pewnej odległości jedna od drugiej. Tak jest, jak wiemy, w dwuprzymacie Fresnela, podwójnej soczewce Billeta, przy dwóch wąskich szczelinach itp. Tego rodzaju przyrządy, użyte po raz pierwszy przez Arago i Fresnela, następnie zaś używane przez Fizeau, Rayleigha, Wooda i innych, okazały się wszakże w praktyce mniej dogodne od refraktometru Jamina.

Ale i od tego przyrządu dogodniejszy okazał się interferometr Michelsona, którego opis i niektóre zastosowania miernicze podamy w ust. 9.



Rys. 186

## 7. ŚWIATŁO NIEJEDNORODNE. SKALA BARW INTERFERENCYJNYCH

Wnioski, do których nas doprowadziły rozważania ustępów poprzednich, pozostaną na ogół w mocy i w tym przypadku, gdy źródło oświetlające wysyłać będzie promienie niejednorodne. Różnym długościom fali promieni interferujących odpowiadać będą niezależne wzajemnie układy prążków, których odstępów zależność będą od tych właśnie długości fali. Układy te będą się nakładały jeden na drugi, nie interferując ze sobą.

Fakt, że promienie różnych długości fal ze sobą nie interferują, przeczy jak gdyby analogii między zjawiskami świetlnymi i drganiami sprężystymi, które, jak wiemy, (p. M. Grotowski, Wykłady fizyki tom II, str. 53) interferują nawet wtedy, gdy okres ich drgań, a co za tym idzie i długości fal, bardzo znacznie się różnią. Ta pozorna sprzeczność wynika stąd, że okres „drgania” świetlnego jest w przeciwieństwie do drgania sprężystego (zwłaszcza w dziedzinie akustycznej) bardzo mały w porównaniu z czasem koniecznym do obserwacji natężenia światła. Ilość „dudnień świetlnych”, zachodzących w ciągu tego czasu, jest tak wielka, że cechujące je okresowo osłabienia i wzmocnienia natężenia światła stają się niedostrzegalne. Tak np. linii  $C$  Fraunhofera, leżącej na pograniczu czerwonej i pomarańczowej części widma, odpowiada fala o długości  $656,283 \mu$  o częstości przeto zmian około  $45,7 \cdot 10^{12}$  na sekundę, linii  $D$  — długość fali  $589,5 \mu$  o częstości zmian  $51 \cdot 10^{12}$  na



sekundę. Częstość więc „dudnień”, spowodowanych przez interferencję tych dwóch długości fali, (a tym samym i częstość osłabień i wzmocnień natężenia światła), przekracza wartość 6 000 miliardów na sekundę.

Temu, być może, należy przypisać nieinterferowanie promieni, na pozór o tej samej długości fali, wychodzących z różnych źródeł (Lake, 1911 r.). Nigdy bowiem, jak o tym już wspominaliśmy i jak o tym niżej (ust. 8) będziemy mówili nieco obszerniej, nie mamy do czynienia ze światłem zupełnie jednorodnym. Stopień tej niejednorodności zmienia się w zależności od użytego źródła światła, pozornie jednorodnego, wobec czego wiązki, wychodzące z dwóch różnych źródeł, nie wytwarzają prążków, które byśmy mogli obserwować.

Jeżeli jednak użyjemy promieni optycznie spójnych (a zatem wychodzących z tego samego źródła) i których okresy „drgań” różnią się o wartość tego samego rzędu wielkości, co czas obserwacji, wtedy, jak to wykazał Righi (1883 r.), a czego tu rozpatrywać nie będziemy, można wykazać wahanie się natężenia światła prążków interferencyjnych i tym samym jak gdyby przesuwanie się ich w płaszczyźnie obserwacji.

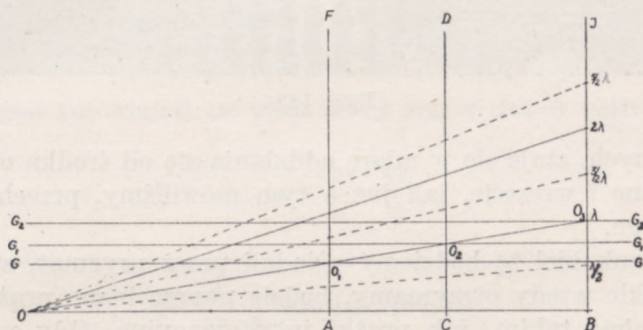
W obrazach otrzymanych przy użyciu zwierciadeł Fresnela, przyrządu Newtona, warstewki w kształcie klina itd. prążek o rzędzie interferencji zero przy wszystkich długościach fali zajmuje miejsce to samo. W świetle więc białym prążek ten (lub plama) będzie zawsze albo biały ( $\varphi=0$ ) albo ciemny ( $\varphi=\pi$ ) dla wszystkich długości fali. Jest to tzw. prążek achromatyczny (bezbarwny). Odległość jednak następnego prążka ciemnego czy jasnego będzie już dla każdej długości fali inna. Tak np. gdy prążek zerowy jest biały, pierwszy prążek, w którym światło fioletowe ma natężenie największe ( $\Delta=\lambda_f$ ) będzie leżał bliżej prążka zerowego, niż prążek czerwony ( $\Delta=\lambda_c$ ), jak to wynika ze wzorów (8), (15b), (17). Maksima i minima poszczególnych długości fali nie będą na ogół przypadły w tym samym miejscu obrazu interferencyjnego; w punkcie obrazu, gdzie powstaje pierwszy jasny prążek fioletowy, promienie żółte będą miały natężenie mniejsze, niż to, jakie posiadają we własnym prążku jasnym, promienie czerwone jeszcze mniejsze, gdyż maksimum ich natężenia leży dalej, niż maksimum natężenia promieni żółtych. Prążek zatem nie będzie już biały, barwy składowe będą w innym stosunku, niż w świetle białym; prążki będą zabarwione.

Newton w swej „Optyce” dał prosty sposób wyznaczenia tych tzw. barw interferencyjnych; jakie w tych warunkach powstają.

Odlóży na osi odciętych (rys. 187) odcinki proporcjonalne do długości fal danych barw przyrządowych, tak, aby  $OA$  było proporcjonalne do długości fali światła fioletowego,  $OB$  — czerwonego, na prostopadłych zaś  $AF, CD \dots BJ$  odcinki proporcjonalne do jednej, dwóch, trzech... długości fali danego światła. Końce odpowiednich odcinków  $AO_1, CO_2 \dots BO_3$  będą, rzecz prosta, leżały na tej samej prostej  $OO_3$ . Punkty tej prostej (i analogicznych innych) będą wyznaczały różnice dróg optycznych, odpowiadające w przypadku ciemnego prążka zero-



wego (środek pierścieni Newtona, krawędź warstewki klinowatej w świetle odbitym) minimum natężenia, punkty zaś prostych (kreskowanych), oddległych o  $\frac{\lambda}{2}$ ,  $\frac{3\lambda}{2}$  itd. od  $ACB$  — maksimum natężenia danej długości fali. Przesuwajmy prostą  $GG$  od  $AB$  w górę. W punkcie obrazu, zgodnie z konstrukcją, natężenie światła fioletowego ma wartość najmniejszą, wszystkie inne długości fali światła mają natężenie większe od zera. Barwa zatem prążka jest sumą wszystkich barw, w tym miejscu nie wy-



Rys. 187

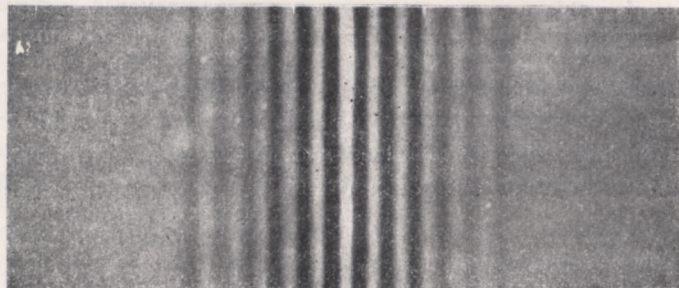
gaszonych. Miarą natężenia poszczególnych barw są długości odpowiednich odcinków, liczonych od prostej  $G_1G_1$ . Gdy prostą przesuniemy do położenia  $G_2G_2$ , wygasaniu ulegną promienie fioletowe i czerwone; zabarwienie prążka w tym miejscu będzie zatem zupełnie inne. W miarę przesuwania linii do góry coraz więcej barw będzie jednocześnie wygaszanych, jednocześnie wszakże coraz więcej barw będzie miało w danym miejscu obrazu interferencyjnego maksimum natężenia. Im większy zatem będzie rząd interferencji prążków, tym mniejszy będzie kontrast między prążkami sąsiednimi, ostatecznie otrzymany oświetlenie prawie jednostajne, niewiele różniące się od oświetlenia światłem białym, tzw. biel rzędu wyższego.

Zjawisko zatem przebiega mniej więcej, jak to przedstawia rys. 188, odtwarzający schematycznie obraz prążków Fresnela w świetle białym (rysunek wzięty z książki Bouasse'a i Carrière'a „Interférences”). Środkowy prążek jasny leży między dwoma prawie zupełnie niezabarwionymi ciemnymi prążkami, prążki następne mają ze strony, zwróconej ku prążkowi zerowemu, obwódkę fioletową, z odwrotnej zaś — czerwoną. Im dalej od środka, tym bardziej zmniejsza się różnica oświetlenia prążków ciemnych i jasnych.

Oko najlepiej rozróżnia maksima i minima natężenia tych barw, na które jest najwrażliwsze ( $\lambda$  około  $560 \text{ m}\mu$ ); na kliszy fotograficznej najwyraźniej występują maksima i minima promieni, najczynniejszych chemicznie.



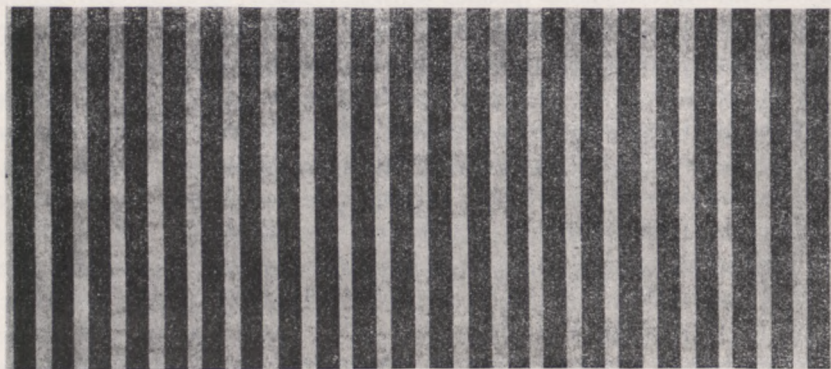
Na ogół, czego rysunek nie odtwarza, całe pole między prążkami jest zabarwione. Zabarwienie to, przechodząc przez szereg odcieni barw



Rys. 188

interferencyjnych, staje się w miarę oddalania się od środka obrazu coraz mniej nasycone i wreszcie, jak już o tym mówiliśmy, przechodzi w biel rzędu wyższego.

Jeżeli jednak biel tę będziemy oglądali przez pryzmat, stwierdzimy, że widmo, jakie wtedy otrzymamy, będzie poprzecinane prążkami ciemnymi o kształcie takim, jak prążki interferencyjne. Gdy prążki te są prostoliniowe, widmo, wytworzone przez pryzmat, wygląda mniej więcej tak, jak na schematycznym rysunku 189. Tego rodzaju widmo nazy-



Rys. 189

wamy prążkowanym (spectre cannelé). Liczba prążków odpowiada liczbie długości fal, wygaszonych w tym miejscu obrazu, a zatem liczbie punktów przecięcia się prostej  $GG$  z prostymi  $00_n$  w konstrukcji Newtona.

Przypuśćmy, częściowo powtarzając wywód Bouasse'a, że pryzmat o krawędzi równoległej do prążków zaopatryliśmy w szczelinę, też do krawędzi równoległą i że początkowo ustawiliśmy tę szczelinę na środkowy prążek jasny. Widmo będzie miało wtedy wygląd normalny, gdyż w tym miejscu obrazu natężenia wszystkich barw widma pryzmatycznego są w tym samym mniej więcej stosunku, co w widmie, otrzymanym przy bezpośrednim oświetleniu szczeliny przez źródło. Je-



zeli jednak będziemy przesuwali szczelinę w kierunku wzrastającego rzędu interferencji, w widmie ukaże się przede wszystkim prążek w części fioletowej. Gdy prążkami są prążki Fresnela, ciemny ten prążek powstanie przy przesunięciu szczeliny, znajdując się w odległości  $d$  od zwierciadeł, o

$$x'_f = \varepsilon_f = \frac{d}{2l} \cdot \frac{\lambda_f}{2}$$

w bok od jasnego prążka środkowego. Przy dalszym przesuwaniu szczeliny prążek ciemny zbliżać się będzie do czerwonego końca widma i wreszcie wyjdzie poza widmo, gdy przesunięcie wyniesie

$$x'_c = \varepsilon_c = \frac{d}{2l} \cdot \frac{\lambda_c}{2},$$

gdzie  $\lambda_c$  — długość fali skrajnej czerwieni. Nowy prążek ciemny pojawi się w części fioletowej, gdy

$$x''_f = 2\varepsilon_f = \frac{d}{2l} \cdot \frac{3\lambda_f}{2}$$

lub, kładąc  $\lambda_f = 0,4 \mu$ ,

$$x''_f = \frac{d}{2l} \cdot \frac{1}{2} \cdot 3 \cdot 0,4 \mu = C \cdot 1,2 \mu.$$

Podobnie następne prążki zaczną się ukazywać przy

$$x_{f'''} = C \cdot 5,0,4 \mu = C \cdot 2 \mu,$$

$$x_{f^{(m)}} = C \cdot (2m - 1) \cdot 0,4 \mu.$$

Tak więc podczas przesunięcia szczeliny o

$$x^{(10)} = C(2 \cdot 10 - 1) \cdot 0,4 \mu = C \cdot 7,6 \mu$$

wyjdzie do widma od strony fioletowej 10 prążków ciemnych.

Jednocześnie ze strony czerwonej prążki będą wychodziły poza widmo. Pierwszy wyjdzie, jak to wyżej wykazaliśmy, przy

$$x'_c = C \cdot \lambda_c = C \cdot 0,7 \mu,$$

drugi przy przesunięciu o

$$x''_c = C \cdot 3 \cdot 0,7 \mu = C \cdot 2,1 \mu$$

i  $p$ -ty przy

$$x_c^{(p)} = C(2p - 1) \cdot 0,7 \mu.$$

Wobec tego przy przesunięciu szczeliny o

$$x^{(p)} = x^{(10)} = C \cdot 7,6 \mu$$

wyjdzie poza widmo prążków

$$p \approx 6.$$

W widmie pozostaną przeto 4 prążki ciemne. W warunkach doświadczenia opisanego na str. 208, gdzie  $d = 2000$  mm,  $2l = 2,36$  mm, taki stan rzeczy nastąpi przy przesunięciu szczeliny o

$$x \approx 3,36 \text{ mm}.$$



Ze wzrostem  $m$  wzrasta liczba ciemnych prążków w widmie, mamy bowiem

$$N = m - p = (2m - 1) \cdot \frac{\lambda_c - \lambda_f}{2\lambda_c}.$$

Wzrostem ilości prążków ciemnych, towarzyszącym wzrostowi rzędu interferencji, tłumaczy się niemożność obserwowania krzywych jednokowego nachylenia w świetle białym lub nawet niedostatecznie jednokowym (p. ust. 8), chyba że płytka ma grubość tego samego rzędu wielkości, co długość fali, a zatem, gdy najwyższy rząd interferencji jest stosunkowo niewielki.

Niech grubość płytki wynosi np. 2 mm. Rząd interferencji promieni skrajnej czerwieni ( $\lambda = 0,750 \mu$ ), dających przy prostopadłym oświetleniu płytki ciemną plamę środkową, będzie równy (p. wzór 12a)

$$m_c = \frac{4 \cdot 1,5 \cdot 10^6}{750} = 8000, \quad (a)$$

rząd interferencji promieni fioletowych ( $\lambda_f = 0,400 \mu$ ), dających też ciemną plamę w środku obrazu, wyniesie, gdy pominiemy niewielką zmianę współczynnika załamania, (p. niżej)

$$m_f = \frac{4 \cdot 1,5 \cdot 10^6}{400} = 15000. \quad (b)$$

Podobne minimum natężenia będą miały również promienie o długości fali

$$\lambda'_c = \frac{6 \cdot 10^6}{8001}; \lambda''_c = \frac{6 \cdot 10^6}{8002} \quad (c)$$

oraz o długości fali

$$\lambda'_f = \frac{6 \cdot 10^6}{14999}; \lambda''_f = \frac{6 \cdot 10^6}{14998}. \quad (d)$$

Ogółem więc 7000 promieni o długościach fal, wyrażonych wzorami (a), (b), (c), (d) będzie w środku wygaszone. Jednocześnie jednak tyleż promieni o długościach fal, wyznaczonych ze wzoru (p. wzór 12)

$$\lambda = \frac{2d \cdot n}{m - \frac{1}{2}}, \quad (e)$$

gdzie  $m$  jest liczbą całkowitą, zawartą między 8000 i 15000 będzie miało w środku maksimum natężenia. Promienie o pośrednich długościach fali będą miały natężenie mniejsze od największego, lecz większe od zera. Wobec tak wielkiej ilości w tym miejscu prążków ciemnych i jasnych oraz prążków o natężeniu pośrednim, rozmieszczonych mniej więcej równomiernie we wszystkich częściach widma, będziemy mieli wrażenie, że środek obrazu jest biały. Podobnie rzecz się będzie miała również z częściami obrazu, leżącymi dalej od środka; jakkolwiek rząd interferencji będzie się w miarę oddalania się od środka zmniejszał, zawsze jednak będzie dość znaczny, aby uniemożliwić nam widzenie prążków.



W tym ostatnim przypadku płytka płasko-równoległa wyda się nam jednostajnie zabarwioną. Odcień zabarwienia zależeć będzie od kąta padania promieni, oświetlających płytkę (lub innymi słowy od kąta, pod którym płytkę obserwujemy), oraz od grubości płytki. Natomiast nie będzie prawie zupełnie zależny od własności rozszczepiających materiału płytki, to znaczy, od zmiany współczynnika załamania ze zmianą długości fali światła padającego. Zmiany te bowiem są tak małe w porównaniu ze zmianami długości fali, że w niczym prawie nie wpływają na przebieg zjawiska. Tak np. w szkle ciężkim, bardzo silnie rozszczepiającym, przy zmniejszeniu długości fali od  $700 m\mu$  do  $400 m\mu$ , a więc, w stosunku 1,75:1 współczynnik załamania zmienia się od 1,62 do 1,67 a więc mniej więcej o 3%.

Przypuścimy, że badana przez nas warstewka płasko-równoległa o współczynniku załamania 1,5 ma grubość  $0,5 \mu$ . Rząd interferencji promieni skrajnie czerwonych wynosi wtedy

$$m = \frac{1,5}{0,75} = 2;$$

jedynie zatem promienie o tej długości fali i o długości dwa razy mniejszej, należące już do niewidzialnej części widma, są w danym miejscu obrazu interferencyjnego wygaszone. Barwa plamy środkowej jest sumą wszystkich pozostałych barw pryzmatycznych, o innym, oczywiście, natężeniu, niż w widmie pryzmatycznym.

Z zabarwienia takiej płytki można wnioskować o jej grubości. Do tego jednak konieczna jest znajomość odcieni barw interferencyjnych, odpowiadających danej grubości. Stąd znaczenie tzw. skali barw Newtona lub inaczej skali barw interferencyjnych płytek cienkich. Skalę tę, obliczoną dla warstewki powietrza (lub próżni) podaje poniższa tablica, oparta na badaniach Krafta (1902 r.) i wzięta z „Zasad fizyki” Witkowskiego (tom 2, wyd. 2, str. 465) z drobną jedynie zmianą oznaczeń.

Środek biały		Środek ciemny	
różnica dróg optycznych		różnica dróg optycznych	
$d$ w $\mu$	barwa	$d$ w $\mu$	barwa
0,00	biała	0,00	czarna
0,055	żółto-biała	0,024	błękitno-szara
0,08	cisawa	0,055	sino-czarna
0,113	czerwono-pomarańczowa	0,11	biała z odcieniem zielonawo-niebieskim
0,118	czerwona	0,118	biała z odcieniem niebiesko-zielonym
0,124	ciemno-różowa	0,1265	zielonawo-biała



0,1265	ciemno-purpurowa	0,132	biała z odcieniem żółto-zielonym
0,135	ciemno-fioletowa	0,140	biała z odcieniem zielono-żółtym
		0,169	jasno-żółta
0,140	błękitna	0,1815	cisawa
0,173	niebieska	0,217	pomarańczowa
0,2035	zielono-niebieska	0,2365	czerwono-pomarańczowa
0,245	niebiesko-zielona	0,245	jasno-czerwona
0,258	zielona	0,250	różowa
0,267	żółto-zielona	0,256	purpurowa
0,278	zielono-żółta	0,272	fioletowa
0,341	pomarańczowa	0,280	błękitna
0,360	czerwono-pomarańczowa	0,300	niebieska
0,3685	jasno-czerwona	0,341	zielono-niebieska
		0,3685	niebiesko-zielona
0,3795	różowa	0,404	zielona
0,385	purpurowa	0,418	zielono-żółta
0,410	fioletowa	0,443	żółta
0,4235	błękitna	0,4675	pomarańczowa
0,440	niebieska	0,4725	czerwono-pomarańczowa
0,462	zielono-niebieska	0,498	jasno-czerwona
0,498	niebiesko-zielona	0,512	różowa
0,520	zielona	0,520	purpurowa
0,539	żółto-zielona	0,547	fioletowa

Gdy różnica dróg optycznych promieni środkowej części widma staje się równa nieparzystej długości fal, skrajne części widma dają barwę purpurową. Wtedy stosunkowo drobna zmiana składników, zachodząca na skutek pojawienia się na nowo jednej z barw wygaszonych, zmienia purpurę w fiolet lub czerwień, dlatego też barwę tę często nazywa się czułą. Według Krafta pojawia się ona przy wygaszeniu fal o długościach mniej więcej równych  $0,5 \mu$  (przy  $2d$  równych w układzie o środku białym 0,253, 0,770..., w układzie o środku czarnym 0,512, 1,040). Barwa czuła rozdziela rzędy barw.

Gdy warstewka nie ma grubości jednakowej, różne jej części są w różny sposób zabarwione (iryzacja). Z takim zmiennym zabarwieniem spotykamy się bardzo często w życiu codziennym, wykazują ją cienkie warstewki tłuszczu, rozlane na powierzchni kałuż, stare szyby, których powierzchnie pod wpływem wilgoci utleniły się (szczególnie łatwo utlenia się w tych warunkach szkło ciężkie — flint), bańki mydlane itp.



Barwy interferencyjne powstają na stali przy jej wyżarzaniu. Z barwy warstewki tworzącej się na jej powierzchni, można w przybliżeniu ocenić jej temperaturę. Według Bouasse'a zazwyczaj przyjmuje się skalę następującą

barwa jasno-żółta 220° do 230°	ciemno-błękitna 290° do 300°
żółta 230° do 240°	błękitna 300° do 330°
niebieskawa (gorge de pigeon) 240°—270°	jasno-zielona 330° do 400°
fioletowa 270° do 290°	

W miarę zwiększania się grubości warstewki rząd interferencji wzrasta, na płycie powstają barwy interferencyjne wyższych rzędów.

Ścisłe biorąc, krzywe jednakowego nachylenia powstają w nieskończoności (p. ust. 4), w płytkach jednak bardzo cienkich promień, odbity od przedniej powierzchni prawie się zbiega z promieniem, odbitym od powierzchni tylnej, tak że obraz interferencyjny tworzy się na przedniej powierzchni płytki.

Przy znacznej wprawie i w szczególnie dogodnych warunkach można zaobserwować barwy rzędu piątego; barwy rzędów wyższych są już zbyt blade, aby można je było rozróżnić.

#### 8. ŚWIATŁO POZORNIE JEDNORODNE. INTERFEROMETR PÉROTA I FABRY'EGO. SPEKTROSKOPIA INTERFERENCYJNA

Zastosujmy wywody ustępu poprzedniego do przypadku interferencji dwóch rodzajów promieni o niewiele różniących się długościach fali  $\lambda_1$  i  $\lambda_2$  i przyjmijmy dla uproszczenia, że przyrządem interferencyjnym jest płytka szklana (lub warstewka powietrza) w kształcie klina, tak że prążki interferencyjne są odcinkami linii prostych, równoległych do krawędzi klina. Zgodnie z naszymi poprzednimi wywodami powinniśmy otrzymać dwa zupełnie niezależne układy interferencyjne o wspólnym prążku ciemnym na samej krawędzi klina. Odstępy prążków w każdym z układów poszczególnych będą (przy oświetleniu prostopadłym) odpowiednio równe (p. wzór 15b)

$$p_1 = \frac{\lambda_1}{2n} \cdot \frac{1}{\operatorname{tg} \theta} \quad \text{i} \quad p_2 = \frac{\lambda_2}{2n} \cdot \frac{1}{\operatorname{tg} \theta}$$

lub z uwagi, że kąt  $\theta$  jest bardzo mały,

$$p_1 = \frac{\lambda_1}{2n \cdot \theta} \quad \text{i} \quad p_2 = \frac{\lambda_2}{2n \cdot \theta}$$

Prążki będą tym bardziej względem siebie przesunięte, im wyższy będzie ich rząd interferencji. Gdy

$$mp_1 = m \cdot \frac{\lambda_1}{2n \cdot \theta} = \left(m + \frac{1}{2}\right) p_2 = \left(m + \frac{1}{2}\right) \cdot \frac{\lambda_2}{2n \cdot \theta}, \quad (\text{a})$$



prążek ciemny jednego układu przypada na prążek jasny drugiego; w tym miejscu prążek interferencji znika. Gdy zaś

$$mp_1 = (m+1)p_2, \quad (b)$$

prążek ciemny jednego układu przypada na prążek ciemny drugiego; w tym miejscu prążki są szczególnie wyraźne.

Gdyby prążki jasne i ciemne były ostro od tła odgraniczone, w obu przypadkach widzielibyśmy dwa układy prążków; w przypadku pierwszym znikalby jedynie prążek, którego rząd interferencji czyniłby zadość równaniu (a), sąsiednie jednak prążki, odległe wzajemnie o

$$p_1 - p_2 = \frac{1}{2n\Theta} (\lambda_1 - \lambda_2),$$

mogłyby być widziane. W rzeczywistości jednak natężenie światła między prążkami zmienia się, jak zawsze wtedy, gdy interferują dwa promienie, zgodnie ze wzorem

$$I = 4a^2 \cos^2 \pi \cdot \frac{\Delta}{\lambda}. \quad (c)$$

Wiemy jednak, że (p. wzór a, ust. 5, gdzie  $\alpha_1 = \theta$ )

$$\Delta = 2d \cdot n + \frac{\lambda}{2},$$

tak że

$$\frac{\Delta}{\lambda} = \frac{2d \cdot n}{\lambda} + \frac{1}{2} \quad \text{i} \quad I = 4a^2 \sin^2 \pi \cdot \frac{2d \cdot n}{\lambda}.$$

Oznaczmy przez  $x$  odległość danego prążka od krawędzi (od zerowego prążka układu interferencyjnego) i przez  $d$  — grubość płytki w tym miejscu; kładąc

$$\Theta = \frac{d}{x},$$

znajdujemy

$$p_1 = \frac{\lambda}{2n} \cdot \frac{x}{d},$$

skąd

$$I = 4a^2 \cdot \sin^2 \pi \frac{x}{p_1}.$$



Niech odległość  $x$  równa będzie  $k \cdot p_1$ , gdzie  $k$  jest dowolną liczbą dodatnią; natężenie w tym punkcie płytki, równe sumie natężeń światła obu fal, wyniesie

$$\begin{aligned} I &= I_1 + I_2 = 4a^2 \left[ \sin^2 \pi k + \sin^2 \pi \frac{kp_1}{p_2} \right] = \\ &= 4a^2 \left[ \sin^2 \pi k + \sin^2 \left( \pi \frac{kp_1}{p_2} + \pi k - \pi k \right) \right] = \\ &= 4a^2 \left[ \sin^2 \pi k + \sin^2 \left( \pi k + \pi k \frac{p_1 - p_2}{p_2} \right) \right]; \end{aligned}$$

kładąc

$$\delta = p_1 - p_2,$$

otrzymujemy

$$I = 4a^2 \left[ \sin^2 \pi k + \sin^2 \left( \pi k + \pi \frac{k\delta}{p_2} \right) \right].$$

W przypadku przez nas rozpatrywanym

$$\frac{\delta}{p_2} = \frac{p_1 - p_2}{p_2} = \frac{\lambda_1 - \lambda_2}{\lambda_2}$$

jest wielkością małą w porównaniu z jednością, wobec czego  $\pi \frac{k\delta}{p_2}$  zmienia się znacznie wolniej, niż  $\pi k$  tak, że w pewnym obszarze możemy ją uważać za stałą. Gdy w jednym z miejsc tego obszaru  $k$  równe jest takiej liczbie całkowitej  $m$ , która spełnia warunek (a)

$$mp_1 = \left( m + \frac{1}{2} \right) p_2,$$

skąd

$$m(p_1 - p_2) = \frac{1}{2} p_2$$

i

$$\frac{m(p_1 - p_2)}{p_2} = \frac{k\delta}{p_2} = \frac{1}{2};$$

natężenie światła w danym obszarze wynosi

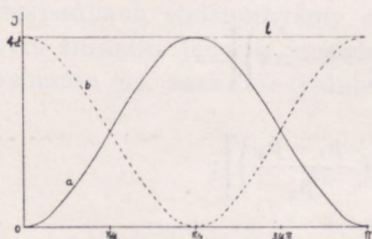
$$I = I_1 + I_2 = 4a^2 (\sin^2 \pi k + \cos^2 \pi k) = 4a^2, \quad (d)$$



ma przeto niezależnie od  $k$  w całym tym obszarze wartość jednakową; obszar ten wydaje się nam oświetlony równomiernie, prążki stają się w nim niedostrzegalne.

Do tego samego wniosku możemy dojść i na nieco odmienną drogę.

Odkładajmy na osi odciętych odległości prążków obu układów od pewnego prążka  $mp_1$ , w którym ciemny prążek jednego układu (krzywa  $a$ ,



Rys. 190

rys. 190) zbiega się z prążkiem jasnym drugiego układu (krzywa  $b$ ); przyjmijmy, że przesunięcia wzajemne prążków obu układów są w sąsiedztwie prążka  $k=0$  dostatecznie małe, aby mogły być pominięte. Natężenie wypadkowe w dowolnym punkcie rozpatrywanego obszaru otrzymamy, sumując odpowiednie rzędne, wyrażające natężenie promieni interferujących w danym miejscu. Jak bezpośrednio

wynika z rysunku, natężenie wypadkowe wyrazi prosta  $I$ , równoległa do osi odciętych. W całym przeto badanym obszarze natężenie będzie miało wartość stałą. Gdy w jednym z prążków obszaru spełniony będzie warunek (b) i

$$mp_1 = (m+1)p_2$$

oraz

$$m(p_1 - p_2) = p_2,$$

skąd

$$\frac{m(p_1 - p_2)}{p_2} = \frac{k\delta}{p_2} = 1,$$

natężenie wypadkowe będzie równe

$$I = 4a^2[\sin^2 \pi k + \sin^2 \pi(k+1)] = 2 \cdot 4a^2 \sin^2 \pi k = 2 \cdot 4a^2 \sin^2 \pi \frac{x}{p_1}, \quad (e)$$

a więc będzie się zmieniało tak, jak przy interferencji promieni całkowicie jednorodnych o dwukrotnie większym natężeniu.

Oznaczmy przez  $m_0$  najmniejszą wartość  $m$ , spełniającą warunek, wyrażony równaniem (a). Wartości tej odpowiada grubość warstewki, równa

$$d_0 = \frac{m_0}{2n} \lambda_1$$



lub, gdy dla uproszczenia przyjmiemy  $n=1$  (warstewka powietrza),

$$d_0 = \frac{1}{2} m_0 \lambda_1 = \frac{1}{2} \left( m_0 + \frac{1}{2} \right) \lambda_2. \quad (f)$$

Gdy grubość wzrośnie dwukrotnie, gdy zatem

$$d_1 = 2d_0 = \frac{1}{2} \cdot 2m_0 \cdot \lambda_1 = \frac{1}{2} (2m_0 + 1) \lambda_2, \quad (g)$$

prążek ciemny układu pierwszego zbiegnie się z prążkiem ciemnym układu drugiego. Przy

$$d_2 = 3d_0 = \frac{1}{2} 3m_0 \cdot \lambda_1 = \frac{1}{2} \left( 3m_0 - \frac{3}{2} \right) \lambda_2$$

znów prążek jasny nałoży się na ciemny. Zgodność prążków otrzymamy zatem przy

$$m = 2m_0, 4m_0, 6m_0, \dots \quad (h)$$

niezgodność przy

$$m = m_0, 3m_0, 5m_0, \dots \quad (i)$$

Zmianie więc rzędu interferencji o  $m_0$  towarzyszyć będzie przejście od wyraźnego układu prążków do zanikającego i odwrotnie. Tę okresowość pierwszy zauważył Fizeau (1862 r.), oświetlając przyrząd Newtona światłem płomienia sodowego i stopniowo rozsuwając soczewki, co, jak wiemy, zwiększa rząd interferencji obszaru, leżącego koło płamy środkowej. Przy rozsuwaniu soczewek pierścienie, jak gdyby ściągały się do środka, gdyż przy każdorazowym wzroście różnicy dróg optycznych o  $\frac{\lambda}{2}$  na miejsce pierścienia jasnego zjawiał się ciemny, na miejsce ciemnego — jasny. Stopniowo jednak widzialność pierścieni się pogarszała: pierścienie rzędu mniej więcej 500-ego prawie całkowicie zanikały, pojawiając się z powrotem przy dalszym rozsuwaniu soczewek; mniej więcej tysięczny rząd interferencji dawał szczególnie wyraźny układ prążków. To kolejne zanikanie i ukazywanie się prążków powtarzało się w doświadczeniu Fizeau okresowo, prążki jednak stawały się za każdym nawrotem coraz mniej wyraźne i wreszcie po 52-krotnym pojawieniu stawały się zupełnie niedostrzegalne.

Fizeau słusznie przypisał to zjawisko niejednorodności światła sodu, uważanego przedtem za całkowicie jednorodne, i co więcej, wyznaczył długości fal promieni tworzących układy interferencyjne.



Ze wzorów (f) i (i) wynika, że kolejnym zanikaniom prążków odpowiada wzrost grubości warstewki (wzrost rozsunęcia soczewek) o

$$d_2 - d_0 = \frac{1}{2} \cdot 3m_0 \cdot \lambda_1 - \frac{1}{2} m_0 \lambda_1 = 2m_0 \frac{\lambda_1}{2}. \quad (\text{k})$$

Na wartość  $d_2 - d_0$  Fizeau otrzymał 0,28945 mm, na  $2m_0$  około 980, tyle bowiem podczas rozsuwania soczewek ściągnęło się pierścieni do środka.

Podstawiając te dane do wzoru (k), otrzymujemy

$$0,28945 = 980 \cdot \frac{\lambda_1}{2},$$

skąd

$$\lambda_1 = \frac{2 \cdot 0,28945}{980} = 0,0005891 \text{ mm},$$

stosunek długości fali  $\lambda_2$  do długości  $\lambda_1$  wynosi (wzór f)

$$\frac{\lambda_2}{\lambda_1} = \frac{980}{981} \approx 0,999,$$

wobec czego

$$\lambda_2 \approx 0,0005885 \text{ mm}.$$

Liczby te niewiele odbiegają od otrzymanych później liczb, wyrażających długości fal linii  $D_1$  i  $D_2$  płomienia sodowego, na które Fizeau rozszczepił linię  $D$  Fraunhofera; mamy bowiem

$$\lambda_{D_1} = 589,59 \text{ m}\mu \quad ; \quad \lambda_{D_2} = 589,00 \text{ m}\mu.$$

Liczba  $m_0$ , którą możemy uważać za charakteryzującą dane zjawisko, za miarę jego okresowości, jest tym większa, im mniejsza jest różnica  $\lambda_1 - \lambda_2$ . Istotnie ze wzorów

$$m_0 p_1 = \left( m_0 + \frac{1}{2} \right) p_2$$

i

$$\frac{p_1 - p_2}{p_2} = \frac{\lambda_1 - \lambda_2}{\lambda_2}$$

otrzymujemy

$$m_0 = \frac{\lambda_2}{2(\lambda_1 - \lambda_2)}.$$



Tym samym otrzymanie pierwszego zanikania prążków wymaga przy małych różnicach długości fal wysokiego rzędu interferencji. Gdy np. światłem użytym jest zielona linia widma rtęci ( $\lambda=546,07 m\mu$ ), gdzie różnice długości fal składowych, a raczej towarzyszących (p. niżej) linii głównej są mniej więcej 1000 razy mniejsze od różnicy długości fal linii  $D_1$  i  $D_2$ ,  $m_0$  ma mniej więcej tysiąc razy większą wartość, niż w doświadczeniu Fizeau. Pierwsze zanikanie prążków możnaby było otrzymać dopiero po rozsunięciu soczewek o mniej więcej 14,5 cm, czemu odpowiada różnica dróg optycznych równa mniej więcej 500 000 długości fali.

Przy takich jednak różnicach dróg optycznych przyrząd Newtona całkowicie zawodzi, gdyż, jak widzieliśmy, po 50 mniej więcej zanikaniach prążków, czyli przy różnicy dróg optycznych równej około 50 000 długości fali prążki przestają być widzialne.

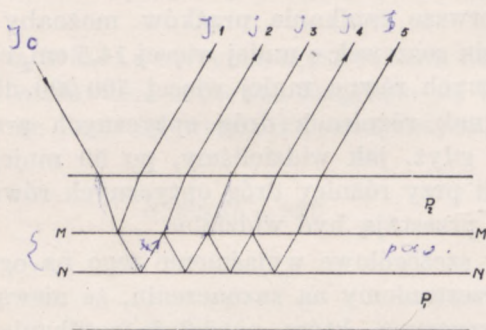
Nie wchodząc w szczegółowe wyjaśnienie tego na ogół bardzo złożonego zjawiska, poprzestaniemy na zaznaczeniu, że niewątpliwie odgrywa tu rolę ta sama przyczyna, która powoduje zanikanie prążków interferencyjnych wyższego rzędu, wytworzonych przez promienie całkowicie jednorodne (p. ust. 5). Gdy grubość warstewki wzrasta, różnice dróg optycznych par promieni, wychodzących w tym samym punkcie warstewki, a wysyłanych przez różne punkty źródła i wobec tego padających na warstewkę pod różnymi kątami, przestają być wzajemnie równe; obrazy interferencyjne, wytwarzane przez każdą z tych par, nakładają się na siebie, przez co obraz ostateczny się zaciera.

Tego zacierania się obrazu przy wyższych rzędach interferencji można uniknąć, zastępując warstewkę o grubości niejednakowej warstewką (lub płytką) płasko-równoległą, innymi słowy zastępując krzywe jednakowej grubości krzywymi jednakowego nachylenia. Ale i to nie wystarczy do usunięcia drugiej przyczyny zacierania się obrazów interferencyjnych, wynikającej z rozkładu natężenia światła między prążkami. Dopóki bowiem mamy do czynienia z interferencją dwóch tylko promieni, rozkład natężenia wyraża się wzorem (9); ze wzrostem  $\Delta$  szybkość zmian natężenia maleje, oświetlenie między prążkami staje się coraz bardziej jednostajne. Jedyną na to radą jest spowodować interferencję nie dwóch, lecz większej ilości promieni i doprowadzić do interferencji nie tylko promienie raz odbite od tylnej czy przedniej powierzchni płytki, lecz również i odbite wielokrotnie. Aby to osiągnąć, należy zwiększyć zdolność odbijającą powierzchni, ograniczających płytkę, inaczej natężenie promieni wielokrotnie odbitych będzie, jak wiemy, zbyt małe, aby wpłynąć na kształtowanie się obrazu interferencyjnego (por. ust. 4).

Niech  $MMNN$  będzie płasko-równoległą warstewką powietrza (rys. 191), zawartą między dwiema płasko-równoległymi płytkami  $P_1P_2$ . Oznaczmy przez  $t^2$  stosunek natężenia światła, wychodzącego po jednorazowym za-



łamaniu się na powierzchniach ograniczających warstewkę, do światła padającego na powierzchnię  $MM$ , przez  $r^2$  stosunek natężenia światła raz odbitego od powierzchni  $MM$  czy  $NN$  do natężenia światła padającego;  $t^2$  i  $r^2$  są, oczywiście, zawsze ułamkami.



Rys. 191

Natężenia promieni 1, 2, 3, ..., wychodzących z płytki, będą równe

$$I_1 = t^4 I_0; \quad I_2 = t^4 r^4 I_0; \quad I_3 = t^4 r^8 I_0 \quad \dots \dots \dots$$

Odpowiednie zaburzenia świetlne będzie można wyrazić wzorami

$$y_1 = a_0 t^2 \sin 2\pi \frac{t}{T} = a \sin 2\pi \frac{t}{T}; \quad y_2 = ar^2 \sin \left( 2\pi \frac{t}{T} - \delta \right);$$

$$y_3 = ar^4 \sin \left( 2\pi \frac{t}{T} - 2\delta \right).$$

A zatem zaburzenie wypadkowe

$$y = y_1 + y_2 + y_3 + \dots = a \sin 2\pi \frac{t}{T} + ar^2 \sin \left( 2\pi \frac{t}{T} - \delta \right) + \\ + ar^4 \sin \left( 2\pi \frac{t}{T} - 2\delta \right) + \dots + ar^{2n} \sin \left( 2\pi \frac{t}{T} - n\delta \right) + \dots$$

będzie sumą nieskończenie wielu (teoretycznie) wyrazów.

Natężenie światła, wychodzącego z płytki (interferencja w świetle przechodzącym), jest równe

$$I_p = \frac{a^2}{1 - 2r^2 \cos \delta + r^4}. \quad (19)$$



Załóżmy, że

$$y = b \cdot \sin \left( 2\pi \frac{t}{T} - \delta_0 \right). \quad (l)$$

Wtedy suma szeregu

$$y' = ar^2 \sin \left( 2\pi \frac{t}{T} - \delta \right) + ar^4 \sin \left( 2\pi \frac{t}{T} - 2\delta \right) + \dots + ar^{2n} \sin \left( 2\pi \frac{t}{T} - n\delta \right) + \dots$$

będzie równa

$$y' = br^2 \sin \left( 2\pi \frac{t}{T} - \delta - \delta_0 \right),$$

gdyż drugi szereg otrzymujemy z pierwszego, mnożąc wszystkie jego wyrazy przez  $r^2$  i zwiększając każdą różnicę faz o  $\delta$ .

Stąd mamy

$$y - y' = a \sin 2\pi \frac{t}{T} = b \sin \left( 2\pi \frac{t}{T} - \delta_0 \right) - br^2 \sin \left( 2\pi \frac{t}{T} - \delta - \delta_0 \right).$$

Przyrównując współczynniki stałe przy  $\sin \frac{2\pi t}{T}$  i  $\cos \frac{2\pi t}{T}$  otrzymujemy

$$a = b \cos \delta_0 - br^2 \cos (\delta + \delta_0) = b [\cos \delta_0 - r^2 \cos (\delta + \delta_0)],$$

$$0 = b [\sin \delta_0 - r^2 \sin (\delta + \delta_0)].$$

Z drugiego równania znajdujemy odrazu

$$\operatorname{tg} \delta_0 = \frac{r^2 \sin \delta}{1 - r^2 \cos \delta}. \quad (m)$$

Podnosząc oba równania do kwadratu i dodając stronami, otrzymujemy

$$a^2 = b^2 + b^2 r^4 \cos^2 \delta_0 + b^2 r^4 \sin^2 \delta_0 - 2b^2 r^2 \cos \delta$$

i

$$b^2 = \frac{a^2}{1 - 2r^2 \cos \delta + r^4}; \quad (n)$$

a wobec tego, że  $b^2$  jest miarą natężenia światła przechodzącego,

$$I_p = \frac{a^2}{1 - 2r^2 \cos \delta + r^4}$$

zgodnie ze wzorem (19).

Jeżeli, jak to będziemy dla uproszczenia zakładali, warstewki i ograniczające je płytki są doskonale przezroczyste, suma natężeń światła przechodzącego i odbitego musi być równa natężeniu światła padającego, a przeto

$$t^2 I_0 + r^2 I_0 = I_0$$

i

$$t^2 + r^2 = 1,$$



a zatem

$$a^2 = a_0^2 t^4 = a_0^2 (1 - r^2)^2.$$

Wzór (19) przybierze postać następującą

$$I_p = \frac{a_0^2 (1 - r^2)^2}{1 - 2r^2 \cos \delta + r^4}$$

lub po przekształceniu mianownika przez dodanie i odjęcie  $2r^2$  i odpowiednio uporządkowanie wyrazów

$$I_p = \frac{a_0^2 (1 - r^2)^2}{(1 - r^2)^2 + 4r^2 \sin^2 \frac{\delta}{2}}, \quad (20)$$

gdzie  $\delta$  stała różnica faz dwóch kolejnych promieni równa jest

$$\delta = \frac{2\pi \cdot 2d \cdot n \cdot \cos \alpha_2}{\lambda}$$

(por. wzór 11, w którym zamiast  $\frac{\lambda}{2}$  należy podstawić  $\lambda$  lub, co na jedno wychodzi, zero, gdyż mamy tu do czynienia z promieniami, nie odbitymi od płytki, lecz przez nią przechodzącymi).

Natężenie ma wartość największą, gdy

$$\sin^2 \frac{\delta}{2} = 0,$$

gdym zatem

$$\frac{\delta}{2} = \frac{\pi \cdot 2d \cdot n \cdot \cos \alpha_2}{\lambda} = m\pi$$

lub

$$2d \cdot n \cdot \cos \alpha_2 = m\lambda$$

zgodnie ze wzorem (14), w którym  $\alpha_2 = 0$

Mamy wtedy

$$I_{p(\max)} = \frac{a_0^2 (1 - r^2)^2}{(1 - r^2)^2} = a_0^2. \quad (0)$$

Najmniejszą wartość natężenia mamy, gdy

$$\sin^2 \frac{\delta}{2} = 1$$



i

$$\frac{\delta}{2} = \frac{\pi \cdot 2d \cdot n \cdot \cos \alpha_2}{\lambda} = \left(m + \frac{1}{2}\right) \pi$$

lub

$$2d \cdot n \cdot \cos \alpha_2 = \left(m + \frac{1}{2}\right) \lambda.$$

A zatem

$$I_{p(\min)} = \frac{a_0^2(1-r^2)^2}{(1-r^2)^2 + 4r^2} = a_0^2 \frac{(1-r^2)^2}{(1+r^2)^2}. \quad (p)$$

Ponieważ  $r^2$  jest zawsze większe od zera, minima w świetle przechodzącym nigdy nie są całkowicie ciemne.

W świetle odbitym, dającym dopełniający obraz interferencyjny, (oczywiście, przy doskonałej przezroczystości warstewki), natężenie wyraża się wzorem, który, bez szczegółowego uzasadnienia, wyprowadzimy z równania

$$I_r + I_p = I_0,$$

otrzymując

$$I_r = \frac{a_0^2 \cdot 4r^2 \cdot \sin^2 \frac{\delta}{2}}{(1-r^2)^2 + 4r^2 \sin^2 \frac{\delta}{2}}. \quad (21)$$

Ścisłe udowodnienie wzorów (20) i (21) dał Airy (1833 r.).

Maksimum natężenia w świetle odbitym wynosi

$$I_{r(\max)} = \frac{a_0 \cdot 4r^2}{(1+r^2)^2}, \quad (r)$$

minimum zaś

$$I_{r(\min)} = 0. \quad (s)$$

Im większe jest  $r^2$ , tym szybciej, zarówno w świetle odbitym, jak i przechodzącym, zmienia się rozkład natężenia między prążkami.

Niech  $r^2$  ma np. wartość 0,8 (taka jest wartość tego współczynnika, gdy promienie padają na półprzezroczystą warstewkę srebra pod kątem mniejszym od  $90^\circ$  i większym od  $85^\circ$ ). Natężenie w świetle przechodzącym spada do połowy tej wartości, jaką ma w prążku jasnym przy

$$\sin \frac{\delta}{2} = \frac{1-r^2}{2r} = \frac{1-0,8}{1,76} \approx 0,113$$

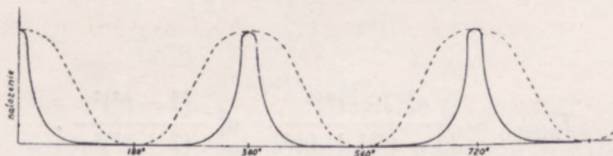


a więc przy

$$\delta = 12^{\circ}38',$$

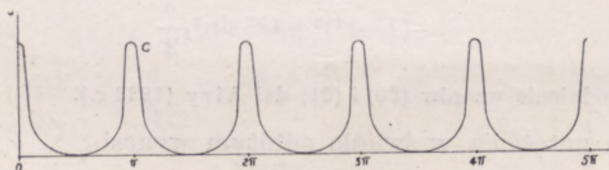
gdy przy interferencji dwóch promieni natężenie zmniejsza się do połowy przy  $\delta = 90^{\circ}$ .

Na ogół rozkład natężeń wyraża się nie sinusoidą (na rys. 192 oznaczoną linią przerywaną), lecz krzywą innego kształtu (na rysunku oznaczoną linią ciągłą), opadającą tym bardziej stromo, im większe jest  $r^2$ .



Rys. 192

Gdy  $r^2$  jest dostatecznie wielkie, otrzymujemy przy oświetleniu warstewki światłem, zawierającym dwie różne długości fali o tym samym natężeniu, rozkłady natężeń zgoła odmienne od przedstawionych na rys. 190. W przypadku, przedstawionym na rys. 193, gdzie układy prążków mają ostro zarysowane maksima i minima równe zero (interferencja w świetle odbitym), natężenie wypadkowe w obszarze, sąsiadującym z miejscem, w którym ciemny prążek jednego układu zbiega się z prążkiem jasnym drugiego, wyraża się nie prostą  $C$ , równoległą do osi od-



Rys. 193

ciętych, lecz krzywą  $C$ , wykazującą dwa razy więcej maksimumów i minimumów, niż każdy z układów oddzielnie.

Zwiększając więc  $r^2$ , osiąga się korzyść podwójną: po pierwsze zwiększa się widzialność prążków wysokiego rzędu interferencji, po drugie otrzymuje się prążki cieńsze, których odległość wzajemną można wyznaczyć z większą dokładnością.

To udoskonalenie metody Fizeau pierwsi wprowadzili Fabry i Pérot (1897 r.). Zasadniczą część ich spektroskopu interferencyjnego, którego złożonej budowy opisywać nie będziemy, stanowią dwie pionowe płaskie płytki, ograniczające znajdującą się między nimi warstewkę



powietrza. Płytki te ustawia się przy pomocy precyzyjnego mechanizmu dokładnie równolegle tak, żeby były zwrócone ku sobie powierzchniami, pokrytymi półprzezroczystą warstwą srebra (przy grubości warstwy srebra  $20 m\mu$ ,  $r^2=0,85$ ). Inny mechanizm pozwala zmieniać odległość między płytkami i tym samym grubość zawartej między nimi warstwy powietrza.

Tytułem przykładu podajemy za Chwolsonem wyniki pomiaru, wykonanego przy oświetlaniu warstwy zieloną linią talu ( $\lambda=0,5493 \mu$ ). Przy grubości warstwy  $d=1,5 \text{ mm}$  obraz interferencyjny składał się z dwóch układów prążków kołowych o niejednakowym natężeniu, przy  $d=0,75 \text{ mm}$  prążki słabsze leżały dokładnie pośrodku odstępów między prążkami wyraźniejszymi. Różnica dróg optycznych wynosiła wtedy mniej więcej  $24\,000 \lambda$ . Oznaczając, jak poprzednio, przez  $\lambda_1$  i  $\lambda_2$  długości fal, mamy

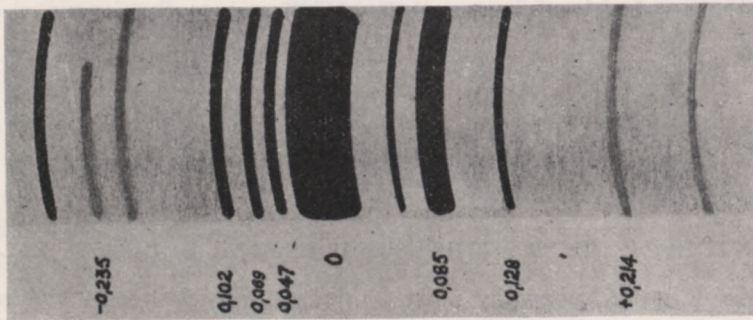
$$24\,000 \lambda_1 = 24\,000,5 \lambda_2,$$

skąd

$$\lambda_1 - \lambda_2 = 2 \cdot 10^{-5} \lambda_2.$$

Przy  $d=18 \text{ mm}$  zachodziło nowe całkowite rozdwojenie pierścieni o natężeniu większym. Światło zielonej linii talu jest zatem tylko pozornie jednorodne, w rzeczywistości oprócz linii głównej (o natężeniu największym) zawiera jeszcze dwie linie o natężeniu mniejszym (tzw. satelici linii głównej).

Do podobnych wyników doprowadzają badania innych linii widma. O złożoności zjawiska świadczy otrzymana przez Laue'go fotografia



Rys. 194

układu prążków, powstających przy oświetleniu warstwy światłem zielonej linii rtęci (rys. 194 wzięty z „Fisica generale” Eligiusza Perucca). Zero oznacza położenie linii głównej, przy satelitach podane są w angstromach różnice długości fali danego satelity i linii głównej. W skali



rysunku odległość wzajemna linii  $D_1$  i  $D_2$  płomienia sodu wynosiłaby 100 cm. Godny uwagi wyjątek stanowi czerwona linia kadmu, nie mająca satelitów.

Nie należy jednak przypuszczać, aby używając światła jednej z linii, w podobny sposób rozszczepionych, można było otrzymać prążki dowolnie wysokiego rzędu interferencji. Żadna bowiem z tych linii widma nigdy nie jest nieskończenie cienka i zawiera wszystkie możliwe długości fal w granicach  $\lambda$  i  $\lambda + \Delta\lambda$  tym bliższych, im dalej posunięte jest jej rozszczepienie. Światło więc jej nigdy nie jest doskonale jednorodne. Można by nawet powiedzieć, że światło jednorodne w ogóle nie jest możliwe, natężenie bowiem jego równałoby się zeru.

Jeżeli grubość prążka pierwszego rzędu interferencji jest  $\Delta\lambda$ , to drugiego już  $2\Delta\lambda$ , ...  $m$ -tego  $m\Delta\lambda$ . Gdy rząd interferencji jest dostatecznie wielki, aby  $(m+1)$  prążek jasny fali długości  $\lambda$  zbiegał się z  $m$ -tym prążkiem fali długości  $\lambda + \Delta\lambda$ , gdy przeto

$$(m+1)\lambda = m(\lambda + \Delta\lambda), \quad (t)$$

oświetlenie pola widzenia staje się równomierne, prążki znikają. Ze wzoru (t) można wyznaczyć wartość  $\Delta\lambda$ , będącą miarą niejednorodności światła danej linii,

$$\Delta\lambda = \frac{\lambda}{m}. \quad (u)$$

Wobec tego nawet i w tym przypadku, światła na pozór jednorodnego, otrzymujemy ze wzrostem rzędu interferencji prążki coraz słabsze i wreszcie zupełnie zanikające.

Michelson pierwszy zwrócił uwagę (1891 r.) na to zjawisko i stwierdził, że prążki czerwonej linii kadmu ( $\lambda = 643,88 \text{ m}\mu$ ) zanikają przy  $m$  mniej więcej równym 450 000, skąd na  $\Delta\lambda$  wypada

$$\Delta\lambda \approx \frac{643,88}{450\,000} = 0,0014 \text{ m}\mu.$$

Prążki głównej zielonej linii rtęci ( $\lambda = 546,07 \text{ m}\mu$ ) zanikają przy  $m = 770\,000$ , czemu odpowiada

$$\Delta\lambda \approx \frac{546,07}{770\,000} \approx 0,0007 \text{ m}\mu.$$

Jeszcze wyższy rząd interferencji ( $m = 950\,000$ ) można otrzymać przy użyciu zielonej linii kryptonu;  $\Delta\lambda$  wynosi wtedy  $0,0006 \text{ m}\mu$ .

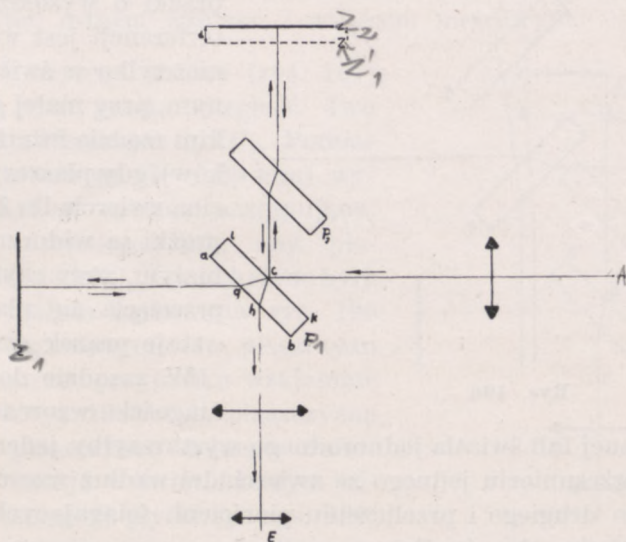
## 9. INTERFEROMETR MICHELSONA. POMIAR DŁUGOŚCI FAL

Metoda Fizeau pozwala z dużą dokładnością wyznaczyć stosunek długości fal światła linii widmowych, nie daje jednak możliwości wyznaczenia z równą dokładnością ich wartości bezwzględnych, a raczej, mówiąc ściślej, ich stosunku do długości metra. Do tego celu służy interferometr, zbudowany w r. 1882 przez Michelsona. Przyrząd ten, który okazał się znakomitym narzędziem mierniczym o różnorodnych zastosowaniach, jest w zasadniczej swej budowie bardzo prosty.

Promienie, wychodzące ze źródła  $A$ , padają na płytkę płasko-równoległą  $P_1$ , której przednia, zwrócona ku źródłu strona jest pokryta pół-



przezroczystą warstewką srebra (rys. 195). Promienie częściowo odbijają się od płytki, tworzącej z osią wiązki kąt  $45^\circ$ , częściowo zaś przez nią przechodzą. Promienie odbite padają prostopadłe na zwierciadło  $Z_2$  i po odbiciu od niego przechodzą w drodze powrotnej przez  $P_1$  i idą wzdłuż  $hE$  do oka obserwatora. Promienie, które przeszły bez odbicia przez płytkę  $P_1$ , padają prostopadłe na zwierciadło  $Z_1$  i po odbiciu od niego i od przedniej  $lk$  powierzchni płytki  $P_1$  idą tą samą drogą  $hE$  do oka obserwatora, gdzie interferują z promieniami odbitymi od  $Z_2$ . Zja-



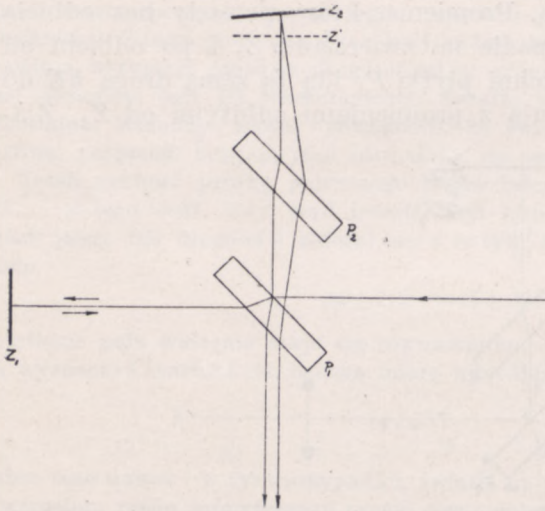
Rys. 195

wisko zatem zachodzi tak, jak gdyby jedna z dwóch interferujących wiązek odbijała się od  $Z_2$ , druga zaś od obrazu  $Z'_1$  zwierciadła  $Z_1$ , wytworzonego przez powierzchnię  $lk$  płytki  $P_1$ . Jedyną różnicą polega na tym, że w rzeczywistości promień  $cZ_2chE$  przechodzi przez płytkę tylko raz, drugi zaś  $cgZ_1gchE$  — dwa razy. Dla usunięcia tej różnicy umieszcza się na drodze promienia pierwszego płytkę płasko-równoległą  $P_2$  tej samej grubości, co  $P_1$  (kompensator, łac. compensare — wynagrodzić, wyrównać).

Zazwyczaj jedno ze zwierciadeł jest nieruchome, drugie zaś może być przesuwane, co pozwala zmieniać odległość  $Z_2Z'_1 = d$ . Gdy płaszczyzna  $Z_2$  jest równoległa do płaszczyzny  $Z'_1$ , prążki interferencyjne są krzywymi jednakowego nachylenia, widzialnymi jedynie w świetle jednorodnym, przy czym dla  $d=0$ , gdy zatem zwierciadło  $Z_2$  leży w płaszczyźnie  $Z'_1$  (tzw. zetknięcie optyczne zwierciadeł  $Z_1$  i  $Z_2$ ), pole widzenia jest całkowicie ciemne, promień bowiem idący od zwierciadła  $Z_2$  odbija się w powietrzu od szkła, promień zaś, idący od  $Z_1$ , — w szkło



od powietrza, co, jak wiemy, powoduje dodatkową różnicę dróg optycznych równą  $\frac{\lambda}{2}$ . Gdy płaszczyzna  $Z_2$  jest lekko nachylona do płaszczyzny  $Z'_1$ , warstewka powietrza zawarta między nimi ma kształt klina, prążki interferencyjne są krzywymi jednakowej grubości. Przy znacznej grubości



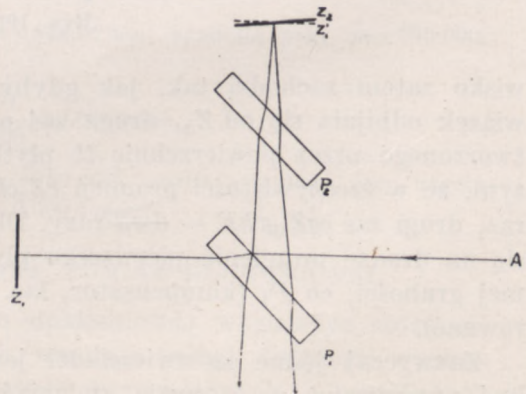
Rys. 196

warstewki, gdy zatem płaszczyzna  $Z'_1$  nie przecina zwierciadła  $Z_2$  (rys. 196), obraz interferencyjny utworzony przez prążki o wysokim rzędzie interferencji jest widzialny również tylko w świetle jednorodnym, przy małej grubości (niskim rzędzie interferencji prążków), gdy płaszczyzna  $Z'_1$  przecina zwierciadło  $Z_2$  (rys. 196a), prążki są widoczne i w świetle białym, przy czym w punkcie przecięcia się płaszczyzn powstaje prążek czarny.

W zasadzie do porównania długości wzorca metrowego

z długością danej fali światła jednorodnego wystarczyłby jeden pomiar, polegający na przesunięciu jednego ze zwierciadeł wzdłuż wzorca od jednego jego końca do drugiego i przeliczeniu pierścieni, ściągających się podczas tego przesunięcia do środka.

W praktyce jednak pomiar taki byłby niemożliwy. Przede wszystkim czerwona linia kadmu, której jako nie posiadającej satelitów, użył Michelson do pomiarów ostatecznych, nie daje wyraźnego obrazu interferencyjnego przy różnicy dróg, przekraczającej 450 000 długości fali, przesunięcie zaś zwierciadła o 1 m zwiększa różnicę dróg o 2 m czyli przeszło o 3 000 000  $\lambda$ ; największa zatem długość wzorca porównywanego nie może przekraczać jakichś 14 cm. Ale i wtedy przeliczenie 450 000 pierścieni wymagałoby około 225 000 sekund (licząc dwa pierścienie na sekundę) czyli mniej więcej 62,5 godzin.



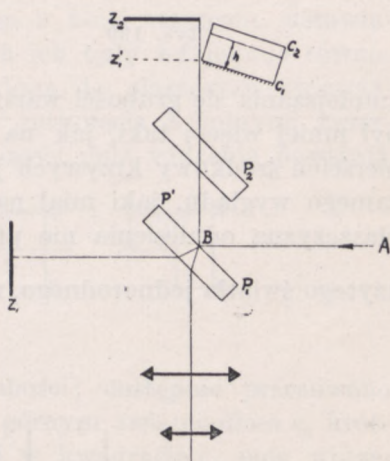
Rys. 196a



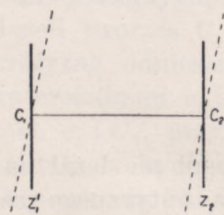
Z tego też względu Michelson rozbił pomiar na 10 pomiarów poszczególnych, mierząc bezpośrednio wzorzec stosunkowo bardzo krótki, o długości mniej więcej równej  $\frac{100}{2^8}$  mm  $\approx 0,39$  mm, a następnie z wzorcem tym porównując długości wzorca dwa razy dłuższego  $\frac{100}{2^7}$  mm  $\approx 0,78$  mm, z tym zaś wzorzec znów dwa razy od poprzedniego dłuższy itd., dochodząc wreszcie do wzorca  $\frac{100}{2^0}$  mm = 10 cm i ostatecznie porównując ten ostatni wzorzec z wzorcem metrowym.

Długość  $h$  użytego wzorca (rys. 197) wyznaczona była przez odległość dwu równoległych zwierciadeł  $C_1$  i  $C_2$ . Pomiar wzorca podstawowego ( $h=0,39$  mm) wykonywany był w sposób następujący.

Wzorzec ustawiono tak, aby płaszczyzny zwierciadeł  $C_1, C_2$  nachylone były pod bardzo małym kątem (na rys. 198 znacznie powiększonym) do płaszczyzn  $Z'_1$  i  $Z_2$  (w danym przypadku wzajemnie równoległych, rys. 198). Gdy płaszczyzna  $Z'_1$  przecina płaszczyznę dolnego zwierciadła  $C_1$ , powstają w świetle białym odbitym od części  $P'B$  płytki (p. rys. 197) prążki interferencyjne o środkowym prążku ciemnym. Kratka nakreślona na zwierciadle  $Z_1$ , pozwala dokładnie wyznaczyć położenie tego prążka, leżącego, jak wiemy, na powierzchni warstewki, powodującej interferencję. Jednocześnie warstewka płasko-równoległa, ograniczona powierzchniami odbijającymi  $Z'_1$  i  $Z_2$ , wytwarzała w świetle jednorodnym, odbitym od części  $P_1B$  płytki, pierścienie jednakowego nachylenia, tak że w polu widzenia otrzymano obraz mniej więcej taki, jak na rys. 199, wziętym z przytoczonej już wyżej książki Eligiusza Perucca. Następnie przesuwano zwierciadło  $Z_1$  do położenia, w którym płaszczyzna jego obrazu  $Z'_1$  (nazwana przez



Rys. 197

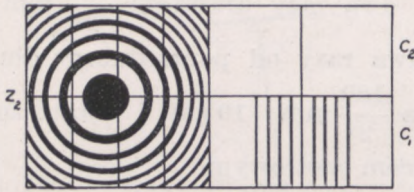


Rys. 198

Michelsona płaszczyzną odniesienia — plan de référence) przecięła górne zwierciadło wzorca  $C_2$ . Podczas tego przesuwania prążki jednakowej grubości w świetle białym stopniowo w miarę zwiększania się grubości warstewki klinowatej zanikały, pojawiać się one zaczęły



dopiero wtedy, gdy płaszczyzna odniesienia zaczęła się zbliżać do zetknięcia optycznego ze zwierciadłem  $C_2$ ; jednocześnie pierścienie jednakowego nachylenia ściągały się do środka, ich zaś średnice na skutek

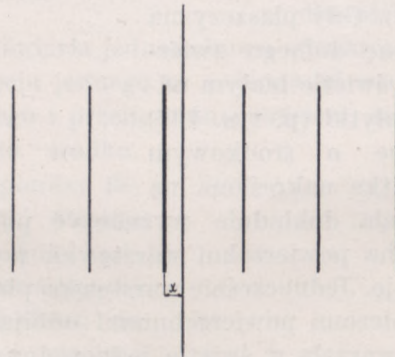


Rys. 199



Rys. 200

zmniejszania się grubości warstewki  $Z_1'Z_2$  wzrastały; obraz interferencyjny był mniej więcej taki, jak na rys. 200. Zwierciadło przesuwano, dopóki pierścień środkowy krzywych jednakowego nachylenia nie przybrał tego samego wyglądu, jaki miał na początku doświadczenia, a więc dopóki płaszczyzna odniesienia nie przesunęła się o całkowitą ilość połówek fali użytego światła jednorodnego, np. o  $m \frac{\lambda}{2}$ . Wtedy jednak środkowy prążek



Rys. 201

ciemny w układzie krzywych jednakowej grubości na ogół nie leżał na tej samej podziałce kratki, co w przypadku zetknięcia optycznego ze zwierciadłem  $C_1$ , lecz w pewnej od niej odległości  $x$  (rys. 201).

Długość więc

$$C_1 C_2 = h = (m + x) \frac{\lambda}{2}.$$

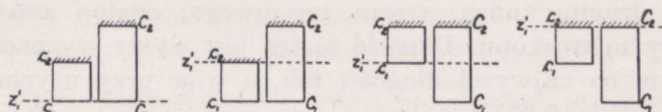
Wartość  $x$ , tzw. nadwyżkę ułamkową wyznaczano albo na oko albo też obracając o pewien kąt kompensator  $P_2$  tak, aby przez tę zmianę



długości drogi optycznej sprowadzić środkowy prążek ciemny na poprzednie miejsce. Liczbę  $m$  znajdowano licząc pierścienie, przechodzące przez środek obrazu, co tym razem nie nastęczało dużych trudności, gdyż liczba ta niewiele przekraczała 1200. W tych warunkach dokładność pomiaru była bardzo duża, błąd nie przewyższał odstępów między prążkami.

Ścisłe biorąc, jest rzeczą niemożliwą widzieć jednocześnie oba układy prążków. Jeden z nich bowiem powstaje w nieskończoności, (krzywe jednakowego nachylenia), drugi w płaszczyźnie obrazu  $Z_1$ . Wobec wszakże niezbyt wielkiej rozciągłości źródła światła oraz ograniczonej pola widzenia, mamy tu w istocie do czynienia z prążkami nigdzie nie umiejscowionymi (por. ust. 4, str. 220), które można widzieć dokładnie, nastawiając lunetę na płaszczyznę  $Z'_1$ .

Po wykonaniu tego podstawowego pomiaru porównywano długość wzorca bezpośrednio zmierzonego z drugim z kolei wzorcem, ustawiając wzorce obok siebie tak, aby zwierciadła ich były wzajemnie równoległe. Płaszczyznę odniesienia lekko nachyloną do płaszczyzn zwierciadeł wzorców doprowadzano do optycznego zetknięcia z dolnymi zwierciadłami  $c_1, C_1$  (rys. 202), wtedy w dolnej części pola widzenia powstają



Rys. 202

w świetle białym krzywe jednakowej grubości; następnie przesuwano płaszczyznę  $Z'_1$  do zetknięcia optycznego z górnym zwierciadłem  $c_2$  krótszego wzorca; otrzymuje się wtedy prążki w kwadracie  $c_2$  pola widzenia. Nie zmieniając położenia płaszczyzny odniesienia, przesuwano wzorzec krótszy tak, aby z tą płaszczyzną zetknęło się dolne jego zwierciadło; gdy w kwadracie  $c_2$  pola widzenia powstaną prążki, można być pewnym, że wzorzec przesunięto o całkowitą jego długość. Wreszcie przesuwano płaszczyznę odniesienia do zetknięcia optycznego ze zwierciadłem  $C_2$ . Jeżeli wzorzec  $C_1C_2$  jest istotnie dwa razy dłuższy od wzorca  $c_1c_2$ , płaszczyzna odniesienia powinna się stykać optycznie jednocześnie z obu zwierciadłami  $c_2$  i  $C_2$ ; prążki powinny powstać jednocześnie w kwadratach  $c_2$  i  $C_2$ , przy czym środkowe prążki ciemne powinny przypaść dokładnie w tych samych miejscach kratki, co w pomiarze pierwszym. Gdy tak nie jest, wyznacza się różnicę w ten sam sposób, co w pomiarze wzorca 0,39 mm. Podobnie porównuje się kolejno następne wzorce aż do 10-cio centymetrowego.

Mogłoby się zdawać, że taki stopniowy pomiar zmniejsza dokładność ostatecznego wyniku. Tak jednak nie jest; po porównaniu wzorca dłuższego ze wzorcem krótszym można dłuższy wzorzec bezpośrednio porównać z długością fali, gdyż odpada



wtedy najuczulawsza część pomiaru — liczenie zanikających pierścieni, poprzednie bowiem pomiary ustaliły długość wzorca z dokładnością co najmniej  $\frac{1}{2}$  odstępu między prążkami; wystarczy zatem doprowadzić krzywe jednakowego nachylenia do takiego samego wyglądu, jaki miały na początku i wyznaczyć nadwyżkę ułamkową w układzie prążków jednakowej grubości.

Dla porównania wzorca dziesięciocentymetrowego z wzorcem metrowym ustawiano oba wzorce równolegle jeden koło drugiego; wskazówka, umieszczona z boku wzorca dziesięciocentymetrowego, równoległa do płaszczyzny zwierciadeł, leżała możliwie blisko kreski, wrytej na jednym z końców wzorca metrowego (p. M. Grotowski, Wykłady fizyki, tom I, str. 16). Odstęp między wskazówką (a raczej kreską na niej) i kreską na wzorcu metrowym mierzono przy pomocy mikroskopu o okularze mikrometrycznym (z wycechowaną podziałką). Następnie przesuwano wzorzec dziesięciocentymetrowy o całą jego długość, co sprawdzano w ten sam sposób, jak przy pomiarach poprzednich. Zabieg ten powtarzano tyle razy, aby ostatecznie wskazówka przesunęła się do kreski, wrytej na drugim końcu wzorca metrowego; odstęp znów mierzono przy pomocy mikroskopu. Długość metra jest wtedy wyznaczona z błędem, równym co najwyżej długości fali, a więc przy użyciu czerwonej linii kadmu około  $0,65 \mu$ .

Na wynik pomiarów dość duży wpływ wywiera temperatura i ciśnienie powietrza, w którym światło się rozchodzi. Zgodnie ze wzorem (t) ust. 6, rozdz. III

$$n - 1 = (n_0 - 1) \frac{p}{760} \cdot \frac{1}{1 + at},$$

gdzie  $n_0$  oznacza współczynnik załamania powietrza o temperaturze  $0^\circ$ , pod ciśnieniem 760 mm rtęci.

Pod ciśnieniem stałym, równym 1 at, wzrost temperatury od  $0^\circ$  do  $At^\circ$  powoduje zmianę współczynnika załamania o

$$-\Delta n_p = (n_0 - 1) a \cdot At \approx 0,00029 \cdot 0,00366 \cdot At = 1,06 \cdot 10^{-6} At.$$

Przy pomiarze zatem wzorca dziesięciocentymetrowego zmiana temperatury o  $1^\circ$  powoduje zmianę drogi optycznej o

$$\Delta l = \Delta n \cdot l = 2,106 \cdot 10^{-6} \cdot 10 \text{ cm} = 0,212 \mu,$$

czemu w świetle czerwonej linii kadmu odpowiada przesunięcie obrazu interferencyjnego mniej więcej o 0,31 odstępu między prążkami.

W stałej temperaturze zmiana ciśnienia o 1 mm przesunęła układ prążków o

$$\Delta l \approx \Delta n_t \cdot 300\,000 \lambda,$$

gdzie

$$\Delta n_t = 0,00029 \cdot 0,00132 = 3,83 \cdot 10^{-7},$$

wobec czego

$$\Delta l \approx 3,83 \cdot 3 \cdot 10^{-2} \lambda = 0,1149 \cdot \lambda \approx 0,115 \lambda,$$

obraz interferencyjny przesunąłby się o 0,115 odstępu między prążkami.



Pomiary tą metodą, opracowaną przez Michelsona i Morley'a (1881 i 1884 r.), wykonali Michelson i Benoît (1892 r.), a następnie Benoît, Fabry i Pérot (1913 r.). W ostatecznym wyniku otrzymano na długość fali czerwonej linii kadmu w powietrzu o temperaturze 14,93°C pod ciśnieniem 760 mm rtęci (p. M. Grotowski, Wykłady fizyki tom I, str. 18)

$$\lambda_c = 0,643\,847\,22 \mu = 6\,438,4722 \text{ \AA}.$$

Wartość ta została uznana za nie podlegającą zmianie, bez względu na wyniki dalszych, choćby nawet dokładniejszych pomiarów. Tym samym zostało przyjęte nowe określenie metra, jako długości równej

$$1\,553\,164,13 \lambda_c.$$

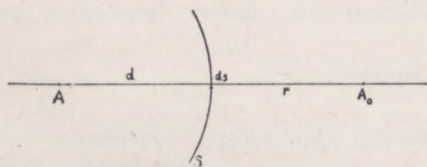


## Rozdział VIII

### UGINANIE SIĘ ŚWIATŁA

#### 1. ZASTOSOWANIE ZASADY HUYGENSA-FRESNELA DO ZJAWISK ŚWIETLNYCH

Omawiając rozchodzenie się odkształceń w środowiskach sprężystych, opieraliśmy się na założeniu, sformułowanym przez Huygensa, że każdy element środowiska, do którego dochodzi dane odkształcenie, może być w pewnym stopniu uważany za samodzielne źródło zaburzeń (M. Grotowski, Wykłady fizyki tom II, rozdz. I, ust. 10). Podobieństwo formalne zjawisk świetlnych i akustycznych, na jakie zdają się wskazywać opisane w rozdziale poprzednim zjawiska interferencji, daje pewne uzasadnienie próbie oparcia wyjaśnienia rozchodzenia się światła na założeniu analogicznym. Próbę tę podjął Fresnel, uzupełniając odpowiednio zasadę Huygensa.



Rys. 203

Próbę tę podjął Fresnel, uzupełniając odpowiednio zasadę Huygensa.

Niech  $A$  będzie punktem świecącym,  $S$  — powierzchnią falową wychodzących z niego zaburzeń świetlnych (rys. 203). Fresnel zakłada, że zaburzenie, wzbudzone w punkcie

$A_0$  przez punkt świecący  $A$ , można uważać za sumę zaburzeń, wysyłanych w kierunku  $A_0$  przez poszczególne elementy  $dS$  powierzchni falowej.

Przyjmując dla uproszczenia fazę początkową zaburzeń, wysyłanych przez  $A$ , za równą zeru, znajdziemy, że zaburzenie elementarne, wzbudzone w punkcie  $A_0$  przez poszczególne elementy  $dS$  wyraża się wzorem

$$dy = k \cdot \frac{a}{d \cdot r} \sin 2\pi \left( \frac{t}{T} - \frac{d+r}{\lambda} \right) dS, \quad (1)$$

amplituda bowiem zaburzenia, zmieniając się odwrotnie proporcjonal-

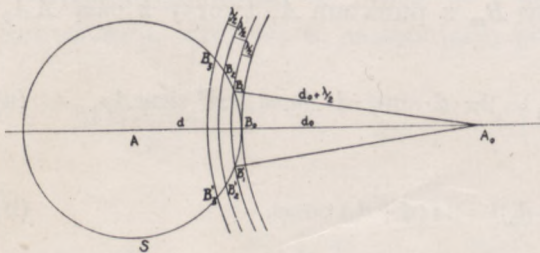


nie do odległości, ma w punktach powierzchni fali wartość  $\frac{a}{d}$ , w punkcie zaś  $A_0$  wartość  $r$  razy mniejszą. Współczynnik  $k$  jest, jak to później wykażemy, funkcją długości fali  $\lambda$  oraz kąta  $\theta$ , jaki kierunek  $r$  tworzy z kierunkiem rozchodzenia się zaburzeń w danym punkcie powierzchni falowej. Współczynnik ten ze wzrostem kąta maleje i gdy  $r$  staje się styczne do  $S$ , dochodzi do wartości zero, z konstrukcji bowiem Huygensa wynika, że powierzchnia falowa nie wysyła żadnych zaburzeń w kierunku odwrotnym (p. M. Grotowski, Wykłady fizyki tom II, str. 70).

Założenie Fresnela sprowadza się zatem do zastąpienia rzeczywistego źródła zaburzeń  $A$  nieskończoną ilością źródeł świetlnych, rozmieszczonych na powierzchni  $S$  i wysyłających zaburzenia, wyznaczone wzorem (1).

Te zaburzenia elementarne różnią się wszakże od zaburzeń wysyłanych przez punktowe źródła rzeczywiste tym, że są optycznie spójne (koherentne) i że wartości ich amplitud zależą od kierunku, w którym są wysyłane. Cecha pierwsza upodabnia je do zaburzeń, wysyłanych przez źródła urojone takie, z jakimi mieliśmy do czynienia w doświadczeniu ze zwierciadłami Fresnela, druga jednak cecha zasadniczo je od nich odróżnia. Dlatego też bardziej by im odpowiadała nazwa źródeł pochodnych.

Oczywiście, źródła te możnaby równie dobrze rozmieścić nie na powierzchni falowej  $S$ , lecz na dowolnej zamkniętej powierzchni  $S'$  (rys. 204), wtedy



Rys. 204

jednak zaburzenia nie miałyby w punktach tej powierzchni amplitud jednakowych.

W równaniu (1) nie tylko wartości  $r$ , lecz również i wartości  $d$  byłyby dla każdego elementu  $ds'$  różne.

Przyjmijmy dla uproszczenia wywodów, że powierzchnia  $S$  — miejsce geometryczne źródeł pochodnych — jest powierzchnią falową zaburzeń,

wysyłanych z punktu  $A$ . Punkt  $B_0$ , w którym prosta  $AA_0$  przecina powierzchnię  $S$  (rys. 205) nazwiemy biegunem fali i oznaczymy

Rys. 205







i wreszcie kładąc, zgodnie z konstrukcją,  $\Delta r = \frac{\lambda}{2}$ ,

$$\Delta S_m = \frac{\pi \cdot d \cdot \lambda}{d + d_0} \cdot r. \quad (2)$$

Podobnie pole strefy  $m+1$

$$\Delta S_{m+1} = \frac{\pi \cdot d \cdot \lambda}{d + d_0} \left( r + \frac{\lambda}{2} \right),$$

a zatem

$$\Delta S_{m+1} - \Delta S_m = \frac{\pi d \cdot \lambda^2}{2(d + d_0)}.$$

Długość fali  $\lambda$  jest w porównaniu z odległością  $d + d_0$  bardzo mała, wobec czego możemy bez znaczniejszego błędu uważać pola te za równe. Działania zatem świetlne dwóch stref sąsiednich znosiłyby się prawie całkowicie, gdyby współczynnik  $k$  miał dla wszystkich stref wartość jednakową, tak jednakże, jak wiemy, nie jest: współczynnik ten, w miarę oddalania się od bieguna  $B_0$  maleje. Wobec tego amplitudy zaburzeń, wysyłanych przez kolejne strefy, mają w punkcie  $A_0$  coraz to mniejsze wartości. Zaburzenie więc, jakie na skutek działania całej fali przechodzić będzie przez punkt  $A_0$ , będzie miało w tym punkcie amplitudę

$$U = u_1 - u_2 + u_3 - u_4 + \dots \pm u_m \mp \dots \pm u_n, \quad (c)$$

gdzie  $u_1, u_2, \dots$  oznaczają amplitudy zaburzeń, wychodzących z poszczególnych stref i gdzie ostatnim wyrazem szeregu jest amplituda strefy, obejmującej ten element fali, w którym  $r$  jest styczne do  $S$ .

Podstawmy przed  $u_n$  znak  $+$  i przepiszymy, powtarzając wywód Schuster'a, wzór (c) w następującej postaci

$$U = \frac{u_1}{2} + \left( \frac{u_1}{2} - u_2 + \frac{u_3}{2} \right) + \dots + \left( \frac{u_{n-2}}{2} - u_{n-1} + \frac{u_n}{2} \right) + \frac{u_n}{2}, \quad (d)$$

i

$$U = u_1 - \frac{u_2}{2} - \left[ \left( \frac{u_2}{2} - u_3 + \frac{u_4}{2} \right) + \left( \frac{u_4}{2} - u_5 + \frac{u_6}{2} \right) + \dots + \right. \\ \left. + \left( \frac{u_{n-3}}{2} - u_{n-2} + \frac{u_{n-1}}{2} \right) \right] - \frac{u_{n-1}}{2} + u_n. \quad (e)$$



Gdyby każdy z wyrazów szeregu (c) był większy od średniej arytmetycznej dwóch wyrazów bezpośrednio z nim sąsiadujących, a więc, gdyby

$$u_m > \frac{u_{m-1}}{2} + \frac{u_{m+1}}{2},$$

wtedy, jak to wynika ze wzoru (d),  $U$  byłoby mniejsze od

$$\frac{u_1}{2} + \frac{u_n}{2}$$

i, jak to wynika ze wzoru (e), większe od

$$u_1 - \frac{u_2}{2} - \frac{u_{n-1}}{2} + u_n,$$

innymi słowy mielibyśmy

$$u_1 - \frac{u_2}{2} - \frac{u_{n-1}}{2} + u_n < U < \frac{u_1}{2} + \frac{u_n}{2}.$$

Wiemy jednak, że działania dwóch stref sąsiednich są w punkcie  $A_0$  prawie równe co do wielkości bezwzględnej, że przeto

$$\frac{u_2}{2} \approx \frac{u_1}{2} \quad \text{i} \quad \frac{u_{n-1}}{2} \approx \frac{u_n}{2}.$$

W strefie  $n$ -tej wszakże  $k$  równe jest, w myśl założenia, zero, tak że

$$u_n = 0$$

a zatem

(3)

$$U \approx \frac{u_1}{2}.$$

Gdyby zaś każdy z wyrazów szeregu (c) był mniejszy od średniej arytmetycznej dwóch wyrazów bezpośrednio z nim sąsiadujących a więc gdyby

$$u_m < \frac{u_{m-1}}{2} + \frac{u_{m+1}}{2},$$

wtedy  $U$  byłoby większe od

$$\frac{u_1}{2} + \frac{u_n}{2}$$



i mniejsze od

$$\frac{u_1}{2} - \frac{u_2}{2} - \frac{u_{n-1}}{2} + u_n,$$

mielibyśmy zatem

$$\frac{u_1}{2} + \frac{u_n}{2} < U < \frac{u_1}{2} - \frac{u_2}{2} - \frac{u_{n-1}}{2} + u_n,$$

skąd znów

$$U \approx \frac{u_1}{2}.$$

W wywodach naszych stawialiśmy przed ostatnim wyrazem znak +. Otrzymalibyśmy, rzecz prosta, ten sam wynik, biorąc  $u_n$  ze znakiem ujemnym. Wzór (d) napisalibyśmy wtedy w postaci

$$U = \frac{n_1}{2} + \left( \frac{n_1}{2} - n_2 + \frac{n_3}{2} \right) + \dots + \left( \frac{u_{n-3}}{2} - u_{n-2} + \frac{u_{n-1}}{2} \right) + \frac{u_{n-1}}{2} - u_n,$$

wzór (e) zaś

$$U = u_1 - \frac{n_2}{2} - \left[ \left( \frac{u_2}{2} - u_3 + \frac{u_4}{2} \right) + \dots + \left( \frac{u_{n-2}}{2} - u_{n-1} + \frac{u_n}{2} \right) \right] - \frac{u_n}{2};$$

mielibyśmy zatem

$$u_1 - \frac{u_2}{2} - \frac{u_n}{2} < U < \frac{u_1}{2} + \frac{u_{n-1}}{2} - u_n$$

lub też

$$\frac{u_1}{2} + \frac{u_{n-1}}{2} - u_n < U < u_1 - \frac{u_1}{2} - \frac{u_n}{2},$$

co w obu przypadkach dałoby nam ostatecznie wzór (3).

Działanie zatem wszystkich stref w punkcie  $A_0$  jest równe działaniu, jakie w tym punkcie wywiera połowa strefy biegunowej. Dla wszystkich elementów tej strefy  $k$  ma wartość mniej więcej stałą, i, oczywiście, możliwie największą, kąt  $\theta$  bowiem nawet w krańcowych jej elementach znikomo mało różni się od zera.

Ze wzoru (1) znajdujemy, wyprowadzając  $k=k_1$ , przed znak całki,

$$y_1 = \frac{a \cdot k_1}{d} \int_{d_0}^{d_0 + \frac{\lambda}{2}} \frac{1}{r} \sin 2\pi \left( \frac{t}{T} - \frac{d}{\lambda} - \frac{r}{\lambda} \right) \cdot dS,$$

gdzie górną granicą całki jest  $r = d_0 + \frac{\lambda}{2}$ .



Poprzednio znaleźliśmy (p. wzór a)

$$dS = 2\pi d^2 \cdot \sin \varphi \cdot d\varphi$$

i (p. wzór b)

$$r \cdot dr = d(d + d_0) \sin \varphi \cdot d\varphi,$$

wobec czego

$$dS = \frac{2\pi d}{d + d_0} r \cdot dr,$$

a zatem

$$\begin{aligned} y_1 &= \frac{2\pi a}{d + d_0} \cdot k_1 \int_{d_0}^{d_0 + \frac{\lambda}{2}} \sin 2\pi \left( \frac{t}{T} - \frac{d}{\lambda} - \frac{r}{\lambda} \right) dr = \\ &= - \frac{2\pi a}{d + d_0} \cdot k_1 \cdot \frac{\lambda}{2\pi} \left[ \cos 2\pi \left( \frac{t}{T} - \frac{d + d_0}{\lambda} - \frac{1}{2} \right) - \cos 2\pi \left( \frac{t}{T} - \frac{d + d_0}{\lambda} \right) \right] = \\ &= \frac{2a \cdot \lambda}{d + d_0} \cdot k_1 \cdot \cos 2\pi \left( \frac{t}{T} - \frac{d + d_0}{\lambda} \right) = u_1 \cos 2\pi \left( \frac{t}{T} - \frac{d + d_0}{\lambda} \right). \end{aligned} \quad (f)$$

Ostatecznie otrzymujemy

$$\frac{u_1}{2} = \frac{a\lambda}{d + d_0} \cdot k_1.$$

Amplituda obliczonej w ten sposób sumy zaburzeń powinna być, rzecz prosta, równa amplitudzie w punkcie  $A_0$  swobodnie rozchodzącego się z punktu  $A$  zaburzenia, a więc równa

$$\frac{a}{d + d_0},$$

natężenie bowiem światła, proporcjonalne do kwadratu tej amplitudy, zmniejsza się odwrotnie proporcjonalnie do kwadratu odległości punktu obserwacji  $A_0$  od źródła światła  $A$ . Powinniśmy zatem mieć

$$\frac{a\lambda \cdot k_1}{d + d_0} = \frac{a}{d + d_0},$$

skąd wynika, że

$$k_1 = \frac{1}{\lambda}. \quad (4)$$



Godne jest uwagi, że faza zaburzenia, wyznaczonego na podstawie założeń Fresnela różni się o  $\frac{\pi}{2}$  od fazy, jaką znaleźlibyśmy stosując do swobodnie rozchodzącego się zaburzenia wzór (1a) rozdz. VII). Istotnie, znaleźliśmy, że (p. wzór f)

$$y = \frac{a}{d+d_0} \cos 2\pi \left( \frac{t}{T} - \frac{d+d_0}{\lambda} \right),$$

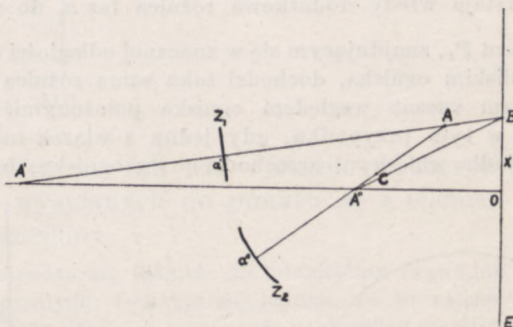
gdy tymczasem z tamtego wzoru otrzymujemy po podstawieniu

$$a_x = \frac{a}{d+d_0} \quad \text{i} \quad x = d+d_0$$

$$y = \frac{a}{d+d_0} \sin 2\pi \left( \frac{t}{T} - \frac{d+d_0}{\lambda} \right).$$

Dla usunięcia tej sprzeczności musimy przyjąć, że rozchodzenie się fal świetlnych podlega tym samym prawom, co rozchodzenie się fal sprężystych i że przeto w falach kulistych, a takimi właśnie są fale cząstkowe, wysyłane przez elementy czoła fali, faza zaburzeń w punkcie odległym o  $r$  od źródła różni się od fazy w punkcie bliskim źródła nie o  $2\pi \frac{r}{\lambda}$ , lecz o  $2\pi \frac{r}{\lambda} - \frac{\pi}{2}$ . Bezpośrednie potwierdzenie słuszności tego założenia dały doświadczenia Gouy'a (1890 r.) i wspomniane w rozdz. VII ust. 3 doświadczenie Meslin'a.

Gouy zastąpił jedno z płaskich zwierciadeł Fresnela zwierciadłem wklęsłym (rys. 207). Źródłami, wysyłającymi promienie interferujące, są obrazy  $A'$  i  $A''$ , z których jeden jest urojony ( $A'$ ), drugi zaś ( $A''$ ) rzeczywisty. Źródła te nie są synchroniczne, fazy bowiem zaburzeń, wychodzących z  $A'$ , różnią się o  $\pi$  (na skutek odbicia) od faz zaburzeń z punktu  $A$ , fazy zaś zaburzeń, wychodzących z  $A''$ , różnią się od faz zaburzeń, wysyłanych przez  $A$ , o  $\pi + (Aa'' + a''A'') \frac{2\pi}{\lambda}$ . W punkcie  $B$  ekranu  $E$ , odległym o  $x$  od  $O$ , punktu przecięcia prostej  $A'A''$  z prostopadłym do niej ekranem, mamy



Rys. 207

$$A'B = \sqrt{A'O^2 + x^2} \approx A'O + \frac{x^2}{2A'O} = A'O + \frac{x^2}{2(A'A'' + A'O)}$$

i

$$A''B = \sqrt{A''O^2 + x^2} \approx A''O + \frac{x^2}{2A''O},$$

tak że

$$A'B - A''B = A'A'' - \frac{x^2 \cdot A'A''}{2(A'A'' + A''O)A'O}.$$

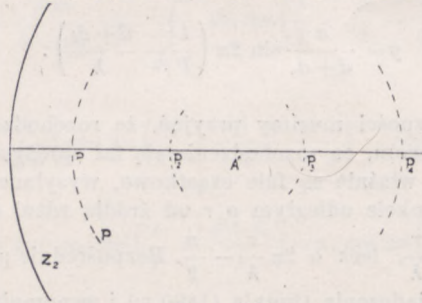


Różnica więc dróg optycznych promieni interferujących w  $B$  jest równa

$$\Delta = A'A'' - (Aa'' + a''A'') - \frac{x^2 \cdot A'A''}{2(A'A'' + A'O)A''O}$$

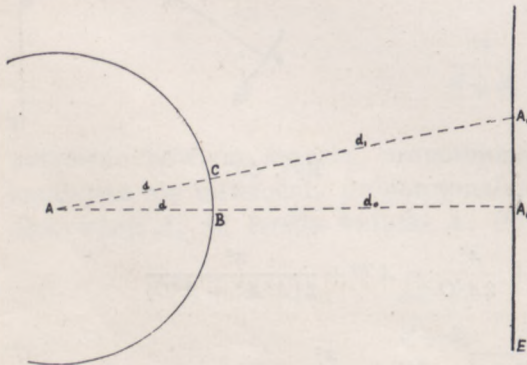
$A'A''$  bardzo mało się różni od  $(Aa'' + a''A'')$ , dla  $\Delta$  zatem równego zero,  $x=x_0$  też bardzo mało różni się od zera; prążek środkowy przypadnie w pobliżu punktu  $O$ . Używając światła białego powinno się w tym punkcie otrzymać prążek biały, symetrycznie zabarwiony po obu brzegach. W rzeczywistości jednak otrzymuje się prążek czarny.

Gouy wynik ten objaśnia w sposób następujący. Niech  $P$  będzie powierzchnią fali, odbitej od zwierciadła  $Z_2$  (rys. 208) i po przejściu przez ognisko  $A''$  rozchodzą-



Rys. 208

cej się dalej np. do  $P_4$ . W przypadku fal sprężystych między punktami  $P_1$  i  $P_4$  powstaje wtedy dodatkowa różnica faz  $\pi$ , do różnicy bowiem faz  $\frac{\pi}{2}$  między punktem  $P_1$ , znajdującym się w znacznej odległości od ogniska (źródła) fali, i punktem  $P_2$ , bliskim ogniska, dochodzi taka sama różnica faz między punktami  $P_3$  i  $P_4$ , w ten sam sposób względem ogniska położonymi. To samo, według Gouy'a, zachodzi i w tym przypadku, gdy jedna z wiązek interferujących (wiązka odbita od zwierciadła wklęsłego) przechodzi przez ognisko; to właśnie powoduje dodatkową zmianę różnicy faz o  $\pi$ , czym się tłumaczy powstanie prążka ciemnego zamiast jasnego.



Rys. 209

Późniejsze doświadczenia, między innymi Fabry'ego (1892 r.) i Sagnac'a (1913 r.), potwierdziły na ogół objaśnienia Gouy'a.

Wyznaczając w ten sam sposób natężenie światła w innym punkcie  $A_1$  płaszczyzny  $E$ , przechodzącej przez punkt  $A_0$  i prostopadłej do osi  $AA_0$  (rys. 209), znajdziemy, że i tym razem wypadkowa amplituda

zaburzeń, wysyłanych przez całą falę, będzie równa połowie wypadkowej amplitudy zaburzeń, wysyłanej przez elementy strefy biegunowej. Bie-

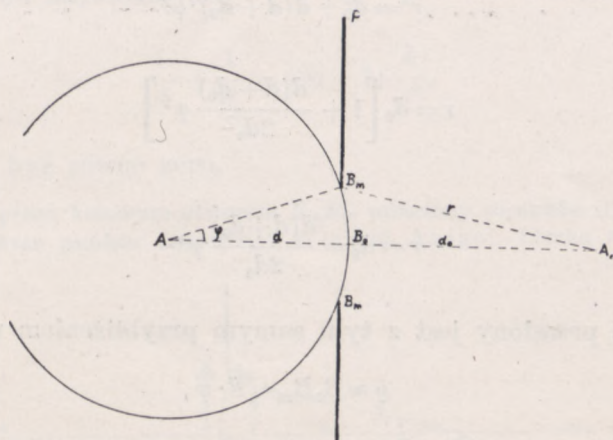


gunem jest wtedy nie punkt  $B_0$ , lecz punkt  $C$  przecięcia powierzchni falowej przez prostą  $AA_1$ , amplituda zaś

$$\frac{u'_1}{2} = \frac{a}{d+d_1}.$$

Oświetlenie zatem punktów  $A_1$  płaszczyzny  $E$  będzie stopniowo malało w miarę wzrastania odległości  $AA_1$  i tym samym  $A_0A_1$ . Codzienne doświadczenie wniosek ten, jak wiemy, całkowicie potwierdza.

Przypuśćmy teraz, że fala, wychodząca z  $A$ , ograniczona jest przesłoną  $P$  o otworze kołowym, tak że do punktu  $A_0$  dochodzą jedynie zaburzenia, wysyłane przez część  $B_mB'_m$  powierzchni falowej (rys. 210).



Rys. 210

Fresnel zakłada, że takie ograniczenie fali nie zmienia w niczym ani amplitudy, ani fazy zaburzeń, wysyłanych do punktu  $A_0$  z elementów stref, zawartych w otworze przesłony.

Rola zatem krawędzi przepony sprowadza się jedynie do oddzielenia czynnych w punkcie  $A_0$  części fali od części nieczynnych. Okazuje się jednak, że to założenie Fresnela wtedy tylko prowadzi do wniosków, zgodnych z doświadczeniem, gdy możemy pominąć zjawiska, zachodzące w bezpośrednim sąsiedztwie krawędzi (Gouy, por. ust. 3, str. 299). Na to pierwszy zwrócił uwagę H. Poincaré (1892 r.). Jak dotychczas jednak wszelkie próby stworzenia teorii ściślejszej od teorii Fresnela nie dały zadowalających wyników.

Podzielmy, tak, jak poprzednio, promieniami, wychodzącymi z  $A_0$ , powierzchnię  $B_mB'_m$  na strefy. Liczbę  $m$  tych stref, mniejszą, oczywiście, od  $n$ , znajdziemy ze wzoru

$$\frac{A_0B_m - A_0B_0}{\frac{\lambda}{2}} = \frac{r - d_0}{\frac{\lambda}{2}} = m, \quad (g)$$



gdzie

$$r^2 = d^2 + (d + d_0)^2 - 2d(d + d_0) \cos \varphi.$$

W tych przypadkach, w jakich występują cechy charakterystyczne zjawisk uginania się światła, otwór  $B_m B'_m$  jest niewielki, tym samym jest niewielki i kąt  $\varphi$ , wobec czego możemy przyjąć

$$\cos \varphi \approx 1 - \frac{\varphi^2}{2},$$

oraz

$$r^2 = d_0^2 + d(d + d_0) \cdot \varphi^2$$

i

$$r = d_0 \left[ 1 + \frac{d(d + d_0)}{2d_0^2} \varphi^2 \right],$$

tak że

$$r - d_0 = \frac{d(d + d_0)}{2d_0} \varphi^2.$$

Promień zaś przesłony jest z tym samym przybliżeniem równy

$$\varrho \approx B_0 B_m = d \cdot \varphi,$$

wobec czego

$$r - d_0 = \frac{d + d_0}{2dd_0} \varrho^2 \quad (h)$$

i ostatecznie

$$m = \frac{d + d_0}{dd_0} \cdot \frac{\varrho^2}{\lambda}. \quad (i)$$

Gdy  $m$  jest liczbą całkowitą parzystą, a więc gdy powierzchnię  $B_m B'_m$  można z punktu  $A_0$  podzielić na parzystą liczbę stref, amplituda wypadkowa

$$U = (u_1 - u_2) + (u_3 - u_4) + \dots + (u_{m-1} - u_m)$$

jest prawie równa zeru; gdy zaś  $m$  jest liczbą całkowitą nieparzystą, amplituda

$$U = u_1 - (u_2 - u_3) - (u_4 - u_5) - \dots - (u_{m-1} - u_m)$$

jest prawie dwa razy większa od wypadkowej amplitudy zaburzeń, wysyłanych przez falę, rozchodzącą się swobodnie.



Zmieniając zatem stopniowo odległość punktu  $A_0$  od przesłony, otrzymujemy na osi  $AA_0$  punkty, w których natężenie światła, wychodzącego z otworu  $B_m B'_m$ , spada do zera, i punkty, w których natężenie ma wartość 4 razy większą od tej, jaką by miała w danym punkcie po usunięciu przesłony. Położenie punktów o natężeniu najmniejszym wyznacza wzór

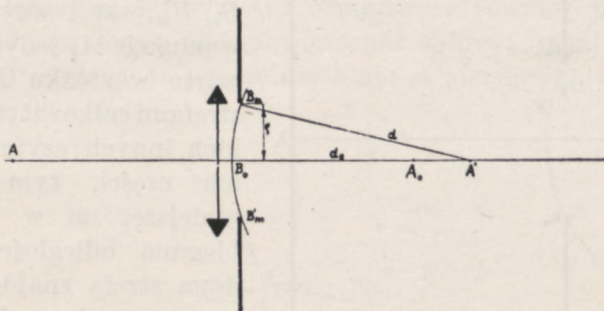
$$\frac{d + d_0}{d \cdot d_0} = \frac{\lambda \cdot 2q}{\varrho^2} \quad \text{lub} \quad \frac{1}{d} + \frac{1}{d_0} = 2q \cdot \frac{\lambda}{\varrho^2}, \quad (5)$$

gdzie  $q$  jest dowolną liczbą całkowitą, większą od zera; położenie punktów o natężeniu największym

$$\frac{1}{d} + \frac{1}{d_0} = (2q + 1) \frac{\lambda}{\varrho^2}, \quad (5a)$$

gdzie  $q$  może być równe zeru.

Umieścimy przed kołowym otworem  $B_m B'_m$  przesłonę soczewkę (rys. 211) dającą w punkcie  $A'$  obraz punktu świecącego  $A$  (układ Arago). Liczba stref, na które



Rys. 211

z punktu  $A_0$ , odległego o  $d_0$  od przesłony, można podzielić powierzchnię fali  $B_m B'_m$  (zwróconą tym razem wklęsłością do  $A_0$ ), równa jest

$$m = \frac{d - d_0}{d \cdot d_0} \cdot \frac{\varrho^2}{\lambda},$$

gdź obecnie

$$r^2 = d_0^2 + d(d - d_0) \cdot \varphi^2,$$

gdzie  $d$  oznacza odległość obrazu  $A'$  (środką geometrycznego fali załamanej) od bieguna  $B_0$ .

Położenie punktów o natężeniu najmniejszym wyznacza równanie

$$\frac{1}{d_0} - \frac{1}{d} = 2q \cdot \frac{\lambda}{\varrho^2}.$$



Niech otwór  $B_m B'_m$  stanowi obiektyw lunety, promień  $\varrho$  będzie wtedy równy promieniowi obiektywu. Nastawmy okular lunety na obraz  $A'$  punktu, leżącego w nieskończoności i przyjmijmy  $\varrho = 2$  cm,  $d = F = 2$  m. Najbliższy  $A'$  punkt na osi o natężeniu najmniejszym będzie odległy od obiektywu o

$$\frac{1}{d_0} = 2 \frac{\lambda}{\varrho^2} + \frac{1}{d} = \frac{2d\lambda + \varrho^2}{\varrho^2 d}$$

a więc o

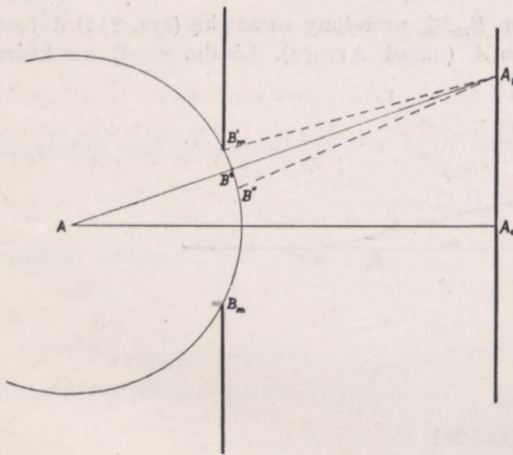
$$d_0 = \frac{\varrho^2 \cdot d}{2d\lambda + \varrho^2},$$

skąd po podstawieniu wartości  $\varrho$  i  $d$  otrzymujemy dla fali o długości  $\lambda = 0,5 \mu$

$$d_0 = 199 \text{ cm.}$$

Punkt  $A_0$  zatem leżeć będzie w odległości 1 cm na lewo od punktu  $A'$ . Przesuwając odpowiednio okular lunety możemy punkt ten wyznaczyć.

Podobnie można wyznaczyć natężenie światła w innym punkcie  $A_1$  płaszczyzny prostopadłej do osi i przechodzącej przez punkt  $A_0$ .



Rys. 212

biegunem będzie wtedy punkt  $B'$  (rys. 212), przecięcia prostej  $A_1 A$  z powierzchnią falową  $B_m B'_m$ , ze stref czynnych w punkcie  $A_1$  jedynie strefy, zawarte w stożku  $B'_m A_1 B''$  będą strefami całkowitymi, ze wszystkich innych czynne będą tylko ich części, tym stosunkowo mniejsze, im w większej od bieguna odległości będzie się dana strefa znajdowała. Drogi optyczne zaburzeń, wysyłanych przez skrajne punkty stref całkowicie czynnych, będą się różniły od dróg zaburzeń, wysyła-

nych przez elementy powierzchni, leżące w bezpośrednim sąsiedztwie bieguna  $B'$ , o

$$A_1 B'' - A_1 B' = A_1 B'_m - A_1 B' = m \frac{\lambda}{2}.$$

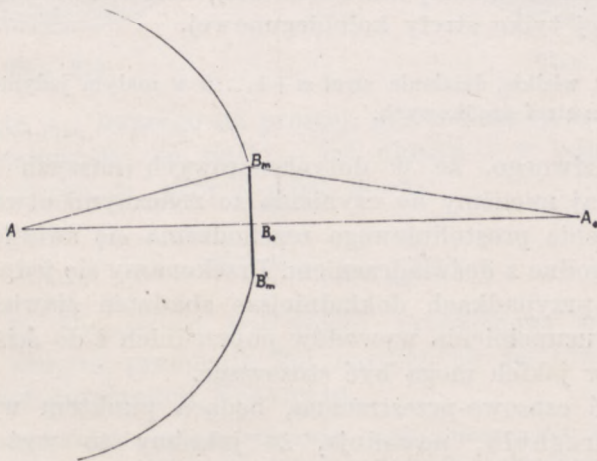
Gdy  $m$  będzie liczbą całkowitą parzystą, działanie tych stref w punkcie  $A_1$  będzie prawie równe zeru; oświetlenie zatem w tym punkcie będzie wywołane jedynie przez strefy, leżące poza podstawą stożka  $B'' A_1 B'_m$ , a więc czynne tylko częściowo, skąd wynika, że oświetlenie to będzie



na ogół niewielkie. Jeżeli jednak  $m$  jest liczbą całkowitą nieparzystą, wtedy działanie stref całkowitych jest prawie cztery razy większe (amplituda dwa razy większa) od działania strefy kołobiegunowej  $B'$  a ponieważ działanie stref częściowo czynnych pozostanie mniej więcej takie jak poprzednio, oświetlenie punktu  $A'$  staje się stosunkowo silne.

Przypuścimy, że punkt  $A_1$  płaszczyzny  $E$  jest początkowo punktem  $A_0$  osi o natężeniu najmniejszym a więc takim, z którego widać w otworze  $B_m B'_m$  parzystą liczbę stref. Gdy punkt ten będziemy stopniowo odsuwali od osi (przesuwając go np. w górę) strefa ostatnia będzie stopniowo (w górnej swej części) zakrywana przez przesłonę, działanie jej będzie się stopniowo zmniejszało, oświetlenie zatem w punkcie  $A_1$  będzie stopniowo wzrastało, aż wreszcie w pewnym położeniu tego punktu dojdzie do maksimum; przy dalszym przesuwaniu liczba stref całkowicie czynnych będzie dalej malała, przy czym każdej ich liczbie parzystej odpowiadać będzie oświetlenie słabsze, nieparzystej — silniejsze. Otrzymujemy więc na płaszczyźnie  $E$  układ kolejno zmieniających się miejsc ciemnych i jasnych tworzących koła współśrodkowe o środku w punkcie  $A_0$ . Oś  $AA_0$  będzie osią symetrii tego obrazu dyfrakcyjnego (łac. *diffringere* — rozłamać).

Obraz o takiej samej symetrii otrzymamy również wtedy, gdy zakryjemy kołobiegunową część powierzchni falowej małą przesłoną kołową  $B_m B'_m$ . Przesłona ta usunie działanie  $m$  pierwszych stref (rys. 213),



Rys. 213

tak że działanie w punkcie  $A_0$  będzie sumą działań  $n - m$  stref pozostałych, wobec czego wypadkowa amplituda w punkcie  $A_0$  będzie równa

$$U = u_{m+1} - u_{m+2} + \dots \pm u_n.$$



Powtarzając to samo rozumowanie, które nas doprowadziło do wzoru (3) znajdziemy, że

$$U = \frac{u_{m+1}}{2}.$$

Oświetlenie zatem punktu  $A_0$  nigdy nie będzie równe zeru; obraz dyfrakcyjny, powstający w jego bezpośrednim sąsiedztwie, jest zawsze obrazem o środku jasnym. Co więcej, gdy  $m$  jest niewielkie, (a więc gdy kąt, pod jakim z punktu  $A_0$  widać przesłonę, jest mały),  $u_{m+1}$  niewiele różni się od  $u_1$ , umieszczenie przeto na drodze promienia  $AA_0$  nieprzezroczystej przesłony kołowej nie zmienia oświetlenia punktu  $A_0$ . Ten paradoksalny wniosek z postulatu Huygensa-Fresnela, na który zwrócił uwagę Poisson, potwierdził doświadczalnie Arago.

Założenie zatem prostoliniowego rozchodzenia się światła w tym przypadku całkowicie zawodzi. Tak jednak jest tylko wtedy, gdy przesłona jest dostatecznie mała (i przy tym kołowa); zwiększając jej rozmiary tak, aby przykrywała znaczniejszą część powierzchni falowej, otrzymujemy w punkcie  $A_0$  ciemność i zupełny prawie zanik obrazu dyfrakcyjnego w bezpośrednio sąsiadujących z nim elementach powierzchni ekranu. Podobnie zanika obraz dyfrakcyjny przy użyciu przesłon o znacznym otworze środkowym, wtedy bowiem działanie czynnej części fali jest równoważne działaniu całej fali swobodnej, które znów jest równoważne działaniu samej tylko strefy kołobiegowej.

Gdy  $m$  jest wielkie, działania stref  $m+1, \dots, n$  w małym jedynie stopniu zmieniają działania  $m$  stref środkowych.

Nie też dziwnego, że w dotychczasowych naszych rozważaniach, gdzie zazwyczaj mieliśmy do czynienia ze znacznymi otworami w przesłonach, założenie prostoliniowego rozchodzenia się światła dawało wyniki na ogół zgodne z doświadczeniem. Przekonamy się jednak (p. ust. 8), że i w tych przypadkach dokładniejsze zbadanie zjawisk optycznych zmusi nas do uzupełnienia wywodów poprzednich i do ściślejszego ustalenia granic, w jakich mogą być stosowane.

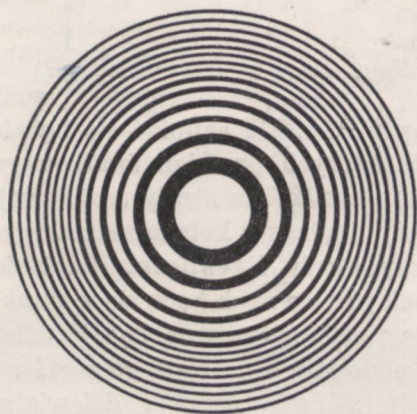
Okresowość czasowo-przestrzenna, będąca punktem wyjścia zasady Huygensa-Fresnela, powoduje, że jakżeśmy to wyżej stwierdzili, działania sąsiednich stref fali wzajemnie się osłabiają. Możliwy jest przeto spodziewać, że, usuwając działania wszystkich stref nieparzystych lub wszystkich stref parzystych, otrzymamy w punkcie  $A_0$  oświetlenie większe, niż przy działaniu całkowitej fali swobodnej. Taki właśnie przypadek zachodzi przy użyciu tzw. siatki ogniskowej (réseau zone, réseau circulaire), zbudowanej przez Soret'a.



Na białym papierze kreśli się cienko tuszem koło o promieniach  $\varrho$ , proporcjonalnych do pierwiastków kwadratowych z kolejnych liczb całkowitych (p. wzór i), równych przeto

$$\varrho_0, \varrho_0\sqrt{2}, \varrho_0\sqrt{3}\dots,$$

gdzie  $\varrho_0$  jest promieniem koła pierwszego; następnie zaś zaczerpnia się tuszem odstępy między pierwszym kołem i drugim, trzecim i czwartym, piątym i szóstym itd. Fotografując ten rysunek, otrzymujemy na klisze szereg pierścieni, kolejno przezroczystych i nieprzezroczystych. Klisze o środkowym kole przezroczystym stanowią siatkę dodatnią (rys. 214), o środkowym kole nieprzezroczystym — ujemną (rys. 215).



Rys. 214



Rys. 215

Dla punktu  $A_0$ , leżącego na prostej, przechodzącej przez punkt świecący  $A$  i prostopadłej do siatki — osi układu — w odległości  $d_0$ , wyznaczonej ze wzoru (p. wzór i, gdzie  $m=1$ ),

$$\varrho^2 = \varrho_0^2 = \frac{\lambda \cdot d \cdot d_0}{d + d_0},$$

promień strefy biegunowej jest równy promieniowi środkowego koła siatki; tym samym promienie kół następnych są równe promieniom kolejnych stref konstrukcji Fresnela.

Ścisłe biorąc, siatka powinna stanowić część powierzchni kulistej o środku w punkcie świecącym  $A$ . W tych jednak granicach dokładności, w jakich obowiązuje wzór (h), użycie siatki płaskiej nie wpływa w niczym na bieg zjawiska, błąd bowiem nie przekracza  $\frac{\varrho^4}{d^3}$ , podczas gdy różnica dróg jest rzędu  $\frac{\varrho^2}{d}$  (por. wzór h) a ponieważ  $\varrho$  jest małe w porównaniu z  $d$ ,  $\frac{\varrho^4}{d^3} = \Delta \cdot \frac{\varrho^2}{d^2}$  jest bardzo małe w porównaniu z  $\Delta$ .



Do punktu  $A_0$  nie będą przeto dochodziły działania stref parzystych (w przypadku siatki dodatniej) lub nieparzystych (w przypadku siatki ujemnej), natężenie zatem światła będzie w danym punkcie możliwie największe. Amplituda wypadkowa będzie miała wartość

$$U = u_1 + u_3 + u_5 + \dots \quad \text{lub} \quad U = u_2 + u_4 + u_6 + \dots \quad (j)$$

Siatka działać będzie jak soczewka o ogniskowej

$$\frac{1}{d} + \frac{1}{d_0} = \frac{\lambda}{\varrho_0^2}$$

Punkt  $F_0$ , leżący w odległości

$$\mathcal{F}_0 = \frac{\varrho_0^2}{\lambda} \quad (5b)$$

od siatki, będzie jej ogniskiem głównym. Światło skupiać się będzie również i w punktach  $A', A'' \dots$  osi, dla których promień środkowego koła siatki będzie równy  $3, 5, 7 \dots (2q+1)$  promieniom strefy środkowej. Istotnie, niech  $\varrho'_0$  będzie równe  $3\varrho_0$ , wtedy środkowe koło przezroczyste (w siatce dodatniej) zawierać będzie trzy strefy Fresnela, działania dwóch z nich (np. drugiej i trzeciej) o fazach przeciwnych będą się w punkcie  $A'$  wzajemnie znosiły, działanie zaś wypadkowe równe będzie działaniu jednej tylko strefy (np. pierwszej); podobnie z następnego pierścienia przezroczystego, zawierającego strefy siódmą, ósmą i dziewiątą, działać będzie tylko jedna strefa (np. siódma) itd. Amplituda wypadkowa będzie równa

$$U = u_1 + u_7 + u_{13} + u_{19} + \dots \quad (k)$$

Położenie punktów  $A', A'' \dots$  wyznaczać będzie równanie

$$\frac{1}{d} + \frac{1}{d_{2q}} = \frac{(2q+1)}{\varrho_0^2} \lambda; \quad (5c)$$

punkty te leżeć będą bliżej siatki, niż punkt  $A_0$ . Dla  $d = \infty$  będziemy mieli wzór

$$d_{2q} = \mathcal{F}_{2q} = \frac{\varrho_0^2}{(2q+1)\lambda}, \quad (5d)$$

wyznaczający odległości od siatki ognisk drugorzędnych, w których, jak to bezpośrednio wynika z porównania wzorów (j) i (k), natężenie światła zmniejsza się ze wzrostem  $q$ . Wszystkie te ogniska leżą między siatką i ogniskiem głównym. Ponieważ położenie ich zależy od długości



fali użytego światła, przy użyciu światła białego otrzymuje się zamiast jednego ogniska szereg ognisk, odpowiadających różnym barwom widma; ognisko czerwone będzie, oczywiście, bliższe siatki, niż fioletowe.

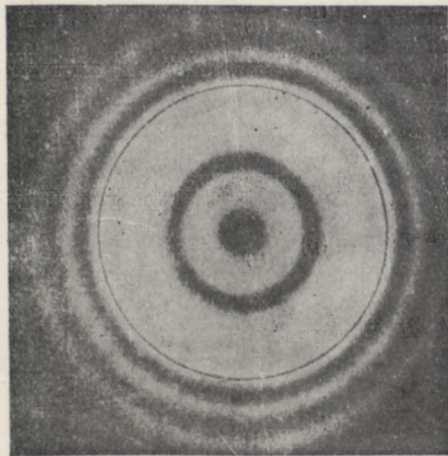
Wood zamiast zaczerniać pokrywał (1898 r.) pierścienie (parzyste lub nieparzyste) cienką warstwą żelatyny o tak dobranej grubości, że faza przechodzącego przez nią światła wzrastała o  $\pi$ , w ten sposób fazy stref sąsiednich stawały się zgodne i amplituda wypadkowa była równa sumie amplitud zaburzeń, wysyłanych przez poszczególne strefy.

$$U = u_1 + u_2 + u_3 + \dots$$

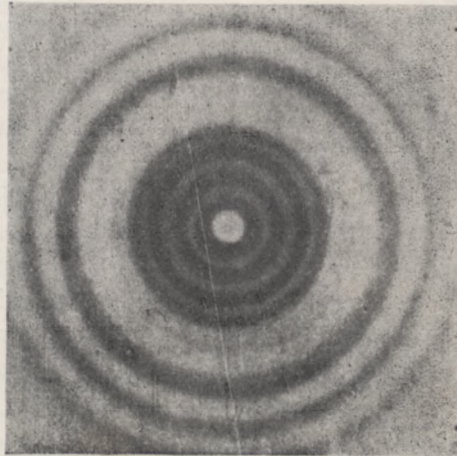
Siatka Wooda zwiększa prawie czterokrotnie natężenie światła w ogniskach.

## 2. ZJAWISKA DYFRAKCYJNE W PUNKTACH, NIE LEŻĄCYCH NA OSI. SPIRALA CORNU

Obliczenie oświetlenia punktów płaszczyzny  $E$ , nie leżących na osi, jest w przypadku otworów kolistych zagadnieniem trudnym, rozmieszczenie bowiem pierścieni o największym, czy też najmniejszym natężeniu zależy, zarówno od odległości między płaszczyzną obserwacji i otworem uginającym jak i od średnicy tego otworu. Nie wchodząc przeto w szczegóły rachunku, opracowanego zresztą tylko dla niektórych przypadków szczególnych, poprzestaniemy na podaniu tytułem przykładu dwóch



Rys. 216



Rys. 217

pięknych rysunków, wziętych z książki Bouasse'a i Carrière'a „Diffraction” (1923 r.).

Rysunek 216 odtwarza obraz dyfrakcyjny, otrzymany w odległości  $d_0 = 104$  mm od otworu uginającego, o średnicy 1,5 mm, oświetlonego promieniami jednorodnymi (zielonymi), wysyłanymi przez punkt świecący, umieszczony na osi w odległości  $d = 4630$  mm od otworu; koło,

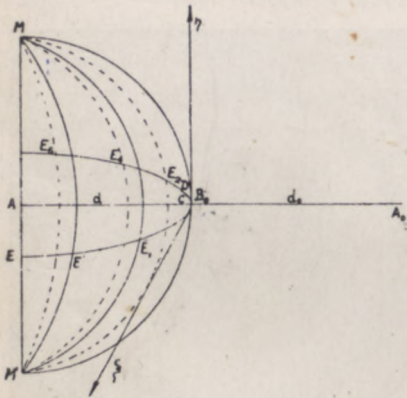


nakreślone cienką linią czarną, zaznacza granice cienia geometrycznego. Rysunek 217 odtwarza obraz dyfrakcyjny, otrzymany przy ugięciu przez przesłone kołową, o średnicy 2 mm, w odległości  $d_0=1790$  mm od przesłony; źródłem światła jest i tym razem punkt świecący, wysyłający światło jednorodne (zielone); odległość punktu tego od przesłony wynosi  $d=4630$  mm.

Zagadnienie znacznie się upraszcza, gdy ugięcie zachodzi na krawędziach prostoliniowych, gdy zatem wiązka światła, wychodzącego ze źródła, jest ograniczona albo z jednej tylko strony przez płaską o prostoliniowej krawędzi przesłone albo też z dwóch stron tak, że otwór uginający jest prostokątny.

Przetnijmy kulistą powierzchnię fali, wychodzącej ze źródła  $A$ , płaszczyznami, równoległymi do krawędzi uginającej i przechodzącymi przez średnicę kuli; przez biegun zaś kuli przesunmy płaszczyznę współrzędnych prostokątnych  $\xi B_0 \eta$ , przy czym oś  $B_0 \eta$  niech będzie równoległa do krawędzi (rys. 218). Płaszczyzna  $AEA_0$ , przechodząca przez oś  $B_0 \xi$ , jest równikiem fali względem punktu  $A_0$ .

Pasy, jakie na powierzchni fali wycinają płaszczyzny  $MEM'$ , obejmują w kierunku  $B_0$  powierzchnię całej fali (lub też, gdy chodzi o otwór prostokątny, powierzchnię znacznej jej części), możemy zatem przyjąć, stosując rozumowanie, analogiczne do tego, jakim posługiwaliśmy się przy wywodach ustępu poprzedniego, że działanie każdego z tych pasów w punkcie  $A_0$  jest proporcjonalne do działania równikowego elementu powierzchni fali. Działanie w punkcie  $A_0$  będzie przeto proporcjonalne do sumy działań, wywieranych przez wszystkie nie zakryte przez przesłone elementy pasa równikowego.



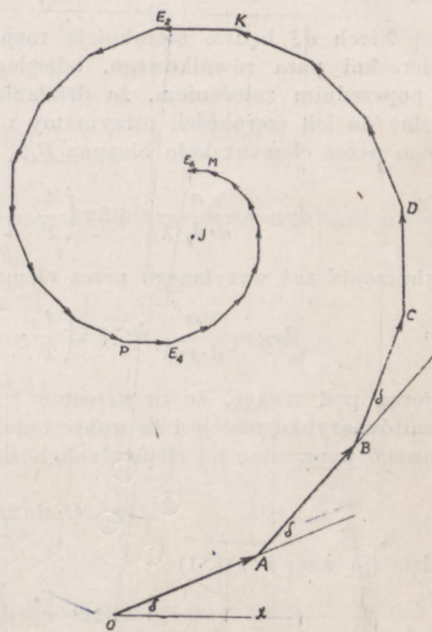
Rys. 218

Niech  $E_1 E_2$  będą krańcowymi elementami pierwszej (biegunowej) strefy, wykreślonej na powierzchni pasa równikowego w ten sam zupełnie sposób, jaki stosowaliśmy w ustępach poprzednich. Podzielmy część  $B_0 E_2$  pasa na dostatecznie małe elementy, aby można było fazy w punkcie  $A_0$  zaburzeń, wysyłanych przez poszczególne punkty każdego z nich, uważać w przybliżeniu za jednakowe oraz różnicę faz dwóch elementów sąsiednich  $\delta$  za stałą, i wyznaczmy wypadkową amplitudę i fazę, stosując konstrukcję Fresnela (p. M. Grotowski, Wykłady fizyki tom II, ust. 5, rozdz. I). Działanie pierwszego elementu  $B_0 C$ , bezpośrednio przy-



tykającego do bieguna, ujawni się w punkcie  $A_0$  zaburzeniem o amplitudzie, proporcjonalnej do szerokości  $B_0C$  elementu, i o fazie, różniącej się o  $\delta$  od fazy zaburzenia, wzbudzonego przez biegun, działania drugiego elementu — zaburzeniem o amplitudzie proporcjonalnej do  $CD$ , i o fazie, różniącej się o  $\delta$  od fazy zaburzenia wzbudzonego przez  $B_0C$  itd. Zaburzenie wypadkowe będzie miało amplitudę  $OE_2$ , którą otrzymamy, łącząc punkt  $O(B_0)$  z końcowym punktem amplitudy  $KE_2$  zaburzenia, wzbudzonego w  $A_0$  przez ostatni element  $B_0E_2$ . To ostatnie zaburzenie będzie miało w  $A_0$  fazę, różniącą się o  $\pi$  od fazy zaburzenia, wzbudzonego przez biegun, odcinek więc  $KE_2$  będzie równoległy do osi  $OX$  i skierowany w stronę przeciwną. Odkładając w ten sposób amplitudy zaburzeń, wzbudzonych przez elementy strefy następnej, znajdziemy, że amplituda  $PE_4$  zaburzenia, wzbudzonego w  $A_0$  przez ostatni element pasa równikowego tej strefy, będzie znów równoległa do  $OX$  i skierowana w tę samą stronę, zgodnie bowiem z konstrukcją stref, zaburzenie to będzie miało fazę tę samą, co zaburzenie, wzbudzone przez biegun. Gdyby amplitudy składowe miały wartości jednakowe, amplituda  $PE_4$  leżałaby na prostej  $OX$ , amplituda więc wypadkowa byłaby równa zero. Amplitudy te jednak, proporcjonalne do szerokości odpowiednich elementów pasa równikowego stopniowo maleją, (p. niżej, ust. 4), wobec czego odcinek  $PE_4$  leży powyżej osi  $OX$ .

Uwzględniając działanie elementów strefy trzeciej, otrzymamy linię łamaną  $E_4E_6$ , której ostatni odcinek  $ME_6$  znów będzie równoległy do osi  $OX$  i skierowany w stronę przeciwną. Przy zwiększaniu liczby elementów, na jakie dzielimy poszczególne strefy, wykreślona w ten sposób linia łamana coraz bardziej zbliża się do linii krzywej, dając w granicy spiralę o wielu zwojach (rys. 219), których krzywizna stale wzrasta wobec stopniowego zmniejszania się amplitudy działania danego elementu w miarę wzrostu odległości tego elementu od bieguna. Zwoje te dążą asymptotycznie do przekształcenia się w koło o środku w punkcie  $J$  i o promieniu nieskończenie małym.



Rys. 219



Elementy drugiej połowy pasa  $B_0E\dots$  dadzą drugą gałąź spirali, symetryczną do pierwszej względem punktu  $O$ . Proste  $OJ$  i  $OJ'$  wyrażają przeto działania połówek fali, prosta zaś  $JJ'$  (p. rys. 224) — działanie całej fali. Działanie poszczególnych stref po jednej stronie bieguna wyrażać będą proste, łączące początkowe i końcowe punkty odpowiednich zwojów, tak więc prosta  $E_4E_6$  wyrazi działanie elementów połowy strefy drugiej. Krzywą tę, opartą na rachunku, wykonanym przez Fresnela (1826), wykreślił i zastosował do badania zjawisk uginania się światła Cornu (1874 r.), stąd nazwa spirali Cornu, jaką jej zazwyczaj nadjemy.

Niech  $d\xi$  będzie szerokością rozpatrywanego elementu  $EE'$  (p. rys. 218) powierzchni pasa równikowego, odległego o  $r$  od punktu  $A_0$ . Przyjmując, zgodnie z poprzednim założeniem, że działanie poszczególnych elementów jest proporcjonalne do ich szerokości, otrzymamy na wartość w punkcie  $A_0$  zaburzenia, wysyłanego przez element koło bieguna  $B_0$ ,

$$dy_B = \frac{a}{d \cdot d_0 \cdot \lambda} \sin 2\pi \left( \frac{t}{T} - \frac{d_0}{\lambda} \right) d\xi = C \cdot \sin 2\pi \left( \frac{t}{T} - \frac{d_0}{\lambda} \right) d\xi,$$

zaburzenia zaś wysyłanego przez element  $EE'$

$$dy_E = \frac{a}{d \cdot r \cdot \lambda} \sin 2\pi \left( \frac{t}{T} - \frac{r}{\lambda} \right) d\xi = C' \sin 2\pi \left( \frac{t}{T} - \frac{r}{\lambda} \right) d\xi. \quad (a)$$

Biorąc pod uwagę, że ze wzrostem  $r$  działanie w punkcie  $A_0$  poszczególnych elementów szybko maleje i że wobec tego można przy rozpatrywaniu działania wypadkowego poprzestać na elementach bliskich bieguna, wzór (a) przepiszemy w postaci

$$dy_E = C \cdot \sin 2\pi \left( \frac{t}{T} - \frac{d_0 + \Delta}{\lambda} \right) d\xi,$$

gdzie (p. wzór h ust. 1)

$$\Delta = r - d_0 \approx \frac{d + d_0}{2d \cdot d_0} \cdot \xi^2, \quad (b)$$

skąd

$$\begin{aligned} dy_E &= C \cdot \sin 2\pi \left( \frac{t}{T} - \frac{d_0}{\lambda} - \frac{d + d_0}{2d \cdot d_0 \cdot \lambda} \xi^2 \right) d\xi = \\ &= C \left[ \sin 2\pi \left( \frac{t}{T} - \frac{d_0}{\lambda} \right) \cos 2\pi \frac{d + d_0}{2d \cdot d_0 \cdot \lambda} \xi^2 + \sin 2\pi \left( \frac{t}{T} - \frac{d_0}{\lambda} - \frac{1}{4} \right) \sin 2\pi \frac{d + d_0}{2d \cdot d_0 \cdot \lambda} \cdot \xi^2 \right] d\xi. \end{aligned}$$

Zaburzenie, wzbudzone w  $A_0$  przez element  $EE'$ , jest przeto sumą dwóch zaburzeń o różnicy fazy  $\frac{\pi}{2}$  i o amplitudach odpowiednio równych

$$C \cdot \cos \pi \frac{d + d_0}{d \cdot d_0 \cdot \lambda} \xi^2 \cdot d\xi \quad \text{i} \quad C \cdot \sin \pi \cdot \frac{d + d_0}{d \cdot d_0 \cdot \lambda} \xi^2 \cdot d\xi,$$

o natężeniu więc

$$dI = \left[ C \cos \pi \frac{d + d_0}{d \cdot d_0 \cdot \lambda} \xi^2 \cdot d\xi \right]^2 + \left[ C \cdot \sin \pi \cdot \frac{d + d_0}{d \cdot d_0 \cdot \lambda} \xi^2 \cdot d\xi \right]^2.$$



Nateżenie zatem zaburzenia wypadkowego, wzbudzonego przez wszystkie czynne elementy powierzchni równikowej w granicach od  $\xi = \xi_1$  do  $\xi = \xi_2$ , będzie równe

$$I = \left[ C \int_{\xi_1}^{\xi_2} \cos \pi \frac{d+d_0}{d \cdot d_0 \cdot \lambda} \xi^2 d\xi \right]^2 + \left[ C \int_{\xi_1}^{\xi_2} \sin \pi \frac{d+d_0}{d \cdot d_0 \cdot \lambda} \xi^2 d\xi \right]^2. \quad (c)$$

Napiszmy, że

$$\pi \frac{d+d_0}{d \cdot d_0 \cdot \lambda} \xi^2 = \frac{\pi}{2} v^2, \quad (d)$$

skąd

$$d\xi = \sqrt{\frac{d \cdot d_0 \cdot \lambda}{2(d+d_0)}} \cdot dv$$

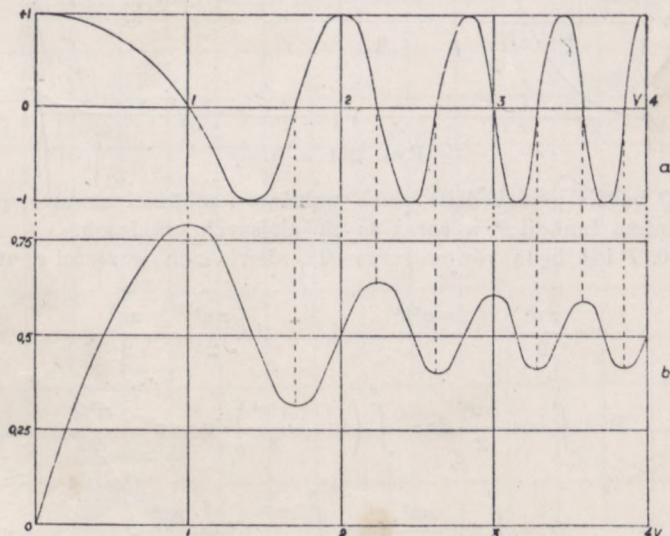
i

$$I = C^2 \cdot \frac{d \cdot d_0 \cdot \lambda}{2(d+d_0)} \left[ \left( \int_{v_1}^{v_2} \cos \frac{\pi v^2}{2} \cdot dv \right)^2 + \left( \int_{v_1}^{v_2} \sin \frac{\pi v^2}{2} dv \right)^2 \right]. \quad (e)$$

O ile więc chodzi o nateżenie światła, zagadnienie sprowadza się do obliczenia dwóch całek

$$P = \int_0^v \cos \frac{\pi v^2}{2} dv \quad \text{i} \quad Q = \int_0^v \sin \frac{\pi v^2}{2} dv; \quad (6)$$

całki tego typu noszą nazwę całek Fresnela.



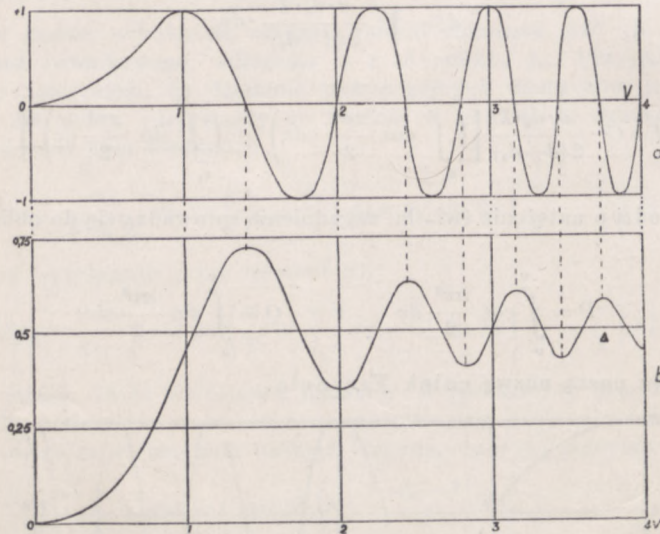
Rys. 220 a. b.

Odkładając na osi odciętych wartość  $v$ , na osi zaś rzędnych  $\cos \pi \frac{v^2}{2}$  (rys. 220a), otrzymamy krzywą, przecinającą oś  $Ov$  w punktach  $v = 1, \sqrt{3}, \sqrt{5}, \dots$  których wza-



jemne odstępę ze wzrostem  $v$  się zmniejszają. Pola, objęte coraz to ciaśniejszymi pętlami krzywej  $\cos \frac{\pi v^2}{2}$  są kolejno dodatnie i ujemne, wobec czego wielkość  $P$ , wyrażająca ich sumę, będzie kolejno przechodziła przez maksimum i minimum, przy czym jednak, wobec coraz to bardziej zmniejszającej się różnicy pól dodatnich i ujemnych, wahania jej wartości zawierać się będą w coraz to ciaśniejszych granicach (rys. 220b).

Podobnie będzie się zmieniała i funkcja  $Q$ , wyrażająca sumę pól, zawartych między osią odciętych  $Ov$  i krzywą  $\sin \frac{\pi v^2}{2}$  (rys. 221a i b). Krzywa ta przecinać będzie oś  $Ov$  w punktach  $v = \sqrt{2}, \sqrt{4}, \sqrt{6} \dots = 1,41; 2; 2,45 \dots$ . W tych przeto punk-



Rys. 221 a. b.

tach funkcja  $Q$  będzie przechodziła przez maksima i minima, zawarte, podobnie jak maksima i minima funkcji  $P$  w coraz to ciaśniejszych granicach.

Przy  $v=0$ ,  $P$  i  $Q$  będą równe zeru; dla niewielkich wartości  $v$  otrzymujemy, podstawiając

$$\cos \frac{\pi v^2}{2} = 1 - \frac{\pi^2 v^4}{8} \quad \text{i} \quad \sin \frac{\pi v^2}{2} = \frac{\pi v^2}{2},$$

$$P = \int_0^v \cos \frac{\pi v^2}{2} dv = \int_0^v \left(1 - \frac{\pi^2 v^4}{8}\right) dv = v - \frac{\pi^2 v^5}{40}$$

i

$$Q = \int_0^v \sin \frac{\pi v^2}{2} dv = \int_0^v \frac{\pi v^2}{2} dv = \frac{\pi v^3}{6}.$$

Dla małych zatem wartości  $v$  krzywa  $P$  jest linią prostą, przechodzącą przez punkt  $O$ , krzywa  $Q$  jest styczna do osi  $Ov$ .

Stosując metodę stopniowego całkowania, której tu rozpatrywać nie będziemy, Fresnel ułożył tablicę wartości funkcji  $P$  i  $Q$  dla różnych znaczeń  $v$ .



Przy  $v = \infty$  obie funkcje mają, co przyjmujemy bez udowodnienia, wartości jednako-  
kowe, a mianowicie

$$P = \int_0^{\infty} \cos \frac{\pi v^2}{2} dv = Q = \int_0^{\infty} \sin \frac{\pi v^2}{2} dv = \frac{1}{2}. \quad (f)$$

Ze wzrostem  $v$  funkcje  $P$  i  $Q$  szybko zbliżają się do tej wartości granicznej. Istotnie, dla

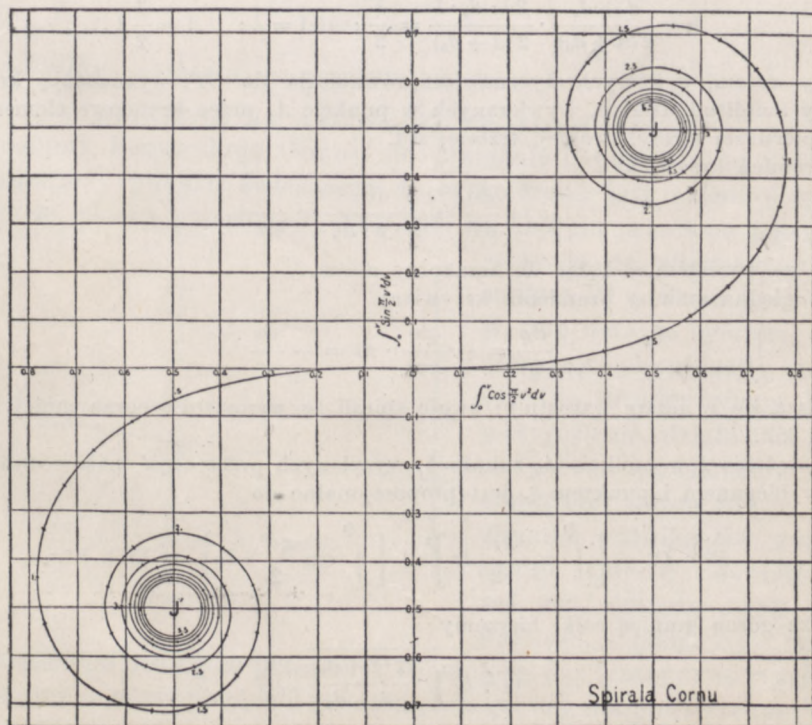
$v=8,0$	$P=0,4998$	$Q=0,4602$
$v=8,1$	$P=0,5228$	$Q=0,5320$
$v=8,2$	$P=0,4638$	$Q=0,4859$
$v=8,3$	$P=0,5878$	$Q=0,4932$
$v=8,4$	$P=0,4709$	$Q=0,5243$
$v=8,5$	$P=0,5142$	$Q=0,4653$

Największa zatem różnica nie przekracza 8%.

Szczegółową teorię całek Fresnela dał Gilbert (1863 r.).

Odkładając na osi odciętych wartości  $P = \int_0^v \cos \frac{\pi v^2}{2} dv$  na osi rzędnych

$Q = \int_0^v \sin \frac{\pi v^2}{2} dv$  (rys. 222), otrzymamy spiralę Cornu. Istotnie, krzywa przecho-



Rys. 222



dająca przez początek osi współrzędnych (dla  $v=0$ ,  $P$  i  $Q$  są równe zero), składa się z dwóch symetrycznych względem początku  $O$  gałęzi, ponieważ  $P$  i  $Q$  zachowują przy zmianie znaku  $v$  te same bezwzględne wartości, zmieniając jedynie znak. Element łuku krzywej

$$dS = \sqrt{dX^2 + dY^2} = \sqrt{dP^2 + dQ^2} = \sqrt{\left(\cos^2 \frac{\pi v^2}{2} + \sin^2 \frac{\pi v^2}{2}\right) dv^2} = dv$$

jest, podobnie, jak przy konstrukcji spirali, proporcjonalny do  $d\xi$ ; każdemu więc punktowi krzywej odpowiada pewna wartość  $v$  równa mierzonej wzdłuż krzywej odległości punktu od początku  $O$ . Dalej kąt, jaki styczna do krzywej tworzy z osią odciętych, równy jest

$$\operatorname{tg} T = \frac{dY}{dX} = \frac{dP}{dX} = \operatorname{tg} \frac{\pi v^2}{2} = \operatorname{tg} \pi \frac{d + d_0}{d \cdot d_0 \cdot \lambda} \xi^2$$

(p. wzór d), w punkcie  $O$  zatem styczną do krzywej jest oś odciętych, w punktach zaś, dla których

$$v = \sqrt{2}, \sqrt{4}, \sqrt{6} \dots$$

styczna jest równoległa do osi  $OP$ . Tym wartościom  $v$  odpowiadają, zgodnie z założeniem (d), wartości

$$\xi^2 = 2 \frac{d \cdot d_0 \cdot \lambda}{2(d + d_0)}, \quad 4 \frac{d \cdot d_0 \cdot \lambda}{2(d + d_0)}, \quad 6 \frac{d \cdot d_0 \cdot \lambda}{2(d + d_0)} \dots,$$

a więc (p. wzór b) różnice dróg

$$\Delta = \frac{d + d_0}{2(d + d_0)} \cdot \frac{2d \cdot d_0 \cdot \lambda}{2(d + d_0)} = \frac{\lambda}{2}; \quad \Delta = \lambda; \quad \Delta = \frac{3}{2} \lambda \dots$$

Punkty zatem, w których styczna jest równoległa do  $OP$ , wyznaczają końcowe punkty amplitud działań, wywieranych w punkcie  $A_0$  przez końcowe elementy połowy pierwszej strefy, drugiej, trzeciej itd.

Promień krzywizny

$$\rho = \frac{dv}{dT} = \frac{dv}{\pi \cdot v \cdot dv} = \frac{1}{\pi v} \quad (g)$$

maleje ze wzrostem  $v$ , dążąc do zera przy  $v = \infty$ .

Względna zmiana promienia krzywizny

$$\frac{d\rho}{\rho} = - \frac{dv}{\pi v^2} \cdot \pi v = - \frac{dv}{v}$$

zmniejsza się w miarę wzrostu  $v$ ; zwoje spirali ze wzrostem  $v$  coraz mniej się różnią od kół.

Natężenie  $I$  w punkcie  $A_0$  zaburzeń, wysyłanych przez część pasa równikowego między biegunem i punktem  $\xi$ , jest proporcjonalne do

$$P^2 + Q^2 = \left[ \int_0^{v_1} \cos \frac{\pi v^2}{2} dv \right]^2 + \left[ \int_0^{v_1} \sin \frac{\pi v^2}{2} \cdot dv \right]^2 = X^2 + Y^2,$$

gdzie za górną granicę całki bierzemy

$$v_1 = \xi_1 \sqrt{\frac{2(d + d_0)}{d \cdot d_0 \cdot \lambda}}, \quad \sqrt{\frac{2(d + d_0)}{d \cdot d_0 \cdot \lambda}}$$

a zatem jest proporcjonalne do odcinka prostej, łączącej początek  $O$  z punktem krzywej odległym o  $v$  od początku  $O$ .



Gdy czynna część fali nie obejmuje bieguna, lecz jedynie część pasa równikowego między  $\xi_1$  i  $\xi_2$ , natężenie w punkcie  $A_0$  otrzymamy, odejmując od amplitud działań, wywieranych przez elementy, zawarte między biegunem i elementem  $\xi_2$ , amplitudy działań elementów, zawartych między biegunem i elementem  $\xi_1$

$$(P_2 - P_1)^2 + (Q_2 - Q_1)^2 = \left[ \int_0^{v_2} \cos \frac{\pi v^2}{2} dv - \int_0^{v_1} \cos \frac{\pi v^2}{2} dv \right]^2 + \\ + \left[ \int_0^{v_2} \sin \frac{\pi v^2}{2} dv - \int_0^{v_1} \sin \frac{\pi v^2}{2} dv \right]^2 = \left[ \int_{v_1}^{v_2} \cos \frac{\pi v^2}{2} dv \right]^2 + \left[ \int_{v_1}^{v_2} \sin \frac{\pi v^2}{2} dv \right]^2. \quad (h)$$

Natężenie będzie więc proporcjonalne do kwadratu długości odcinka prostej, łączącej punkty o współrzędnych  $P_1, Q_1$  i  $P_2, Q_2$ . Wobec tego natężenie wzbudzone przez całą falę wyrazi się wzorem

$$I = I_0 = C^2 \cdot \frac{d \cdot d_0 \cdot \lambda}{2(d + d_0)} [(P_{+\infty} - P_{-\infty})^2 + (Q_{+\infty} - Q_{-\infty})^2] = \\ = C^2 \cdot \frac{d \cdot d_0 \cdot \lambda}{2(d + d_0)} \left[ \left( \frac{1}{2} + \frac{1}{2} \right)^2 + \left( \frac{1}{2} + \frac{1}{2} \right)^2 \right] = 2 C^2 \cdot \frac{d \cdot d_0 \cdot \lambda}{2(d + d_0)}, \quad (i)$$

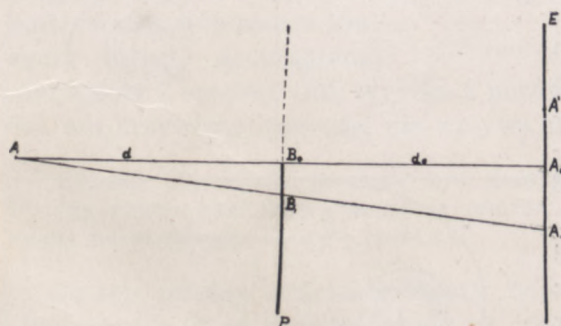
stały więc czynnik wzoru (c)

$$C^2 \cdot \frac{d \cdot d_0 \cdot \lambda}{2(d + d_0)} = \frac{I_0}{2}, \quad (j)$$

połowie oświetlenia punktu  $A_0$  po usunięciu przesłony.

### 3. UGINANIE NA KRAWĘDZI PROSTOLINIOWEJ

Zastosujmy konstrukcję Cornu do przypadku, gdy wiązka światła, wychodzącego z punktu świecącego  $A$ , ograniczona jest z jednej tylko strony przez płaską przesłonę  $P$  (rys. 223, na którym przesłona jest pro-



Rys. 223

stopadła do płaszczyzny rysunku). W punkcie  $A_0$  ekranu  $E$ , (lub mówiąc ogólniej, płaszczyzny obserwacji), leżącym na granicy cienia geometrycznego, działa cała górna połowa powierzchni fali, amplituda zatem równa jest długości odcinka  $OJ$  górnej spirali Cornu, oświetlenie zaś ma czwartą część tej wartości, jaką by miało

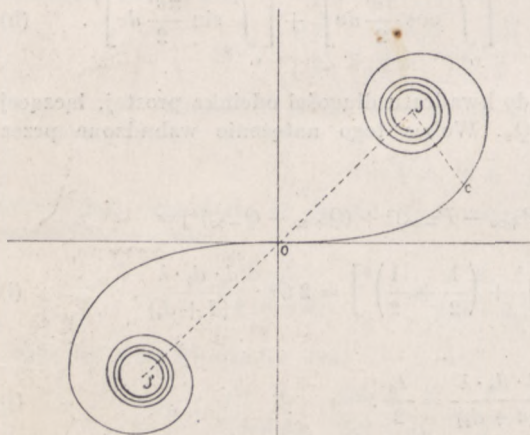
w tym punkcie po usunięciu przesłony. W punkcie  $A_1$ , leżącym na rysunku poniżej  $A_0$  już w obszarze cienia geometrycznego, czynna powierzchnia fali zmniejsza się o część, której odpowiada część  $B_0B_1$  pasa równikowego. Długość tej części pasa jest tym większa, im większa jest odległość  $A_1$  od



$A_0$  lub innymi słowy, im dalej posuwamy się w głąb cienia geometrycznego. Istotnie, przyjmując, że  $A_0A_1$  bardzo mało różni się od łuku koła, opisanego z  $A$  promieniem  $d+d_0$ , znajdujemy, że

$$B_0 B_1 = d \cdot \frac{A_0 A_1}{d + d_0}. \quad (\text{k})$$

Wobec tego początkowy punkt wektora, wyrażającego wypadkową amplitudę zaburzeń, przesuwa się od punktu  $O$  wzdłuż górnej części spirali do punktu  $C$ , leżącego tym dalej od  $O$ , im głębiej wewnątrz cienia leży badany punkt  $A_1$  (rys. 224).



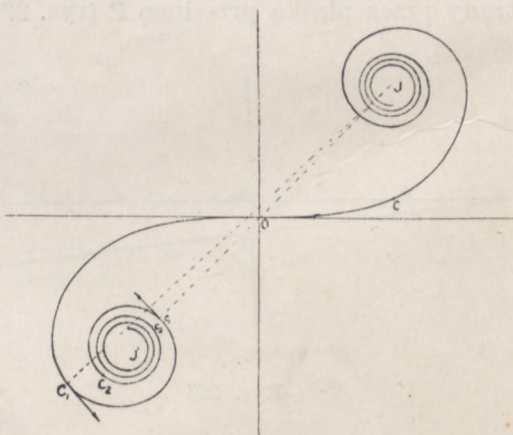
Rys. 224

W obszarze więc cienia geometrycznego oświetlenie stale stopniowo maleje.

Inny jednak będzie przebieg zjawiska w punktach  $A'$ , leżących na rysunku powyżej  $A_0$ . W miarę, jak punkt ten przesuwać się będzie ku górze, działać na niego będzie oprócz całej górnej połowy powierzchni

fali coraz to większa część połowy dolnej. Początkowy więc punkt  $C$  wektora, wyrażającego amplitudę wypadkową, będzie się przesuwał wzdłuż dolnej gałęzi spirali Cornu (rys. 225).

W punkcie  $C_1$ , w którym prosta  $JC_1$  jest prostopadła do krzywej, długość tego wektora osiągnie wartość największą, aby w punkcie  $c_1$  spaść poniżej wszystkich wartości, jakie ma na sąsiadujących z tym punktem obszarze; nowe maksimum, mniejsze niż poprzednie, osiągnie wektor w punkcie  $C_2$ , nowe minimum, większe, niż poprzednie, w punkcie  $c_2$  itd.



Rys. 225

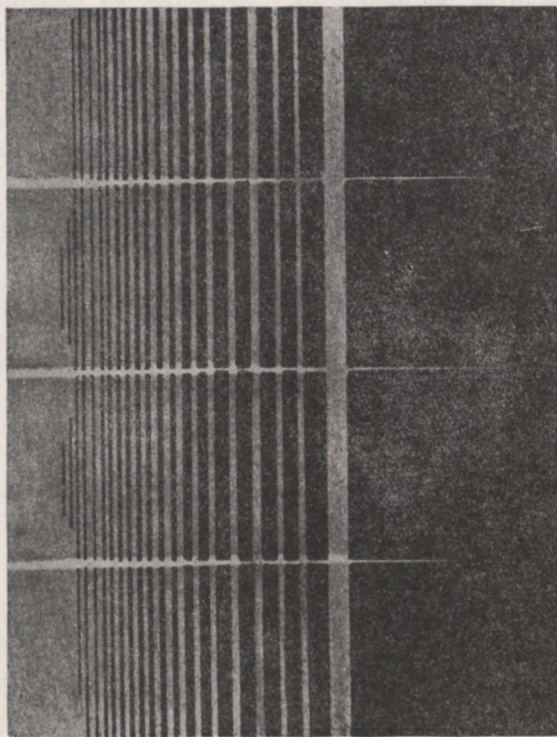
W części zatem płaszczyzny  $E$ , leżącej poza granicami cienia geometrycznego powstaną miejsca jaśniejsze i ciemniejsze, których wzajemne



odstępy będą stopniowo malały. Jednocześnie maleć będzie różnica największych i najmniejszych oświetleń, w miarę bowiem zbliżania się do punktu  $J'$  różnica długości odpowiednich wektorów, równa mniej więcej średnicy odpowiednich zwojów, będzie stopniowo malała; ostateczne zatem oświetlenie płaszczyzny stanie się jednostajne.

Miejscem geometrycznym punktów o jednakowym natężeniu będą proste, równoległe do krawędzi przesłony  $P$ , natężenie bowiem światła w danym punkcie płaszczyzny  $E$  jest zależne jedynie od jego odległości od granicy cienia geometrycznego.

Wyrównanie się oświetlenia następuje już w niewielkiej odległości (rzędu kilku milimetrów) od granicy cienia geometrycznego. Rozkład oświetlenia płaszczyzny  $E$  odtwarza rys. 226, wzięty z pracy Arkadiewa, a który podajemy za Peruccą. Rysunek ten jest podzielony na cztery części, odpowiadające różnym, użytym przez Arkadiewa, przesłonom: o krawędzi ostrej, zaokrąglonej



Rys. 226

odbijającej i czarnej. Jak wynika z porównania tych obrazów, ani materiał, ani krzywizna krawędzi nie wpływa na rozmieszczenie prążków.

Wniosek ten jednak przestaje być słuszny dla dużych kątów ugięcia i wtedy, gdy wiązka oświetlająca skupiona jest na krawędzi uginającej, jak tego dowiodły doświadczenia Gouy'a (1884 r.).

Odstęp między prążkami zależy więc jedynie od odległości źródła i płaszczyzny  $E$  od przesłony oraz od długości fali użytego światła, wzrastając proporcjonalnie do  $\sqrt{\lambda}$  (nie do  $\lambda$ , jak w przypadku zwykłych prążków interferencyjnych).

W punkcie  $A_0$  granicami całek Fresnela są

$$v_1 = 0 \quad \text{i} \quad v_2 = +\infty$$



wobec czego oświetlenie w tym punkcie wynosi

$$I_{A_0} = \frac{I_0}{2} [P_\infty^2 + Q_\infty^2] = \frac{I_0}{2} \left[ \left( \frac{1}{2} \right)^2 + \left( \frac{1}{2} \right)^2 \right] = \frac{I_0}{4},$$

tak, jak to podaliśmy wyżej.

W punkcie  $A_1$  amplitudę wypadkową otrzymamy, przenosząc początek współrzędnych do punktu  $B_1$  i odejmując od amplitudy działań połowy fali amplitudę działań tej jej części, która jest zakryta przez przesłonę, a której odpowiada pas równikowy

$$B_1 B_0 = \xi_1 = \frac{d}{d + d_0} \varepsilon$$

(p. wzór  $k$ , w którym kładziemy  $A_0 A_1 = \varepsilon$ ). Granicami zatem całek Fresnela są w tym punkcie

$$v_1 = \sqrt{\frac{2(d_1 + d_0)}{d \cdot d_0 \cdot \lambda}} \cdot \xi_1 = \sqrt{\frac{2d}{d_0(d + d_0)\lambda}} \cdot \varepsilon \quad \text{i} \quad v_2 = +\infty. \quad (1)$$

Gdy punkt  $A_1$  leży tak głęboko w obszarze cienia geometrycznego, że początek odpowiadającego mu wektora  $CJ$  znajduje się na jednym z wewnętrznych zwojów spirali, które bez wielkiego błędu możemy uważać za koła, długość  $CJ$  jest prawie dokładnie równa promieniowi krzywizny danego zwoju, oświetlenie więc tego punktu jest równe (p. wzór  $e$  oraz  $j$ )

$$I = \frac{I_0}{2} \cdot \varrho^2 = \frac{I_0}{2} \cdot \frac{1}{\pi^2 v^2} = \frac{I_0}{2} \cdot \frac{d(d + d_0)\lambda}{\pi^2 2d \cdot \varepsilon^2}.$$

W jednym z pierwszych doświadczeń Fresnela  $\lambda = 6,38 \cdot 10^{-4}$  mm,  $d = 100$  mm,  $d_0 = 799$  mm, skąd

$$\varepsilon^2 = 0,13 \frac{I_0}{I}.$$

Punkt zatem, w którym oświetlenie było 1000 razy mniejsze od normalnego  $\left( \frac{I_0}{I} = 1000 \right)$ , leżał w tym doświadczeniu w odległości mniej więcej równej 1 cm od granicy geometrycznego cienia.

Dla punktów  $A'$ , leżących poza obszarem cienia geometrycznego

$$B' B_0 = -\xi_1 = -\frac{d}{d + d_0} \varepsilon,$$

granicami więc całek Fresnela są

$$-v_1 = -\sqrt{\frac{2(d + d_0)}{d \cdot d_0 \cdot \lambda}} \cdot \xi_1 = -\sqrt{\frac{2d}{d_0(d + d_0)\lambda}} \cdot \varepsilon \quad \text{i} \quad v_2 = +\infty.$$

Oświetlenie zatem tych punktów wynosi (p. wzór  $h$  ustępu poprzedniego)

$$\begin{aligned} I_{A'} &= \frac{I_0}{2} \left[ \left( \int_{-v_1}^{\infty} \cos \frac{\pi v^2}{2} dv \right)^2 + \left( \int_{-v_1}^{\infty} \sin \frac{\pi v^2}{2} dv \right)^2 \right] dv = \\ &= \frac{I_0}{2} \left[ \left( \int_0^{v_1} \cos \frac{\pi v^2}{2} dv + \int_0^{\infty} \cos \frac{\pi v^2}{2} dv \right)^2 + \left( \int_0^{v_1} \sin \frac{\pi v^2}{2} dv + \int_0^{\infty} \sin \frac{\pi v^2}{2} dv \right)^2 \right] = \\ &= \frac{I_0}{2} \left[ \left( P_{v_1} + \frac{1}{2} \right)^2 + \left( Q_{v_1} + \frac{1}{2} \right)^2 \right] = \frac{I}{2} f(v). \end{aligned} \quad (m)$$



Z pomocą tablic można raz na zawsze wykreślić krzywą  $f(v)$  i wyznaczyć jej maksima i minima. Pierwszym pięciu największym wartościom tej funkcji odpowiadają wartości  $v$  równe

$$1,2172 \quad 2,3445 \quad 3,0820 \quad 3,6741 \quad 4,1832$$

najmniejszym zaś

$$1,8725 \quad 2,7390 \quad 3,3919 \quad 3,9371 \quad 4,4159$$

Różnica oświetleń sąsiednich jasnych i ciemnych prążków

$$1,1945 \frac{I_0}{2}; \quad 0,7121 \frac{I_0}{2}; \quad 0,5476 \frac{I_0}{2}; \quad 0,4741 \frac{I_0}{2}; \quad 0,4195 \frac{I_0}{2}.$$

Położenie prążków można również obliczyć z wystarczającym przybliżeniem ze spirali Cornu, zakładając, że w punktach  $C_1, e_1, C_2, e_2, \dots$  krzywa jest prostopadła do prostej  $JJ'$ , tworzącej kąt  $45^\circ$  z osiami współrzędnych. W punktach tych zatem styczna do krzywej tworzy z osią  $P$  kąt  $\alpha$ , wyznaczony wzorem

$$\operatorname{tg} \alpha = \frac{dQ}{dP} = \operatorname{tg} \frac{\pi v^2}{2} = -1,$$

wobec czego

$$\alpha = \frac{\pi v^2}{2} = k\pi - \frac{\pi}{4}$$

lub

$$v = \sqrt{2k - 0,5}. \quad (n)$$

Punktom  $C_1, C_2, \dots$  odpowiadają, jak to bezpośrednio wynika z rysunku 225, wartości  $k$  równe  $1, 3, 5, \dots$ , kładąc więc we wzorze (n)

$$k = 2m - 1,$$

gdzie  $m$  oznacza dowolną liczbę całkowitą, większą od zera, otrzymujemy

$$v_{\max} = \sqrt{4m - 2,5}. \quad (o)$$

Dla punktów  $e_1, e_2, \dots$ , którym odpowiadają liczby parzyste

$$k = 2m,$$

będziemy mieli

$$v_{\min} = \sqrt{4m - 0,5}. \quad (p)$$

Ze wzorów tych otrzymujemy

$$v'_{\max} = \sqrt{1,5} = 1,224; \quad v''_{\max} = 2,345; \quad v'''_{\max} = 3,082 \text{ itd.},$$

a więc, jak to można było z góry przewidzieć, wartości, tym mniej odbiegające od obliczonych z tablic, im dalej jest położone dane maksimum.

Odległości prążków jasnych od granicy cienia geometrycznego

$$\varepsilon'_{\max} = \sqrt{\frac{d_0(d+d_0) \cdot \lambda}{2d}} \cdot 1,22; \quad \varepsilon''_{\max} = \sqrt{\frac{d_0(d+d_0) \cdot \lambda}{2d}} \cdot 2,345 \dots$$



zmieniają się, jak wyżej zaznaczyliśmy, proporcjonalnie do  $\sqrt{\lambda}$ . W przytoczonym wyżej doświadczeniu Fresnela odległości te powinny być równe

$$\varepsilon' = \sqrt{\frac{799.899 \cdot 6,38 \cdot 10^{-4}}{200}} \cdot 1,22 \approx 1,5 \cdot 1,22 = 1,83 \text{ mm,}$$

$$\varepsilon'' \approx 1,5 \cdot 2,345 = 3,52 \text{ mm itd.}$$

Takie też istotnie odległości otrzymano z pomiaru.

Prążki te w niewielkiej już stosunkowo odległości od granicy cienia przestają być widzialne. W miarę, bowiem, jak początek wektora amplitudy ( $C$  lub  $c$ ) przesuwają się wzdłuż krzywej, zwoje spirali coraz mniej różnią się od kół współśrodkowych o promieniach  $\rho = \frac{1}{\pi v}$  wobec czego amplitudy sąsiednich maksimów i minimum stają się równe

$$JC_k = JJ' + J'C_k = \sqrt{2} + \frac{1}{\pi v} \quad (r)$$

i

$$Jc_k = JJ' - J'c_k = \sqrt{2} - \frac{1}{\pi v}.$$

Wyznamy odległość prążka jasnego, w którym amplituda zaburzeń przewyższa amplitudę  $JJ'$  nie więcej, niż o  $\frac{1}{50}$  jej wartości,

$$JC_k = \sqrt{2} + \frac{1}{\pi v} = \sqrt{2} + \frac{1}{50} \sqrt{2} = \sqrt{2} \cdot \frac{51}{50}.$$

Natężenie więc światła w tym prążku wynosi

$$I = \frac{I_0}{2} (JC_k)^2 = \frac{J_0}{2} \cdot 2 \left(\frac{51}{50}\right)^2 \approx J_0 \cdot 1,04,$$

przewyższa zatem o 4% natężenie, otrzymane po usunięciu przesłony.

Natężenie w sąsiednim prążku ciemnym jest o taki sam procent mniejsze. Kontrast zatem oświetleń wynosi mniej więcej 8% oświetlenia po usunięciu przesłony.

Prążkom tym o tak niewielkim kontraście odpowiada

$$v = \frac{50}{3,14 \cdot \sqrt{2}} = 11,2,$$

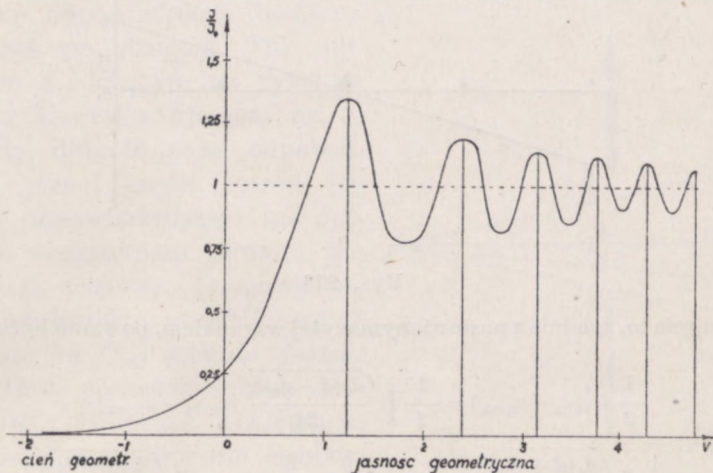
skąd, w warunkach doświadczenia Fresnela,

$$\varepsilon = \sqrt{\frac{d_0(d+d_0)\lambda}{2d}} v = 1,5 \cdot 11,2 = 16,8 \text{ mm.}$$

Można więc powiedzieć, że cały obraz dyfrakcyjny (uwzględniając już zjawiska, zachodzące w obszarze cienia geometrycznego) zajmował w płaszczyźnie obserwacji długość co najwyżej dwudziestu paru milimetrów.



Zmieniając odległość płaszczyzny  $E$  od przesłony, otrzymujemy zawsze podobne obrazy dyfrakcyjne; rozkład oświetlenia jest zawsze wyrażany krzywą rys. 227, której odcięte są proporcjonalne do odległości danego punktu płaszczyzny  $E$  od granicy cienia geometrycznego; zmienia się jedynie współczynnik proporcjonalności  $C$  i tym samym odstęp między prążkami, wzrastający przy odsuwaniu płaszczyzny.



Rys. 227

Odciętymi krzywej rys. 227 są wartości  $v = \sqrt{\frac{2d}{d_0(d+d_0)\lambda}} \varepsilon$ ; ze zmianą zatem odległości  $d_0$ , wszystkie wartości  $\varepsilon$  odpowiadające  $v_{\max}$  lub  $v_{\min}$  odpowiednio się zmieniają. Podobnie jest przy zmianie  $d$  lub  $\lambda$ . Odstęp między prążkami, równy

$$\varepsilon_2 - \varepsilon_1 = \sqrt{\frac{d_0(d+d_0)\lambda}{2d}} (v''_{\max} - v'_{\max}),$$

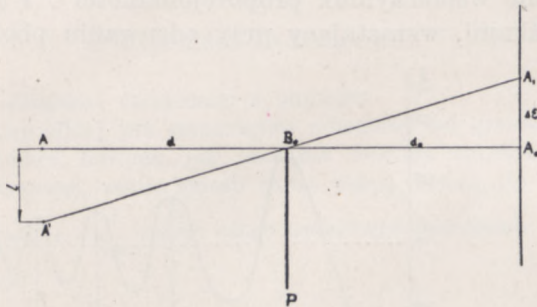
ze wzrostem  $d_0$ , wzrasta.

Umieszczając na prostej, równoległej do krawędzi i przechodzącej przez punkt  $A$ , szereg punktów świecących, otrzymamy szereg wzajemnie się pokrywających obrazów dyfrakcyjnych, których maksima i minima przypadają będą w tych samych miejscach płaszczyzny  $E$ . Zastępując zatem punkt świecący  $A$  bardzo wąską szczeliną świecącą, równoległą do krawędzi przesłony, otrzymamy obraz dyfrakcyjny, równie wyraźny, jak w przypadku poprzednim. Ściśle biorąc, szczelina ta powinna być nieskończenie wąska, dopóki jednak odległość prążków, wytwarzanych przez jej skrajne punkty (leżące na prostej, prostopadłej do krawędzi) jest mniejsza od połowy odstepu między prążkiem jasnym i ciemnym każdego z poszczególnych układów, obraz pozostaje dostatecznie wyraźny. Na ogół przy mniejszych odległościach  $d_0$  płaszczyzny  $E$  szerokość szczeliny może być bez uszczerbku widzialności obrazu większa.



Oznaczmy szerokość szczeliny i tym samym odległość skrajnych punktów świecących przez  $l$  (rys. 228), przesunięcie wzajemne układów, wytwarzanych przez te punkty, wyniesie

$$\Delta \varepsilon = \frac{d_0}{d} l.$$



Rys. 228

Przesunięcie to, zgodnie z postawionym wyżej warunkiem, powinno być mniejsze od

$$\begin{aligned} \frac{1}{2} (\varepsilon'_{\min} - \varepsilon'_{\max}) &= \frac{1}{2} \sqrt{\frac{d_0(d+d_0)\lambda}{2d}} (v'_{\min} - v'_{\max}) = \\ &= \frac{1}{2} \sqrt{\frac{d_0(d+d_0)\lambda}{2d}} (1,8725 - 1,2172) \approx 0,33 \cdot \sqrt{\frac{d_0(d+d_0)\lambda}{2d}}, \end{aligned}$$

a więc

$$l < 0,33 \sqrt{\frac{d_0(d+d_0)\lambda}{2d}} \cdot \frac{d}{d_0} = 0,33 \sqrt{\frac{d(d+d_0)\lambda}{2d_0}} = 0,33 \sqrt{\lambda \left( \frac{d^2}{2d_0} + \frac{d}{2} \right)}.$$

W warunkach zatem rozpatrywanego wyżej doświadczenia Fresnela

$$l < 0,06 \text{ mm.}$$

#### 4. UGINANIE W WĄSKIEJ SZCZELINIE

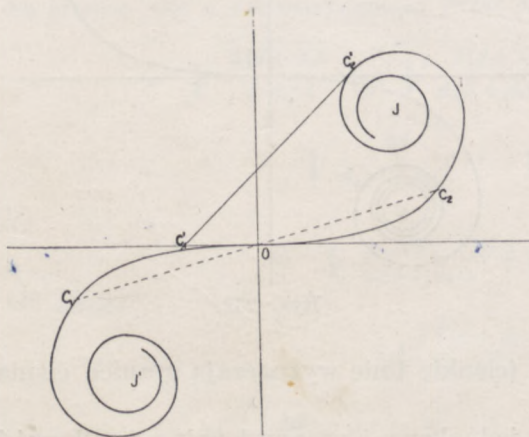
Gdy otworem uginającym jest podłużna szczelina prostokątna (wydłużona w kierunku osi  $\eta$  prostopadłej do płaszczyzny rysunku, oś  $\xi$  leży w płaszczyźnie rysunku 229) długość czynnej części pasa równikowego jest, w przeciwieństwie do poprzednio rozpatrywanego przypadku, dla wszystkich punktów ekranu jednakowa, zmienia się jedynie położenie bieguna, odpowiadającego danemu punktowi płaszczyzny obserwacji  $E$ . Jakikolwiek byśmy więc rozpatrywali punkt tej płaszczyzny, wypadkowa amplituda, dochodzących do niego zaburzeń, będzie zawsze proporcjonalna do długości cięciwy spirali Cornu, łączącej końce łuku o stałej długości  $w$ , zależnej, oczywiście, od szerokości szczeliny, odległości źródła światła i płaszczyzny  $E$  od szczeliny oraz od długości fali. W punkcie  $A_0$ , leżącym na osi symetrii obrazu, czynne części pasa równikowego będą miały po obu stronach bieguna  $B_0$  długości jednakowe,



dla otrzymania zatem amplitudy wypadkowej musimy połączyć punkty  $C_1$  i  $C_2$  spirali, leżące w równych odległościach (mierzonych wzdłuż krzywej) na górnej i dolnej jej gałęzi (rys. 230).

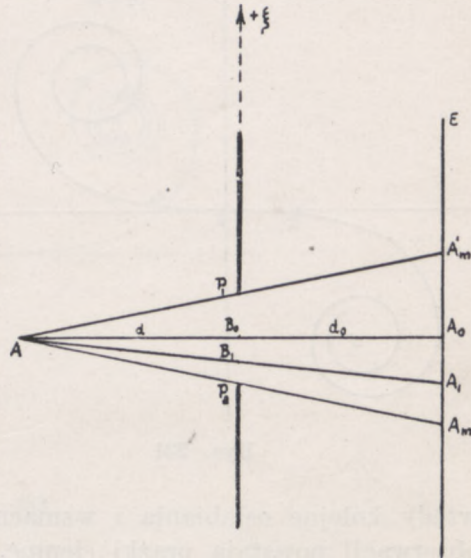
W miarę odsuwania punktu obserwacji od punktu  $A_0$  zmniejsza się długość czynnej części fali po jednej stronie odpowiedniego bieguna, wzrasta zaś po drugiej. Tak np. w punkcie  $A_1$ , leżącym na rysunku poniżej (w kierunku ujemnej osi  $\xi$ ) punktu  $A_0$ , długość pasa, odpowiadającego górnej części spirali, się zwiększa, odpowiadającego zaś dolnej części — zmniejsza. Punkt początkowy  $C_1$  cięciwy przesunąć się ku  $O$  do punktu  $C'_1$ , punkt końcowy odsuwać się ku  $C'_2$ , długość jednak łuku  $C'_1ORC'_2$  pozostaje równa długości  $C_1OC_2$ . Rozkład oświetlenia, zależny od zmian długości cięciwy, tym samym jest zależny od położenia końcowych punktów łuku, a więc, przy niezmiennych pozostałych warunkach, od szerokości szczeliny.

Gdy  $w$  jest niewielkie w porównaniu z długością



Rys. 230

są prawie tak samo oświetlone, jak części, bezpośrednio oświetlane przez promienie, wychodzące ze źródła światła.

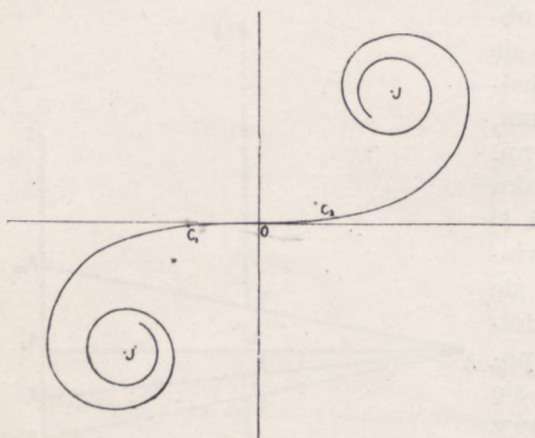


Rys. 229

nieznacznie zakrzywionej części spirali (rys. 231), długość cięciwy  $C_1C_2$  zmienia się stosunkowo mało przy przejściu do niezbyt oddalonych od punktu  $A_0$  punktów  $A_1$ ; oświetlenie więc płaszczyzny  $E$  jest mniej więcej jednostajne. Przy bardzo małej wartości  $w$  może się nawet zdarzyć, że to prawie jednostajne oświetlenie przekracza granice cienia geometrycznego (sięga poza punkty  $A_m$  i  $A'_m$  rys. 229). Wtedy zachodzi paradoksalne na pozór zjawisko, że części płaszczyzny, leżące w cieniu geometrycznym,



Stopniowo jednak, gdy końcowe punkty cięciwy  $C_1C_2$  przesuwa się ku coraz bardziej zakrzywionej części spirali, różnica między długością cięciwy i długością łuku  $w$  stopniowo wzrasta, oświetlenie stopniowo maleje. To zmniejszenie amplitudy osiąga swe minimum, gdy punkty  $C_1, C_2$  znajdują się na zwoju o długości równej  $w$ , wtedy odległość między nimi jest tak mała, że długość prostej  $C_1C_2$  spada prawie do zera (rys. 232); następnie jednak, wobec zmniejszania się długości zwojów, punkty  $C_1$  i  $C_2$  zaczynają się od siebie oddalać i dochodzą do największej odległości, znajdując się na przeciwległych krańcach tej samej średnicy (rys. 233); zachodzą



Rys. 231

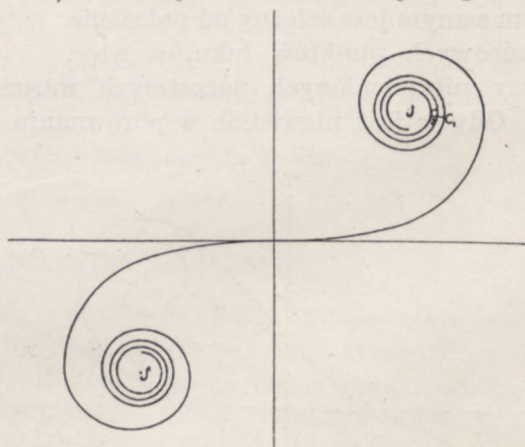
wtedy kolejne osłabiania i wzmacniania oświetlenia — w płaszczyźnie obserwacji powstają prążki ciemne, w których oświetlenie jest prawie równe zeru, i prążki jasne, których oświetlenie staje się w miarę oddalania się od  $A_0$  coraz to mniejsze, długości bowiem średnie zwojów spirali stopniowo, jak wiemy, się zmniejszają.

W środku więc obrazu nie otrzymujemy tym razem żadnych prążków, zjawiają się one dopiero w granicach cienia geometrycznego. Obraz dyfrakcyjny wygląda przeto mniej więcej tak, jak na rys. 234, wziętym z cytowanej już przez nas książki Bouasse'a i Carrière'a (cienkie linie wyznaczają granice cienia geometrycznego).

Odstępy między prążkami są jednakowe i proporcjonalne do długości fali  $\lambda$ ; wynoszą one

$$p = \frac{d_0}{2l} \cdot \lambda. \quad (a)$$

gdzie  $2l$  oznacza szerokość szczeliny.

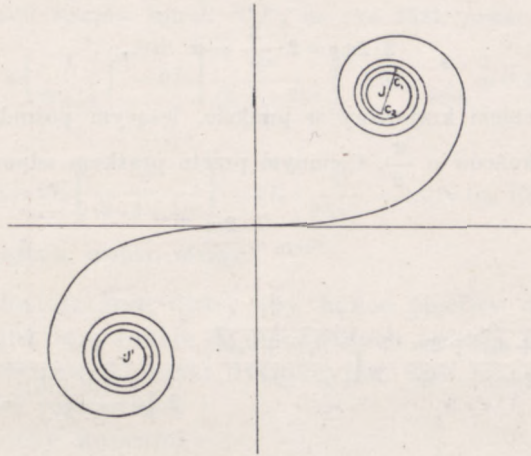


Rys. 232



W punkcie  $A_1$  granicznymi wartościami zmiennej  $\xi$  są (początkiem współrzędnych jest zawsze odpowiedni biegun)

$$\xi_2 = B_1 P_1 = B_1 B_0 + B_0 P_1 = \frac{d}{d+d_0} \varepsilon + l$$



Rys. 233

i

$$-\xi_1 = B_1 P_2 = B_0 P_2 - B_0 B_1 = l - \frac{d}{d+d_0} \varepsilon$$

lub

$$\xi_1 = \frac{d}{d+d_0} \varepsilon - l.$$

Na granicę więc  $v_1$  i  $v_2$  otrzymujemy (wzór d, ust. 2)

$$\begin{aligned} v_2 &= \sqrt{\frac{2(d+d_0)}{d \cdot d_0 \cdot \lambda}} \cdot \xi_2 = \sqrt{\frac{2(d+d_0)d^2}{d(d+d_0)^2 \lambda \cdot d_0}} \cdot \varepsilon + \sqrt{\frac{2(d+d_0)}{d \cdot d_0 \cdot \lambda}} l = \\ &= \sqrt{\frac{2d}{d_0(d+d_0)\lambda}} \cdot \varepsilon + \sqrt{\frac{2(d_0+d)}{d \cdot d_0 \cdot \lambda}} \cdot l, \end{aligned}$$

i

$$v_1 = \sqrt{\frac{2d}{d_0(d+d_0)\lambda}} \varepsilon - \sqrt{\frac{2(d+d_0)}{d \cdot d_0 \cdot \lambda}} \cdot l$$

lub kładąc

$$2 \sqrt{\frac{2(d+d_0)}{d \cdot d_0 \cdot \lambda}} \cdot l = w \quad (b)$$

$$v_2 = \sqrt{\frac{2d}{d_0(d+d_0)\lambda}} \cdot \varepsilon + \frac{w}{2} \quad \text{i} \quad v_1 = \sqrt{\frac{2d}{d_0(d+d_0)\lambda}} \cdot \varepsilon - \frac{w}{2}$$

Długość zatem łuku spirali między tymi granicznymi wartościami

$$v_2 - v_1 = w$$

ma wartość stałą.



Pierwszy prążek ciemny otrzymujemy, gdy długość łuku zwoju spirali równa jest

$$2\pi \varrho = \frac{2}{v} = w$$

(p. wzór (g) ust. 2), drugi, gdy długość łuku dwóch kolejnych zwojów równa jest

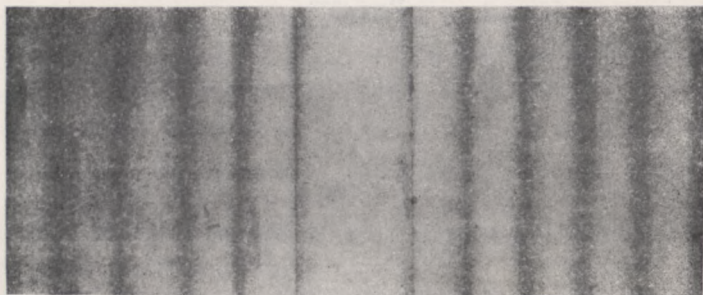
$$2 \cdot 2\pi \varrho = 2 \cdot \frac{2}{v} = w \text{ itd.},$$

gdzie  $\varrho$  jest promieniem krzywizny w punkcie, leżącym pośrodku łuku  $w$ , a więc odległym od jego końców o  $\frac{w}{2}$ . Ciemnym przeto prążkiem odpowiada

$$v_{\min} = \frac{2m}{w} \quad (c)$$

i

$$\varepsilon_{\min} = \sqrt{\frac{d_0(d+d_0)\lambda}{2d}} \cdot \frac{2m}{w} = \sqrt{\frac{d_0(d+d_0)\lambda}{2d}} \cdot \frac{2m}{2 \sqrt{\frac{2(d+d_0)}{d \cdot d_0 \cdot \lambda}} \cdot l} = m \cdot \frac{d_0 \cdot \lambda}{2l} \quad (d)$$



Rys. 234

Prążki jasne zjawiają się, gdy  $w$  jest równe  $3/2, 5/2 \dots$  długości łuku zwojów, a więc gdy

$$v_{\max} = \frac{2m+1}{w},$$

skąd

$$\varepsilon_{\max} = \frac{2m+1}{2} \cdot \frac{d_0 \cdot \lambda}{2l} = \left(m + \frac{1}{2}\right) \cdot \frac{d_0 \cdot \lambda}{2l} \quad (e)$$

Wzory (d) i (e) tym lepiej odpowiadają danym doświadczenia, im większy jest rząd obserwowanego prążka. W przypadku, przedstawionym na rys. 234,  $w=2$ . W warunkach omawianego wyżej doświadczenia Fresnela, wartości tej odpowiada szerokość szczeliny  $2l=0,34$  mm. Odstępy prążków są wtedy równe

$$p = \varepsilon^{(m)} - \varepsilon^{(m-1)} = \frac{d \cdot \lambda}{2l} \approx 1,5 \text{ mm.}$$



Natężenie światła w punkcie  $A_0$  wynosi

$$I_{A_0} = \frac{I_0}{2} w^2 = 2I_0. \quad (f)$$

Natężenie w pierwszym prążku jasnym, proporcjonalnym do kwadratu przeciętnej średnicy odpowiednich zwojów spirali ( $C_1C_2$  na rys. 233), równe jest

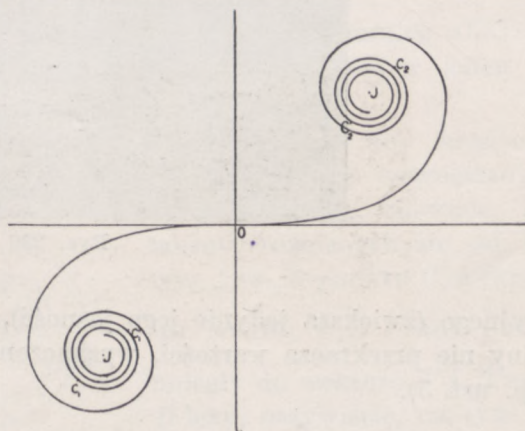
$$I_1 = \frac{I_0}{2} (2\varrho)^2 = \frac{I_0}{2} \cdot 4 \left( \frac{1}{\pi v_{\max}} \right)^2 = 2I_0 \left[ \frac{w}{(2 \cdot 1 + 1)\pi} \right]^2 = 2I_0 \cdot \frac{4}{9\pi^2} \approx 0,45 \cdot 2I_0 = 0,45 \cdot I_{A_0},$$

w drugim

$$I_2 = 2I_0 \left[ \frac{w}{(2 \cdot 2 + 1)\pi} \right]^2 = 2I_0 \cdot \frac{4}{25\pi^2} = 0,016 I_{A_0} \text{ itd.}$$

Oświetlenie więc prążków szybko maleje.

Gdy  $w$  jest dostatecznie duże, aby końce cięciwy odpowiadającego mu łuku leżały już w punkcie  $A_0$  na zwojach spirali, mogą w samym środku obrazu powstawać prążki dyfrakcyjne. Tak np. punkt  $A_0$  będzie słabiej lub silniej oświetlony zależnie od tego, czy końcami łuku  $w$  będą punkty  $e'_1$  i  $e'_2$  czy też  $e_1$  i  $e_2$  (rys. 235). Może się nawet zdarzyć przy znaczniejszej wartości  $w$ , że prążki będą skupione jedynie w oświetlonej bezpośrednio części płaszczyzny  $E$ , w cieniu zaś geometrycznym nie będzie ich wcale. Taki przypadek zajdzie, gdy punkty końcowe amplitudy w  $A_0$  będą leżały na wewnętrznych, bliskich punktom  $J$  i  $J'$  zwojach spirali. Wtedy natężenia prążków jasnych w punktach nieco bardziej odległych od  $A_0$ , równe kwadratam średnic odpowiednich spirali, mogą być tak małe, że prążki przestają być widzialne.



Rys. 235

Na rys. 236 wziętym z książki Bouasse'a i Carrière'a, przedstawiony jest przypadek pośredni: prążki w cieniu geometrycznym są na ogół gęstsze, niż w przypadku  $w$  małego.

Nie wchodząc w szczegóły rachunku, który tym razem jest bardziej złożony, zaznaczmy, że stosowanie do tego przypadku rozumowania, jakim posługiwaliśmy się przy wyznaczaniu oświetlenia punktu, leżącego na osi otworu (ust. 1), dałoby wyniki sprzeczne z doświadczeniem. Wtedy, dzieląc z danego punktu osi przesłone na kolowe strefy Fresnelowskie, otrzymywaliśmy oświetlenie najmniejsze w tych punktach, dla których podział ten dawał w otworze parzystą liczbę stref, naj-



większe w tych, dla których dawał nieparzystą. Wniosek ten był słuszny, gdyż czynne pola stref miały wtedy wartości jednakowe. Tym razem zaś czynne pole strefy jest proporcjonalne do szerokości odpowiedniej części pasa równikowego, a więc do  $\xi_2 - \xi_1$ ; szerokość tę możemy wyznaczyć z warunku, że

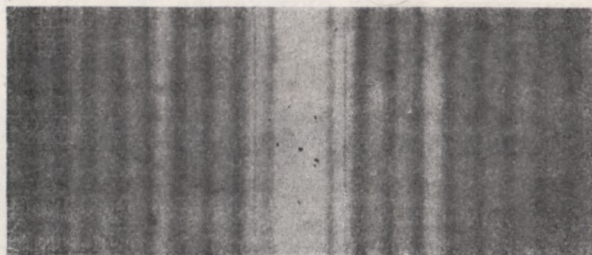
$$\frac{A_2 - A_1}{\lambda} = \frac{d + d_0}{2 \cdot d d_0 \cdot \lambda} (\xi_2^2 - \xi_1^2) = \frac{1}{2}$$

(por. wz. (b) ust. 2), skąd

$$\xi_2 - \xi_1 = \frac{1}{\xi_1 + \xi_1} \cdot \frac{d \cdot d_0 \cdot \lambda}{d + d_0},$$

pole zatem maleje ze wzrostem odległości od  $B_0$ .

Zastąpienie punktu świetlnego szczeliną świecąca, równoległą do krawędzi uginających, w niczym, rzecz prosta, nie zmienia obrazu dyfrak-



Rys. 236

cyjnego (zwiększa jedynie jego jasność), o ile tylko szerokość tej szczeliny nie przekracza wartości, wyznaczonej przez warunki doświadczenia (p. ust. 3).

##### 5. UGIĘCIE NA KRAWĘDZIACH BARDZO WĄSKIEJ PRZESŁONY (PRĘT-DRUT)

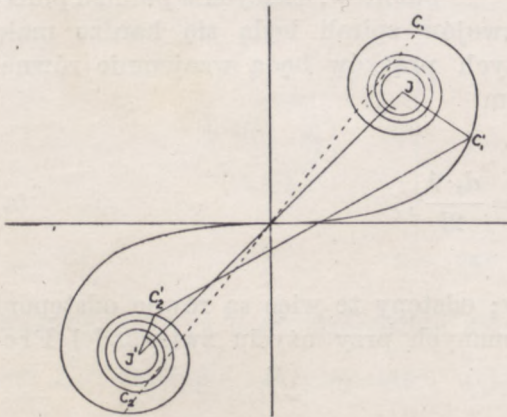
Niech teraz krawędziami uginającymi będą krawędzie wąskiej wydłużonej przesłony  $P_1P_2$ , np. pręta lub drutu (rys. 237). Zaburzenia w punktach  $A_0, A_1 \dots$  płaszczyzny obserwacji  $E$  będą wzbudzone przez całą powierzchnię fali z wyjątkiem tej jej części, która jest zakryta przez przesłonę  $P_1P_2$ . Szerokość tej części zakrytej jest dla wszystkich punktów płaszczyzny  $E$  jednakowa, wobec czego na spirali Cornu długość łuku, odpowiadająca nieczynnym elementom powierzchni falowej, będzie miała wartość stałą  $w$ ; ze zmianą odległości punktu obserwowanego od punktu osi  $A_0$  zmieniać się będzie jedynie położenie krańcowych punktów tego łuku na spirali.



W osiowym punkcie  $A_0$  nieczynne części pasa równikowego dodatnie i ujemne (względem osi  $B_0\xi$ ) części powierzchni falowej mają długości jednakowe; amplitudę zaburzeń odtwarza wtedy wektor, (rys. 238)

równy różnicy geometrycznej wektora  $\vec{JJ'}$  wyrażającego amplitudę zaburzeń, wzbudzonych przez całą falę, i wektora  $C_1C_2$ , wyrażającego amplitudę zaburzeń, nie dochodzących do punktu  $A_0$  na skutek umieszczenia przesłony. W punkcie  $A_1$ , leżącym na rysunku poniżej punktu  $A_0$  (w kierunku ujemnej osi  $B_0\xi$ ), nieczynna część dodatnia pasa równikowego ma długość większą od ujemnej części nieczynnej; amplitudę zaburzeń w tym punkcie otrzymamy, odejmując geometrycznie od  $\vec{JJ'}$  wektor  $\vec{C'_1C'_2}$ , łączący punkty  $C'_1$  i  $C'_2$  krzywej, leżące w odległości (mierzonej wzdłuż krzywej)  $w$  jeden od drugiego.

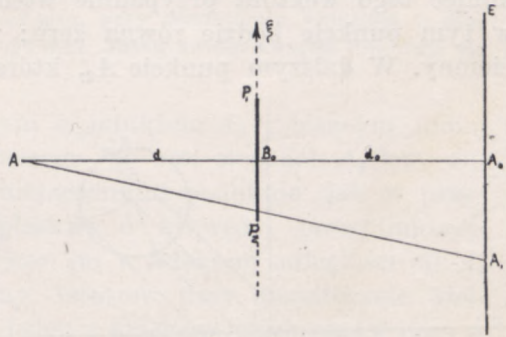
Założmy, że łuk  $w$  ma wartość dostatecznie wielką, aby krańcowe punkty odcinka prostej  $C_1OC_2$  leżały w punkcie  $A_0$  na wewnętrznych zwojach spirali, niewiele, jak wiemy, różniących się od kół (rys. 239). Z punktu  $C_1$  wykreślmy wektor  $\vec{C_1D}$  równy i równoległy do wektora  $\vec{JJ'}$ . Punkt  $D$  leży, oczywiście, na tym samym kole, co punkt  $C_2$ , symetryczny do  $C_1$  względem  $O$ . Wektor  $\vec{C_2D}$  jest wtedy szukaną



Rys. 238

amplitudą w punkcie  $A_0$ . Amplituda ta, ze względu na symetryczne położenie punktów  $C_1$  i  $C_2$  względem  $O$  jest zawsze równa  $2\rho$ , gdzie  $\rho$  — promień danego zwoju. W punkcie  $A_0$  oświetlenie jest zawsze możliwie w danych warunkach największe.

Wyberzmy teraz taki punkt  $A_1$  płaszczyzny  $E$ , aby odpowiadające mu końce łuku  $w$  przesunęły się do punktów  $C_3$  i  $C_4$ , odległych o ćwierć



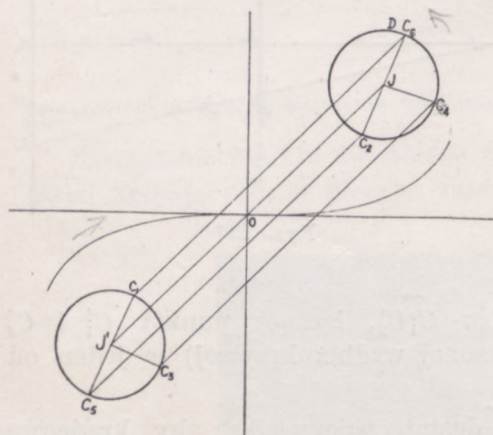
Rys. 237

amplitudą w punkcie  $A_0$ . Amplituda ta, ze względu na symetryczne położenie punktów  $C_1$  i  $C_2$  względem  $O$  jest zawsze równa  $2\rho$ , gdzie  $\rho$  — promień



obwodu koła od punktów  $C_1$  i  $C_2$  (przesunięcia zachodzą, rzecz prosta, w kierunkach przeciwnych: długość łuku dodatniego wzrasta, długość łuku ujemnego o tyleż maleje).

Wykreślmy, jak poprzednio, z punktu  $C_3$  wektor równy wektorowi  $\vec{J'J}$ ; koniec tego wektora przypadnie wtedy w punkcie  $C_4$ , amplituda więc w tym punkcie będzie równa zero: w punkcie  $A_1$  otrzymamy prążek ciemny. W dalszym punkcie  $A_2$ , któremu odpowiadają punkty  $C_5$  i  $C_6$ ,



Rys. 239

oddalone od  $C_1$  i  $C_2$  o połowę obwodu koła, analogiczna konstrukcja da nam na wartości amplitudy średnicę zwoju  $2\rho$ ; w punkcie tym będzie się przeto znajdował prążek jasny. Tym sposobem po obu stronach jasnego prążka środkowego, leżącego w cieniu geometrycznym, będą leżały prążki ciemne i jasne; odstępom tych prążków w płaszczyźnie obserwacji będą odpowiadały przesunięcia końcowych punktów łuku o ćwierć, połowę itd. obwodu danego koła. Dla

punktów, leżących w pobliżu punktu  $A_0$ , promienie odpowiednich zwojów spirali będą się bardzo mało różniły, wobec czego i odstępów tych prążków będą wzajemnie równe. Odstępy te będą wyrażone wzorem

$$p = \frac{d_0 \cdot \lambda}{2l}, \quad (a)$$

gdzie  $2l$  jest szerokością przesłony; odstępów te więc są równe odstępom prążków interferencyjnych otrzymanych przy użyciu zwierciadeł Fresnela (p. rozdz. VII wz. 8a).

Odstępowi między dwoma kolejnymi prążkami jasnymi (lub ciemnymi) odpowiada przesunięcie się każdego z punktów krańcowych łuku  $w$  o połowę długości obwodu zwoju, gdy więc  $v$  zmienia się o  $\pi\rho$ . Mamy zatem

$$\Delta v = \pi\rho = \pi \cdot \frac{1}{\frac{w}{\pi \frac{2}{w}}} = \frac{2}{w};$$

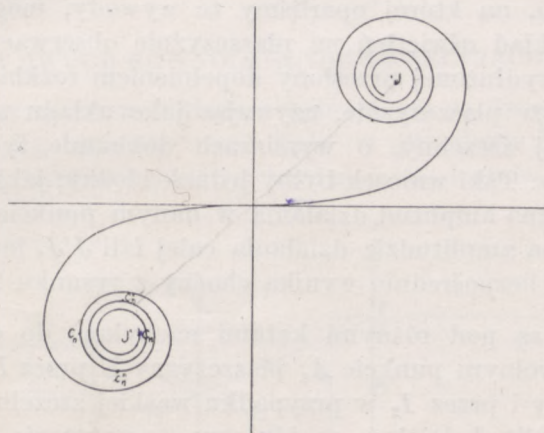


tej zmianie  $v$  odpowiada zmiana odległości od  $A_0$  równa (p. wzór d, ust. 4)

$$p = \sqrt{\frac{d_0(d+d_0)\lambda}{2d}} \cdot \frac{2}{w} = \sqrt{\frac{d_0(d+d_0)\lambda}{2d}} \cdot \frac{2}{2l \sqrt{\frac{2(d+d_0)}{d \cdot d_0 \cdot \lambda}}} = \frac{d_0 \cdot \lambda}{2l}$$

Niech  $d_0$  będzie równe 1000 mm,  $2l=2$  mm, przy oświetleniu światłem o długości fali  $0,5 \mu$ , odstęp prążków wynosi 0,25 mm. Jeżeli źródło światła znajduje się w odległości 1 m od przesłony,  $w \approx 5,6$ .

Poza tym obszarem sąsiadującym z punktem  $A_0$  i leżącym mniej więcej w granicach cienia geometrycznego po obu stronach  $A_0$  leży obszar poprzerynany prążkami rozmieszczonymi podobnie jak w przypadku nieograniczonej przesłony płaskiej o krawędzi prostoliniowej. Podobieństwo to jest tym wyraźniejsze, im w większej odległości od  $A_0$  leży obserwowany obszar płaszczyzny. Istotnie przy dostatecznie wielkiej odległości danego punktu od  $A_0$  jeden z krańcowych punktów łuku  $w$  (w myśl założenia dość długiego) będzie bardzo bliski punktu asymptotycznego  $J'$ , drugi zaś będzie leżał w punkcie  $C'_n$  jednego ze zwojów



Rys. 240

wewnętrznych (rys. 240). Amplituda działań całej fali wyraża się wektorem  $\vec{J'J}$ , działanie zakrytej części wektorem  $\vec{C'_nJ}$ , wobec czego amplituda czynnej powierzchni — wektorem  $\vec{J'C'_n}$ . Gdy  $C'_n$  przejdzie do położenia  $C''_n$ , w punkcie badanym oświetlenie będzie miało wartość możliwie najmniejszą, gdy przejdzie do  $C''_n$  — możliwie największą. Odstępy zatem między prążkami będą takie, jak w przypadku przesłony nieograniczonej; podobnie też, jak w tamtym przypadku, różnice oświetleń prążków jaśniejszych i ciemniejszych będą stopniowo malały. Ostatecznie zatem otrzymamy obraz, odtworzony na rys. 155 (str. 195).



W środkowej części ekranu (mniej więcej w granicach cienia geometrycznego) prążki są rozmieszczone tak, jak przy interferencji promieni, wychodzących z dwóch wzajemnie związanych źródeł, umieszczonych w odległości  $2l$  jedno od drugiego. Jeżeli jedno z tych źródeł usuniemy przystawiając np. do jednego z boków pręta długą i szeroką nieprzezroczystą przesłonę, prążki w obrębie cienia geometrycznego znikają, pozostają jedynie o wiele mniej wyraźne i nierównomiernie rozłożone prążki w obszarze, leżącym poza cieniem, mamy wtedy bowiem do czynienia z uginaniem na krawędzi nieograniczonej płaskiej przesłony. Dlatego też często nazywa się prążki obszaru środkowego prążkami interferencyjnymi w odróżnieniu od prążków dyfrakcyjnych, leżących poza tym obszarem.

Ze zmniejszaniem się  $w$  odstęp między prążkami interferencyjnymi wzrasta; przy  $w$  bardzo małym płaszczyzna obserwacji staje się mniej więcej równomiernie oświetlona. Ze wzrostem  $w$  odstęp między prążkami maleje; prążki stają się coraz bardziej zagęszczone i wreszcie środkowa część ekranu staje się całkowicie ciemna.

Z konstrukcji, na której oparliśmy te wywody, mogłoby na pozór wynikać, że rozkład oświetleń na płaszczyźnie obserwacji jest w przypadku wąskiej wydłużonej przesłony dopełnieniem rozkładu, jaki byśmy otrzymali na tejże płaszczyźnie, używając jako układu uginającego wąskiej wydłużonej szczeliny, o wymiarach dokładnie tych samych, co badana przesłona. Taki wniosek byłby jednak błędny, jakkolwiek bowiem suma geometryczna amplitud działania w danym punkcie płaszczyzny  $E$  jest zawsze równa amplitudzie działania całej fali  $J'J$ , fazy tych działań są różne, jak to bezpośrednio wynika choćby z rysunku 239, gdzie wektory  $J'J$  i  $C_1C_2$  są pod różnymi kątami nachylone do osi. Oznaczając natężenie w dowolnym punkcie  $A_1$  płaszczyzny  $E$  przez  $I_1$  w przypadku wąskiej przesłony i przez  $I_2$  w przypadku wąskiej szczeliny oraz przez  $\varphi$  różnicę fazy amplitud działań, znajdujemy, że natężenie w tym punkcie po usunięciu wszelkich przesłon wynosi

$$I_0 = I_1 + I_2 + 2 \cos \varphi \sqrt{I_1 \cdot I_2},$$

skąd wynika, że  $I_1$  nie jest równe  $I_0 - I_2$ .

Podobnie rzecz się ma w przypadku otworu kołowego i kołowej przesłony, dopełniających się geometrycznie.

Jeżeli jednak tak zmienimy warunki doświadczenia, aby dany punkt płaszczyzny obserwacji był oświetlony jedynie wtedy, gdy powierzchnię falową ograniczamy badanymi przesłonami, a więc innymi słowy, jeżeli po usunięciu przesłon dany punkt jest zupełnie nieoświetlony, powyższe twierdzenie przestaje obowiązywać, taki bowiem przypadek za-



chodzić może jedynie wtedy, gdy wypadkowe zaburzenia w obserwowanym punkcie płaszczyzny  $E$  mają, przy kolejnym użyciu dwóch wzajemnie dopełniających się geometrycznie przesłon, amplitudy jednakowe i fazy przeciwne, gdyż tylko przy dopełnieniu tego warunku amplituda zaburzenia, dochodzącego po usunięciu obu przesłon

$$a_0^2 = 2a^2 + 2a^2 \cos \varphi = 2a^2(1 + \cos \varphi)$$

może być dla  $\varphi = \pi$  równa zero. Wtedy jednak

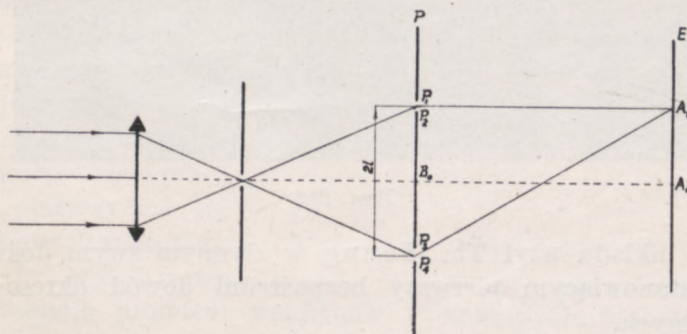
$$I_1 = a^2 = I_2 = (-a)^2$$

(twierdzenie Babinet'a). (P. niżej, str. 327).

W rozpatrywanych przez nas dotychczas przypadkach uginania się światła, stanowiących grupę tzw. zjawisk Fresnela, ten warunek nigdy, jak wiemy, nie jest spełniony. Po usunięciu przesłon wszystkie punkty płaszczyzny  $E$ , w których obserwujemy zjawiska dyfrakcyjne, są oświetlone. W zjawiskach więc Fresnela układy dopełniające się geometrycznie, ani nie dają dopełniających się oświeleń, ani też jednako-  
wego ich rozkładu.

#### 6. UGINANIE W DWÓCH RÓWNOLEGLYCH SZCZELINACH. PRAŻKI YOUNGA

Przypuśćmy teraz, że układem uginającym są dwie wydłużone szczeliny  $P_1P_2$  i  $P_3P_4$ , wycięte równoległe w przesłonie  $P$  (rys. 241). Gdy szczeliny te są bardzo wąskie ( $w$  bardzo małe) i umieszczone bardzo bli-



Rys. 241

sko ( $P_2P_3$  bardzo małe), środkowe części ich obszarów dyfrakcyjnych, oświetlone, jak wiemy, prawie jednostajnie, mogą częściowo wzajemnie na siebie zachodzić.

W punkcie  $A_1$ , leżącym w tym wspólnym obszarze blisko punktu  $A_0$ , amplituda wypadkowa jest odcinkiem linii prostej o długości  $w$ , leżącym na osi  $OX$ , a więc otrzymanym przez sumowanie arytmetyczne amplitud zaburzeń, wysyłanych przez poszczególne elementy szczeliny. Faza

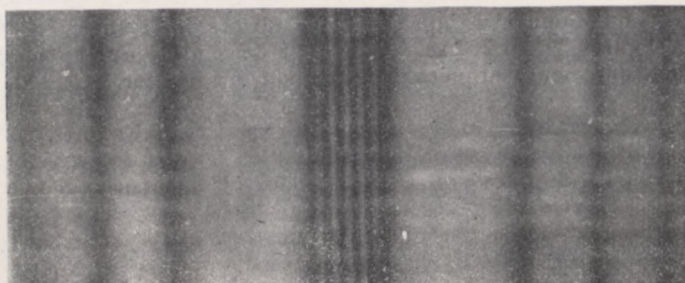


zatem zaburzenia wypadkowego w punkcie  $A_1$  jest równa fazie zaburzenia, wysyłanego przez którykolwiek element szczeliny. Różnica przeto między fazą zaburzenia, wysyłanego przez szczelinę  $P_1P_2$  i fazą zaburzenia, wysyłanego przez  $P_3P_4$ , jest w punkcie  $A_1$  wyznaczona przez różnicę dróg optycznych promieni  $P_2A_1$  i  $P_3A_1$  (odległości szczelin od źródła światła są jednakowe). Mamy przeto do czynienia z tym samym przypadkiem, co w zwierciadłach Fresnela. W obszarze wspólnym powstają prążki ciemne i jasne; rozmieszczone w jednakowych odstępach wzajemnych, równych (p. wzór 8a, rozdz. VII)

$$p = \frac{d_0 \cdot \lambda}{2l},$$

gdzie  $2l$  oznacza odstęp szczelin.

Poza tymi prążkami, powstającymi na skutek interferencji promieni, wychodzących ze szczeliny  $P_1P_2$ , z promieniami, wychodzącymi ze szczeliny  $P_3P_4$ , tworzy się w znaczniejszej odległości od  $A_0$ , w głębi cienia geometrycznego każdej ze szczelin układ prążków dyfrakcyjnych, mniej wyraźny od prążków interferencyjnych takich, o jakich była mowa w ust. 4. Otrzymujemy przeto obszar, odtworzony na rys. 242.



Rys. 242

Takiego układu użył Th. Young w słynnym swym doświadczeniu z 1802 r., stanowiącym pierwszy bezpośredni dowód okresowości zjawisk świetlnych.

Gdy szczeliny są bardzo szerokie w porównaniu z ich wzajemną odległością, obraz dyfrakcyjny składa się z trzech części: środkowej, odpowiadającej przypadkowi wąskiej wydłużonej przesłony i z dwóch bocznych, symetrycznie rozmieszczonych względem środka obrazu i odpowiadających przypadkowi nieograniczonej płaskiej przesłony ( $w$  dla każdej szczeliny ma wtedy wartość bardzo wielką).

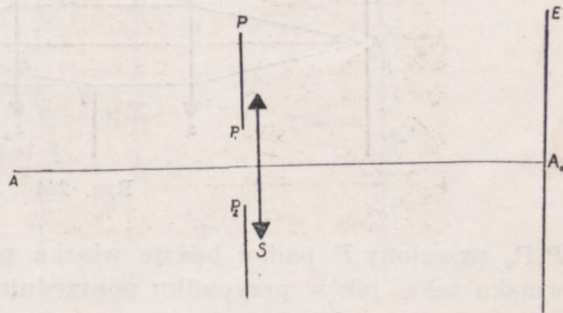
Najbardziej złożony przypadek zachodzi wtedy, gdy szczeliny nie są ani bardzo wąskie, ani bardzo szerokie; tego przypadku rozpatrywać nie będziemy.



## 7. OBRAZ DYFRAKCYJNY W PŁASZCZYŹNIE SPRĘŻONEJ ZE ŹRÓDŁEM ŚWIATŁA. OTWORY LUB PRZESŁONY KOŁOWE

W rozważanych wyżej przypadkach uginania się światła położenie płaszczyzny obserwacji  $E$  nie było poddane żadnym ograniczeniom. Odsuwanie jej lub zbliżanie do układu uginającego wpływa jedynie na zwiększanie lub zmniejszanie odstępów między prążkami. Inaczej jest jednak, gdy promienie, wychodzące z punktu świecącego  $A$ , są przed dojściem do płaszczyzny obserwacji skupione przez soczewkę zbierającą  $S$ . Wtedy po usunięciu przesłon uginających światło nie dochodzi już tak, jak poprzednio, do wszystkich punktów płaszczyzny obserwacji, lecz jest skupione na części jedynie tej płaszczyzny, tym mniejszej, im mniejsza jest jej odległość od płaszczyzny obrazu punktu  $A$ , wytworzonego przez układ zbierający  $S$ . Gdy  $E$  staje się płaszczyzną sprzężoną z płaszczyzną, przechodzącą w przestrzeni przedmiotu soczewki  $S$  przez punkt świecący  $A$ , z całej płaszczyzny  $E$  oświetlony jest (po usunięciu przesłon uginających) jedynie punkt  $A_0$ , obraz geometryczny punktu  $A$  (oczywiście w założeniu, że układ  $S$  jest układem stygmatycznym) (rys. 243).

Jeżeli punkt świecący  $A$  znajduje się w nieskończoności (lub co na jedno wychodzi, w ognisku kolimatora, umieszczonego przed przesłoną), płaszczyzna obserwacji  $E$  jest płaszczyzną ogniskową układu zbierającego (rys. 244). W poszczególnych punktach  $A_1$  tej płaszczyzny interferować mogą jedynie promienie wzajemnie równoległe (np.  $P_1C_1$  i  $P_2C_2$ ), tylko takie bowiem promienie będą przez układ  $S$  w płaszczyźnie tej skupiane. Obraz dyfrakcyjny będzie przeto wyznaczony przez interferencję promieni wzajemnie równoległych, uginanych w otworze przesłony pod różnymi kątami i skupianych przez układ zbierający w odpowiednich punktach płaszczyzny ogniskowej.



Rys. 243

Taki sam obraz dyfrakcyjny otrzymamy i bez soczewki, gdy oko nieuzbrojone nastawimy nie na płaszczyznę  $E$  jak w przypadku zjawisk Fresnela, lecz na punkt świecący, a więc w danym przypadku na nieskończoność. Obraz dyfrakcyjny tworzyć się będzie na siatkówce.

W ten sam zupełnie sposób można rozpatrywać przebieg zjawiska, gdy punkt świecący  $A$  znajduje się w skończonej odległości od soczewki  $S$ , gdy przeto odległość płaszczyzny obserwacji  $E$  od płaszczyzny głównej



przestrzeni obrazu soczewki  $S$ , którą dla uproszczenia przyjmujemy za nieskończenie cienką, związana jest z odległością punktu świecącego  $A$  od płaszczyzny głównej przestrzeni przedmiotu soczewki  $S$  wzorem

$$\frac{1}{s} + \frac{1}{s'} = \frac{1}{F}.$$

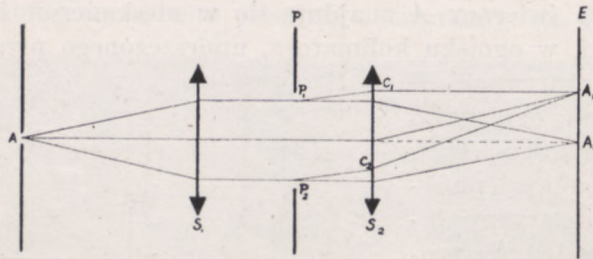
Istotnie, soczewkę  $S$  możemy zawsze zastąpić przez dwie soczewki  $S_1$  i  $S_2$  (rys. 244) tak dobrane, aby odległość

$$AA_0 = s + s'$$

była równa

$$AA_0 = \mathcal{F}_1 + \mathcal{F}_2 - \Delta,$$

gdzie  $\mathcal{F}_1$  i  $\mathcal{F}_2$  są ogniskowymi soczewek  $S_1$  i  $S_2$ ,  $\Delta$  — ich odległością wzajemną. Gdy umieścimy soczewki w ten sposób, że punkt  $A$  znajdzie się w odległości  $\mathcal{F}_1$  od  $S_1$ , punkt  $A_0$  — w odległości  $\mathcal{F}_2$  od  $S_2$ , na otwór



Rys. 244

$P_1P_2$  przesłony  $P$  padać będzie wiązka promieni równoległych, a więc wiązka taka, jak w przypadku poprzednim, gdy punkt  $A$  był odsunięty do nieskończoności. I tym razem przeto w każdym z punktów  $A_1$  płaszczyzny obserwacji  $E$  interferować będą promienie, ugięte w otworze przesłony pod tym samym kątem.

Należy jednak zaznaczyć, że wtedy przez otwór przesłony przechodzi na ogół więcej promieni, niż przy użyciu jednego układu łamiącego  $S$ , umieszczonego między przesłoną i płaszczyzną obserwacji.

Tego rodzaju zjawiska dyfrakcji noszą nazwę zjawisk Fraunhofer'a, Fraunhofer bowiem pierwszy poddał je gruntownemu zbadaniu (1822 r.).

W ważnym dla teorii narzędzi optycznych przypadku otworów kołowych obraz dyfrakcyjny punktu świecącego  $A$  tworzy pierścienie kołowe, na przemian jasne i ciemne, mające swój środek (zawsze jasny)



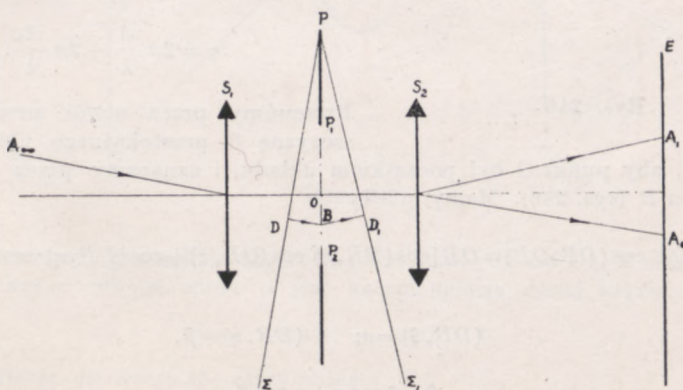
w obrazie geometrycznym  $A_0$  punktu świecącego. Promień pierwszego pierścienia (tym samym promienia środkowej plamy jasnej) wynosi

$$r_1 = 1,22 \cdot \frac{\lambda \mathcal{F}}{D}, \quad (7)$$

gdzie  $\mathcal{F}$  oznacza ogniskową obrazu układu zbierającego,  $D$  — średnicę otworu przesłony. Promienie pierścieni następných można wyznaczyć z przybliżonego wzoru

$$r_m = \frac{4m + 1}{4} \cdot \frac{\lambda \mathcal{F}}{D}. \quad (7a)$$

Oświetlenie kolejnych pierścieni jasnych szybko maleje: oświetlenie pierwszego pierścienia (zawartego między pierwszym i drugim pierścieniem ciemnym) jest mniej więcej 60 razy, oświetlenie drugiego 250 razy słabsze od oświetlenia środkowej plamy białej. Tym samym już w nieco tylko większej odległości od obrazu geometrycznego pierścienie stają



Rys. 245

się niedostrzegalne; kąt zatem ugięcia, jaki wiązka promieni, skupionych przez układ zbierający w danym punkcie obrazu dyfrakcyjnego, tworzy z normalną do płaszczyzny otworu przesłony, równy

$$\mu \approx \frac{r_m}{\mathcal{F}} = \frac{4m + 1}{4} \cdot \frac{\lambda}{D},$$

jest zazwyczaj niewielki.

Niech  $P_1P_2$  będzie otworem przesłony  $P$ ,  $A_0$  — obrazem geometrycznym nieskończenie odległego punktu  $A_\infty$ ,  $A_1$  — punktem jego obrazu dyfrakcyjnego, utworzonym przez jedną z wiązek promieni ugiętych (rys. 245). Drogi optyczne zaburzeń,



interferujących w punkcie  $A_1$  i wysyłanych przez poszczególne punkty otworu  $P_1P_2$ , które, zgodnie z założeniem Huygensa—Fresnela, uważamy za punkty świecące, mają, poczynając od płaszczyzny  $\Sigma_1$ , prostopadłej do kierunku ugięcia, wartości jednakowe (por. ustęp 4, rozdz. VII), wobec tego różnice faz tych zaburzeń w punkcie  $A_1$  są równe różnicom, z jakimi zaburzenia te dochodzą do punktów płaszczyzny  $\Sigma_1$ . Do punktu  $B$  otworu zaburzenia, wysyłane przez punkt świecący  $A$  dochodzą, w porównaniu do środkowego punktu  $O$ , z opóźnieniem fazy równym

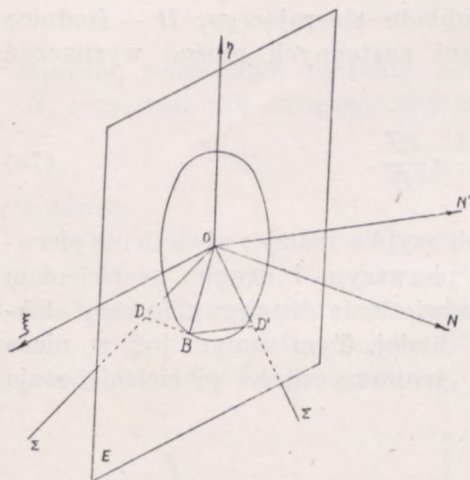
$$2\pi \frac{DB}{\lambda} = 2\pi \frac{\Delta}{\lambda},$$

przechodząc wszakże wzdłuż promienia ugiętego drogę o  $BD_1$  dłuższą, opóźniają fazę zaburzeń, wychodzących z  $O$  o

$$2\pi \frac{D_1B}{\lambda} = 2\pi \frac{\Delta_1}{\lambda}.$$

Całkowita zatem różnica faz zaburzeń, wysyłanych w kierunku punktu  $A_1$  przez punkty  $B$  i  $O$  wynosi

$$\varphi = 2\pi \frac{\Delta}{\lambda} + 2\pi \frac{\Delta_1}{\lambda}.$$



Rys. 246

Przesuńmy przez otwór przesłony płaszczyznę  $O$  prostokątnego układu współrzędnych tak, aby punkt  $O$  był początkiem układu, i oznaczmy przez  $\xi, \eta$  współrzędne punktu  $B$  (rys. 246). Mamy wtedy

$$DB = \Delta = OB \cos(DB, OB) = OB [\cos(DB, \xi) \cos(OB, \xi) + \cos(DB, \eta) \cos(OB, \eta)],$$

skąd kładąc

$$(DB, \xi) = \alpha; \quad (DB, \eta) = \beta,$$

otrzymujemy

$$\Delta = \xi \cos \alpha + \eta \cos \beta,$$

i analogicznie, kładąc

$$(D_1B, \xi) = \alpha',$$

$$(D_1B, \eta) = \beta'$$

$$\Delta' = (\xi \cos \alpha' + \eta \cos \beta').$$

Ostatecznie więc

$$\varphi = \frac{2\pi}{\lambda} [\xi (\cos \alpha - \cos \alpha') + \eta (\cos \beta - \cos \beta')]. \quad (a)$$

Zaburzenie zatem wysyłane przez element  $dS = d\xi d\eta$  otworu jest w punkcie  $A_1$  obrazu dyfrakcyjnego wyznaczone wzorem

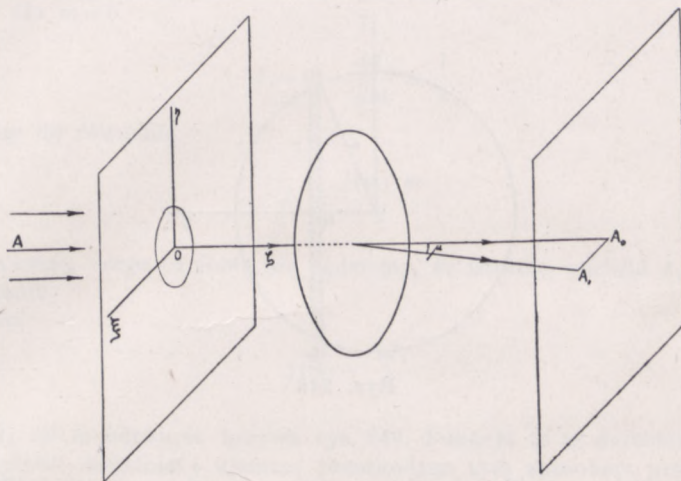
$$d^2y = C \cdot \sin 2\pi \left[ \frac{t}{T} - \frac{\xi (\cos \alpha - \cos \alpha') + \eta (\cos \beta - \cos \beta')}{\lambda} \right] d\xi \cdot d\eta \quad (b)$$



Przyjmijmy dla uproszczenia, że promienie padają prostopadle do płaszczyzny otworu mającego w rozpatrywanym obecnie przypadku kształt koła: mamy wtedy

$$\cos \alpha = \cos \beta = 0.$$

Ośią symetrii obrazu dyfrakcyjnego jest wtedy oś  $O\xi$ , wyznaczająca kierunek promieni padających. Wystarczy więc wyznaczyć rozkład oświetlenia na dowolnej prostej, leżącej w płaszczyźnie ogniskowej i przechodzącej przez punkt  $A_0$ , aby przez obrót dookoła osi  $O\xi$  otrzymać całkowity obraz dyfrakcyjny punktu  $A$ . Niech tą prostą będzie prosta  $A_0A_1$ , równoległa do osi  $O\xi$  (rys. 247). Promienie



Rys. 247

ugięte, interferujące w punkcie  $A_1$ , będą prostopadłe do osi  $O\eta$ , z osią zaś  $O\xi$  tworzyć będą kąt  $\alpha' = 90 - \mu$ , gdzie  $\mu$  jest kątem ugięcia danej wiązki. Mamy zatem

$$\cos \alpha' = \sin \mu; \quad \cos \beta' = 0.$$

Po podstawieniu do wzoru (b) otrzymujemy

$$d^2y = C \cdot \sin 2\pi \left( \frac{t}{T} + \xi \frac{\sin \mu}{\lambda} \right) d\xi d\eta = C \sin \left( \omega t + \frac{2\pi}{\lambda} \xi \sin \mu \right) d\xi d\eta.$$

Wytnijmy w płaszczyźnie otworu pas prostokątny  $H_1H_2$  o szerokości  $d\xi$  (rys. 248). Połowa jego wysokości

$$H_0H_1 = \sqrt{R^2 - \xi^2},$$

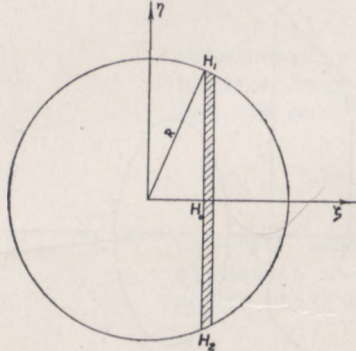
wypadkowa zatem zaburzeń, wysyłanych przez ten pas i ugiętych pod kątem  $\mu$ , będzie równa

$$\begin{aligned} dy &= C \sin \left( \omega t + \frac{2\pi}{\lambda} \xi \sin \mu \right) d\xi \int_{-\sqrt{R^2 - \xi^2}}^{+\sqrt{R^2 - \xi^2}} d\eta = 2C \sqrt{R^2 - \xi^2} \cdot \sin \left( \omega t + \frac{2\pi}{\lambda} \xi \sin \mu \right) d\xi = \\ &= 2C \sqrt{R^2 - \xi^2} \sin \omega t \cos \left( \frac{2\pi}{\lambda} \xi \sin \mu \right) d\xi + 2C \sqrt{R^2 - \xi^2} \cos \omega t \sin \left( \frac{2\pi}{\lambda} \xi \sin \mu \right) d\xi \end{aligned}$$



Wypadkowa zaś zaburzeń, wysyłanych w kierunku  $\mu$  przez wszystkie elementy powierzchni otworu, wyrazi się wzorem,

$$y = 2C \sin \omega t \int_{-R}^{+R} \sqrt{R^2 - \xi^2} \cos \left( \frac{2\pi}{\lambda} \xi \sin \mu \right) d\xi + \\ + 2C \cos \omega t \int_{-R}^{+R} \sqrt{R^2 - \xi^2} \cdot \sin \left( \frac{2\pi}{\lambda} \xi \sin \mu \right) d\xi = M \sin \omega t + N \cos \omega t,$$



Rys. 248

gdzie

$$M = 2C \int_{-R}^{+R} \sqrt{R^2 - \xi^2} \cdot \cos \left( \frac{2\pi}{\lambda} \xi \sin \mu \right) d\xi \quad \text{i} \quad N = 2C \int_{-R}^{+R} \sqrt{R^2 - \xi^2} \sin \left( \frac{2\pi}{\lambda} \xi \sin \mu \right) d\xi,$$

$N$  jest równe zeru, wielkości bowiem

$$\sqrt{R^2 - \xi^2} \sin \left( \frac{2\pi}{\lambda} \xi \sin \mu \right),$$

odpowiadające wartościom  $+\xi$  i  $-\xi$ , a więc elementom powierzchni symetrycznym względem  $O\eta$ , mają równe wartości bezwzględne i znaki przeciwne, suma ich przeto jest zerem. Ostatecznie zatem otrzymujemy

$$y = 2C \int_{-R}^{+R} \sqrt{R^2 - \xi^2} \cos \left( \frac{2\pi}{\lambda} \xi \sin \mu \right) d\xi \cdot \sin \omega t = M \sin \omega t.$$

Kładąc

$$\xi = R \cdot \omega, \quad d\xi = R \cdot d\omega; \quad \frac{2\pi}{\lambda} \sin \mu = \frac{m}{R},$$

mamy

$$M = 4C \int_0^R \sqrt{R^2 - \xi^2} \cos \left( \frac{2\pi}{\lambda} \xi \sin \mu \right) d\xi = 4CR^2 \int_0^1 \sqrt{1 - \omega^2} \cdot \cos m\omega \cdot d\omega. \quad (8)$$



Całkę

$$\frac{M}{C\pi R^2} = \frac{4}{\pi} \int_0^1 \sqrt{1-\omega^2} \cdot \cos m\omega \cdot d\omega = f(m) \quad (c)$$

można wyrazić przy pomocy tzw. funkcji Bessela pierwszego rodzaju.

Funkcje te są całkami szczególnymi równania różniczkowego

$$\frac{d^2 J_1}{dm^2} + \frac{1}{m} \frac{dJ_1}{dm} + \left(1 - \frac{1}{m^2}\right) J_1 = 0,$$

przy czym dla  $m=0$

$$J_1 = 0; \quad \frac{dJ_1}{dm} = \frac{1}{2}. \quad (d)$$

Podstawiając do równania

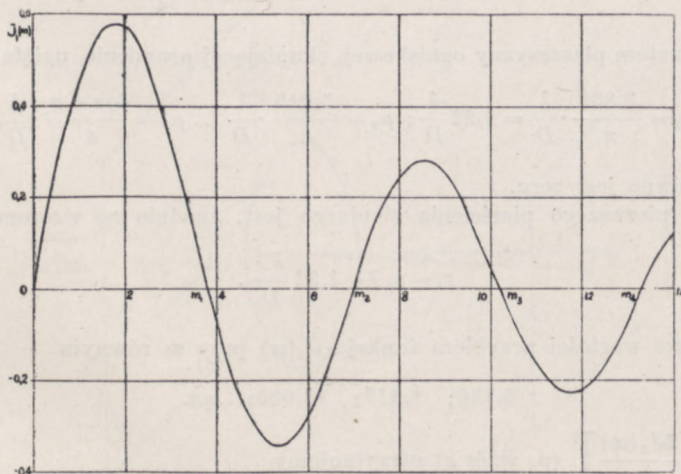
$$J_1 = \frac{f(m) \cdot m}{2}, \quad (e)$$

można sprawdzić, czego tu robić nie będziemy, że istotnie wartość  $J_1$  czyni zadość temu równaniu.

Mamy zatem

$$f(m) = \frac{2J_1}{m}.$$

Zależność  $J_1$  od  $m$  odtwarza krzywa rys. 249. Funkcja ta ze wzrostem  $m$  przybiera kolejno wartości dodatnie i ujemne, przechodząc tym sposobem przez szereg ma-



Rys. 249

ksimów i minimów. Dla znacznych wartości  $m$  jest ona prawie dokładnie równa

$$J_1(m) = \sqrt{\frac{2}{\pi \cdot m}} \cdot \sin\left(m - \frac{\pi}{4}\right).$$



Posiłkując się tablicami wartości tej funkcji, można znaleźć wartości  $f(m)$  dla różnych znaczeń  $m$  i tym samym wyznaczyć oświetlenie w punktach  $A_1$  interferencji promieni ugiętych, oświetlenie to bowiem jest proporcjonalne do

$$[f(m)]^2 = \left( \frac{2J_1}{m} \right)^2,$$

a

$$\sin \mu = \frac{m}{\pi} \cdot \frac{\lambda}{2R} = \frac{m}{\pi} \cdot \frac{\lambda}{D}.$$

lub z uwagi, że, jakśmy wyżej o tym mówili, kąt ugięcia jest bardzo mały,

$$\mu \approx \sin \mu = \frac{m}{\pi} \cdot \frac{\lambda}{D} \quad (\text{Airy, 1834 r.}) \quad (f)$$

Dla  $m=0$ , a więc i  $\mu=0$

$$\lim_{m \rightarrow 0} \frac{J_1(m)}{m} = \frac{1}{2},$$

(p. wzór d), wobec czego oświetlenie plamy środkowej, otaczającej obraz geometryczny punktu  $A_0$  wynosi

$$M^2 = [\pi R^2 C]^2 [f(m)]^2 = (\pi R^2 C)^2 \left[ \frac{2J_1(m)}{m} \right]^2 = (\pi R^2 C)^2. \quad (g)$$

Funkcja  $J_1(m)$  ma wartość zero przy  $m$  równym

$$3,832; 7,015; 10,173 \dots q\pi + \frac{\pi}{4}.$$

W punktach zatem płaszczyzny ogniskowej, skupiającej promienie, ugięte pod kątami

$$\mu_1 = \frac{3,832}{\pi} \cdot \frac{\lambda}{D} = 1,22 \frac{\lambda}{D}; \quad \mu_2 = \frac{7,015}{\pi} \cdot \frac{\lambda}{D} \dots \mu_q = \frac{4q\pi + \pi}{4} \cdot \frac{\lambda}{D},$$

oświetlenie równe jest zeru.

Promień pierwszego pierścienia ciemnego jest, zgodnie ze wzorem (7), równy

$$r_1 = \mu_1 \mathcal{F} = 1,22 \frac{\lambda \mathcal{F}}{D}.$$

Największe wartości przybiera funkcja  $J_1(m)$  przy  $m$  równym

$$5,136; 8,417; 11,620; \dots q\pi.$$

Wtedy na  $\left[ \frac{2J_1(m)}{m} \right]^2$  (p. wzór g) otrzymujemy

$$0,0175; 0,0041; 0,0016$$

oświetlenia plamy jasnej. Oświetlenie więc pierścieni szybko maleje.

Ponieważ środkiem obrazu dyfrakcyjnego jest zawsze obraz geometryczny  $A_0$ , którego położenie w płaszczyźnie ogniskowej nie zmienia



się przy przesuwaniu otworu w płaszczyźnie przepony, dwa jednakowe otwory kołowe, oświetlone przez ten sam punkt świecący  $A_\infty$ , dają takie same i tak samo rozmieszczone obrazy dyfrakcyjne. W każdym przeto punkcie  $A_1$  tych wzajemnie pokrywających się obrazów spotykać się będą zaburzenia, wysyłane przez oba otwory. Zaburzenia te będą miały amplitudy jednakowe, fazy jednak różne. Wobec tego oświetlenie danego punktu wyniesie

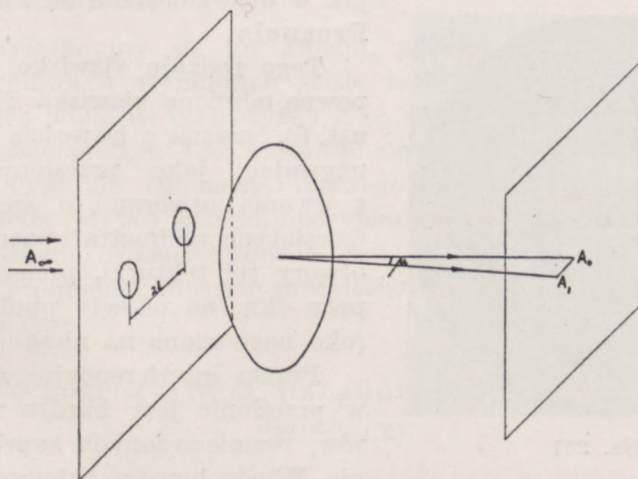
$$I = 2I_1(1 + \cos\varphi) = 4I_1 \cos^2 \frac{\varphi}{2},$$

gdzie  $\varphi$  jest równe różnicy faz zaburzeń, wysyłanych przez odpowiadające sobie geometrycznie elementy powierzchni każdego z otworów, w danym przeto przypadku równe różnicy faz zaburzeń, wysyłanych przez środkowe elementy otworów.

We wszystkich więc punktach płaszczyzny ogniskowej, w których skupiać się będą promienie, ugięte pod takim kątem  $\mu$ , że

$$\frac{\varphi}{2} = \pi \cdot \frac{A}{\lambda} = \pi \cdot \frac{2l}{\lambda} \sin \mu$$

(rys. 250) równe jest  $\frac{\pi}{2}$ ,  $\frac{3}{2}\pi$ , ..., natężenie wypadkowe będzie równe



Rys. 250

zeru. Przyjmując, jak poprzednio, że kąty ugięcia są dostatecznie małe, aby

$$\sin \mu \approx \mu,$$



znajdujemy

$$\frac{\pi}{2} = \pi \cdot \frac{2l}{\lambda} \mu = \pi \cdot \frac{2l}{\lambda} \cdot \frac{\varepsilon_1}{\mathcal{F}},$$

skąd

$$\varepsilon_1 = \frac{\lambda}{2} \cdot \frac{\mathcal{F}}{2l}$$

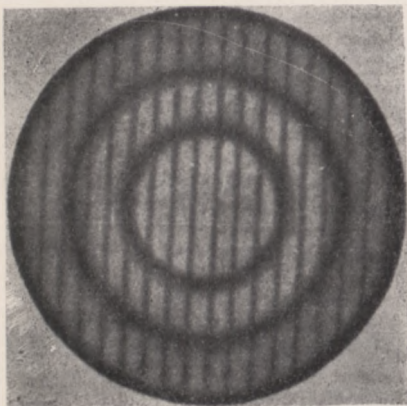
i podobnie

$$\varepsilon_2 = \frac{3}{2} \cdot \frac{\lambda \mathcal{F}}{2l}; \quad \varepsilon_3 = \frac{5}{2} \cdot \frac{\lambda \mathcal{F}}{2l}.$$

Miejscem geometrycznym punktów nieoświetlonych będą proste prostopadłe do linii, łączącej otwory, i rozmieszczone w odstępach równych

$$p = \frac{\lambda \mathcal{F}}{2l}$$

(por. ust. 2 rozdz. VII). Obraz dyfrakcyjny punktu  $A$  będzie przeto poprzecinany przez prążki interferencyjne (rys. 251), rozmieszczone tak, jak w doświadczeniu ze zwierciadłami Fresnela.



Rys. 251

Tego rodzaju zjawisko, stanowiące pewną odmianę zjawiska Younga (p. ust. 6), można z łatwością odtworzyć, używając, jako przesłony, tekturki z dwoma otworami o średnicy paru dziesiątych milimetra i patrząc poprzez otwory tej tekturki, umieszczonej tuż przy oku, na odległy punkt świecący (oko nastawione na nieskończoność).

Prążki interferencyjne znikają, gdy w przesłonie jest bardzo wiele otworów, rozmieszczonych zupełnie dowolnie. Wtedy bowiem zaburzenie wypad-

kowe w danym punkcie  $A_1$  płaszczyzny  $E$  wyrazi się wzorem

$$y = C \sum_{i=1}^n \sin \left( 2\pi \frac{t}{T} - \varphi_i \right) = C \sin \frac{2\pi t}{T} \sum_{i=1}^n \cos \varphi_i - C \cos \frac{2\pi t}{T} \sum_{i=1}^n \sin \varphi_i,$$



natężenie więc jego w tym punkcie wynosi (p. M. Grotowski, Wykłady fizyki, t. II, str. 48)

$$I = C^2 \left[ \left( \sum_{i=1}^n \cos \varphi_i \right)^2 + \left( \sum_{i=1}^n \sin \varphi_i \right)^2 \right] = C^2 [\cos^2 \varphi_1 + \cos^2 \varphi_2 + \dots + \cos^2 \varphi_n + \\ + 2 \cos \varphi_1 \cdot \cos \varphi_2 + \dots + 2 \cos \varphi_{n-1} \cos \varphi_n + \sin^2 \varphi_1 + \dots + \sin^2 \varphi_n + \\ + \dots + 2 \sin \varphi_{n-1} \sin \varphi_n] = nC^2 + 2C^2 \sum \cos(\varphi_i - \varphi_j).$$

Ponieważ otworów jest, w myśl założenia, bardzo dużo i są one rozmieszczone zupełnie bezładnie, różnice faz  $\varphi_i - \varphi_j$  mają wszystkie możliwe znaczenia, wahające się w granicach od  $-1$  do  $+1$ , tak, że

$$\sum \cos(\varphi_i - \varphi_j) = 0,$$

natężenie przeto równe jest

$$I = nC^2.$$

Rozkład oświeleń jest ten sam, co w przypadku otworu pojedynczego, oświelenie jednak jasnych części obrazu jest  $n$  razy silniejsze (Verdet).

Tak jest wszakże tylko w świetle niejednorodnym i przy niewielkim powiększeniu obrazu dyfrakcyjnego. W świetle jednorodnym obraz dyfrakcyjny, rozpatrywany przez silnie powiększający okular, jest na ogół bardziej złożony, niż w przypadku otworu pojedynczego.

Obraz dyfrakcyjny się nie zmienia, gdy otwory kołowe zastąpimy przesłoną kołową o wymiarach ściśle takich samych. Wtedy bowiem do wszystkich punktów płaszczyzny  $E$  (z wyjątkiem punktu  $A_0$  — obrazu geometrycznego punktu  $A_\infty$ ) stosować się będzie twierdzenie Babinet'a (p. ust. 5). Tym się tłumaczy, dlaczego patrząc na oddalone źródło światła poprzez płytkę szklaną, posypaną widlakiem (lycopodium), widzimy pierścienie, rozmieszczone w ten sam sposób, jak przy otworze kołowym o promieniu, równym przeciętnemu promieniowi ziaren, o wiele jednak jaśniejsze.

#### 8. ZDOLNOŚĆ ROZPOZNAWCZA UKŁADÓW OPTYCZNYCH (PUNKTY ŚWIECĄCE)

W przyrządach optycznych wiązka promieni, wytwarzających obraz punktu świecącego jest zawsze ograniczona przesłoną o otworze kołowym, którym najczęściej jest obiektyw przyrządu. Wobec tego, nawet w przypadku całkowitego spełnienia warunków stygmatyzmu geometrycznego, obraz punktu świecącego nigdy nie jest punktem, lecz niewielką jasną tarczą, otoczoną paru pierścieniami, na przemian ciemnymi i jasnymi,



o szybko zresztą zanikającej widzialności. Ten właśnie obraz dyfrakcyjny wytworzony przez obiektyw, rozpatrujemy przez okular przyrządu, jako obraz danego punktu.

W lunecie obraz ten powstaje w płaszczyźnie ogniskowej obiektywu, promień więc plamy jasnej wynosi (p. wzór 7)

$$r_1 = 1,22 \frac{\lambda \mathcal{F}}{D},$$

gdzie  $\mathcal{F}$  — ogniskowa,  $D$  — średnica obiektywu.

W soczewce o średnicy  $D=5$  cm i  $\mathcal{F}=20$  cm, oświetlonej promieniami o długości fali  $0,55 \mu$ , promień środkowej plamki jasnej wynosi

$$r_1 = 1,22 \cdot \frac{55 \cdot 10^{-6}}{5} \cdot 20 \approx 0,00027 \text{ cm} \approx 3 \mu.$$

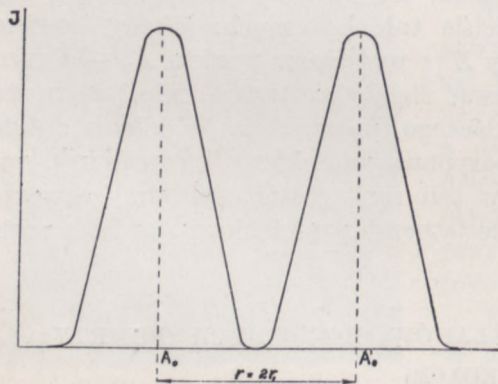
Możnaby przypuszczać, że dwa różne punkty świecące  $A_\infty$  i  $A'_\infty$  będziemy widzieli oddzielnie, gdy ich odległości kątowe będą równe

$$2\theta = 2 \frac{r_1}{\mathcal{F}} = 2 \cdot 1,22 \frac{\lambda}{D},$$

gdy więc ich obrazy geometryczne będą powstawały w odległościach

$$r = 2r_1 = 2 \cdot 1,22 \frac{\lambda \mathcal{F}}{D}$$

jeden od drugiego. Wtedy bowiem środkowe plamy obrazów dyfrakcyjnych nie będą się na siebie nakładały i rozkład oświetlenia w płaszczyźnie



Rys. 252

ogniskowej będzie mniej więcej taki, jak na schematycznym rysunku 252. Miejsca o oświetleniu największym będą oddzielone od siebie miejscami prawie zupełnie ciemnymi, gdyż oświetlenia dalszych pierścieni jaśniejszych są, jak o tym wyżej już była mowa, bardzo małe w porównaniu z oświetleniem plamy środkowej.

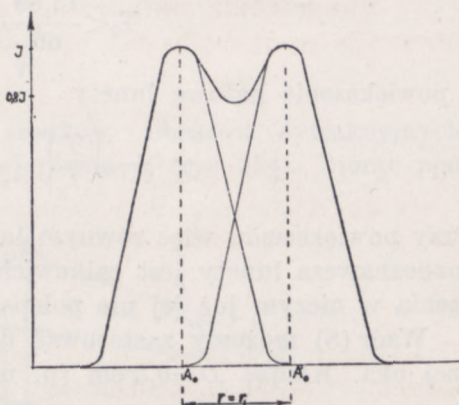
Foucault jednak na podstawie obserwacji tzw. gwiazd podwójnych stwierdził, że odległość

ta może być zmniejszona mniej więcej do połowy tak, aby odległość środków geometrycznych wynosiła

$$r = 1,22 \frac{\lambda}{D} \cdot \mathcal{F}. \quad (\text{a})$$



Rozkład oświetlenia w płaszczyźnie ogniskowej odtwarza wtedy krzywa rys. 253. Plamy środkowe częściowo się nakrywają; oświetlenie tej części wspólnej spada mniej więcej do 0,8 tej wartości, jaką ma w punktach  $A_0$  i  $A'_0$ . Ten na pozór niewielki kontrast wystarcza, jak się okazuje, aby stwierdzić istnienie dwóch różnych obrazów. W praktyce mamy prawie zawsze do czynienia ze źródłami światła niejednorodnego: pierścienie są zabarwione, wobec czego przyjmuje się, dość zresztą dowolnie, że  $\lambda$  we wzorze (a) wyraża długość fali, na jaką oko jest najwrażliwsze, a więc około  $0,55 \mu$ . Na wartość kąta  $\mu_1$  wyrażającego tzw. zdolność rozpoznawczą przyrządu otrzymujemy



Rys. 253

$$\mu_1 = \frac{r}{\mathcal{F}} = 1,22 \frac{\lambda}{D} = 1,22 \cdot \frac{0,55 \cdot 10^{-4}}{D} = \frac{0,000\ 0671}{D} \text{ rad} = \frac{13,89''}{D}. \quad (8)$$

Foucault używając obiektywu o średnicy 33 cm mógł rozpoznać gwiazdy, których odległość kątowa, wyznaczona uprzednio przy użyciu obiektywów o rozwarości większej, wynosiła  $0,4''$  (gwiazda podwójna  $\gamma$  Andromedy). Podstawiając do wzoru (8), mamy

$$0,4'' \cdot 33 = 13,2'',$$

w niezłej zgodzie z wyżej przyjętymi założeniami.

Najmniejsza przeto odległość punktów  $A_0$  i  $A'_0$  obrazów dyfrakcyjnych wynosi

$$r = \mu_1 \cdot \mathcal{F} = 13,89'' \frac{\mathcal{F}}{D}.$$

Punkty te, leżące w płaszczyźnie ogniskowej obiektywu, wtedy tylko będą widzialne oddzielnie, gdy wychodzące z nich do oka promienie środkowe (przechodzące przez punkty węzłowe układu ocznego) tworzyć będą kąt mniej więcej równy  $1'$  (p. ust. 3, rozdz. V), gdy więc ich odległość czyni będzie zadość nierówności

$$r = 13,89 \frac{\mathcal{F}}{D} > 60 \mathcal{F}_0,$$



gdzie  $\mathcal{F}_0$  ogniskowa okularu (w założeniu, że punkt węzłowy układu ocznego leży w płaszczyźnie głównej okularu). A zatem

$$\mathcal{F}_0 < \frac{13,89}{60} \cdot \frac{\mathcal{F}}{D} = 0,23 \cdot \frac{\mathcal{F}}{D}$$

i powiększenie kątowe lunety

$$\mathcal{K} = \left| \frac{\mathcal{F}}{\mathcal{F}_0} \right| > \frac{1}{0,23} D \approx 4,3 D.$$

Przy powiększeniu więc równym lub nieco większym od  $4,3 D$  zdolność rozpoznawcza lunety jest całkowicie wyzyskana. Dalszy wzrost powiększenia w niczym już jej nie polepszy.

Wzór (8) możemy zastosować do wyznaczenia zdolności rozpoznawczej oka. Kładąc  $D=0,3$  cm (p. ust. 4, rozdz. VI), na  $\mu_1$  otrzymujemy

$$\mu_1 = \frac{13,89''}{0,3} = 46,3''.$$

Ziarnista budowa siatkówki ogranicza wszakże, jak wiemy, ostrość widzenia do  $60''$ . Zjawiska dyfrakcji nie ograniczają przeto, jak się zdaje, zdolności rozpoznawczej oka.

W największym z dotychczasowych refraktorów — lunecie obserwatorium Yerkesa — obiektyw ma średnicę 102 cm, ogniskowa  $\mathcal{F}$  równa jest 1900 cm. Dla tego zatem przyrządu

$$\mu_1 = \frac{13,89''}{102} \approx 0,14''.$$

Skierujmy tę lunetę na księżyc, którego średnicę, równą 3480 km, widzimy z ziemi pod kątem mniej więcej równym  $1890''$ . Dwa punkty tej średnicy, leżące w odległości około 1800 m jeden od drugiego, widzimy pod kątem  $1''$ . Przez lunetę będziemy widzieli oddzielnie punkty odległe o mniej więcej 250 m jeden od drugiego, przedmioty więc o rozmiarach liniowych mniejszych będą dla nas punktami.

Przy zdjęciach fotograficznych  $\lambda$  wzoru 8 ma wartość mniej więcej równą  $0,4 \mu$  (długości fali chemicznie czynnych promieni). Zdolność rozpoznawcza wynosi wtedy

$$\mu_1 = \frac{9,9''}{D},$$

w lunecie zatem obserwatorium Yerkesa

$$\mu_1 = \frac{9,9''}{102} = 0,09''.$$

Wtedy jednak średnica ziaren kliszy musi być mniejsza od

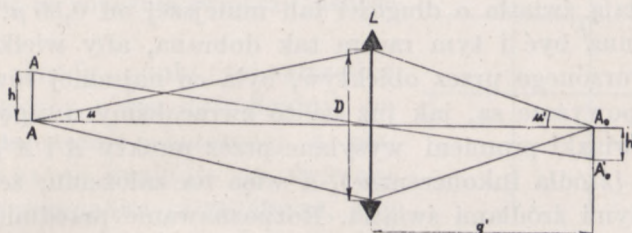
$$\mu_1 \mathcal{F} = 0,09'' \cdot 1900 = 0,000\ 000\ 44 \cdot 1900 = 8,3 \mu.$$



W mikroskopach obraz powstaje w odległości  $g'$  od płaszczyzny głównej przestrzeni obrazu obiektywu. Promień zatem pierwszego pierścienia ciemnego wynosi

$$r_1 = 1,22 \frac{\lambda \cdot g'}{D}.$$

Zgodnie z założeniem odległość środków obrazów dyfrakcyjnych punktów  $A$  i  $A'$  musi być co najmniej równa  $r_1$  (rys. 254). Biorąc pod



Rys. 254

uwagę, że wiązki, schodzące się w punktach  $A_0$  i  $A'_0$  są dostatecznie cienkie, aby można było przyjąć

$$\sin u' \approx \text{tg } u' \approx u',$$

znajdujemy, że

$$D = 2g' \cdot u',$$

skąd

$$r_1 = h' = 0,61 \cdot \frac{\lambda}{u'}.$$

W mikroskopie obiektyw czyni zawsze zadość warunkowi Abbego (p. ust. 7, rozdz. IV), mamy przeto

$$n \cdot h \sin u = n' h' \sin u' = h' u',$$

(p. wzór 31 rozdz. IV),  $n'$  bowiem równe jest jedności. Ostatecznie więc otrzymujemy

$$h = 0,61 \frac{\lambda}{n \sin u} = 0,61 \cdot \frac{\lambda}{A}, \quad (9)$$

gdzie  $A$  jest rozwartością optyczną obiektywu (p. ust. 7, rozdz. IV). W najlepszych obiektywach  $u$  dochodzi do wartości  $70^\circ$ ,  $\sin u$  jest zatem równy 0,94, niewiele się różniąc od jedności, stanowiącej górną teoretycznie możliwą granicę rozwartości optycznej układów suchych (nie immer-

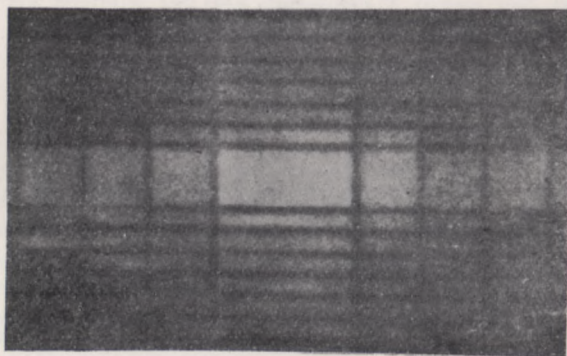


syjnych, przedmiot w powietrzu,  $n=1$ ). Kładąc  $\lambda=0,55 \mu$ , na  $h$  otrzymujemy  $0,35 \mu$  innymi słowy, przy użyciu tych obiektywów możemy rozróżnić przedmioty, których zmieściłoby się mniej więcej 3000 na odcinku długości 1 mm. Układy immersyjne (przedmiot znajduje się w cieczy o współczynniku załamania mniej więcej równym współczynnikowi załamania przedniej soczewki obiektywu) pozwalają zmniejszyć tę granicę. Zazwyczaj  $n$  jest wtedy równe 1,52, największa więc rozwartość optyczna wynosi  $1,52 \cdot 0,94 \approx 1,83$ ,  $h$  spada zatem do wartości 0,23. Jeszcze większe obniżenie wartości  $h$  otrzymamy w przypadku, gdy obserwowane punkty wysyłają światło o długości fali mniejszej od  $0,55 \mu$ . Ogniskowa okularu powinna być i tym razem tak dobrana, aby wielkość kątowna obrazu, wytworzonego przez obiektyw, była co najmniej równa  $60''$ .

Wywody powyższe są, jak już na to zwracaliśmy uwagę, oparte na założeniu, że wiązki promieni wysyłane przez punkty  $A$  i  $A'$ , są optycznie niespójne (źródła inkoherentne), a więc na założeniu, że punkty te są samodzielnymi źródłami światła. Rozpoznawanie przedmiotów oświetlonych rozpatrzmy niżej w ust. 13.

#### 9. OTWORY PROSTOKĄTNE

Gdy otwór uginający ma kształt prostokąta, obraz dyfrakcyjny punktu świecącego składa się z dwóch wzajemnie prostopadłych układów prążków, rozmieszczonych w odstępach, zależnych jedynie od wymiaru otworu w kierunku prostopadłym do prążków: odstęp w układzie po-



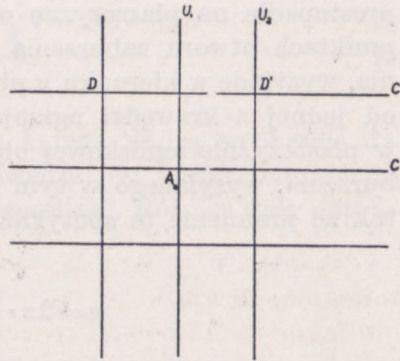
Rys. 255

ziomym (prążki pionowe) zależy jedynie od szerokości otworu; w układzie pionowym (prążki poziome) — od wysokości otworu; odstępów te się zmniejszają w miarę wzrostu wymiaru w danym kierunku. Na rys. 255 odtwarzającym obraz dyfrakcyjny, otrzymany przy użyciu otworu o wysokości większej, niż szerokość, prążki układu poziomego są rozmieszczone rzadziej, niż pionowego.



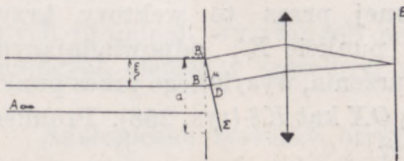
Biorąc otwory o coraz to większej wysokości, otrzymujemy coraz to większe zagęszczenie ciemnych prążków układu pionowego; w granicy, gdy otworem uginającym jest wąska i długa szczelina, obraz pionowy sprowadza się do środkowej plamy jasnej, jednocześnie maleje długość prążków pionowych (układ poziomy), które wreszcie stają się punktami (obraz liniowy). W tym przypadku możemy punkt świecący zastąpić przez świecąca szczelinę (której każdy punkt jest, oczywiście, samodzielnym źródłem światła), co znacznie zwiększa jasność obrazu.

Istotnie, każdy punkt tej szczeliny wytworzy własny obraz dyfrakcyjny, leżący w płaszczyźnie sprzężonej z płaszczyzną, w której znajduje się świecąca szczelina (w przypadku szczególnym, gdy szczelina świecąca jest w nieskończoności, płaszczyzną tą jest płaszczyzna ogniskowa



Rys. 256

obiektywu), na prostej, przechodzącej przez obraz geometryczny  $A_0$  danego punktu i prostopadłej do krawędzi szczeliny uginającej  $U_1U_2$  (rys. 256). Otrzymane w ten sposób układy są wzajemnie niezależne, światło bowiem z poszczególnych punktów  $A, A' \dots$  szczeliny świecącej dochodzi jedynie do punktów odpowiednich prostych  $c, c' \dots$ , tak że obraz dyfrakcyjny w dowolnym punkcie  $D$  którejkolwiek z tych prostych jest wytworzony tylko przez promienie, wysyłane przez odpowiedni punkt  $A$  świecącej szczeliny. Ponieważ obrazy geometryczne  $A_0, A'_0 \dots$  leżą na prostej,



Rys. 257

równoległej do szczeliny świecącej, odstępy zaś punktów jasnych (lub ciemnych) są wyznaczone przez szerokość szczeliny uginającej, miejsca o jednakowym oświetleniu leżą na prostych  $DD'$ , równoległych do szczeliny świecącej.

W ten sposób bez względu na kąt, jaki

tworzą szczeliny świecąca i uginająca, otrzymamy wyraźny obraz dyfrakcyjny, składający się z prążków jasnych i ciemnych, równoległych do szczeliny świecącej i utworzonych z jasnych i ciemnych punktów linii  $DD'$ .

Ściślej biorąc, zjawisko przebiega tak tylko przy użyciu bardzo wąskich szczelin uginających i niezbyt wielkich kątów nachylenia szczeliny świecącej.

Tym razem przeto nie obowiązuje warunek równoległości szczelin świecącej i uginającej, warunek, który musi być spełniony, gdy chcemy otrzymać prążki Fresnela, tam bowiem każdy punkt szczeliny świecącej wytwa-

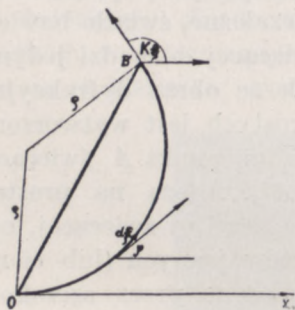


rza układ prążków prostoliniowych, równoległych do szczeliny uginającej, wobec czego obraz dyfrakcyjny wtedy tylko jest wyraźny, gdy obrazy dyfrakcyjne poszczególnych punktów wzajemnie się pokrywają (p. ust. 3).

Przyjmijmy dla uproszczenia, że światło, wychodzące z nieskończenie odległego punktu świecącego  $A$  (czy też ze szczeliny świecącej) pada prostopadle na płaszczyznę otworu uginającego, tak że we wszystkich punktach otworu zaburzenia mają fazę jednakową (rys. 257). Zaburzenia, wysyłane w kierunku  $\mu$  przez punkt  $B$  szczeliny, leżący w odległości  $\xi$  od jednej z krawędzi uginających, przechodzi do punktu interferencji w płaszczyźnie ogniskowej obiektywu drogę dłuższą o  $DB$  od drogi zaburzenia, wysyłanego w tym samym kierunku przez punkt  $B_1$  szczeliny, tak że promienie te spotykają się będą z różnicą faz równą

$$\varphi = 2\pi \cdot \frac{DB}{\lambda} = 2\pi\xi \frac{\sin \mu}{\lambda} = K\xi. \quad (a)$$

Załóżmy, jak poprzednio, że amplituda zaburzenia, wysyłanego przez dany element powierzchni otworu, jest proporcjonalna do jego szerokości  $d\xi$ , i zastosujmy konstrukcję Fresnela do wyznaczenia zaburzenia wypadkowego, wzbudzonego w punkcie interferencji przez zaburzenia, ugięte pod kątem  $\mu$ .



Rys. 258

Amplituda wypadkowa jest proporcjonalna do sumy geometrycznej elementarnych wektorów  $d\xi$ , nachylonych do osi  $OX$  pod kątami, tworzącymi postęp arytmetyczny, tak że styczna do utworzonej przez te wektory krzywej tworzy w punkcie  $B'$ , odpowiadającym amplitudzie zaburzenia, wysyłanego przez punkt  $B$  otworu, z osią  $OX$  kąt  $K\xi$  (rys. 258). Promień krzywizny równy

$$\rho = \frac{d\xi}{d\varphi} = \frac{d\xi}{Kd\xi} = \frac{1}{K} = \frac{\lambda}{2\pi} \cdot \frac{1}{\sin \mu} \quad (b)$$

ma wartość stałą. Krzywa przeto jest kołem o promieniu  $\rho$  tym mniejszym, im większy jest kąt ugięcia badanych promieni.

Dla  $\mu = 0$ , a więc dla promieni, tworzących środkową plamę obrazu dyfrakcyjnego, promień  $\rho$  równy jest nieskończoności, łuk  $OO_1$  jest odcinkiem osi  $OX$  o długości równej szerokości szczeliny, wszystkie bowiem zaburzenia składowe schodzą się w tym miejscu obrazu z fazami jednakowymi. Ze wzrostem  $\mu$  promień  $\rho$  się zmniejsza, różnica zatem mię-

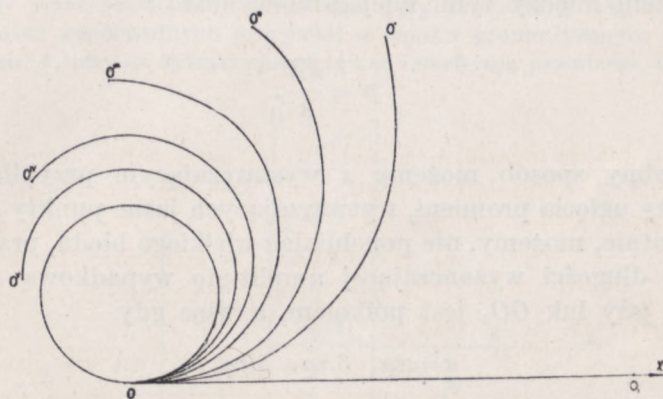


dzy długością cięciwy  $OO_1$ , proporcjonalna do amplitudy wypadkowej, i długością łuku  $OO_1$ , stale równą  $a$ , wzrasta (rys. 259).

Gdy  $2\pi\rho$  stanie się równe  $a$ , końcowy punkt  $O_1$  cięciwy zbiegnie się z początkowym punktem  $O$ : amplituda wypadkowa stanie się równa zeru. Tej wartości  $\rho$  odpowiada kąt ugięcia  $\mu_1$ , wyznaczony wzorem

$$\sin \mu_1 = \frac{\lambda}{a} \quad (c)$$

(por. wzór b). Promienie, ugięte pod tym kątem, dadzą w obrazie dyfrakcyjnym ciemny punkt (gdy źródłem światła jest punkt) lub ciemny prążek (gdy źródłem światła jest świecąca szczelina). Różnica dróg optycz-



Rys. 259

nych promieni, wysyłanych przez skrajne, leżące przy krawędziach uginających elementy szczeliny, wyniesie wtedy całą długość fali.

Analogiczne zjawisko otrzymamy, gdy  $2\pi\rho$  będzie równe  $\frac{a}{2}$ , wtedy

$$\sin \mu_2 = \frac{\lambda}{2\pi\rho} = \frac{2\lambda}{a},$$

ciemne więc miejsca obrazu dyfrakcyjnego powstawać będą na skutek interferencji promieni ugiętych pod kątami  $\mu_m$ , czyniącymi zadość równaniu

$$\sin \mu_m = \frac{m\lambda}{a}. \quad (10)$$



Przyjmując zgodnie z istotnym przebiegiem zjawiska, że obraz dyfrakcyjny jest utworzony przez promienie, ugięte pod kątem niewielkim, i kładąc wobec tego

$$\sin \mu \approx \mu,$$

oraz oznaczając przez  $\varepsilon$  odległość punktu (lub prążka) ciemnego, mierzonego wzdłuż prostych  $e, e' \dots$  (p. rys. 256) od środka obrazu, otrzymujemy

$$\varepsilon = \mu \cdot \mathcal{F} = m \cdot \frac{\lambda \mathcal{F}}{a};$$

odstępów zatem między tymi miejscami wynoszą

$$p = \frac{\lambda \mathcal{F}}{a}. \quad (10a)$$

W podobny sposób możemy z wystarczającym przybliżeniem wyznaczyć kąty ugięcia promieni, wytwarzających jasne punkty (lub prążki) układu. Istotnie, możemy, nie popełniając wielkiego błędu, przyjąć, że cięciwa  $OO_1$  o długości wyznaczającej amplitudę wypadkową ma wartość największą, gdy łuk  $OO_1$  jest półkolem, a więc gdy

$$a = \pi \varrho, \quad 3\pi \varrho, \quad 5\pi \varrho, \dots$$

gdy przeto

$$2\pi \varrho = \frac{2a}{2m+1},$$

skąd

$$\sin \mu'_m = \frac{\lambda}{2\pi \varrho} = \frac{(2m+1)}{2a} \lambda = \frac{\left(m + \frac{1}{2}\right)}{a} \lambda. \quad (10b)$$

Wtedy różnica dróg optycznych zaburzeń, wysyłanych przez skrajne elementy szczeliny uginającej, wynosi nieparzystą liczbę połówek fal. Wzór ten tym lepiej czyni zadość danym pomiaru, im  $m$  jest większe, im więc mniej się różnią długości promieni kolejnych kół, odpowiadających wzrastającym wartościom  $\mu$ .

Kładąc, jak poprzednio

$$\sin \mu' \approx \mu' = \frac{\varepsilon'}{\mathcal{F}} = \frac{(2m+1)}{2a} \lambda,$$



znajdujemy

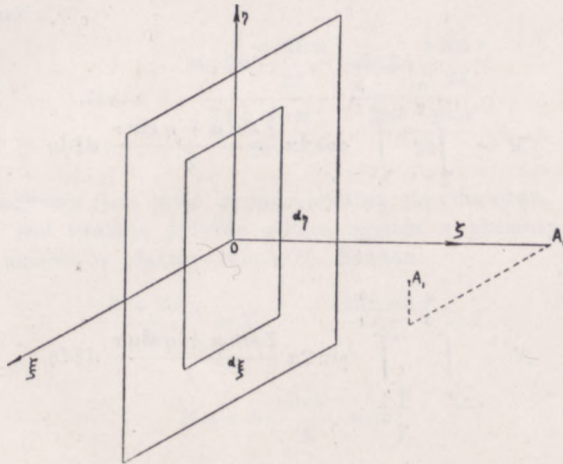
$$\varepsilon' = \mu' \cdot \mathcal{F} = \frac{2m+1}{2a} \lambda \mathcal{F}$$

i

$$p' = \frac{2\lambda \mathcal{F}}{2a} = \frac{\lambda \mathcal{F}}{a} \quad (10c)$$

Odstępy prążków jasnych są mniej więcej równe odstępom prążków ciemnych.

Przesuśmy przez prostokątny otwór uginający płaszczyznę współrzędnych  $\xi O \eta$  tak, aby początek współrzędnych przypadła w środku geometrycznym otworu (rys. 260). W punkcie  $A_1$  obrazu dyfrakcyjnego, gdzie interferują promienie, ugięte w kie-



Rys, 260

runku, tworzącym kąty  $\alpha'$  i  $\beta'$  z osiami współrzędnych, zaburzenia, wysyłane przez element  $d\xi d\eta$  powierzchni otworu, są wyznaczone wzorem (b) ust. 7

$$d^2y = C \sin 2\pi \left[ \frac{t}{T} - \frac{\xi (\cos \alpha - \cos \alpha') + \eta (\cos \beta - \cos \beta')}{\lambda} \right] d\xi d\eta$$

lub kładąc

$$\sin \mu = \cos \alpha' - \cos \alpha \quad \text{i} \quad \sin \nu = \cos \beta' - \cos \beta,$$

$$d^2y = C \sin 2\pi \left( \frac{t}{T} + \frac{\xi \sin \mu + \eta \sin \nu}{\lambda} \right) d\xi d\eta =$$

$$= C \sin \frac{2\pi t}{T} \cos 2\pi \frac{\xi \sin \mu + \eta \sin \nu}{\lambda} d\xi d\eta + C \cos \frac{2\pi t}{T} \sin 2\pi \frac{\xi \sin \mu + \eta \sin \nu}{\lambda} d\xi d\eta.$$



Zaburzenie wypadkowe w punkcie  $A_1$  będzie równe

$$\begin{aligned}
 y &= C \cdot \sin \frac{2\pi t}{T} \int_{-\frac{a}{2}}^{+\frac{a}{2}} \int_{-\frac{b}{2}}^{+\frac{b}{2}} \cos 2\pi \frac{\xi \sin \mu + \eta \sin \nu}{\lambda} d\xi d\eta + \\
 &+ C \cos \frac{2\pi t}{T} \int_{-\frac{a}{2}}^{+\frac{a}{2}} \int_{-\frac{b}{2}}^{+\frac{b}{2}} \sin 2\pi \frac{\xi \sin \mu + \eta \sin \nu}{\lambda} d\xi d\eta = \\
 &= M \cdot C \sin 2\pi \frac{t}{T} + N \cdot C \cos \frac{2\pi t}{T},
 \end{aligned} \tag{d}$$

gdzie

$$M = \int_{-\frac{a}{2}}^{+\frac{a}{2}} \int_{-\frac{b}{2}}^{+\frac{b}{2}} \cos 2\pi \frac{\xi \sin \mu + \eta \sin \nu}{\lambda} d\xi d\eta$$

i

$$N = \int_{-\frac{a}{2}}^{+\frac{a}{2}} \int_{-\frac{b}{2}}^{+\frac{b}{2}} \sin 2\pi \frac{\xi \sin \mu + \eta \sin \nu}{\lambda} d\xi d\eta.$$

Gdy promienie padają prostopadle do płaszczyzny otworu ( $\alpha=0$ )  $\mu$  i  $\nu$  są kątami, jakie wiązka ugięta tworzy z płaszczyznami  $\eta O \zeta'$  ( $\zeta$  ma kierunek wiązki padającej) i  $\xi O \zeta$ ; kąt  $\mu$  jest zatem kątem ugięcia w płaszczyźnie  $\zeta O \xi$ , kąt  $\nu$  — w płaszczyźnie  $\eta O \zeta$ .

Całka  $N$  jest zawsze równa zero, każdemu bowiem elementowi powierzchni  $d\xi d\eta$  o współrzędnych  $\xi, \eta$  odpowiada element powierzchni o współrzędnych  $-\xi, -\eta$ ; każdej przeto wartości dodatniej funkcji  $\sin 2\pi \frac{\xi \sin \mu + \eta \sin \nu}{\lambda}$  odpowiada równa jej wartość ujemna. Wzór (d) więc sprowadza się do

$$y = C \cdot \sin \frac{2\pi t}{T} \int_{-\frac{a}{2}}^{+\frac{a}{2}} \int_{-\frac{b}{2}}^{+\frac{b}{2}} \cos 2\pi \frac{\xi \sin \mu + \eta \sin \nu}{\lambda} d\xi d\eta.$$



Otwierając nawias pod całką możemy od razu zmienne rozdzielić

$$\begin{aligned}
 M &= \int_{-\frac{a}{2}}^{+\frac{a}{2}} \int_{-\frac{b}{2}}^{+\frac{b}{2}} \cos 2\pi \frac{\xi \sin \mu + \eta \sin \nu}{\lambda} d\xi d\eta = \\
 &= \int_{-\frac{a}{2}}^{+\frac{a}{2}} \cos 2\pi \frac{\xi \sin \mu}{\lambda} d\xi \int_{-\frac{b}{2}}^{+\frac{b}{2}} \cos 2\pi \frac{\eta \sin \nu}{\lambda} d\eta + \\
 &- \int_{-\frac{a}{2}}^{+\frac{a}{2}} \sin 2\pi \frac{\xi \sin \mu}{\lambda} d\xi \int_{-\frac{b}{2}}^{+\frac{b}{2}} \sin 2\pi \frac{\eta \sin \nu}{\lambda} d\eta.
 \end{aligned}$$

Stąd otrzymujemy

$$M = a \cdot b \cdot \frac{\sin 2\pi \frac{a \sin \mu}{2\lambda}}{2\pi a \sin \mu} \cdot \frac{\sin 2\pi \frac{b \sin \nu}{2\lambda}}{2\pi b \cdot \sin \nu}. \quad (11)$$

Amplituda wypadkowa jest więc proporcjonalna do iloczynu dwóch czynników, z których jeden jest funkcją jedynie  $\mu$ -kąta ugięcia w płaszczyźnie  $\xi O \zeta$ , drugi jedynie  $\nu$  – kąta ugięcia w płaszczyźnie  $\eta O \zeta$ . Kładąc

$$\frac{2\pi a \sin \mu}{2\lambda} = X, \quad \frac{2\pi b \sin \nu}{2\lambda} = Y,$$

mamy

$$M = a \cdot b \cdot \frac{\sin X}{X} \cdot \sin \frac{Y}{Y}.$$

Dla małych wartości  $X$

$$\sin X = X - \frac{X^3}{6}; \quad \frac{\sin X}{X} = 1 - \frac{X^2}{6}, \quad (e)$$

dla  $X$  równego zeru funkcja typu  $\frac{\sin X}{X}$  jest przeto równa jedności. Ze wzrostem  $X$  funkcja się zmniejsza, dochodząc do wartości 0 przy  $X = \pi$ , po czym staje się ujemna i zmniejsza się dalej, aby po przejściu przez pewną największą wartość ujemną znów wzrosnąć do zera przy  $X = 2\pi$  itd. Krzywa odtwarzająca te zmiany wartości  $\frac{\sin X}{X}$  ma więc kształt taki, jak na rys. 261.

Dla  $X = m\pi$ , gdzie  $m$  jest dowolną liczbą całkowitą, większą od zera,

$$\frac{\sin X}{X} = 0.$$



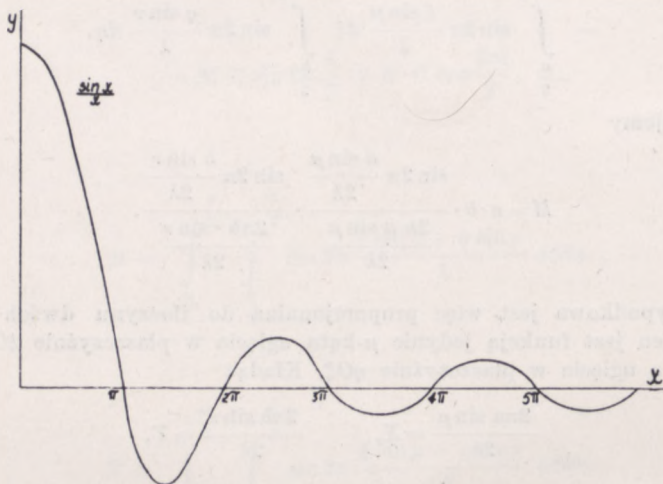
Ponieważ ze wzrostem  $X$  jedynie mianownik funkcji wzrasta nieograniczenie, największe wartości funkcji (dodatnie i ujemne) stają się stopniowo coraz to mniejsze. Dla  $a$  i  $b$  niezbyt wielkich i tego samego rzędu wielkości wartość amplitudy wypadkowej jest równa zero, gdy albo jeden z czynników iloczynu (11a) albo oba jednocześnie są równe zero, a więc gdy mamy

$$X = 2\pi \frac{a \sin \mu}{2\lambda} = m\pi \quad \text{lub} \quad Y = 2\pi \frac{b \sin \nu}{2\lambda} = q\pi,$$

gdy przeto

$$\sin \mu = \frac{m\lambda}{a} \quad \text{i} \quad \sin \nu = \frac{q\lambda}{b}.$$

Przyjmując, co z uwagi na szybkie zmniejszanie się ze wzrostem  $\mu$  i  $\nu$  maksimum



Rys. 261

amplitudy jest całkowicie uzasadnione, że obraz dyfrakcyjny utworzony jest przez promienie, ugięte pod niewielkimi kątami, mamy

$$\sin \mu \approx \mu = \frac{\varepsilon_\xi}{\mathcal{F}} = \frac{m\lambda}{a} \quad \text{i} \quad \sin \nu \approx \nu = \frac{\varepsilon_\eta}{\mathcal{F}} = \frac{q\lambda}{b},$$

skąd ostatecznie

$$\varepsilon_\xi = \mu \mathcal{F} = m \frac{\lambda \mathcal{F}}{a} \quad \text{i} \quad \varepsilon_\eta = \nu \cdot \mathcal{F} = q \frac{\lambda \cdot \mathcal{F}}{b}, \quad (12)$$

gdzie  $\varepsilon_\xi$  oznacza odległość danego punktu płaszczyzny ogniskowej od płaszczyzny  $\eta O\zeta$ ,  $\varepsilon_\eta$  — od płaszczyzny  $\xi O\zeta$ .

Otrzymujemy zatem dwa wzajemnie prostopadłe układy punktów (lub prążków), przy czym odstęp w układzie poziomym zależne są jedynie od szerokości szczeliny uginającej, w układzie pionowym — od jej wysokości. Oświetlenie jasnych części już w niewielkiej stosunkowo odległości od środka obrazu staje się znikomo małe (por. rys. 255).



Gdy jeden z wymiarów otworu np.  $b$  jest w porównaniu z drugim bardzo wielki, mianownik drugiego czynnika iloczynu  $M$  staje się w porównaniu z licznikiem, którego wartość bezwzględna wynosi co najwyżej 1, bardzo duży, czynnik ten więc, a co za tym idzie i  $M$ , zbliża się do zera. Amplituda wypadkowa ma wartość skończoną, jedynie dla  $v$  bardzo małego, tylko wtedy bowiem

$$\frac{\sin 2\pi \frac{b \sin v}{2\lambda}}{2\pi \frac{b \sin v}{2\lambda}} \approx \frac{\sin 2\pi \frac{bv}{2\lambda}}{2\lambda}$$

ma wartość różną od zera. Obraz dyfrakcyjny tworzy wtedy wąski pas poziomy, ograniczony (w kierunku pionowym) przez bardzo mały kąt ugięcia  $v$ . W obrazie tym rozkład oświetlenia jest wyznaczony wzorem

$$M^2 = a^2 b^2 \cdot \frac{\sin^2 2\pi \frac{a \sin \mu}{2\lambda}}{\left(2\pi \frac{a \sin \mu}{2\lambda}\right)^2} \quad (f)$$

Miejsca ciemne (mało różniące się od punktu, gdy źródłem jest punkt świecący) są rozmieszczone w odstępach

$$p = \frac{\lambda \mathcal{F}}{a}$$

wzdłuż prostej poziomej.

Najsilniej oświetlone będą te punkty płaszczyzny ogniskowej, w których funkcja

$$f(X) = \frac{\sin X}{X}$$

będzie miała wartość największą, a więc w których

$$\frac{df(X)}{dX} = \frac{X \cos X - \sin X}{X^2} = 0$$

lub

$$\operatorname{tg} X = X. \quad (g)$$

Równanie to można rozwiązać graficznie, wykreślając prostą  $Y=X$  i krzywą  $Y=\operatorname{tg} X$  o asymptotach  $X = \pm \frac{\pi}{2}, \pm \frac{3}{2} \pi$  (rys. 262). Punkty przecięcia prostej z krzywymi dadzą pierwiastki równania (g) w nich bowiem

$$Y=X=\operatorname{tg} X.$$

Pierwiastki te, jak to wyraźnie wykazuje rysunek, dążą do granicy  $(2m+1) \frac{\pi}{2}$ , gdzie  $m$  jest dowolną liczbą całkowitą, większą od zera; punkty przecięcia stają



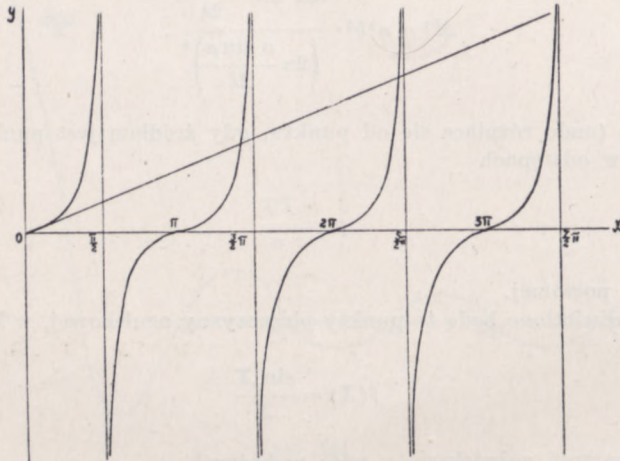
się ze wzrostem  $X$  coraz bliższe asymptot. Dokładne obliczenia dają następujące wartości pierwiastków

$$X_1 = 1,480\pi \approx 0,955 \frac{3\pi}{2}; \quad X_2 = 2,459\pi \approx 0,984 \frac{5}{2} \pi;$$

$$X_3 = 3,471\pi \approx 0,992 \frac{7}{2} \pi; \quad X_4 = 4,477\pi \approx 0,995 \frac{9}{2} \pi;$$

$$X_5 = 5,482\pi \approx 0,997 \frac{11\pi}{2} \text{ itd.}$$

Do tych pierwiastków, odpowiadających bocznym prążkom jasnym, dochodzi jeszcze pierwiastek  $X=0$ , odpowiadający jasnej plamie środkowej obrazu. Przybliżona ich wartość wynosi



Rys. 262

$$0, \quad \frac{3}{2} \pi, \quad \frac{5}{2} \pi, \quad \frac{7}{2} \pi \dots$$

Podstawiając te wartości

$$X = \frac{2\pi a \sin \mu}{2\lambda}$$

do wzoru (f) znajdujemy, że

$$I_0 = C^2 \cdot a^2 \cdot b^2 \cdot 1; \quad I_1 = \left(\frac{2}{3\pi}\right)^2 J_0 = 0,044 J_0; \quad I_2 = \left(\frac{2}{5\pi}\right)^2 J_0 = 0,016 J_0;$$

$$I_3 = \left(\frac{2}{7\pi}\right)^2 J_0 = 0,0083 J_0 \dots$$



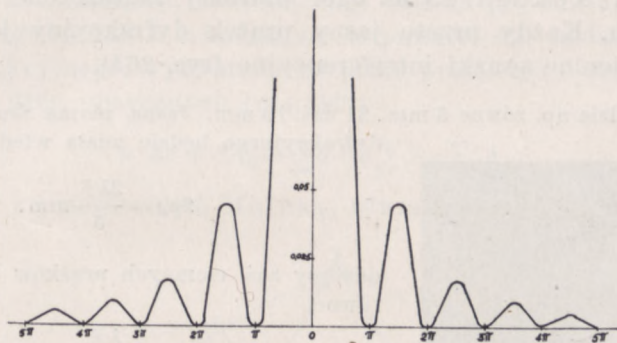
Rozkład tych bardzo szybko malejących oświetleń odtwarza krzywa rys. 263. Wzór (f) moglibyśmy otrzymać również i z konstrukcji Fresnela. Istotnie

$$\sphericalangle OCO_1 = \varphi_0 = ka,$$

długość więc cięgiwy  $OO_1$ , proporcjonalna do wartości amplitudy wypadkowej, wynosi (rys. 258)

$$OO_1 = 2 \varrho \cdot \sin \frac{\varphi_0}{2} = \frac{2}{k} \sin \frac{ka}{2} = \frac{a \sin \frac{ka}{2}}{\frac{ka}{2}} = a \frac{\sin 2\pi a \cdot \frac{\sin \mu}{2\lambda}}{\frac{2\pi a \sin \mu}{2\lambda}}.$$

Przebieg zjawiska możemy zatem ująć w następujący schemat: gdy różnica dróg optycznych promieni, wysyłanych pod danym kątem przez skrajne elementy powierzchni szczeliny, jest równa  $\lambda, 2\lambda, \dots m\lambda$ , powierzch-



Rys. 263

nia szczeliny składa się z dwóch, czterech...  $2m$  równych pasów, równoległych do krawędzi uginającej takich, że każdy element poszczególnego pasa wysyła zaburzenia o fazie przeciwnej do fazy, wysyłanej przez odpowiedni element pasa sąsiedniego; interferencja tych nieskończenie wielu par zaburzeń daje w odpowiednim punkcie płaszczyzny ogniskowej

amplitudę zero; gdy różnica dróg optycznych wynosi  $\frac{3}{2}\lambda, \frac{5}{2}\lambda \dots$  po-

wierzchnia szczeliny składa się z trzech, pięciu...  $(2m+1)$  równych pasów takich, że zaburzenia dwóch pasów sąsiednich znoszą w danym punkcie płaszczyzny ogniskowej swe działania, wobec czego w punkcie tym ujawnia się działanie jednego tylko pasa o powierzchni, równej trzeciej, piątej...  $(2m+1)$  części powierzchni całej szczeliny; w danych punktach powstają prążki jasne o natężeniach, malejących w stosunku takim, jak kwadraty kolejnych liczb nieparzystych.



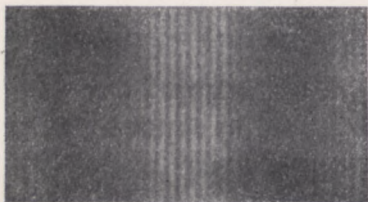
I w tym przeto przypadku, podobnie jak w przypadku kołowych otworów uginających, rozmieszczenie prążków się nie zmieni, gdy szczylinę przesuniemy w jej własnej płaszczyźnie. Dwie jednakowe szczeliny, umieszczone w tej samej płaszczyźnie, będą wytwarzały jednakowe i tak samo rozmieszczone obrazy dyfrakcyjne.

Powtarzając rozumowanie ust. 7, stwierdzimy, że poza prążkami dyfrakcyjnymi tworzyć się będą w płaszczyźnie ogniskowej prążki interferencyjne, rozmieszczone w odstępach

$$p_i = \frac{\lambda \mathcal{F}}{2l},$$

gdzie  $2l$  oznacza odległość środków szczelin. Ponieważ odległość ta jest zawsze większa od szerokości  $a$  pojedynczej szczeliny, prążki interferencyjne (prążki Younga) są na ogół bardziej zagęszczone od prążków dyfrakcyjnych. Każdy przeto jasny prążek dyfrakcyjny jest przecinany przez ciemne prążki interferencyjne (rys. 264).

Niech  $a$  będzie np. równe 5 mm,  $2l$  zaś 10 mm. Jasna plama środkowa obrazu dyfrakcyjnego będzie miała wtedy szerokość



Rys. 264

$$2pa = \frac{2\lambda \mathcal{F}}{5} \text{ mm},$$

odstępy zaś ciemnych prążków Younga będą równe

$$p_i = \frac{\lambda \mathcal{F}}{10} \text{ mm}.$$

Plama środkowa będzie przecięta przez

$$k = \frac{2pa}{p_i} = \frac{2\lambda \cdot \mathcal{F} \cdot 10}{5\lambda \cdot \mathcal{F}} = 4$$

ciemne prążki Younga.

W miejscach, gdzie zbiegać się będą jasne prążki dyfrakcyjne i jasne prążki interferencyjne, oświetlenie będzie cztery razy większe, niż w jasnych prążkach dyfrakcyjnych szczeliny pojedynczej.

#### 10. ZDOLNOŚĆ ROZPOZNAWCZA PROSTOKĄTNEJ SZCZELINY UGINAJĄCEJ. ZDOLNOŚĆ ROZSZCZEPIAJĄCA PRYZMATU

Przypuśćmy teraz, że szczelina uginająca jest oświetlona przez dwa punkty świecące, leżące na prostopadłej do szczeliny uginającej lub też przez dwie wzajemnie równoległe szczeliny, które zresztą mogą nie być równoległe do szczeliny uginającej. Każde z tych źródeł wytwarza w pla-



szczytnie sprzężonej z płaszczyzną, w której znajdują się źródła, obraz dyfrakcyjny, którego środkiem jest obraz geometryczny danego źródła. Przyjmując, jak w ust. 8, że źródła widzimy oddzielnie, gdy pierwsze minimum jednego obrazu dyfrakcyjnego nakłada się na środek obrazu drugiego, znajdziemy, że zdolność rozpoznawcza będzie w tym przypadku wyrażona wzorem

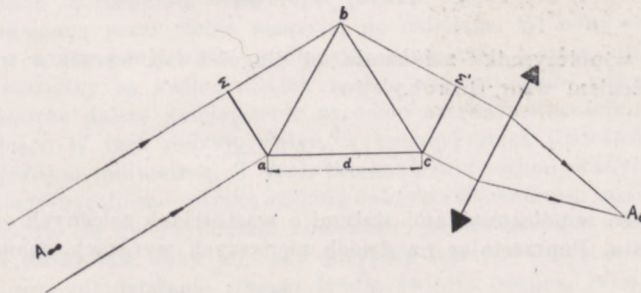
$$\sin \mu_1 \approx \mu_1 = \frac{\lambda}{a} \quad (13)$$

(por. wzór (c)), a więc 1,22 razy większa od zdolności rozpoznawczej przy użyciu otworu kołowego.

Wzór (13) pozwala obliczyć przy jakiej różnicy długości fal różnica kątów odchylenia przy załamaniu w pryzmacie jest dostatecznie wielka, abyśmy mogli widzieć dwie oddzielne linie widmowe. Niech dana wiązka, wychodząca z kolimatora, oświetla cały bok  $ab$  pryzmatu. Skrajne promienie o długości fali  $\lambda$  schodzą się w punkcie  $A_0$ , będącym środkiem obrazu dyfrakcyjnego, wytwarzanego przez promienie o tej długości fali. Różnica ich dróg optycznych (rys. 265)

$$n \cdot ac + cA_0 - \sum b - b \sum' - \sum' A_0 \quad (a)$$

jest, zgodnie z twierdzeniem Malusa, równa zero, punkt  $A_0$  jest bowiem



Rys. 265

obrazem geometrycznym punktu  $A_{\infty}$ , wytwarzanym przez wysyłane z tego punktu promienie o długości fali  $\lambda$ .

W tym samym punkcie  $A_0$  schodzą się również promienie o długości fali  $\lambda'$ , dla nich jednak punkt ten jest miejscem pierwszego minimum, wobec czego różnica ich dróg optycznych równa jest

$$n' \cdot ac + cA_0 - \sum b - b \sum' - \sum' A_0 = \lambda'. \quad (b)$$

Ściśle biorąc, promienie te przebiegają w pryzmacie drogi inne, niż promienie o długości fali  $\lambda$ ; ponieważ jednak różnica długości fal, a więc i współczynników załamania jest znikomo mała, droga rzeczywista promieni  $\lambda'$  różni się o znikomo małą rzędu drugiego od drogi promienia  $\lambda$ .



Odejmując (a) od (b) otrzymujemy

$$(n' - n)ac = \lambda'$$

lub, kładąc

$$n' - n = \Delta n = \frac{dn}{d\lambda} \Delta \lambda \quad \text{i} \quad ac = d$$

i zastępując  $\lambda'$  przez  $\lambda$

$$\frac{\lambda}{\Delta \lambda} = d \cdot \frac{dn}{d\lambda} \quad (14)$$

(wzór Rayleigha). Wielkość  $\frac{\lambda}{\Delta \lambda}$ , tym większą, im mniejsza jest różnica długości fal linii widmowych, które możemy widzieć oddzielnie, nazywamy zdolnością rozszczepiającą pryzmatu. W tych samych pozostałych warunkach zdolność ta wzrasta ze wzrostem grubości podstawy pryzmatu. Dla układu  $N$  jednakowej grubości pryzmatów otrzymamy

$$\frac{\lambda}{\Delta \lambda} = N \cdot d \cdot \frac{dn}{d\lambda}. \quad (14a)$$

Zależność współczynnika załamania od długości fali wyraża z wystarczającym nieraz przybliżeniem wzór Cauchy'ego

$$n = a + \frac{b}{\lambda^2} + \frac{c}{\lambda^4} + \dots$$

gdzie  $a, b, c, \dots$  są współczynnikami stałymi o wartościach zależnych od rodzaju materiału pryzmatu. Poprzestając na dwóch pierwszych wyrazach, mamy

$$n = a + \frac{b}{\lambda^2}; \quad \text{i} \quad \frac{dn}{d\lambda} = -\frac{2b}{\lambda^3}.$$

W pryzmacie o podstawie 1 cm (pryzmat normalny) z tzw. flintu Rosette'a, dla którego  $b = 0,914708 \cdot 10^{-10}$  (Mascart), zdolność rozszczepiająca w pobliżu linii  $D$  sodu wynosi

$$\frac{\lambda}{\Delta \lambda} = \frac{1,83 \cdot 10^{-10}}{2 \cdot 10^{-13}} = 0,9 \cdot 10^3 = 900.$$

Cheąc zatem otrzymać linię  $D_1$  i  $D_2$  widma, dla których

$$\frac{\lambda}{\Delta \lambda} = 1178$$

musielibyśmy użyć pryzmatu o podstawie co najmniej 1,3 cm.



W fioletowej części widma zdolność rozszczepiająca pryzmatów szklanych jest na ogół większa. Stosując wzór Cauchy'ego, otrzymujemy dla rozpatrywanego wyżej pryzmatu przy  $\lambda = 400 \text{ m}\mu = 400 \cdot 10^{-7} \text{ cm}$

$$\frac{\lambda}{\Delta\lambda} = \frac{1,83 \cdot 10^{-10}}{0,64 \cdot 10^{-13}} = 2,9 \cdot 10^3 = 2900.$$

## 11. SIATKI DYFRAKCYJNE

Szczególnie ważnym, ze względu na liczne zastosowania, układem uginającym jest układ wielu szczelin równoległych i rozmieszczonych w jednakowych odstępach. Układ taki, zbadany po raz pierwszy przez Fraunhofera (1823), stanowi tzw. siatkę dyfrakcyjną.

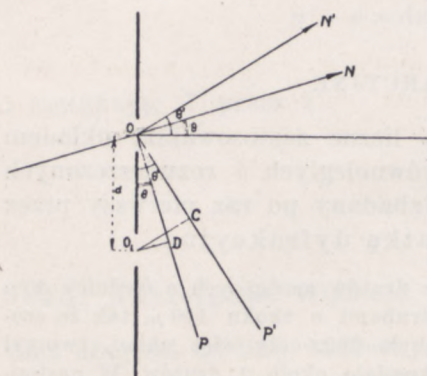
Początkowo Fraunhofer używał siatki z drutów mosiężnych o średnicy  $50 \mu$  naciągniętych między dwiema równoległymi śrubami o skoku  $150 \mu$ , tak że szerokość szczelin wynosiła  $100 \mu$ . Drutów tych było 260, cały więc układ tworzył pas szerokości  $39 \text{ mm}$ , na jeden milimetr przypadало około 7 drutów. W następnych doświadczeniach używał szczelin węższych, żłobiąc maszyną do dzielenia rowki w warstewkach złota, tłuścuzu lub werniksu. Te rowki były przezroczystymi szczelinami. Na tej drodze udało się Fraunhoferowi otrzymać około 80 szczelin na  $1 \text{ mm}$ . Jeszcze lepsze wyniki osiągnął, kreśląc na płytce szklanej rysy diamentem, wtedy jednak szczelinami były części płytki, znajdujące się między rysami, same zaś rysy stanowiły nieprzezroczystą część przesłony. Następcy Fraunhofera udoskonalili tę technikę, otrzymując jak np. Rowland (1882 r.), który posługiwał się zbudowaną przez siebie maszyną do dzielenia, do 800 szczelin na  $1 \text{ mm}$ . W siatkach, w których uginaniu podlegają promienie odbite (p. niżej), w których przeto szczeliny są zwierciadłami, można zamiast szkła używać metalu, co pozwala na jeszcze dalsze zmniejszenie zarówno szerokości szczelin, jak i ich wzajemnej odległości. W tego rodzaju siatce, wykonanej przez Rowlanda, było około 1700 rys na jednym milimetrze. Z tych mechanicznie wykonywanych siatek można otrzymać kopie fotograficzne: płytkę szklaną pokrywa się wodnym roztworem żelatyny, do którego dodaje się dwuchromianu amoniaku; po wysuszeniu w ciemności płytkę zakłada się na siatkę tak, żeby jej rysy dotykały żelatyny i wystawia się na krótkotrwałe (kilka sekund) działanie silnego źródła światła (słońca, łuku elektrycznego), po czym płytkę zdejmuje się z siatki i płucze w ciepłej wodzie; żelatyna, pokrywająca przezroczyste miejsce siatki, staje się pod działaniem światła nierozpuszczalna w wodzie, wobec czego płukanie usuwa żelatynę tylko z tych miejsc, które były przykryte nieprzezroczystymi częściami siatki, te właśnie miejsca będą w otrzymanej kopii szczelinami, kopia będzie przeto jakby negatywem siatki. Zwykle fotografowanie przy pomocy aparatów fotograficznych daje dobre wyniki tylko przy niewielkiej gęstości szczelin (rzędu kilkudziesięciu szczelin na milimetr), obrazy bowiem punktów świecących nie są nigdy, jak wiemy, punktami, lecz plamkami o promieniu

$$e = 1,22 \frac{\lambda F}{D},$$

co, rzecz prosta, wpływa ujemnie na ostrość obrazów szczelin, gdy ich odległość wzajemna zbliża się do tej granicy.



W najprostszym teoretycznie przypadku, gdy szerokość szczelin nie przekracza długości fali, żadna z poszczególnych szczelin nie wytwarza sama obrazu dyfrakcyjnego, światło bowiem, przez każdą z nich wysyłane, ma we wszystkich kierunkach mniej więcej to samo natężenie.



Rys. 266

Obraz dyfrakcyjny powstaje dopiero na skutek interferencji wiązek promieni, wychodzących z różnych szczelin.

Niech  $O$  i  $O_1$  będą środkami geometrycznymi dwóch sąsiednich szczelin siatki (rys. 266), na którą pada fala płaska  $P$ , tworząca kąt  $\theta$  z płaszczyzną siatki. Zaburzenia, wysyłane przez każdą ze szczelin w kierunku, tworzącym kąt  $\theta'$  z normalną, będą miały tę samą fazę początkową, co zaburzenia, wysyłane przez środkowy element jej powierzchni, wobec czego w punkcie interferencji różnica faz zaburzeń, wysyłanych przez dwie sąsiednie szczeliny, wyniesie

$$\varphi = \frac{2\pi\Delta}{\lambda} = \frac{2\pi}{\lambda} (O_1C - O_1D) = \frac{2\pi d}{\lambda} (\sin \theta' - \sin \theta), \quad (15)$$

gdzie  $d$  — stała siatki — równa odległości wzajemnej dwóch odpowiadających sobie geometrycznie elementów powierzchni szczelin, w danym przypadku — szczelin bardzo wąskich — znikomo mało różni się od odstępów  $b$  między szczelinami.

Amplitudę zaburzenia wypadkowego, otrzymanego przy interferencji promieni, wysyłanych przez wszystkie szczeliny w tym samym kierunku  $\theta'$ , otrzymamy przy pomocy konstrukcji Fresnela.

W przypadku siatki o trzech szczelinach wypadkowa amplituda zaburzeń wysyłanych w kierunku światła padającego ( $\theta' = \theta$ ) jest trzykrotnie większa od amplitudy zaburzenia wysyłanego w tym samym kierunku przez jedną szczelinę; ze wzrostem kąta  $\theta'$  amplituda ta maleje dochodząc przy  $\varphi = 90^\circ$  do wartości równej amplitudzie jednego zaburzenia składowego (rys. 267) i do wartości zero przy  $\varphi = 120^\circ$ , wtedy

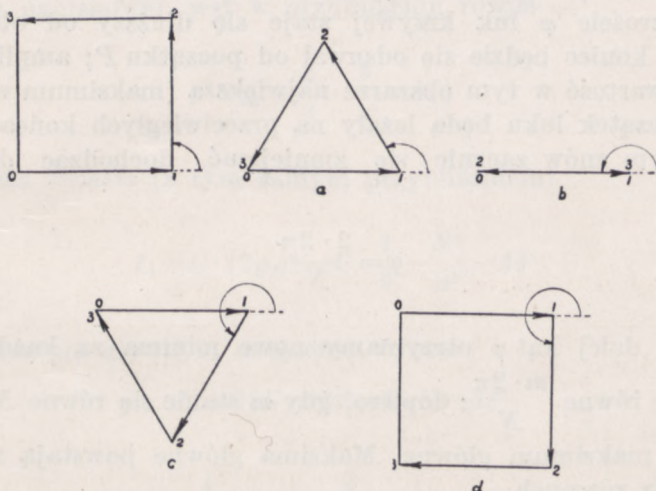
bowiem wektory  $\vec{01}$ ,  $\vec{12}$ ,  $\vec{23}$  tworzą trójkąt (rys. 267a). Przy dalszym wzrastaniu kąta  $\theta'$  amplituda wypadkowa znów wzrasta do wartości  $\vec{01} = \vec{12} = \vec{23}$ , gdy  $\varphi = 180^\circ$  (rys. 267b); następnie spada do zera przy  $\varphi = 240^\circ$  (rys. 267c), aby przy  $\varphi = 270^\circ$  (rys. 267d) wzrosnąć do wartości  $\vec{01}$  i wreszcie przy  $\varphi = 360^\circ$  znów dojść do wartości trzykrotnie większej



od amplitudy 01. Przyjmując amplitudę tę za równą jedności, znajdujemy, że natężenie wypadkowe przybiera wartości następujące:

$$\begin{array}{cccccccc} \varphi=0^{\circ}, & 90^{\circ}, & 120^{\circ}, & 180^{\circ}, & 240^{\circ}, & 270^{\circ}, & 360^{\circ} \\ I=9; & 1; & 0; & 1; & 0; & 1; & 9. \end{array}$$

Kątom  $\varphi$  równym  $0^{\circ}$  i  $360^{\circ}$  odpowiadają największe wartości natężeń tzw. maksima główne (maximum maximorum), wartościom  $\varphi=120^{\circ}$  i  $240^{\circ}$  natężenia równe zero — minima obrazu dyfrakcyjnego (lub raczej zgodnie z przyjętą przez nas terminologią — obrazu inter-



Rys. 267, a, b, c, d,

ferencyjnego), pomiędzy którymi przy  $\varphi=180^{\circ}$  otrzymujemy znów pewne wzmocnienie natężenia, słabsze jednak, niż przy  $\varphi=0^{\circ}$  i  $360^{\circ}$  tzw. maksimum wtórne.

Podobnie dla siatki o czterech szczelinach znajdziemy dwa maksima główne przy  $\varphi=0$  i  $\varphi=2\pi$ , trzy minima przy  $\varphi=\frac{\pi}{2}, \pi, \frac{3}{2}\pi$  i wreszcie dwa maksima wtórne przy  $\varphi$  mniej więcej równym  $\frac{3}{4}\pi$  i  $\frac{5}{4}\pi$ ; dla siatki o pięciu szczelinach dwa maksima główne ( $\varphi=0, 2\pi$ ), cztery minima ( $\varphi=\frac{2}{5}\pi, \frac{4}{5}\pi, \frac{6}{5}\pi, \frac{8}{5}\pi$ ) i trzy minima wtórne itd.

Gdy liczba  $N$  szczelin jest bardzo wielka, linię łamaną konstrukcji Fresnela możemy zastąpić linią krzywą, której elementarne odcinki  $\Delta\xi$  są proporcjonalne do amplitud zaburzeń, wysyłanych przez poszczególne szczeliny. Dla  $\varphi=0, 2\pi, 4\pi$  krzywa przechodzi w linię prostą: amplituda



wypadkowa równa jest sumie arytmetycznej amplitud składowych, tym przeto różnicom faz odpowiadają maksima główne. Przy wszystkich innych wartościach kąta  $\varphi$  krzywa będzie czyniła zadość równaniu koła (por. wzór b ust. 9). Ze wzrostem  $\varphi$  promień tego koła będzie się zmniejszał, koniec przeto łuku o stałej długości  $N \cdot \Delta\xi$  będzie się przybliżał do jego początku, tak że przy

$$\varphi = \frac{2\pi}{N}$$

łuk się zamknie, amplituda wypadkowa stanie się równa zero. Przy dalszym wzroście  $\varphi$  łuk krzywej staje się dłuższy od obwodu koła, tak że jego koniec będzie się odsuwał od początku  $P$ ; amplituda osiągnie pewną wartość w tym obszarze największą (maksimum wtórne), gdy koniec i początek łuku będą leżały na przeciwległych końcach średnicy koła, po czym znów zacznie się zmniejszać, dochodząc do wartości zero przy

$$\varphi = \frac{2 \cdot 2\pi}{N}.$$

Zwiększając dalej kąt  $\varphi$  otrzymamy nowe minima za każdym razem, gdy  $\varphi$  będzie równe  $\frac{m \cdot 2\pi}{N}$ ; dopiero, gdy  $m$  stanie się równe  $N$ , będziemy mieli nowe maksimum główne. Maksima główne powstają zatem przy różnicach faz równych

$$\varphi = q \cdot 2\pi = 2q \cdot \pi, \quad (16)$$

gdzie  $q$  jest zerem lub dowolną liczbą całkowitą, minima przy

$$\varphi = 2q \cdot \pi + \frac{2m\pi}{N}, \quad (16a)$$

gdzie  $m$  jest dowolną liczbą całkowitą, mniejszą od  $N$ . W obszarze między dwoma miejscami o oświetleniu najmniejszym będzie zawsze leżało miejsce, którego oświetlenie będzie w danym obszarze największe. Z wystarczającym często przybliżeniem można przyjąć (por. ust. 9), że tym miejscom — maksima wtórne — odpowiada różnica faz

$$\varphi = 2q \cdot \pi + \frac{(2m + 1)\pi}{N}. \quad (16b)$$

W płaszczyźnie ogniskowej obiektywu lunety, przez którą obserwujemy zjawisko, powinniśmy zatem otrzymać między dwoma jasnymi prążkami,



których oświetlenie jest  $N^2$  razy większe od oświetlenia przez pojedynczą szczelinę (maksima główne),  $N - 1$  prążków zupełnie ciemnych, oddzielonych jeden od drugiego prążkami nieco jaśniejszymi (maksima wtórne).

Pierwszy tego rodzaju prążek powstanie, gdy  $\varphi$  będzie mniej więcej równe  $\frac{3\pi}{N}$ , gdy więc długość krzywej konstrukcji Fresnela będzie wynosiła półtora obwodu koła o promieniu

$$3\pi \varrho_1 = N \cdot \Delta \xi,$$

wypadkowa przeto amplituda zaburzeń, interferujących w tym miejscu płaszczyzny ogniskowej, jest w przybliżeniu równa

$$2\varrho_1 = \frac{2}{3} \cdot \frac{N}{\pi} \cdot \Delta \xi,$$

natężenie zaś światła (z tym samym przybliżeniem)

$$I_1 = C \cdot (2\varrho_1)^2 = C \cdot \frac{4}{9} \cdot \frac{N^2}{\pi^2} \cdot \Delta \xi^2.$$

W maksimum głównym natężenie wynosi

$$I_0 = C(N \cdot \Delta \xi)^2 = C \cdot N^2 \cdot \Delta \xi^2$$

stąd

$$I_1 = \frac{4}{9\pi^2} \cdot I_0 = \frac{4}{3^2 \cdot \pi^2} \cdot I_0 = 0,045 I_0.$$

Podobnie znajdziemy, że

$$I_2 = C \cdot (2\varrho_2)^2 = C \left(\frac{2}{5}\right)^2 \cdot \frac{N^2}{\pi^2} \cdot \Delta \xi^2 = \frac{4}{5^2 \pi^2} \cdot I_0 = 0,015 I_0 \text{ itd.}$$

Oświetlenie zatem miejsce, w których powstają maksima wtórne, maleją w stosunku mniej więcej takim, jak kwadraty całkowitych liczb nieparzystych.

Przypuścimy, że promienie padają prostopadle na siatkę ( $\Theta = 0^\circ$ ); wzór (15) przybiera wtedy postać

$$\varphi = \frac{2\pi}{\lambda} d \cdot \sin \Theta' = \frac{2\pi}{\lambda} \cdot d \sin \mu, \quad (a)$$

gdzie, jak w ust. 9,  $\mu$  oznacza kąt ugięcia promieni.



Minima, powstające w pobliżu środkowego maksimum głównego ( $\varphi=0$ ), są utworzone przez interferencję promieni, ugiętych w kierunkach, wyznaczonych równaniem (16a), w którym  $q=0$ ,

$$\frac{2m\pi}{N} = \frac{2\pi}{\lambda} d \sin \mu,$$

stąd

$$\sin \mu = \frac{m \cdot \lambda}{N \cdot d}.$$

Przy znaczniejszej nieco szerokości siatki  $Nd$  (rzędu kilku lub nawet paru centymetrów) dla bliższych środka prążków ciemnych ( $m$  niewielkie) można przyjąć

$$\sin \mu \approx \mu,$$

skąd różnica kolejnych wartości

$$\delta = \mu_2 - \mu_1 = \mu_3 - \mu_2 = \frac{\lambda}{Nd}.$$

Prążki ciemne, a co za tym idzie, i rozmieszczone między nimi maksima wtórne są bardzo gęste, obraz więc powstający koło maksimum głównego ma wobec szybko zmniejszającego się oświetlenia prążków maksimów wtórnych małą rozciągłość, a ponieważ tego rodzaju rozkład oświetlenia powtarza się w sąsiedztwie każdego maksimum głównego, ostatecznie widzimy tylko te maksima w postaci cienkich jasnych prążków na prawie zupełnie ciemnym tle.

Jedna z siatek Rowlanda miała szerokość około 7 cm. Przy oświetlaniu światłem o długości fali  $0,5 \mu$ , padającym prostopadle na siatkę, szerokość kątowna prążka jasnego wynosiła

$$2\mu_1 = \frac{0,5 \cdot 10^{-4}}{7} = 0,7 \cdot 10^{-5} \approx 1,46',$$

odległość zaś kątowna od środka obrazu drugiego maksimum wtórnego, którego oświetlenie niewiele przekracza  $\frac{1}{60}$  oświetlenia prążka środkowego, około

$$\mu'_2 = \frac{0,75 \cdot 10^{-4}}{7} = 1,07 \cdot 10^{-5} = 2,2''.$$

Rozciągłość zatem obrazu dyfrakcyjnego z każdej strony środka równa była  $1,47''$ , a więc bardzo mała w porównaniu z odległością kątowną pierwszego prążka maksimum głównego

$$\sin \mu'_{\max} = \frac{\lambda}{d},$$

wynoszącą przy  $d=6 \cdot 10^{-4}$  mm ( $N=110000$ ) mniej więcej  $54^\circ$ .



Gdy światło pada na siatkę prostopadle ( $\theta=0$ ) maksima główne są rozmieszczone symetrycznie względem środka obrazu. Różnica bowiem faz wiązek, wychodzących z dwóch sąsiednich szczelin i ugiętych w kierunkach symetrycznych względem normalnej (rys. 268) będzie miała tę samą wartość bezwzględną. Jeżeli więc umówimy się liczyć różnicę faz od szczeliny  $O$ , zaburzenie wysyłane przez szczeliny  $O_1, O_2, \dots$  pod kątem  $\theta'$ , będą opóźnione, różnica faz między zaburzeniem, wysyłanym przez szczelinę  $O$ , i zaburzeniami, wysyłanymi przez szczeliny dalsze, będzie dodatnia, kąt  $\theta'$ , będzie miał także wartość dodatnią, jak to wynika bezpośrednio ze wzoru (15)

$$\varphi = \frac{2\pi}{\lambda} \cdot d \cdot \sin \theta'_1$$

Zaburzenia wysyłane przez szczeliny pod kątem  $\theta'_2$ , będą wyprzedzały zaburzenia, wysyłane przez  $O$ ; różnica faz i co za tym idzie wartość kąta  $\theta'_2$  będzie ujemna. Równym jednak wartościom bezwzględnym różnicy faz odpowiadać będą równe wartości bezwzględne kątów  $\theta'_1$  i  $\theta'_2$ , maksima główne będą zatem powstawały w tych samych odległościach katowych po obu stronach obrazu geometrycznego szczeliny oświetlającej, będziemy mieli

$$\sin \theta'_1 = \frac{q \cdot \lambda}{d} \quad \text{i} \quad \sin \theta'_2 = -\frac{q \lambda}{d}$$

Symetria ta jest naruszona, gdy promienie padają na siatkę pod kątem  $\theta \neq 0$ . Wtedy maksima główne są wyznaczone wzorem

$$\sin \theta'_1 = \frac{q \cdot \lambda}{d} + \sin \theta \quad \text{i} \quad \sin \theta'_2 = -\frac{q \cdot \lambda}{d} + \sin \theta$$

Niech  $\theta$  będzie równe  $45^\circ$ ; kąty  $\theta'_1$  będą miały w siatce o 100 szczelinach na 1 mm kolejne wartości mniej więcej równe  $49^\circ, 54^\circ, 59^\circ, \dots$  kąty zaś  $\theta'_2 = -41^\circ, -37^\circ 30', -33^\circ 30', \dots$ ; odległość więc katowa od obrazu geometrycznego trzeciego np. maksimum głównego będzie wynosiła po jednej stronie  $14^\circ$ , po drugiej  $-11^\circ 30'$ . Ta niesymetryczność staje się przy niewielkich, bliskich zera wartościach kąta  $\theta$  mała. Tak np. dla  $\theta = 1^\circ$ ,  $\theta'_1 = 3^\circ 50', 6^\circ 45', 9^\circ 37', \dots$ ;  $\theta'_2 = -1^\circ 50', -4^\circ 45', -7^\circ 37', \dots$

Odległości więc katowe trzecich maksimum głównych będą miały po obu stronach w przybliżeniu tę samą wartość  $8^\circ 37'$ . Dlatego też przy używaniu siatki dy-



frakcyjnej przestrzeganie, aby światło padało na siatkę dokładnie pod kątem prostym, nie jest rzeczą konieczną; wystarczy, aby kąt  $\Theta$  niewiele się różnił od zera. Za kąt ugięcia należy wszakże brać nie kąt  $\Theta'$ , lecz  $\Theta' - \Theta$ .

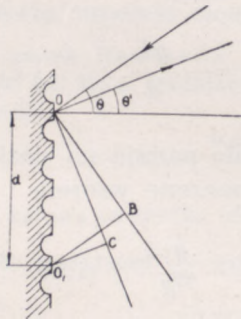
Analogiczny rozkład oświetlenia otrzymamy, używając siatki odbijającej, w której przezroczyste szczeliny są zastąpione przez odbijające paski zwierciadlane, leżące między nieprzezroczystymi rysami, wrytymi na powierzchni płytki z materiału nieprzezroczystego np. metalu lub szkła, pokrytego warstwą srebra.

Niech  $O, O_1$  będą środkami geometrycznymi bardzo cienkich (o szerokości rzędu długości fali) pasów zwierciadlanych (rys. 269)  $\Theta$  — kątem padania światła,  $\Theta'$  — kątem, jaki promienie, ugięte przez pas, będący zgodnie z zasadą Huygensa-Fresnela nowym źródłem światła, tworzą z normalną do siatki. Różnica faz zaburzeń, wysyłanych w tym kierunku, jest równa

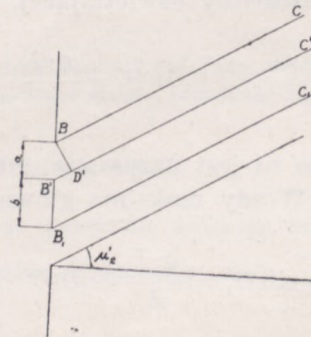
$$\varphi = \frac{2\pi}{\lambda} (O_1B + O_1C) = \frac{2\pi}{\lambda} d(\sin \Theta' + \sin \Theta), \quad (17)$$

wyrazi się więc wzorem, który otrzymamy ze wzoru (15), podstawiając do niego  $-\Theta$  zamiast  $\Theta$ .

W rzeczywistości jednak zarówno przy użyciu siatek przezroczystych, jak i odbijających należy brać pod uwagę szerokość szczelin (lub pasów zwierciadlanych), zazwyczaj nawet w siatkach o rysach bardzo gęstych, o rzędzie wielkości  $1 \mu$ . Każda bowiem z tych szczelin daje własny obraz dyfrakcyjny, tym samym przeto założenie, że amplitudy zaburzeń, wy-



Rys. 269



Rys. 270

syłanych przez szczelinę, mają we wszystkich kierunkach wartości jednakowe, okazuje się niesłuszne. Obraz dyfrakcyjny w płaszczyźnie ogniskowej obiektywu powstaje przez nałożenie na obraz dyfrakcyjny siatki o szczelinach bardzo cienkich obrazu dyfrakcyjnego poszczególniej szcze-



liny (ściślej mówiąc, obrazów dyfrakcyjnych poszczególnych szczelin; obrazy te są jednak, jak wiemy, identyczne i identycznie rozmieszczone, sprowadzają się przeto do obrazu jednej szczeliny).

Wyznaczając więc rozkład oświetleń, musimy brać pod uwagę nie tylko różnicę dróg promieni, wysyłanych przez odpowiadające sobie geometrycznie elementy powierzchni sąsiednich szczelin, lecz również i różnicę dróg promieni, wysyłanych przez skrajne elementy tej samej szczeliny. W kierunku bowiem, w którym zaburzenia, wysyłane przez elementy pojedynczej szczeliny, wzajemnie się znoszą, nie może powstać w żadnym przypadku jasny prążek obrazu dyfrakcyjnego. Tak np. niech  $\mu'_2$  (rys. 270) będzie kątem ugięcia, odpowiadającym drugiemu maksimum głównemu obrazu dyfrakcyjnego siatki. Różnica dróg promieni  $BC$  i  $B_1C_1$ , wysyłanych przez odpowiadające sobie elementy powierzchni sąsiednich szczelin, jest wtedy, zgodnie ze wzorem (15), w którym kładziemy  $\Theta=0$ , i (16), równa

$$2\lambda = d \cdot \sin \mu'_2 = (a + b) \sin \mu'_2,$$

gdzie  $a$  jest szerokością szczeliny,  $b$  — odstępem między szczelinami; różnica zaś dróg skrajnych promieni  $B'C'$  i  $BC$  tej samej szczeliny wynosi

$$A = B'D' = a \sin \mu'_2.$$

Gdy  $a=b$ ,  $A=\lambda$ , kierunkowi więc  $\mu'_2$  odpowiada ciemny prążek obrazu dyfrakcyjnego szczeliny, wobec czego w obrazie dyfrakcyjnym siatki drugiego maksimum nie będzie. Podobnie rzecz się będzie miała z 4, 6...  $2q$ -tym maksimum, będziemy bowiem mieli

$$2q\lambda = 2a \cdot \sin \mu'_{2q} \quad \text{i} \quad m\lambda = a \sin \mu'_{2q}.$$

Pozostaną jedynie nieparzyste maksima obrazu dyfrakcyjnego siatki, dla których

$$(2q+1)\lambda = 2a \sin \mu'_{2q+1} \quad \text{i} \quad (2m+1)\frac{\lambda}{2} = a \sin \mu'_{2q+1}.$$

Maksima te będą miały natężenia stopniowo, w miarę wzrostu kąta ugięcia, malejące (por. ust. 9), tak że maximum maximorum oświetlenia będzie w prążku jasnym, leżącym w obrazie geometrycznym źródła.

W ten sam sposób można wykazać, że gdy  $a = \frac{b}{2}$ , w obrazie dyfrakcyjnym siatki znikną maksima główne: trzecie, szóste, dziewiąte itd.; gdy  $a = \frac{b}{3}$ , znikną: czwarte, ósme, dwunaste itd.



Amplituda zaburzeń, wysyłanych przez poszczególne szczeliny w kierunku  $\mu$ , wyznaczonym ze wzoru (p. ust. 9)

$$\sin \mu = \cos \alpha' - \cos \alpha = \sin \Theta' - \sin \Theta,$$

wynosi (p. wzór f, ust. 9)

$$M' = C' \cdot \frac{\sin 2\pi \frac{a \sin \mu}{2\lambda}}{2\pi \frac{a \sin \mu}{2\lambda}}.$$

Różnica zaś faz zaburzeń, wysyłanych przez odpowiadające sobie geometryczne elementy powierzchni dwóch szczelin sąsiednich, jest, zgodnie z równaniem (15), równa

$$\varphi = \frac{2\pi \cdot d}{\lambda} \sin \mu.$$

Wobec tego, przyjmując fazę początkową zaburzenia, wysyłanego przez szczelinę, od której liczymy różnicę faz, za równą zeru, możemy zaburzenie wypadkowe wyrazić wzorem

$$Y = C \cdot M' \left\{ \sin \frac{2\pi t}{T} + \sin \left( \frac{2\pi t}{T} + \varphi \right) + \sin \left( \frac{2\pi t}{T} + 2\varphi \right) + \dots + \sin \left[ \frac{2\pi t}{T} + (N-1)\varphi \right] \right\}.$$

Jest to suma  $N$  wektorów równych, których kąty z osią odniesienia wzrastają w postępie arytmetycznym; faza zatem wektora wypadkowego jest średnią arytmetyczną faz wektorów krańcowych:  $0$  i  $(N-1)\varphi$ , mamy więc

$$Y = C \cdot M \cdot \sin \left( \frac{2\pi t}{T} - \frac{N-1}{2} \varphi \right).$$

Podobnie znajdujemy, że suma  $N$  wektorów

$$Y' = C M' \left[ \sin \left( \frac{2\pi t}{T} - \varphi \right) + \dots + \sin \left( \frac{2\pi t}{T} - N\varphi \right) \right]$$

jest równa

$$Y' = C M \cdot \sin \left( \frac{2\pi t}{T} - \frac{N+1}{2} \varphi \right),$$

amplituda bowiem wektora wypadkowego zależy nie od wartości bezwzględnych, lecz od różnicy faz. Mamy przeto

$$\begin{aligned} Y' - Y &= C \cdot M \left[ \sin \left( \frac{2\pi t}{T} - \frac{N+1}{2} \varphi \right) - \sin \left( \frac{2\pi t}{T} - \frac{N-1}{2} \varphi \right) \right] = \\ &= C M' \left[ \sin \left( 2\pi \frac{t}{T} - N\varphi \right) - \sin \frac{2\pi t}{T} \right], \end{aligned}$$

skąd

$$M' \cdot 2 \sin \left( -\frac{N\varphi}{2} \right) \cos \left( \frac{2\pi t}{T} - \frac{N\varphi}{2} \right) = M \cdot 2 \sin \left( -\frac{\varphi}{2} \right) \cos \left( \frac{2\pi t}{T} - \frac{N\varphi}{2} \right),$$



wobec czego

$$M = M' \frac{\sin \frac{N\varphi}{2}}{\sin \frac{\varphi}{2}} = C' \cdot \frac{\sin 2\pi \frac{a \sin \mu}{2\lambda}}{2\pi \frac{a \sin \mu}{2\lambda}} \cdot \frac{\sin 2\pi N \frac{a \sin \mu}{2\lambda}}{\sin 2\pi \frac{a \sin \mu}{2\lambda}} \quad (18)$$

Szczelina o szerokości rzędu długości fali nie daje, jak wiemy, obrazu dyfrakcyjnego; amplitudy zaburzeń, przez nią wysyłanych, mają we wszystkich kierunkach wartości jednakowe,  $M'$  równe jest  $C'$ , mamy wtedy

$$M = C' \frac{\sin 2\pi N \cdot \frac{d \sin \mu}{2\lambda}}{\sin 2\pi \cdot \frac{d \sin \mu}{2\lambda}} \quad (18a)$$

lub kładąc

$$2\pi d \frac{\sin \mu}{2\lambda} = u,$$

$$M = C' \frac{\sin Nu}{\sin u} = C'B. \quad (18b)$$

Dla  $u = q\pi$ ,  $B = N$  i  $M = C'N$ .

Maksima główne powstają zatem w kierunkach, wyznaczonych wzorem

$$2\pi d \sin \mu = 2\pi \cdot \lambda = q \cdot 2\pi \cdot \lambda \quad \text{lub} \quad \sin \mu = \frac{q\lambda}{d},$$

a którym odpowiadają różnice faz

$$\varphi = \frac{2\pi d \cdot \sin \mu}{\lambda} = q \cdot 2\pi,$$

zgodnie ze wzorem (16). Dla

Dla  $u = q\pi + \frac{m\pi}{N}$ , gdzie  $m$  jest dowolną liczbą całkowitą, mniejszą od  $N$ ,

$$M = 0.$$

Minima powstają przeto w kierunkach

$$\sin \mu = \frac{q\lambda + \frac{m}{N}\lambda}{d},$$

którym odpowiadają różnice faz

$$\varphi = \frac{2d\pi \cdot \sin \mu}{\lambda} = q \cdot 2\pi + \frac{m}{N} \cdot 2\pi,$$

zgodnie ze wzorem (16a).



Kierunki, w których powstają maksima główne i wtórne, wyznaczamy, biorąc pochodną  $M$  względem  $u$  i przyrównując ją do zera,

$$\frac{dM}{du} = C' \frac{dB}{du} = C' \frac{N \cdot \cos Nu \cdot \sin u - \sin Nu \cdot \cos u}{\sin^2 u} = 0$$

lub

$$C' \frac{\sin Nu}{\sin u} (N \cdot \operatorname{ctg} Nu - \operatorname{ctg} u) = C'B (N \operatorname{ctg} Nu - \operatorname{ctg} u) = 0.$$

Ponieważ  $B=0$  tylko dla wartości  $u$ , wyznaczających minimum amplitudy, warunek maksimum wyrażony jest równaniem

$$N \operatorname{ctg} Nu = \operatorname{ctg} u. \quad (b)$$

Pierwiastki tego równania można znaleźć graficznie, kreśląc krzywe  $z = \operatorname{ctg} Nu$  i  $z = \operatorname{ctg} u$  i znajdując ich punkty przecięcia. Okazuje się, że równanie to jest spełnione nie tylko dla  $u = \pi, 2\pi, 3\pi, \dots$  gdy otrzymujemy maksima główne, lecz i dla wartości pośrednich. Tych pośrednich pierwiastków jest między dwoma kolejnymi pierwiastkami  $q\pi$  i  $(q+1)\pi$  (maksima główne)  $N-2$ . Z wystarczającym zazwyczaj przybliżeniem można je przyjąć za równe

$$u_1 = q\pi + \frac{3}{2} \frac{\pi}{N}; \quad u_2 = q \cdot \pi + \frac{5}{2} \cdot \frac{\pi}{N} \dots$$

zgodnie ze wzorem (16b).

Ze wzoru (b) wynika, że

$$N^2 \frac{\cos^2 Nu}{\sin^2 Nu} = \frac{\cos^2 u}{\sin^2 u},$$

skąd

$$\frac{\sin^2 Nu}{\sin^2 u} = \frac{N^2}{1 + (N^2 - 1) \sin^2 u}.$$

Oświetlenie więc miejsc, w których tworzą się prążki jasne, a którego miarą jest  $M^2$ , wynosi

$$I = C^2 B_{\max}^2 = C^2 \frac{N^2}{1 + (N^2 - 1) \sin^2 u}. \quad (19)$$

W tych miejscach, w których powstają maksima główne,  $\sin u = 0$ , oświetlenie zatem

$$I_0 = C^2 N^2, \quad (19a)$$

w miejscach zaś, gdzie tworzą się maksima wtórne, oświetlenia są mniej więcej równe

$$I'_0 = C^2 \frac{N^2}{1 + (N^2 - 1) \sin^2 \left( m + \frac{1}{2} \right) \frac{\pi}{N}} \quad (c)$$



Kąt  $\left(m + \frac{1}{2}\right) \pi$  jest zawsze różny od zera, oświetlenia zatem w tych miejscach są zawsze mniejsze od  $I_0$  i to tym mniejsze, im większe jest  $m$ , a więc im w większej od maksimum głównej odległości leży dane maksimum wtórne. Mamy

$$u = q \cdot \pi + \frac{3}{2} \frac{\pi}{N}, \quad q \cdot \pi + \frac{5}{2} \frac{\pi}{N} \dots$$

Dla małych wartości  $m$  (maksima wtórne bliskie maksimum głównego) możemy przyjąć

$$\sin^2 u \approx \left(\frac{3}{2} \frac{\pi}{N}\right)^2, \quad \left(\frac{5}{2} \frac{\pi}{N}\right)^2 \dots,$$

skąd po podstawieniu do (c) i uwzględnieniu równania (19a) otrzymujemy

$$\frac{I'_0}{C^2 N^2} = \frac{I'_0}{I_0} \approx \frac{4}{9\pi^2}, \quad \frac{4}{25\pi^2} \dots$$

natężenie względne jest zatem niezależne od liczby szczelin. Do tych wartości zdąża istotnie wartość natężenia względnego, gdy  $N$  jest dostatecznie wielkie (mniej więcej większe od 15). Dokładne obliczenie daje wtedy

$$\frac{I'_0}{I_0} = 0,0447; \quad \frac{I''_0}{I_0} = 0,0161; \quad \frac{I'''_0}{I_0} = 0,0082.$$

W siatce o szczelinach szerokich  $M' \neq C$ . Amplituda wypadkowa wyraża się wzorem (18). Ponieważ

$$\frac{\sin 2\pi \frac{a \sin \mu}{2\lambda}}{2\pi \frac{a \sin \mu}{2\lambda}} < 1$$

i zmniejsza się ze wzrostem  $\mu$ , oświetlenia miejsc, w których powstają boczne maksima główne, są zawsze mniejsze od oświetlenia maksimum środkowego i maleją ze wzrostem różnicy dróg promieni interferujących.

Gdy  $\mu$  jednocześnie czyni zadość równaniu

$$\sin \mu = \frac{q \cdot \lambda}{d},$$

wyrażającemu warunek powstania maksimum głównego w obrazie dyfrakcyjnym siatki, i równaniu

$$\sin \mu = \frac{m \lambda}{a},$$

(por. wzór 10), wyrażającemu warunek minimum w obrazie dyfrakcyjnym szczeliny, dane maksimum główne znika. Mamy wtedy

$$\frac{q}{d} = \frac{m}{a}$$



lub

$$\frac{d}{a} = \frac{q}{m}.$$

Gdy  $d = 2a$ ,  $q = 2m$ , znikają wszystkie parzyste maksima; gdy  $d = 3a$ ,  $q = 3m$ , znika co trzecie maksimum główne itd.

## 12. POWSTAWANIE WIDM DYFRAKCYJNYCH. POMIAR DŁUGOŚCI FALI. SPEKTROSKOP SCHODKOWY

Rozmieszczenie prążków dyfrakcyjnych jest, jakżeśmy się przekonali, zależne od długości fali użytego światła. Oświetlając siatkę światłem niejednorodnym, otrzymamy tyle wzajemnie niezależnych układów prążków jasnych, ile różnych długości fal wysyła użyte źródło; w świetle białym układy te będą stanowiły barwny pas od fioletu do czerwieni. Siatka podobnie, jak pryzmat, rozszczepia padające na nią światło, wytwarzając analogiczne do widma pryzmatycznego widmo dyfrakcyjne. Widma te są trojakiemu rodzaju: widma, wytwarzane przez każdą z poszczególnych szczelin (widma pierwszej klasy), powstające w kierunkach, czyniących zadość równaniu (10b); widma, wytwarzane przez interferencję promieni, wychodzących ze wszystkich szczelin pod kątami, spełniającymi równanie (16) (widma drugiej klasy) i wreszcie (widma trzeciej klasy), wytwarzane przez maksima wtórne obrazu dyfrakcyjnego siatki. Widma tej ostatniej klasy mają, jakżeśmy to stwierdzili, tak małe natężenia, że zazwyczaj są niedostrzegalne, widma klasy pierwszej jedynie osłabiają (lub nawet całkowicie znoszą) boczne maksima główne, ostatecznie więc pozostają, jako widma dyfrakcyjne, widma klasy drugiej.

W przeciwieństwie do pryzmatu siatka dyfrakcyjna daje nie jedno, lecz szereg widm coraz to wyższego rzędu interferencji, w których barwy są rozmieszczone w porządku odwrotnym do porządku barw w widmie pryzmatycznym. Bliżej środka obrazu leży w każdym widmie jego kraniec fioletowy, dalej — czerwony; najmniejszy zatem kąt odchylenia od kierunku promieni, padających na siatkę, tworzą w każdym widmie promienie o najkrótszej długości fali, jak to zresztą wynika z równań (15) i (16)

$$\sin \theta' = \frac{q \lambda}{d} + \sin \theta.$$

W środku obrazu dyfrakcyjnego (w obrazie geometrycznym źródła) różnica faz jest dla wszystkich długości fal równa zeru, w świetle białym przeto środek obrazu jest zawsze biały.

Długości katowe widm, otrzymanych przy oświetleniu światłem białym, znajdziemy ze wzoru (16), przyjmując, dość zresztą dowolnie, że



skrajne długości fal są odpowiednio równe  $\lambda_f = 0,4 \mu$  (skrajny fiolet) i  $\lambda_c = 0,75 \mu$  (skrajna czerwień). Kładąc  $\Theta = 0$  i  $\Theta' = \mu$ , znajdujemy, że widmo rzędu pierwszego zawarte jest w granicach

$$\sin \mu'_f = \frac{0,4}{d}; \quad \sin \mu'_c = \frac{0,75}{d},$$

widmo rzędu drugiego

$$\sin \mu''_f = \frac{2 \cdot 0,4}{d} = \frac{0,8}{d}; \quad \sin \mu''_c = \frac{2 \cdot 0,75}{d} = \frac{1,5}{d},$$

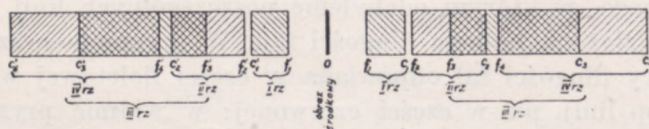
widmo rzędu trzeciego

$$\sin \mu'''_f = \frac{3 \cdot 0,4}{d} = \frac{1,2}{d}; \quad \sin \mu'''_c = \frac{3 \cdot 0,75}{d} = \frac{2,25}{d} \text{ itd.}$$

Stąd wynika, że  $\sin \mu'_c < \sin \mu''_f$ , widmo rzędu drugiego powstaje poza granicami widma rzędu pierwszego; widmo jednak rzędu drugiego nakłada się swym krańcem czerwonym na kraniec fioletowy widma rzędu trzeciego, gdyż  $\sin \mu'_c > \sin \mu'''_f$ , podobnie widmo rzędu trzeciego nakłada się częściowo na widmo rzędu czwartego itd.

W siatce o 100 szczelinach na 1 mm ( $d = 0,01$  mm) długość widma rzędu pierwszego zawarta jest w granicach od  $\mu'_f = 2^\circ 17'$  do  $\mu'_c = 4^\circ 18'$ , równa jest przeto  $2^\circ 1'$ ; widma rzędu drugiego, sięgającego od  $\mu''_f = 4^\circ 35'$  do  $\mu''_c = 8^\circ 38'$ , wynosi  $4^\circ 3'$ ; widma rzędu trzeciego, rozpościerającego się od  $\mu'''_f = 6^\circ 53'$  do  $\mu'''_c = 13^\circ$ , wynosi  $6^\circ 7'$ .

W płaszczyźnie ogniskowej obiektywu lunety obserwacyjnej otrzymamy zatem obraz mniej więcej taki, jak na schematycznym rysunku 271;



Rys. 271

widma, zgodnie z tym, co stwierdziliśmy w ust. 11, będą symetrycznie rozmieszczone względem środka.

Odległość  $\varepsilon$  prążka jasnego, odpowiadającego długości fali  $\lambda$ , od środka obrazu wynosi

$$\varepsilon = \mathcal{F} \cdot \operatorname{tg} \Theta' = \mathcal{F} \cdot \operatorname{tg} \mu,$$



dla małych zatem kątów ugięcia

$$\varepsilon = \mathcal{F} \cdot \operatorname{tg} \mu \approx \mathcal{F} \cdot \sin \mu = \mathcal{F} \frac{q \cdot \lambda}{d}$$

i

$$\Delta \varepsilon = \mathcal{F} \cdot \frac{q \cdot \Delta \lambda}{d}, \quad (\text{a})$$

a więc wzrasta proporcjonalnie do długości fali.

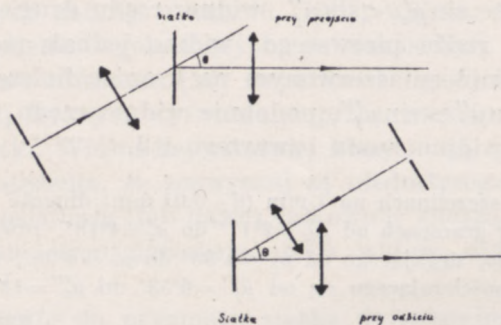
Warunek ten na ogół nie jest spełniony dla widm rzędu wyższego; można mu jednak uczynić zadość, ustawiając siatkę pod takim kątem  $\Theta$  do promieni padających, aby

$$\sin \Theta = \pm \frac{q \lambda}{d},$$

wtedy

$$\sin \Theta' = \mp \frac{q \lambda}{d} \pm \sin \Theta = 0 \quad \text{i} \quad \Delta \varepsilon = \mathcal{F} \cdot \Delta \Theta' = \frac{\mathcal{F} q \cdot \Delta \lambda}{d \cos \Theta},$$

jest, wobec tego, że  $\cos \Theta' = 1$ , proporcjonalne do przyrostu długości fali (rys. 272).



Rys. 272

Tego rodzaju widmo nazywamy normalnym w odróżnieniu od widma pryzmatycznego, w którym odchylenie poszczególnych linii widmowych jest na ogół złożoną funkcją długości fali. W pryzmatach szklanych tej samej różnicy długości fal odpowiada w części fioletowej większy wzajemny odstęp linii, niż w części czerwonej: w widmie pryzmatycznym część fioletowa jest bardziej rozciągnięta, niż w widmie dyfrakcyjnym (rys. 273 u góry widmo dyfrakcyjne, u dołu — pryzmatyczne).

Ta prosta zależność między długością fali światła i kątem ugięcia pozwala na użycie siatki dyfrakcyjnej do dokładnego pomiaru długości fali.

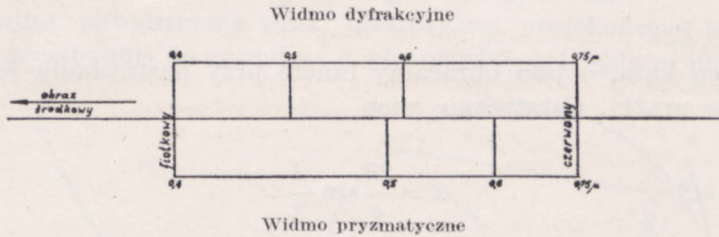
Ze wzorów (15) i (16) otrzymujemy na położenie prążków jasnych, odpowiadających mierzonej długości fali

$$\sin \Theta' - \sin \Theta = \frac{q \cdot \lambda}{d}$$



wystarczy zatem zmierzyć kąty  $\theta$  i  $\theta'$  oraz znać stałą siatki  $d$ , aby móc wyznaczyć  $\lambda$  z widma dowolnego rzędu  $q$ .

Przy pomiarach dokładniejszych napotyka się wszakże dość duże trudności, przede wszystkim przy wyznaczaniu stałej siatki  $d$ . Zazwyczaj postępuje się w ten sposób, że mierzy się szerokość siatki, a następnie przesuwając ją pod mikroskopem liczy się rysy siatki. W siatkach



Rys. 273

o dużej liczbie rys liczenie jest uciążliwe, co więcej przy małych wartościach  $d$  obserwacja wymaga mikroskopu o dużej rozwarości optycznej (por. ust. 13).

Niemale też trudności nastęrcza dokładne wyznaczenie kąta padania  $\theta$ , a to dlatego, że nie łatwo jest dokładnie wyznaczyć kierunek normalnej do siatki. Trudność tę można usunąć, oświetlając siatkę promieniami, padającymi pod kątem, możliwie mało różniącym się od kąta prostego i mierząc odległość kątową od środka obrazu dwóch prążków tej samej długości fali i tego samego rzędu interferencji, lecz położonych po przeciwnych stronach środka. Mamy wtedy

$$\sin \theta'_1 - \sin \theta = \frac{q \cdot \lambda}{d} \quad \text{i} \quad \sin \theta'_2 - \sin \theta = -\frac{q \lambda}{d},$$

stąd

$$\sin \theta = \frac{\sin \theta'_1 + \sin (-\theta'_2)}{2}$$

i

$$\begin{aligned} \frac{q \lambda}{d} &= \sin \theta'_1 - \frac{\sin \theta'_1 + \sin (-\theta'_2)}{2} = \frac{\sin \theta'_1 - \sin (-\theta'_2)}{2} = \\ &= 2 \sin \frac{\theta'_1 + \theta'_2}{2} \cos \frac{\theta'_1 - \theta'_2}{2}. \end{aligned}$$



Ponieważ przez  $\Theta'_2$  oznaczamy bezwzględną wartość tego kąta odchylenia,  $\frac{\Theta'_1 - \Theta'_2}{2}$  jest kątem bardzo małym, rzędu wielkości kąta  $\Theta$ , mało, według założenia, różniącego się od zera, kąt zaś

$$\frac{\Theta'_1 + \Theta'_2}{2} = \frac{\delta}{2}$$

jest połową kąta, o jaki obracamy lunetę przy nastawianiu jej kolejno na badane prążki. Ostatecznie więc

$$\lambda = \frac{2d}{q} \sin \frac{\delta}{2}.$$

Z innych metod, obmyślonych dla zmniejszenia błędu pomiaru, opiszemy jedynie metodę najmniejszego odchylenia. Niech  $\Theta'$  będzie kątem, wyznaczającym kierunek maksimum głównego danej długości fali w widmie badanego rzędu. Odchylenie promieni wynosi

$$\delta = \Theta - \Theta'.$$

Ze zmianą kąta  $\Theta$  odchylenie to zmienia się o

$$\frac{d\delta}{d\Theta} = 1 - \frac{d\Theta'}{d\Theta},$$

a ponieważ

$$\sin \Theta' - \sin \Theta = \frac{q\lambda}{d},$$

przeto

$$\frac{d\Theta'}{d\Theta} = \frac{\cos \Theta}{\cos \Theta'}.$$

Gdy

$$\frac{d\delta}{d\Theta} = 1 - \frac{\cos \Theta}{\cos \Theta'} = 0,$$

odchylenie ma wartość najmniejszą; wtedy

$$\cos \Theta = \cos \Theta' = \cos((\Theta - \delta)) = \cos(\delta - \Theta) \quad \text{i} \quad \delta = 2\Theta.$$

Normalna do siatki jest dwusieczną kąta odchylenia: promienie ugięte tworzą z normalną ten sam kąt, co promienie padające, leżą jednak po drugiej stronie normalnej (rys. 274). Ustawiając zatem siatkę, tak aby niewielki obrót siatki dookoła osi równoległej do szczeliny, wywoływał nieznaczną jedynie zmianę odległości kątowej obrazu środkowego od danego prążka, mierzymy tę odległość i ze wzoru

$$\sin \Theta' - \sin \Theta = 2 \sin \frac{\delta}{2} = \frac{q\lambda}{d}$$

wyznaczamy długość fali.

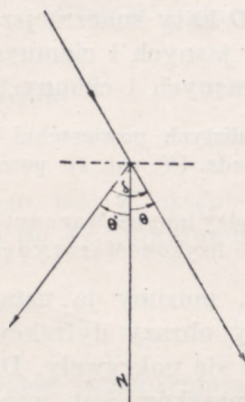


Rowland zastąpił (1882 r.) w tych pomiarach siatki płaskie przez siatki, nakreślone na wklęsłej stronie kulistej powierzchni odbijającej.

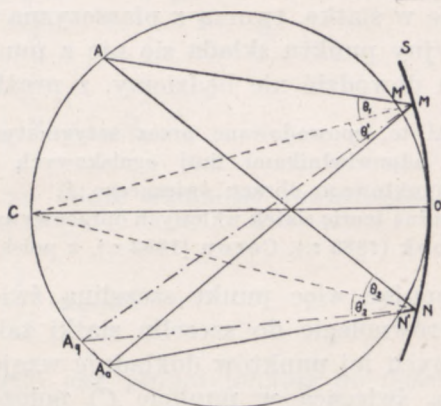
Niech  $S$  będzie tego rodzaju siatką o znacznym promieniu krzywizny,  $C$  — jej środkiem krzywizny (rys. 275); rysy na siatce niech odpowiadają przecięciom powierzchni siatki płaszczyzną, równoległą do płaszczyzny, przechodzącej przez środek krzywizny  $C$  i środek geometryczny siatki  $O$  (płaszczyzna jest prostopadła do płaszczyzny rysunku).

Przetnijmy powierzchnię siatki płaszczyzną, przechodzącą przez promień  $OC$  i prostopadłą do rysunku i w płaszczyźnie tej, będącej płaszczyzną

*brakujący!*



Rys. 274



Rys. 275

rysunku, opiszmy na  $OC$ , jak na średnicy, koło  $OACO$ . Każdy element powierzchni siatki, leżący w pobliżu punktu  $M$  czy  $N$  tej płaszczyzny i do niej prostopadły, możemy, o ile chodzi o promienie, leżące w tej płaszczyźnie lub tworzące z nią kąt niewielki, uważać za element powierzchni płaskiej, kąty zatem  $\theta_1$  i  $\theta_2$ , jakie z normalną do siatki (promieniami siatki  $CO, CM, CN \dots$ ) tworzą wiązki promieni, wychodzące z punktu świecącego  $A$ , umieszczonego na obwodzie koła  $OACO$ , i padające na elementy (dowolnie wybrane)  $M$  i  $N$  powierzchni siatki, za równe. Kąty te bowiem nieskończenie mało różnią się od kątów  $AM'C$  i  $AN'C$ , opierających się na tym samym łuku  $AC$ . Podobnie promienie, ugięte przez elementy  $M$  i  $N$  i przecinające się w punkcie  $A_q$  koła  $OACO$ , tworzą z normalną do siatki kąty równe, tak że  $\theta'_1 = \theta'_2$ . Jeżeli zatem dla promieni, ugiętych w kierunku  $MA_q$  przez element  $M$ , spełniony jest warunek (p. wzór 17)

$$\sin \theta'_1 + \sin \theta_1 = \frac{q \cdot \lambda}{d},$$

jest on spełniony i dla promieni, ugiętych przez wszystkie pozostałe elementy siatki. W punkcie  $A_q$  otrzymujemy zatem maksimum główne



rzędu  $q$ . Maksyma te są rozmieszczone na obwodzie koła  $OACO$  po obu stronach obrazu geometrycznego  $A_0$  punktu świecącego, w którym przecinają się promienie odbite prawidłowo, dla których zatem

$$\theta'_1 = \theta'_2 = -\theta_1 = -\theta_2,$$

$$\sin \theta'_1 + \sin \theta = 0.$$

Tak jednak jest tylko wtedy, gdy, jak to wyżej założyliśmy, promienie leżą w płaszczyźnie  $OCAO$  lub co najwyżej w płaszczyźnie, tworzącej z nią kąt niewielki. Ponieważ jednak w rzeczywistości promienie, trafiające w siatkę, tworzą z płaszczyzną  $OACO$  kąty znaczniejsze, obraz dyfrakcyjny punktu składa się nie z punktów jasnych i ciemnych, lecz, czego tu dowodzić nie będziemy, z prążków jasnych i ciemnych.

Prążki te, spowodowane przez astygmatyzm kulistych powierzchni odbijających, są odpowiednikami linii ogniskowych (p. rozdz. IV, ust. 1) powstających zamiast punktowego obrazu świecącego  $A$ .

Dokładną teorię siatek wklęsłych opracowywali między innymi Mascart (1883 r.), Glazebrook (1883 r.), Cornu (1893 r.), z polskich zaś fizyków Merczyng 1883 r.).

Zastępując więc punkt szczeliną świecącą, musimy ją ustawić dokładnie równoległe do szczelin siatki tak, aby obrazy dyfrakcyjne poszczególnych jej punktów dokładnie wzajemnie się pokrywały. Dla  $\theta = 0$  (szczelina świecąca w punkcie  $C$ ) położenie prążków jest wyznaczone wzorem

$$\sin \theta' = \frac{q \cdot \lambda}{d},$$

odstęp zaś wzajemny prążków (mierzony wzdłuż obwodu koła  $OACO$ ) odpowiadających długościom fal  $\lambda$  i  $\lambda + \Delta\lambda$ ,

$$\Delta\varepsilon = OC \cdot \Delta\theta' = R \cdot \Delta\theta' = R \cdot \frac{q}{d} \cdot \frac{\Delta\lambda}{\cos \theta'} \quad (b)$$

jest dla kątów małych ( $\cos \theta' = 1$ ) proporcjonalny do  $\Delta\lambda$ . I tym razem przeto otrzymuje się przy zachowaniu tych samych warunków, co poprzednio, widmo normalne.

Przyjmijmy tak, jak to już czyniliśmy nieraz, że możemy odróżnić prążki, odpowiadające obrazom dyfrakcyjnym promieni o mało różniących się długościach fali np.  $\lambda$  i  $\lambda - \Delta\lambda$ , gdy maksimum główne jednego obrazu nakłada się na minimum obrazu drugiego. Mamy wtedy dla promieni, wysyłanych w tym samym kierunku przez skrajne szczeliny siatki

$$N \cdot \varphi_{\max} = 2q N \pi = 2\pi \frac{d \cdot N}{\lambda} (\sin \theta' \pm \sin \theta)$$



i

$$N \cdot q_{\min} = 2q \cdot N \cdot \pi + 2\pi = 2\pi(qN + 1) = 2\pi \cdot \frac{d \cdot N}{\lambda - \Delta\lambda} (\sin \Theta' \pm \sin \Theta), \quad (c)$$

gdzie znak  $-$  dotyczy siatek przezroczystych, znak  $+$  siatek odbijających; (por. wzory 16 i 17), wobec czego, odrzucając  $\Delta\lambda$ , jako małe w porównaniu z  $\lambda$  i  $qN \cdot \Delta\lambda$ ,

$$N(\sin \Theta' \pm \sin \Theta) = \frac{\lambda \cdot q \cdot N}{d} = \frac{\lambda \cdot qN + \lambda - q \cdot N \cdot \Delta\lambda}{d} \quad *$$

i ostatecznie

$$q \cdot N \cdot \Delta\lambda = \lambda.$$

Biorąc, jak w ustępie 10, za miarę zdolności rozszczepiającej stosunek  $\lambda$  do  $\Delta\lambda$ , znajdujemy

$$\frac{\lambda}{\Delta\lambda} = q \cdot N. \quad (19)$$

Zdolność rozszczepiająca siatki jest proporcjonalna do ilości szczelin (nie do ich odległości wzajemnej) i do rzędu widma.

Tak np. dla rozszczepienia linii  $D_1$  i  $D_2$  sodu o długościach fal  $\lambda = 5895,9 \text{ \AA}$  i  $\lambda_2 = 5890 \text{ \AA}$  w widmie rzędu pierwszego ( $q=1$ ) należy użyć siatki o liczbie szczelin

$$N = \frac{5890}{5,9} \approx 998.$$

Rayleigh stwierdził, że linie te są widziane oddzielnie przy 1130 szczelinach; założenie zatem, że dwa obrazy dyfrakcyjne są widziane oddzielnie, gdy maksimum jednego z nich przypada na minimum pierwsze drugiego, odpowiada rzeczywistemu przebiegowi zjawiska.

Podstawiając ze wzoru (c) \*

$$q = \frac{d}{\lambda} (\sin \Theta' \pm \sin \Theta),$$

mamy

$$\frac{\lambda}{\Delta\lambda} = \frac{d \cdot N}{\lambda} (\sin \Theta' \pm \sin \Theta) = \frac{l}{\lambda} (\sin \Theta' \pm \sin \Theta), \quad (19a)$$

gdzie  $l$  jest szerokością siatki.



Siatka odbijająca, wykonana przez Michelsona, miała 30 cm szerokości. Przy  $\Theta = \Theta' = 45^\circ$  jej zdolność rozszczepiająca wynosiłaby, zgodnie ze wzorem (19a)

$$\frac{\lambda}{\Delta\lambda} = \frac{3 \cdot 10^9}{\lambda} \sqrt{2} = 3 \cdot 1,46 \cdot \frac{10^9}{\lambda},$$

a zatem dla  $\lambda \approx 5 \cdot 10^3 \text{ \AA}$

$$\frac{\lambda}{\Delta\lambda} \approx 9 \cdot 10^5$$

i

$$\Delta\lambda \approx 0,0053 \text{ \AA}.$$

Na zdolność rozszczepiającą pryzmatu znaleźliśmy w ust. 10 wzór

$$\frac{\lambda}{\Delta\lambda} = d \cdot \frac{dn}{d\lambda},$$

skąd, stosując wzór Cauchy'ego, otrzymaliśmy dla pryzmatu normalnego z flintu Rosette'a

$$\frac{\lambda}{\Delta\lambda} \approx 900 \approx 10^3$$

A zatem pryzmat o tej samej zdolności rozszczepiającej, co siatka Michelsona, musiałby mieć podstawę długości 9 metrów; jasność jednak widma pryzmatycznego, oświetlonego przez całkowity strumień światła, padającego na pryzmat, jest o wiele większa od jasności widm siatki, z których każde oświetlone jest jedynie przez część padającego na siatkę strumienia.

Wzór (19a) wyznacza graniczną wartość zdolności rozszczepiającej; w praktyce zdolność ta jest ograniczona przez zbyt słabe oświetlenie widm wysokiego rzędu interferencji. Z tego też powodu w spektroskopach interferencyjnych poprzestaje się na widmach rzędu niższego, co, oczywiście, obniża zdolność rozszczepiającą przyrządu.

Inaczej jest w tzw. spektroskopie schodkowym Michelsona, utworzonym z szeregu płytek szklanych o tej samej grubości  $h$ , umieszczonych jedna na drugiej schodkowo (rys. 276).

Odkryte części płytek odgrywają rolę szczelin siatki dyfrakcyjnej. Gdy promienie padają na płytki prostopadle (kąt  $\Theta = 0$ ) różnica dróg optycznych promieni, wysyłanych też w kierunku prostopadłym do płytki ( $\Theta' = 0$ ) przez dwa sąsiednie schodki spektroskopu, jest równa

$$\Delta = (n-1)h.$$

Dla  $h$  zatem równego 7 mm (jest to najmniejsza grubość płytek, używanych przez Michelsona) i  $n = 1,5$  różnica dróg wynosi 7000 długości fal  $\lambda = 0,5 \mu$ . Różnica ta jest, oczywiście, jeszcze większa dla promieni, ugiętych pod kątem  $\Theta' > 0$ . Mamy tu więc do czynienia z widmami bardzo wysokiego rzędu i tym samym przy niewielkiej nawet liczbie schodków (zazwyczaj około 20) przyrząd ma dużą zdolność rozszczepiającą.



Różnica dróg optycznych promieni, wysyłanych przez dwa sąsiednie schodki spektroskopu w kierunku  $\Theta'$  wyznaczającym maksimum główne rzędu  $q$  wynosi

$$n \cdot h - a \cdot c = q \cdot \lambda \quad (\text{d})$$

i wobec tego, że

$$ac = ab \cos(a + \Theta') = \frac{h}{\cos a} \cdot \cos(a + \Theta') = h(\cos \Theta' - \sin \Theta' \operatorname{tg} a).$$

Kąt  $\Theta'$  jest zawsze w tym przypadku kątem małym, tak że

$$\sin \Theta' = \Theta'; \quad \cos \Theta' = 1$$

a zatem, uwzględniając, że  $\operatorname{tg} a = \frac{s}{h}$ ,

$$q \cdot \lambda = (n-1) \cdot h + s \cdot \Theta', \quad (\text{e})$$

skąd

$$\frac{d\Theta'}{d\lambda} = \frac{1}{s} \left( q - \frac{dn}{d\lambda} h \right).$$

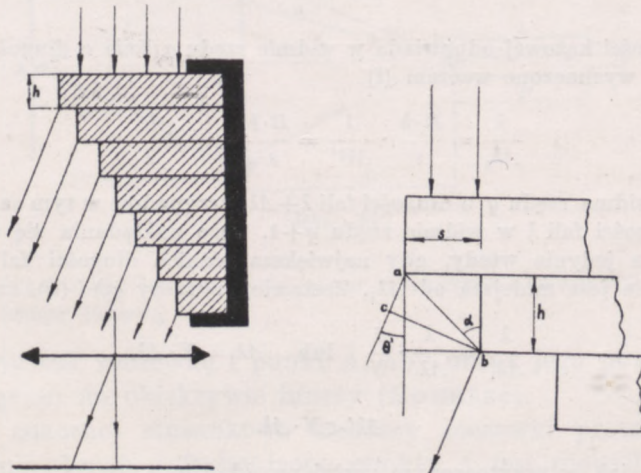
Podstawiając ze wzoru (e) przybliżoną wartość

$$q = \frac{n-1}{\lambda} \cdot h,$$

znajdujemy

$$\lambda \frac{d\Theta'}{d\lambda} = \frac{h}{s} \left[ (n-1) - \lambda \frac{dn}{d\lambda} \right] = B \cdot \frac{h}{s}, \quad (\text{f})$$

gdzie  $B$  jest dla szkła zawarte w granicach od 0,5 do 1;  $n$  bowiem może się w za-



Rys. 276

leżności od rodzaju szkła, zmieniać od 1,5 do 2, drugi zaś wyraz nawiasu jest bardzo mały.



Niech  $N$  będzie liczbą płytek,  $N \cdot s$  jest wtedy szerokością wiązki padającej. Ze wzoru (13) wynika, że najmniejsza różnica kątów, jaki mogą tworzyć ze sobą wiązki, widziane oddzielnie, wynosi

$$\Delta\Theta' = \frac{\lambda}{N \cdot s},$$

zdolność zatem rozszczepiająca spektroskopu schodkowego jest równa

$$\frac{\lambda}{\Delta\lambda} = B \cdot \frac{h}{s \Delta\Theta'} = N \cdot \frac{B \cdot h}{\lambda} = \frac{N \cdot h}{\lambda} \cdot B, \quad (g)$$

a zatem jest proporcjonalna do liczby płytek. Powiększaniu tej liczby stoi wszakże na przeszkodzie szybkie zmniejszanie się ze wzrostem  $N$  natężenia światła przechodzącego, a to na skutek odbijania się światła od powierzchni rozdziału. Biorąc  $h=20$  mm,  $N=30$  i kładąc  $B=n-1$ , mamy dla  $\lambda=0,5 \mu$

$$\frac{\lambda}{\Delta\lambda} = \frac{N \cdot h (n-1)}{\lambda} \approx N \cdot q = 600\,000.$$

A ponieważ dla rozszczepienia linii  $D_1$  i  $D_2$  wystarcza zdolność rozszczepiająca mniej więcej równa 1000, spektroskop Michelsona może rozszczepić linie, których odległość wynosi  $\frac{1}{600}$  odległości linii sodu.

Przyrząd ten jednak może służyć tylko do analizowania widma, złożonego z niewielkiej liczby linii o długościach fal, zawartych w dość ciasnych granicach, kolejne bowiem widma są w bardzo małej wzajemnej odległości. Istotnie odległość kątowa linii o długościach fali  $\lambda$  w dwóch sąsiednich widmach rzędu  $q$  i  $q+1$  jest, jak to wynika z podstawienia do równania (e) kolejno  $q$  i  $q+1$  oraz  $\Theta'$  i  $\Theta'+\Delta\Theta'$ ,

$$\Delta\Theta' = \frac{\lambda}{s}.$$

Tej odległości kątowej odpowiada w widmie rzędu  $q$  linia o długości fali  $\lambda + \Delta\lambda_1$ , gdzie  $\Delta\lambda_1$  jest wyznaczone wzorem (f)

$$\frac{\lambda}{\Delta\lambda_1} = \frac{B \cdot h}{s} \cdot \frac{1}{\Delta\Theta'} = \frac{B \cdot h \cdot s}{s \cdot \lambda} = B \cdot \frac{h}{\lambda}. \quad (h)$$

Linia zatem widma rzędu  $q$  o długości fali  $\lambda + \Delta\lambda_1$  przypadnie w tym samym miejscu, co linia o długości fali  $\lambda$  w widmie rzędu  $q+1$ . Tego nakładania się widm różnych rzędów nie ma jedynie wtedy, gdy największa różnica długości fal  $\Delta\lambda'$  promieni badanego źródła jest mniejsza od  $\Delta\lambda_1$ . Zestawiając wzory (g) i (h), znajdujemy

$$\frac{\lambda}{\Delta\lambda_1} = \frac{\lambda}{\Delta\lambda} \cdot \frac{1}{N} \quad \text{lub} \quad \Delta\lambda_1 = N \cdot \Delta\lambda,$$

a zatem

$$\Delta\lambda' < N \cdot \Delta\lambda.$$

Gdy więc, jak w przytoczonym wyżej przykładzie,

$$\Delta\lambda = \frac{5890}{600\,000} \approx 0,0097 \text{ \AA},$$

$$\Delta\lambda' < 30 \cdot 0,0097 = 0,29 \text{ \AA};$$



badane widmo nie może zajmować więcej, niż

$$\frac{0,29}{5,9} \approx \frac{1}{20}$$

odstępu między liniami  $D_1$  i  $D_2$ .

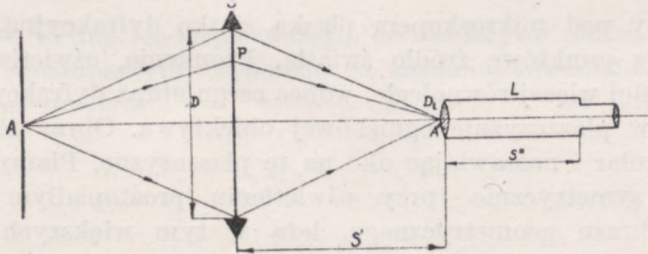
Spektroskop schodkowy nadaje się więc do analizowania linii widmowych (por. rozdz. VII, ust. 8).

### 13. OBRAZY MIKROSKOPOWE PRZEDMIOTÓW OŚWIETLONYCH

Obrazy dyfrakcyjne punktów lub szczelin świecących, wytwarzane przez otwory uginające, odgrywają, jak na to pierwszy zwrócił uwagę Abbe, ważną rolę przy powstawaniu obrazów tych właśnie otworów, gdy są one oświetlane wiązkami promieni optycznie spójnych (światło koherentne).

Teoria Abbego została w całości ogłoszona drukiem dopiero po jego śmierci w opracowaniu Lummera i Reichego (1910), częściowo jednak była znana od 1884 r. Z fizyków, którzy ją następnie opracowywali wymienimy Portera (1905 r.) i Wolfkego (1911, 1912 r.). Teorii tej nie będziemy tu szczegółowo rozpatrywali poprzestając na omówieniu podstawowych jej założeń.

Przypuśćmy, że badanym otworem uginającym, którego obraz chcemy otrzymać w lunecie  $L$ , jest soczewka  $S$ , oświetlona przez punktowe źródło światła prawie jednorodnego  $A$  (rys. 277).



Rys. 277

Źródłem tym może być np. mały otwór, przykryty czerwonym szkłem i oświetlony przez lampę łukową.

Ustawmy tak soczewkę i punkt  $A$ , aby obraz jego powstał w punkcie  $A'$ , leżącym na obiektywie lunety (Bouasse).

Wobec znacznej stosunkowo średnicy soczewki promień środkowy jasnej plamy obrazu dyfrakcyjnego punktu  $A$  jest niewielki

$$r_s = 1,22 \cdot \frac{\lambda \cdot S'}{D},$$



(por. wzór 7, w którym zamiast  $\mathcal{F}$  podstawiamy  $S'$ ), tak że cały prawie strumień światła przechodzący przez soczewkę  $S$  jest skupiony w małym obszarze, leżącym koło punktu  $A'$ . Można by zatem przypuszczać, że wystarczy pozostawić odkrytą tylko tę część obiektywu lunety, aby otrzymać wyraźny obraz soczewki i nakreślonych na jej powierzchni (np. atramentem) linii  $P$ ; okazuje się jednak, że tak nie jest. Takie przesłonięcie obiektywu nie tylko nie pozwala rozróżnić linii  $P$ , lecz nawet zaciera kontury soczewki. Dalsze zatem, niedopuszczane do oka pierścienie dyfrakcyjne mają mimo swego niewielkiego natężenia ważne znaczenie przy tworzeniu się obrazu soczewki.

Promień środkowej plamy obrazu dyfrakcyjnego punktu  $P$  soczewki, jaki daje luneta, równy jest

$$r_L = 1,22 \cdot \frac{\lambda \cdot S''}{D_1}$$

biorąc zatem

$$D_1 = 2r_s = 2 \cdot 1,22 \cdot \frac{\lambda S'}{D}$$

mamy

$$r_L = \frac{D}{2} \cdot \frac{S''}{S'}$$

promień ten jest więc tego samego rzędu wielkości, co promień soczewki.

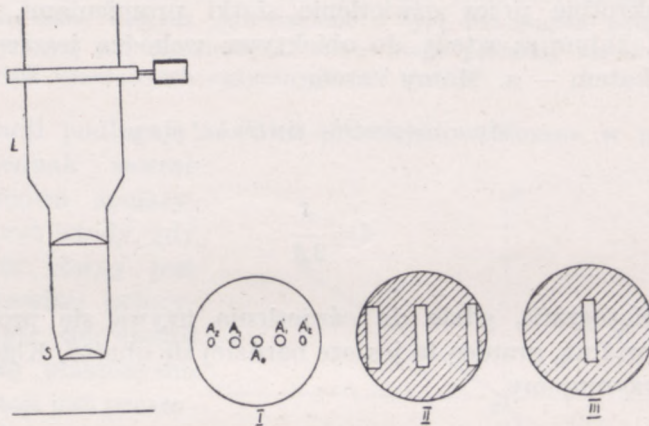
Umieścimy pod mikroskopem płaską siatkę dyfrakcyjną, oświetloną przez odległe punktowe źródło światła. Promienie, oświetlające siatkę, są wtedy mniej więcej równoległe, wobec czego obraz dyfrakcyjny punktu tworzy się w płaszczyźnie ogniskowej obiektywu. Obraz ten widzimy, usuwając okular i nastawiając oko na tę płaszczyznę. Plamy jasne, rozmieszczone symetrycznie (przy oświetleniu prostym do siatki) względem obrazu geometrycznego, leżą w tym większych odstępach, im większa jest gęstość szczelin siatki. Podwojenie liczby szczelin zwiększa dwukrotnie odstęp między plamami.

Jeżeli liczba tych plam jest dostatecznie wielka, po założeniu okularu zobaczymy obraz siatki (achromatyczny), w którym odstęp między obrazami szczelin będzie prawie dokładnie odpowiadał odstępowi między szczelinami siatki. Gdy jednak umieścimy w płaszczyźnie ogniskowej obiektywu przesłonę II (rys. 278), która będzie przepuszczała jedynie światło plamy środkowej i bocznych plam parzystych, otrzymamy obraz siatki o dwukrotnie mniejszym odstępem szczelin, odstęp bowiem plam jasnych ( $A_0A_2, A_0A_2'$ ) są tym razem dwa razy większe. Umieszczając przesłonę III, przepuszczającą jedynie światło plamy środkowej, otrzymamy pole widzenia jednostajnie oświetlone, tak jak gdyby siatki wcale



nie było. Jeżeli jednak przesłonę III obrócimy o  $90^\circ$ , otrzymamy taki obraz siatki, jak bez przesłony (Abbe).

Obraz zatem, jaki ostatecznie widzimy, odpowiada takiej siatce, jakiej obraz dyfrakcyjny w płaszczyźnie ogniskowej jest identyczny z obrazem, który widzimy po usunięciu okularu. Dla otrzymania więc obrazu, który by ujawnił budowę okresową siatki, musimy mieć w płaszczyźnie ogniskowej obraz dyfrakcyjny, składający się co najmniej z plamy



Rys. 278

środkowej i z widma rzędu pierwszego, do obiektywu muszą zatem (przy oświetleniu prostopadłym) wchodzić co najmniej promienie, ugięte pod kątem  $\theta' = \mu$ , równym

$$\sin \mu = \frac{\lambda}{n \cdot d},$$

gdzie  $n$  oznacza współczynnik załamania w środowisku, w którym zachodzi ugięcie,  $\lambda$  — długość fali w próżni. Biorąc pod uwagę, że

$$n \cdot \sin \mu = n \cdot \sin u = A$$

rozwartości liczbowej (p. wzór 32, rozdz. IV), znajdujemy, że przy takim oświetleniu najmniejszy odstęp między szczelinami, który możemy dostrzec przy użyciu mikroskopu, wyrażony jest wzorem

$$d = \frac{\lambda}{A}. \quad (20)$$



W obiektywach immersyjnych można osiągnąć  $A=1,5$  ( $u=80^\circ$ ,  $n=1,52$ ); oświetlając zatem przedmiot światłem o długości fali  $\lambda=0,5 \mu$ , możemy stwierdzić budowę okresową siatki o odstępach szczelin

$$d = \frac{0,5}{1,5} = 0,3 \mu,$$

a więc o mniej więcej 3000 szczelin na mm. Granicę tę zmniejsza się prawie dwukrotnie przez oświetlenie siatki promieniami, padającymi ukośnie pod kątem  $u$ ; wtedy do obiektywu wchodzi jeszcze promienie, ugięte pod kątem  $-u$ . Mamy zatem

$$|\sin \mu| = (\sin \Theta' - \sin \Theta) = 2 \sin u$$

i

$$d = \frac{\lambda}{2A}. \quad (20a)$$

W mikrofotografii, gdzie do oświetlenia używa się promieni fioletowej części widma, granica ta jeszcze bardziej się obniża. Kładąc  $\lambda=0,4 \mu$   $A=1,5$  otrzymujemy

$$d = \frac{0,4}{3} \approx 0,1 \mu,$$

co odpowiada 10000 szczelin na mm.

Należy jednak zaznaczyć, że, jak wynika z teorii Abbego, podobieństwo między obrazem i przedmiotem jest tym większe, im większa jest liczba widm dyfrakcyjnych, powstających w płaszczyźnie ogniskowej obiektywu. W granicznych przypadkach, gdy tworzy się tylko jedno widmo dyfrakcyjne, nie można być pewnym, czy obraz podobny jest do przedmiotu.

Zjawisko jest zupełnie inne, gdy punkty przedmiotu oświetlonego wysyłają zaburzenia niespójne optycznie. Taki przypadek zachodzi, gdy przy pomocy odpowiedniego układu optycznego (kondensora), wytwarzamy na badanym przedmiocie obraz źródła oświetlającego, wysyłający z każdego punktu przedmiotu wiązkę, wypełniającą cały przekrój obiektywu mikroskopu. Wtedy każdy punkt przedmiotu staje się jakby niezależnym źródłem światła, dającym w mikroskopie swój własny obraz dyfrakcyjny. Oświetlenie w danym punkcie pola widzenia jest sumą oświetleń przez poszczególne punkty. Mamy wtedy do czynienia z przypadkiem, rozpatrywanym w ust. 8.

Na zgoła odmiennych zasadach opiera się tzw. obserwacja ultramikroskopowa. W niej bardzo małe przedmioty nieprzezroczyste (np. zawiesiny w cieczach lub gazach) oświetlone są w ten sposób, że do obiektywu wchodzi jedynie światło,

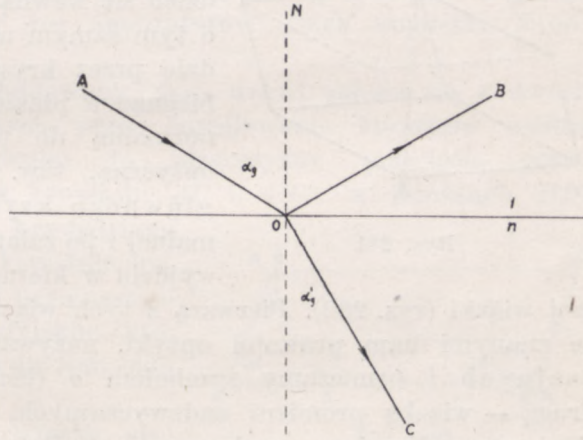


i

$$\sphericalangle BOC = \pi - \alpha'_0 - \alpha_0 = \frac{\pi}{2}.$$

Prawo Brewstera poddał sprawdzeniu doświadczalnemu (1830 r.) Seebeck, otrzymując wyniki, potwierdzające na ogół to prawo. Jamin wykazał (1845 r.), że w wielu przypadkach odbicie pod żadnym kątem padania nie daje światła spolaryzowanego prostoliniowo, tak że nie ma kąta całkowitej polaryzacji. Tak np. zachowują się ciała, których powierzchnie z tych lub innych powodów podległy zmianom fizycznym lub chemicznym, wobec czego powstały na nich cienkie warstewki o innych własnościach optycznych, niż podłoże.

Polaryzacji podlegają również promienie załamane w polaryzatorze. Są one jednak zawsze tylko częściowo spolaryzowane, nawet wtedy, gdy kąt padania równy jest kątowi całkowitej polaryzacji. Arago udowodnił (1850 r.), że płaszczyzna ich polaryzacji jest prostopadła do płaszczyzny polaryzacji promieni odbitych. Rzucając zatem wiązkę takich promieni na powierzchnię analizatora pod kątem  $\alpha_0$ , największe natężenie światła odbitego otrzymamy, gdy płaszczyzny padania na polaryzator i analizator będą wzajemnie prostopadłe.



Rys. 280

Malus znalazł, że te same własności posiadają promienie, które uległy tzw. podwójnemu załamaniu w kryształach. Zjawisko to, o którym obszerniej będzie mowa w rozdziale następnym, zaobserwowane przez Bartholinusa (1671 r.) i gruntownie zbadane (1690 r.) przez Huygensa, polega na rozdzieleniu się wiązki, padającej na kryształ, na dwie wiązki, przebiegające w kryształach na ogół różne drogi.

Zjawisko to szczególnie wyraźnie występuje w kalcycie (szpacie islandzkim), kryształach rombościennym o osi symetrii trzeciego rzędu (por. M. Grotowski, Wykłady fizyki tom II str. 274)  $A_1A_1$ , przechodzącej przez wierzchołki kryształu i tworzącej ze schodzącymi się w nim krawędziami kąty jednakowe. (rys. 281, gdzie kąt rozwarty równa się  $101^{\circ}54'$ , kąt zaś ostry  $88^{\circ}6'$ ).

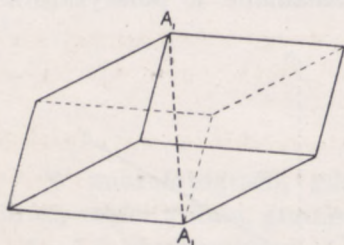


Okazuje się, że w kierunkach, tworzących te same kąty z osią symetrii (lub prostą do niej równoległą), kryształ posiada te same własności fizyczne. Z uwagi, że najwyraźniej cecha ta ujawnia się w jego własnościach optycznych, proste równoległe do osi symetrii, nazywamy osiami optycznymi kryształu.

Ta równoległość osi optycznych do osi krystalograficznej cechuje wszakże tylko kryształy jednoosiowe.

Kalcyt, posiadając jeden taki wyróżniony kierunek, należy do twz. kryształów jednoosiowych.

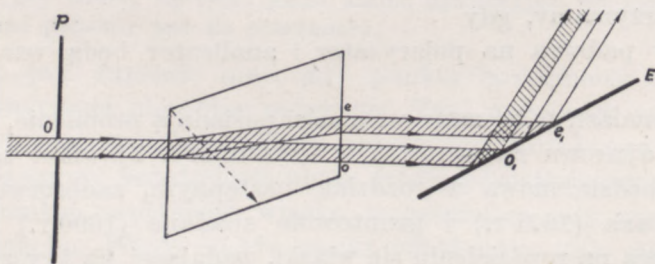
Rzucmy wiązkę promieni równoległych o niewielkim przekroju, ograniczoną np. przez mały otwór kołowy  $O$  w przesłonie  $P$ , prostopadle



Rys. 281

na jedną ze ścian kryształu. Wiązka rozdzieli się wewnątrz kryształu na dwie wiązki o tym samym natężeniu: jedna z nich przejdzie przez kryształ bez załamania, druga, biegnąc w płaszczyźnie, przechodzącej przez normalną do powierzchni kryształu i oś optyczną, tzw. płaszczyznę przecięcia głównego kryształu, odchyli się od normalnej i po załamaniu na tylnej powierzchni wyjdzie w kierunku równoległym do pierw-

szej wiązki (rys. 282). Pierwszą z tych wiązek, rozchodzącą się zgodnie ze znanymi nam prawami optyki, nazywamy wiązką promieni zwyczajnych i oznaczamy symbolem  $o$  (łac. ordinarius — zwyczajny), drugą — wiązką promieni nadzwyczajnych, oznaczając ją symbolem  $e$  (łac. extraordinarius — nadzwyczajny). Patrząc przez kryształ na otwór,



Rys. 282

zobaczymy dwa obrazy urojone, jeden zwyczajny — w kierunku oświetlonego otworu, drugi — nadzwyczajny — przesunięty nieco w bok od pierwszego. Podobnie na ekranie  $E$ , umieszczonym za kryształem, zobaczymy nie jedną, lecz dwie plamy świetlne:  $o_1$  i  $e_1$ . Rzucając kolejno te wiązki po ich wyjściu z kryształu na szybę szklaną pod kątem całko-

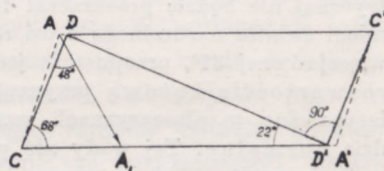


witej polaryzacji, stwierdzimy, że przy skrzyżowaniu płaszczyzny padania z płaszczyzną przecięcia głównego kryształu promienie zwyczajne wcale się nie odbijają, natężenie zaś odbitych promieni nadzwyczajnych będzie miało wartość największą; odwrotnie, przy równoległości tych płaszczyzn nie odbijają się wcale promienie nadzwyczajne. Promienie zwyczajne są przeto spolaryzowane prostoliniowo w płaszczyźnie przecięcia głównego, promienie nadzwyczajne — w płaszczyźnie do niej prostopadłej.

Wyrażając się ściślej, należałoby powiedzieć, że promień nadzwyczajny spolaryzowany jest w płaszczyźnie prostopadłej do płaszczyzny, przechodzącej przez ten promień i oś optyczną kryształu. W danym przypadku, gdy promień leży w płaszczyźnie przecięcia głównego, płaszczyzna jego polaryzacji jest do tej płaszczyzny prostopadła.

Tę własność kalcytu wyzyskał do budowy jednego z najbardziej używanych polaryzatorów (czy też analizatorów) fizyk angielski Nicol (1828 r.).

Pryzmat, przez niego zbudowany, tzw. nikol składa się z dwóch części, (rys. 283) otrzymanych przez rozpiłowanie kryształu wzdłuż płaszczyzny  $DD'$ , prostopadłej do płaszczyzny przecięcia głównego  $ACA'C'$  i do podstaw kryształu  $AC$  i  $A'C'$ , w punktach  $DD'$  tak spiłowanych, żeby z krawędziami tworzyły nie kąt  $71^\circ$ , jak w kryształach normalnych, lecz kąt  $68^\circ$ . Części te są następnie sklejone balsamem kanadyjskim, którego współczynnik załamania dla linii sodu wynosi 1,549.



Rys. 283

Gdy na nikol rzucimy wiązkę promieni równoległych światła normalnego (tak będziemy, wobec użycia wyżej terminu światła zwyczajnego, nazywali dla uniknięcia nieporozumień zwykle światło niespolaryzowane) w kierunku równoległym do krawędzi  $CD'$  kryształu, (rys. 284) a więc pod kątem padania  $\alpha_1 = 22^\circ$ , promienie zwyczajne  $IO$  o współczynniku załamania  $n_D = 1.6584$  załamają się pod kątem  $\beta$  wyznaczonym wzorem

$$\text{arc sin } \beta = \text{arc sin } \left( \frac{1}{1.6584} \sin 22^\circ \right) \approx 13^\circ 3'$$

a zatem z warstewką balsamu, rozłożoną prostopadle do górnej powierzchni kryształu, tworzyć będą kąt  $76^\circ 57'$ , znacznie większy od kąta granicznego  $\alpha = 68^\circ 26'$ . Wobec tego promienie zwyczajne  $IO$  odbijają się od płaszczyzny cięcia i będą pochłonięte przez zaczernione zazwyczaj boczne ściany kryształu.

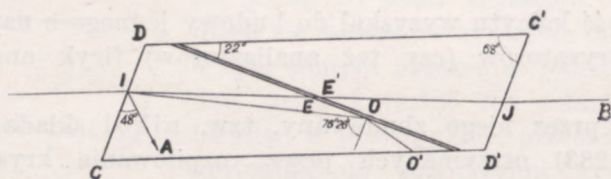


Promienie nadzwyczajne  $IE$  mają w tych warunkach współczynnik załamania równy 1,515, mniejszy od współczynnika załamania w balsamie kanadyjskim, który dla nich jest środowiskiem optycznie gęstszym; przejdą więc przez płaszczyznę cięcia i wyjdą na zewnątrz ( $JB$ )

Ze wzoru

$$\frac{\sin \alpha_1}{\sin (90^\circ - 68^\circ 26')} = 1,6584$$

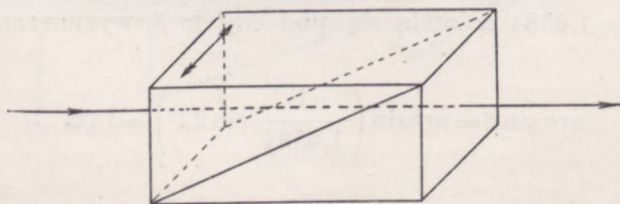
znajdujemy, że całkowite wewnętrzne odbicie promieni zwyczajnych zachodzić będzie dopóty, dopóki kąt padania nie będzie większy od  $37^\circ 33'$ , a więc dopóki kąt między promieniem padającym i boczną krawędzią nikola (jego osią geome-



Rys. 284

tryczną) nie będzie przekraczał  $15^\circ 33'$ . Nikol zatem oświetlony przez stożek promieni światła naturalnego o osi równoległej do krawędzi  $CD'$  i o rozwartości mniej więcej równej  $31^\circ$ , przepuszcza jedynie promienie nadzwyczajne. Kąt  $31^\circ$  nazywamy rozwartością kątową przyrządu. Promienie wychodzące nie będą wszakże spolaryzowane w płaszczyznach wzajemnie równoległych: pole ich widzenia nie będzie normalne. Tej wady nie posiada pryzmat P. Thomsona (1881 r.), wycięty w ten sposób, że oś optyczna kryształu jest prostopadła do osi geometrycznej układu i równoległa do krawędzi łamiących pryzmatu; kąt rozwartości pryzmatu Thomsona wynosi około  $39^\circ$ . W pryzmacie Glazebrooka (1883 r.), mającym własności analogiczne, krawcowe powierzchnie układu są prostopadłe do jego osi geometrycznej rys. 285.

Foucault zastąpił (1857 r.) balsam kanadyjski warstewką powietrza, przez co zmniejszył znacznie kąt nachylenia płaszczyzny cięcia do podstawy i tym sa-



Rys. 285

mym skrócił pryzmat. Kąt rozwartości tego pryzmatu wynosi  $7,5^\circ$ ; pole nie jest normalne. Nieco odmienny typ zaprojektował Prażmowski (1866 r.), przecinając kryształ płaszczyzną prostopadłą do osi optycznej.



Nikol przepuszcza jedynie promienie spolaryzowane w płaszczyźnie prostopadłej do przecięcia głównego. Umieszczając na drodze promieni drugi nikol tak, aby płaszczyzna jego przecięcia głównego była prostopadła do płaszczyzny przecięcia głównego nikola pierwszego (nikole skrzyżowane), otrzymamy prawie zupełne zaciemnienie pola widzenia. Obracając drugi nikol koło wiązki padającej, jak koło osi, stwierdzimy stopniowe rozjaśnianie się pola widzenia, osiągające maksimum przy równoległym ustawieniu płaszczyzn przecięć głównych obu nikolów (nikole równoległe). W położeniu pośrednim natężenie światła wychodzącego wyrażać się będzie wzorem Malusa

$$I_{\varphi} = I \cos^2 \varphi,$$

gdzie  $\varphi$  jest kątem między płaszczyznami przecięć głównych. Przyjmując, co zresztą na ogół potwierdzają wyniki doświadczeń, że natężenia wiązek zwyczajnej i nadzwyczajnej mają w kalceycie wartości jednakowe i że nikol nie pochłania światła, napiszemy

$$I_{\varphi} = \frac{1}{2} I_0 \cos^2 \varphi,$$

gdzie  $I_0$  oznacza natężenie wiązki światła normalnego, padającej na nikol.

Tego rodzaju układów nikoli często używa się w pomiarach fotometrycznych dla regulowania natężenia światła (por. rozdz. I ust. 2).

Podobne do nikola własności posiada turmalin, należący do tego samego, co kalcyt, układu krystalograficznego. Wiązka światła normalnego, padając prostopadle na powierzchnię płytki turmalinowej, której boki są równoległe do osi kryształu, rozdziela się tak, jak w kalceycie, na dwie wiązki; z nich turmalin przepuszcza tylko wiązkę nadzwyczajną, promienie zwyczajne są przez kryształ pochłaniane. Silne zabarwienie tego kryształu (najczęściej na zielono) powoduje wszakże znaczne osłabienie przechodzącego przez płytkę światła, wobec czego jest ona mniej dogodna od pryzmatu Nicola.

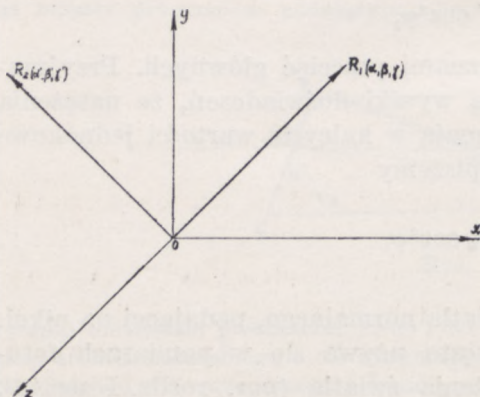
Posługując się taką właśnie płytką, jako polaryzatorem, Fresnel i Arago stwierdzili, (1816 r.), że: 1) wiązki spolaryzowane w płaszczyznach równoległych interferują tak, jak wiązki światła normalnego: zwierciadła Fresnela dają w tak spolaryzowanym świetle ten sam, co w świetle normalnym, układ prążków; 2) wiązki, których płaszczyzny polaryzacji są wzajemnie prostopadłe, żadnych zjawisk interferencji nie wywołują: w tych warunkach prążki w ogóle nie powstają.

Drugie z tych praw udowodniono, stosując układ doświadczenia Younga z tą tylko różnicą, że oba otwory przykryto płytkami turmalinu o jednakowej grubości. Gdy płytki były „skrzyżowane”, na ekranie były widoczne jedynie prążki dyfrakcyjne; przy obracaniu płytek tak, aby kąt między ich osiami optycznymi



stawał się coraz mniejszy, zaczynały się pokazywać prążki interferencyjne, szczególnie wyraźne przy „równoległym” ustawieniu płytek.

Wszystkie te zjawiska wskazują, że zaburzenia świetlne mają cechy wielkości kierunkowych, przy czym odtwarzający je wektor jest prostopadły do kierunku promienia, inaczej bowiem trudno byłoby zrozumieć zależność światła odbitego czy załamane od kąta padania lub od kąta, jaki wiązka padająca tworzy z pewną wyróżnioną płaszczyzną w kryształach. Wektor ten nazywać będziemy wektorem świetlnym. W promieniach, których płaszczyzny polaryzacji są wzajemnie prostopadłe, kierunki tych wektorów muszą tworzyć kąt prosty, gdyż tylko wtedy ich suma geometryczna może mieć wartość niezależną od różnicy faz zaburzeń składowych.



Rys. 286

Niech  $OR_1$  i  $OR_2$  będą kierunkami wektorów interferujących (rys. 286)  $OZ$  — kierunkiem rozchodzenia się światła,  $\alpha, \beta, \gamma$  i  $\alpha', \beta', \gamma'$  kątami, jakie te wektory tworzą z osiami współrzędnych. Zaburzenia świetlne czynić będą zadość równaniom

$$y_1 = a \sin 2\pi \left( \frac{t}{T} - \frac{z}{\lambda} \right)$$

$$y_2 = b \sin 2\pi \left( \frac{t}{T} - \frac{z}{\lambda} - \frac{d}{\lambda} \right).$$

Składowe zaś w kierunku osi współrzędnych wyniosą

$$y_{1x} = a \cos \alpha \cdot \sin 2\pi \left( \frac{t}{T} - \frac{z}{\lambda} \right); y_{1y} = a \cos \beta \cdot \sin 2\pi \left( \frac{t}{T} - \frac{z}{\lambda} \right); y_{1z} = a \cos \gamma \cdot \sin 2\pi \left( \frac{t}{T} - \frac{z}{\lambda} \right)$$

$$y_{2x} = b \cos \alpha' \cdot \sin 2\pi \left( \frac{t}{T} - \frac{z}{\lambda} - \frac{d}{\lambda} \right); y_{2y} = b \cos \beta' \cdot \sin 2\pi \left( \frac{t}{T} - \frac{z}{\lambda} - \frac{d}{\lambda} \right);$$

$$y_{2z} = b \cos \gamma' \cdot \sin 2\pi \left( \frac{t}{T} - \frac{z}{\lambda} - \frac{d}{\lambda} \right);$$

wartości zatem wypadkowych zaburzeń w kierunku osi będą równe

$$\begin{aligned} y_x &= a \cos \alpha \cdot \sin 2\pi \left( \frac{t}{T} - \frac{z}{\lambda} \right) + b \cos \alpha' \cdot \sin 2\pi \left( \frac{t}{T} - \frac{z}{\lambda} - \frac{d}{\lambda} \right) = \\ &= c_x \sin 2\pi \left( \frac{t}{T} - \frac{z}{\lambda} - \frac{d}{\lambda} \right) \text{ itd.} \end{aligned}$$

We wzorach tych  $c_x, c_y, c_z$  będą odpowiednio równe (p. M. Grotowski, Wykłady fizyki tom II, str. 47)

$$c_x^2 = a^2 \cos^2 \alpha + b^2 \cos^2 \alpha' + 2ab \cdot \cos \alpha \cdot \cos \alpha' \cdot \cos 2\pi \frac{d}{\lambda}.$$



Wobec tego amplituda wypadkowa

$$c^2 = c_x^2 + c_y^2 + c_z^2 = a^2 + b^2 + 2ab(\cos\alpha \cdot \cos\alpha' + \cos\beta \cdot \cos\beta' + \cos\gamma \cdot \cos\gamma') \cdot \cos 2\pi \frac{d}{\lambda}.$$

Jeżeli, jak to wynika z doświadczeń Fresnela i Arago wartość tej amplitudy nie zależy od różnicy faz  $\delta = 2\pi \frac{d}{\lambda}$ , trzeci wyraz tego wzoru musi być równy zeru, co jest możliwe tylko wtedy, gdy

$$\cos\alpha \cdot \cos\alpha' + \cos\beta \cdot \cos\beta' + \cos\gamma \cdot \cos\gamma' = 0,$$

a więc gdy wektory  $OR_1$  i  $OR_2$  tworzą kąt prosty.

Odwracając jedną z płaszczyzn polaryzacji np. wektora  $OR_2$  o  $90^\circ$ , otrzymamy układ prążków taki, jak w świetle normalnym, a więc o amplitudzie

$$c^2 = a^2 + b^2 + 2ab \cos 2\pi \frac{d}{\lambda}$$

wtedy jednak kierunki wektorów muszą być równoległe, gdyż

$$\cos\alpha \cdot \cos\alpha' + \cos\beta \cdot \cos\beta' + \cos\gamma \cdot \cos\gamma' = 1.$$

Stąd wynika, że wzajemnie prostopadłe wektory  $OR_1$  i  $OR_2$  są również prostopadłe do promienia.

Rozwijając więc fresnelowskie założenie o podobieństwie zaburzeń świetlnych do drgań w ciałach sprężystych, moglibyśmy powiedzieć, że promienie w ten właśnie sposób spolaryzowane mają cechy takie, jak drgania poprzeczne o oznaczonym stałym kierunku drgań lub o oznaczonej stałej płaszczyźnie drgań tzn. płaszczyźnie, przesuniętej przez promień i kierunek drgania. Z tego też względu nazwaliśmy je spolaryzowanymi prostoliniowo.

Na takie właśnie drgania, że użyjemy tu tej nazwy, rozkładają się zaburzenia światła normalnego, nie wykazujące, jak wiemy, żadnej płaszczyzny wyróżnionej. I te zaburzenia normalne muszą, podobnie jak drgania spolaryzowane, mieć kierunek prostopadły do kierunku promienia; gdyby bowiem posiadały składowe podłużne, suma natężeń promieni zwyczajnych i nadzwyczajnych, nie posiadających tej składowej, musiałaby być po wyjściu z kalejtu mniejsza od natężenia światła padającego, czego, jak wiemy, doświadczenie nie potwierdza. Światło normalne może zatem różnić się od spolaryzowanego jedynie tym, że kierunek jego drgań ulega w ciągu czasu obserwacji wielokrotnym zmianom, tak że kąty, jakie tworzy z dwiema dowolnymi przesuniętymi przez promień i wzajemnie prostopadłymi płaszczyznami  $XX_1$  i  $YY_1$ , mają co chwila inną wartość.

Amplitudy drgań składowych będą w chwili, w której kierunek wektora świetlnego tworzy kąt  $\varphi$  z płaszczyzną  $XX_1$  (rys. 287), odpowiednio równe

$$a_x = a \cos\varphi; \quad a_y = a \sin\varphi.$$

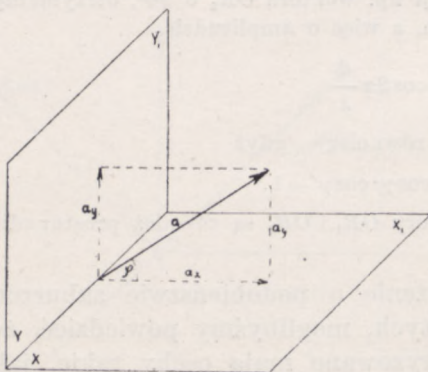


Ponieważ kąt  $\varphi$  przybiera w ciągu czasu obserwacji wszystkie możliwe znaczenia tak, że przeciętna wartość jego cosinusa wynosi  $\frac{\sqrt{2}}{2}$ , przeciętna wartość amplitud składowych równa jest

$$a_x = a_y = \frac{a\sqrt{2}}{2}.$$

Gdy więc płaszczyznami  $XX_1$  i  $YY_1$  są płaszczyzny drgań promieni, spolaryzowanych w dwóch wzajemnie prostopadłych płaszczyznach, natężenia tych wiązek, proporcjonalne do kwadratu ich amplitud, są przeciętnie jednakowe i równe

$$I_1 = I_2 = \frac{1}{2} I_0,$$



Rys, 287

co, jak wyżej była mowa, potwierdzają na ogół pomiary natężeń promieni zwyczajnych i nadzwyczajnych, wychodzących z kalcytu.

W promieniach częściowo spolaryzowanych przeważać będzie pewien oznaczony kierunek drgań, pewna więc wartość kąta  $\varphi$  będzie się powtarzała częściej, niż inne, wobec czego amplitudy  $a_x$  i  $a_y$  nie będą wzajemnie równe.

W promieniach całkowicie spolaryzowanych prostoliniowo kąt  $\varphi$  będzie miał wartość stałą. Jeżeli więc wiązkę takich promieni rzucimy na analizator odbijający (jak płytka szklana) lub przepuszczający (jak nikol), jedynie promienie o oznaczonej płaszczyźnie drgań (lub inaczej o oznaczonej płaszczyźnie polaryzacji) np.  $XX_1$ , tworzącej z daną płaszczyzną drgań kąt  $\varphi$ , natężenie światła odbitego (lub przepuszczonego) wyrazi się wzorem

$$I_1 = I_0 \cdot \cos^2 \varphi,$$

zgodnie z prawem Malusa.

Zmienność wektora świetlnego w promieniu normalnym można wyrazić jeszcze inaczej, a mianowicie, zakładając, że koniec tego wektora opisuje elipsy, których kształt i długość osi ciągle się zmienia. Drgania składowe w dwóch wzajemnie prostopadłych płaszczyznach  $XX_1$  i  $YY_1$  są wtedy równe

$$x = a \cos \varphi \cdot \sin 2\pi \frac{t}{T} = a_x \sin 2\pi \frac{t}{T},$$

$$y = a \sin \varphi \cdot \sin \left( 2\pi \frac{t}{T} - \delta \right) = a_y \sin \left( 2\pi \frac{t}{T} - \delta \right),$$



gdzie  $\delta$  jest zmieniającą się co chwila różnicą początkowych faz drgań składowych (por. M. Grotowski, Wykłady fizyki tom II, str. 47).

Otwierając nawiasy i wyrażając  $\sin \frac{2\pi t}{T}$  i  $\cos \frac{2\pi t}{T}$  w funkcji  $x$ , otrzymamy

$$y = \frac{a_y}{a_x} x \cos \delta - \frac{a_y}{a_x} \sqrt{a_x^2 - x^2} \cdot \sin \delta$$

lub

$$\frac{y}{a_y} = \frac{x}{a_x} \cos \delta - \frac{1}{a_x} \sqrt{a_x^2 - x^2} \cdot \sin \delta$$

i wreszcie

$$-\frac{x}{a_x} \cos \delta + \frac{y}{a_y} = -\frac{1}{a_x} \sqrt{a_x^2 - x^2} \cdot \sin \delta.$$

Po podniesieniu do kwadratu mamy

$$\frac{x^2}{a_x^2} + \frac{y^2}{a_y^2} - \frac{2xy}{a_x a_y} \cos \delta = \sin^2 \delta$$

i ostatecznie

$$\frac{x^2}{a^2 \cos^2 \varphi} + \frac{y^2}{a^2 \sin^2 \varphi} - \frac{2xy \cos \delta}{a^2 \sin \varphi \cdot \cos \varphi} = \sin^2 \delta. \quad (a)$$

Jest to równanie elipsy, odniesione do środka, jako początku współrzędnych, o osiach, stale leżących w płaszczyźnie  $XOY$ ; długość tych osi zmienia się ze zmianą kąta  $\varphi$ , który w promieniu normalnym przybiera, zgodnie z założeniem, co chwila inne wartości. Kąt  $\delta$  też będzie miał wartość zmienną.

Nateżenia przeciętne tych drgań i tym razem będą równe połowie nateżenia światła normalnego. W każdej bowiem chwili mamy

$$a^2 = a_x^2 + a_y^2,$$

przeciętne zaś wartości kosinusa kąta  $\varphi$  są i tym razem równe  $\frac{\sqrt{2}}{2}$ .

W promieniu spolaryzowanym prostoliniowo kąt  $\varphi$  ma wartość stałą, kąt  $\delta$  jest zawsze równy zero, drgania więc w kierunkach  $XX_1$  i  $YY_1$  będą wzajemnie związane. Równanie (a) przekształca się wtedy w równanie linii prostej.

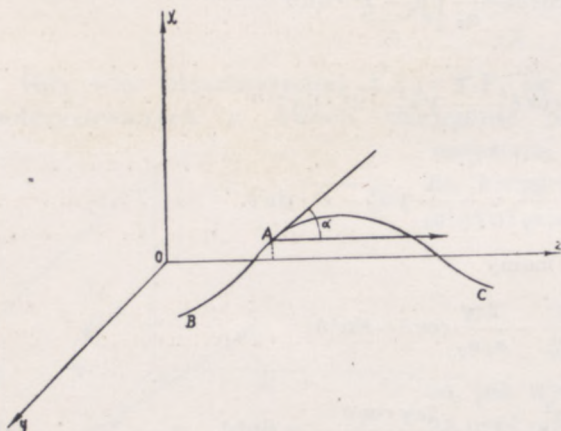
Kierunku jednak wektora świetlnego w promieniach spolaryzowanych prostoliniowo przytoczone wyżej doświadczenia wyznaczyć nie pozwalają: może on równie dobrze leżeć w płaszczyźnie polaryzacji, jak i być do niej prostopadłym; w obu przypadkach interpretacja zjawisk pozostaje ta sama.

Analogia z poprzecznymi drganiami sprężystymi, na której oparł Fresnel swoje wywody, też nie może zagadnienia tego wyjaśnić. W poprzecznych bowiem drganiach sprężystych mamy do czynienia z dwoma wzajemnie prostopadłymi wektorami: wektorem prędkości ruchu elementów objętości środowiska o kierunku zgodnym z kierunkiem przesunięć, i wektorem odkształcenia danego elementu (w fałach podłużnych odkształcenie jest wielkością skalarną). Tak np. w przypadku



drgań struny  $BAC$  (rys. 288), zachodzących w płaszczyźnie  $XOZ$ , wektor prędkości odchylił od położenia równowagi jest równoległy do  $OX$ , wektor zaś odkształcenia, którego miarą jest kąt  $\alpha = \frac{\delta x}{\delta z}$  i które uważać możemy za obrót dookoła osi prostopadłej do płaszczyzny  $XOZ$ , jest do wektora prędkości prostopadły.

Otóż wektor świetlny może równie dobrze odpowiadać wektorowi prędkości, jak i wektorowi odkształcenia; w pierwszym przypadku natężenie światła będzie analogiczne do energii ruchu drgań poprzecznych, w drugim do energii potencjalnej środowiska odkształconego.



Rys. 288

Przyjmiemy za Fresnelem, że wektor świetlny jest w promieniu spolaryzowanym prostopadły do płaszczyzny polaryzacji, taki bowiem wniosek zdaje się wynikać z badań nad stojącymi falami świetlnymi.

## 2. FALE STOJĄCE

Doświadczalne badanie tego zjawiska rozpoczął (1890 r.) Wiener, wszechstronnie rozpatrując warunki jego powstawania.

Nie bez pewnej słuszności możnaby wszakże związać odkrycie istnienia świetlnych fal stojących z nazwiskiem E. Becquerela, który stwierdził (1850 r.), że płytka srebrna, pokryta warstewką czułą na światło (chlorok srebra) i wystawiona przez pewien czas (kilka minut) na działanie silnego widma, wykazuje następnie przy oświetleniu światłem białym obraz tego widma. Becquerel jednak ani nie dał objaśnienia tego zjawiska ani też nie potrafił utrwalić otrzymanej w ten sposób barwnej fotografii widma. Dopiero Zenker (1867 r.) i następnie Rayleigh (1887 r.) uchwycili łączność tego zjawiska z tworzeniem się w warstewce płaszczyzn węzłów i strzałek, powstających na skutek interferencji promieni padających z odbitymi (por. M. Grotowski, Wykłady fizyki tom II, str. 50 i dalsze).

W doświadczeniach Wienera fale stojące tworzyły się przez odbicie od warstewki srebra, pokrywającej płytkę szklaną. Do tego zwierciadła była ze strony, z której światło padało, przystawiona pod bardzo małym kątem nachylenia do płytki (rzędu paru minut katowych) szybka szklana, okryta cienką warstewką, czułą na światło, o grubości rzędu ułamka długości fali użytego światła. Warstewka ta była rozpostarta na stronie zwróconej ku zwierciadłu.

Wiener używał rozcieńczonych roztworów azotanu srebra i soli kuchennej w kolodium. Na szybkę nakładano drugą taką samą szybkę i wpuszczano między



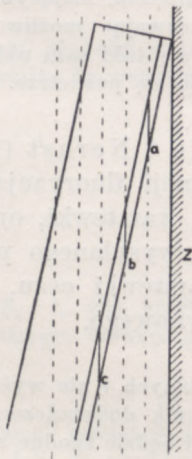
nie parę kropeł roztworu, krople, rozchodząc się pod działaniem włoskowatości, równomiernie rozpościerały się na płytkach. Wówczas odrywano szybki i suszono. Grubość utworzonej błonki można obliczyć z objętości substancji stałej, zawartej we wpuszczonych między szybki kroplach, i z powierzchni szybek. W jednym z doświadczeń Wienera grubość błonki wynosiła mniej więcej  $2 \cdot 10^{-5}$  mm, była zatem trzy razy mniejsza od długości fali żółtej linii sodu ( $\lambda \approx 6 \cdot 10^{-5}$  mm).

Światło łuku elektrycznego, skupione przez odpowiedni układ soczewek w wiązkę równoległą, było po rozszczepieniu w pryzmacie rzucane przy pomocy innego układu soczewek prostopadle na zwierciadło Z. Zgodnie z teorią, płaszczyzny węzłów fali stojącej, utworzonej przez interferencję promieni padających i odbitych, powinny powstawać w odległościach równych połowie długości fali użytego światła. Powinniśmy zatem otrzymać rozkład taki, jak na rys. 289, gdzie linie punktowane *a, b, c* oznaczają płaszczyzny węzłów.

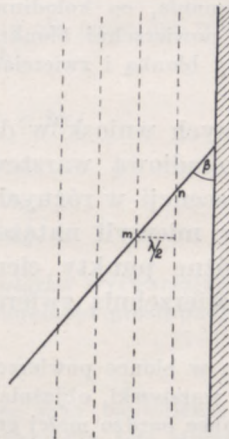
Płaszczyzny te przecinają błonkę, nachyloną pod kątem  $\beta$  do zwierciadła, wzdłuż prostych, leżących w odległościach wzajemnych (rys. 290)

$$\overline{mn} = \frac{\lambda}{2 \sin \beta} \quad (a)$$

W tych miejscach przecięcia natężenie światła powinno być, zgodnie z założeniem, równe zero; a więc te miejsca, jako nie naświetlone, po-



Rys. 289



Rys. 290

winy po wywołaniu i utrwaleniu być jasne. Inaczej będzie w miejscach przecięcia przez płaszczyzny strzałek, gdzie działanie światła jest najsilniejsze. Ostatecznie przeto w świetle przechodzącym widać będzie szereg prążków jasnych na ciemniejszym tle. Odległość tych prążków



przy odpowiednio małym kącie  $\beta$  jest dostatecznie wielka (od 0,5 do 2 mm), aby mogły być zaobserwowane.

Warunkiem jednak niezbędnym jest bardzo mała grubość błonki, inaczej błonka wyda się jednostajnie zaczerniona.

Wiener stwierdził, że zjawisko takie istotnie zachodzi; co więcej, ustalił na nieco innej drodze zgodność danych pomiarowych z obliczeniami, wynikającymi z teorii fal stojących, oraz ważny fakt, że na powierzchni zwierciadła powstaje płaszczyna węzłowa, a więc, że podobnie, jak w omawianym w rozdz. VII ust. 3 doświadczeniu Fresnela faza zaburzenia świetlnego zmienia się przy odbiciu od środowiska optycznie gęstszego na przeciwną.

Mogłaby wszakże powstać wątpliwość, czy prążki Wienera nie są prążkami, wytworzonymi przez interferencję promieni odbitych od powierzchni zetknięcia błonki z powietrzem i od powierzchni zetknięcia powietrza ze zwierciadłem, innymi słowy, czy nie są to prążki analogiczne do prążków Newtona. Wtedy jednak mielibyśmy do czynienia z interferencją promieni o znacznej różnicy amplitud, zdolność bowiem odbijająca tylnej powierzchni błonki jest znacznie mniejsza od zdolności odbijającej zwierciadła, wobec czego minima niewiele by się różniły od maksimów. Dopiero zastępując zwierciadło innym, mniej odbijającym ciałem, np. szybką szklaną, możnaby otrzymać prążki wyraźniejsze. Wiener wszakże wykazał, że właśnie wtedy prążki prawie całkowicie zanikają. Stwierdził również, że wypełniając przestrzeń między błonką i zwierciadłem benzolem, mającym prawie ten sam współczynnik załamania, co kolodium, a więc, usuwając możliwość odbijania się światła od tylnej powierzchni błonki, otrzymuje się taki sam układ prążków, jak wtedy, gdy między błonką i zwierciadłem znajduje się powietrze.

Do tych samych wniosków doszli Drude i Nernst (1892 r.), zastępując błonkę kolodiovą warstewką substancji fluoryzującej i badając natężenie fluorescencji w różnych miejscach warstewki, oraz Ives i Fry (1933 r.), którzy mierzyli natężenie prądu, wysyłanego pod działaniem światła przez różne punkty cieniutkiej warstewki cezu, tworzącej niewielki kąt z powierzchnią zwierciadła platynowego.

Powstawaniem w błonce powierzchni wysświetlanych i nie wysświetlanych, dzielących błonkę na warstewki, objaśnia Zenker wynik doświadczenia Becquerela. Przyjmijmy, co wobec bardzo małej grubości błonki będzie zgodne z rzeczywistością, że błonka jest na ogół przezroczysta i że jedynie na powierzchniach wysświetlonych zachodzi pewne niewielkie zresztą odbijanie się promieni.

Oznaczając przez jedność wartość amplitudy promieni, padających na błonkę, w której fale stojące już uprzednio wytworzyły odpowiedni układ warstewek, amplitudę promieni, odbitych od pierwszej powierzchni, a więc takich, które przeszły tam i z powrotem przez warstewkę pierwszą, oznaczmy przez  $rt^2$ , gdzie  $r$  oznacza część odbitą amplitudy,  $t$  — część przechodzącą ( $r$  i  $t$  są oczywiście ułamekami, przy czym, zgodnie z założeniem,  $r$  jest wielkością bliską zera,  $t$  zaś prawie równe jed-



ności). Zaburzenia te wykazują w porównaniu z odbitymi od przedniej powierzchni błonki różnicę faz

$$\delta = 2\pi \frac{2\varepsilon \sin \beta_1}{\lambda_1} = 2\pi \cdot \frac{\lambda \sin \beta_1}{\lambda_1 \sin \beta}, \quad (b)$$

gdzie  $\varepsilon = \overline{mn} = \frac{\lambda}{2 \sin \beta}$  wyraża odstęp między płaszczyznami strzałek (p. wzór a),

$\lambda$  — długość fali światła, użytego do wytwarzania fal stojących,  $\beta_1$  — kąt, jaki promienie oświetlające czułą błonkę tworzą z jej powierzchnią (nie z normalną do niej),  $\lambda_1$  — ich długość fali. Podobnie amplituda promieni odbitych od drugiej powierzchni, takich przeto, które przeszły przez dwie pierwsze warstewki, wyniesie  $rt^4$ , różnica faz w porównaniu z promieniami, odbitymi od przedniej powierzchni błonki

$$2\delta = 2 \cdot 2\pi \frac{\lambda \cdot \sin \beta_1}{\lambda_1 \sin \beta}.$$

Ostatecznie zatem zaburzenie odbite będzie sumą szeregu zaburzeń

$$Y = r \sin 2\pi \frac{t}{T} + rt^2 \sin \left( 2\pi \frac{t}{T} - \delta \right) + rt^4 \sin \left( 2\pi \frac{t}{T} - 2\delta \right) + \dots$$

natężenie zaś światła odbitego będzie równe (p. wz. 19, rozdz. VII, ust. 8)

$$I_0 = \frac{r^2}{1 - 2t^2 \cos \delta + t^4}.$$

Ma ona wartość największą, gdy  $\cos \delta = 1$ , gdy zatem

$$\delta = 0, 2\pi, 4\pi \dots$$

Wobec skończonej grubości warstewek  $\delta$  nigdy nie może być równe zeru: dla  $\delta = 2\pi$  mamy, podstawiając tę wartość do wzoru (b),

$$\frac{2\pi \cdot \lambda \cdot \sin \beta_1}{\lambda_1 \cdot \sin \beta} = 2\pi,$$

skąd

$$\frac{\lambda}{\sin \beta} = \frac{\lambda_1}{\sin \beta_1}.$$

Gdy  $\sin \beta = \sin \beta_1 = 1$ , gdy przeto zarówno wiązka wytwarzająca falę stojącą, jak i wiązka oświetlająca błonkę, padają na zwierciadło prostopadłe,

$$\lambda = \lambda_1.$$

Natężenie promieni odbitych jest największe przy oświetleniu promieniami o tej samej długości fali, co promienie, które wytworzyły falę stojącą; promienie o innych długościach odbijają się na ogół znacznie słabiej. Jeżeli więc oświetlimy błonę światłem białym, w świetle odbitym zobaczymy barwy, odpowiadające tym długościom fali, jakie były poprzednio użyte do naświetlania błony.

Gdy kąt padania promieni oświetlających nie jest równy  $0^\circ$ ,  $\beta_1$  nie jest równe  $\beta$ , lecz mniejsze od  $\beta$ ,

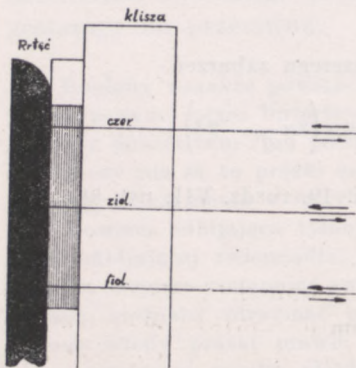
$$\lambda_1 = \lambda \frac{\sin \beta_1}{\sin \beta},$$



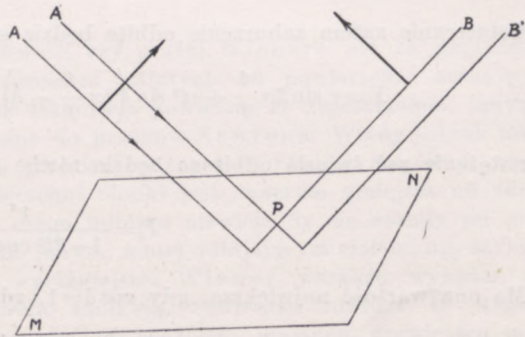
długość fali światła odbitego jest mniejsza od długości fali światła wytwarzającego fale stojącą; barwy błonki są przesunięte ku fioletowi.

Lippmannowi udało się w r 1891 otrzymać klisze, w których warstewki Zenera mogły być utrwalone, czego Becquerel nie próbował. Dla otrzymania tych tzw. fotografii barwnych, umieszczał odpowiednio przygotowaną kliszę tak, aby warstwa czuła na światło była zwrócona ku zwierciadłu, którym była powierzchnia  $R$  rtęci (rys. 291).

Taki sam rozkład prążków otrzymuje się, jak to również wykazał Wiener, w świetle spolaryzowanym; w tym jednak przypadku zjawisko występuje zupełnie wyraźnie jedynie wtedy, gdy płaszczyzną polaryzacji jest płaszczyzna padania; przy skrzyżowaniu tych dwóch płaszczyzn



Rys. 291



Rys. 292

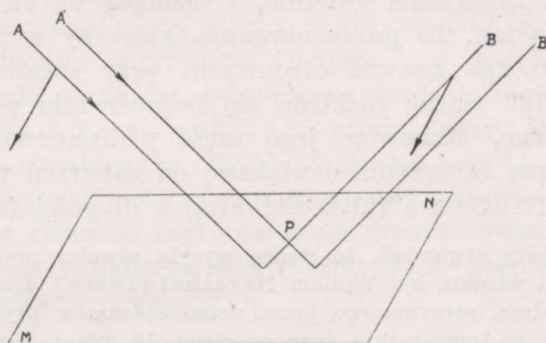
prążki całkowicie zanikają. Stąd wynika, że wektor świetlny tzn. ten wektor, z którym wiążemy działanie na nasz zmysł wzroku i z którym, jak tego dowodzą doświadczenia Wienera, Drudego i Nernsta oraz Ives'a i Fry'a, musimy wiązać działania chemiczne i fotoelektryczne światła, jest prostopadły do płaszczyzny polaryzacji, a więc ma kierunek taki, jaki mu, na innych zgoła założeniach się opierając, przypisał Fresnel.

Istotnie, przypuśćmy, że wiązka  $AA'$  promieni spolaryzowanych prostoliniowo w płaszczyźnie padania pada pod kątem  $45^\circ$  na zwierciadło  $MN$  (Wiener). Gdyby wektor świetlny, prostopadły do promienia, leżał w płaszczyźnie polaryzacji, a więc w płaszczyźnie padania (rys. 292), wektor promieni odbitych  $BB'$  byłby zawsze prostopadły do wektora promieni padających: interferencja w punkcie  $P$  zaburzeń okresowych zachodzących w prostopadłych wzajemnie kierunkach, byłaby niemożliwa, prążki by nie powstawały, co byłoby, jak wiemy, sprzeczne z wynikami doświadczeń Wienera. Jeżeli zaś wektor świetlny jest prostopadły do płaszczyzny polaryzacji (rys. 293), wtedy wektor promienia odbitego



jest równoległy do wektora promienia padającego; interferencja tego rodzaju zaburzeń okresowych w punkcie  $P$  jest zawsze możliwa.

Na tej zasadzie przyjmujemy, że wektor świetlny jest wektorem Fresnela, prostopadłym do płaszczyzny polaryzacji.



Rys. 293

### 3. ZWIĄZEK MIĘDZY ZJAWISKAMI ŚWIETLNYMI I DRGANIAMI ELEKTRO-MAGNETYCZNYMI

Daleko sięgająca analogia między zaburzeniami świetlnymi i drganiami poprzecznymi ciał sprężystych nie obejmuje wszakże jednej z najważniejszych cech światła, a mianowicie jego zdolności rozchodzenia się w próżni. Ze znanych nam zjawisk fizycznych własność tę posiadają jedynie drgania elektromagnetyczne (p. M. Grotowski, Wykłady fizyki, tom II, rozdz IX), rozchodzące się w próżni, jak tego dowodzi zestawienie odpowiednich pomiarów, z tą samą prędkością, co zaburzenia świetlne i mające również cechy drgań poprzecznych. Zjawia się zatem pytanie, czy nie mamy tu do czynienia ze zjawiskami w istocie swej identycznymi? Na to pytanie odpowiedział twierdząco (1873 r.) Maxwell, kładąc w ten sposób podwaliny elektromagnetycznej teorii światła.

Według Maxwella, różnica działań na nasz zmysł wzroku światła i drgań elektromagnetycznych spowodowana jest jedynie przez różnicę długości ich fal, wrażliwość bowiem oka na światło jest, jak wiemy (p. rozdz. V, ust. 4), funkcją tej długości, zmniejszając się dość szybko w miarę zbliżania się do krańców widma, przypadających na fale o długości mniej więcej  $400\text{ m}\mu$  i  $760\text{ m}\mu$ .

Według Goodeve'a i de Groota (1934 r.) niektóre osoby są wrażliwe na promienie o długości fali  $310\text{ m}\mu$ ; z wiekiem wrażliwość przesuwana się ku falom dłuższym (Fabry, 1934 r.).

Otóż doświadczenia wykazują, że promieniowanie widzialne — światło w ścisłym tego słowa znaczeniu — stanowi zaledwie część promie-



niowania, wysyłanego przez każde źródło: przy pomocy bolometru czy kliszy fotograficznej czy wreszcie ciała fluoryzującego możemy stwierdzić w wiązce, wysyłanej przez dane źródło, istnienie zaburzeń, podlegających dokładnie tym samym prawom załamania, odbicia, uginania, interferencji, co zaburzenia świetlne, i różniące się od tych ostatnich jedynie długością fali. To promieniowanie, które by w przeciwstawieniu do świetlnego można nazwać ciemnym, przy rozszczepieniu wiązki przez pryzmat lub siatkę rozkłada się bezpośrednio po obu stronach widma widzialnego, stanowiąc jego część podczerwoną (infra-czerwoną), obejmującą zaburzenia o większej od zaburzeń widzialnych długości fali, i nadfioletową (ultra-fioletową) o długości fali krótszej.

Pierwszym, który stwierdził, że słońce wysyła również promienie, nie działające na nasz zmysł wzroku, był William Herschel (1800 r.). Umieszczając, w różnych częściach widma, otrzymanego przez rozszczepienie w pryzmacie, czuły termometr, stwierdził, że temperatura jego w ciągu 10 minut wzrasta w części fioletowej o  $1,1^{\circ}$ , w części zielonej o  $1,8^{\circ}$ , w czerwonej o  $3,8^{\circ}$ , bezpośrednio poza nią o  $3,5^{\circ}$  i w odległości 5 cm od niej o  $1,75^{\circ}$ . Draper wykazał (1843 r.) istnienie w podczerwonej części widma słonecznego trzech linii ciemnych, odpowiadających liniom Fraunhofera w widmie widzialnym; Abney, używając odpowiednio przygotowanych, czułych na promienie podczerwone klisz fotograficznych, otrzymał (1880 r.) pierwszą fotografię tej części widma, sięgającą do  $\lambda = 0,98 \mu$ ; w ten sposób mógł wykazać w tej części około 180 linii Fraunhofera. Analogiczne doświadczenia pozwoliły stwierdzić, że inne źródła światła wysyłają promienie o większej od promieni widzialnych długości fali.

Dokładną metodę pomiaru długości fali i współczynnika załamania promieni podczerwonych dał Langley (1881 r. i późniejsze). Bolometr jego składał się z wstążeczki platynowej o szerokości 1 do 2 mikromów, pokrytej sadzą i połączonej z bardzo czułym galvanometrem. Promieniowanie pochłaniane przez wstążeczkę, ogrzewało ją i zmieniało jej opór; czułość galvanometru była tak wielka, że pozwalała wykryć wzrost temperatury o  $0,000\,001^{\circ}$  C.

W pomiarach tego rodzaju używa się siatek dyfrakcyjnych i pryzmatów z ciał przezroczystych dla promieni podczerwonych; ciałami takimi są: szkło dla długości fal nie większych od  $2 \mu$ , fluoryna od  $2,5$  do  $8 \mu$ , sól kamienna od  $7$  do  $14 \mu$  i sylwin do  $23 \mu$ .

Zamiast bolometrów obecnie częściej używa się ogniw termoelektrycznych.

Pierwszą obserwację nadfioletowej części widma należy, jak się zdaje, przypisać Wollastonowi (1803 r.), który stwierdził, że chlorek srebra czernieje nawet wtedy, gdy jest umieszczony poza fioletowym końcem widma widzialnego. E. Becquerel wykazał (1843 r.), rzucając widmo słoneczne na papier, pokryty chlorkiem srebra, że również w jego części nadfioletowej znajdują się linie, analogiczne do linii Fraunhofera. I tu jednak spektroskopy o pryzmacie szklanym mogą być stosowane tylko do pewnych niezbyt odległych od fioletowego końca widma granic: fale o długości  $320 m\mu$  są prawie całkowicie przez szkło pochłaniane. Użycie pryzmatów kwarcowych przesuwa tę granicę do mniej więcej  $200 m\mu$ , poniżej której nie tylko kwarc, lecz nawet powietrze staje się środowiskiem nieprzezroczystym. Zastąpienie kwarcu przez fluorynę i usunięcie powietrza z drogi, którą przebiegają promienie świetlne, pozwala na dojście do mniej więcej  $120 m\mu$  (Schumann, 1889 r.). Millikan, używając wklęsłej siatki dyfrakcyjnej, otrzymał



(1920 r.) w próżni, rozszczepiając światło iskry, przeskakującej między elektrodami glinowymi, linię, odpowiadającą długości fali  $13,66 \mu$ . Fotografowanie tych części widma wymaga specjalnych klisz (klisze Schumanna), wrażliwych jedynie na fale niewidzialnej części widma.

Drgania elektromagnetyczne tworzą, według Maxwella, jakby przedłużenie podczerwonej części widma, różniąc się od drgań, obserwowanych zwykłymi metodami optycznymi, jedynie swą mniejszą częstością. To założenie zostało w 60 lat później potwierdzone doświadczalnie przez E. F. Nicholisa i Teara (1923 r.), którzy przy pomocy oscylatora Hertza (p. M. Grotowski, Wykłady fizyki, tom II, rozdz. IX, ust. 7), o bardzo małej pojemności i indukcji własnej, otrzymali drgania elektromagnetyczne o częstości rzędu częstości promieniowania podczerwonego, wysyłanego przez pobudzoną elektrycznie do świecenia parę rtęci, umieszczonej w naczyniu kwarcowym.

Najmniejsza długość fali, którą otrzymali przy pomocy swego przyrządu Nicols i Tear, wynosiła  $220 \mu$ ; największa zaś długość fali promieniowania podczerwonego, którą udało się osiągnąć Rubensowi i von Bayerowi była  $320 \mu$ .

Z dwóch wektorów — natężenia pola elektrycznego  $\vec{E}$  i natężenia pola magnetycznego  $\vec{H}$ , charakteryzujących drgania elektromagnetyczne w próżni lub w środowisku jednorodnym i równokierunkowym, wektorowi świetlnemu odpowiada wektor elektryczny. Podobnie bowiem, jak na powierzchni zwierciadła powstaje zawsze płaszczyzna węzłowa stojącej fali świetlnej, przy odbiciu fal elektromagnetycznych powstaje na powierzchni odbijającej węzeł pola elektrycznego (p. M. Grotowski, Wykłady fizyki, tom II, str. 655).

Ścisłe biorąc w przypadku drgań elektromagnetycznych mamy jeszcze do czynienia z wektorami indukcji elektrycznej  $\vec{D}$ , magnetycznej  $\vec{B}$ ; wektory te mają wszakże w środowiskach jednorodnych i równokierunkowych kierunki odpowiednio te same, co wektory  $\vec{E}$  i  $\vec{H}$ , wartości zaś proporcjonalne do wartości tych wektorów, jak to wynika ze wzorów

$$\vec{D} = \epsilon \vec{E} \quad \text{i} \quad \vec{B} = \mu \vec{H},$$

gdzie  $\epsilon$  i  $\mu$  mają we wszystkich elementach środowiska wartości jednakowe. Równie dobrze przeto moglibyśmy za wektor świetlny przyjąć wektor indukcji elektrycznej (por. rozdz. X, ust. 3).

Strumień jednak światła jest zależny zarówno od natężenia pola elektrycznego, jak i magnetycznego.

Rozpatrzmy prosty przypadek wiązki jednorodnych promieni równoległych spolaryzowanych prostopadłościowo. W wiązce takiej wektor świetlny ma kierunek stały, np. osi  $OX$ , tym samym i prostopadły do niego wektor magnetyczny ma



też stały kierunek osi  $OY$ . Rozkład wektorów w przestrzeni dany jest przez dwie sinusoidy (rys. 294).

Wyodrębnijmy w badanym środowisku element objętości o przekroju  $s$ , prostopadłym do osi  $OZ$  i o długości  $dz$ . Energia elektromagnetyczna, zawarta w tym elemencie, równa sumie energii elektrycznej i magnetycznej, wynosi

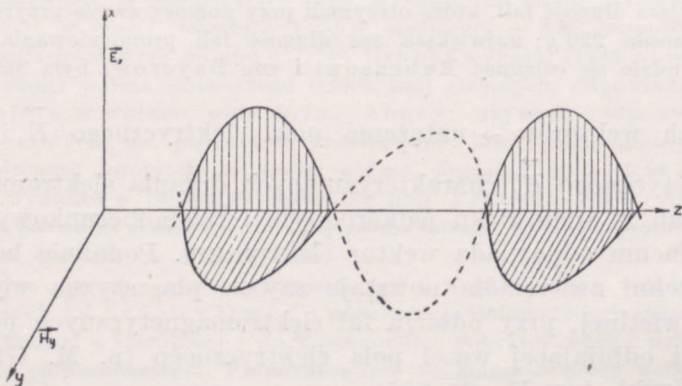
$$dU = \frac{1}{8\pi} (\varepsilon E^2 + \mu H^2) \cdot dz \cdot s,$$

skąd po podstawieniu

$$E = E_0 \sin \frac{2\pi}{T} \left( t - \frac{z}{c_1} \right) \quad \text{i} \quad H = H_0 \sin \frac{2\pi}{T} \left( t - \frac{z}{c_1} \right),$$

gdzie  $c_1$  jest prędkością rozchodzenia się zaburzeń w danym środowisku, otrzymujemy

$$dU = \frac{1}{8\pi} \left[ \varepsilon E_0^2 \sin^2 \frac{2\pi}{T} \left( t - \frac{z}{c_1} \right) + \mu H_0^2 \sin^2 \frac{2\pi}{T} \left( t - \frac{z}{c_1} \right) \right] dz \cdot s.$$



Rys. 294

Mamy jednak (p. M. Grotowski, Wykłady fizyki tom II, rozdz. IX wzór 19a).

$$H_0 = \sqrt{\frac{\varepsilon}{\mu}} E_0, \quad (\text{a})$$

wobec czego

$$dU = \frac{\varepsilon}{4\pi} \cdot E_0^2 \sin^2 \frac{2\pi}{T} \left( t - \frac{z}{c_1} \right) dz \cdot s.$$

Ta energia przechodzi przez dany element w przeciągu czasu

$$dt = \frac{dz}{c_1},$$

w jednostce zatem czasu przechodzi przez przekrój  $s$  energia

$$\frac{dU}{dt} = \frac{\varepsilon}{4\pi} c_1 E_0^2 \sin^2 \frac{2\pi}{T} \left( t - \frac{z}{c_1} \right) \cdot s,$$



co, uwzględniając wzór (a), możemy przepisać w postaci

$$\frac{dU}{dt} = \frac{\sqrt{\epsilon\mu}}{4\pi} c_1 E \cdot H \cdot s. \quad (b)$$

Zgodnie wszakże z wywodami ust. 2 rozdz. I, strumień światła, przechodzący przez przekrój  $s$ , jest równy (p. wzór 7a rozdz. I)

$$\Phi = C \cdot \frac{dU}{dt} = C \frac{\sqrt{\epsilon\mu}}{4\pi} c_1 E \cdot H \cdot s, \quad (c)$$

gdzie  $C$  jest większe od zera, gdy dana wiązka zawiera również promienie o długościach fal, leżących w granicach widma widzialnego.

Wzór ten można uprościć, podstawiając wartość  $c_1$  ze wzoru (p. M. Grotowski, Wykłady fizyki tom II, str. 651 wz. (18a)

$$c_1 = \frac{c}{\sqrt{\epsilon\mu}},$$

tak że mamy

$$\Phi = C \cdot \frac{c}{4\pi} \cdot E \cdot H \cdot s. \quad (d)$$

Wprowadźmy nowy wektor  $\vec{S}$ , prostopadły do wektorów  $\vec{E}$  i  $\vec{H}$  i skierowany w stronę dodatniej osi  $Oz$ , a zatem mający kierunek rozchodzenia się zaburzeń, i równy

$$\frac{c}{4\pi} E \cdot H.$$

W myśl określenia, podanego w t. I Wykładów fizyki M. Grotowskiego str. 61 wektor ten możemy uważać za iloczyn zewnętrzny wektorów  $E$  i  $H$

$$\vec{S} = \frac{c}{4\pi} [\vec{E}, \vec{H}], \quad (3)$$

tworzących w tym przypadku szczególnym (drgań elektromagnetycznych) kąt prosty. Strumień światła będzie zatem

$$\Phi = C \cdot \vec{S} \cdot s. \quad (3a)$$

Wektor  $\vec{S}$ , wyznaczający kierunek rozchodzenia się energii zaburzeń i tym samym kierunek promienia świetlnego, nosi nazwę wektora promieniowania lub wektora Poyntinga od nazwiska fizyka, który pierwszy wykazał (1884 r.) jego znaczenie fizyczne.

Zaburzenia elektromagnetyczne rozchodzą się, jak wiemy, z prędkością

$$c_1 = \frac{c}{\sqrt{\epsilon\mu}}.$$

Dla drgań o częstości wielkiej (o długości fali rzędu paru milimetrów) zdolność magnetyczna środowiska nie tylko w środowiskach przezro-



czystych, lecz nawet ferromagnetycznych, znikomo mało różni się od jedności (Rubens i Hagen, 1902 r., a zwłaszcza Arkadiew, 1913 r.), wobec tego możemy napisać

$$c_1 = \frac{c}{\sqrt{\varepsilon}}.$$

Stosunek zatem prędkości w próżni i w danym środowisku, równy w myśl określenia (ust. 1, rozdz. VII) współczynnikowi załamania danego środowiska,

$$n = \frac{c}{c_1} = \sqrt{\varepsilon_1}$$

(zdolność elektryczną próżni przyjmujemy za równą jednostce,  $\varepsilon$  jest zatem równe stałej dielektrycznej środowiska), skąd

$$\varepsilon_1 = n^2. \quad (4)$$

Sprawdzenie doświadczalne tego wniosku nastęrcza duże trudności, bowiem równania Maxwella dotyczą dielektryków doskonałych, pozbawionych całkowicie przewodnictwa i tym samym nie pochłaniających zupełnie energii drgań elektromagnetycznych, a więc doskonale przezroczystych. W takich ciałach  $\varepsilon$  ma wartość stałą, niezależną od szybkości zmian pola elektrycznego i magnetycznego (p. M. Grotowski, Wykłady fizyki, tom II, str. 260), a więc wartość stałą, niezależną od długości fali zaburzenia, miałby w nich również współczynnik załamania  $n$ , ciała te nie rozszczepiałyby zupełnie światła. Takich jednak nie rozszczepiających światła ciał nie znamy. Istnieją co prawda ciała przezroczyste dla wszystkich promieni widma widzialnego (np. szkło, kwarc, sól kamienna) i one jednak, jak wiemy, światło rozszczepiają.

Otóż we wszystkich tego rodzaju ciałach — przezroczystych w zwykłym tego słowa znaczeniu — współczynnik załamania wzrasta ze zmniejszaniem się długości fali, w analogiczny sposób, jak przy rozszczepianiu anomalnym, gdzie, jak widzieliśmy, (rozd. III, ust. 6), ma on wartość najmniejszą dla barwy, zbliżonej od strony fioletowej widma do barwy pochłanianej, i wzrastającą stopniowo w miarę zbliżania się do końca fioletowego. Zjawia się zatem pytanie, czy i ciała, zazwyczaj uważane za przezroczyste, nie posiadają pasów absorpcyjnych poza widzialną częścią widma. Doświadczenie daje na to pytanie odpowiedź twierdzącą. Z pomiarów Rubensa (od 1892 r.), Nicholisa (1897 r.), Paschena (1894 r.) i innych wynika, że kwarc pochłania promienie o długości fali  $8,5 \mu$  i  $21 \mu$ , a więc należące do bardzo stosunkowo odległej od widma



widzialnego podczerwieni; sól kamienna ma pas absorpcyjny jeszcze dalej, gdyż dla długości fali  $61,67 \mu$  (Fuchs i Wolff, 1928 r.), sylwin, jedno z najbardziej przezroczystych ciał pochłania fale o długości  $71 \mu$ .

Okazuje się zatem, że żadne ze znanych nam ciał przezroczystych nie jest jednakowo przezroczyste dla wszystkich długości fal; nie też dziwnego, że, jakkolwiek ciała są na ogół tym mniej dla światła przezroczyste, im większe jest ich przewodnictwo (por. niżej, ust. 5), to jednak niektóre dielektryki, jak ebonit, parafina są nieprzezroczyste, dobrze zaś przewodzące roztwory elektrolityczne są przezroczyste dla promieni światła. Rozszczepienie jest przeto ściśle związane z selekcyjnym (łac. *selectio* — wybór) pochłanianiem drgań elektromagnetycznych.

Związek ten możemy z gruba sobie wyjaśnić, zakładając, że naboje elementarne dielektryka, wytracone z położenia równowagi, co powoduje powstanie polaryzacji dielektryka (p. M. Grotowski, Wykłady fizyki tom II, rozdz. III, ust. 10), podlegają działaniu sił dwójakiego rodzaju: siły, proporcjonalnej do odchylenia od położenia równowagi, mającej przeto cechy siły sprężystości, i siły, proporcjonalnej do prędkości przesuwania się naboju, analogicznej zatem do siły tarcia. Na skutek działania siły pierwszej nabój, wytracony z położenia równowagi, będzie się wahał z częstością własną, zależną od masy, związanej z danym nabojem i od wartości danej quasi sprężystej siły. Drgania te na skutek działania siły drugiej — rozpraszającej — będą stopniowo zanikały. Pod działaniem zmiennego pola elektrycznego o częstości tak, jak w falach elektromagnetycznych, bardzo wielkiej, drgania naboju będą drganiami wymuszonymi o amplitudzie na ogół tym większej, im wartość zmian pola zewnętrznego mniej się będzie różniła od częstości drgań własnych naboju elementarnego. Przy zupełnej ich zgodności cała energia dostarczona z zewnątrz zużyje się na podtrzymanie energii ruchu drgającego naboju, przechodząc na skutek działania sił rozpraszających w inne postacie energii; wtedy otrzymamy pas absorpcyjny. W myśl tych, niewątpliwie zbyt prostych i przy bliższym rozpatrzeniu nastroczających sporo wątpliwości założeń, można oprzeć rozpatrywanie polaryzacji dielektryków na teorii drgań wymuszonych i, co za tym idzie, zależności stałej dielektrycznej od częstości zmian pola elektrycznego. Takie właśnie były podstawy teorii dyspersji, opracowanej ostatecznie (1892 r.) przez H. A. Lorentza, którego poprzednikami na tej drodze byli Maxwell (1869 r.), Sellmeier (1872 r.) i Helmholtz (1874 r.), przy czym dwaj ostatni zjawiska dyspersji nie wiązali z elektromagnetyczną teorią światła.

Chcąc przeto wyrazić współczynnik załamania w funkcji długości fali, należy znać dokładnie położenie pasów absorpcyjnych, co szczególnie w częściach widma odległych od części widzialnej jest rzeczą niełatwą.

Wzory, do których prowadzą wyżej naszkicowane rozważania, mają postać równania

$$n^2 = 1 + \sum_i \frac{M \lambda^2}{\lambda^2 - \lambda_i^2} \quad (5)$$



gdzie  $\lambda_i$  oznacza długość fal kolejnych pasem absorpcyjnym,  $M$  zaś jest wielkością stałą, charakterystyczną dla danego środowiska. Wzór (5) bywa nazywany wzorem Sellmeiera. Gdy ciało posiada pasma absorpcyjne jedynie w części nadfioletkowej, na wartość współczynnika załamania promieni widzialnych otrzymujemy po uwzględnieniu, że  $\lambda$  jest większe od  $\lambda_i$

$$\frac{M\lambda^2}{\lambda^2 - \lambda_i^2} = \frac{M}{\left(1 - \frac{\lambda_i}{\lambda}\right)^2} = M \left(1 - \frac{\lambda_i}{\lambda}\right)^{-2} = M \left(1 + \frac{\lambda_i^2}{\lambda^2} + \frac{\lambda_i^4}{\lambda^4} + \dots\right),$$

skąd, kładąc

$$1 + M = A; \quad M\lambda_i^2 = B; \quad M\lambda_i^4 = C \dots,$$

mamy

$$n^2 = A + \frac{B}{\lambda^2} + \frac{C}{\lambda^4}, \quad (5a)$$

tzw. wzór Cauchy'ego (1866 r.), którym posługiwaliśmy się już uprzednio (p. str. 346). Wzór ten dobrze odtwarza dyspersję używanych w optyce rodzajów szkła.

H. A. Lorentz, uzupełniając wzór Sellmeiera, udowodnił (1880 r.), że

$$\frac{n^2 - 1}{n^2 + 2} \cdot \frac{1}{\rho} = \text{stałe} \quad (5b)$$

(por. rozdz. III, ust. 6), gdzie  $\rho$  jest gęstością danego środowiska, stała zaś wielkość, charakterystyczna dla danego ciała, jest zależna od długości fali. Wzór ten sprawdza się szczególnie dobrze przy porównywaniu współczynników załamania danego ciała w stanie ciekłym i w stanie pary. Tak np. promienie, mające w wodzie o gęstości 0,9991 współczynnik załamania 1,333 7, w parze wodnej o gęstości 0,008 09 mają współczynnik załamania 1,000 250, a więc taki sam, jaki byśmy otrzymali ze wzoru (5b), podstawiając w nim odpowiednią wartość gęstości. Podobnie w parze dwusiarczku węgla o gęstości 0,003 41 promienie, dla których w cieczy  $n$  wynosi 1,6320, mają współczynnik załamania równy 1,001 48, gdy ze wzoru (5b) otrzymujemy 1,001 44. W parze eteru etylowego o gęstości 0,003 32 na wartość  $n$  promieni, mających w cieczy współczynnik załamania 1,355 8, otrzymujemy z pomiaru 1,001 52, ze wzoru zaś (5b) 1,001 51.

Stosując wzór Lorentza do fal długich, elektromagnetycznych w ściślejszym tego słowa znaczeniu, znajdujemy wzór

$$\frac{n^2 - 1}{n^2 + 1} \cdot \frac{1}{\rho} = \frac{\epsilon - 1}{\epsilon + 2} \cdot \frac{1}{\rho} = C, \quad (5c)$$

wyrażający zależność zdolności elektrycznej od gęstości.

Jedynie w ciałach o małej zdolności rozszczepiającej możemy wyniki pomiarów optycznych bezpośrednio zestawić z danymi pomiarów elektrostatycznych. Do takich ciał należą gazy. Porównując wartości stałej dielektrycznej gazów (p. M. Grotowski, Wykłady fizyki, tom II, str. 261) ze współczynnikiem załamania w tych gazach żółtej linii sodu otrzymu-



jemy całkowitą prawie zgodność wartości  $K$  i  $n_D^2$ , jak tego dowodzi poniższa tablica

	$K$	$n_D^2$
powietrze	1,000 573	1,000 583
dwutlenek węgla	1,000 987	1,000 901
wodór	1,000 273	1,000 258
tlenek węgla	1,000 69	1,000 668
tlen	1,000 546	1,000 540
azot	1,000 330	1,000 322

Godne uwagi jest, że dla parafiny wartości  $K$  i  $n_D^2$  mało się różnią

$$K=1,974 \quad n_D^2=2,022.$$

Przyjęcie założeń Maxwella nie przesądza wszakże w niczym słuszności czy niesłuszności hipotezy Fresnela, wiążącej zaburzenia świetlne z drganiami sprężystymi, rozszerza jedynie jej zakres na drgania elektromagnetyczne w ścisłym tego słowa znaczeniu. Przyjmując bowiem zaburzenia świetlne i drgania elektromagnetyczne za zjawiska tego samego rodzaju, możemy jednocześnie obie te grupy zjawisk uważać za szczególne przypadki drgań sprężystych, podlegających prawom mechaniki. Taka sprężysta teoria światła, opracowana przez Fresnela na wiele lat przed ogłoszeniem teorii Maxwella, wymaga wszakże dodatkowych założeń, z których najważniejsze jest założenie istnienia sprężystego środowiska, przenikającego wszystkie ciała i wypełniającego nawet próżnię, własności bowiem światła wykluczają całkowicie możliwość przenoszenia drgań świetlnych (lub biorąc rzecz ogólniej, drgań elektromagnetycznych) przez którekolwiek ze znanych nam środowisk materialnych. Temu nowemu środowisku — eterowi (gr. aither, górna warstwa atmosfery, w przeciwieństwie do dolnej aer) — należałoby przypisać własności, w przyrodzie niespotykane, m. in. sztywność, (inaczej bowiem nie mogłyby w nim powstawać drgania poprzeczne), i równocześnie wielką lub nawet ujemną ściśliwość (W. Thomson, 1888 r.). Fresnel, dobierając odpowiednio własności eteru, zdołał ująć w ścisłe wzory, na ogół potwierdzone przez doświadczenie, zjawiska odbicia i załamania światła. Do tych samych jednak wzorów można dojść i bez założeń Fresnela, opierając się na znanych nam prawach zjawisk elektrycznych i magnetycznych. Dlatego też, nie wchodząc w bliższe rozpatrywanie hipotez Fresnela, oprzemy się w dalszych wywodach wyłącznie na założeniach Maxwella.

#### 4. ODBICIE I ZAŁAMANIE NA POWIERZCHNI CIAŁ PRZEZROCZYSTYCH

Rozpatrzmy nieco dokładniej zjawiska odbicia i załamania fal świetlnych na powierzchni ciał przezroczystych.

a) Przypuśćmy, że na płaską powierzchnię rozdziału doskonałych dielektryków (i tym samym środowisk doskonale przezroczystych) pada pod kątem  $\alpha_1$  wiązka promieni równoległych, spolaryzowanych w płaszczyźnie padania.

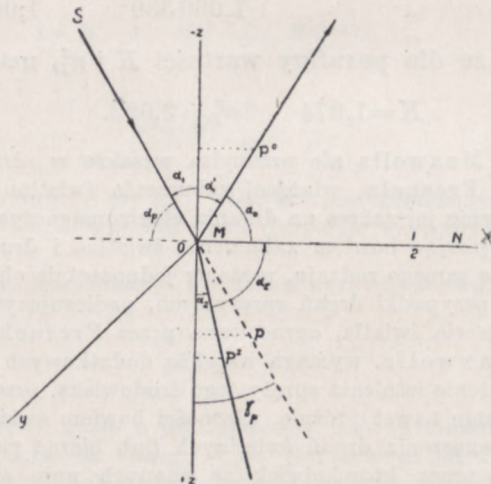
Powierzchnię tę weźmiemy za płaszczyznę  $xOy$ , płaszczyznę padania za płaszczyznę  $zOx$ , osi zaś  $Oz$  nadamy taki kierunek, aby środowisko 2, do którego światło



wchodzi, leżało po stronie dodatnich wartości  $z$  (rys. 295). W tych warunkach składowe wektora  $E_x$  i  $E_z$  elektrycznego  $\vec{E}$ , prostopadłego do płaszczyzny padania są równe zero, mamy przeto

$$E^{(p)} = E_y^{(p)} = E_p^{(p)} \sin \frac{2\pi}{T} \left( t - \frac{\rho}{c_1} \right), \quad (\text{a})$$

gdzie przez  $E_p$  oznaczamy amplitudę drgań padających, prostopadłych do płaszczyzny padania, przez  $\rho$  zaś odległość danego punktu środowiska od tej powierzchni fali, dla której punktów przyjmujemy fazę początkową drgań równą zero.



Rys. 295

Faza drgań ma we wszystkich punktach osi  $Oy$  wartość jednakową, oś  $Oy$  jest bowiem prostą, wzdłuż której powierzchnia fali przecina powierzchnię rozdziału. Licząc zatem odległość dowolnego punktu  $P$ , leżącego na jednym z promieni, padających w punktach prostej  $Oy$  na powierzchnię rozdziału, od tej prostej, będziemy mogli napisać ogólnie

$$E^{(p)} = E_p^{(p)} \sin \frac{2\pi}{T} \left( t - \frac{x \cos \alpha_p + z \cos \gamma_p}{c_1} \right), \quad (\text{b})$$

gdzie  $\alpha_p$  i  $\gamma_p$  oznaczają kąty, jakie promień tworzy z osiami  $Ox$  i  $Oz$ .

Na powierzchni  $MN$  wiązka padająca dzieli się na dwie części: jedna z nich odbija się z powrotem od środowiska pierwszego, druga załamując się, wchodzi do środowiska drugiego. Zaburzenia te możemy ująć we wzory

$$E^{(0)} = E_p^{(p)} \sin \frac{2\pi}{T} \left( t - \frac{x \cos \alpha_0 + y \cos \beta_0 + z \cos \gamma_0}{c_1} \right),$$

$$E^{(z)} = E_p^{(z)} \sin \frac{2\pi}{T} \left( t - \frac{x \cos \alpha_z + y \cos \beta_z + z \cos \gamma_z}{c_2} \right), \quad (\text{c})$$

gdzie  $c_2$  oznacza prędkość rozchodzenia się zaburzeń w drugim środowisku,  $E_p^{(0)}$  i  $E_p^{(z)}$  amplitudy drgań w promieniach odbitych i załamanych.



Z praw elektrostatyki (p. M. Grotowski, Wykłady fizyki tom II, rozdz. III, ust. 5) wynika, że składowe styczne natężenia pola elektrycznego mają przy przejściu z jednego dielektryka do drugiego w punktach obu dielektryków, bliskich powierzchni rozdziału, wartości jednakowe, kładąc zatem we wzorach (b) i (c)  $z=0$ , otrzymujemy

$$E_p^{(p)} \sin \frac{2\pi}{T} \left( t - \frac{x \cos \alpha_p}{c_1} \right) + E_p^{(z)} \sin \frac{2\pi}{T} \left( t - \frac{x \cos \alpha_0 + y \cos \beta_0}{c_1} \right) = \\ = E_p^{(z)} \sin \frac{2\pi}{T} \left( t - \frac{x \cos \alpha_z + y \cos \beta_z}{c_2} \right),$$

gdyż w pierwszym środowisku zaburzenia na powierzchni rozdziału składają się z zaburzeń padającego i odbitego.

Równość ta powinna być spełniona dla wszystkich znaczeń  $t$  i dla wszystkich wartości  $x$  i  $y$ , a zatem musimy mieć

$$\frac{\cos \alpha_p}{c_1} = \frac{\cos \alpha_0}{c_1} = \frac{\cos \alpha_z}{c_2} \quad (e)$$

oraz

$$\cos \beta_0 = \cos \beta_z = 0, \\ E_p^{(p)} + E_p^{(0)} = E_p^{(z)}.$$

Promienie odbity i załamany tworzą z osią  $Oy$  kąt prosty, tak jak promień padający, leżą więc w płaszczyźnie padania. Poza tym

$$\alpha_p = \alpha_0$$

i

$$\frac{\cos \alpha_p}{c_1} = \frac{\cos \alpha_z}{c_2}$$

lub

$$\frac{\cos \alpha_p}{\cos \alpha_z} = \frac{c_1}{c_2}.$$

Kąty  $\alpha_p$  i  $\alpha_z$  są dopełnieniami kątów padania i załamania, które oznaczaliśmy przez  $\alpha_1$  i  $\alpha_2$ , ostatecznie zatem otrzymujemy

$$\frac{\sin \alpha_1}{\sin \alpha_2} = \frac{c_1}{c_2} = \frac{n_2}{n_1} = n,$$

prawo Descartes'a. Wynik ten można było z góry przewidzieć, gdyż prawa Descartes'a są wnioskiem z równań, wyrażających rozchodzenie się ze stałą prędkością zaburzeń okresowych.

Wektor  $\vec{H}$  natężenia pola magnetycznego, prostopadły do kierunku promienia i do wektora  $\vec{E}$ , będzie tym razem leżał w płaszczyźnie padania.

Gdy  $\vec{E}_p^{(p)}$  ma kierunek dodatnich wartości  $y$ , wektor  $\vec{H}$  tworzy z osią  $Ox$  kąt  $\pi - \alpha_1$  (rys. 296), wobec czego jego składowa styczna  $H_x$  jest równa

$$H_x^{(p)} = -H_p^{(p)} \cos \alpha_1 \cdot \sin \frac{2\pi}{T} \left( t - \frac{x \sin \alpha_1 + z \cos \alpha_1}{c_1} \right) = \\ = -\sqrt{\varepsilon_1} \cdot E_p^{(p)} \cos \alpha_1 \cdot \sin \frac{2\pi}{T} \left( t - \frac{x \sin \alpha_1 + z \cos \alpha_1}{c_1} \right).$$



Składowa styczna wektora  $\vec{H}$  po odbiciu tworzy z osią  $Ox$  kąt  $\alpha_1$ , gdy  $E_y$  jest jak poprzednio, skierowane w stronę dodatnich  $y$ , gdyż odbicie zmienia kierunek rozchodzenia się drgań. Wobec tego składowa ta będzie równa

$$H_x^{(0)} = \sqrt{\varepsilon_1} \cdot E_p^{(0)} \cos \alpha_1 \sin \frac{2\pi}{T} \left( t - \frac{x \sin \alpha_1 + z \cos \alpha_1}{c_1} \right).$$

Kierunek wektora  $\vec{H}$  wyznaczamy bezpośrednio ze wzoru (3), wektor Poyntinga wyznacza kierunek rozchodzenia się zaburzeń.

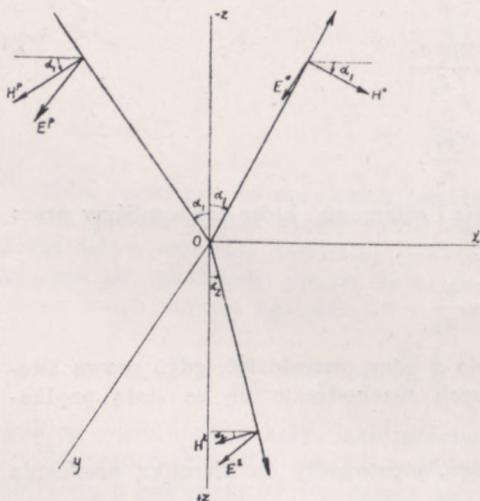
Składowa styczna wektora  $\vec{H}$  w promieniu załamanym wyniesie

$$H_x^{(z)} = -\sqrt{\varepsilon_2} \cdot E_p^{(z)} \cos \alpha_2 \cdot \sin \frac{2\pi}{T} \left( t - \frac{x \sin \alpha_2 + z \cos \alpha_2}{c_2} \right).$$

Warunek więc równości składowych stycznych pola magnetycznego w punkcie  $z=0$  wyrazi się równaniem

$$(-\sqrt{\varepsilon_1} \cdot E_p^{(p)} + \sqrt{\varepsilon_1} \cdot E_p^{(0)}) \cos \alpha_1 = -\sqrt{\varepsilon_2} \cdot E_p^{(z)} \cos \alpha_2. \quad (f)$$

Z tego równania i z ostatniego z równań (e) można wyznaczyć amplitudy drgań odbitych i załamanych w funkcji amplitudy drgań padających. Po prostych przekształceniach znajdujemy



Rys. 296

$$E_{w}^{(0)} = \frac{\cos \alpha_1 - \sqrt{\frac{\varepsilon_2}{\varepsilon_1}}}{\cos \alpha_1 + \sqrt{\frac{\varepsilon_2}{\varepsilon_1}}} \cdot E_p^{(p)} \quad (g)$$

skąd podstawiając

$$\sqrt{\frac{\varepsilon_2}{\varepsilon_1}} = n = \frac{\sin \alpha_1}{\sin \alpha_2},$$

$$E_p^{(0)} = -\frac{\sin(\alpha_1 - \alpha_2)}{\sin(\alpha_1 + \alpha_2)} E_p^{(p)}. \quad (6)$$

Podobnie

$$E_p^{(z)} = \frac{2 \cos \alpha_1 \cdot \sin \alpha_2}{\sin(\alpha_1 + \alpha_2)} E_p^{(p)}. \quad (6a)$$

W przypadku zatem przechodzenia zaburzeń ze środowiska optycznie rzadszego do optycznie gęstszego ( $n > 1$ ) amplitudy drgań odbitego i padającego mają bez względu na wartość kąta padania  $\alpha_1$  znaki przeciwne, gdyż kąt  $\alpha_1$  jest zawsze większy od kąta  $\alpha_2$ . Kierunki wektorów są przeto takie, jak na rys. 296.

Przekrój wiązki odbitej i prędkość jej rozchodzenia się są odpowiednio równe przekrojowi i prędkości wiązki padającej, wobec czego stosunek natężeń światła

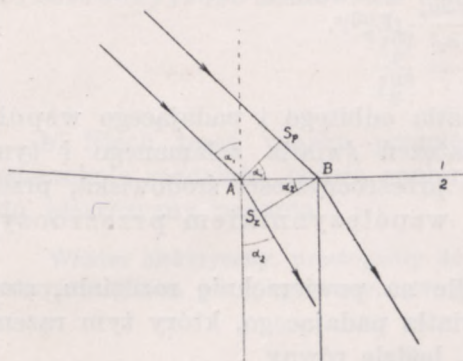


odbitego do padającego jest równy po prostu stosunkowi kwadratów odpowiednich amplitud

$$\frac{I_p^{(0)}}{I_p^{(p)}} = \left( \frac{E_p^{(0)}}{E_p^{(p)}} \right)^2 = \frac{\sin^2(\alpha_1 - \alpha_2)}{\sin^2(\alpha_1 + \alpha_2)} \quad (7)$$

Wiązka załamania ma inny przekrój i inną prędkość rozchodzenia się. Przez powierzchnię  $S_p$  przekroju wiązki padającej (rys. 297) przechodzi w jednostkę czasu strumień światła, proporcjonalny do energii, zawartej w walcu o przekroju  $S_p = AB \cdot \cos \alpha_1$  i o wysokości  $l = c_1$ , a więc równej

$$\frac{c_1}{8\pi} (E_p^{(p)})^2 \cdot AB \cdot \cos \alpha_1,$$



Rys. 297

przez przekrój wiązki załamanej  $S_z$  przechodzi w jednostkę czasu strumień, proporcjonalny do energii, zawartej w objętości  $c_2 \cdot AB \cdot \cos \alpha_2$  i równej

$$\frac{c_2}{8\pi} (E_p^{(z)})^2 \cdot AB \cdot \cos \alpha_2.$$

Stosunek tych strumieni równy jest stosunkowi natężeń światła załamane go i padającego. Mamy zatem

$$\frac{I^{(z)}}{I^{(p)}} = \frac{c_2}{8\pi} \frac{(E_p^{(z)})^2 AB \cdot \cos \alpha_2}{\frac{c_1}{8\pi} (E_p^{(p)})^2 \cdot AB \cdot \cos \alpha_1} = \left( \frac{E_p^{(z)}}{E_p^{(p)}} \right)^2 \frac{c_2}{c_1} \cdot \frac{\cos \alpha_2}{\cos \alpha_1} = \left( \frac{E_p^{(z)}}{E_p^{(p)}} \right)^2 \frac{\sin \alpha_1 \cos \alpha_2}{\sin \alpha_2 \cos \alpha_1},$$

skąd po podstawieniu wartości  $E_p^{(z)}$  ze wzoru (6a) otrzymujemy

$$\frac{I^{(z)}}{I^{(p)}} = \frac{4 \cos^2 \alpha_1 \cdot \sin^2 \alpha_2}{\sin^2(\alpha_1 + \alpha_2)} \cdot \frac{\sin \alpha_1 \cdot \cos \alpha_2}{\sin \alpha_2 \cdot \cos \alpha_1} = \frac{\sin 2\alpha_1 \cdot \sin 2\alpha_2}{\sin^2(\alpha_1 + \alpha_2)} \quad (7a)$$

Łatwo sprawdzić, że wzory powyższe czynią zadość zasadzie zachowania energii. Istotnie powinniśmy mieć

$$\frac{c_1}{8\pi} (E_p^{(p)})^2 \cdot AB \cdot \cos \alpha_1 = \frac{c_1}{8\pi} (E_p^{(0)})^2 \cdot AB \cdot \cos \alpha_1 + \frac{c_2}{8\pi} (E_p^{(z)})^2 \cdot AB \cdot \cos \alpha_2$$

lub

$$c_1 \cos \alpha_1 [(E_p^{(p)})^2 - (E_p^{(0)})^2] = c_2 (E_p^{(z)})^2 \cos \alpha_2,$$

skąd

$$(E_p^{(p)})^2 - (E_p^{(0)})^2 = (E_p^{(z)})^2 \frac{\sin \alpha_1 \cdot \cos \alpha_2}{\sin \alpha_2 \cdot \cos \alpha_1} = \frac{\sin 2\alpha_1 \cdot \sin 2\alpha_2}{\sin^2(\alpha_1 + \alpha_2)} (E_p^{(p)})^2.$$



Podstawiając wartość  $E_p^{(0)}$  ze wzoru (6), znajdujemy, że lewa część równania równa jest

$$\begin{aligned} (E_p^{(p)})^2 - (E_p^{(0)})^2 &= \frac{\sin^2(\alpha_1 + \alpha_2) - \sin^2(\alpha_1 - \alpha_2)}{\sin^2(\alpha_1 + \alpha_2)} (E_p^{(p)})^2 = \\ &= \frac{[\sin(\alpha_1 + \alpha_2) - \sin(\alpha_1 - \alpha_2)] \cdot [\sin(\alpha_1 + \alpha_2) + \sin(\alpha_1 - \alpha_2)]}{\sin^2(\alpha_1 + \alpha_2)} (E_p^{(p)})^2 = \\ &= \frac{\sin 2\alpha_1 \cdot \sin 2\alpha_2}{\sin^2(\alpha_1 + \alpha_2)} (E_p^{(p)})^2, \end{aligned}$$

a zatem równa części prawej.

Nazwijmy stosunek natężeń światła odbitego i padającego współczynnikiem odbicia, stosunek natężeń światła załamane go i tym samym, wobec założenia doskonałej przezroczystości środowiska, przechodzącego przez środowisko drugie, współczynnikiem przezroczystości.

Gdy promienie padają prostopadle na powierzchnię rozdziału, stosunek natężeń światła odbitego i światła padającego, który tym razem nazwiemy zdolnością odbijającą, będzie równy

$$\frac{I_p^{(0)}}{I_p^{(p)}} = \left( \frac{n-1}{n+1} \right)^2, \quad (7b)$$

gdzie znaczek  $p$  u dołu oznacza, że mamy do czynienia ze światłem spolaryzowanym w płaszczyźnie padania.

Istotnie kładąc we wzorze (g)

$$\frac{\cos \alpha_1}{\cos \alpha_2} = 1; \quad \sqrt{\frac{\epsilon_2}{\epsilon_1}} = n,$$

otrzymujemy

$$E_p^{(0)} = -\frac{n-1}{n+1} E_p^{(p)}, \quad (7c)$$

stąd stosunek natężeń

$$\frac{I_p^{(0)}}{I_p^{(p)}} = \left( \frac{E_p^{(0)}}{E_p^{(p)}} \right)^2 = \left( \frac{n-1}{n+1} \right)^2. \quad (7d)$$

I w tym przeto przypadku, gdy  $\alpha_1 = \alpha_2$  część światła, spolaryzowanego w płaszczyźnie padania, odbija się od powierzchni rozdziału.

Zdolność odbijająca pozostaje bez zmiany przy odwróceniu biegu promieni, istotnie, podstawiając  $\frac{1}{n}$  zamiast  $n$ , otrzymujemy tę samą wartość stosunku natężeń, zależną jedynie od wartości współczynnika załamania środowiska drugiego względem pierwszego i tym większą, im bardziej  $n$  różni się od jedności.



Przyjmując we wzorze (7a)

$$\cos \alpha_1 = \cos \alpha_2 = 1 \quad \text{i} \quad \sin \alpha_1 \approx \alpha_1 = n \sin \alpha_2 \approx n \alpha_2,$$

znajdujemy

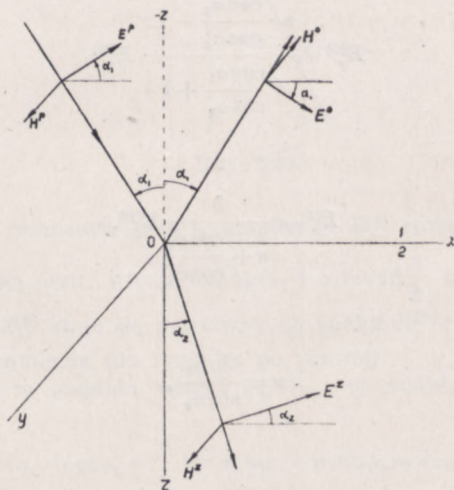
$$\frac{I_p^{(z)}}{I_p^{(p)}} = \frac{4n}{(n+1)^2},$$

Przezroczystość środowiska drugiego wyraża się wzorem

$$\frac{I_p^{(z)}}{I_p^{(p)}} = \frac{4n}{(n+1)^2}. \quad (7e)$$

b) Niech teraz wiązka promieni równoległych, padających na powierzchnię rozdziału, będzie spolaryzowana w płaszczyźnie prostopadłej do płaszczyzny padania.

Wektor elektryczny, prostopadły do promienia, będzie tym razem leżał w płaszczyźnie, którą, jak poprzednio, przyjmiemy za płaszczyznę padania (rys. 298).



Rys. 298

Jego składowe styczne do powierzchni rozdziału będą odpowiednio równe

$$E_x^{(p)} = E_r^{(p)} \cos \alpha_1 \cdot \sin \frac{2\pi}{T} \left( t - \frac{x \sin \alpha_1 + z \cos \alpha_1}{c_1} \right),$$

$$E_x^{(r)} = -E_r^{(p)} \cos \alpha_1 \cdot \sin \frac{2\pi}{T} \left( t - \frac{x \sin \alpha_1 + z \cos \alpha_1}{c_1} \right),$$

$$E_x^{(z)} = E_r^{(z)} \cos \alpha_2 \cdot \sin \frac{2\pi}{T} \left( t - \frac{x \sin \alpha_2 + z \cos \alpha_2}{c_2} \right),$$



gdzie znaczek  $r$  oznacza drgania równoległe do płaszczyzny padania. Składowe styczne wektora  $\vec{H}$ , prostopadłego do płaszczyzny padania, wyrażą się wzorami

$$H_p^{(p)} = \sqrt{\varepsilon_1} \cdot E_r^{(p)} \sin \frac{2\pi}{T} \left( t - \frac{x \sin \alpha_1 + z \cos \alpha_1}{c_1} \right),$$

$$H_y^{(0)} = \sqrt{\varepsilon_1} \cdot E_r^{(0)} \cdot \sin \frac{2\pi}{T} \left( t - \frac{x \sin \alpha_1 + z \cos \alpha_1}{c_1} \right),$$

$$H_y^{(z)} = \sqrt{\varepsilon_1} \cdot E_r^{(z)} \cdot \sin \frac{2\pi}{T} \left( t - \frac{x \sin \alpha_2 + z \cos \alpha_2}{c_2} \right).$$

Z twierdzenia o równości składowych stycznych po obu stronach powierzchni rozdziału ( $z=0$ ) otrzymujemy

$$E_r^{(p)} \cos \alpha_1 - E_r^{(0)} \cos \alpha_1 = E_r^{(z)} \cos \alpha_2,$$

$$\sqrt{\varepsilon_1} E_r^{(p)} + \sqrt{\varepsilon_1} \cdot E_r^{(0)} = \sqrt{\varepsilon_2} \cdot E_r^{(z)},$$

skąd

$$E_r^{(0)} = \frac{n \cdot \frac{\cos \alpha_1}{\cos \alpha_2} - 1}{n \frac{\cos \alpha_1}{\cos \alpha_2} + 1} \cdot E_r^{(p)} \quad (8)$$

i

$$E_r^{(z)} = \frac{2}{n + \frac{\cos \alpha_2}{\cos \alpha_1}} E_r^{(p)}.$$

Podstawiając

$$n = \frac{\sin \alpha_1}{\sin \alpha_2},$$

znajdujemy

$$\begin{aligned} E_r^{(0)} &= \frac{\sin \alpha_1 \cos \alpha_1 - \sin \alpha_2 \cdot \cos \alpha_2}{\sin \alpha_1 \cdot \cos \alpha_1 + \sin \alpha_2 \cdot \cos \alpha_2} E_r^{(p)} = \frac{\sin (\alpha_1 - \alpha_2) \cdot \cos (\alpha_1 + \alpha_2)}{\sin (\alpha_1 + \alpha_2) \cdot \cos (\alpha_1 - \alpha_2)} E_r^{(p)} = \\ &= \frac{\operatorname{tg} (\alpha_1 - \alpha_2)}{\operatorname{tg} (\alpha_1 + \alpha_2)} E_r^{(p)} \end{aligned} \quad (8a)$$

i

$$E_r^{(z)} = \frac{2 \cos \alpha_1 \sin \alpha_2}{\sin \alpha_1 \cos \alpha_1 + \sin \alpha_2 \cos \alpha_2} E_r^{(p)} = \frac{2 \cos \alpha_1 \sin \alpha_2}{\sin (\alpha_1 + \alpha_2) \cos (\alpha_1 - \alpha_2)} E_r^{(p)}.$$

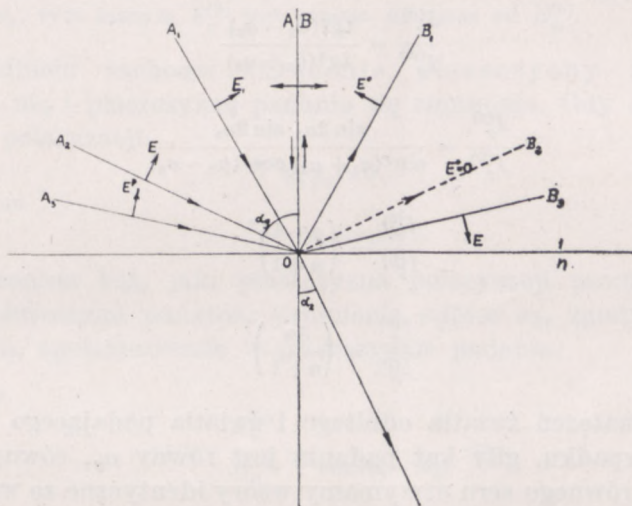
Amplituda drgania odbitego równa jest zeru przy  $\alpha_1 + \alpha_2 = 90^\circ$ , mamy wtedy

$$n = \frac{\sin \alpha_1}{\sin \alpha_2} = \frac{\sin \alpha_1}{\cos \alpha_1} = \operatorname{tg} \alpha_1.$$



kąt  $\alpha_1 = \alpha_0$  jest zatem, zgodnie z prawem Brewstera, kątem całkowitej polaryzacji, pod którym promienie spolaryzowane w płaszczyźnie prostopadłej do płaszczyzny padania wcale się nie odbijają.

Gdy środowisko drugie jest optycznie gęstsze od środowiska pierwszego ( $n > 1$ ,  $\alpha_1 > \alpha_2$ ), kierunki wektorów elektrycznych są takie, jak na rys. 299. Dopóki kąt  $\alpha_1$  jest mniejszy od  $\alpha_0$ , wektor odbity jest po tej samej stronie promienia (na rysunku po lewej, gdy patrzymy w kierunku rozchodzenia się światła), co wektor pada-



Rys. 299

jący. Ze stopniowym wzrostem kąta  $\alpha_1$  amplituda  $E_r^{(0)}$  stopniowo maleje, aby przy  $\alpha_1 = \alpha_0$  stać się równą zeru; wtedy też  $\text{tg}(\alpha_1 + \alpha_2) = \text{tg} \frac{\pi}{2}$  przechodzi od wartości  $+\infty$  do  $-\infty$ , znak  $E_r^{(0)}$  staje się przeciwny do znaku  $E_r^{(p)}$ : wektor odbity leży po przeciwnej stronie promienia (na rysunku po prawej).

Przy prostopadłym padaniu wiązki ( $\alpha_1 = \alpha_2 = 0$ ) znajdujemy, kładąc, jak poprzednio,

$$\cos \alpha_1 = \cos \alpha_2 = 1 \quad \sin \alpha_1 \approx \alpha_1 = n \sin \alpha_2 \approx n \alpha_2,$$

że

$$E_r^{(0)} = \frac{n-1}{n+1} E_r^{(p)},$$

$$E_r^{(z)} = \frac{2}{n+1} E_r^{(p)}. \tag{9}$$

I tym razem przeto wektor odbity leży po tej samej stronie promienia, gdy patrzymy stale w kierunku rozchodzenia się światła; światło odbite obserwujemy wszakże w kierunku promienia padającego: wektor odbity będzie skierowany w stronę przeciwną do wektora padającego, jak to bezpośrednio wynika z rys. 299, gdy promienie  $AO$  i  $BO$  przybliżymy do normalnej. W tym więc przypadku jednakowe



znaki amplitud oznaczają przeciwne położenia wektorów względem normalnej. Wzory przeto (9) są w istocie identyczne ze wzorem (7b), co można było z góry przewidzieć, gdyż przy  $\alpha_1=0$  za płaszczyznę padania możemy brać dowolną płaszczyznę, przesuniętą przez oś  $Oz$ ; tym samym przeto znika różnica między promieniami spolaryzowanymi w płaszczyźnie padania i promieniami spolaryzowanymi w płaszczyźnie do niej prostopadłej.

Rozumując w ten sam sposób, co przy wyprowadzaniu wzorów (7), (7a), (7c) (7e) znajdziemy, że

$$\frac{I_r^{(0)}}{I_r^{(p)}} = \frac{\operatorname{tg}^2(\alpha_1 - \alpha_2)}{\operatorname{tg}^2(\alpha_1 + \alpha_2)} \quad (10)$$

i

$$\frac{I_r^{(z)}}{I_r^{(p)}} = \frac{\sin 2\alpha_1 \cdot \sin 2\alpha_2}{\sin^2(\alpha_1 + \alpha_2) \cos^2(\alpha_1 - \alpha_2)} \quad (10a)$$

i przy  $\alpha_1=0$ 

$$\frac{I_r^{(0)}}{I_r^{(p)}} = \left( \frac{n-1}{n+1} \right)^2$$

oraz

$$\frac{I_r^{(z)}}{I_r^{(p)}} = \left( \frac{4n}{n+1} \right)^2.$$

Stosunek natężeń światła odbitego i światła padającego będzie tym razem w przypadku, gdy kąt padania jest równy  $\alpha_\varphi$ , równy zeru. Dla kąta padania równego zeru otrzymamy wzory identyczne ze wzorami (7c).

c) Przypuśćmy teraz, że wiązkę padającą tworzą promienie, spolaryzowane w płaszczyźnie, tworzącej kąt  $\varphi$  z płaszczyzną padania.

Amplitudę  $E_{90-\varphi}^{(p)}$ , tworzącą z płaszczyzną padania kąt  $90-\varphi$ , rozkładamy na dwie składowe: prostopadłą i równoległą do płaszczyzny padania. Pierwsza z nich, odpowiadająca drganiom, spolaryzowanym w płaszczyźnie padania, równa jest

$$E_p^{(p)} = E_{90-\varphi}^{(p)} \cos \varphi,$$

druga, odpowiadająca drganiom, spolaryzowanym w płaszczyźnie prostopadłej do płaszczyzny padania,

$$E_r^{(p)} = E_{90-\varphi}^{(p)} \sin \varphi.$$

Zgodnie ze wzorami (6), (6a) i (8a) amplitudy tych składowych po odbiciu i załamaniu będą odpowiednio równe

$$E_p^{(c)} = - \frac{\sin(\alpha_1 - \alpha_2)}{\sin(\alpha_1 + \alpha_2)} \cos \varphi \cdot E_{90-\varphi}^{(p)}$$

$$E_p^{(z)} = \frac{2 \cos \alpha_1 \sin \alpha_2}{\sin(\alpha_1 + \alpha_2)} \cos \varphi \cdot E_{90-\varphi}^{(p)}$$

oraz

$$E_r^{(0)} = \frac{\operatorname{tg}(\alpha_1 - \alpha_2)}{\operatorname{tg}(\alpha_1 + \alpha_2)} \sin \varphi E_{90-\varphi}^{(p)}$$

$$E_r^{(z)} = \frac{2 \cos \alpha_1 \sin \alpha_2}{\sin(\alpha_1 + \alpha_2) \cos(\alpha_1 - \alpha_2)} \sin \varphi E_{90-\varphi}^{(p)}.$$



Sumy geometryczne tych par składowych, mających różnicę fazy 0, dają po odbiciu i załamaniu drgania spolaryzowane prostopadłowo w płaszczyznach, tworzących z płaszczyzną padania kąty  $\varphi_0$  i  $\varphi_z$ . Pierwszy z tych kątów otrzymujemy ze wzorów

$$\operatorname{tg} \varphi_0 = \frac{E_r^{(0)}}{E_p^{(0)}} = \frac{\operatorname{tg}(\alpha_1 - \alpha_2) \cdot \sin(\alpha_1 + \alpha_2)}{\operatorname{tg}(\alpha_1 + \alpha_2) \cdot \sin(\alpha_1 - \alpha_2)} \operatorname{tg} \varphi = \frac{\cos(\alpha_1 + \alpha_2)}{\cos(\alpha_1 - \alpha_2)} \operatorname{tg} \varphi. \quad (11a)$$

Kąt  $\varphi_0$  jest zawsze mniejszy od  $\varphi$ , gdyż suma kątów  $\alpha_1 + \alpha_2$  jest zawsze większa od różnicy  $\alpha_1 - \alpha_2$ , tym samym  $E_r^{(0)}$  jest zawsze mniejsze od  $E_p^{(0)}$ .

Przy odbiciu zachodzi skręcenie płaszczyzny polaryzacji: kąt między nią i płaszczyzną padania się zmniejsza. Gdy  $\alpha_1 = \alpha_2$ , kątowi całkowitej polaryzacji,

$$\operatorname{tg} \varphi_0 = 0.$$

Wtedy bowiem

$$\cos(\alpha_1 + \alpha_2) = 0,$$

gdzie  $\varphi_0$  oznacza kąt, jaki płaszczyzna polaryzacji promieni odbitych tworzy z płaszczyzną padania: promienie odbite są, zgodnie z prawem Brewstera, spolaryzowane w płaszczyźnie padania.

Podobnie

$$\operatorname{tg} \varphi_z = \frac{E_r^{(z)}}{E_p^{(z)}} = \frac{1}{\cos(\alpha_1 - \alpha_2)} \cdot \operatorname{tg} \varphi. \quad (11b)$$

Ponieważ  $\cos(\alpha_1 - \alpha_2)$  jest zawsze mniejszy od jedności,  $\operatorname{tg} \varphi_z$  jest większy od  $\operatorname{tg} \varphi$ ; i  $\varphi_z > \varphi$ .

Płaszczyzna polaryzacji promieni załamanych zbliża się do płaszczyzny, prostopadłej do płaszczyzny padania. Odbicie i załamanie skręcają płaszczyznę polaryzacji w kierunkach przeciwnych. Ten wniosek ze wzorów Fresnela doświadczenie całkowicie potwierdza.

Natężenie wiązek odbitej i załamanej otrzymamy, sumując natężenia drgań składowych, które, jako wzajemnie prostopadłe, nie podlegają interferencji. Będziemy więc mieli

$$\frac{I_\varphi^{(0)}}{I_\varphi^{(p)}} = \frac{I_p^{(0)} + I_r^{(0)}}{I_\varphi^{(p)}} = \frac{I_p^{(0)}}{I_\varphi^{(p)}} \cdot \cos^2 \varphi + \frac{I_r^{(0)}}{I_\varphi^{(p)}} \sin^2 \varphi = \frac{\sin^2(\alpha_1 - \alpha_2)}{\sin^2(\alpha_1 + \alpha_2)} \cos^2 \varphi + \frac{\operatorname{tg}^2(\alpha_1 - \alpha_2)}{\operatorname{tg}^2(\alpha_1 + \alpha_2)} \sin^2 \varphi \quad (11c)$$

oraz

$$\frac{I_\varphi^{(z)}}{I_\varphi^{(p)}} = \frac{\sin 2\alpha_1 \cdot \sin 2\alpha_2}{\sin^2(\alpha_1 + \alpha_2)} \cos^2 \varphi + \frac{\sin 2\alpha_1 \cdot \sin 2\alpha_2}{\sin^2(\alpha_1 + \alpha_2) \cos^2(\alpha_1 - \alpha_2)} \sin^2 \varphi. \quad (11d)$$

d) W ten sam sposób możemy wyznaczyć amplitudy i natężenia promieni odbitych i załamanych, gdy wiązka padająca jest wiązką drgań naturalnych (niespolaryzowanych).

Wtedy jednak wartość kąta  $\varphi$  będzie miała co chwila inne wartości, przeciętna jednak wartość  $\cos \varphi$  i  $\sin \varphi$  będzie w ciągu czasu obserwacji wielkością stałą, równą



$\frac{\sqrt{2}}{2}$ , tak że składowe  $E_p^{(p)}$  i  $E_r^{(p)}$  będą przeciętnie wzajemnie równe. Wzory (11), (11c) i (11d) przekształcą się w następujące:

$$E_p^{(0)} = -\frac{\sqrt{2}}{2} \cdot \frac{\sin(a_1 - a_2)}{\sin(a_1 + a_2)} \cdot E^{(p)}$$

$$E_p^{(z)} = \frac{\sqrt{2}}{2} \cdot \frac{2 \cos a_1 \sin a_2}{\sin(a_1 + a_2)} E^{(p)} \quad (12)$$

$$E_r^{(0)} = -\frac{\sqrt{2}}{2} \cdot \frac{\operatorname{tg}(a_1 - a_2)}{\operatorname{tg}(a_1 + a_2)} E^{(p)}$$

$$E_r^{(z)} = \frac{\sqrt{2}}{2} \cdot \frac{2 \cos a_1 \cdot \sin a_2}{\sin(a_1 + a_2) \cos(a_1 - a_2)} E^{(p)}$$

oraz

$$\frac{I^{(0)}}{I^{(p)}} = \frac{1}{2} \left[ \frac{\sin^2(a_1 - a_2)}{\sin^2(a_1 + a_2)} + \frac{\operatorname{tg}^2(a_1 - a_2)}{\operatorname{tg}^2(a_1 + a_2)} \right]$$

$$\frac{I^{(z)}}{I^{(p)}} = \frac{1}{2} \left[ \frac{\sin 2a_1 \cdot \sin 2a_2}{\sin^2(a_1 + a_2)} + \frac{\sin 2a_1 \cdot \sin 2a_2}{\sin^2(a_1 + a_2) \cos^2(a_1 - a_2)} \right]. \quad (12a)$$

Zarówno w promieniu odbitym, jak i załamanym, przeciętne wartości składowych równoległych i prostopadłych do płaszczyzny padania nie są wzajemnie równe, promienie te są przeto częściowo spolaryzowane.

W promieniach odbitych nadwyżka stosunku natężeń drgań spolaryzowanych w płaszczyźnie padania, będąca miarą polaryzacji promieni odbitych, wynosi

$$I_{\text{spol}}^{(0)} = I_p^{(0)} - I_r^{(0)} = \frac{1}{2} \frac{\sin^2(a_1 - a_2)}{\sin^2(a_1 + a_2)} \left[ 1 - \frac{\cos^2(a_1 + a_2)}{\cos^2(a_1 - a_2)} \right] I^{(p)} =$$

$$= \frac{1}{2} \frac{\sin 2a_1 \cdot \sin 2a_2 \cdot \sin^2(a_1 - a_2)}{\sin^2(a_1 + a_2) \cdot \cos^2(a_1 - a_2)} \cdot I^{(p)}. \quad (12b)$$

W promieniu załamanym przeważają drgania spolaryzowane w płaszczyźnie prostopadłej do płaszczyzny padania

$$I_{\text{spol}}^{(z)} = I_r^{(z)} - I_p^{(z)} = \frac{1}{2} \frac{\sin 2a_1 \cdot \sin 2a_2}{\sin^2(a_1 + a_2)} \left( \frac{1}{\cos^2(a_1 - a_2)} - 1 \right) I^{(p)} =$$

$$= \frac{1}{2} \frac{\sin 2a_1 \cdot \sin 2a_2 \cdot \sin^2(a_1 - a_2)}{\sin^2(a_1 + a_2) \cos^2(a_1 - a_2)} \cdot I^{(p)}. \quad (12c)$$

Nadwyżki te są wzajemnie równe, jak to doświadczalnie stwierdził (1815 r.) Arago.

Stosunek natężenia światła spolaryzowanego w płaszczyźnie padania do natężenia wiązki padającej jest w wiązce odbitej równy stosunkowi natężenia w wiązce załamanej światła, spolaryzowanego w płaszczyźnie prostopadłej do płaszczyzny padania, do natężenia wiązki padającej (prawo Arago).



Gdy wiązka światła naturalnego pada na płaszczyznę rozdziału pod kątem całkowitej polaryzacji  $\alpha_g$ , promienie odbite są, jak wiemy, całkowicie spoaryzowane w płaszczyźnie padania. Jeżeli przeto wiązka kolejno odbija się pod tym kątem od szeregu ułożonych jedna na drugiej równoległych powierzchni przezroczystych, polaryzacja wiązki załamanej stopniowo wzrasta, gdyż do uprzednio spolaryzowanych przez załamanie i nie odbijających się promieni dochodzą za każdym razem nowe, otrzymane przez załamanie z tej części wiązki, która nie była spolaryzowana w poprzednich odbiciach czy załamaniach.

Na tej zasadzie oparta jest budowa tzw. stosu szklanego (pile de glaces), składającego się z wielu nałożonych jedna na drugą cienkich szybek szklanych. Wiązka, padająca na stos pod kątem całkowitej polaryzacji, wychodzi po załamaniu prawie całkowicie spolaryzowana w płaszczyźnie, prostopadłej do płaszczyzny padania. Przyrząd ten pozwala zatem otrzymać jednocześnie wiązki spolaryzowane we dwóch wzajemnie prostopadłych płaszczyznach: jedna z tych wiązek polaryzuje się przez odbicie, druga przez załamanie.

$$\text{Kładąc we wzorze (12c) } \alpha_1 = \alpha_g \text{ i } \alpha_2 = \frac{\pi}{2} - \alpha_g$$

oraz

$$\sin \alpha_g = n \cos \alpha_g = \frac{n}{\sqrt{n^2 + 1}}, \quad \cos \alpha_g = \frac{1}{\sqrt{n^2 + 1}},$$

znajdujemy, że po pierwszym załamaniu stosunek natężenia promieni, spolaryzowanych w płaszczyźnie prostopadłej do płaszczyzny padania, do natężenia promieni padających wynosi

$$\frac{I_{\text{spol}}}{I} = \frac{1}{2} \frac{(n^2 - 1)^2}{(n^2 + 1)^2} = \frac{1}{2} \frac{(n^2 + 1)^2 - (n^2 - 1)^2}{(n^2 + 1)^2} = \frac{1}{2} \left[ 1 - \left( \frac{4n^2}{(n^2 + 1)^2} \right) \right].$$

Po załamaniu dwukrotnym np. po przejściu przez jedną płytkę stosu szklanego (promień załamuje się na przedniej i tylnej powierzchni płytki)

$$\frac{I_{\text{spol}}}{I} = \frac{1}{2} \left[ 1 - \left( \frac{4n^2}{(n^2 + 1)^2} \right)^2 \right]$$

i po  $2p$  załamaniach, po przejściu zatem przez  $p$  płytek

$$\frac{I_{\text{spol}}}{I} = \frac{1}{2} \left[ 1 - \left( \frac{4n^2}{(n^2 + 1)^2} \right)^{2p} \right].$$

Ściśle więc biorąc całkowitą polaryzację otrzymamy po nieskończeniu wielu załamaniach. Już jednak po kilku załamaniach natężenie światła spolaryzowanego stanowi znaczny ułamek połowy natężenia wiązki padającej. Tak np. stos szklany ( $n=1,51$ ) o 10 płytkach doskonale przezroczystych daje światło spolaryzowane mniej więcej w 96%.

Stokes obliczył (1848 r) stopień polaryzacji światła padającego pod różnymi kątami na stos o 1, 2, 4, 8, 16, 32 i nieskończenie wielkiej liczbie płytek, uwzględniając pochłanianie światła przez szkło.

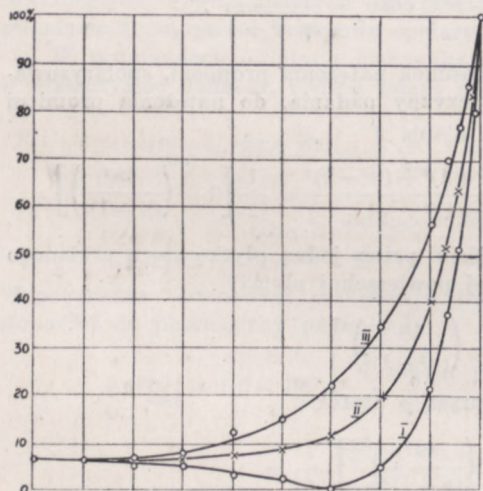


Wzory Fresnela były niejednokrotnie poddawane sprawdzaniu doświadczalnemu. W obszarze widzialnej części widma pomiary takie wykonali m. in. Rayleigh (1892 r.), Conroy (1889 r.), a zwłaszcza Murphy (1896 r.). Dały one wyniki, niewiele odbiegające od obliczonych ze wzorów Fresnela. Tak np. Murphy, używając światła o długości  $0,67 \mu$  spolaryzowanego w płaszczyźnie, tworzącej kąt  $45^\circ$  z płaszczyzną padania, otrzymał na natężenie światła odbitego od powierzchni szkła następujące dane:

kąt padania	wynik pomiaru	Obliczone ze wzoru Fresnela
$20^\circ$	4,8	4,8
$40^\circ$	5,6	5,38
$60^\circ$	9,62	9,87
$80^\circ$	39,07	39,65,

co z uwagi na trudność pomiarów fotometrycznych należy uznać za bardzo dobre potwierdzenie wzorów Fresnela.

Na ogół zgodność doświadczenia z teorią jest tym lepsza, im bardziej środowisko czyni zadość warunkowi doskonałej przezroczystości, im



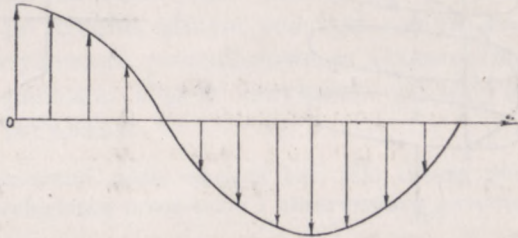
Rys. 300

dalej zatem od prążka absorpcyjnego leży użyty do pomiarów obszar widma. Z góry też można przewidzieć, że największą zgodność z teorią otrzyma się przy użyciu fal długich — elektromagnetycznych, w ścisłym tego słowa znaczeniu. Nie też dziwnego, że Pfannenberga, mierząc odbicie od powierzchni asfaltu fal elektromagnetycznych, otrzymał (1926 r.) wyniki, całkowicie zgodne z teorią, jak tego dowodzi wzięty z książki Schaefera „Einführung in die Theoretische Physik”, 1932 r., rys. 300, na którym krzywe odzwierciedlają zależność stosunku natężeń światła odbitego i padającego od kąta padania, gdy światło padające jest spolaryzowane w płaszczyźnie padania (krzywa I), naturalne (krzywa II) i wreszcie spolaryzowane w płaszczyźnie prostopadłej do płaszczyzny padania (krzywa III), kółka zaś na krzywych wyznaczają dane otrzymane z pomiarów.

Na ogół zgodność doświadczenia z teorią jest tym lepsza, im bardziej środowisko czyni zadość warunkowi doskonałej przezroczystości, im dalej zatem od prążka absorpcyjnego leży użyty do pomiarów obszar widma. Z góry też można przewidzieć, że największą zgodność z teorią otrzyma się przy użyciu fal długich — elektromagnetycznych, w ścisłym tego słowa znaczeniu. Nie też dziwnego, że Pfannenberga, mierząc odbicie od powierzchni asfaltu fal elektromagnetycznych, otrzymał (1926 r.) wyniki, całkowicie zgodne z teorią, jak tego dowodzi wzięty z książki Schaefera „Einführung in die Theoretische Physik”, 1932 r., rys. 300, na którym krzywe odzwierciedlają zależność stosunku natężeń światła odbitego i padającego od kąta padania, gdy światło padające jest spolaryzowane w płaszczyźnie padania (krzywa I), naturalne (krzywa II) i wreszcie spolaryzowane w płaszczyźnie prostopadłej do płaszczyzny padania (krzywa III), kółka zaś na krzywych wyznaczają dane otrzymane z pomiarów.



e) Wspominaliśmy wyżej, że wzory Fresnela zachowują swą moc i przy odwróceniu biegu promieni, że przeto obowiązują zarówno przy przejściu ze środowiska optycznie rzadszego do gęstszego, jak i odwrotnie: ze środowiska gęstszego do rzadszego. Tak jednak będzie tylko dopóty, dopóki kąt padania nie będzie przewyższał kąta  $a_m$  całkowitego wewnętrznego odbicia. Wtedy bowiem, jak to doświadczalnie stwierdził (1816 r.) Fresnel, światło, spolaryzowane w płaszczyźnie, tworzącej kąt  $\varphi$  z płaszczyzną padania, po odbiciu traci cechy polaryzacji, „depolaryzuje się”, że użyjemy określenia Fresnela: obserwując wiązkę odbitą przez nikol, przy żadnym położeniu jego płaszczyzny przecięcia głównego nie otrzymamy zupełnego zaciemnienia pola widzenia, co najwyżej stwierdzimy w pewnych położeniach zwiększenie, w innych zmniejszenie natężenia światła. Wiązka odbita wykazuje zatem cechy częściowo spolaryzowanego światła naturalnego, w rzeczywistości jednak nim nie jest, przy dalszych bowiem odbiciach w warunkach analogicznych (p. niżej) występują w wiązce cechy, niespotykane w świetle częściowo spolaryzowanym.



Rys. 301

Fresnel, kierowany genialną intuicją, założył, że w danym przypadku wzajemnie prostopadle składowe drgania odbitego — składowa prostopadła do płaszczyzny padania i składowa równoległa do tej płaszczyzny — nabywają przy odbiciu stałej różnicy faz, wobec czego odbity wektor świetlny, będący sumą geometryczną tych dwóch wektorów, opisuje elipsę, mającą stałe położenie i stały kształt (por. M. Grotowski, Wykłady fizyki, tom II, rozdz. I, ust. 9). Światło odbite jest spolaryzowane eliptycznie.

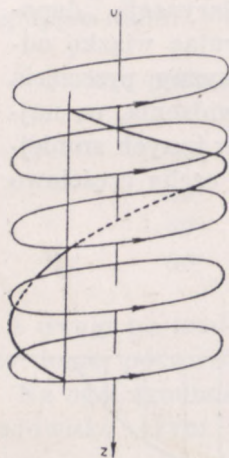
Różnicę między światłem spolaryzowanym prostoliniowo i spolaryzowanym eliptycznie można z gruba przedstawić w sposób następujący. Odkładajmy w kierunku rozchodzenia się płaskiej, prostoliniowo spolaryzowanej fali chwilowe wartości wektorów świetlnych (rys 301); krzywa, łącząca końce tych wektorów jest znaną nam sinusoidą, leżącą w płaszczyźnie, prostopadlej do płaszczyzny polaryzacji. Niech teraz badana fala będzie eliptycznie spolaryzowana. Wektory świetlne w różnych punktach promienia  $Oz$  w danej chwili nie leżą w tej samej płaszczyźnie (rys 302); krzywa, łącząca ich końce, nie jest krzywą płaską, przypomina raczej linię śrubową. W promieniu światła naturalnego końce wektorów świetlnych też nie leżą w jednej płaszczyźnie, kształty jednak kolejnych elips są różne.

Różnica faz jest zależna od kąta padania, zawsze większego od kąta  $a_m$  całkowitego wewnętrznego odbicia, i od wartości współczynnika załamania środowiska, do którego światło wchodzi, względem środowiska, z któ-

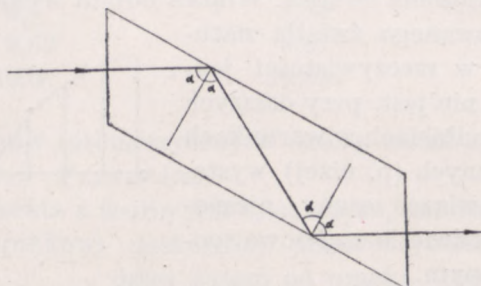


rego wychodzi ( $n=n_2:n_1$  zawsze  $<1$ ). W przypadku szczególnym, gdy promienie padające są spolaryzowane w płaszczyźnie tworzącej kąt  $45^\circ$  z płaszczyzną padania i różnica faz wynosi  $\frac{\pi}{2}$ , światło odbite jest spolaryzowane kołowo.

Do otrzymania tak spolaryzowanego światła może służyć tzw. równoległościan Fresnela zrobiony ze szkła St. Gobain o współczynniku załamania 1,51: światło, spolaryzowane prostoliniowo w płaszczyźnie, tworzącej kąt  $45^\circ$  z płaszczyzną padania, po dwukrotnym całkowitym odbiciu pod kątem  $54^\circ 37'$  wychodzi spolaryzowane kołowo (rys. 303). Obserwując przez nikol wiązkę



Rys. 302



Rys. 303

wychodzącą, nie będziemy mogli przy obracaniu nikola dookoła jego osi optycznej stwierdzić żadnej różnicy w oświetleniu pola widzenia. Światło będzie miało cechy światła naturalnego. Jeżeli jednak wiązkę rzucimy na drugi równoległościan tak ustawiony, żeby płaszczyzny padania były w obu równoległościanach równoległe, stwierdzimy, że światło wychodzące jest spolaryzowane prostoliniowo; do poprzedniej bowiem różnicy faz, wynoszącej  $\frac{\pi}{2}$ , dochodzi na skutek przejścia przez drugi równoległościan znowu ta sama różnica, wobec czego fazy wychodzących wzajemnie prostopadłych drgań składowych różnią się o  $\pi$ . W ten sposób sprawdzamy, że mamy tu do czynienia istotnie z wiązką spolaryzowaną kołowo, nie zaś ze światłem naturalnym.

##### 5. ODBICIE I ZAŁAMANIE NA POWIERZCHNIACH PRZEWODZĄCYCH

Ustalone wyżej prawa polaryzacji nie stosują się, jak to wykazał Malus, do metali: przy żadnej wartości kąta padania nie można przez odbicie z wiązki światła naturalnego otrzymać wiązki spolaryzowanej prostoliniowo; wiązka odbita zawsze wykazuje cechy światła częściowo



spolaryzowanego. Stopień tej polaryzacji jest najsilniejszy przy pewnej wartości kąta padania; a zatem kątowi całkowitej polaryzacji w ciałach przezroczystych odpowiada w metalach kąt, który by można nazwać kątem największej polaryzacji. Kąt ten, który oznaczać będziemy tak, jak kąt całkowitej polaryzacji, przez  $\alpha_0$ , nazwiemy głównym kątem padania.

Brewster, badając dokładniej to zjawisko, znalazł (1815 i 1830 r.), że dopiero po wielokrotnym odbiciu (np. ośmiokrotnym pod kątem, zawartym w granicach między  $60^\circ$  i  $80^\circ$ , w przypadku płytki stalowej) można otrzymać z wiązki światła naturalnego wiązkę całkowicie spolaryzowaną w płaszczyźnie padania.

Wiązka promieni, spolaryzowanych w płaszczyźnie, tworzącej kąt  $45^\circ$  z płaszczyzną padania po odbiciu się „depolaryzuje”, podobnie, jak rozpatrywana w ustępie poprzednim wiązka, odbita pod kątem większym od kąta całkowitego wewnętrznego odbicia. Jeżeli jednak kąt padania jest równy głównemu kątowi, to po drugim odbiciu pod tym samym kątem wiązka znów staje się spolaryzowana prostoliniowo w płaszczyźnie tworzącej kąt  $\Phi$  z płaszczyzną padania. Kąt  $\Phi$  nazywamy głównym azymutem przywróconej polaryzacji.

Termin azymut wzięty jest z astronomii, gdzie oznacza kąt, jaki tworzy płaszczyzna południka z płaszczyzną, przechodzącą przez zenit i obserwowaną gwiazdę.

Po odbiciu trzykrotnym (w tych samych warunkach) wiązka się znów depolaryzuje, aby po jeszcze jednym odbiciu stać się z powrotem spolaryzowaną prostoliniowo itd.

Na zasadzie analogii między tymi zjawiskami, a rozpatrywanym wyżej przypadkiem odbicia pod kątem większym od kąta całkowitego wewnętrznego odbicia, można przypuścić, że i tym razem powstaje przy odbiciu różnica faz drgań prostopadłych i równoległych do płaszczyzny padania, a więc że po odbiciu mamy do czynienia ze światłem, spolaryzowanym eliptycznie.

Nazwy tej użył Brewster, omawiając wyniki swych pierwszych doświadczeń, nadawał jej wszakże zupełnie inne znaczenie, niż to, które jej przypisał Fresnel.

Założenie to istotnie pozwala zdać sobie sprawę z przebiegu najważniejszych zjawisk z tej dziedziny.

Niech  $\delta$  oznacza tę różnicę faz; po  $q$  odbiciach wzrośnie ona do  $m\pi$ , gdzie  $m$  niech będzie liczbą całkowitą nieparzystą. Gdyby odbicie nie zmieniało stosunku amplitud drgań składowych, wiązka, początkowo spolaryzowana w płaszczyźnie, tworzącej kąt  $45^\circ$  z płaszczyzną padania, stałaby się po  $q$  odbiciach z powrotem spolaryzowana prostoliniowo w płaszczyźnie prostopadłej do początkowej płaszczyzny polaryzacji. Doświadczenie wykazuje wszakże, że tak nie jest: kąt między tymi



plaszczynami jest zawsze mniejszy od  $90^\circ$ ; plaszczyna polaryzacji promieni odbitych zbliża się do plaszczyny padania. Stąd wynika, że amplituda drgania spolaryzowanego w plaszczynie prostopadłej do plaszczyny padania (zachodzącego zatem w tej plaszczynie) ulega przy odbiciu stosunkowo silniejszemu osłabieniu, niż amplituda drgania spolaryzowanego w plaszczynie padania. Tym się tłumaczy, że wiązka światła naturalnego, w której amplitudy drgań prostopadłych i równoległych są, jak wiemy, przeciętnie równe, poddana wielokrotnym odbiciom, staje się w końcu wiązką światła, spolaryzowanego prostoliniowo w plaszczynie padania. Ilość koniecznych do tego odbić, jest, jak wiemy, najmniejsza, gdy wiązka pada pod głównym kątem padania, wtedy przeto osłabienie amplitudy drgań, zachodzących w plaszczynie padania, jest największe.

W przypadku światła spolaryzowanego prostoliniowo w plaszczynie, tworzącej kąt  $45^\circ$  z plaszczyną padania, wystarczy, jak wykazał Brewster, dwukrotne odbicie pod głównym kątem padania, aby przywrócić prostoliniową polaryzację; należy przeto przypuścić, że przy odbiciu pod tym kątem różnica faz  $\delta$  wynosi  $\frac{\pi}{2}$ . Przy innych kątach padania różnica ta ma inne wartości, zmieniając się od zera przy  $\alpha=0^\circ$  (wiązka pada prostopadłe) do  $\pi$  przy  $\alpha=90^\circ$  (wiązka ślizga się po powierzchni odbijającej); w tych dwóch zatem przypadkach światło prostoliniowo spolaryzowane pozostaje po odbiciu spolaryzowane prostoliniowo, co istotnie doświadczenie potwierdza.

Te własności środowisk metalicznych są w niewątpliwym związku z niepomiernie silniejszą w porównaniu z ciałami przezroczystymi ich zdolnością odbijającą. Natężenie światła odbitego jest zawsze o wiele większe od natężenia światła wchodzącego do środowiska metalicznego. Co więcej, światło wchodzące ulega szybkiemu pochłanianiu, tak że jedynie bardzo cienkie warstewki metalu są jako tako przezroczyste dla światła.

Przyjmując, że warstwy tej samej grubości pochłaniają ten sam ułamek światła padającego i że wobec tego zmniejszanie amplitudy zaburzeń, rozchodzących się w metalu, wyraża się funkcją wykładniczą, możemy napisać, że w wiązce, padającej prostopadłe (w kierunku osi  $OZ$ ), stosunek amplitud w odległościach  $z_1$  i  $z_2$  od powierzchni jest równy

$$e^{-a(z_2-z_1)},$$

gdzie  $a$  jest wielkością stałą dla danego metalu i danej długości fali.

Śluszność tego założenia potwierdziły pomiary Wernicke'go (1876 r.), który mierzył natężenie światła, przechodzącego przez warstewki o różnych grubościach.



Najczęściej wszakże za miarę zmniejszania się amplitudy przyjmuje się wielkość  $K$ , związaną z  $a$  wzorem

$$a = \frac{2\pi K}{\lambda}, \quad (\text{a})$$

gdzie  $\lambda$  jest długością fali danej wiązki w próżni. A więc amplituda zaburzenia świetlnego zmniejsza się o  $e^{2\pi K}$  po przebyciu w metalu drogi  $z_2 - z_1 = \lambda$ , długości fali użytego światła. Współczynnik  $K$  nazywamy współczynnikiem wygaszania (indice de l'extinction, coefficient of extinction).

Witkowski wielkość tę nazywa wykładnikiem absorpcji.

Stąd wynika, że własności optyczne metalu charakteryzują dwie stałe optyczne — współczynnik załamania  $n$  i współczynnik wygaszania  $K$  — nie zaś jedna  $n$ , jak w przypadku ciał doskonale przezroczystych.

Obie te stałe można wyznaczyć z pomiarów bezpośrednich, używając dostatecznie cienkich warstewek badanego ciała i mierząc dla wyznaczenia  $n$  kąt odchylenia promieni w pryzmatach z danego metalu o bardzo małej rozwartości (por. rozdz. III, ust. 6, str. 77), dla wyznaczenia zaś  $K$  natężenie światła przechodzącego przez warstewkę o znanej grubości.

Grubość warstewek musi być bardzo mała, zmniejszanie się bowiem natężenia światła jest, jakśmy mówili, szybkie. Tak np. w srebrze  $K$  dla długości fal  $0,55 \mu$  wynosi mniej więcej 3,8; amplituda zatem zmniejsza się po przebyciu drogi  $0,55 \mu$  o

$$e^{2\pi \cdot 3,8} \approx e^{24} \approx 10^{10}.$$

Natężenie przeto światła przechodzącego jest po przejściu tej drogi mniejsze od natężenia światła, wchodzącego do warstewki,  $10^{10}$  razy.

Tego rodzaju pomiary nie dają, z uwagi na trudności doświadczalne, dokładnych wyników i służą raczej do sprawdzenia, przynajmniej z gruba, wyników otrzymanych przy pomocy metod pośrednich. Jest rzeczą oczywistą, że metody takie nie mogą się opierać na wzorach Fresnela, które, wychodząc z założeń, słusznych jedynie dla ciał doskonale przezroczystych, nie uwzględniają wcale pochłaniania światła w środowiskach. Okazuje się jednak, że i w tym przypadku, zmieniając odpowiednio podstawowe założenia, możemy otrzymać wzory formalnie identyczne ze wzorami fresnelowskimi i wyznaczyć  $n$  i  $K$  z pomiarów natężenia światła odbitego.



Gdy światło pada prostopadle na powierzchnię odbijającą, z odpowiednio przekształconych wzorów (7b) lub (10a) otrzymujemy na natężenie światła odbitego

$$\frac{I_p^{(0)}}{I_p^{(p)}} = \frac{I_r^{(0)}}{I_r^{(p)}} = \frac{(n-1)^2 + K^2}{(n+1)^2 + K^2} = R, \quad (13)$$

co przy  $K=0$  daje z powrotem wzory fresnelowskie.

Z powodów, o których będzie mowa niżej, nazywamy współczynniki  $n$  i  $K$  w tym wzorze głównymi współczynnikami załamania i wygaszania.

Dla wiązki, spolaryzowanej prostoliniowo w płaszczyźnie, tworzącej kąt  $45^\circ$  z płaszczyzną padania, współczynniki te są związane z głównym kątem padania  $\alpha_g$  i głównym azymutem przywróconej polaryzacji wzorami

$$\begin{aligned} K &= \sin \alpha_g \cdot \operatorname{tg} \alpha_g \cdot \sin 2\Phi, \\ n &= \sin \alpha_g \cdot \operatorname{tg} \alpha_g \cdot \cos 2\Phi. \end{aligned} \quad (14)$$

Wystarczy przeto wyznaczyć główny kąt padania i główny azymut przywróconej polaryzacji, aby ze wzorów (14) otrzymać główny współczynnik załamania i główny współczynnik wygaszania.

Kąty  $\alpha_g$  i  $\Phi$  można zmierzyć w sposób następujący. Zmieniajmy stopniowo kąt, pod którym dana wiązka, spolaryzowana prostoliniowo w płaszczyźnie, tworzącej kąt  $45^\circ$  z płaszczyzną padania, odbija się dwukrotnie od powierzchni badanego metalu i obserwujemy przez nikol światło odbite. Kąt, przy którym otrzymamy dla pewnego położenia płaszczyzny przecięcia głównego nikola zaciemnienie pola widzenia, będzie szukanym kątem  $\alpha_g$ , gdyż wiązka odbita będzie znów spolaryzowana prostoliniowo; kąt zaś między płaszczyzną polaryzacji wiązki odbitej i płaszczyzną padania będzie kątem  $\Phi$ . Tę lub do niej zbliżoną metodę stosowali Jamin (1845 i nast.), Quineke (1863 r. i nast.), Hayghton (1873 r.), Drude i inni.

Drude zwrócił uwagę na konieczność dokładnego oczyszczenia powierzchni badanego metalu; warstewka powierzchniowa, powstająca na skutek przypadkowych zanieczyszczeń, może w znacznym nieraz stopniu wpłynąć na wyniki pomiaru (por. ust. 1, str. 379).

Dla żółtej linii  $D$  sodu Drude otrzymał następujące wartości stałych optycznych:

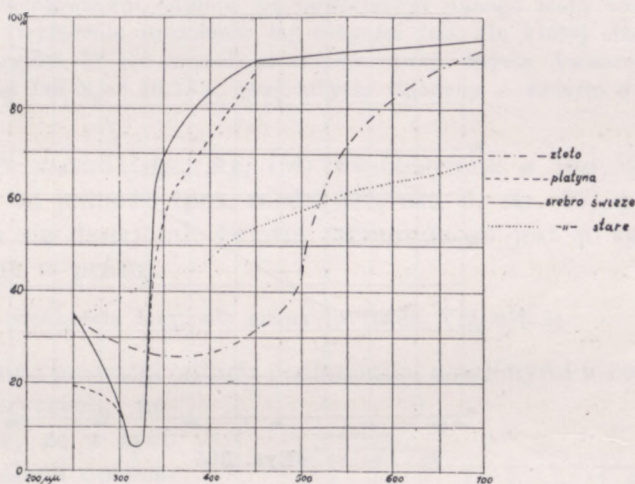
	$\alpha_g$	$\Phi$	$n$	$K$
platyna	78°30'	32°35'	2,06	4,26
złoto	72°18'	41°39'	0,37	2,82
srebro	75°42'	43°35'	0,18	3,67
miedź	71°35'	38°57'	0,64	2,62
nikiel	76°01'	31°41'	1,79	3,33
stal	77°03'	27°49'	2,41	3,40



Znając wartości  $n$  i  $K$ , zdolność odbijającą metalu obliczamy ze wzoru (13)

$$R = \frac{I^{(0)}}{I^{(l)}}.$$

Wielkość tę można wyznaczyć bezpośrednio, mierząc fotometrycznie natężenia światła padającego i odbitego. Najdokładniejsze i najrozleglejsze pomiary tego rodzaju wykonali Rubens i Hagen (1900 i 1902 r.), używając do badań w widzialnej części widma spektrofotometrów, w nadfioletowej zaś i podczerwonej stosów termoelektrycznych. Okazało się,



Rys. 304

co zresztą już przedtem stwierdzili inni badacze (Langley, 1889 r. Nichols, 1897 r., Trowbridge, 1888 r.), że zdolność odbijająca w wysokim stopniu zależy od długości fali użytego światła. W niektórych metalach zdolność ta przechodzi przez wyraźne minimum (rys. 304).

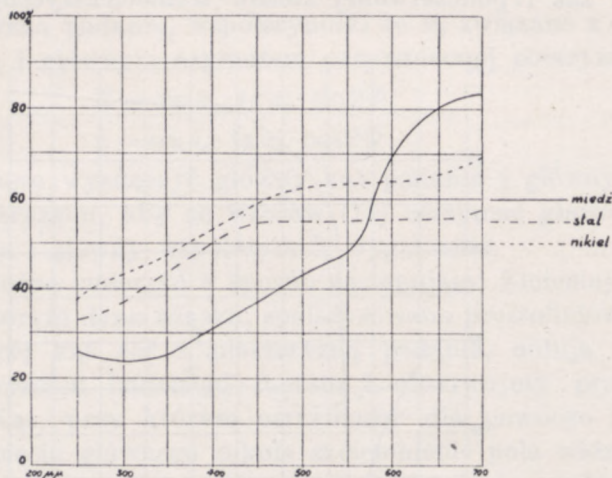
W srebrze minimum przypada w nadfioletowej części widma: przy  $\lambda = 305 \text{ m}\mu$  zdolność odbijająca wynosi zaledwie 4,2%, podczas gdy w podczerwonej części widma ( $\lambda = 1500 \text{ m}\mu$ ) dochodzi do 98,4%.

Wyraźne minimum wykazuje również złoto (w pobliżu  $\lambda = 385 \text{ m}\mu$ , na pograniczu przeto widzialnej i nadfioletowej części widma,  $R = 27\%$ ), odbijając na ogół słabo fale krótsze od  $500 \text{ m}\mu$  (przy  $\lambda = 500 \text{ m}\mu$ ,  $R = 47\%$ ). Miedź posiada minimum  $R$  mniej więcej w tej samej części widma ( $\lambda = 357 \text{ m}\mu$ ,  $R = 27\%$ ); ze wzrostem długości fali jej zdolność odbijająca wzrasta wolniej, niż zdolność odbijająca złota (rys. 304).



Tej wyraźnej zależności  $R$  od długości fali zawdzięczają złoto i miedź swe zbarwienie w świetle odbitym; podobne zabarwienie (czerwonawe) można stwierdzić i w świetle, odbitym wielokrotnie od powierzchni srebra.

W innych metalach jak platyna (rys. 304), nikiel, stal (rys. 305)  $R$  wzrasta mniej więcej równomiernie ze wzrostem długości fali. W widzialnej części widma prawie stałą zdolność odbijającą wykazuje stop magnalinu (69% glinu, 31% magnezu), dla którego  $R$  w granicach od  $\lambda=420 m\mu$  do  $\lambda=700 m\mu$  zachowuje stałe wartości (83%); mało też zmienia się zdolność odbijająca szkła, posrebrzonego na tylnej powierzchni ( $R$  waha się około 82%) i szkła w zetknięciu z rtęcią ( $R$  około 71%).



Rys. 305

Zestawiając te dane z wartościami  $R$ , obliczonymi ze wzoru (13) po podstawieniu do niego wyników pomiarów Drude'go, otrzymujemy wystarczającą zgodność wyników i tym samym potwierdzenie słuszności wzorów (14). Oto zestawienie.

	srebro	złoto	platyna	miedź	stal	nikiel
$R$ obliczone w %	95,3	85,1	76,1	73,2	58,5	62,0
$R$ zmierzone w %	92,6	84,0	64,2	72,0	55,0	65,0

Uwzględniając, że  $K$  jest zazwyczaj większe od  $n$ , możemy przyjąć, że w przybliżeniu

$$R = \frac{n^2 - 2n + 1 + K^2}{n^2 + 2n + 1 + K^2} = \frac{n^2 + K^2 + 1 - 2n}{n^2 + K^2 + 1 + 2n} = 1 - \frac{4n}{n^2 + K^2 + 1 + 2n} \approx 1 - \frac{4n}{K^2}$$

(1)



Zdolność odbijająca jest przeto zależna zarówno od głównego współczynnika załamania, jak i od głównego współczynnika wygaszania.

Ta właśnie wysoka wartość zdolności odbijającej metali w znacznym stopniu decyduje o ich nieprzezroczystości. Srebro np. odbija, jak widzieliśmy, 95% światła padającego, pochłania zatem jedynie 5%.

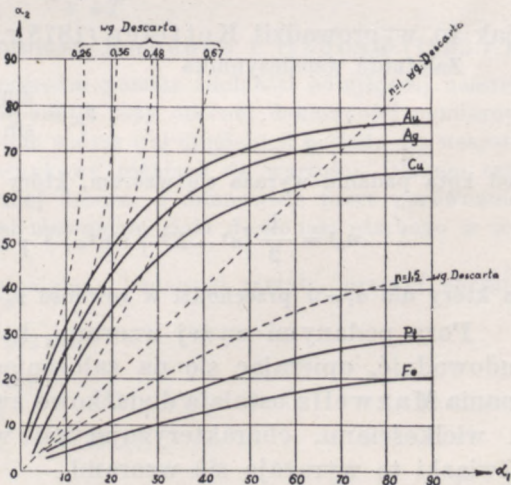
Na podstawie wzoru możnaby przypuszczać, że podobny połysk metaliczny wykazywać będą i ciała o absorpcji selekcyjnej, o których była mowa w ust. 6 rozdz. III. W pobliżu pasa absorpcyjnego w ciałach tych  $K$  osiąga znaczną wartość, tym samym i zdolność odbijająca dla danych długości fali powinna też być duża. Doświadczenie wniosek ten potwierdza (fuksyna, cjanina). Na tym Rubens i Nichols oparli (1897 r.) metodę otrzymywania w podczerwonej części widma światła możliwie jednorodnego (metoda promieni pozostających, rayons restants, residual rays). Po wielokrotnym odbiciu od powierzchni danego ciała wiązka odbita zawiera prawie wyłącznie promienie tej długości fali, dla której ciało wykazuje prążek absorpcyjny. W ten sposób otrzymano przy użyciu kwarcu światło jednorodne o długości fali  $9 \mu$  i  $20,75 \mu$ , przy użyciu fluoryny — światło o długości  $24,4 \mu$  itd.

Dla niektórych metali ( $Au$ ,  $Ag$ ,  $Cu$ ) współczynnik  $n$  jest, jakżeśmy widzieli, mniejszy od jednośc (por. rozdz. III, ust. 6, str. 77), prędkość więc rozchodzenia się danej fali światła jednorodnego jest w tych metalach większa, niż w próżni.

Prędkość ta jest prędkością fazy, nie grupy (p. rozdz. VII, ust. 1).

A zatem, zgodnie z prawami odbicia i załamania, ustalonymi w rozdz. III dla ciał przezroczystych, należałoby oczekiwać, że w tych metalach, jako ciałach optycznie rzadszych, występuje przy przejściu światła z próżni lub powietrza zjawisko całkowitego wewnętrznego odbicia. Tak wszakże nie jest: kąt załamania nigdy nie dochodzi do  $90^\circ$ , ze wzrostem bowiem kąta padania wzrasta i współczynnik załamania, stając się większym od jednośc, zanim kąt padania osiągnie wartość graniczną.

Wbrew prawu Descartes'a współczynnik załamania metali nie jest dla danej długości fali wielkością stałą. Tym się tłumaczy nazwa głównego współczynnika załamania, jaki nadaliśmy wielkości  $n$  przy  $\alpha_1=0^\circ$ .



Rys. 306



Charakter zjawiska dobrze oddaje wykres rys. 306, wzięty z cytowanej już wyżej książki Schaefera. Na osi odejętych odłożone są kąty padania  $\alpha_1$ , na osi rzędnych — rzeczywiste kąty załamania  $\alpha_2$ ; krzywe ciągle odtwarzają istotną zależność  $\alpha_2$  od  $\alpha_1$ , krzywe kreskowane — zależność, wyznaczoną przez prawo Descartes'a, w którym na współczynnik załamania przyjęto wartość  $n$ .

Na rysunku wartość ta jest wzięta z pomiarów Daniela Shea (1892 r.), dla  $Cu - 0,48$ , dla  $Ag - 0,36$ , dla  $Au - 0,26$ ; liczby te znacznie odbiegają od otrzymanych przez Drude'go i bliższych, jak się zdaje, rzeczywistości.

Z rysunku wynika, że właśnie te metale, dla których  $n$  posiada anomalnie małą wartość, wykazują największe odchylenie od prawa Descartes'a. W żelazie i platynie, dla których  $n$  jest znacznie większe od jedności, zależność współczynnika załamania od kąta padania jest tak nieznaczna, że krzywa prawa Descartes'a i krzywa z pomiarów prawie dokładnie się pokrywają. Prosta (kreskowana), dla której  $\alpha_1 = \alpha_2$ , a więc  $n = 1$ , przecina krzywą  $Au$ ,  $Ag$ ,  $Cu$ . Przy pewnej przeto wartości kąta padania, różnym od zera, światło wchodzi do metalu bez załamania; przy kątach większych od danego kąta wyróżnionego dany metal jest środowiskiem optycznie gęstszym, przy mniejszych — rzadszym od próżni. Kąt ten jest równy: dla miedzi  $62,9^\circ$ , dla srebra  $71,9^\circ$ , dla złota  $76,2^\circ$ . Podobnie zmienia się współczynnik wygaszania. Dla wszystkich jednak kątów mamy

$$n_a^2 - K_a^2 = n^2 - K^2, \quad (15)$$

jak to wyprowadził Ketteler (1875 r.).

Zależność współczynnika

$$n_a = \frac{\sin \alpha_1}{\sin \alpha_2}$$

od kąta padania wyraża się wzorem, który przytaczamy bez wyprowadzenia

$$n_a^2 = \frac{1}{2} \left[ n^2 - K^2 + \sin^2 \alpha_1 + \sqrt{4n^2 K^2 + (n^2 - K^2 - \sin^2 \alpha_1)^2} \right] \quad (15a)$$

a który dla  $\alpha_1 = 0$  przechodzi w równość  $n_a = n$ .

Poza podanymi wyżej wzorami, które, jak to zauważyliśmy, można udowodnić, opierając się na założeniach sprężystej teorii światła, równania Maxwella ustalają dodatkowe związki między stałymi optycznymi i wielkościami, charakteryzującymi własności elektryczne środowiska. Związki te wyrażają się wzorami

$$\begin{aligned} n^2 - K^2 &= \varepsilon \\ nK &= kT \end{aligned} \quad (16)$$

gdzie  $\varepsilon$  jest zdolnością elektryczną środowiska,  $K$  — jego przewodnictwem,  $T$  okresem drgania.



We wszystkich prawie metalach  $K^2$  w dziedzinie widma widzialnego jest większe od  $n^2$ , wobec czego z równania (16) otrzymujemy ujemną wartość stałej dielektrycznej: co, oczywiście, nie posiada żadnego znaczenia fizycznego. W tej przeto dziedzinie założenia Maxwella całkowicie zawodzą, podobnie, jak zawiodły przy próbie związania stałej dielektrycznej, niezależnej od częstości zaburzeń, ze współczynnikiem załamania, będącym funkcją długości fali. Możemy jednak przypuszczać, że podobnie jak w tamtym przypadku, tak i tym razem, w miarę wzrastania długości fali użytego światła rozbieżność między danymi, otrzymanymi z pomiarów i obliczonymi z równań (16) będzie się stopniowo zmniejszała.

Dla wielkich długości fali i tym samym dla znacznych stosunkowo wartości okresu drgania  $T$  iloczyn  $nK$  będzie się wyrażał tak wielką liczbą, że w porównaniu z nią stała różnica  $\varepsilon$  kwadratów tych wielkości będzie stosunkowo mała. Przyjmując ją za znikomo małą i kładąc

$$n = K = \sqrt{kT},$$

otrzymujemy ze wzoru (13)

$$R = \frac{n^2 - 2n + 1 + K^2}{n^2 + 2n + 1 + K^2} = \frac{2n^2 - 2n}{2n^2 + 2n} = \frac{n-1}{n+1} = \frac{1 - \frac{1}{n}}{1 + \frac{1}{n}} \approx 1 - \frac{2}{n} = 1 - \frac{2}{\sqrt{kT}}$$

lub

$$1 - R = \frac{2}{\sqrt{kT}}. \quad (17)$$

Wzór ten istotnie potwierdziły pomiary Rubensa i Hageny (1902 r.).

Sprawdzenie wzoru (17) przez bezpośredni pomiar zdolności odbijającej następuje z trudności, nie do pokonania, jak się zdaje, przy obecnej dokładności pomiarów fotometrycznych. W tej bowiem dziedzinie widma (fal długich)  $R$  posiada dla wszystkich metali bardzo wielkie i mało stosunkowo różniące się wartości. Dlatego też Rubens i Hagen wyznaczali  $R$  na innej drodze, a mianowicie przez porównanie promieniowania badanego ciała z promieniowaniem ciała doskonale czarnego w tej samej temperaturze.

Oznaczmy przez  $A$  zdolność pochłaniającą badanego metalu, przez  $I$  energię padającą. Mamy

$$A = I - R.$$

Na podstawie prawa Kirchoffa piszemy

$$\frac{E(\lambda, T)}{A(\lambda, T)} = E_c(\lambda, T),$$

gdzie  $E$  jest zdolnością emisyjną badanego ciała dla danej długości fali w danej temperaturze,  $E_c$  — zdolnością emisyjną ciała doskonale czarnego dla tej samej długości fali w tej samej temperaturze. A zatem

$$A = I - R = \frac{E}{E_o}.$$



Pomiar przeto sprowadza się do wyznaczenia stosunku zdolności emisyjnych danego ciała i ciała doskonale czarnego.

Oto otrzymane przez nich wartości  $I - R$  dla długości fali  $\lambda = 25,5 \mu$  w temperaturze  $170^{\circ}\text{C}$

		srebro	miedź	złoto	platyna	nikiel	stal	rtęć
zmierzone	w %	1,16	1,17	1,56	2,82	3,20	3,66	7,66
obliczone ze wzoru (17)	w %	1,15	1,27	1,39	2,96	3,16	3,99	7,55

znaczące odchylenie wykazał jedynie bizmut.

Przyjmując na podstawie tych wyników, że założenia Maxwella sprawdzają się całkowicie dla fal o znacznej długości, otrzymamy w przypadku drgań elektromagnetycznych, w ścisłym tego słowa znaczeniu, dla  $\lambda = 1 \text{ mm}$ , a więc dla  $T = \frac{1}{3} \cdot 10^{-11}$  sek na zdolność odbijającą miedzi

$$R_{Cu} = 1 - \frac{2}{\sqrt{5,14 \cdot 10^{17} \cdot \frac{1}{3} \cdot 10^{-11}}} = 1 - \frac{2}{1,3 \cdot 10^3} = 1 - 0,0015 = 0,9985,$$

a zatem liczbę niewiele różną od jedności.

Fale elektromagnetyczne są przeto prawie całkowicie odbijane przez metale.



## Rozdział X

### ROZCHODZENIE SIĘ ŚWIATŁA W ŚRODOWISKACH RÓŻNO- KIERUNKOWYCH

#### 1. UWAGI OGÓLNE

Z omówionego pokrótce w rozdziale poprzednim (ust. 1) załamania światła w kalcyście wynika, że i w zjawiskach optycznych ujawnia się podobnie, jak w zjawiskach sprężystych (M. Grotowski, Wykłady fizyki tom I, str. 202), cieplnych (str. 318, 476) i elektrycznych (tom II, str. 273) różnokierunkowość ciał, będących siedliskiem tych zjawisk.

Jak wskazuje doświadczenie, różnokierunkowość (anizotropia) może być albo stała, związana niezmiennie z innymi własnościami danego ciała, albo też chwilowa (wymuszona), wywołana przez działanie czynników zewnętrznych. Do ciał o różnokierunkowości stałej należą kryształy, będące poza tym ciałami jednorodnymi tzn. takimi, których każdy element objętości ma jednakowe własności fizyczne i które wobec tego wykazują w kierunkach wzajemnie równoległych te same własności.

Prawa symetrii w połączeniu z prawami krystalografii prowadzą do ustalenia trzydziestu dwóch możliwych przypadków symetryczności krystalograficznych (rodzajów krystalograficznych), które można ująć w siedem układów krystalograficznych.

W odniesieniu do własności optycznych kryształy dzielimy na trzy grupy: kryształów optycznie równokierunkowych, kryształów o jednym kierunku wyróżnionym — jednoosiowych i kryształów o dwóch kierunkach wyróżnionych — dwuosiowych.

Do pierwszej grupy należą kryształy układu regularnego, do drugiej — kryształów jednoosiowych — kryształy układów heksagonalnego, trygonalnego i tetragonalnego, do trzeciej — dwuosiowych — rombownego, jednoskośnego i trójskośnego.

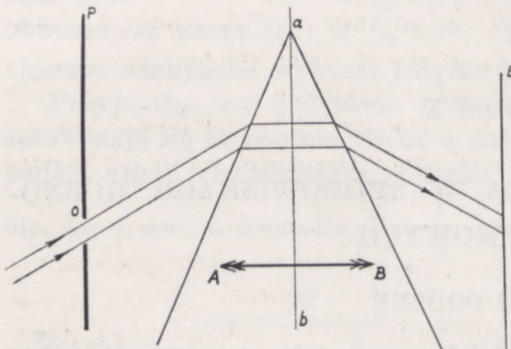
Symetria optyczna kryształów jest przeto rzędu wyższego od ich symetrii krystalograficznej.

Optycznie różnokierunkowymi są zatem jedynie kryształy dwóch ostatnich grup: jedno i dwuosiowej.



## 2. KRYSZTAŁY JEDNOOSIOWE. ZAŁOŻENIE HUYGENSA

W kryształach jednoosiowych, do których należy kalcyt (szpat islandzki), załamanie podwójne występuje jedynie wtedy, gdy kierunek rozchodzenia się zaburzeń świetlnych nie jest zgodny z kierunkiem osi kryystalograficznej kryształu; przy rozchodzeniu się w kierunku osi załamania podwójnego nie ma. Jeżeli więc wytniemy z kalcytu pryzmat,

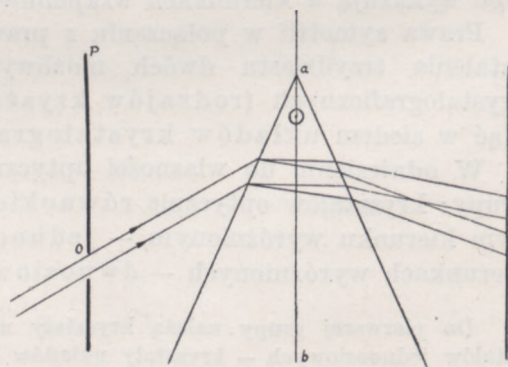


Rys. 307

tak aby oś kryystalograficzna  $AB$  (lub prosta równoległa do tej osi) była prostopadła do płaszczyzny  $ab$ , dzielącej kąt łamiący pryzmatu na dwie równe części (prosta przecięcia tej płaszczyzny z płaszczyzną padania jest dwusieczną kąta łamiącego), i rzucimy na niego pod kątem najmniejszego odchylenia wiązkę promieni równoległych, ograniczoną przez mały otwór kołowy  $O$  przesłony  $P$  na ekranie  $E$  (rys. 307) otrzymamy tylko jedną plamkę świetlną. W przypadku więc oświetlenia pryzmatu światłem naturalnym promienie wychodzące tworzyć będą wiązkę niespolaryzowaną.

Gdy pryzmat wytniemy w ten sposób, aby krawędź łamiąca była równoległa do osi kryystalograficznej, na ekranie otrzymamy dwa obrazy świetlne, wytworzone przez dwie wiązki, na które rozszczepia się wiązka padająca (rys. 308).

Rzucając kolejno wiązki wychodzące na odpowiednio ustawione szybki szklane, stwierdzimy, że pryzmat z kalcytu odchyła bardziej promienie zwyczajne, niż nadzwyczajne, prędkość więc rozchodzenia się wiązki zwyczajnej jest w tym kryształcie mniejsza od prędkości rozchodzenia się wiązki nadzwyczajnej. Prędkości te możemy wyznaczyć w ten sam sposób, jak współczynniki załamania środowisk równokierunkowych (izotropowych). Nastawiając pryzmat na minimum odchylenia wiązki zwyczajnej a następnie nadzwyczajnej i mierząc za każdym razem kąty odchylenia



Rys. 308



wiązek, szukane prędkości znajdziemy ze wzoru (6a), rozdz. III)

$$\frac{c}{c_0} = \frac{\sin \delta_0 + \varphi}{2 \sin \frac{\varphi}{2}} \quad \text{i} \quad \frac{c}{c_e} = \frac{\sin \delta_e + \varphi}{2 \sin \frac{\varphi}{2}}, \quad (1)$$

gdzie  $c$  oznacza prędkość światła w próżni (lub  $c_0$ , jak wiemy, prawie na jedno wychodzi, w powietrzu),  $c_0$  prędkość rozchodzenia się w pryzmacie promieni zwyczajnych,  $c_e$  — nadzwyczajnych.

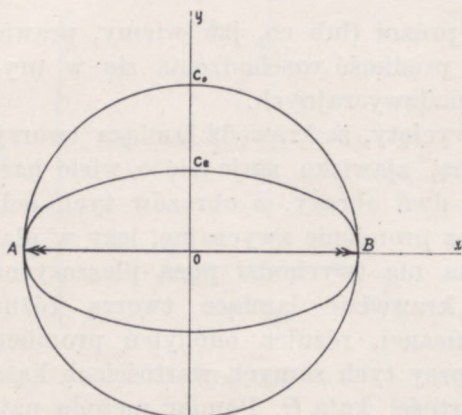
Gdy wreszcie pryzmat jest tak wycięty, że krawędź łamiąca tworzy dowolny kąt z osią krystalograficzną, zjawisko staje się o wiele bardziej złożone. I wtedy otrzymujemy dwa obrazy, z obrazów tych jednak tylko jeden  $o$ , wytworzony przez promienie zwyczajne, leży w płaszczyźnie padania, drugi  $e$  leży poza nią (wychodzi poza płaszczyznę rysunku). W pryzmatach, których krawędzie łamiące tworzą różne kąty  $\Theta$  z kierunkiem osi krystalograficznej, różnica odchyień promieni zwyczajnych i nadzwyczajnych jest przy tych samych wartościach kąta łamiącego  $\varphi$  różna, zależnie od wartości kąta  $\Theta$ . Pomiar metodą najmniejszego odchylenia prędkości promieni zwyczajnych pozwala stwierdzić, że prędkość ta jest niezależna od położenia w pryzmacie osi krystalograficznej i zachowuje stałe wartości, wyznaczoną wzorem (a). Różnicę zatem odchyień promieni zwyczajnych i nadzwyczajnych należy przypisać zmianie prędkości rozchodzenia się zaburzeń nadzwyczajnych, zachodzących przy zmianie kąta  $\Theta$ .

Z doświadczeń tych wynika, że, jak to już zaznaczyliśmy w ust. 1 rozdz. IX przy omawianiu załamania się światła w kaleycie, zaburzenia zwyczajne rozchodzą się zgodnie z prawami, ustalonymi dla środowisk równokierunkowych, rozchodzenie się zaś promieni nadzwyczajnych wykazuje znaczne od tych praw odstępstwo oraz, że oś krystalograficzna tej grupy kryształów wyznacza pewien kierunek optycznie wyróżniony, co usprawiedliwia nazwę osi optycznej, jaką nadaliśmy zarówno tej osi, jak i wszystkim prostym do niej równoległym.

Niech punkt  $O$  wewnątrz kryształu będzie punktowym źródłem zaburzeń świetlnych. Załóżmy za Huygensem (1690 r.), że z tego punktu rozchodzą się zaburzenia dwójakiego rodzaju: jedne z nich mają prędkość rozchodzenia się we wszystkich kierunkach jednakową; ich powierzchnią falową jest kula tak, jak w środowiskach równokierunkowych — są to zaburzenia zwyczajne; drugie rozchodzą się z prędkością, zmieniającą się zależnie od kąta, jaki kierunek ich rozchodzenia się tworzy z osią optyczną, będącą osią symetrii danego zjawiska — są to promienie nadzwyczajne. Ich powierzchnią falową jest elipsoida obrotowa, której osią obrotu jest oś optyczna kryształu.



Po upływie więc czasu  $\tau$  od chwili wzbudzenia zaburzeń w punkcie  $O$  będziemy mieli zaburzenia o jednakowej fazie rozłożone nie na jednej powierzchni, jak w środowiskach równokierunkowych, lecz na dwóch:

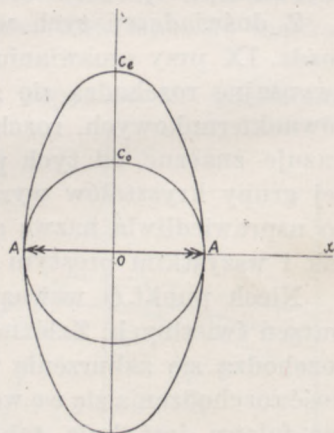


Rys. 309

kuli i elipsoidzie, stycznych ze sobą w punktach przecięcia z osią optyczną  $AB$  (rys. 309), w tym bowiem kierunku zaburzenia obu rodzajów rozchodzą się z tą samą prędkością. Zależnie od tego, czy prędkość rozchodzenia się promieni nadzwyczajnych w kierunku prostopadłym do osi jest mniejsza czy też większa od prędkości rozchodzenia się promieni zwyczajnych  $c_o$ , elipsoidalna powierzchnia falowa znajduje się wewnątrz (rys. 309) lub zewnątrz (rys. 309a) powierzchni kulistej.

Jeżeli punkt  $O$  jest jednym z punktów fali płaskiej, rozchodzącej się w kryształ, położenie kolejne tej fali otrzymamy, prowadząc, zgodnie z zasadą Huygensa, obwiednie do fal cząstkowych wysyłanych przez

różne punkty  $O$ . Tak np. w pierwszym z rozpatrywanych przez nas wyżej przypadków (pryzmatu z kalcytu o osi optycznej prostopadłej do dwusiecznej kąta łamiącego) otrzymamy konstrukcję następującą (rys. 310). W chwili, gdy zaburzenie będzie dochodziło do punktów prostej  $S_2$ , (prostopadłej do płaszczyzny rysunku) zaburzenia, które już wcześniej doszły do  $S_1, S'_1, S_1'' \dots$  wytworzą dwójakiego rodzaju powierzchnie falowe: zwyczajną i nadzwyczajną. Elipsoidy zaburzeń nadzwyczajnych będą do siebie podobne i ich rozmiary liniowe będą, oczywiście, proporcjonalne do odległości  $S_1 S_2, S'_1 S_2 \dots$ . Obwiednią ich będzie płaszczyzna, przechodząca przez prostą  $S_2$ . Ale ponieważ w danych warunkach doświadczenia zaburzenie w kryształach rozchodzi się wzdłuż osi optycznej  $AB$ , drogi więc przebyte przez zaburzenia

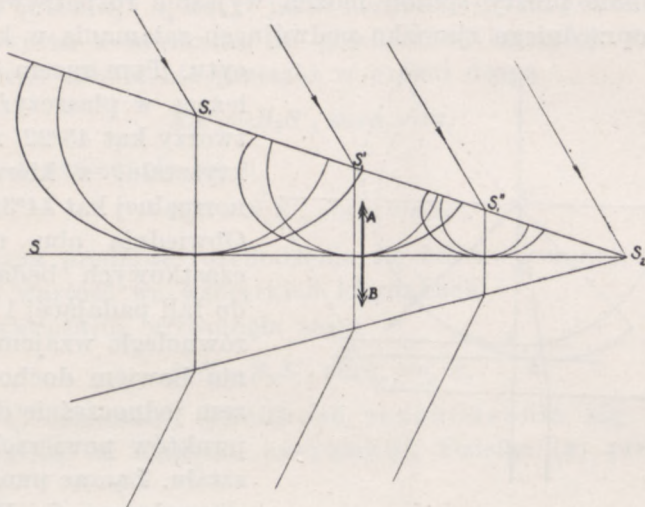


Rys. 309a

obu rodzajów, wysyłane przez każdy z punktów linii prostych  $S_1, S'_1 \dots S_2$ , są jednakowe, ta sama płaszczyzna  $SS_2$  będzie obwiednią zwyczajnych fal cząstkowych. Fala załamana będzie jedna, równoległa do  $SS_2$ , podwój-

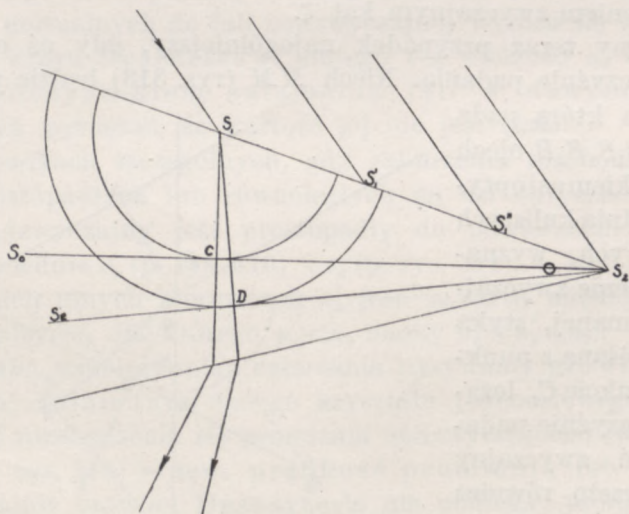


nego załamania nie będzie. Gdy zaś krawędź łamiąca pryzmatu jest równoległa do osi optycznej, zaburzenia nadzwyczajne, rozchodząc się prosto-



Rys. 310

padle do osi optycznej, mają prędkość  $c_e > c_0$  (w kalcyście) wobec czego otrzymujemy dwie różne obwiednie fal cząstkowych, równoległe do  $S_0S_2$  i  $S_eS_2$  (rys. 311).



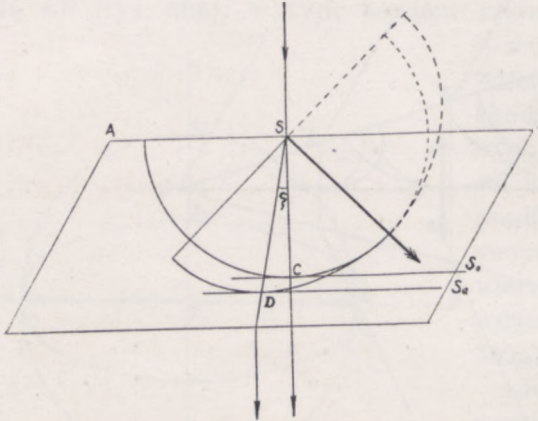
Rys. 311

Łącząc punkty styczności  $C, D$  z punktem  $S_1$ , otrzymujemy kierunki promieni załamanych: zwyczajnego  $S_1C$  i nadzwyczajnego  $S_1D$ . Z pry-



zmatu wychodzą dwie wiązki promieni, przy czym zwyczajna jest bardziej załamana, niż nadzwyczajna.

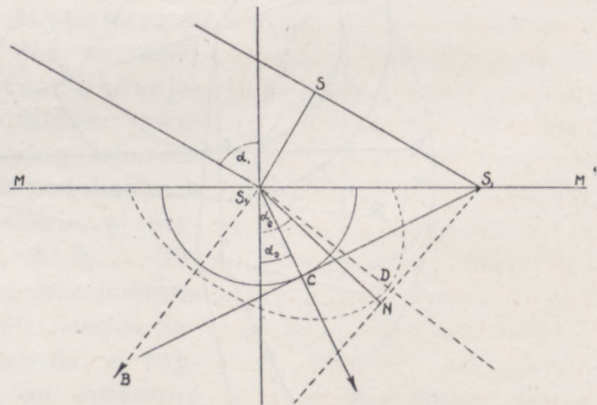
W podobnie prosty sposób można wyjaśnić rozpatrywane w ust. 1 rozdziału poprzedniego zjawisko podwójnego załamania w kryształach kalcytu. Tym razem oś optyczna, leżąca w płaszczyźnie padania, tworzy kąt  $45^{\circ}22'$  z bokiem  $AB$  kryształu, z kierunkiem więc normalnej kąt  $44^{\circ}38'$  (rys. 312). Obwiednie obu rodzajów fal cząstkowych będą równoległe do fali padającej i tym samym równoległe wzajemnie, zaburzenia bowiem dochodzą tym razem jednocześnie do wszystkich punktów powierzchni  $AB$  kryształu. Łącząc punkt padania  $S$  z punktami  $C$  i  $D$ , w których obwiednie  $S_0$  i  $S_e$  stykają się



Rys. 312

z powierzchniami odpowiednich fal cząstkowych wyznaczamy kierunki promieni załamanych. W tym przypadku tylko promień zwyczajny jest prostopadły do czoła fali  $S_0$  zaburzeń zwyczajnych, promień nadzwyczajny, jak o tym już wyżej była mowa, odchyła się od normalnej, tworząc z promieniem zwyczajnym kąt  $\zeta$ .

Rozpatrzmy teraz przypadek najogólniejszy, gdy oś optyczna nie leży w płaszczyźnie padania. Niech  $MM'$  (rys. 313) będzie powierzchnią kryształu, na którą pada płaska fala  $S_1S, S_1B$  niech będzie kierunkiem osi optycznej. Obwiednia kulistych fal cząstkowych, wyznaczająca położenie zwyczajnej fali załamanej, styka się z kulą, opisaną z punktu  $S_1$ , w punkcie  $C$ , leżącym w płaszczyźnie padania; promień zwyczajny  $S_1C$  leży przeto również w tej płaszczyźnie. Punkt styczności  $D$  obwiedni cząstkowych fal elipsoidalnych wychodzi wszakże poza tę płaszczyznę: promień  $S_1D$  nie leży w płaszczyźnie padania; normalna jednak  $S_1N$  do



Rys. 313



nadzwyczajnej fali załamanej i tym razem leży w tej płaszczyźnie, fala nadzwyczajna rozchodzi się równoległe do siebie samej w kierunku  $S_1N$ .

Oznaczmy przez  $\alpha_0$  i  $\alpha_e$  kąty, jakie normalne do fal zwyczajnej i nadzwyczajnej tworzą z normalną do powierzchni łamiącej. Przez  $\tau$  czas, w ciągu którego zaburzenie przeszło w próżni drogę

$$SS'_1 = S_1S'_1 \sin \alpha_1 = c\tau, \quad (a)$$

fala zwyczajna przesunęła się o

$$S_1C = S_1S'_1 \sin \alpha_0 = c_0\tau, \quad (b)$$

gdzie  $c_0$  oznacza prędkość rozchodzenia się fali zwyczajnej, mającą, jak wiemy, stałą wartość we wszystkich kierunkach.

Fala nadzwyczajna przesunęła się o

$$S_1N = S_1S'_1 \sin \alpha_e = c'_e \cdot \tau, \quad (c)$$

gdzie przez  $c'_e$  oznaczamy prędkość rozchodzenia się fali (prędkość normalna w danym kierunku). Dzieląc (a) przez (b) i (c), otrzymujemy

$$\frac{\sin \alpha_1}{\sin \alpha_0} = \frac{c}{c_0} = n_0 \quad (1a)$$

i

$$\frac{\sin \alpha_1}{\sin \alpha_e} = \frac{c}{c'_e} = n'_e.$$

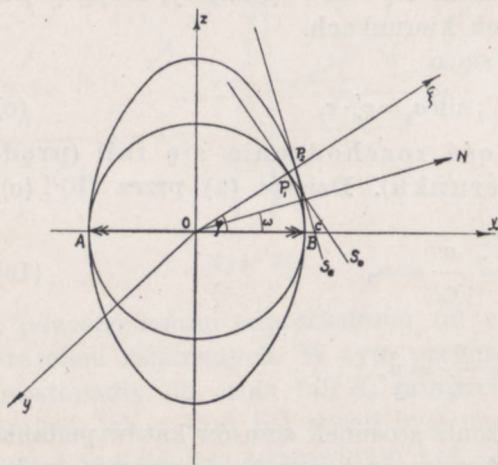
Z formalnego zatem punktu widzenia stosunek sinusów kątów padania i załamania normalnych do fali nadzwyczajnej wyraża się wzorem analogicznym do wzoru Descartes'a: dlatego też wielkość  $n'_e$  będziemy nazywali współczynnikiem załamania fali w danym kierunku; należy jednak pamiętać, że wartość jej nie jest stała.

W przypadkach szczególnych, gdy zaburzenia rozchodzą się w kierunkach prostopadłych lub równoległych do osi optycznej, gdy zatem promień nadzwyczajny jest prostopadły do powierzchni fali,  $c'_e$  jest równe odpowiednio  $c_e$  (p. rys. 310) i  $c_0$  (p. rys. 311),  $n'_e$  jest równe  $n_e$  i  $n_0$ . We wszystkich innych kierunkach  $n'_e$  jest zawarte między wartościami  $n_e$  i  $n_0$  (w kalcyicie, dla którego  $n_e < n_0$  mamy  $n_e \leq n'_e \leq n_0$ ). Te dwie wartości graniczne współczynnika załamania nazywamy głównymi współczynnikami załamania danego kryształu jednoosiowego.

Prędkość rozchodzenia się promienia nadzwyczajnego (proporcjonalna do  $S_1D$  na rys. 313) — tzw. prędkość promienia lub radialna — nawet formalnie prawom Descartes'a nie podlega: promień załamany może, jak widzieliśmy, nie leżeć w płaszczyźnie padania, przy padaniu prostopadłym kąt załamania nie jest równy zero (por. rys. 312); (normalna jednak do nadzwyczajnej fali załamanej tworzy z normalną do powierzchni łamiącej kąt zero).



Uogólniając te wywody, możemy powiedzieć, że z punktu  $O$ , środka zaburzeń w kryształach (rys. 314), rozchodzą się w danym kierunku  $O\xi$  promienie dwojakiego rodzaju: zwyczajny i nadzwyczajny. Gdy przez punkt  $O$  przechodzi w kierunku  $O\xi$  cienka wiązka promieni równoległych światła naturalnego, której odpowiada fala płaska  $S$ , (nie zaznaczona na rysunku) promieniowi zwyczajnemu odpowiada płaska fala  $S_0$ , styczna do kulistej powierzchni falowej w punkcie przecięcia jej  $P_1$  z kierunkiem promienia  $O\xi$  i równoległa do płaskiej fali  $S$ ; promieniowi nadzwyczajnemu — fala płaska  $S_e$ , styczna do powierzchni elipsoidy Huygensa w punkcie przecięcia jej  $P_2$  z kierunkiem promienia  $O\xi$ ; fala  $S_e$  nie jest na ogół równoległa do  $S$ .



Rys. 314

Biorąc oś optyczną  $AB$  za oś współrzędnych  $Ox$ , na równanie elipsoidy otrzymamy

$$\frac{x^2}{c_0^2} + \frac{y^2 + z^2}{c_e^2} = 1, \quad (d)$$

gdyż we wszystkich kierunkach prostopadłych do osi  $a$  więc i w kierunkach osi  $Oy$  i  $Oz$  prędkość rozchodzenia się światła nadzwyczajnego ma wartość jednakową, równą  $c_e$ . Stąd wy-

nika, że dla zdania sobie sprawy z przebiegu zjawiska wystarczy rozpatrzyć je w płaszczyźnie  $xOz$  (południkowej płaszczyźnie elipsoidy); przecięcie elipsoidy przez tę płaszczyznę jest elipsą, wyrażoną równaniem

$$\frac{x^2}{c_0^2} + \frac{z^2}{c_e^2} = 1. \quad (e)$$

Oznaczmy przez  $\varphi$  kąt, jaki kierunek  $O\xi$  tworzy z osią optyczną  $Ox$ . Odcinek  $OP_2$ , łączący punkt  $O$  z punktem  $P_2$  o współrzędnych  $x$  i  $z$ , czyniących zadość równaniu (e) wyznacza prędkość promienia nadzwyczajnego (prędkość radialną). Ze wzorów

$$x = OP_2 \cdot \cos \varphi \quad \text{i} \quad z = OP_2 \cdot \sin \varphi$$

i z równania (e) znajdujemy, oznaczając przez  $c_p$  prędkość promienia nadzwyczajnego

$$OP_2 = c_p = \frac{c_e \cdot c_0}{\sqrt{c_0^2 \sin^2 \varphi + c_e^2 \cos^2 \varphi}}. \quad (2)$$



Dla  $\varphi=0$ , a więc, gdy promień biegnie w kierunku osi optycznej

$$c_p = c_0,$$

gdy  $\varphi = \frac{\pi}{2}$ , gdy przeto promień biegnie prostopadle do osi optycznej

$$c_p = c_e;$$

w tych zatem dwóch wyróżnionych kierunkach prędkości promieni nadzwyczajnych są równe odpowiednio prędkościom normalnym: promienie nadzwyczajne są prostopadle do czoła fali. Wyznaczone więc przy pomocy przyrządów o krawędziach łamiących równoległych lub prostopadłych do osi optycznych (p. ust. 2) ze wzoru (1) wielkość  $c_p$  jest równie dobrze prędkością normalną, jak i radialną.

Normalna do fali  $S_e$  tworzy z osią optyczną kąt  $\omega$ , na ogół różny od  $\varphi$ , równy  $\operatorname{tg} \omega = \frac{c_0^2}{c_e^2} \operatorname{tg} \varphi$ . Długość jej, wyznaczająca prędkość normalną, wynosi

$$c'_e = ON = \sqrt{c_0^2 \cos^2 \omega + c_e^2 \sin^2 \omega}. \quad (2a)$$

Styczna do elipsy w punkcie  $P_2$ , o współrzędnych  $x, z$  wyraża się równaniem

$$\frac{x}{c_0^2} x' + \frac{z}{c_e^2} z' = 1, \quad (f)$$

gdzie  $x', z'$  są współrzędnymi dowolnego punktu stycznej. Styczna ta odcina na osi  $Oz$  odcinek (punkt  $D$  nie uwidoczniiony na rysunku)  $OD$  o długości, którą możemy znaleźć z równania (f), kładąc w nim  $x'=0$ ,

$$OD = z'_0 = \frac{c_e^2}{z};$$

podobnie znajdziemy, że odcinek  $OC$ , odcięty przez styczną na osi  $Ox$ , jest równy

$$OC = x'_0 = \frac{c_0^2}{x};$$

A zatem kąt  $\omega$ , równy kątowi  $CDO$ , wynosi

$$\operatorname{tg} \omega = \frac{OC}{OD} = \frac{c_0^2}{c_e^2} \cdot \frac{z}{x}, \quad (g)$$

wiemy jednak, że

$$\frac{z}{x} = \operatorname{tg} \varphi,$$

otrzymujemy więc

$$\operatorname{tg} \omega = \frac{c_0^2}{c_e^2} \cdot \operatorname{tg} \varphi. \quad (h)$$

Długość  $ON$  normalnej jest równa

$$ON = OC \cdot \cos \omega = \frac{c_0^2}{x} \cos \omega. \quad (i)$$



Ale wobec tego, że

$$\frac{c_0^2}{x} = \frac{c_e^2}{z} \operatorname{tg} \omega$$

(p. wzór g) i że, jak to wynika z równania elipsy,

$$\frac{c_e^2}{z^2} = \frac{c_0^2}{c_0^2 - x^2}$$

lub

$$\frac{c_e^4}{z^2} = \frac{c_0^2 c_e^2}{c_0^2 - x^2}$$

i wreszcie

$$\frac{c_e^2}{z} = \sqrt{\frac{c_0^2 c_e^2}{c_0^2 - x^2}},$$

otrzymujemy

$$\operatorname{tg} \omega = \frac{c_0^2}{x} \sqrt{\frac{c_0^2 - x^2}{c_0^2 \cdot c_e^2}} \quad \text{i} \quad c_e^2 x^2 \operatorname{tg}^2 \omega = c_0^4 - c_0^2 x^2,$$

skąd

$$(c_0^2 + c_e^2 \operatorname{tg}^2 \omega) x^2 = c_0^4$$

i ostatecznie

$$\frac{c_0^2}{x} = \sqrt{c_0^2 + c_e^2 \operatorname{tg}^2 \omega}.$$

Po podstawieniu do wzoru (i) znajdujemy

$$ON = c_e' = \sqrt{c_0^2 + c_e^2 \operatorname{tg}^2 \omega} \cdot \cos \omega = \sqrt{c_0^2 \cos^2 \omega + c_e^2 \sin^2 \omega}. \quad (2a)$$

Na podstawie tych wzorów można wyznaczyć kąt  $\zeta_2$  jaki promień nadzwyczajny tworzy z normalną do czoła fali nadzwyczajnej, mamy bowiem

$$ON = OP_2 \cdot \cos(\varphi - \omega) = OP_2 \cdot \cos \zeta,$$

$$\cos \zeta = \frac{ON}{OP_2} = \frac{\sqrt{c_0^2 \cos^2 \omega + c_e^2 \sin^2 \omega}}{c_0 \cdot c_e} \cdot \sqrt{c_0^2 \sin^2 \varphi + c_e^2 \cos^2 \varphi},$$

stąd, po podstawieniu ze wzoru (h),

$$\sin^2 \varphi = \frac{c_e^4 \sin^2 \omega}{c_0^4 \cos^2 \omega + c_e^4 \sin^2 \omega} \quad \text{i} \quad \cos^2 \varphi = \frac{c_0^4 \cos^2 \omega}{c_0^4 \cos^2 \omega + c_e^4 \sin^2 \omega},$$

otrzymujemy

$$\cos \zeta = \sqrt{\frac{(c_0^2 \cos^2 \omega + c_e^2 \sin^2 \omega)^2}{c_0^4 \cos^2 \omega + c_e^4 \sin^2 \omega}}$$

i

$$\sin \zeta = \frac{\frac{1}{2} (c_0^2 - c_e^2) \cdot \sin 2\omega}{\sqrt{c_0^4 \cos^2 \omega + c_e^4 \sin^2 \omega}},$$

wobec czego

$$\operatorname{tg} \zeta = \frac{1}{2} \frac{c_0^2 - c_e^2}{\sqrt{c_0^4 \cos^2 \omega + c_e^4 \sin^2 \omega}} \cdot \sin 2\omega.$$



Mianownik wyraża kwadrat prędkości normalnej w kierunku  $O\xi$  (p. wzór 2a), równy est przeto  $c_e'^2$ , mamy więc

$$\operatorname{tg} \zeta = \frac{1}{2} \frac{1}{c_e'^2} (c_0^2 - c_e^2) \cdot \sin 2\omega. \quad (j)$$

Mnożąc i dzieląc przez  $c^2$  — prędkość światła w próżni, znajdujemy

$$\operatorname{tg} \zeta = \frac{1}{2} \frac{c^2}{c_e'^2} \left( \frac{c^2}{c^2} - \frac{c_e^2}{c} \right) \sin 2\omega = \frac{1}{2} n_e'^2 \left( \frac{1}{n^2} - \frac{1}{n_e^2} \right) \sin 2\omega. \quad (3)$$

Nie popełniając znaczniejszego błędu, możemy przyjąć, że największą wartość kąta  $\zeta$  otrzymamy przy  $\omega = 45^\circ$ , współczynnik bowiem  $n_e'$  niewiele się zmienia ze zmianą kąta  $\omega$ . Wtedy

$$\frac{c^2}{c_e'^2} = n_e'^2 = \frac{1}{\frac{1}{2} \frac{c_0^2}{c^2} + \frac{1}{2} \frac{c_e^2}{c^2}} = \frac{2}{\frac{1}{n_0^2} + \frac{1}{n_e^2}} = \frac{2n_e^2 \cdot n_0^2}{n_e^2 + n_0^2}$$

i

$$\operatorname{tg} \zeta = \frac{n_e^2 \cdot n_0^2}{n_e^2 + n_0^2} \cdot \frac{n_e^2 - n_0^2}{n_e^2 \cdot n_0^2} = \frac{n_e^2 - n_0^2}{n_e^2 + n_0^2}. \quad (k)$$

Główne współczynniki załamania kryształów jednoosiowych można wyznaczyć w ten sam sposób, co w środowiskach równokierunkowych, a więc przede wszystkim jak, o tym już była mowa wyżej, przez pomiar odchylenia promieni zwyczajnych i nadzwyczajnych w przyzmacie o krawędzi łamiącej równoległej do osi optycznej.

Okazuje się, że w niektórych kryształach jednoosiowych  $n_e$  jest większe od  $n_0$  (promień nadzwyczajny, przechodząc przez przyzmat, załamuje się bardziej, niż promień zwyczajny),  $c_e$  jest zatem mniejsze od  $c_0$ , w innych zaś  $n_e$  jest mniejsze od  $n_0$  (promień nadzwyczajny mniej się załamuje w przyzmacie, niż promień zwyczajny),  $c_e$  przeto większe od  $c_0$ . Kryształy pierwszej kategorii nazywamy dodatnimi, drugiej — ujemnymi.

Nazwy te wprowadził Fresnel na miejsce proponowanych przez Biota: przyciągających, gdy promień nadzwyczajny jest po załamaniu bliższy normalnej, niż zwyczajny (kryształy dodatnie), i odpychających, gdy jest dalej (kryształy ujemne).

W kryształach dodatnich dwupowłokowa powierzchnia Huygensa składa się z wydłużonej w kierunku osi optycznej elipsoidy i z obejmującej ją ze wszystkich stron kuli (rys. 309), stycznej z elipsoidą jedynie w punktach przecięcia z osią optyczną  $AB$ ; w kryształach ujemnych, do których należy kalcyt (szpat islandzki), elipsoida, spłaszczona w kierunku osi optycznej, otacza ze wszystkich stron kulę (rys. 309a). Oto wartości współczynników załamania żółtej linii sodu dla niektórych kryształów jednoosiowych:



Kryształy dodatnie:	$n_o$	<	$n_e$
kwarc	1,54423		1,55338
apofilit	1,534		1,537
kryształ górski	1,5442		1,5533
lód	1,3091		1,3104
kalomel	1,9732		2,6559
Kryształy ujemne	$n_o$	>	$n_e$
kalcyt	1,6584		1,4865
turmalin	1,639		1,620
szmaragd	1,582		1,576
apatyt	1,6390		1,6345
beryl	1,5740		1,5674
korund	1,782		1,6598

Współczynniki te są, oczywiście, funkcją długości fali użytego światła. Dla kalcytu Sarrasin znalazł następujące wartości

Linie Fraunhofera	$n_o$	>	$n_e$
A	1,6499		1,4826
D	1,6528		1,4839
F	1,6678		1,4907
H	1,6832		1,4977

Ściśle biorąc, podany wyżej wykaz kryształów dodatnich i ujemnych obowiązuje jedynie w oznaczonych dziedzinach widma. Może się bowiem zdarzyć, że ten sam kryształ dla pewnych długości fali jest dodatni, dla innych ujemny. Na pograniczu tych dziedzin, w których znak kryształu jest różny, a więc dla pewnej długości fali  $n_o = n_e$ , kryształ zachowuje się, jak ciało równokierunkowe (izotropowe).

W rozpatrywanym przez nas na str. 432 przypadku załamania promieni, padających prostopadle na powierzchnię kalcytu, kąt, jaki normalna do nadzwyczajnej fali załamanej tworzy z osią optyczną, wynosi  $44^{\circ}38'$ , niewiele przeto się różni od tej wartości ( $\omega = 45^{\circ}$ ), przy której kąt  $\zeta$  między normalną i promieniem ma wartość największą. Odchylenie więc promienia nadzwyczajnego możemy obliczyć ze wzoru (k)

$$(\operatorname{tg} \zeta)_{\max} = \frac{2,76 - 2,22}{4,98} = \frac{0,54}{4,98} = 0,1084$$

i

$$\zeta_{\max} = 6^{\circ}20'.$$

W kryształach o grubości 5 cm odchylenie boczne wiązki nadzwyczajnej będzie równe

$$e = d \cdot \operatorname{tg} \zeta = 5 \text{ cm} \cdot 0,1084 = 5,4 \text{ mm}.$$

W kwarcu wartość kąta  $\zeta_{\max}$  jest o wiele mniejsza

$$\operatorname{tg} \zeta_{\max} = \frac{2,40 - 2,37}{4,47} = \frac{0,03}{4,47} \approx 0,007$$

i

$$\zeta_{\max} \approx 24'.$$

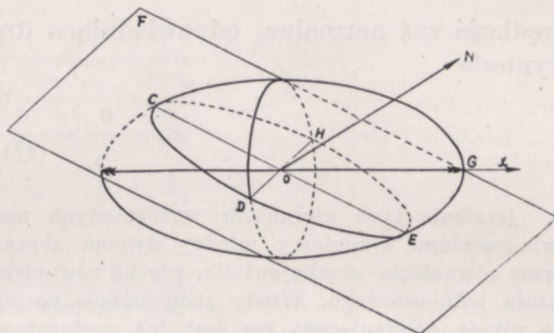


Doświadczenie wnioski te potwierdza i tym samym *ex post* usprawiedliwia przyjęcie założeń Huygensa.

### 3. KRYSZTAŁY JEDNOOSIOWE; ELIPSOIDA CAUCHY'EGO.

Konstrukcja Huygensa pozwala, jakśmy to widzieli, wykreślić bieg promieni w kryształach, nie daje wszakże żadnych wyjaśnień co do ich stanu polaryzacji. Wymaga ona przeto uzupełnienia przez założenia dodatkowe, dotyczące fizycznych własności kryształu.

Te założenia dodatkowe, które Fresnel oparł na sprężystej teorii światła, a które wynikają bezpośrednio z odpowiednio przystosowanych do środowisk różnokierunkowych równań Maxwella, dogodniej jest rozpatrzyć nie przy pomocy konstrukcji Huygensa, lecz tzw. elipsoidy współczynników, często nazywanej elipsoidą Cauchy'ego.



Rys. 315

Opiszmy z punktu  $O$ , jako ze środka, elipsę o półosiach  $n_e$  w kierunku osi optycznej, którą przyjmijmy za oś  $Ox$  układu współrzędnych, i  $n_o$  — w kierunku do niej prostopadłym (rys. 315, gdzie  $n_e > n_o$ , kryształ dodatni); przez obrót dookoła osi  $Ox$  otrzymamy elipsoidę obrotową, której równanie będzie miało kształt

$$\frac{x^2}{n_e^2} + \frac{y^2 + z^2}{n_o^2} = 1. \quad (a)$$

Każdej długości fali odpowiada, rzecz prosta, inna elipsoida, gdyż  $n_e$  i  $n_o$  są funkcjami  $\lambda$ ; niezmiennie będzie jedynie położenie osi. Przypuśćmy, że w pewnej chwili przez punkt  $O$  elipsoidy przechodzi w kierunku  $ON$  fala płaska  $F$ . Płaszczyzna jej przecina elipsoidę wzdłuż elipsy  $CDEH$ , której jedna półoś leży zawsze w równikowej płaszczyźnie elipsoidy, druga zaś  $OC$  jest do niej prostopadła. Równania Maxwella prowadzą do wniosku, że w danym kierunku  $ON$  mogą się rozchodzić bez zniekształcenia (tzn. zachowując charakter polaryzacji liniowej) jedynie drgania, równoległe do tych półosi, które w ten sposób wyznaczają uprzywilejowane kierunki drgań. Płaszczyzna jednego z tych drgań  $OC$  przechodzi przez oś optyczną i kierunek normalnej, jest zatem płaszczyzną, w której, jak widzieliśmy, zachodzą drgania nadzwyczajne, a którą często nazywa się płaszczyzną przecięcia głównego względem danej nor-



malnej. Płaszczyzna drgania  $OD$  jest do niej prostopadła, jest zatem płaszczyzną drgań zwyczajnych.

Prędkość normalna, odpowiadająca drganiom w kierunku  $OC$ , a więc nadzwyczajnym będzie równa

$$c'_e = \frac{c}{n'_e} = \frac{c}{OC},$$

prędkość zaś normalna, odpowiadająca drganiom  $OD$  — zwyczajnym — wyniesie

$$c_0 = \frac{c}{n_0} = \frac{c}{OD}.$$

Istnienie tych kierunków wyróżnionych można stwierdzić następującym doświadczeniem. Umieścimy między dwoma skrzyżowanymi nikolami, oświetlonymi przez równoległą wiązkę światła, płytkę równoległościenną, wyciętą dowolnie z kryształu jednoosiowego. Wtedy zaciemnienie na ogół znika, światło więc wchodzące do nikola analizującego nie jest już spolaryzowane prostoliniowo. Jeżeli jednak płytkę będziemy obracali koło osi wiązki, znajdziemy zawsze takie dwa wzajemnie prostopadłe położenia płytki, przy których pole widzenia znów się całkowicie zaciemni. W tych położeniach drgania, spolaryzowane prostoliniowo przez nikol polaryzujący, pozostają po przejściu przez kryształ spolaryzowane prostoliniowo.

Gdy fala rozchodzi się w kierunku osi optycznej ( $ON$  zbiega się z  $Ox$ ), płaszczyzna fali przecina elipsoidę wzdłuż koła: kierunków wyróżnionych nie ma; w kierunku osi optycznej mogą się rozchodzić drgania, leżące w dowolnych płaszczyznach. Prędkość normalna ma dla wszystkich kierunków drgań wartość jednakową, równą

$$c_0 = \frac{c}{n_0} = \frac{c}{OG}.$$

Gdy fala rozchodzi się w kierunku prostopadłym do osi optycznej ( $ON$  zbiega się z osią  $Oy$  lub  $Oz$  lub jakąkolwiek prostą, leżącą w płaszczyźnie  $yOz$ ), płaszczyzna fali przecina elipsoidę wzdłuż elipsy, której jedna półoś jest zawsze równa promieniowi cięcia równikowego  $n_0$ , druga zaś jest równa  $n_e$ . W tym przeto kierunku drgania się rozchodzą z prędkościami

$$c_e = \frac{c}{n_e} \quad \text{i} \quad c_0 = \frac{c}{n_0}.$$

W dowolnym kierunku  $ON$ , tworzącym kąt  $\omega$  z osią optyczną, współczynnik  $n'_e$  drgania nadzwyczajnego będzie równy  $OC$  (rys. 315a). Oznaczając przez  $x$  i  $z$  współrzędne punktu  $C$ , mamy

$$x = n'_e \sin \omega \quad \text{i} \quad z = n'_e \cos \omega.$$



Ponieważ osie  $Oy$  i  $Oz$  podlegają jedynie warunkowi, aby były prostopadłe do osi  $Ox$ , możemy zawsze tak wybrać kierunek osi  $Oz$ , aby normalna  $ON$  i, co za tym idzie, prosta  $OC$  leżały w płaszczyźnie  $xOz$ , będącej w ten sposób płaszczyzną przecięcia głównego względem normalnej  $ON$ .

Podstawiając te wartości do równania elipsy, otrzymanej z przecięcia elipsoidy płaszczyzny  $xOz$ , znajdujemy

$$\frac{n_e'^2 \cos^2 \omega}{n_0^2} + \frac{n_e'^2 \sin^2 \omega}{n_e^2} = 1$$

i

$$n_e' = \frac{1}{\sqrt{\frac{\cos^2 \omega}{n^2} + \frac{\sin^2 \omega}{n_e^2}}} \quad (4)$$

skąd, kładąc

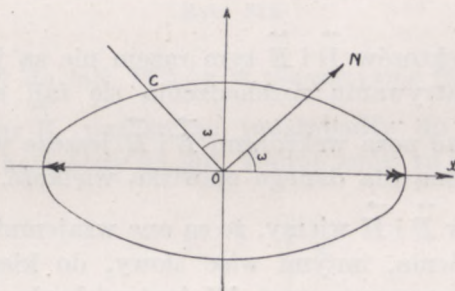
$$n_e' = \frac{c}{c_e'}; \quad n_0 = \frac{c}{c_0} \quad \text{i} \quad n_e = \frac{c}{c_e},$$

otrzymujemy

$$\frac{c}{c_e'} = \frac{c}{\sqrt{c_0^2 \cos^2 \omega + c_e^2 \sin^2 \omega}}$$

i ostatecznie

$$c_e' = \sqrt{c_0^2 \cos^2 \omega + c_e^2 \sin^2 \omega},$$



Rys. 315a

a więc wzór (2a), wyprowadzony w ust. poprzednim na podstawie konstrukcji Huygensa.

Tej różnokierunkowości optycznej powinna odpowiadać w myśl elektromagnetycznej teorii światła i różnokierunkowość elektrycznych własności kryształu. Wiemy bowiem, że

$$n = \sqrt{\frac{\epsilon'}{\epsilon}}$$

lub, przyjmując dla uproszczenia zdolność elektryczną próżni za jednostkę i tym samym wprowadzając zamiast zdolności elektrycznej kryształu jego stałą dielektryczną,

$$n = \sqrt{\epsilon'}.$$



Doświadczenie istotnie wnioszek ten potwierdza. W kryształach jednoosiowych wartość stałej dielektrycznej zmienia się zależnie od kąta, jaki z osią optyczną tworzy ten kierunek, w jakim ją mierzymy (M. Grotowski, Wykłady fizyki, tom II, rozdz. III, ust. 10).

Wtedy jednak związek między wektorem indukcji elektrycznej  $\vec{D}$  i wektorem natężenia pola elektrycznego  $\vec{E}$  nie wyraża się już prostym wzorem

$$\vec{D} = \epsilon \vec{E},$$

lecz bardziej złożonym.

Biorąc te same osie współrzędnych, co przy konstrukcji elipsoidy współczynników i oznaczając wartość stałej dielektrycznej w kierunku osi optycznej przez  $\epsilon_1$ , w kierunkach zaś do niej prostopadłych przez  $\epsilon_2$  i  $\epsilon_3$  mamy

$$\epsilon_1 = n_e^2 \quad \text{i} \quad \epsilon_2 = \epsilon_3 = n_o^2.$$

Dla  $\vec{D}$  zatem otrzymujemy

$$D_x = \epsilon_1 E_x = n_e^2 E_x; \quad D_y = \epsilon_2 E_y = n_o^2 E_y; \quad D_z = \epsilon_3 E_z = n_o^2 E_z.$$

Kierunki przeto wektorów  $\vec{D}$  i  $\vec{E}$  tym razem nie są już na ogół zgodne. A więc przy rozpatrywaniu rozchodzenia się fali elektromagnetycznej musimy uwzględniać poza wektorami  $\vec{E}$  i  $\vec{H}$  jeszcze wektor  $\vec{D}$ , jako trzecią charakterystyczną dla danego zjawiska wielkość.

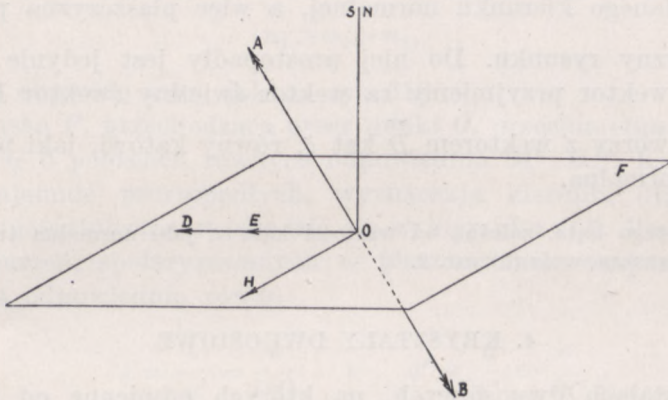
Co do wektorów  $\vec{E}$  i  $\vec{H}$  wiemy, że są one wzajemnie prostopadłe i prostopadłe do promienia, innymi więc słowy, do kierunku rozchodzenia się energii elektromagnetycznej. W środowiskach równokierunkowych promień jest prostopadły do powierzchni fali i wektory  $\vec{E}$ ,  $\vec{H}$  leżą w płaszczyźnie stycznej do tej powierzchni (w przypadku fali płaskiej — w płaszczyźnie tej fali). W tej samej płaszczyźnie leży, oczywiście, i wektor  $\vec{D}$ . Tak samo rozmieszczone są te wektory w fali zaburzenia zwyczajnego, mającego, jak niejednokrotnie już była o tym mowa, cechy zaburzenia w środowiskach równokierunkowych; jedyna różnica polega na tym, że promień zwyczajny nigdy nie jest promieniem światła naturalnego, lecz zawsze jest spolaryzowany w płaszczyźnie przecięcia głównego względem danego kierunku normalnej.

Weźmy tę płaszczyznę, przesuniętą, jak wiemy, przez oś optyczną  $AB$  i normalną do fali  $ON$ , za płaszczyznę rysunku (rys. 316). Wektory  $\vec{E}$  i  $\vec{D}$  będą leżały w płaszczyźnie fali płaskiej  $F$  (lub w płaszczyźnie stycz-



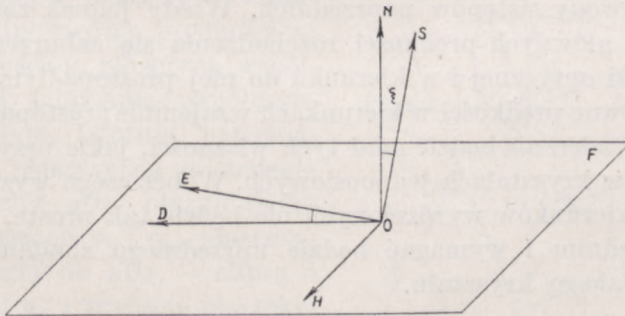
nej do dowolnej powierzchni falowej) i kierunki ich będą leżały w płaszczyźnie rysunku, wektor  $\vec{H}$  będzie leżał prostopadłe do płaszczyzny rysunku. Wszystkie trzy wektory będą jednocześnie prostopadłe do normalnej  $ON$  i do promienia  $OS$ , których kierunki będą tym razem zgodne.

Inaczej jednak będzie w zaburzeniu nadzwyczajnym, gdzie promień



Rys. 316

nie jest prostopadły do fali. Wtedy w płaszczyźnie fali leżą jedynie wektory  $\vec{H}$  i  $\vec{D}$ , wektor  $\vec{E}$ , pozostając prostopadły do promienia, tworzy z normalną do fali kąt różny od  $90^\circ$ . Biorąc znów za płaszczyznę rysunku



Rys. 317

płaszczyznę przecięcia głównego względem danego kierunku normalnej, otrzymamy układ wektorów taki, jak na rys. 317. Wektor  $\vec{D}$  leży w płaszczyźnie rysunku, wektor  $\vec{E}$  w płaszczyźnie, przechodzącej przez wektor indukcji elektrycznej i normalną do fali a więc też w płaszczyźnie



rysunku, wektor  $\vec{H}$ , leżący w płaszczyźnie fali, jest prostopadły do płaszczyzny rysunku.

Uogólniając pojęcia, wprowadzone dla objaśnienia zjawisk polaryzacji w środowiskach równokierunkowych na środowiska różnokierunkowe, przez płaszczyznę polaryzacji będziemy rozumieli i tym razem płaszczyznę prostopadłą do kierunku drgań. W zaburzeniu nadzwyczajnym płaszczyzną tą jest płaszczyzna prostopadła do przecięcia głównego względem danego kierunku normalnej, a więc płaszczyzna prostopadła do płaszczyzny rysunku. Do niej prostopadły jest jedynie wektor  $\vec{D}$ , ten przeto wektor przyjmujemy za wektor świetlny (wektor Fresnela). Wektor  $\vec{E}$  tworzy z wektorem  $\vec{D}$  kąt  $\zeta$ , równy kątowi, jaki promień  $OS$  tworzy z normalną.

Wartość tego kąta, zależną od wartości kąta  $\omega$ , jaki normalna tworzy z osią optyczną, wyznacza wzór (3) ust. 2.

#### 4. KRYSZTAŁY DWUOSIOWE

W kryształach dwuosiowych, na których odmienne od kryształów jednoosiowych własności optyczne pierwszy zwrócił uwagę Brewster, żadna z dwóch wiązek promieni, na które rozdziela się wiązka padającego na kryształ światła naturalnego, nie podlega prawom Descartes'a, tak że obie te wiązki można uważać za nadzwyczajne.

Fresnel udowodnił, że i te o wiele bardziej złożone zjawiska można wyjaśnić, posługując się założeniami, analogicznymi do tych, na jakich oparliśmy wywody ustępów poprzednich. Wtedy jednak zamiast dwóch wyróżnionych głównych prędkości rozchodzenia się zaburzeń: prędkości w kierunku osi optycznej i w kierunku do niej prostopadłym — wprowadzimy trzy główne prędkości w kierunkach wzajemnie prostopadłych, z których wszakże żaden nie będzie miał tych własności, jakie przypisywaliśmy osi optycznej w kryształach jednoosiowych. Wobec czego wyznaczenie położenia tych kierunków wyróżnionych nie będzie tak proste, jak w przypadku poprzednim i wymagać będzie uprzedniego zbadania własności optycznych danego kryształu.

W pewnych grupach kryształów dwuosiowych (w układach rombowym i jednooskośnym) kierunki te można z góry wyznaczyć na podstawie budowy tych kryształów, w innych nie ma żadnego oznaczonego związku między własnościami optycznymi i kryształicznymi.

Podobnie, jak poprzednio, weźmiemy za punkt wyjścia konstrukcję Cauchy'ego. Przypuścimy, że znamy kierunki prędkości głównych; biorąc je za kierunki osi prostokątnego układu współrzędnych, będących



osiąmi symetrii optycznej, opiszmy z punktu  $O$  elipsoidę o półosiach równych

$$n_1 = \frac{c}{c_1}; \quad n_2 = \frac{c}{c_2}; \quad n_3 = \frac{c}{c_3}, \quad (a)$$

gdzie  $c_1, c_2, c_3$  oznaczają główne prędkości rozchodzenia się fali (prędkości normalne),  $n_1, n_2, n_3$  — główne współczynniki załamania. Kładąc

$$n_1 > n_2 > n_3,$$

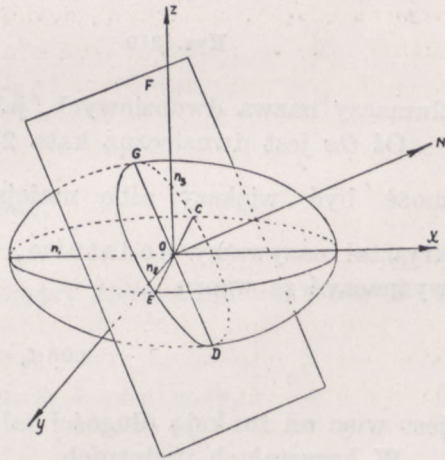
otrzymamy elipsoidę taką, jak na rys. 318.

Fala płaska  $F$ , przechodząca przez punkt  $O$ , przecina elipsoidę wzdłuż elipsy  $EDCG$  o półosiach równych odpowiednio  $OC$  i  $OD$ . Kierunki tych półosi, wzajemnie prostopadłych, wyznaczają kierunki drgań, mogących bez zniekształcenia rozchodzić się w kierunku  $ON$ . Prędkości tych dwóch zaburzeń, spolaryzowanych w płaszczyznach wzajemnie prostopadłych, są odpowiednio równe

$$c' = \frac{c}{n'} = \frac{c}{OD} \quad \text{i} \quad c'' = \frac{c}{n''} = \frac{c}{OC},$$

przy czym w przeciwieństwie do kryształów jednoosiowych żadna z tych prędkości nie ma wartości stałej, niezależnej od kierunku rozchodzenia się fali.

Gdy płaszczyzna fali jest równoległa do jednej z płaszczyzn współrzędnych, odpowiednie prędkości są równe prędkościom głównym, współczynniki zaś załamania współczynnikiem głównym. Istotnie, przecinając elipsoidę płaszczyzną równoległą do płaszczyzny  $yOz$ , otrzymujemy elipsę o półosiach  $n_2$  i  $n_3$ , płaszczyzną równoległą do  $yOx$ , — elipsę o półosiach  $n_1$  i  $n_2$  i wreszcie płaszczyzną równoległą do płaszczyzny  $xOz$ , — elipsę o półosiach  $n_1$  i  $n_3$ .



Rys. 318

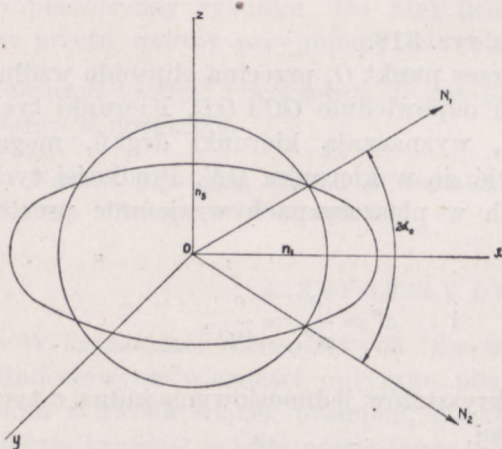
W pewnym jednak kierunku rozchodzenia się fali, a więc dla pewnych wartości kątów  $\alpha, \beta, \gamma$ , jakie normalna  $ON$  tworzy z kierunkami osi współrzędnych, przekrój elipsoidy płaszczyzną fali jest kołem. Wtedy nie ma kierunków wyróżnionych: drgania mogą zachodzić we wszystkich kierunkach. A ponieważ każdemu kierunkowi drgań odpowiada inny kie-



runek promienia, wiązka równoległych promieni naturalnych rozpada się na nieskończenie wielką liczbę promieni, z których każdy spolaryzowany jest w innej płaszczyźnie (rys. 319).

Promienie te tworzą stożek, którego jedną z tworzących jest normalna  $ON_1$ . Okazuje się, że wtedy kąt, jaki normalna tworzy z osią  $Oy$ , równy jest  $\frac{\pi}{2}$ , normalna leży zatem w płaszczyźnie  $xOz$  tzn. w płaszczy-

źnie, wyznaczonej przez największą ( $n_1$ ) i najmniejszą ( $n_3$ ) wartość współczynnika załamania. Elipsoida posiada wszakże dwa przekroje kołowe, przecinające się wzdłuż osi  $Oy$ , mamy więc dwa wyróżnione kierunki rozchodzenia się fali:  $ON_1$  i  $ON_2$ . Kierunki te nazywamy osiami optycznymi lub głównymi osiami optycznymi kryształu lub rzadziej binormalami. W kryształach tego typu nie istnieje zatem jeden kierunek, lecz istnieją dwa kierunki, w których mogą bez odkształcenia rozchodzić się drgania o kierunkach dowolnych; tym się



Rys. 319

tłumaczy nazwa dwuosiowych, jaką im nadajemy.

Oś  $Ox$  jest dwusieczną kąta  $2\alpha_0$  między osiami optycznymi; kąt ten może być większy albo mniejszy od  $\frac{\pi}{2}$ . W pierwszym przypadku kryształ nazywamy dodatnim, w drugim ujemnym. Kąt  $\alpha_0$  można wyznaczyć ze wzoru

$$\cos \alpha_0 = \sqrt{\frac{n_1^2 - n_2^2}{n_1^2 - n_3^2}}, \quad (b)$$

jest więc on funkcją długości fali.

W kryształach dodatnich

$$\cos \alpha_0 > \frac{\sqrt{2}}{2},$$

a przeto

$$n_1^2 - n_2^2 > \frac{n_1^2 - n_3^2}{2},$$



skąd

$$n_2^2 < \frac{n_1^2 + n_3^2}{2}.$$

Kryształy jednoosiowe możemy rozpatrywać jako graniczny przypadek, dla którego  $\alpha_0 = 0$  ( $n_2 = n_3$ ): obie osie optyczne zbiegają się w jedną, mającą kierunek osi  $Ox$ . Przekrój kołowy jest przekrojem równikowym elipsoidy; kierunki promienia i normalnej są zgodne, danej normalnej odpowiada przeto tylko jeden promień.

Dla otrzymania powierzchni falowej analogicznej do konstrukcji Huygensa w kryształach jednoosiowych, rozpatrzmy elipsoidę prędkości promieni, często nazywaną elipsoidą Fresnela.

Jak o tym była już mowa niejednokrotnie, kierunki promieni i normalnych nie są w środowiskach różnokierunkowych ze sobą zgodne, tym samym nie są zgodne i kierunki wektora świetlnego  $\vec{D}$ , prostopadłego do normalnej fali, i wektora natężenia pola elektrycznego  $\vec{E}$ , prostopadłego do kierunku promienia.

Wektory  $\vec{D}$ ,  $\vec{N}$  i  $\vec{H}$  są względem siebie tak rozmieszczone, jak wektory  $\vec{E}$ ,  $\vec{S}$  i  $\vec{H}$ , prędkość zaś promienia  $c_p$  jest związana z prędkością normalną  $c'$  wzorem

$$c_p = \frac{c'}{\cos \zeta}$$

lub

$$\frac{c'}{c_p} = \cos \zeta,$$

gdzie  $\zeta$  jest, jak poprzednio, kątem między kierunkami wektorów  $\vec{E}$  i  $\vec{D}$ , którego kosinus wynosi

$$\cos \zeta = \cos \alpha \cdot \cos \alpha_p + \cos \beta \cdot \cos \beta_p + \cos \gamma \cdot \cos \gamma_p = \frac{c'}{c_p}. \quad (e)$$

Wzór ten przekształca się w identyczny, gdy zamiast  $c'$  podstawimy  $\frac{1}{c_p}$  i zamiast  $c_p - \frac{1}{c'}$ , przypisując jednocześnie kierunek normalnej promieniowi, promienia zaś — normalnej i w ten sposób zastępując  $\vec{E}$  przez  $\vec{D}$  i  $\vec{D}$  przez  $\vec{E}$ .



Istotnie, lewa strona równania nie ulegnie na skutek takiego podstawienia żadnej zmianie, prawa zaś przekształca się w

$$\frac{1}{c_p} : \frac{1}{c'} = \frac{c'}{c_p},$$

a więc przybiera taką postać, jak poprzednio. Podobnie nie ulegną zmianie i inne związki między wektorami  $\vec{D}$  i  $\vec{N}$  oraz  $\vec{E}$  i  $\vec{S}$ , gdy wykonamy w nich te same podstawienia.

Elipsoida zatem, której półosie o tych samych kierunkach, co wybrane przez nas poprzednio osie  $Ox$ ,  $Oy$ ,  $Oz$ , mają długości nie odwrotnie proporcjonalne do prędkości normalnych  $\left(n = \frac{c}{c'}\right)$ , lecz wprost propor-

jonalne do prędkości promieni  $(c_{1p}, c_{2p}, c_{3p})$ , będzie miała własności analogiczne do elipsoidy Cauchy'ego.

Przecinając tę elipsoidę płaszczyzną, prostopadłą do kierunku promienia, otrzymujemy, biorąc ogólnie, elipsę, której półosie, wyznaczające kierunki wektorów natężenia pola elektrycznego, mogących się rozchodzić w danym kierunku, będą równe odpowiednim prędkościom promienia. Znajdziemy podobnie, jak poprzednio, że w każdym kierunku rozchodzą się z niejednakowymi prędkościami dwa promienie. Ponieważ każdemu z dwóch wektorów  $\vec{E}$  odpowiada inny wektor  $\vec{D}$  i tym samym inna płaszczyzna fali, kierunkowi  $\vec{S}$  promienia odpowiadają dwie różne normalne do fali tak, jak każdej normalnej do fali, a więc każdemu kierunkowi rozchodzenia się fali, odpowiadały dwa różne promienie.

Gdy kierunek promienia zbiega się z kierunkiem jednej z osi współrzędnych np.  $Ox$ , kierunki wektorów  $\vec{E}_1$  i  $\vec{E}_2$  zbiegają się z kierunkami dwóch osi pozostałych  $Oy$  i  $Oz$ . Możliwe prędkości rozchodzenia się promieni są wtedy równe  $c_{2p}$  i  $c_{3p}$ . Wtedy jednak wektory natężenia pola mają ten sam kierunek, co wektory indukcji elektrycznej  $\vec{D}$ . W myśl bowiem założenia, w kierunku każdej osi związek między  $\vec{E}$  i  $\vec{D}$  wyraża się wzorem

$$\vec{D}_i = \varepsilon_i \vec{E}_i, \quad (5)$$

kąt więc  $\zeta$  między tymi wektorami jest równy zeru i

$$c_{1p} = c'_1; \quad c_{2p} = c'_2; \quad c_{3p} = c'_3.$$

Półosie elipsoidy Fresnela mają długości równe głównym prędkościom normalnym.



W przypadku szczególnym, przy pewnym wyróżnionym kierunku promienia przekrój elipsoidy płaszczyzną, prostopadłą do promienia, jest kołem. Otrzymujemy wtedy nieskończenie wielką liczbę możliwych kierunków wektora  $\vec{E}$  i co za tym idzie nieskończenie wielką liczbę odpowiadających danemu kierunkowi promienia kierunków normalnej. Ten wyróżniony kierunek nazywamy kierunkiem osi promieni lub wtórnych osi optycznych lub wreszcie biradialnych.

Osi tych jest dwie; leżą one w płaszczyźnie  $xOz$  i oś  $Ox$  jest dwusieczną kąta między nimi. Na kosinus kąta  $\alpha'_0$ , jaki osie te tworzą z osią  $Ox$ , otrzymamy podstawiając do wzoru (b) zamiast  $n_1, n_2, n_3$  odpowiednio  $c_{1p}, c_{2p}, c_{3p}$ ,

$$\cos \alpha'_0 = \sqrt{\frac{c_{1p}^2 - c_{2p}^2}{c_{1p}^2 - c_{3p}^2}} = \sqrt{\frac{c_1'^2 - c_2'^2}{c_1'^2 - c_3'^2}} = \frac{n_3}{n_2} \sqrt{\frac{n_2^2 - n_1^2}{n_3^2 - n_1^2}} = \frac{n_3}{n_2} \cos \alpha_0.$$

A zatem nachylenie osi promieni do osi  $Ox$  zmienia się, podobnie jak nachylenie osi optycznych, zależnie od długości fali użytego światła. W przypadku przez nas rozpatrywanym, gdy  $n_1 > n_2 > n_3$ , kosinus kąta  $\alpha'_0$  jest mniejszy od kosinus kąta  $\alpha_0$ , osie promieni tworzą z osią  $Ox$ , osią największej wartości współczynnika załamania, kąt większy, aniżeli osie optyczne. W większości kryształów różnica ta jest bardzo mała — rzędu kilku minut — w nielicznych jedynie przypadkach dochodzi do paru stopni.

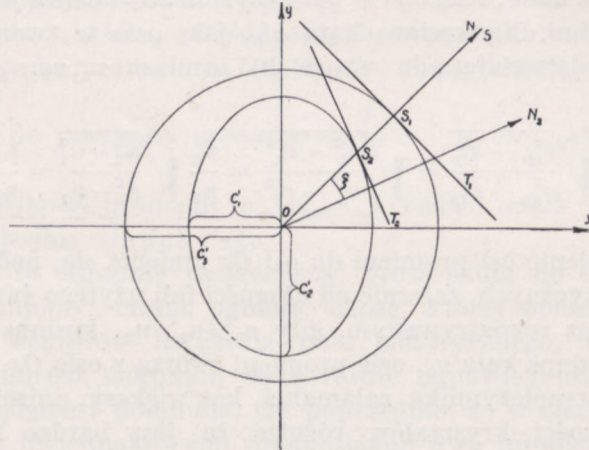
Znając prędkości rozchodzenia się promieni w różnych kierunkach, możemy wykreślić powierzchnię falową zaburzeń, rozchodzących się z punktu  $O$  w kryształ. Przypuścimy, że przez  $O$  przechodzą w różnych kierunkach cienkie wiązki promieni równoległych; odkładajmy w kierunku każdej z nich (nie zaś w kierunku do nich prostopadłym, jak w elipsoidzie Fresnela) odcinki równe dwu możliwym wartościom prędkości promieni w tym kierunku. Miejscem geometrycznym końców tych odcinków jest powierzchnia dwupowłokowa, obwiednia dwóch układów fal płaskich, które przeszły jednocześnie przez punkt  $O$ . Po upływie jednostki czasu zaburzenie, wychodzące z  $O$ , dojdzie do tego punktu  $S$  powierzchni, w którym fala płaska, odpowiadająca danemu zaburzeniu, dotyka powierzchni. Powierzchnia będzie zatem miejscem geometrycznym zaburzeń, które o sekundę wcześniej wyszły we wszystkich możliwych kierunkach z  $O$ . Ponieważ tylko te elementy fali są czynne, które stykają się z powierzchnią, prosta  $OS$ , wyznaczająca kierunek promienia, jest miejscem geometrycznym czynnych elementów rozchodzącej się fali.

Przyjmijmy, że  $OS$  leży w płaszczyźnie  $xOy$ . Przecinając elipsoidę Fresnela płaszczyzną, prostopadłą do  $OS$ , a przeto i do płaszczyzny



$xOy$ , znajdziemy, że jedna z półosi elipsy przecięcia ma stałą wartość  $c'_3$ , druga zaś zależnie od kąta, jaki z osiami  $Ox$  i  $Oy$  tworzy kierunek promienia  $OS$ , waha się w granicach od  $c'_2$  do  $c'_1$ , gdzie przy tych wartościach współczynników głównych, jakie wyżej przyjęliśmy ( $n_1 > n_2 > n_3$ ),  $c'_1 < c'_2 < c'_3$ .

Odkładając z punktu  $O$  we wszystkich kierunkach, jakie promień  $OS$  może tworzyć z osiami  $Ox$  i  $Oy$ , te dwie grupy wartości, stwierdzimy,



Rys. 320

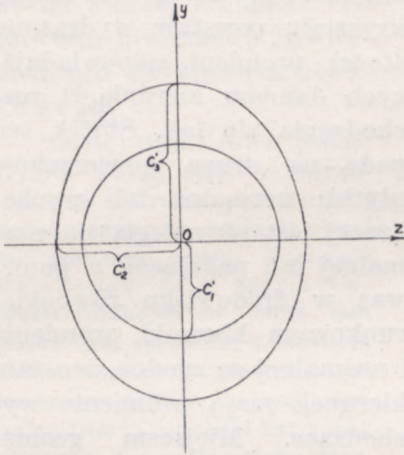
że końce jednej z nich leżeć będą na kole o promieniu  $c'_3$ , drugiej — na elipsie o półosiach  $c'_1$  i  $c'_2$ . Przecięcie więc powierzchni falowej płaszczyzną  $xOy$  będzie miało taki kształt, jak na rys. 320.

Promień  $OS$  przecina tę powierzchnię w punktach  $S_1$  i  $S_2$  odległych od  $O$  o  $c'_p = c'_3$  i  $c'_p$  mniejsze od  $c'_2$  i większe od  $c'_1$ . Płaszczyzny styczne  $T_1$  i  $T_2$  w punktach  $S_1$  i  $S_2$  są czołami fal płaskich, rozchodzących się z punktu  $O$  w danym kierunku; normalna  $N_1$  do tej z nich  $T_1$ , która jest styczna do koła, ma kierunek ten sam, co promień, normalna  $N_2$  do tej, która jest styczna do elipsy, tworzy z promieniem kąt  $\zeta$ . Taki sam kąt tworzą wektory  $\vec{D}_2$  i  $\vec{E}_2$ .

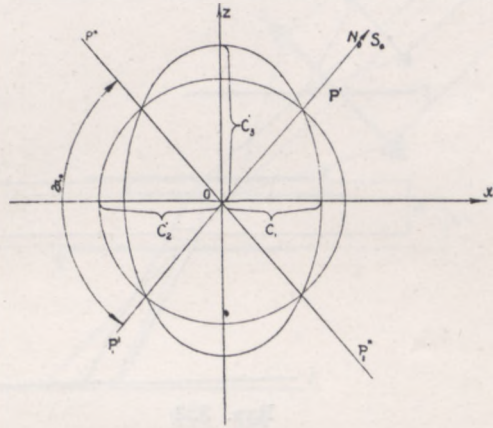
Analogicznie znajdziemy, że przekrojem powierzchni falowej przez płaszczyznę  $zOy$  jest koło o promieniu  $c'_1$  i elipsa o półosiach  $c'_2$  i  $c'_3$  (rys. 321). Bardziej złożony obraz otrzymany przecinając powierzchnię falową płaszczyzną  $xOz$ , zawierającą osie największej i najmniejszej prędkości. I tym razem jedna z powłok da w przecięciu koło o promieniu  $c'_2$  i elipsę o półosiach  $c'_1$  i  $c'_3$ , ponieważ jednak  $c'_2$  jest większe od  $c'_1$  i mniejsze od  $c'_3$ , elipsa i koło będą się przecinały w czterech punktach (rys. 322), leżących na dwóch prostych  $P'_1P'$  i  $P''_1P''$ , proste te, tworzące ze sobą



kąt  $2\alpha_0$ , są omówionymi poprzednio osiami promieni (wtórnymi osiami optycznymi, biradialnymi). Istotnie, w punktach  $P', P'', P_1', P_1''$ , w których na powierzchni falowej powstaje lejkowate zagłębienie, można przeprowadzić nie jedną, lecz cały pęk płaszczyzn stycznych. Kierunkowi  $S_0$  promienia odpowiada nieskończenie wiele normalnych, z których jedna  $N_0$  ma kierunek promienia. Normalne te tworzą stożek, którego jedną z tworzących jest promień  $S_0$ .



Rys. 321



Rys. 322

We wszystkich zatem przypadkach, gdy płaszczyzna padania jest jedną z płaszczyzn współrzędnych, jeden z promieni ma prędkość stałą, niezależną od kierunku padania i tym samym załamanie jego podlega prawom Descartes'a. Jeżeli więc wytniemy pryzmaty o krawędziach łamiących, prostopadłych do odpowiednich płaszczyzn współrzędnych, będziemy mogli zwykłym sposobem — metodą najmniejszego odchylenia — wyznaczyć współczynniki  $n_1, n_2$  i  $n_3$ .

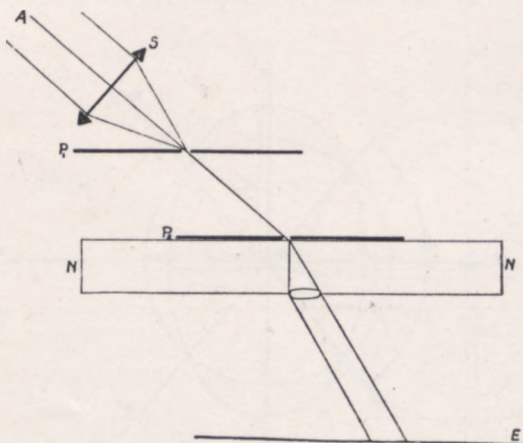
##### 5. ZAŁAMANIE STOŻKOWE: WEWNĘTRZNE I ZEWNĘTRZNE

Jak wynika z rozważań ustępu poprzedniego, w przypadku, gdy normalna fali płaskiej jest równoległa do osi optycznej, danemu kierunkowi rozchodzenia się fali odpowiada nieskończenie wielka liczba promieni, tworzących stożek, którego jedną z tworzących jest dana normalna. Ten ważny wniosek z założeń Fresnela, udowodniony przez Hamiltona (1832 r.), potwierdził doświadczalnie Lloyd, używając do tego aragonitu, w którym kąt wierzchołkowy stożka ma stosunkowo znaczną wartość (około  $2^\circ$ ).

Niech  $MN$  będzie równoległościenną płytką aragonitu (rys. 323), oświetloną przez wiązkę rozbieżną, wychodzącą z otworu przesłony  $P_1$ ,



na którym soczewka  $S$ , skupia światło źródła  $A$  (np. słońca). Wiązka ta pada na otworek drugiej przesłony  $P_2$  tak, że przez płytkę przechodzi stożek promieni o niewielkiej rozwartości. Na ekranie  $E$  umieszczonym poza płytką, powstają zazwyczaj dwa punkty świetlne. Przesuwając jednak odpowiednio przesłonę  $P_2$  po powierzchni kryształu i tym samym zmieniając kąt padania promieni, otrzymujemy przy pewnym jej położeniu pierścień świetlny na



Rys. 323

fali jest krzywa zamknięta; zaburzenia świetlne są umiejscowione na powierzchni wydrążonego walca. Średnica pierścienia świetlnego jest stała, niezależna od odległości obrazu  $E$  od płytki. Ponieważ średnica ta jest niewielka (rzędu ułamka milimetra przy grubości płytki jednego centymetra) dogodniej jest obserwować to zjawisko wewnętrznego załamania stożkowego przez lupę, nastawiając oko na obrazy otworka przesłony  $P_2$ , wytwarzane przez płytkę.

Promienie tworzące walec, są, jak wiemy, spolaryzowane we wszystkich możliwych płaszczyznach. Jeżeli więc oświetlimy płytkę nie światłem naturalnym, lecz spolaryzowanym prostoliniowo, w świetle wychodzącym brak będzie promieni, spolaryzowanych w płaszczyźnie prostopadłej do płaszczyzny polaryzacji promieni padających. Na pierścieniu powstanie ciemna plama; oświetlenie punktów będzie wzrastało w miarę oddalania się od niej, dochodząc do najwyższej wartości w punkcie, leżącym po biegunowo przeciwnej stronie.

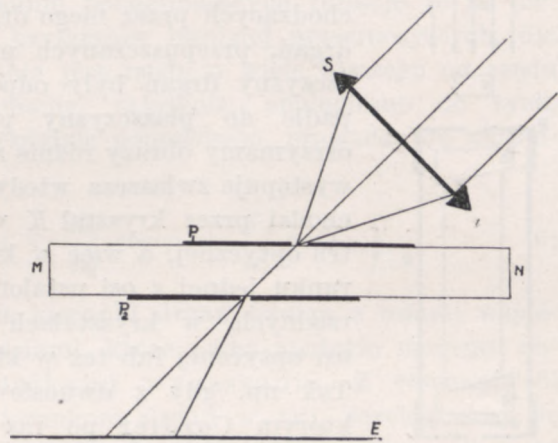
Lloyd stwierdził, że analogiczne zjawisko zajdzie, gdy promień będzie biegł w kryształach wzdłuż osi promieni. Na płytkę aragonitu  $MN$  rzucamy (rys. 324) zbieżną wiązkę promieni, która, przechodząc przez otwór przesłony  $P_1$ , staje się znów rozbieżną, wobec czego jeden z promieni ma na pewno kierunek wtórnej osi optycznej. Przesuwając przesłonę  $P_2$

zostaje pierścień świetlny na ekranie. A zatem wewnątrz kryształu powstaje wydrążony stożek promieni, odpowiadających danemu kierunkowi rozchodzenia się fali. Stożek ten pada na drugą powierzchnię płytki; normalna fali wychodzącej jest równoległa do normalnej fali padającej, a ponieważ w środowisku równokierunkowym kierunki promienia i normalnej są zgodne, ten sam kierunek mają promienie wychodzące. Miejszem geometrycznym czynnych elementów



po powierzchni kryształu, przy pewnym jej położeniu otrzymujemy na ekranie  $E$  pierścień świetlny, którego średnica zwiększa się w miarę oddalania ekranu od płytki. Prosta, łącząca otwory przesłon, wyznacza wtedy kierunek osi promieni. W tym przypadku promieniowi wewnątrz kryształu odpowiada nieskończenie wielka liczba normalnych, przy wyjściu przeto z kryształu, gdy kierunki promienia i normalnej stają się zgodne, promień rozszczepia się na stożek promieni. To zjawisko nosi nazwę zewnętrznego załamania stożkowego.

Teorię Hamiltona poddał krytyce Voigt (1905 r.), wykazując, że zjawisko jest bardziej złożone, niżby to wynikało z wyżej podanego opisu. Założenie Hamiltona, że w danym kierunku rozchodzi się jedna fala płaska, jest sprzeczne z istotnym stanem rzeczy; w rzeczywistości rozchodzą się fale, których normalne tworzą niewielki kąt z osią optyczną. Temu też należy przypisać, że pierścień świetlny składa się w istocie z dwóch współśrodkowych pierścieni jasnych, rozdzielonych ciemną przestrzenią. (Poggendorf, 1839 r.).



Rys. 324

przestrzenią. (Poggendorf, 1839 r.).

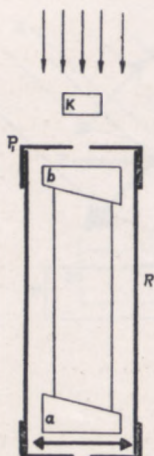
## 6. PLEOCHROIZM

Założenie, któreśmy milcząco przyjęli w naszych dotychczasowych rozważaniach, że pochłanianie światła w danym kryształe jest niezależne od kierunku jego drgań, nie zawsze jest usprawiedliwione. Niektóre kryształy wykazują wyraźną różnicę zabarwień przy zmianie kierunku rozchodzenia się w nich światła. To zjawisko pleochroizmu (gr. pleon — większy, chroma — barwa), odkryte przez Cordiera (1809 r.), zachodzi, jak się zdaje, nie tylko w kryształach, mających w świetle białym wyraźne zabarwienie, lecz również i w kryształach bezbarwnych, a więc takich, które są przezroczyste dla wszystkich promieni widzialnych. W tym ostatnim przypadku pleochroizm ujawnia się w podczerwonej, jak np. w kalcycie i kwarcu (Merrit, 1895 r.), lub w nadfioletowej części widma (Agafonow, 1896 r.).

Do badania tego zjawiska dobrze nadaje się prosty przyrząd, zbudowany przez Haidingera (1845 r.). W rurce metalowej  $R$  (rys. 325), zaopatrzonej w prostokątny otworek  $P_1$ , umieszczony jest podłużny kryształ kalcytu (szpatu islandzkiego), do którego podstaw przyklejone są



dwa szklane pryzmaty  $a$  i  $b$  tak, aby całość stanowiła płytkę równoległościenną. Nastawiając soczewkę na otworek  $P_1$ , oświetlony światłem naturalnym, widzimy dwa obrazy otworka: zwyczajny i nadzwyczajny, oba tej samej barwy, co światło, przechodzące przez otworek  $P_1$ , kalcyt bowiem, jak o tym dopiero co wspominaliśmy, nie wykazuje pleochroizmu w widzialnej części widma. Jeżeli jednak przed otworkiem  $P_1$  umieścimy



Rys. 325

kryształ pleochroistyczny  $K$  tak, aby kierunki przechodzących przez niego drgań były zgodne z kierunkami drgań, przepuszczanych przez kalcyt (a zatem aby płaszczyzny drgań były odpowiednio równoległe i prostopadłe do płaszczyzny przecięcia głównego kalcytu), otrzymamy obrazy różnie zabarwione. Różnica zabarwień występuje zwłaszcza wtedy wyraźnie, gdy światło przechodzi przez kryształ  $K$  w kierunku jednej z osi symetrii optycznej, a więc w kryształach dwuosowych w kierunku jednej z osi ustalonego przez nas układu współrzędnych, w kryształach jednoosowych — w kierunku osi optycznej lub też w kierunku do niej prostopadłym. Tak np. gdy z dwuosowego kryształu kordierytu, na którym Cordier po raz pierwszy stwierdził istnienie pleochroizmu, wytniemy sześciang, o bokach równoległych do osi symetrii optycznej, otrzymamy przy oświetleniu

światłem białym obrazy zabarwione albo na niebiesko i żółto albo na zielono i żółto albo na niebiesko i zielono. W kryształach diaspory otrzymalibyśmy odpowiednio obrazy niebieskie i zielone, fioletowe i zielone albo niebieskie i fioletowe. Kryształy tego typu, z reguły dwuosowe, nazywamy trychroicznymi, barwy zaś, w jakich się okazują w kierunkach zgodnych z osiami symetrii, podstawowymi. W innych kierunkach widzimy barwy pośrednie. W kryształach jednoosowych barwy podstawowe sprowadzają się do dwu barw: światła zwyczajnego i nadzwyczajnego; kryształy są dychroiczne. Tak np. w jednoosowym kryształach peninu promienie zwyczajne są zabarwione na zielono, nadzwyczajne — na brązowo-czerwono. W zielonym turmalinie promienie zwyczajne są prawie całkowicie pochłaniane; obserwując przez przyrząd Haidingera płytkę turmalinu, wyciętą równoległe do osi optycznej, zobaczymy tylko jeden obraz, wytworzony przez promienie nadzwyczajne. A zatem światło, wychodzące z takiej płytki, jest prawie całkowicie spolaryzowane w płaszczyźnie prostopadłej do płaszczyzny przecięcia głównego; płytka jest polaryzatorem.

Podobne własności wykazują niektóre kryształy sztuczne (Herapath, 1852 r.), w których jeden kierunek drgań jest silnie pochłaniany i to we wszystkich częściach widma. Kryształy te mają wymiary mikroskopowe i dopiero w 1932 r. udało



się otrzymać Landowi błony, złożone z bardzo wielu tych kryształów, skierowanych w jedną stronę i stanowiących jakby jeden kryształ. Błona taka, umieszczona między dwiema płaskimi i równoległymi szybkami szklanymi, stanowi dogodny i tani polaryzator — polaroid.

Okazuje się zatem, że w kryształach nie tylko współczynniki załamania, lecz również i współczynniki wygaszania są funkcjami kątów, jakie płaszczyzna drgania tworzy z płaszczyznami symetrii optycznej.

W przypadku kryształów silnie pochłaniających funkcje te są niezwyczajnie złożone, w przypadku kryształów bardziej przezroczystych, dla których współczynnik wygaszania jest rzędu o wiele niższego od rzędu wielkości współczynnika załamania, założenia, analogiczne do tych, jakimi posługiwaliśmy się w rozdziale poprzednim, prowadzą do stosunkowo prostego wzoru

$$K' = n'^3 \left( \frac{K_1}{n_1^3} \cos^2 \alpha_1 + \frac{K_2}{n_2^3} \cos^2 \beta_1 + \frac{K_3}{n_3^3} \cos^2 \gamma_1 \right), \quad (6)$$

gdzie  $\alpha_1, \beta_1, \gamma_1$  są kątami, jakie kierunki drgań tworzą z osiami współrzędnych,  $K_1, K_2, K_3$  — wielkościami, które przez analogię możemy nazwać głównymi współczynnikami wygaszania. Z równania (6) wynika, że dwu możliwym kierunkom drgań w fali, rozchodzącej się w danym kierunku, odpowiadają dwie różne wartości współczynnika wygaszania i tym samym dwa różne zabarwienia odpowiednich wiązek światła.

W kryształach jednoosiowych w dwu kierunkach wyróżnionych  $K_2 = K_3$ , jeden kierunek drgań — drgania zwyczajne — jest zawsze bez względu na kierunek rozchodzenia się fali prostopadły do osi  $Ox$ , którą przyjęliśmy za oś optyczną,  $K_2$  zaś równe  $K_3$ , gdyż kierunki prostopadłe do osi mają te same własności optyczne. Podstawiając do wzoru (6)  $\cos \alpha_1 = 0$  i uwzględniając że wtedy

$$\cos^2 \beta_1 + \cos^2 \gamma_1 = 1,$$

znajdziemy

$$K'_1 = K_0 = K_2 = K_3. \quad (6a)$$

Co do drugiego kierunku drgań — drgań nadzwyczajnych — możemy przyjąć, że leży on zawsze w płaszczyźnie  $xOz$ , gdyż kierunek osi  $Oz$  w kryształach jednoosiowych musi czynić zadość jednemu tylko warunkowi, aby był prostopadły do  $Ox$ . Oznaczając przez  $\omega$  kąt, jaki normalna do fali tworzy z osią  $Oz$  mamy

$$\cos \alpha_1 = \sin \omega; \quad \cos \beta_1 = 0; \quad \cos \gamma_1 = 0,$$

stąd

$$K'_2 = n'^3 \left( K_1 \frac{\sin^2 \omega}{n_e^3} + K_0 \frac{\cos^2 \omega}{n_o^3} \right), \quad (6b)$$

a zatem zabarwienie promieni nadzwyczajnych będzie się zmieniało ze zmianą kierunku rozchodzenia się fali. W przypadku szczególnym, gdy fala będzie biegła prostopadłe do osi optycznej ( $\sin \omega = 1; \cos \omega = 0$ ),

$$K'_2 = K_1 = K_e.$$



Równaniu (6b) możemy przeto nadać postać

$$K'_2 = n'^3 \left( K_e \frac{\sin^2 \omega}{n_e^3} + K_o \frac{\cos^2 \omega}{n_o^3} \right).$$

Największa różnica zaburzeń zachodzić będzie między światłem, rozchodzącym się wzdłuż osi optycznej, i światłem, rozchodzącym się w kierunku do niej prostopadłym.

## 7. PRZECHODZENIE ŚWIATŁA PRZEZ PŁYTKĘ, WYCIĘTĄ Z KRYSTAŁU

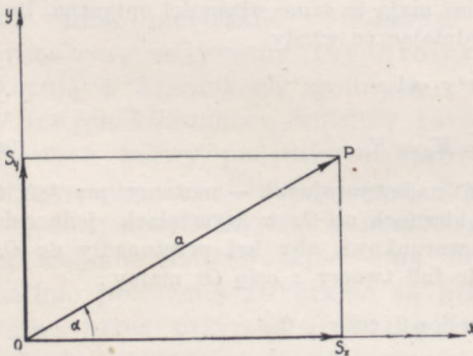
Z omówionych w ustępach poprzednich własności dwójłomnych kryształów wynika, że dwa promienie, na jakie rozdziela się padający na płytkę promień, biegną na ogół, z wyjątkiem przypadków szczególnych, z różnymi prędkościami, a więc przechodzą różne drogi optyczne.

Fala płaska, padająca prostopadłe na płasko-równoległą płytkę, wyciętą w dowolnym zresztą kierunku, z kryształu, rozdziela się w niej zatem na dwie fale, w których kierunki drgań, wzajemnie prostopadłe, są równoległe do wyróżnionych kierunków drgań płytki (p. ust. 3). Fale te, rozchodzące się w płytce w kierunku normalnej, zachowują po wyjściu z płytki ten sam kierunek; drgania jednak im odpowiadające nie będą już miały jednakowej fazy, bowiem drogi ich optyczne różni się będą o wielkość

$$\Delta = d(n'' - n'), \quad (7)$$

gdzie  $d$  jest grubością płytki,  $n''$  i  $n'$  — współczynnikami załamania, odpowiadającymi dwu wyróżnionym kierunkom drgań w płytce.

Weźmy kierunki te za kierunki osi współrzędnych  $Ox$  i  $Oy$ , przyjmując za kierunek  $Oy$  ten kierunek drgań, w którym współczynnik załamania jest większy ( $n'' = n_y$ ), prędkość zatem mniejsza — będzie to tzw. oś drgań powolnych płytki — i założmy, że padające światło jest jednoczerwone i spolaryzowane prostopadłościowo w płaszczyźnie, tworzącej



Rys. 326

kąt  $\alpha$  z tą osią. Drgania padające  $OP$  (rys. 326), tworzące z osią  $Ox$  kąt  $\alpha$ , rozpadają się w płytce na dwie składowe

$$S_x = a \cos \alpha \cdot \sin 2\pi \frac{t}{T} \quad \text{i} \quad S_y = a \sin \alpha \cdot \sin 2\pi \frac{t}{T}. \quad (7a)$$



Po przejściu przez płytkę drganie powolniejsze (wychodzące w kierunku osi  $Oy$ ) wykaże opóźnienie względem drgania szybszego (w kierunku osi  $Ox$ ), wyrażające się w różnicy faz

$$\delta = \frac{2\pi \Delta}{\lambda} = \frac{2\pi}{\lambda} d(n'' - n'). \quad (7b)$$

Drganiom tym będą więc po przejściu przez płytkę odpowiadały wzory

$$S_x = a \cos \alpha \cdot \sin \left( 2\pi \frac{t}{T} + \varphi \right) \quad \text{i} \quad S_y = a \sin \alpha \cdot \sin \left( 2\pi \frac{t}{T} + \varphi - \delta \right)$$

lub, gdy odpowiednio wybierzemy chwilę, od której liczymy czas,

$$S_x = a \cos \alpha \cdot \sin 2\pi \frac{t}{T} \quad \text{i} \quad S_y = a \sin \alpha \cdot \sin \left( 2\pi \frac{t}{T} - \delta \right). \quad (a)$$

Wypadkowa tych drgań prostoliniowych opisywać będzie elipsę: światło po przejściu przez płytkę będzie spolaryzowane eliptycznie (p. M. Grotowski, Wykłady fizyki, tom II, rozdz. I, ust. 9).

Gdy  $\alpha = 0^\circ$  lub  $90^\circ$ , gdy więc płaszczyzna drgań padających jest równoległa do któregoś z wyróżnionych kierunków drgań (osi  $Ox$  lub  $Oy$ ), promień padający nie rozpadnie się na dwa promienie: płytka będzie miała cechy środowiska równokierunkowego. Z tego też powodu kierunki  $Ox$  i  $Oy$  są często nazywane liniami obojętnymi; płaszczyzna, przechodząca przez którykolwiek z nich i normalną do płytki nosi nazwę przecięcia głównego płytki.

Kształt elipsy, opisywanej przez wektor świetlny i nachylenie jej osi głównych do osi współrzędnych  $Ox$  i  $Oy$  zależą od różnicy fazy drgań  $S_x$  i  $S_y$ . Napiszmy, że

$$a \cos \alpha = a_0 \quad \text{i} \quad a \sin \alpha = b_0,$$

wtedy

$$S_x = a_0 \sin 2\pi \frac{t}{T} \quad \text{i} \quad S_y = b_0 \sin 2\pi \frac{t}{T} \cos \delta - b_0 \cos 2\pi \frac{t}{T} \sin \delta$$

lub

$$\frac{S_x}{a_0} = \sin 2\pi \frac{t}{T} \quad \text{i} \quad \frac{S_y}{b_0} = \sin 2\pi \frac{t}{T} \cos \delta - \cos 2\pi \frac{t}{T} \sin \delta,$$

skąd

$$\frac{S_x}{a_0} \sin \delta = \sin 2\pi \frac{t}{T} \sin \delta \quad \text{i} \quad \frac{S_x}{a_0} \cos \delta - \frac{S_y}{b_0} = \cos 2\pi \frac{t}{T} \sin \delta.$$

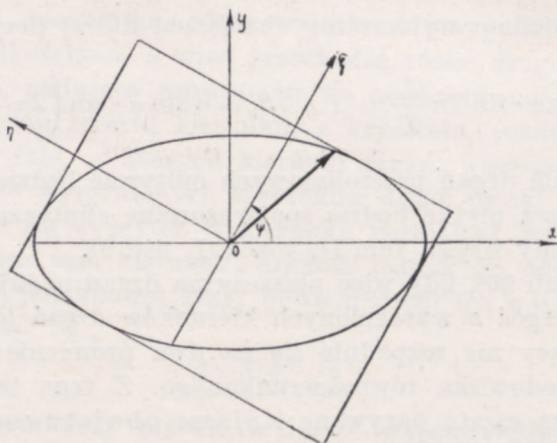


Podnosząc do kwadratu i dodając stronami, otrzymamy

$$\frac{S_x^2}{a_0^2} - \frac{2S_x S_y}{a_0 b_0} \cos \delta + \frac{S_y^2}{b_0^2} = \sin^2 \delta, \quad (8)$$

równanie elipsy, której osie główne wtedy tylko mają kierunki zgodne z kierunkami osi współrzędnych, gdy  $\delta = \frac{\pi}{2}$ .

Weźmy kierunki tych osi za kierunki osi nowego układu współrzędnych  $O\xi, O\eta$  (rys. 327), tworzącego kąt  $\psi$  z układem  $Ox, Oy$ , wyznacza-



Rys. 327

jącym wyróżnione kierunki drgań. Współrzędne dowolnego punktu elipsy, odniesione do tego nowego układu, są związane ze współrzędnymi  $x, y$  wzorami

$$\xi = x \cos \psi + y \sin \psi \quad \text{i} \quad \eta = -x \sin \psi + y \cos \psi, \quad (b)$$

skąd, uwzględniając, że

$$S_x = x, \quad S_y = y, \quad S_\xi = \xi, \quad S_\eta = \eta,$$

otrzymujemy

$$\begin{aligned} S_\xi &= S_x \cos \psi + S_y \sin \psi = a_0 \cos \psi \cdot \sin 2\pi \frac{t}{T} + b_0 \sin \psi \cdot \sin \left( 2\pi \frac{t}{T} - \delta \right) = \\ &= A \sin \left( 2\pi \frac{t}{T} - \delta_1 \right) = A \sin 2\pi \frac{t}{T} \cos \delta_1 - A \cos 2\pi \frac{t}{T} \sin \delta_1 \quad (c) \end{aligned}$$



i

$$S_{\eta} = -S_x \sin \psi + S_y \cos \psi = -a_0 \sin \psi \cdot \sin 2\pi \frac{t}{T} + b_0 \cos \psi \cdot \sin \left( 2\pi \frac{t}{T} - \delta \right) =$$

$$= B \sin \left( 2\pi \frac{t}{T} - \delta_2 \right) = B \sin 2\pi \frac{t}{T} \cos \delta_2 - B \cos 2\pi \frac{t}{T} \sin \delta_2. \quad (d)$$

Równości te muszą obowiązywać dla wszystkich wartości  $t$ , a więc i dla  $t=0$  i  $t=\frac{T}{4}$ . Musimy więc mieć

$$b_0 \sin \psi \cdot \sin \delta = A \sin \delta_1; \quad a_0 \cos \psi + b_0 \sin \psi \cos \delta = A \cos \delta_1$$

$$b_0 \cos \psi \cdot \sin \delta = B \sin \delta_2; \quad -a_0 \sin \psi + b_0 \cos \psi \cos \delta = B \cos \delta_2,$$

skąd

$$\operatorname{tg} \delta_1 = \frac{b_0 \sin \psi \cdot \sin \delta}{a_0 \cos \psi + b_0 \sin \psi \cdot \cos \delta} \quad (e)$$

i

$$\operatorname{tg} \delta_2 = \frac{b_0 \cos \psi \sin \delta}{-a_0 \sin \psi + b_0 \cos \psi \cdot \cos \delta}. \quad (f)$$

Jeżeli osie elipsy mają istotnie kierunki osi  $O\xi, O\eta$ , różnica faz drgań składowych  $\delta_1 - \delta_2$  musi być równa  $\frac{\pi}{2}$ , wobec czego

$$\operatorname{tg} \delta_1 \cdot \operatorname{tg} \delta_2 = -1,$$

a więc

$$\frac{b_0^2 \sin \psi \cdot \cos \psi \cdot \sin^2 \delta}{-a_0^2 \sin \psi \cdot \cos \psi - a_0 b_0 \sin^2 \psi \cos \delta + a_0 b_0 \cos^2 \psi \cdot \cos \delta + b_0^2 \sin \psi \cdot \cos \psi \cdot \cos^2 \delta} = -1,$$

skąd

$$b_0^2 \sin \psi \cos \psi \cdot \sin^2 \delta = a_0^2 \sin \psi \cdot \cos \psi - a_0 b_0 \cos \delta (\cos^2 \psi - \sin^2 \psi) +$$

$$- b_0^2 \sin \psi \cos \psi \cos^2 \delta,$$

$$b_0^2 \sin \psi \cdot \cos \psi - a_0^2 \sin \psi \cos \psi = -a_0 b_0 \cos \delta \cdot \cos 2\psi,$$

$$\frac{1}{2} (a_0^2 - b_0^2) \sin 2\psi = a_0 b_0 \cos \delta \cdot \cos 2\psi$$

i ostatecznie

$$\operatorname{tg} 2\psi = \frac{2a_0 b_0}{a_0^2 - b_0^2} \cos \delta, \quad (9a)$$

lub po podstawieniu wartości  $a_0$  i  $b_0$ 

$$\operatorname{tg} 2\psi = \operatorname{tg} 2\alpha \cdot \cos \delta. \quad (9b)$$

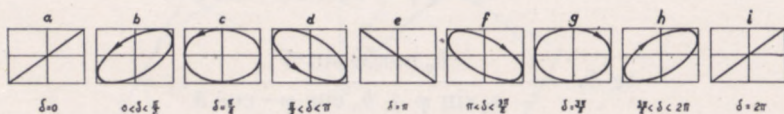


a) Gdy  $\delta=0$ , elipsa przechodzi w linię prostą, tworzącą z osią  $Ox$  ten sam kąt  $\alpha$  co drgania padające;  $\psi=\alpha$ : kierunek drgań padających po przejściu przez płytkę nie ulega zmianie (rys. 328a).

b) Gdy  $\delta$  zawarte jest między  $0$  i  $\frac{\pi}{2}$ ,  $\cos \delta$  jest mniejsze od jedności,  $\psi$  jest mniejsze od  $\alpha$  (rys. 328b). Wektor wypadkowy obraca się w lewo od dodatniego kierunku  $Ox$  osi drgań pędzących. Elipsa jest lewoskrętna.

c) Gdy  $\delta = \frac{\pi}{2}$ ,  $\cos \delta=0$ ,  $\psi=0$ , kierunki osi elipsy są zgodne z kierunkami linii obojętnych  $Ox$  i  $Oy$ ; elipsa jest w dalszym ciągu lewoskrętna. (rys. 328c).

d) Gdy  $\delta$  jest większe od  $\frac{\pi}{2}$  i mniejsze od  $\pi$ ,  $\operatorname{tg} 2\psi$  jest ujemny, oś  $O\xi$  tworzy ujemny kąt  $\psi$  z osią  $Ox$  (rys. 328d) elipsa pozostaje lewoskrętna.



Rys. 328

e) Gdy  $\delta=\pi$ , elipsa przechodzi w linię prostą,  $\psi=-\alpha$ : kierunek drgań, wychodzących z płytki jest symetryczny do kierunku drgań padających względem linii obojętnych (rys. 328e).

Przy dalszym wzroście  $\delta$  otrzymujemy elipsy, analogiczne do rozpatrywanych wyżej; różnica polega jedynie na tym, że wektor wypadkowy obraca się tym razem w prawo od dodatniego kierunku osi  $Ox$ ; elipsy są prawoskrętne (rys. 328 f, g, h).

W przypadku ważnym w zastosowaniach praktycznych, gdy kierunek drgań padających stanowi dwusieczną kąta między liniami obojętnymi, gdy więc amplitudy drgań składowych w kierunku  $Ox$  i  $Oy$  są wzajemnie równe,

$$a_0 = b_0 = \frac{a\sqrt{2}}{2}.$$

$\operatorname{Tg} 2\psi$  jest przy wszystkich wartościach wytworzonej przez płytkę różnicy faz  $\delta$  równy nieskończoności (p. wzory 9a,b),  $\psi$  jest zatem równe  $45^\circ$ .

Jedna z osi elipsy ma stale kierunek drgań padających. Gdy  $\delta = \frac{\pi}{2}$ , elipsa przekształca się w koło; to samo zachodzi, gdy  $\delta = \frac{3}{2}\pi$ . W pierwszym



jednak przypadku koniec wektora wypadkowego porusza się w lewo (koło lewoskrętne); w drugim — w prawo (koło prawoskrętne).

Ogólne równanie otrzymanych tym razem elips znajdziemy ze wzorów (c) i (d), kładąc w nich  $(\delta_1 - \delta_2) = \frac{\pi}{2}$ ,  $a_0 = b_0 = \frac{a\sqrt{2}}{2}$  i tak wybierając chwilę, od której liczymy czas, abyśmy mieli

$$S_\xi = A \sin 2\pi \frac{t}{T} \quad \text{i} \quad S_\eta = B \cos 2\pi \frac{t}{T},$$

wtedy

$$\frac{S_\xi^2}{A^2} + \frac{S_\eta^2}{B^2} = 1,$$

gdzie

$$A^2 = a_0^2 \cos^2 \psi + b_0^2 \sin^2 \psi + 2a_0b_0 \sin \psi \cos \psi \cdot \cos \delta$$

i

$$B^2 = a_0^2 \sin^2 \psi + b_0^2 \cos^2 \psi - 2a_0b_0 \sin \psi \cos \psi \cdot \cos \delta,$$

skąd po podstawieniu wartości  $a_0, b_0$  i  $\psi = 45^\circ$

$$A^2 = \frac{1}{2} a^2 (1 + \cos \delta) = a^2 \cdot \cos^2 \frac{\delta}{2}$$

$$B^2 = \frac{1}{2} a^2 (1 - \cos \delta) = a^2 \sin^2 \frac{\delta}{2}$$

i wreszcie

$$\frac{S_\xi^2}{a^2 \cos^2 \frac{\delta}{2}} + \frac{S_\eta^2}{a^2 \sin^2 \frac{\delta}{2}} = 1.$$

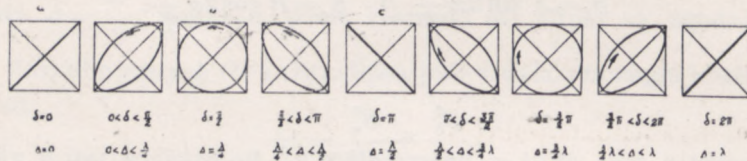
Stosunek zatem długości osi elipsy, będący miarą eliptyczności drgania, jest równy

$$\gamma = \frac{B}{A} = \operatorname{tg} \frac{\delta}{2}. \quad (10)$$

Gdy  $\delta$  jest zawarte w granicach od  $0$  do  $\pi$ , wektor wypadkowy obraca się, jak wiemy, w lewo;  $\operatorname{tg} \frac{\delta}{2}$  jest dodatni, tym samym jest dodatnia i eliptyczność: elipsom lewoskrętnym odpowiada przeto eliptyczność dodatnia, prawoskrętnym — ujemna. Gdy  $\delta = 0$ ,  $\gamma = 0$  eliptyczność linii



prostej jest równa zeru; gdy  $\delta = \frac{\pi}{2}$ ,  $\gamma = 1$ : kołu odpowiada eliptyczność równa jedności. Dopóki różnica faz nie przekracza  $\frac{\pi}{2}$ ,  $\gamma$  jest mniejsza od jedności: oś  $O\eta$  wyznacza kierunek mniejszej osi elipsy, elipsa jest wydłużona w kierunku osi  $O\xi$ . Zmianę kształtu wypadkowych elips drgania w zależności od  $\delta$  odtwarza rys. 329.



Rys. 329

Na szczególną uwagę zasługują przypadki:

a)  $\delta = 0, 2\pi \dots 2k\pi$  i różnica dróg optycznych  $\Delta = 0, \lambda, 2\lambda \dots$  drganie wychodzące ma kierunek ten sam, co drganie padające, i jest w ten sam sposób spolaryzowane; zjawisko zatem zachodzi tak, jak w przypadku płytki równokierunkowej. Płytkę o grubości

$$d = \frac{\Delta}{n'' - n'} = \lambda$$

nosi nazwę falowej.

b)  $\delta = \frac{\pi}{2}, \frac{3}{2}\pi \dots (2k+1)\frac{\pi}{2}$ , różnica zaś dróg optycznych  $\Delta = \frac{1}{4}\lambda, \frac{3}{4}\lambda \dots$  światło spolaryzowane prostoliniowo wychodzi z płytki spolaryzowane eliptycznie, osie elipsy drgań mają kierunki drgań wyróżnionych. Płytkę o grubości

$$d = \frac{\Delta}{n'' - n'} = \frac{\lambda}{4}$$

nazywamy płytką ćwierćfalową (ćwierćfalówką).

c)  $\delta = \pi, 3\pi \dots (2k+1)\pi$ ,  $\Delta = \frac{1}{2}\lambda, \frac{3}{2}\lambda \dots (2k+1)\frac{\lambda}{2}$ . Drgania światła spolaryzowanego prostoliniowo wychodzą z płytki spolaryzowane prostoliniowo w płaszczyźnie symetrycznej względem linii obojętnych. Płytkę o grubości

$$d = \frac{\Delta}{n'' - n'} = \frac{\lambda}{2}$$

jest płytką półfalową (półfalówką).

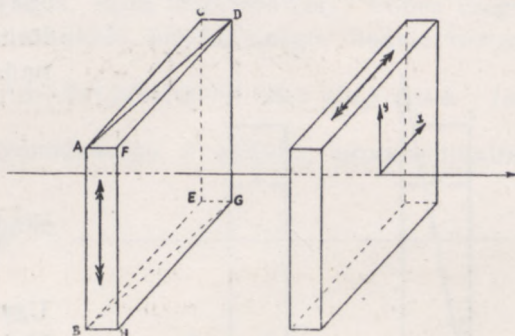


## 8. KOMPENSATORY

Do wytworzenia i pomiaru dowolnej różnicy dróg optycznych służą tzw. kompensatory (łac. compensare — wyrównać). Są one dwojakięgo typu: kompensator Bravais'go i kompensator Babinet'a.

a) kompensator Bravais'go składa się z dwóch jednakowej grubości płytek płaskorównoległych, wyciętych równoległe do osi optycznej i ustawionych jedna za drugą tak, aby osie ich były skrzyżowane (rys. 330).

Przyjmijmy za kierunek osi  $Oy$  kierunek drgań powolnych pierwszej płytki. W przypadku płytki, wyciętej z kwarcu, w których drganiami powolnymi są drgania nadzwyczajne ( $n_0 < n_e$ , p. ust. 2), oś  $Oy$  będzie równoległa do osi optycznej płytki pierwszej, prostopadła zatem do osi optycznej płytki drugiej. Różnica dróg optycznych drgań w kierunku osi  $Oy$  i w kierunku osi  $Ox$  będzie po przejściu przez płytkę pierwszą równa



Rys. 330

$$\Delta_1 = d(n_y - n_x) = d(n_e - n_0),$$

gdzie  $d$  — grubość płytki (promienie padają normalnie na płytkę). W płycie drugiej drgania równoległe do  $Oy$  będą się rozchodziły prędzej, stając się drganiami zwyczajnymi, drgania równoległe do  $Ox$  będą biegły wolniej. Wobec tego druga płytka wytworzy między drganiami w kierunku  $Oy$  i drganiami w kierunku  $Ox$  różnicę dróg

$$\Delta_2 = d(n_y - n_x) = d(n_0 - n_e),$$

równą  $\Delta_1$  co do wartości bezwzględnej, lecz przeciwną co do znaku. Ostatecznie zatem po przejściu przez obie płytki różnica faz obu drgań składowych stanie się równa zeru, gdyż

$$\Delta_1 + \Delta_2 = d(n_e - n_0 + n_0 - n_e) = 0.$$

W kompensatorze Bravais'go płytka pierwsza jest przecięta wzdłuż przekątnej płaszczyzną  $ADGB$  tak, że tworzy dwa stykające się ze sobą kliny  $ACD GEB$  i  $DGHBAF$ , które można przesuwając wzdłuż płaszczyzny przecięcia w kierunku równoległym do osi  $Ox$  (rys. 331). Gdy  $ACD$  przesuniemy w tym kierunku o  $d_1$ , otrzymamy w tej części, w której kliny się stykają, znowu płytkę płaskorównoległą o grubości  $d'_1$  większej



od  $d$  o  $d_1 \operatorname{tg} \theta$ . Wobec tego różnice dróg optycznych w obu płytkach nie będą się już wyrównywały, lecz dadzą w ostatecznym wyniku różnicę

$$\Delta' = d_1 \cdot \operatorname{tg} \theta (n_e - n_o).$$

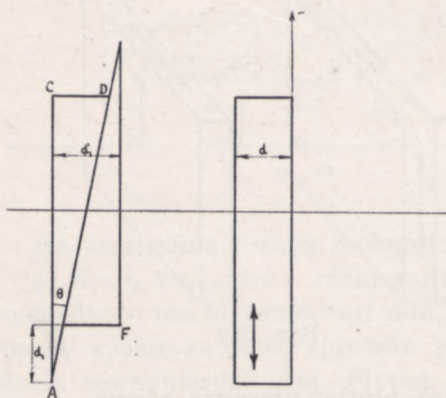
W przypadku płytki kwarcowej mamy (p. ust. 2)  $n_e = 1,55338$ ;  $n_o = 1,54423$ . Chcąc więc przesunięciem klinu  $ACD$  o 1 mm otrzymać różnicę dróg optycznych  $\Delta'$ , równą długości fali linii  $D$ , będziemy musieli kątowni  $\theta$  nadać taką wartość, aby

$$\operatorname{tg} \theta = \frac{0,589}{10^3 \cdot 0,00915} = 0,0644,$$

skąd

$$\theta \approx 3^{\circ}41'.$$

Używając do przesuwania klinu zwykłej śruby mikrometrycznej o skoku 0,5 mm i bębnie, podzielonym na 100 części, przesunięciem o jedną podziałkę bębna możemy osiągnąć różnicę dróg



Rys. 331

$$\Delta = \frac{0,589}{200} \approx 0,003 \mu,$$

której odpowiada różnica faz

$$\delta = 2\pi \frac{\Delta}{\lambda} = 2\pi \frac{\lambda}{200 \cdot \lambda} = \frac{\pi}{100} = 1^{\circ}48'.$$

Przypuścimy, że na kompensator pada światło, wychodzące z nikola polaryzującego i że płaszczyzna drgań padających  $OP$  tworzy z osią  $Ox$  kąt  $\alpha$  (rys. 332). Drgania składowe po przejściu przez płytkę będą odpowiednio równe

$$S_x = a \cdot \cos \alpha \cdot \sin 2\pi \frac{t}{T} \quad \text{i} \quad S_y = a \cdot \sin \alpha \cdot \sin \left( 2\pi \frac{t}{T} - \delta \right).$$

Przez nikol analizujący będą przechodziły jedynie drgania, leżące w płaszczyźnie przecięcia głównego  $OA$ . Jeżeli płaszczyzna ta tworzy



z osią  $Ox$  kąt  $\beta$ , składowe drgań  $S_x$  i  $S_y$  w kierunku  $OA$  będą odpowiednio równe

$$S' = S_x \cos \beta = a \cos \alpha \cdot \cos \beta \cdot \sin 2\pi \frac{t}{T}$$

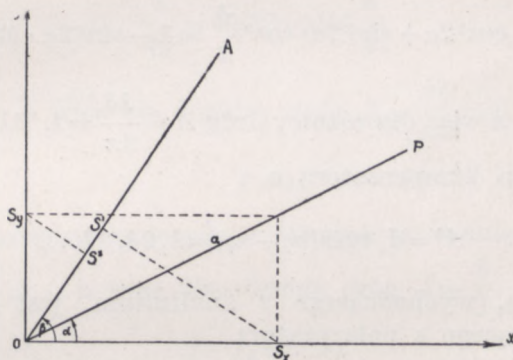
i

$$S'' = S_y \sin \beta = a \sin \alpha \cdot \sin \beta \sin \left( 2\pi \frac{t}{T} - \delta \right).$$

Drgania te, mające ten sam kierunek, będą interferowały, wobec czego amplituda drgań, wychodzących z nikola analizującego, będzie równa

$$A^2 = a^2 \cos^2 \alpha \cdot \cos^2 \beta + a^2 \sin^2 \alpha \cdot \sin^2 \beta + 2a^2 \cos \alpha \cdot \cos \beta \cdot \sin \alpha \cdot \sin \beta \cdot \cos \delta. \quad (a)$$

Oznaczając natężenie światła wychodzącego z układu, proporcjonalne



Rys. 332

do  $A^2$ , przez  $I$ , natężenie światła, wychodzącego z polaryzatora, proporcjonalne do  $a^2$ , przez  $I_0$ , napiszemy

$$\begin{aligned} \frac{I}{I_0} &= \cos^2 \alpha \cdot \cos^2 \beta + \sin^2 \alpha \cdot \sin^2 \beta + 2 \cos \alpha \cdot \cos \beta \sin \alpha \cdot \sin \beta \cdot \cos \delta = \\ &= \cos^2 \alpha \cdot \cos^2 \beta + \sin^2 \alpha \cdot \sin^2 \beta + 2 \cos \alpha \cdot \cos \beta \cdot \sin \alpha \cdot \sin \beta \left( 1 - 2 \sin^2 \frac{\delta}{2} \right) = \\ &= \cos^2(\beta - \alpha) - \sin 2\alpha \cdot \sin 2\beta \cdot \sin^2 \frac{\delta}{2} \end{aligned} \quad (11)$$

lub

$$\begin{aligned} \frac{I}{I_0} &= \cos^2 \alpha \cdot \cos^2 \beta + \sin^2 \alpha \cdot \sin^2 \beta + 2 \cos \alpha \cdot \cos \beta \cdot \sin \alpha \cdot \sin \beta \left( 2 \cos^2 \frac{\delta}{2} - 1 \right) = \\ &= \cos^2(\beta + \alpha) + \sin 2\alpha \cdot \sin 2\beta \cdot \cos^2 \frac{\delta}{2}. \end{aligned} \quad (11a)$$



Pierwsze wyrazy wzorów (11) i (11a) są zawsze dodatnie; podobnie rzecz się ma z czynnikami  $\sin^2 \frac{\delta}{2}$  i  $\cos^2 \frac{\delta}{2}$  wyrazu drugiego. Poczyn  $\sin 2\alpha \cdot \sin 2\beta$  jest dodatni wtedy, gdy  $\beta - \alpha$  jest mniejsze od  $\frac{\pi}{2}$ . W tym przypadku posługujemy się wzorem (11a). Gdy  $\beta - \alpha$  jest większe od  $\frac{\pi}{2}$ , drugi wyraz jest ujemny; wtedy posługujemy się wzorem (11), w którym tym razem  $\sin 2\alpha \cdot \sin 2\beta$  jest dodatni.

Rozpatrzmy natężenie światła przy równoległych i skrzyżowanych nikolach.

1. Nikole równoległe:  $\alpha = \beta$ . Ze wzoru (11a) otrzymujemy

$$\frac{I}{I_0} = \cos^2 2\alpha + \sin^2 2\alpha \cdot \cos^2 \frac{\delta}{2} = 1 - \sin^2 2\alpha \cdot \sin^2 \frac{\delta}{2}. \quad (\text{b})$$

Dla  $\delta = 2\pi, 4\pi, \dots$ , a więc dla różnicy dróg  $\Delta = \frac{\lambda\delta}{2\pi} = \lambda, 2\lambda, \dots$  co odpowiada przesunięciu klina kompensatora o

$$\Delta' = d_1 \operatorname{tg} \Theta (n_e - n_o) = \lambda, 2\lambda, 3\lambda, \dots,$$

natężenie światła, wychodzącego z analizatora, jest równe natężeniu światła, wychodzącego z polaryzatora

$$I = I_0,$$

oczywiście w założeniu, że układ nie pochłania światła.

Dla  $\delta = \pi, \frac{3}{2}\pi, \dots$ , a więc dla różnicy dróg  $\Delta = \frac{\lambda}{2}, \frac{3\lambda}{2}, \dots$  natężenie światła, wychodzącego z analizatora, wynosi

$$I = I_0(1 - \sin^2 2\alpha),$$

stając się równe zero przy  $\alpha = 45^\circ$ . Wtedy więc, gdy płaszczyzny drgań nikoli tworzą z kierunkami linii obojętnych kąt  $45^\circ$ , przesunięcie klina kompensatora o

$$d_1 = \frac{\lambda}{2} \cdot \frac{1}{\operatorname{tg} \Theta \cdot (n_e - n_o)}$$

zaciemnia całkowicie pole widzenia.

Przy innych różnicach faz nie ma całkowitego zaciemnienia pola widzenia; największa różnica między natężeniem światła, przechodzącym



przez układ bez kompensatora i natężeniem po włączeniu kompensatora zachodzi wszakże również wtedy, gdy  $\alpha=45^\circ$ , w tym przypadku mamy bowiem

$$I = I_0 \left( 1 - \sin^2 \frac{\delta}{2} \right).$$

Dla  $\alpha=0$  przy wszelkich przesunięciach klina, a co za tym idzie przy wszelkich różnicach faz

$$I = I_0.$$

2. Nikole skrzyżowane:  $\beta = \alpha + \frac{\pi}{2}$ . Ze wzoru (11) mamy

$$\frac{I}{I_0} = \sin^2 2\alpha \cdot \sin^2 \frac{\delta}{2}. \quad (c)$$

Dla  $\delta=2\pi, 4\pi\dots$  a więc dla różnicy dróg  $\Delta = \frac{\lambda\delta}{2\pi} = \lambda, 2\lambda\dots$

$$I = 0;$$

pole widzenia pozostaje zaciemnione tak, jak po usunięciu kompensatora.

Dla  $\delta=\pi, \frac{3}{2}\pi\dots$  a więc dla różnicy dróg  $\Delta = \frac{\lambda}{2}, \frac{3}{2}\lambda$

$$I = I_0 \sin^2 2\alpha.$$

Przesunięcie zatem klina kompensatora o

$$d_1 = \frac{\lambda}{2} \cdot \frac{1}{\operatorname{tg} \Theta (n_e - n_o)}$$

rozjaśnia pole widzenia.

Rozjaśnienie to jest największe, gdy  $\alpha=45^\circ$ , mamy wtedy

$$I = I_0,$$

a więc natężenie światła takie, jak przy nikolach równoległych bez kompensatora.

Gdy  $\alpha=0$ , a więc, gdy kierunek drgań polaryzatora jest zgodny z kierunkiem osi  $Ox$ , dla wszelkich różnic faz pole widzenia jest całkowicie zaciemnione.

We wszystkich wyżej przytoczonych przypadkach cała czynna część kompensatora ma grubość stałą, wobec czego wszystkie promienie, przechodzące przez kompensator, nabywają tę samą różnicę faz; pole widzenia jest jednostajnie oświetlone. Dlatego też kompensator Bravais'go nosi nazwę kompensatora o barwach jednostajnych (teintes plates).



Przy pomiarach ustawiamy zazwyczaj kompensator tak, aby jego linie obojętne tworzyły kąt  $45^\circ$  z kierunkami drgań polaryzatora i analizatora, tworzącymi kąt prosty (nikole skrzyżowane), wtedy bowiem zmiana natężenia światła odpowiadająca danej zmianie fazy jest, jak wynika ze wzoru (c) największa. W tym celu obracamy kompensator dookoła osi prostopadłej do płytek, dopóki nie otrzymamy (przy dowolnym położeniu klina) całkowitego zaciemnienia pola widzenia, co, jak wiemy, zachodzi, gdy  $\alpha = 0^\circ$  lub  $180^\circ$ , a następnie obracamy kompensator o  $45^\circ$ . Wtedy pole widzenia albo pozostanie zaciemnione, gdy różnica dróg optycznych będzie wynosiła całkowitą liczbę długości fal lub będzie równa zero, albo też mniej lub więcej się rozjaśni przy innej wartości różnicy dróg. W tym ostatnim przypadku przesuwamy klin tak, aby znów otrzymać całkowite zaciemnienie. Jeżeli polaryzator oświetlony jest światłem białym, brak jakiegokolwiek zabarwienia pola widzenia będzie dowodem, że w tym położeniu klina różnica dróg optycznych jest dla każdego rodzaju promieniowania równa zero i, co za tym idzie, płytki mają grubości jednakowe. Podziałka skali mikrometrycznej, pokazująca położenie klina, będzie tedy podziałką zerową.

Ustaliwszy w ten sposób zero kompensatora, oświetlamy polaryzator światłem jednorodnym i przesuwamy klin, otrzymując kolejno coraz to większe rozjaśnienia pola widzenia aż do maksimum ( $\delta = 180^\circ$ ,  $\Delta = \frac{\lambda}{2}$ ), następnie stopniowe przyciemnienia aż do całkowitego wygaszania światła ( $\delta = 360^\circ$ ,  $\Delta = \lambda$ ). Jeżeli w tym celu musieliśmy przesunąć klin o  $p_0$  podziałek skali, jednej podziałce odpowiada zmiana różnicy dróg optycznych o

$$\Delta_1 = \frac{p_0}{\lambda}.$$

Chcąc zmierzyć różnicę dróg, powstającą przy przechodzeniu światła przez jakąś dowolną płytkę krystaliczną, umieszczamy ją przed kompensatorem i ustawiamy ją tak, aby jej linie obojętne były równoległe do linii obojętnych kompensatora, a więc, aby tworzyły kąt  $45^\circ$  z kierunkami drgań nikolów. Następnie przesuwamy klin np. o  $p$  podziałek w kierunku ujemnym, zmniejszając grubość płytki pierwszej kompensatora aż do otrzymania całkowitego zaciemnienia. Wtedy

$$(n'' - n')d_p - \frac{p_0}{\lambda} \cdot p = k \cdot \lambda,$$

gdzie  $d_p$  oznacza grubość płytki. Liczbę  $k$  możemy wyznaczyć, gdy znamy grubość płytki  $d_p$  i choćby przybliżone wartości współczynników  $n''$  i  $n'$ .

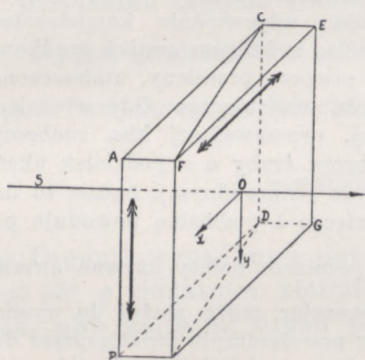
b. Kompensator Babinet'a, tworzy tylko jedna płytka, składająca się podobnie, jak pierwsza płytka kompensatora Bravais'go, z dwóch klinów, których osie optyczne są tym razem skrzyżowane (rys. 333). Wobec tego, gdy pierwszy klin  $ACDBHF$  opóźnia, (tak, jak na rys. 330) drgania równoległe do osi  $Oy$  (kierunek osi zachowujemy ten sam, co na rys. 330), drugi  $HGDCEF$  opóźnia drgania równoległe do osi  $Ox$ . W tych zatem miejscach, gdzie grubości obu klinów (mierzone w kierunku normalnej) są jednakowe, różnica faz dla wszystkich długości fal jest równa zero. Gdy kliny są tak zestawione, że tworzą płytkę równoległościenną, miejscem takim jest, oczywiście, środek geome-



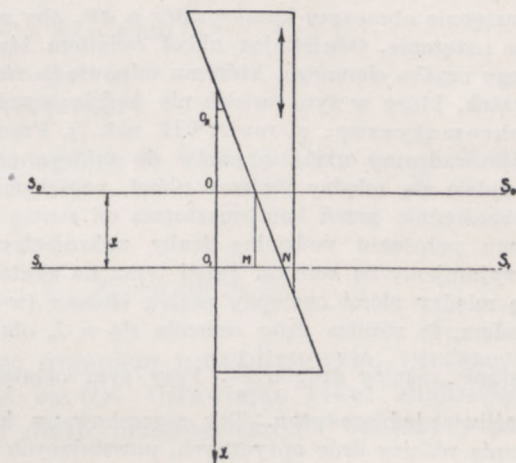
tryczny płytki  $O$ ; promień  $S_0S_0$ , padające normalnie w tym punkcie na płytkę, przechodzą przez kompensator tak, jak przez środowisko jednokierunkowe. Promień  $S_1S_1$  (rys. 334), padający w punkcie  $O_1$ , odległym o  $x$  od  $O$ , przejdzie w klinie pierwszym drogę o  $MN$  dłuższą, w klinie drugim — o tyleż krótszą. Na skutek tego powstanie między składowymi jego drgań w kierunkach wyróżnionych różnica dróg optycznych

$$\Delta_1 = 2MN \cdot (n_e - n_o) = 2x \cdot \operatorname{tg} \Theta \cdot (n_e - n_o),$$

przy czym drgania w kierunku osi  $Oy$  (prostopadłej do płaszczyzny rysunku) będą opóźnione. W symetrycznie położonym względem osi  $S_0S_0$  punkcie  $O_2$  różnica dróg optycznych będzie równa co do wartości bezwzględnej, lecz prze-



Rys. 333



Rys. 334

ciwna co do znaku: opóźnione będą drgania w kierunku  $Ox$ . W przeciwieństwie więc do kompensatora Bravais'go kompensator Babinet'a nie wytwarza jednakowej różnicy faz dla wszystkich promieni padających.

Jeżeli przeto oświetlimy ten kompensator promieniami, wychodzącymi z nikola polaryzującego i przechodzącymi przez szczelinę i patrząc będziemy przez nikol analizujący, skrzyżowany z polaryzatorem, otrzymamy układ prążków na przemian jasnych i ciemnych (w świetle jednobarwnym), w którego środku znajdować się będzie prążek ciemny.

Prążki ciemne (umiejscowione na powierzchni kompensatora) będą leżały w tych miejscach, dla których

$$\Delta = 2x \cdot \operatorname{tg} \Theta \cdot (n_e - n_o) = k\lambda, \quad (d)$$

odległości więc wzajemne prążków ciemnych wyniosą

$$p = \frac{(k+1)\lambda - k\lambda}{2 \operatorname{tg} \Theta \cdot (n_e - n_o)} = \frac{\lambda}{2 \cdot \operatorname{tg} \Theta \cdot (n_e - n_o)}.$$



W kompensatorze kwarcowym o kącie  $\Theta = 3^{\circ}41'$  są one dla żółtej linii sodu  $D$  równe

$$p = \frac{0,589}{2,0,0644 \cdot 0,00915} \approx 5 \text{ mm.}$$

Obraz otrzymany jest analogiczny do tego, jaki obserwujemy przy odbiciu światła od cienkich płytek o zmiennej grubości (p. rozdz. VII, ust. 5).

Dla wycechowania kompensatora ustawia się go między dwoma skrzyżowanymi nikolami, tak, aby prążki znikły i całe pole widzenia było zaciemnione, wtedy osie optyczne klinów są równoległe do przecięć głównych analizatora i polaryzatora. Następnie obracamy kompensator o  $45^{\circ}$ , aby nadać prążkom jasnym możliwie wielkie natężenie. Oświetlając układ światłem białym, wyznaczamy położenie środkowego prążka ciemnego, któremu odpowiada różnica dróg równa zeru; jest to jedyny prążek, który w tym świetle nie będzie wykazywał żadnego zabarwienia (prążek achromatyczny, p. rozdz. VII, ust. 7). Przesuwając odpowiednio kompensator, doprowadzamy układ prążków do takiego położenia, w którym prążek środkowy znajdzie się między dwiema niemi, napiętymi w otworze przesłony, umieszczonej bezpośrednio przed kompensatorem od strony nikola analizującego. Odpowiadającą temu położeniu podziałkę śruby mikrometrycznej, przesuwającej klin ruchomy, przyjmujemy za zerową. Jeżeli teraz na skutek obrotu śruby o  $n$  podziałek ukaże się między niemi następny prążek ciemny (w świetle jednorodnym), będzie to dowodem, że różnica dróg zmieniła się o  $\lambda$ , obrót więc o 1 podziałkę powoduje powstanie różnicy dróg o  $\frac{\lambda}{n}$ . Przy tym ostatnim pomiarze należy używać światła możliwie jednorodnego. Tak wycechowany kompensator może służyć do wyznaczania różnicy dróg optycznych, powstających przy przechodzeniu światła przez dowolną płytkę krystaliczną, przy czym metoda pomiaru jest taka sama, jak przy użyciu kompensatora Bravais'go.

### 9. ANALIZA DRGAŃ ŚWIETLNYCH

Do stwierdzenia, z jakim rodzajem światła mamy do czynienia, wystarczy płytka ćwierćfalowa w połączeniu z nikolem analizującym. Przypuśćmy, idąc za przejrzystym schematem, ułożonym przez Macha dla tego rodzaju badań, że

a) badane światło, padając wprost na nikol analizujący, nie wykazuje przy żadnym położeniu nikola zmniejszania natężenia. Jest to zatem albo światło naturalne albo też światło spolaryzowane kołowo, mające we wszystkich kierunkach jednakowe własności. Dla rozstrzygnięcia, który z tych dwóch możliwych przypadków istotnie zachodzi, umieszczamy przed analizatorem płytkę ćwierćfalową. W świetle naturalnym zjawisko zachodzić będzie tak samo, jak poprzednio; elipsy wypadkowe mają coraz to inną eliptyczność, gdyż osie ich zmieniają co chwila swe długości; zaciemnienia i rozjaśnienia pola widzenia następują po sobie tak szybko, jak i bez płytki. Inaczej jest ze światłem spolaryzowanym



kołowo; płytka ćwierćfalowa zwiększa różnicę drgań składowych, odniesionych do linii obojętnych, do  $\frac{\lambda}{2}$  lub też zmniejsza do zera. Istotnie, przed wejściem do płytki drgania składowe wzdłuż osi  $Ox$  i  $Oy$  (oś drgań powolnych) możemy wyrazić wzorami

$$S_x = a \sin 2\pi \frac{t}{T} \quad \text{i} \quad S_y = a \sin \left( 2\pi \frac{t}{T} + \frac{\pi}{2} \right)$$

w przypadku drgania kołowego w prawo i

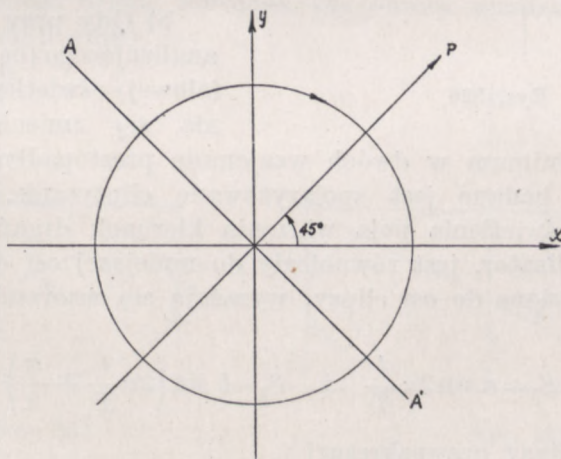
$$S_x = a \sin 2\pi \frac{t}{T} \quad \text{i} \quad S_y = a \sin \left( 2\pi \frac{t}{T} - \frac{\pi}{2} \right)$$

w przypadku drgania kołowego w lewo.

Płytką ćwierćfalową opóźnia drganie w kierunku  $Oy$  o  $\frac{\pi}{2}$ . Mamy zatem w pierwszym przypadku

$$S_x = a \sin 2\pi \frac{t}{T} \quad \text{i} \quad S_y = a \sin 2\pi \frac{t}{T}.$$

Drganie wypadkowe jest więc drganiem prostoliniowym, tworzącym kąt  $45^\circ$  z dodatnim kierunkiem osi  $Ox$ . Ustawiając nikol analizujący tak, aby kierunek drgań przez niego przepuszczanych tworzył z osią



Rys. 335

drgań powolnych kąt  $45^\circ$  (liczony od osi  $Oy$  w lewo), otrzymamy całkowite zaciemnienie pola widzenia (rys. 335).

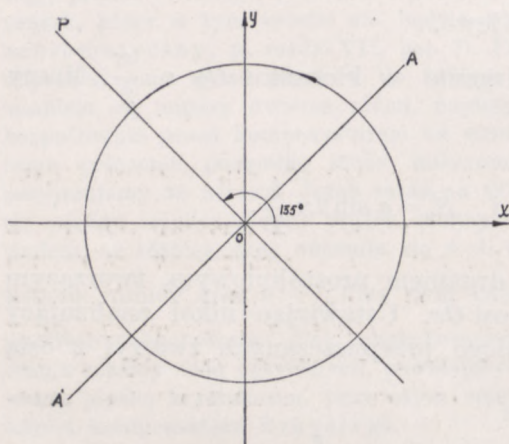


W drugim przypadku będziemy mieli

$$S_x = a \sin 2\pi \frac{t}{T} \quad \text{i} \quad S_y = a \sin \left( 2\pi \frac{t}{T} - \pi \right) = -a \sin \frac{2\pi t}{T}.$$

Drganie wypadkowe będzie drganiem prostoliniowym, tworzącym kąt  $135^\circ$  z dodatnim kierunkiem osi  $Ox$ . Jeżeli teraz ustawimy nikol tak, aby kierunek drgań, przez niego przepuszczanych, tworzył kąt  $135^\circ$  z osią drgań powolnych  $Oy$  (liczony od osi  $Oy$  w lewo), otrzymamy całkowite zaciemnienie pola widzenia (rys. 336).

Innymi słowy, jeżeli nikol analizujący znajduje się w takim położeniu, w którym oświetlenie pola widzenia ma wartość największą, kierunek, w którym należałoby obrócić płytkę (o kąt ostry),



Rys. 336

aby doprowadzić do zetknięcia osi  $Oy$  z kierunkiem drgań analizatora  $OA$ , wskazuje kierunek drgań kołowych badanego światła. Istotnie wtedy kierunek  $A$  jest zgodny z kierunkiem  $P$ .

Układ, złożony z płytki ćwierćfalowej i nikola analizującego, którego przecięcie główne tworzy kąt  $45^\circ$  z osiami płytki, często nazywany bywa analizatorem kołowym.

b) Gdy przy obrocie nikola analizującego (bez płytki ćwierćfalowej) oświetlenie pola widzenia się zmienia, wykazując

maksimum i minimum w dwóch wzajemnie prostopadłych położeniach nikola, światło badane jest spolaryzowane eliptycznie. W położeniu najmniejszego oświetlenia pola widzenia kierunek drgań, przepuszczanych przez analizator, jest równoległy do mniejszej osi elipsy. Drgania składowe, odniesione do osi elipsy, wyrażają się wzorami

$$S_1 = a \sin 2\pi \frac{t}{T} \quad \text{i} \quad S_2 = b \sin \left( 2\pi \frac{t}{T} + \frac{\pi}{2} \right)$$

w przypadku elipsy prawoskrętnej i

$$S_1 = a \sin 2\pi \frac{t}{T} \quad \text{i} \quad S_2 = b \sin \left( 2\pi \frac{t}{T} - \frac{\pi}{2} \right)$$

w przypadku elipsy lewoskrętnej.



Jeżeli teraz umieścimy przed nikolem płytkę ćwierćfalową tak, aby jej linie obojętne były równoległe do osi elipsy, między drganiami składowymi wytworzy się dodatkowa różnica faz, równa  $\frac{\pi}{2}$ . Przyjmując, że drgania  $S_2$  są równoległe do osi drgań powolnych  $Oy$ , będziemy mogli napisać, że po przejściu przez płytkę drgania składowe będą odpowiadały wzorom

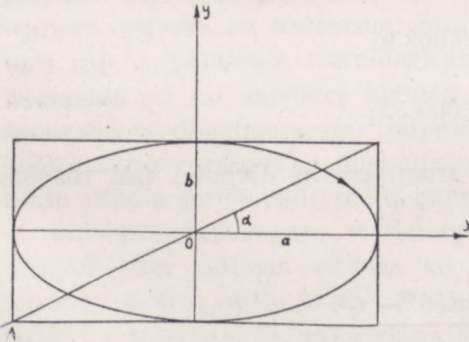
$$S_x = a \sin 2\pi \frac{t}{T} \quad \text{i} \quad S_y = b \sin 2\pi \frac{t}{T}$$

w przypadku pierwszym. Drganie wypadkowe o amplitudzie  $\sqrt{a^2 + b^2}$  będzie drganiami spolaryzowanym prostoliniowo, tworzącym z dodatnim kierunkiem osi  $Ox$  kąt  $\alpha$  taki, że

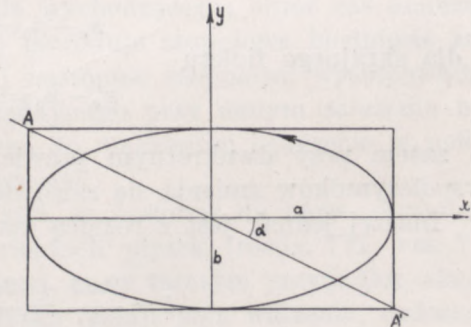
$$\operatorname{tg} \alpha = \frac{b}{a} = -\gamma$$

( $\delta = -\frac{\pi}{2}$ , p. ust. 7), gdzie  $\gamma$ , jak poprzednio, oznacza eliptyczność drgań.

Obracając nikol analizujący tak, aby kierunek przepuszczanych przez niego drgań był prostopadły do kierunku  $OP$ , otrzymamy całkowite zaciemnienie pola widzenia (rys. 337). Tangens kąta ostrego, o jaki należy obrócić nikol analizujący, aby przejść do najmniejszego oświetlenia (gdy płytki nie ma) do zupełnego zaciemnienia (po wstawieniu płytki) wyznacza eliptyczność drgań, kierunek zaś obrotu analizatora jest przeciwny do kierunku elipsy.



Rys. 337



Rys. 338

W przypadku drugim będziemy mieli dla drgań, wychodzących z płytki

$$S_x = a \sin 2\pi \frac{t}{T} \quad \text{i} \quad S_y = b \sin \left( 2\pi \frac{t}{T} - \pi \right) = -b \sin 2\pi \frac{t}{T}.$$



Drganie wypadkowe będzie drganiem spolaryzowanym prostoliniowo, tworzącym z dodatnim kierunkiem osi kąt  $\alpha$ , dla którego (rys. 338)

$$\operatorname{tg} \alpha = -\frac{b}{a} = \gamma.$$

I tym razem nikol analizujący trzeba będzie obrócić o kąt  $\alpha$  w kierunku przeciwnym do kierunku elipsy.

Innymi słowy, jeżeli nikol analizujący znajduje się w położeniu, w którym oświetlenie pola widzenia jest największe, należy dla zetknięcia osi drgań powolnych  $Oy$  z kierunkiem drgań, przepuszczanych przez analizator  $OA$ , obrócić płytkę o kąt ostry w kierunku zgodnym z kierunkiem elipsy drgań.

#### 10. POLARYZACJA CHROMATYCZNA

Jak wynika ze wzoru (7), stanowiącego podstawę naszych rozważań, różnica dróg optycznych drgań, zachodzących w kierunkach wyróżnionych,

$$\Delta = d(n'' - n')$$

jest na skutek niejednakowej zależności współczynników załamania  $n''$  i  $n'$  od długości fali na ogół dla każdej barwy światła inna. Zazwyczaj co prawda, szczególnie, gdy płytka jest dostatecznie cienka, możemy z wystarczającą zupełnie dokładnością przyjąć różnicę  $n'' - n'$  za mającą w całym obszarze widma widzialnego wartość stałą. Tak np. w przypadku płytki kwarcowej, wyciętej równoległe do osi, a więc, gdy kierunkami wyróżnionymi są kierunek osi i kierunek do niej prostopadły,  $n'' = n_e$  i  $n' = n_o$ , mamy dla skrajnej czerwieni

$$n_e - n_o = 0,008\ 91$$

i dla skrajnego fioletu

$$n_e - n_o = 0,009\ 53;$$

a zatem przy dwukrotnym prawie zmniejszeniu długości fali różnica współczynników zmienia się zaledwie o 6%.

Inaczej jednak jest z różnicą faz

$$\delta = \frac{2\pi\Delta}{\lambda} = \frac{2\pi d(n'' - n')}{\lambda},$$

przy stałym  $\Delta$  odwrotnie proporcjonalną do długości fali.

Przy oświetleniu więc płaskorównoległej płytki krystalicznej światłem białym, padającym na płytkę prostopadle, otrzymamy dla każdej długości fali inną różnicę faz, stopniowo wzrastającą od czerwonego do fioletowego końca widma.



Mimo to, jeżeli płytka jest dostatecznie gruba, umieszczenie jej między nikolami nie spowoduje żadnego zabarwienia pola widzenia; światło przechodzące będzie w dalszym ciągu białe. Będzie to jednak biel rzędu wyższego (p. rozdział VII, ust. 7), jak o tym można się przekonać, umieszczając za nikolem analizującym pryzmat. Otrzymane w ten sposób widmo światła, wychodzącego z układu, będzie poprzerywane prążkami ciemnymi, odpowiadającymi drganiom wygaszonym. Podobnie, biorąc zamiast płytki kompensator Bravais'go, możemy i bez pryzmatu stwierdzić w miejscach, gdzie światło przechodzi tylko przez pierwszy klin kompensatora w pobliżu jego ostrza, tworzenie się prążków ciemnych, silnie się zagęszczających w miarę wzrastania grubości warstwy, przez którą światło przechodzi i wreszcie wytwarzających jednostajne białe oświetlenie.

Jeżeli jednak użyta płytka jest bardzo cienka, wygaszanie promieni w różnych częściach widma przestaje być równomierne i pole widzenia staje się zabarwione. To zjawisko nosi nazwę polaryzacji chromatycznej.

Zabarwienie pola widzenia występuje najwyraźniej wtedy, gdy linie obojętne płytki tworzą kąt  $45^\circ$  z kierunkami drgań nikolów polaryzującego i analizującego, ustawionych równoległe lub na krzyż (p. ust. 8). W pierwszym przypadku (nikole równoległe) wygaszane są te fale, których różnica dróg optycznych wynosi nieparzystą liczbę połówek fali (p. wzór b, ust. 8, gdzie  $\alpha=45^\circ$ ); w drugim (nikole skrzyżowane) — fale o różnicy dróg optycznych równej całkowitej liczbie odpowiedniej długości fali (wzór c, ust. 8, gdzie  $\alpha=45^\circ$ ). Pole widzenia jest więc w tych przypadkach zabarwione barwami dopełniającymi się wzajemnie. Obrót płytki w jej własnej płaszczyźnie nie zmienia zabarwienia pola widzenia, wpływa jedynie na natężenie światła wychodzącego; obrót zaś analizatora (np. z położenia równoległego) powoduje stopniowe blednięcie zabarwienia aż do zupełnej białości i następnie stopniowe występowanie zabarwienia dopełniającego (odpowiadającego przy danym założeniu nikolom skrzyżowanym) i dochodzącego do maksimum nasycenia w położeniu nikola prostopadłym do pierwszego.

Barwy, otrzymywane w ten sposób, są podobne do barw, otrzymywanych przy odbiciu światła od cienkich płytek (rozd. VII, ust. 7); możemy przeto posługiwać się tą samą, co w tamtym przypadku, skalą barw i z zabarwienia, jakie dana płytka nadaje polu widzenia, wnioskować o rodzaju płytki. Tak np. przy nikolach równoległych, gdy zero różnicy dróg optycznych drgań składowych daje niezabarwione pole widzenia, gdy zatem analogiczną skalą barw Newtona jest skala o środku białym, płytkę półfalową w świetle środkowej części widma ( $\Delta$  około 0,289) widzimy zabarwioną na niebiesko; przy nikolach skrzyżowanych (skala o środku czarnym) — na żółto.



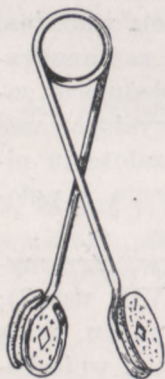
Między tymi na pozór tak zbliżonymi zjawiskami zachodzi wszakże ta zasadnicza różnica, że barwy przy odbiciu od cienkich płytek mogą powstawać przy oświetleniu światłem naturalnym i być widziane okiem nieuzbrojonym; barwy zaś płytek krystalicznych powstają jedynie przy użyciu światła spolaryzowanego i mogą być widziane tylko przez nikol analizujący. W pierwszym przypadku mamy do czynienia z interferencją dwóch promieni, przechodzących niejednakowe drogi w danym środowisku i mających jednakowo skierowane drgania, w drugim — różnica faz powstaje dzięki niejednakowej prędkości promieni o drganiach wzajemnie prostopadłych, które dopiero nikol analizujący doprowadza do interferencji. Toteż gdy w pierścieniach Newtona różnica dróg optycznych wynosi  $\frac{\lambda}{2}$  (przy grubości warstewki powietrza  $0,148 \mu$  dla światła sodu), tę samą różnicę dróg wytwarzałaby płytka kwarcowa o grubości

$$d = \frac{\lambda/2}{n_e - n_o} \approx \frac{0,295}{0,009} \approx 32 \mu,$$

a więc mniej więcej 216 razy grubsza.

To jednostajne zabarwienie płytka płaskorównoległa wykazuje jedynie w świetle równoległym, w świetle rozbieżnym jednostajność ta znika. Wtedy bowiem każda z grup promieni równoległych, jakie możemy wyodrębnić z wiązki padającej, posiada po przejściu przez płytkę inną różnicę faz drgań składowych, interferujących tym razem (oczywiście, po przejściu przez odpowiedni analizator) w nieskończoności, nie zaś, jak poprzednio, na powierzchni płytki (por. rozdz. VII, ust. 4).

Do obserwacji zjawiska służą tzw. szczypee turmalinowe, (rys. 339) złożone z dwóch płaskich płytek turmalinu, między którymi umieszcza się badaną płytkę (oko nastawiamy na nieskończoność) albo lepiej jeszcze mikroskop polaryzacyjny w budowie swej podobny do mikroskopu zwykłego i różniący się od niego małym powiększeniem i dwoma dodatkowymi nikolami: polaryzującym, umieszczonym przed obiektywem i analizującym, umieszczonym przed okulem.



Rys. 339

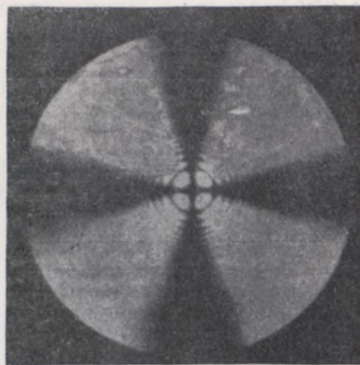
W przypadku płytki, wyciętej prostopadle do osi optycznej, tę samą różnicę dróg optycznych posiadają wszystkie promienie, tworzące jednakowe kąty z osią optyczną, bez względu na położenie płaszczyzny padania: liniami jednakowego zabarwienia — izochromatami — są koła, opisane dookoła punktu przecięcia się osi z powierzchnią płytki. Jest rzeczą oczywistą, że wartości kątów, przy których różnica dróg optycznych ma daną wartość  $\Delta$ , są dla każdej długości fali inne; w świetle białym otrzymamy zatem koła zabarwione.

Dla pewnych jednak położeni płaszczyzny padania zabarwienia znikną. Zachodzi to mianowicie wtedy, gdy kąty  $\alpha$  i  $\beta$ , jakie tworzą kierunki



drgań składowych z kierunkami drgań, przepuszczanych przez nikole polaryzujący i analizujący (lub przez płytki turmalinu w szczypcach) są równe zeru albo  $\frac{\pi}{2}$ , wtedy bowiem natężenie światła, wychodzącego

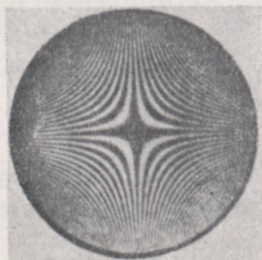
z układu, nie zależy od różnicy dróg optycznych drgań składowych (p. wzory 11 i 11a). W danym przypadku oś optyczna leży zawsze w płaszczyźnie padania, z drgań składowych jedno jest równoległe, drugie — prostopadłe do płaszczyzny padania, a zatem jedno ma kierunek promienia kół linii izochromatycznych — przeprowadzonego z punktu przecięcia się osi optycznej z płaszczyzną ogniskową, w której powstaje obraz interferencyjny, do punktu, w którym interferuje dana grupa promieni równoległych, drugie — stycznej w danym punkcie do izochromaty. Stąd wynika, że miejscem geometrycznym punktów o oświetleniu, niezależnym od różnicy dróg optycznych są dwie wzajemnie prostopadłe średnice kół zabarwionych. Są to tzw. linie achromatyczne (lub achromatyczne izochromaty). W przypadku nikolów skrzyżowanych otrzymujemy obraz taki, jak na rys. 340, (wziętym, jak i cztery następne z „Lehrbuch der Physik” Müller Po uilleta), barwne koła, przecięte czarnym krzyżem ( $\beta - \alpha = \frac{\pi}{2}$ ); w przypadku nikolów równoległych: białe



Rys. 340

krzyże zamiast czarnych, pierścienie o barwach dopełniających.

Gdy płytka jest wycięta równoległe do osi optycznej, z wyróżnionych kierunków drgań jeden jest stale równoległy do osi, drugi — stale do niej prostopadły; wartości więc kątów  $\alpha$  i  $\beta$  są dla wszystkich punktów obrazu interferencyjnego te same: achromatycznych izochromat w ogóle nie ma. Linie izochromatyczne tworzą, czego tu dowodzić nie będziemy, hiperbole, których asymptoty są miejscami geometrycznymi punktów o różnicy dróg optycznych tej samej, co w środku obrazu ( $\Delta = d(n_e - n_o)$ ). Tym razem obraz interferencyjny będzie taki, jak na rys. 341. W kierunku równoległym do osi optycznej różnice dróg będą się zmniejszały stopniowo w miarę oddalania się od środka, w kierunku prostopadłym — będą się zwiększały.

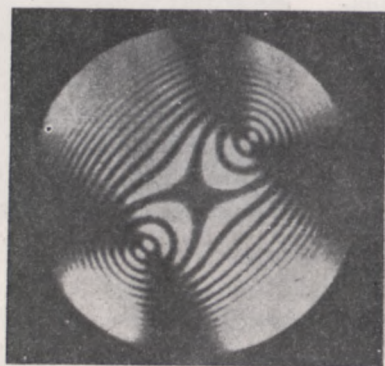


Rys. 341

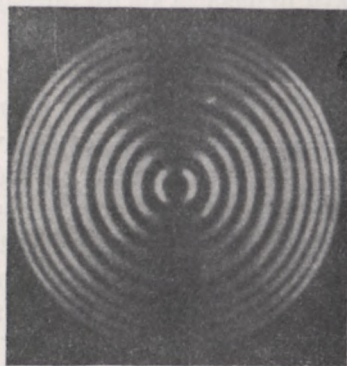


W kryształach dwuosiowych zjawiska stają się o wiele bardziej złożone. Gdy płytka jest wycięta prostopadle do dwusiecznej kąta między osiami optycznymi, liniami izochromatycznymi są lemniskaty, których biegunami są punkty przecięcia się osi optycznych z płaszczyzną obrazu interferencyjnego. Otrzymujemy wtedy obraz taki, jak na rys. 342, odpowiadający nikolom skrzyżowanym, przy czym kierunki drgań wyróżnionych w płytce tworzą kąt  $45^\circ$  z kierunkami drgań polaryzatora i analizatora; płytka oświetlona jest światłem jednobarwnym.

Gdy płytka wycięta jest równolegle do płaszczyzny, w której leżą osie optyczne, izochromaty są hiperbolami; obraz jest taki, jak w przypadku, przedstawionym na rys. 341. Gdy wreszcie płytka jest wycięta



Rys. 342



Rys. 343

prostopadle do jednej z osi optycznych, obraz interferencyjny przypomina obraz, otrzymany przy użyciu płytki jednoosiowej, wyciętej prostopadle do osi. Ten przypadek odtwarza rys. 343.

Przy oświetlaniu płytek dwuosiowych, wyciętych prostopadle do dwusiecznej kąta między osiami, kolejno światłem jednobarwnym o różnych długościach fal, można niekiedy zauważyć przesuwanie się biegunów lemniskat. Tak np. jest w przypadku tytanitu, soli Seignette'a i innych. Jest to niewątpliwym dowodem, że kierunek osi optycznych w tych kryształach nie jest dla wszystkich długości fal ten sam. Mamy tu do czynienia, jak gdyby z rozszczepieniem — dyspersją — osi optycznych.

Podobnie zmieniać się może niekiedy położenie osi optycznych przy zmianie temperatury płytki. Szczególnie wyraźnie występuje to zjawisko w płytkach gipsowych.

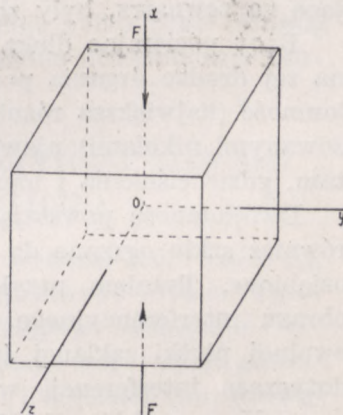


## Rozdział XI

### DWÓJŁOMNOŚĆ WYMUSZONA. POLARYZACJA OBROTOWA

#### 1. DWÓJŁOMNOŚĆ NA SKUTEK ODKSZTAŁCENIA

W rozważanych dotychczas przypadkach dwójłomność środowiska była ściśle związana z jego budową, stanowiła jedną z zasadniczych jej cech. Może ona jednak powstać, jak o tym już wspomnieliśmy (p. rozdz. X, ust. 1) pod działaniem czynników zewnętrznych. Trwa ona wtedy dopóty, dopóki trwają zmiany, wywołane przez te czynniki, z ich zniknięciem znika. Taka właśnie dwójłomność chwilowa, wymuszona, powstaje, jak to odkrył Seebeck (1813) i dokładnie zbadał Brewster (1816) przy odkształceniu ciała. Weźmy jakiegokolwiek ciało równokierunkowe (izotropowe) np. szkło, wytnijmy z niego sześciian o krawędzi  $d$  i poddajmy go ciśnieniu w kierunku osi  $Ox$ . Umieszczając je między dwoma nikolami i oświetlając wiązką promieni równoległych, biegnących w kierunku osi  $Oy$ , stwierdzamy, że nabyło ono cech kryształu jednoosiowego, którego oś optyczna ma kierunek działających sił odkształcających. Stosując jedną z metod omawianych w rozdziale poprzednim, możemy wyznaczyć różnicę dróg optycznych drgań, zachodzących w kierunkach wyróżnionych, którymi w danym układzie są kierunek osi  $Ox$  i kierunek do niej prostopadły  $Oz$  (rys. 344). Okazuje się, że  $n_e - n_o$  jest proporcjonalne do wywieranego na sześciian ciśnienia, tak że mamy



Rys. 344

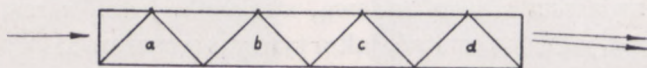
$$\Delta = (n_e - n_o)d = C\lambda \frac{F}{d^2} \cdot d = C\lambda \frac{F}{d} \quad (1)$$

a więc  $\Delta$  jest proporcjonalne do wartości siły przypadającej na jednostkę grubości.  $C$  jest współczynnikiem zależnym od rodzaju ciała. W szkłe



zwykłym ma wartość niewielką rzędu 0,05 i ujemną. A zatem tego rodzaju szkło przy zgniataniu wykazuje cechy kryształu ujemnego ( $n_e < n_o$ ). Inne jednak gatunki szkła, zwłaszcza ciężkiego, mają raczej dwójłomność dodatnią, zdarzają się również i takie, które przy zgniataniu nie ujawniają wcale różnokierunkowości. Przy rozciąganiu zachodzi zazwyczaj zjawisko odwrotne: dwójłomność ujemna przechodzi w dodatnią.

Jak wynika z podanej wyżej wartości stałej  $C$ , bezpośredni pomiar współczynników  $n_e$  i  $n_o$  przy pomocy pryzmatu, zgniatanego w kierunku krawędzi łamiącej (p. rozdz. X ust. 2) wymagałby użycia bardzo wielkich ciśnień dla otrzymania dostrzegalnego rozdzielania wychodzących z pryzmatu wiązek zwyczajnej i nadzwyczajnej. Fresnelowi udało się otrzymać wyraźne dwa obrazy przy użyciu achromatycznego układu dziewięciu prostokątnych pryzmatów (rys. 345), sklejonych balsamem



Rys. 345

kanadyjskim, co usuwa możliwość całkowitego wewnętrznego odbicia. Pryzmaty  $a, b, c, d$  nieco dłuższe od pozostałych i wskutek tego wystające na zewnątrz, były zgniatane w kierunku krawędzi łamiącej.

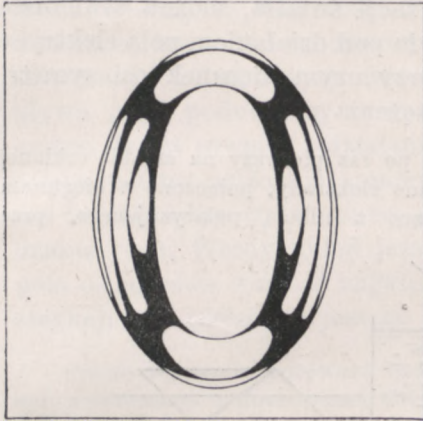
Biot pocierając długą, wąską sztabkę szklaną i wzbudzając w niej na tej drodze drgania podłużne, wykazał, że istotnie największa dwójłomność (największa różnica w oświetleniu pola widzenia między skrzyżowanymi nikolami) ujawnia się w pobliżu punktów węzłowych a więc tam, gdzie ciśnienia i napięcia przybierają największą wartość.

Dwójłomność powstającą na skutek napięć wewnętrznych wykazuje również szkło ogrzane do wysokiej temperatury i następnie gwałtownie oziębione. Tytułem przykładu podajemy piękne zdjęcie fotograficzne obrazu interferencyjnego, otrzymanego przy oświetleniu tego rodzaju owalnej płytki szklanej światłem sodu; zdjęcie to, jak i wiele innych dotyczące interferencji w płytkach krystalicznych, zostało wykonane przez Hauswaldta (1902 r. (rys. 346)).

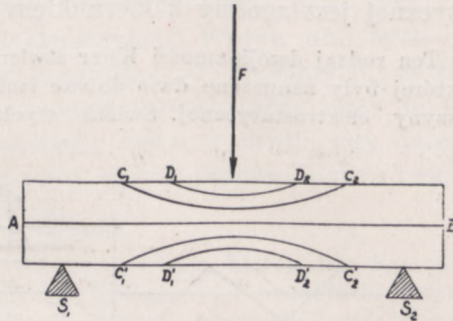
Brewster pierwszy zwrócił uwagę, że badanie znanymi już nam metodami kierunku drgań wyróżnionych i różnicy dróg optycznych w różnych punktach płytki lub sztabki szklanej, poddawanej odkształceniom, pozwala na wyznaczenie rozkładu w niej napięć sprężystych. Tak np. w sztabce szklanej wspartej w punktach  $S_1$  i  $S_2$  zgniatanej przez siłę  $F$  i umieszczonej między skrzyżowanymi nikolami, których kierunki drgań tworzą kąt  $45^\circ$  z pionem, widzimy w świetle białym ciemny prążek  $AB$  w warstwie obojętnej i prążki zabarwione  $C_1C_2, D_1D_2, \dots$  (rys. 347), z których każdy wyznacza miejsce geometryczne punktów o tej samej róż-



nicy dróg optycznych. Stosując tę metodę do modeli mostów, części samolotów itp. można zdać sobie sprawę z rozkładu napięć w ciałach odtwarzanych. Obecnie często do budowy modeli stosuje się zamiast kruchego szkła inne ciała, jak np. celulozoid lub celon, które też pod wpływem odkształcenia stają się dwójłomne.



Rys. 346



Rys. 347

Mach (1873 r.) wykazał, że podobnym zmianom własności podlegają i ciała na pół ciekłe, jak np. balsam kanadyjski, ogrzane kolofonium itp. W tych ciałach wszakże dwójłomność istnieje tylko przez krótką chwilę po przyłożeniu sił odkształcających; działanie odkształcenia bardzo szybko zanika.

## 2. DWÓJŁOMNOŚĆ ELEKTRYCZNA (ELEKTROOPTYCZNE ZJAWISKO KERRA). DWÓJŁOMNOŚĆ MAGNETYCZNA

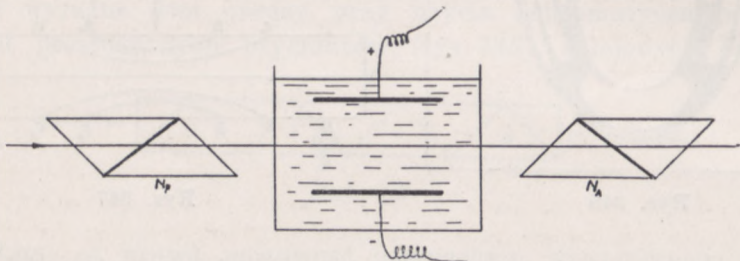
Dwójłomność może powstać również, jak to wykazał Kerr (1875 r.), i pod działaniem pola elektrycznego. Ta dwójłomność elektryczna (lub elektrooptyczne zjawisko Kerr'a) występuje szczególnie wyraźnie w niektórych cieczach, w słabszym stopniu w pewnych gatunkach szkła a ślady jej można zaobserwować nawet i w gazach (np. w dwutlenku węgla, amoniaku).

Najdogodniej można obserwować to zjawisko w jednostajnym polu elektrycznym, takim np. jakie powstaje między zbrojami płaskiego kondensatora. Zbroje te, połączone ze źródłem elektryczności, zanurzamy do badanego ciała, (np. do cieczy nalanej do naczynia o ścianach płasko-równoległych (rys. 348) umieszczonego między dwoma nikolami ( $N_P$  i  $N_A$ ), oświetlonymi wiązką równoległą światła, przechodzącą między zbrojami prostopadle do kierunku natężenia pola. Dopóki pole nie jest wzbudzone, skrzyżowanie nikolów powoduje oczywiste całkowite zaciemnienie pola widzenia. Po wzbudzeniu pola elektrycznego zaciemnienie znika i nie



można go już otrzymać przy żadnym położeniu nikola analizującego. Jest to oczywistym dowodem, że światło wchodzące do analizatora jest spolaryzowane eliptycznie. Używając, znanych nam już z poprzedniego rozdziału, metod analizy rodzaju polaryzacji światła, można stwierdzić, że badane ciało (na ogół izotropowe) nabyło pod działaniem pola elektrycznego cech kryształów jednoosiowych, przy czym kierunek osi symetrii optycznej jest zgodny z kierunkiem natężenia pola.

Ten rodzaj dwójłomności Kerr stwierdził po raz pierwszy na sztabie szklanej, w której były zanurzone dwie dobrze izolowane elektrody, połączone z biegunami maszyny elektrostatycznej. Światło, wychodzące z nikola polaryzującego, prze-



Rys. 348

chodziło przez sztabę między elektrodami i wchodziło do nikola analizującego, ustawionego na krzyż z polaryzatorem. Po wprawieniu w ruch maszyny elektrostatycznej pole widzenia stopniowo się rozjaśniało; po usunięciu pola stopniowo się zaciemniało. Ten właśnie fakt, stosunkowo powolnego rozjaśniania się pola widzenia, mógł nasunąć przypuszczenie, że mamy tu do czynienia raczej z elektrostrykcją (p. M. Grotowski, Wykłady fizyki tom II, rozdz. III, ust. 11 str. 273). Okazało się wszakże w doświadczeniu wykonanym przez Kerra w 1879 r., że i ciecze, w których elektrostrykcja ma wartość znacznie mniejszą, też stają się w polu elektrycznym dwójłomne. Wreszcie stwierdzenie powstawania w tych warunkach dwójłomności gazów (Leiser, 1911 r.) dowiodło, że elektrostrykcja jest tu zjawiskiem wtórnym, zakłócającym jedynie i utrudniającym pomiar zjawiska podstawowego, jakim jest bezpośredni wpływ pola elektrycznego na własności optyczne środowisk.

Pomiary różnicy dróg optycznych, jakiej nabywają pod wpływem pola promienie o drganiach równoległych (promienie nadzwyczajne) i prostopadłych (promienie zwyczajne) do osi symetrii zjawiska, wykazały, że  $\Delta$  jest proporcjonalna do drugiej potęgi natężenia pola, tak że mamy

$$\Delta = d(n_e - n_o) = KdE^2, \quad (2)$$

gdzie  $K$  jest tzw. stałą Kerra, zależną od rodzaju środowiska, jego temperatury i długości fali użytego światła,  $d$  — długością drogi (geometrycznej), przebytej przez promienie światła w polu elektrycznym.



Długość  $d$  jest nieco większa od długości zbroj kondensatora;  $E$  jest, oczywiście, mierzone w jednostkach elektrostatycznych.

Dokładny pomiar stałej Kerra połączony jest zazwyczaj z dużymi trudnościami, w większości bowiem przypadków mamy do czynienia z ciałami, które nie są doskonałymi izolatorami, tak że szczególnie przy stosowaniu pól o dużym natężeniu między zbrojami kondensatora przepływa prąd podnoszący temperaturę badanego ciała; poza tym zakłócająco działa również i działanie elektrostrykcji. Wpływ obu tych czynników można wydatnie zmniejszyć, używając pól zmiennych, za źródło zaś światła iskry wytwarzanej przez ten sam obwód, który służy do wzbudzenia pola. Wtedy układ jest oświetlony tylko w chwili, gdy natężenie pola osiąga swą wartość największą i gdy wpływ przewodnictwa i elektrostrykcji nie zdołał się jeszcze ujawnić.

Często wystarczy porównać badaną substancję z inną, której stała Kerra może być wyznaczona z dostateczną dokładnością. W tego typu pomiarach, zastosowanych po raz pierwszy przez Des Coudres'a (1893 r.), używa się dwu jednakowych kondensatorów, z których jeden zanurzony jest w cieczy „normalnej”, drugi zaś w badanej. Oba zaś zasilane są tym samym źródłem prądu a więc zbroje ich mają tę samą różnicę potencjałów  $V$ . Gdy stałe Kerra mają w obu cieczach znak ten sam, kondensatory się „krzyżuje”, tak aby kierunki pól były w nich wzajemnie prostopadłe i zmieniając odpowiednio odstęp zbroj drugiego kondensatora, doprowadza się do zrównoważenia działań dwójłomności obu cieczy (np. do ponownego zaciemnienia przy nikolach skrzyżowanych). Wtedy

$$K_1 d_1 E_1^2 = K_2 d_2 E_2^2$$

lub

$$K_1 d_1 \frac{V^2}{l_1^2} = K_2 d_2 \frac{V^2}{l_2^2},$$

gdzie  $l_1$  i  $l_2$  odległości między zbrojami kondensatora,  $d_1$  i  $d_2$  — długość (elektryczna) ich zbroi.

Stąd

$$K_2 = K_1 \frac{d_1}{d_2} \frac{l_2^2}{l_1^2}.$$

Za ciecz „normalną” bierze się siarczek węgla ( $CS_2$ ), ciecz prawie doskonale izolującą.

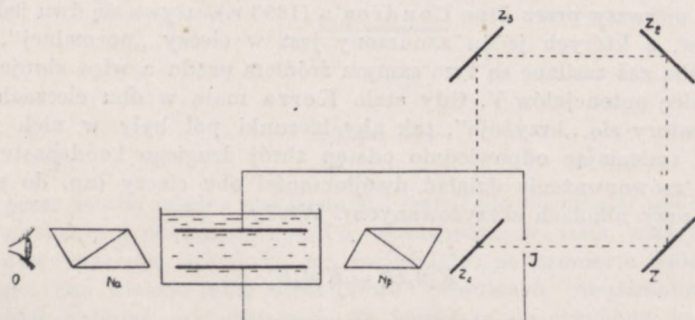
Tytułem przykładu podajemy wartości stałej Kerra dla niektórych substancji ( $\lambda = 589 m\mu$  temperatura  $20^0$ )

siarczek węgla	$3,22 \cdot 10^{-7}$	(Chaudier, 1915 r.)
chloroform	$-3,46 \cdot 10^{-7}$	(Mac Comb, 1909 r.)
woda	$4,7 \cdot 10^{-7}$	„
nitrobenzol	$2,20 \cdot 10^{-7}$	„



W różnych gatunkach szkła i w gazach  $K$  ma wartość o wiele mniejszą, tak np. w szkłe (ołowiowym) dochodzi co najwyżej do  $0,14 \cdot 10^{-7}$ , w gazach do  $0,00167 \cdot 10^{-7}$  (dwutlenek siarki pod ciśnieniem 760 mm Hg), wzrastając w tym ostatnim przypadku proporcjonalnie do ciśnienia.

Jak wynika z przytoczonych wyżej danych,  $K$  może mieć wartość ujemną (chloroform) a więc  $n_e$  może być mniejsze od  $n_0$ . Tego typu substancje są zatem podobne do ujemnych kryształów jednoosiowych (jak kalcyt), substancje o dodatniej wartości  $K$  — do dodatnich kryształów jednoosiowych (jak kwarc). W przeciwieństwie do działania odkształceń sprężystych, stopniowo zmieniających własności optyczne środowisk, działanie pola elektrycznego, jak to udowodnili Abraham i Lemoine, (1899) ujawnia się prawie natychmiastowo. Układ doświadczenia Abrahama i Lemoine'a, powtórzony później z niewielkimi zmianami przez późniejszych badaczy, odtwarza schematycznie rys. 349. Kondensator



Rys. 349

elektryzowany jest przez źródło prądów szybko zmiennych (np. cewkę Ruhmkorffa), którego obwód przerywany jest iskiernikiem  $J$ . Światło iskry może albo bezpośrednio po usunięciu zwierciadła  $Z_4$  przechodzić przez badany układ (nikol polaryzujący, kondensator zanurzony w badanym cieple, nikol analizujący) albo też dochodzić do układu na okólnej drodze po odbiciu się od zwierciadeł  $Z_1Z_2Z_3Z_4$ . W tym ostatnim przypadku światło przechodzi przez układ nie w chwili największej wartości natężenia pola, lecz w chwili  $\frac{s}{c}$  późniejszej ( $s$  — długość przebytej przez światło drogi,  $c$  — prędkość światła). Okazało się, że gdy  $s$  jest równie mniej więcej 4 m, opóźnienie więc wynosi nieco ponad  $10^{-8}$  sek, dwójłomność nie daje się już stwierdzić. Stąd wynika, że już  $10^{-8}$  sek od chwili przeskoczenia iskry a więc rozbrojenia kondensatora, działanie elektrooptyczne znika. Jest to wszakże niewątpliwie górna granica, gdyż rozbrojenie iskrowe nie od razu powoduje zaniknięcie pola. Istotnie, póź-



niejsze pomiary zdają się wskazywać, że dwójłomność znika już po upływie  $10^{-9}$  sek, a nawet  $10^{-10}$  sek, przy czym dla różnych ciał czas ten jest różny (Beams i Allison, 1927 r.). Dla siarczanu węgla jest on najkrótszy.

Ta niesłychanie mała „bezwładność” zjawiska Kerra sprawia, że tzw. komórka Kerra (tzn. kondensator, zanurzony w cieczy) jest bardzo dogodnym przyrządem do zamiany wahań napięcia lub prądu w wahania natężenia światła. Toteż znalazła ona zastosowanie w różnych przypadkach, m. in. przy elektrycznym przenoszeniu obrazów na odległość, na co zwrócił uwagę pierwszy Gutton (w r. 1890).

Nie wchodząc w szczegółowe rozpatrzenie teorii tego zjawiska, zaznaczymy jedynie, że w większości przypadków wystarczające wyjaśnienie daje teoria Larmora (1897 r.), rozwinięta przez Langevina (1905 r.) i następnie przez Cottona i Moutona (1910 r. i analogiczna do Langevin'owskiej teorii paramagnetyzmu (p. M. Grotowski, Wykłady fizyki, tom II, rozdz. IV, ust. 5, str. 329). Według jej założeń dwójłomność elektryczna powstaje na skutek działania pola elektrycznego na drobiny badanego ciała. Drobiny te, posiadające już uprzednio pewną anizotropię, ustawiają swe osie pod działaniem sił pola w kierunku pola. Gdyby nie było żadnych czynników zakłócających (np. bezładnego ruchu cieplnego drobin) środowisko nabywałoby wyraźnej dwójłomności, czynniki te wszakże sprawiają, że dwójłomność jest na ogół niewielka, tym mniejsza, im większy jest wpływ owych czynników. Tym się tłumaczy zmniejszanie się stałej Kerra ze wzrostem temperatury.

Potwierdzeniem do pewnego stopnia tej teorii są doświadczenia zapoczątkowane przez Kerra (1875 r.) i prowadzone następnie przez Meslina (1903 r.) i Chaudiera (1903 r.); badanym środowiskiem była ciecz, do której wrzucono roztarte na drobny proszek kryształy o tym samym mniej więcej współczynniku załamania. W warunkach normalnych środowisko takie nie wykazywało żadnej dwójłomności, umieszczone wszakże w polu elektrycznym stawało się dwójłomne, przy czym jednak różnica dróg optycznych przestaje wzrastać proporcjonalnie do kwadratu natężenia pola; przy dostatecznie wysokiej jego wartości otrzymuje się stan nasycenia.

Niektóre ciecze organiczne stają się, jak to wykazali Cotton i Mouton (1907 r.), dwójłomne pod działaniem pola magnetycznego (rys. 350). I w tym przypadku zależność różnicy dróg optycznych od natężenia pola magnetycznego wyraża się wzorem, analogicznym do wzoru Kerra, tak że mamy

$$\Delta = d(n_e - n_0) = CdH^2, \quad (2a)$$

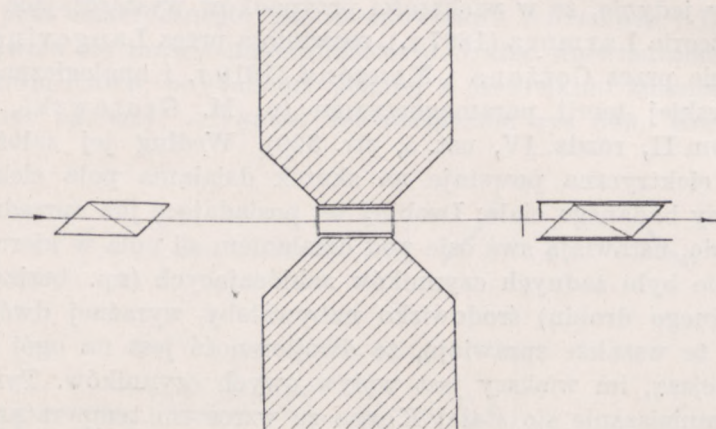
gdzie  $n_e$  jest współczynnikiem załamania drgań równoległych do kierunku pola, będącego osią symetrii zjawiska,  $n_0$  — drgań prostopadłych do tego kierunku,  $d$  — długością drogi, przebytej w obszarze, objętym przez działanie pola magnetycznego.



We wszystkich badanych dotychczas cieczach współczynnik  $C$  — stała zjawiska Cottona i Moutona — jest o wiele mniejsza od stałej Kerra. Tak np. w nitrobenzolu o temperaturze  $20^{\circ}\text{C}$  dla światła żółtego wynosi zaledwie  $2,4 \cdot 10^{-12}$ , w innych cieczach jest jeszcze mniejsza. W siarczku węgla ma wartość ujemną.

Wartość stałej  $C$  jest podobnie jak stała Kerra, zależna od długości fali użytego światła i temperatury.

Jeszcze przed odkryciem zjawiska Cottona i Moutona Majorana stwierdził, że niektóre roztwory koloidalne związków żelaza (przede wszystkim tzw. żelazo Bravais'go) stają się w polu magnetycznym dwójłomne. Dwójłomność ta na



Rys. 350

ogół zwiększa się w miarę starzenia się roztworu. Dodając do roztworu żelatyny, otrzymuje się środowisko, pozostające dwójłomnym nawet po usunięciu pola magnetycznego.

Podobnie dwójłomna staje się pod działaniem pola magnetycznego ciecz, zawierająca drobne zawiesiny krystaliczne; zjawisko przebiega w analogiczny sposób, jak omawiane nieco wyżej zjawisko dwójłomności podobnych cieczy w polu elektrycznym.

### 3. POLARYZACJA OBROTOWA

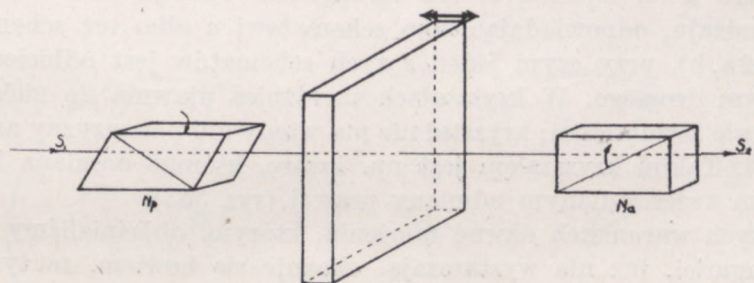
We wszystkich uprzednio rozpatrywanych przypadkach przyjmowaliśmy, że przy rozchodzeniu się światła w kierunku osi optycznej (osi symetrii zjawiska) środowisko z natury swej dwójłomne ma wszystkie cechy środowiska równokierunkowego. Istotnie, dla znacznej większości ciał założenie to jest potwierdzone przez doświadczenie. W pewnych jednak przypadkach okazuje się ono, jak tego dowiódł Arago (1811 r.), niesłuszne.

Tak np. gdy między dwoma skrzyżowanymi nikolami, oświetlonymi źródłem światła jednorodnego, umieścimy płytkę kwarcową, wyciętą



prostopadle do osi, zauważymy, wbrew oczekiwaniu, rozjaśnienie pola widzenia, znikające dopiero przy obróceniu analizatora o pewien kąt, zależny od grubości płytki i od długości fali użytego światła. Płytką zatem skręca płaszczyznę polaryzacji o pewien kąt, przy czym jednak wychodzące z niej światło pozostaje spolaryzowane prostoliniowo, inaczej bowiem w żadnym położeniu analizatora nie otrzymalibyśmy całkowitego zaciemnienia. Biorąc różne próbki kwarcu, przekonamy się, że w pewnych przypadkach musimy dla otrzymania zaciemnienia obracać analizator w prawo (w kierunku ruchu wskazówek zegarka), w innych — w lewo; skąd wynika, że pewne odmiany kwarcu skręcają płaszczyznę polaryzacji w prawo — kwarc prawy, inne w lewo — kwarc lewy.

Jeżeli daną płytkę przewrócimy na drugą stronę, wielkość kierunku obserwowanego skręcania nie ulegnie zmianie, tak że przestawiając źródło światła z  $S_1$  do  $S_2$  i zmieniając w ten sposób punkt obserwacji, będziemy musieli zawsze obracać ten nikol, który w danym przypadku jest analizatorem, o ten sam kąt i w tym samym kierunku np. w prawo, jak na rys. 351. A zatem promień spolaryzowany prostoliniowo prze-



Rys. 351

chodzący dwukrotnie przez tę samą płytkę w dwóch przeciwnych kierunkach, nie podlega skręceniu płaszczyzny polaryzacji.

Tego rodzaju polaryzację obrotową wywołuje nie tylko kwarc, lecz i niektóre inne kryształy jedno i dwuosiowe, jak np. cynober, sól Seignette'a, kryształy sacharozy, co więcej, własności takie posiadają niektóre kryształy układu regularnego, będące na ogół ciałami optycznie jednorodnymi, jak np. chloran sodu (chlorale de sodium) i wtedy skręcanie płaszczyzny polaryzacji występuje w każdej dowolnie wyciętej z kryształu płytce. Zjawisko to ujawnia się również i w wielu cieczach organicznych lub też w roztworach niektórych ciał organicznych, jak np. w roztworach cukru. Ciała, skręcające płaszczyznę polaryzacji nazywamy optycznie czynnymi. We wszystkich tych przypadkach wartość kąta skręcenia płaszczyzny polaryzacji wzrasta proporcjonalnie do gru-

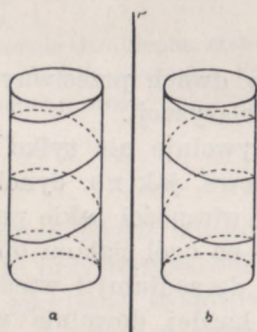


bości  $l$  warstwy danego środowiska, przez którą przechodzi światło, tak że mamy

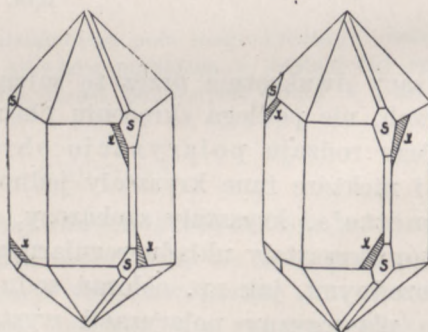
$$\rho = r \cdot l, \quad (3)$$

gdzie  $r$  jest współczynnikiem zależnym jedynie od długości fali użytego światła i rodzaju ciała. Zjawisko zatem jest spowodowane nie przez własności powierzchniowe ciała, lecz przez jego wewnętrzną budowę. Nie wchodząc w bliższe rozważania tej budowy, wchodzące w zakres krytalografii i chemii (stereochemia), zaznaczymy jedynie, że budowy tej nie może cechować ani żadna płaszczyzna symetrii ani też środek symetrii, gdyby bowiem środek taki istniał, to drgania symetryczne względem tego środka i przechodzące przez ten środek w kierunkach przeciwnych musiałyby podlegać skręceniu symetrycznemu względem tego środka, a więc w tym samym kierunku, tymczasem, jak o tym była mowa wyżej, skręcenia te mają kierunek przeciwny (p. rys. 351). Budowa ta raczej odpowiadałaby budowie śruby prawo lub lewoskrętnej. Z faktu, że identyczne chemiczne ciała mogą być, podobnie jak kwarc, optycznie prawe lub lewe, wynika, że ich wewnętrzna budowa może być dwójakiego rodzaju, odpowiadając albo schematowi  $a$  albo też schematowi  $b$  (rys. 352a, b), przy czym jeden z tych schematów jest odbiciem zwierciadlanym drugiego. W kryształach ta różnica ujawnia się niekiedy już w budowie zewnętrznej; kryształ nie ma wtedy ani płaszczyzny ani środka symetrii. Takim kryształem jest np. kwarc, którego odmiana lewa jest odbiciem zwierciadlanym odmiany prawej (rys. 353).

W tych warunkach dawne założenia, którymi objaśnialiśmy zjawiska dwójłomności, już nie wystarczają, okazuje się bowiem, że tym razem



Rys. 352



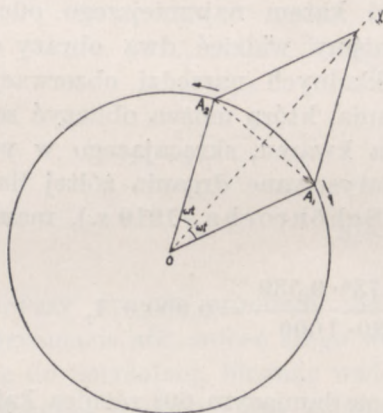
Rys. 353

nie istnieją w środowisku żadne kierunki wyróżnione, w których by drgania prostoliniowe mogły zachodzić bez zniekształcenia. Wobec tego Fresnel założył, że w ciałach optycznie czynnych drganie prostoliniowe

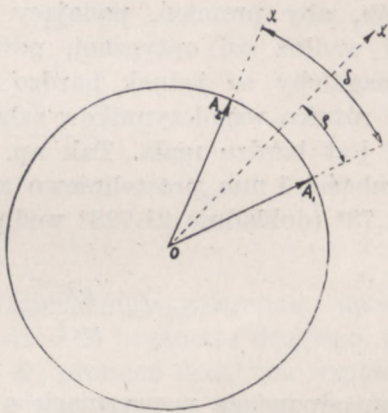


rozpada się na dwa drgania kołowe, zachodzące w przeciwnych kierunkach, takie bowiem drgania nie ulegną zmianie na skutek obrotu. Drgania te, rozchodzące się w środowisku z różnymi prędkościami, dadzą po wyjściu znów drgania prostoliniowe, skrócone jednak o pewien kąt w stosunku do pierwotnej płaszczyzny drgań.

Istotnie, założmy, że w pewnej chwili dwa jednakowej długości wektory  $OA_1$  i  $OA_2$ , których końce poruszają się w przeciwnych kierunkach po kole o promieniu  $a$ , mają ten sam kierunek  $Ox$ , wypadkowa ich będzie miała, oczywiście, również kierunek  $Ox$ . Jeżeli wektory  $OA_1$  i  $OA_2$  obracają się z tą samą prędkością kątową, wtedy po upływie czasu  $t$  każdy z nich utworzy prostą  $Ox$  kąt  $\omega t$ ; prosta  $Ox$  będzie zatem dwusieczną kąta między  $OA_1$  i  $OA_2$  a więc nadal wyznaczać będzie kierunek wypadkowej obu wektorów (rys. 354). Ponieważ ten stan rzeczy będzie zachodził przy dowolnej wartości  $t$ , wypadkowa obu wektorów będzie miała stale kierunek  $Ox$ . Jeżeli więc oba drgania kołowe będą przesuwały się w środowisku z tą samą prędkością a więc w każdym jego punkcie fazy ich będą się różniły jedynie znakiem, wypadkowa ich będzie drganiem



Rys. 354



Rys. 355

prostoliniowym o niezmiennym kierunku. W przypadku wszakże, gdy prędkości rozchodzenia się tych drgań będą niejednakowe, w danym punkcie środowiska będą one miały fazy różne; różnica wynosić będzie

$$\delta = \frac{2\pi}{T} \left( \frac{1}{c''} - \frac{1}{c'} \right) l = 2\pi \left( \frac{1}{\lambda''} - \frac{1}{\lambda'} \right) \cdot l = 2\pi \frac{(n'' - n')}{\lambda} l,$$

gdzie  $c', c''$  oznaczają odpowiednie prędkości rozchodzenia się tych drgań  $\lambda'$  i  $\lambda''$  długości odpowiednich fal,  $\lambda$  długość fali danego rodzaju światła w próżni.



Niech  $e'$  — prędkość rozchodzenia się drgań kołowych prawoskrętnych — będzie większa od  $e''$ . Wtedy w chwili, gdy wektor  $OA_2$  będzie miał kierunek  $Ox$ , wektor  $OA_1$  mający fazę większą, będzie po przejściu przez kierunek  $Ox$  tworzył z nim kąt  $\delta$  (rys. 355). Kierunek wypadkowej  $Ox'$ , będący dwusieczną kąta między wektorami  $OA_1$  i  $OA_2$ , będzie z początkowym kierunkiem drgań prostoliniowych tworzył kąt

$$e = \frac{\delta}{2} = \frac{\pi(n'' - n')}{\lambda} \cdot l \quad (3a)$$

tym większy, im większa jest grubość warstwy środowiska, przez którą przeszło światło. Początkowa płaszczyzna polaryzacji  $OP$  (prostopadła do  $Ox$ ) ulegnie skręceniu o kąt  $\delta/2$  w kierunku prędkiej rozchodzącego się drgania a więc, jak w naszym przykładzie, w prawo. Kierunek skręcenia będzie zatem zgodny z kierunkiem drgania rozchodzącego się prędkiej. Jeżeli założenia te są słuszne, to obserwując źródło światła spolaryzowanego prostoliniowo przez pryzmat kwarcowy wycięty w ten sposób, aby promień, padający pod kątem najmniejszego odchylenia biegł wzdłuż osi optycznej, powinniśmy widzieć dwa obrazy osobno. Wymagałoby to jednak bardzo dokładnych narzędzi obserwacyjnych, gdyż różnica współczynników załamania, którą można obliczyć ze wzoru (3a), jest bardzo mała. Tak np. dla kwarcu, skręcającego w warstwie o grubości 1 mm prostoliniowo spolaryzowane drgania żółtej linii sodu o  $21,73^\circ$  (dokładnie  $21,728^\circ$  według Schönrocha, 1910 r.), mamy

$$n' - n'' = \frac{e\lambda}{\pi \cdot l} = \frac{21,73^\circ \cdot 0,589}{180 \cdot 1000} = 0,000\ 071,$$

czemu odpowiada w pryzmacie o kącie łamiącym  $60^\circ$  różnica kątów odchylenia danych rodzajów drgań równa mniej więcej  $23''$ .

Ze wzoru na odchylenie promieni w pryzmacie (p. rozdz. II, ust. 4 wz. 6a)

$$n = \frac{\sin \frac{\delta + \varphi}{2}}{\sin \frac{\varphi}{2}}$$

gdzie  $\delta$  oznacza tym razem kąt najmniejszego odchylenia, otrzymujemy

$$dn \cdot \sin \frac{\varphi}{2} = \frac{1}{2} \cos \frac{\delta + \varphi}{2} d\delta.$$



Dla promieni żółtych sodu biegnących równolegle do podstawy pryzmatu a więc w przypadku minimum odchylenia pryzmatu o kącie łamiącym  $60^\circ$ ,  $n$  wynosi w kwarcu 1,544

skąd

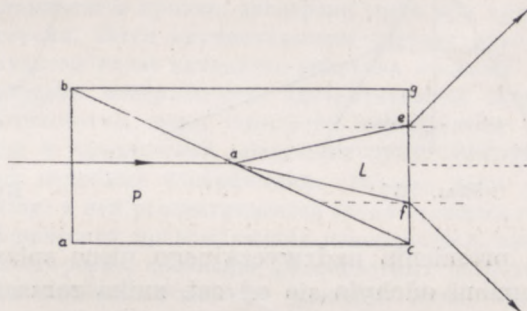
$$\frac{\delta + \varphi}{2} = 50^\circ 32'$$

$$d\delta = 1,57 dn$$

$$1,57 dn = 1,57 \cdot 0,000\ 071 \approx 0,000\ 11 \approx 23''.$$

Fresnelowi udało się jednak wykazać bezpośrednio to rozszczepienie przy użyciu dwóch sklejonych wzdłuż przeciwprostokątnych prostokątnych pryzmatów kwarcowych, jeden z nich skręca w prawo, drugi w lewo (rys. 356).

W pierwszym pryzmacie promień padający rozszczepia się na dwa: o większym i o mniejszym współczynniku załamania. W pryzmacie



Rys. 356

*b'c'* pierwszy z tych promieni ma współczynnik załamania mniejszy niż w pryzmacie *abc*, wobec czego wchodząc do pryzmatu drugiego, przybliża się do normalnej, biegnąc wzdłuż *de*, promień drugi ma współczynnik załamania większy, przy załamaniu więc odchyła się od normalnej, biegnąc wzdłuż *df*. Przy wyjściu do powietrza, w którym oba promienie mają mniejsze współczynniki załamania, niż w kwarcu, odchylają się od normalnych zwiększając tym samym kąt, jaki tworzą ich kierunki. Patrząc przez taki pryzmat na oddalone źródło światła, widzimy dwa obrazy. Rozpatrując je przez analizator kołowy (p. rozdz. X, ust. 9), stwierdzimy, że jeden z nich utworzony jest przez promienie spolaryzowane kołowo w prawo, drugi przez promienie spolaryzowane kołowo w lewo.

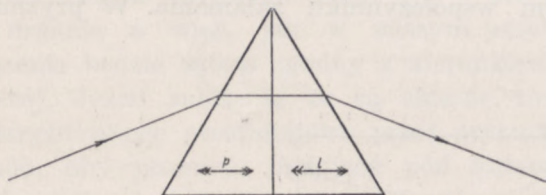
To rozszczepienie się promienia biegnącego wzdłuż osi optycznej, zakłóca pomiary w spektroskopach o pryzmatach kwarcowych, używanych przy badaniu nadfioletowych części widma. Dlatego też przy pomiarach dokładnych używa się zazwyczaj pryzmatu Cornu, złożonego



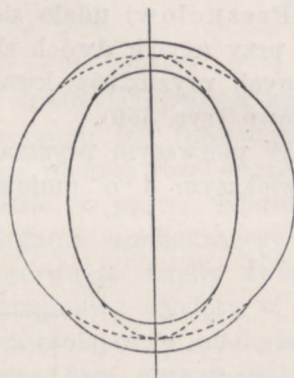
z dwóch prostokątnych pryzmatów kwarcowych, z których jeden skręca w prawo, drugi w lewo. Pryzmaty te są sklejone wzdłuż przyprostokątnych (rys. 357). Różnica dróg optycznych promieni biegnących wzdłuż osi, nabyta w pryzmacie pierwszym, wyrównuje się w pryzmacie drugim.

Stąd wynika, że ściśle biorąc, żadna z fal w czynnym kryształach jednoosiowym nie jest kołowa i że powierzchnie falowe promieni zwyczajnych i nadzwyczajnych nie stykają się ze sobą na osi optycznej kryształu. Mają one raczej kształt taki, jaki w znacznie przesadny sposób wyobraża rys. 358.

Powierzchnia falowa promienia zwyczajnego jest w danym przypadku nieco wydęta



Rys. 357



Rys. 358

w kierunku osi, promienia nadzwyczajnego nieco spłaszczone. Gdy kierunek biegu promieni odchyła się od osi, znika rozszczepienie na dwa kołowo spolaryzowane promienie i występuje zwykle załamanie podwójne.

W kryształach układu sześciennego regularnych (równokierunkowych) obie powierzchnie falowe mają kształt kul o bardzo mało różniącym się promieniu.



## ОПТИКА

## РЕЗЮМЕ

Монографический курс классической оптики состоит из двух частей: геометрической оптики и физической оптики.

В первой главе автор рассматривает распространение света, фотометрию и измерения скорости света, во второй главе отражение и преломление световых лучей, принцип Ферма, положение Малюса, общие условия возникновения изображений. Предметом третьей главы служит отражение и преломление лучей на плоских поверхностях и, стало быть, возникновение изображений в плоском зеркале, преломление на плоской поверхности, преломление в плоско-параллельной пластинке, преломление в призме, дисперсия света при прохождении призмы и аномальная дисперсия, затем ахроматическая система призм и система прямого зрения. В четвертой главе находится описание явлений отражения и преломления на сферических поверхностях, центрированной системы сферических преломляющих поверхностей, линз, опытного определения фокусных расстояний, хроматической и сферической аберраций линз, условий получения четких и геометрически подобных изображений, наконец, роли диафрагмы. Пятая глава посвящена глазу: в ней рассматривается схема строения глаза, как системы центрированных сферических преломляющих поверхностей, аккомодация и поле зрения глаза, цветное зрение, сравнение разноцветных источников света. Предметом шестой главы служат оптические приборы: лупа, микроскоп, телескоп (рефрактор и рефлектор), фотографический аппарат и проекционный аппарат. Шестая глава заканчивает геометрическую оптику. В седьмой главе автор рассматривает периодичность световых явлений и интерференцию света. Предметом этой главы служат: зеркало Френеля, оптически когерентные возмущения, перемена фазы при отражении, бипризма Френеля, билинза Бийе, плоскопараллельные пластинки, кривые равного наклона, пластинки с переменной толщиной, кривые равной толщины, кольца Ньютона, полосы Брюстера, интерференционный рефрактометр Жамена, псевдооднородный свет, интерферометр Перо и Фабри, интерференционная спектроскопия, интерферометр Майкельсона и измерение длины световой волны. Глава восьмая посвящена вопросу диффракции света, здесь помещено применение принципа Гюйгенса-Френеля к световым явлениям, явления диффракции в точках, не лежащих на оси, спираль Корню, диффракция от прямолинейного края, диффракция от узкой щели, диффракция от краев очень узкой диафрагмы, диффракция от двух параллельных щелей, полосы Юнга, световое изображение в плоскости, сопряженной с источником света, роль кругового отверстия или диафрагмы, прямоугольных отверстий, затем разрешающая сила оптических систем, разрешающая сила прямоугольной диффракционной щели, дисперсия призмы, диффракционной решетки, возникновение диффракционных спектров: измерение длины световой волны, ступенчатый спектроскоп, изображение в микроскопе освещенных предметов. В девятой главе рассматривается поляризация света, явление стоячих волн, связь между световыми явлениями и электромагнитными колебаниями, электромагнитная теория света; отражение и преломление на проводящих поверхностях. Пред-



метод десятой главы служит распространение света в анизотропной среде, стало быть, в одноосных кристаллах (эллипсоид Коши) и двuosных кристаллах, затем внутренняя и внешняя коническая рефракция, плеохроизм, прохождение света через пластинку, вырезанную из кристалла (пластинка в одну волну или в половину волны), компенсаторы (Браве и Бабине), анализ световых колебаний, хроматическая поляризация. В одиннадцатой главе описано явление двойного лучепреломления, вызванного деформациями, электрическое двойное лучепреломление (электрооптическое явление Керра) и магнитное двойное лучепреломление; далее автор переходит к вращательной поляризации.

Монография обращает внимание на историческое развитие исследований и заключает обширный материал относящийся к числовому анализу явлений и возможных вариантов осуществления опытов и составления приборов.



## OPTIQUE

## RÉSUMÉ

Le cours monographique de l'optique classique se compose de deux parties: de l'optique géométrique et de l'optique physique.

Dans le premier chapitre l'auteur discute la propagation de la lumière, la photométrie et les mesures de vitesse de la lumière, dans le deuxième la réflexion et la réfraction des rayons lumineux, le principe de Fermat, la loi de Malus, les conditions générales de la formation des images. Le troisième chapitre comprend la réflexion et la réfraction des rayons sur les surfaces planes, c'est à dire la production des images dans le miroir plan, la réfraction sur une surface plane, la réfraction dans une lame à faces parallèles, la réfraction dans le prisme, la dispersion de la lumière par un prisme et la dispersion anormale, puis le système achromatique des prismes et le système à vision directe. Dans le quatrième chapitre nous avons la description du phénomène de la réflexion et de la réfraction des rayons sur les surfaces sphériques, du système axial des surfaces sphériques réfringentes des lentilles, de la détermination expérimentale des distances focales, de l'aberration chromatique et de l'aberration sphérique des lentilles, des conditions pour obtenir des images exactes et géométriquement semblables, enfin du rôle des diaphragmes. Le cinquième chapitre est consacré à l'oeil; on y parle du schéma de la construction de l'oeil, comme d'un système axial des surfaces sphériques réfringentes, de l'accommodation et du champ de vision, de la vision des couleurs, de la comparaison des sources de la lumière des différentes couleurs. Les instruments optiques constituent l'objet du sixième chapitre; on y trouve la loupe, le microscope, les télescopes (réfracteurs et réflecteurs), les appareils photographiques et les appareils à projection. Le sixième chapitre termine l'optique géométrique. Dans le septième l'auteur discute la périodicité des phénomènes lumineux et l'interférence de la lumière. L'objet de ce chapitre c'est donc le miroir de Fresnel, les perturbations optiques cohérentes, le changement de phase par réflexion, le biprisme de Fresnel, la bidentille de Billet, les lames planes à faces parallèles, les courbes de l'inclinaison constante, les lames à l'épaisseur variable, les courbes de l'épaisseur constante, les anneaux de Newton, les franges de Brewster, le réfractomètre interférentiel de Jamin, la lumière en apparence homogène, l'interférométrie de Pérot et Fabry, la spectroscopie interférentielle, l'interféromètre de Michelson, la mesure de la longueur des ondes lumineuses. Le huitième chapitre est consacré à la question de la diffraction de la lumière; nous y avons donc l'application du principe d'Huygens-Fresnel aux phénomènes lumineux, le phénomène de la diffraction dans les points ne se trouvant pas sur l'axe, la spirale de Cornu, la diffraction par le bord rectiligne, la diffraction dans une fente étroite, la diffraction par les bords d'un écran très étroit, la diffraction par deux fentes parallèles, les franges de Young, l'image lumineuse dans le plan couplé avec la source de la lumière, le rôle des ouvertures ou des écrans circulaires et ouvertures rectangulaires, ensuite le pouvoir séparateur des systèmes optiques, le pouvoir séparateur d'une fente rectangulaire, le pouvoir séparateur d'un prisme, d'un réseau de diffraction, la formation des spectres de diffraction, la mesure de la longueur d'onde, le spectroscopie à échelons, les images microscopiques des objets



éclairés. Dans le neuvième chapitre il est question de la polarisation de la lumière, du phénomène des ondes stationnaires, de la liaison entre les phénomènes lumineux et les vibrations électromagnétiques, la théorie électromagnétique de la lumière, la réflexion et la réfraction sur les surfaces conductrices. L'objet du dixième chapitre c'est la propagation de la lumière dans les milieux anisotropes, c'est à dire dans les cristaux uniaxes (l'ellipsoïde de Cauchy) et dans les cristaux biaxes, puis la réfraction conique intérieure et extérieure, le pléochroïsme, le passage de la lumière par une lame taillée dans un cristal (lame onde et lame demi-onde), les compensateurs (de Bravais et de Babinet), l'analyse des vibrations lumineuses, la polarisation chromatique. Dans le onzième chapitre nous avons la description de la biréfringence produite par déformation, de la biréfringence électrique (le phénomène de Kerr) et de la biréfringence magnétique; à la suite l'auteur s'occupe de la polarisation rotatoire.

La monographie tient compte du développement historique des recherches et contient un vaste matériel détaillé concernant l'analyse mathématique des phénomènes et des variants possibles de la réalisation des expériences et du montage des instruments.



## SKOROWIDZ

- Abbe'go twierdzenie sinusów 140—143
- Aberacja chromatyczna 128; a. główna 137; a. podłużna 94; a. poprzeczna główna 95; a. sferyczna (poprzeczna i podłużna) 134; 135; a. sferyczna — warunek otrzymania minimum aberacji sferycznej dla soczewki dwuwypukłej 139—140; — a. s. — krzywe dla obiektów Chevaliera i Merté'go 192; a. s. — warunek Abbe'go 140—143; a-i s-ej charakterystyka graficzna 138
- Achromatyczne izochromaty 477; a-y prążek interferencyjny 244; 470; a-y układ pryzmatów 78; achromatyzmu warunek dla dwóch rodzajów promieni 131
- Akomodacja oka 158
- Albedo — białosć 7
- Amplituda drgań świetlnych — zmienność a-y, przesuwanie się maksimum a-y 200—201, 211; a. przeciętna 211; a-y zaburzeń wysyłanych przez poszczególne strefy powierzchni falowej 274—278; a. wypadkowa 275—278; 280—282; 285; obliczenie a-y w-ej: p. spirala Cornu; a. z-a wysyłanego przez otwór prostokątny 334; 339; 343 a. z. dla siatki dyfrakcyjnej 348—351; 356—357; a. składowa — przeciętna wartość a-y s-ej 386; a. wypadkowa drgań świetlnych spolaryzowanych 384—386; a. zaburzeń rozchodzących się w metalu 418
- Amplituda i natężenie promieni odbitych i załamanych na powierzchni ciała przezroczystych wiązki równoległej promieni spolaryzowanych w płaszczyźnie padania 401—407; spolaryzowanych w płaszczyźnie prostopadłej do płaszczyzny padania 407—410; spolaryzowanych w płaszczyźnie tworzącej dowolny kąt z płaszczyzną padania 410—411; niespolaryzowanych (wiązka drgań naturalnych) 411—414; natężenie światła przechodzącego przez warstewki metalu 419; natężenie światła odbitego od powierzchni metalowej 420
- Anaberacyjne punkty 97, 134
- Analiza drgań świetlnych: rozpoznanie światła naturalnego i spolaryzowanego kołowo 470—472; eliptycznie i prostoliniowo 472—474
- Analizator 377; a. kołowy 472
- Anastygmaty 144
- Anastygmatyzm czysty 144
- Aparaty fotograficzne 190
- Apertura numeryczna 142; 331—332
- Aplanatyczny punkt 141
- Apochromaty 132
- Arago prawo 412—413
- Aragonit 451
- Astronomiczna luneta 184; zdolność rozpoznawcza a-ej l-y 329—330
- Astygmatyczna powierzchnia 50, 96, 134
- Astygmatyzm czysty 144; a-u krzywe dla obiektów Chevaliera i Merté'go 192; a. osiowy (oka ludzkiego) 158; a. powierzchni łamiącej 53
- Azymut główny przywróconej polaryzacji 417; wartości 420
- Babineta twierdzenie 315; 327
- Bacilli (pręciki) 152
- Balsam kanadyjski 381
- Barwy czyste 66; przyrząd do zjawiska mieszania barw 164—165; b-y dopełniające 165, 475; b-y — wrażliwość oka ludzkiego na widzenie barw



- 168—169; zmiana wrażliwości w zależności od oświetlenia 169; b-a światła słonecznego; b. żarówki; b. palnika Auera; b. łuku elektrycznego; b. światła Moore'a 170; b-y interferencyjne 244; skala barw Newtona 249—250; 475; b-y i-e przy wyżarzaniu stali 251; b-y przy odbiciu od cienkich płytek 249—251; b. czoła 250; b-y metali (zależność zdolności odbijającej metalu od długości fali światła) 421—423; b-y podstawowe 454; b-y płytek kryształicznych 474—476; różnica między b-mi p. k. i -b-ami przy odbiciu od cienkich płytek 476
- Bessela metoda pomiaru odległości ogniskowych 125
- Bezbarwny (achromatyczny) prążek interferencyjny 244
- Bezogniskowy układ 123; 185
- Bezwzględne powiększenie lupy 75
- Białkówka 152
- Biegun fali 273
- Biel rzędu wyższego 245; 475
- Blask 5; b. słońca 13; b. węglowej lampy łukowej 13; b. lampy naftowej 13; B. obrazu — stosunek do blasku przedmiotu 150
- Bolometr 13; 394
- Całki Fresnela 293
- Camera lucida 82; c. obscura (ciemnia optyczna) 4
- Chromatyczny układ optyczny 58
- Chromatyzm płytki równoległościennej 59
- Ciała oświetlone 1; c. świecące 1; c. nieprzezroczyste 1; c. przeświecające 7; c. rozpraszające 7; c. białe 8; c. barwne 8; c. szare 8; c-a optycznie czynne 487; c. opt. cz. lewe i prawe 488
- Ciecz przezroczysta oka (humor vitraeus) 152; c. wodnista oka (humor aquaeus) 152
- Cień 2
- Cornu metoda pomiaru odległości ogniskowych 126
- Częstość krytyczna mieszania barw 171
- Czopki (coni) 153; zmiana działalności czopków i pręcików 169
- Cwierćfalówka 462; 470
- Dalekowidztwo 160
- Dekaluks 12, 13
- Depolaryzacja 415, 417
- Descartes'a prawa 28
- Diafragma 91; d-y rola przy powstawaniu obrazu 146—149
- Diakaustyka 50, 52, 96
- Diaspor 454
- Dioptria 117
- Dioptryczny układ 42
- Dowella konstrukcja 106
- Drgania elektromagnetyczne 393, wytwarzanie d. e-ch o częstości rzędu częstości promieniowania podczerwonego 395; selekcyjne pochłanianie d. e. 399
- Drgania świetlne — poprzeczny kierunek d. św-ch 385; podobieństwo między d-mi św-mi i poprzecznymi drganiami sprężystymi 387—388
- Drobnowidz 179
- Droga optyczna promienia 32; różnica d. o-ej w zjawisku interferencji 207—208
- Dwójłomność 379; 427; d. wymuszona 479; d. w. dodatnia i ujemna 480; d. w. przez drgania podłużne 480; d. w. na skutek napięć wewnętrznych 480; d. elektryczna 481; d. el. gazów 482; pomiary czasu zanikania d. e-ej 484—486; d. magnetyczna 485
- Dwuprzyzmat Fresnela 216
- Dychroiczne kryształy 454
- Dyfrakcyjny obraz dla bardzo wąskiej przesłony 195; d. o. 285; d. o. dla otworu kołowego 289; d. o dla przesłony kołowej 289; rozkład oświetleń o-u d-go przy różnych krawędziach przesłony 299; d. o dla przesłony o krawędzi prostoliniowej 299; d. o. dla wąskiej szczeliny 308; d. o. dla dwóch równoległych szczelin 316; d. o. w płaszczyźnie sprzężonej ze źródłem światła 317; d. o. punktu świecącego przy użyciu układu zbierającego dla pojedynczego otworu kołowego 318—324; dla dwóch otworów kołowych 325—327; dla wielu otworów przesłony 327; d. o. otworu prostokątnego 332—344



- Dyspersja anomalna 76; d. a. w metalach 77; d. a. w zabarwionych parach 77; d. względna 79; d. gazów — wyznaczenie d. g-ów 241—243; d-i teoria 399—400; d. osi optycznych 478;
- Dystorsja 144
- Elektromagnetyczna teoria światła 393; e. t. św. i sprężysta teoria światła Fresnela 401
- Elektrooptyczne zjawisko Kerra 481
- Elektrostrykcja 482, 483
- Elementy sprzężone 92
- Elipsa lewoskrętna i prawoskrętna (kryształiczna płytka płasko-równoległa) 460—462
- Elipsoida stałych faz 205—206; e. zaburzeń nadzwyczajnych 429—430; e. prędkości promieni (elipsoida Fresnela) 447—451; e. współczynników (elipsoida Cauchy'ego) 439, 445—446
- Eliptyczność drgania 461
- Emisyjna teoria światła 1
- Emmetropia 159
- Energia światła — e. św-a a wrażliwość oka na daną część widma 168; e. św-a a subiektywny pomiar fotometryczny 172—173
- Energia elektromagnetyczna 396
- Epidiaskop 194
- Eter 401
- Fala — f-i świetlnej długość 197; f-i biegun 273; f-e cząstkowe 279; 430—432; f-e świetlne stojące 388—392
- Falowa teoria światła 1; 198
- Faza początkowa zaburzenia świetlnego 197; f. zaburzeń — warunek zgodności f. z. 199; różnica faz początkowych i spójność promieni 211—212; zmiany f. z. przy odbiciu 216; 390; zmiana fazy przy przejściu przez ognisko 220, 280; z-a f-y przy przejściu od punktu bliskiego do punktu odległego od źródła 279; f-y zaburzeń wysyłanych przez poszczególne strefy powierzchni falowej 274; 277—281; faz różnica w świetle spolaryzowanym eliptycznie 415; kołowo 416
- Filtry o pochłanianiu selekcyjnym 173
- Fizeau metoda koła zębatego 16—20; F. układ optyczny służący do obserwowania pierścieni Newtona 233—234
- Fokometria 125; fokometryczne pomiary 125
- Fot 12
- Fotoelektryczna komórka — czułość na różne części widma 172—173
- Fotoelektryczne zjawisko — badanie stojących fal świetlnych za pomocą f. z. 390
- Fotografia trójbarwna 167
- Fotograficzne aparaty 190
- Fotometr Bougera 9; f. Bunsena 9; Lummera i Brodhuna 9; f. kontrastowy 10; f. polaryzacyjny 10; f. kulisty Ulbrichta 11; f. Ives'a i Brady'ego 171; f. Lummera i Pringsheima 171; f. Rooda 171; f. Pulfricha 172;
- Fotometria heterochromatyczna 169
- Fotometryczne pomiary 8; f. p. subiektywne i obiektywne 13; 172—173; f-a metoda stereoskopowa 171—172; regulowanie natężenia wiązki światła w f-yh p-ach za pomocą nikoli 383
- Foucaulta metoda mierzenia prędkości światła 20
- Fraunhofer'a linie w widmie słonecznym 66—67; 70—74; zjawiska dyfrakcji 318
- Fresnela grupa zjawisk 315; wzory na stosunek natężeń światła odbitego i załamane do padającego 405—407; 410—413; F-a układ pryzmatów do wytwarzania dwójłomności wymuszonej 480
- Gałka oczna 152
- Głębia pola widzenia oka ludzkiego 161; g. p. w. aparatu fotograficznego 190
- Gwiazdy — odległość kątowna g-d podwójnych; średnica kątowna g-d 214—215
- Helmholtza przyrząd 164
- Heterochromatyczna fotometria 169
- Hiperboloida stałych amplitud 204—206



- Homocentryczna wiązka 89  
 Hypermetropia (dalekowidztwo) 160  
 Immersyjny układ 181; 331—332; 374  
 Interferencja światła 195; i. promieni 197; i. otrzymana za pomocą zwierciadła Fresnela 202—206; i-i obszar hiperboloida stałych amplitud i elipsoida stałych faz 204—206; i-i rząd 222; i. promieni o niewiele różniących się długościach fali 251—264; i. p-i spolaryzowanych 383; nieinterferowanie promieni wychodzących z różnych źródeł 244  
 Interferencyjne barwy 244; i. b-y przy wyżarzaniu stali 251  
 Interferometr Pérota i Fabry'ego 262—264; i. Michelsona 264—271  
 Interwał optyczny 113  
 Iris (tęczówka) 152  
 Iryzacja 250  
 Izochromaty 476; i. achromatyczne 477  
 Izogeniczne promienie 36  
 Jasność 7; j. przedmiotu świecącego 7; j. obrazów 149; porównywanie j-ci powierzchni oświetlanych światłem różnobarwnym 169—173; j. obrazu — w lupie 178; w mikroskopie 182—183; w teleskopie 186—187; w lunecie Galileusza 189; j. widma pryzmatu i siatki dyfrakcyjnej 368  
 Jednostka blasku 12; j. natężenia źródła światła 12; j. oświetlenia 12; j. Violle'a 12; j. strumienia świetlnego 12; j. rozbieżności i zbieżności wiązki 117  
 Kadmu czerwona linia (bez satelitów) 264; 266; 270—271; porównanie cz. l-i i k-u ze wzorcem metrowym 271  
 Kardynalne punkty układu 109  
 Katakaustyczna powierzchnia 87—88  
 Kaustyczna powierzchnia 52, 87  
 Kąt padania 25; k. odbicia 25; k. załamania 27; k. graniczny 30—32; k. łamiący pryzmatu 60; k. najmniejszego odchylenia (dla pryzmatu) 62—64; 428; (dla siatki dyfrakcyjnej) 364; k. obrazu 148; k. rzutu 148; k. widzenia układu 148; k. całkowitej polaryzacji (k. Brewstera) 378, 409; k. największej polaryzacji (główny kąt padania) 417; główny azymut przywróconej polaryzacji 417; wartości 420  
 Kątowe powiększenie 103  
 Kerra komórka 20; 485; K-a zjawisko elektrooptyczne 481; K-a stała 482—486  
 Kirchoffa prawo 425  
 Kolimator 67  
 Koło lewoskrętne i prawoskrętne (p. elipsa l. i p.)  
 Koło oczne 149  
 Koło najmniejszego rozproszenia 94, 144; k. najmniejszej aberacji chromaticznej 129  
 Koma 144  
 Komora przejrzysta 82  
 Komórka Kerra 20; 485; k. fotoelektryczna — czułość na różne części widma 172—173  
 Kompensatory 463; k. Bravais'go (k. o barwach jednostajnych) 463—468; 475; k. Babineta 468—470  
 Kondensator 374  
 Konstrukcja Descartes'a 61; k. Weierstrassa 97; k. Dowella 106; k. Newtona 244—246; k. Fresnela 274; 287; k. Huygensa 430—433; k. Cauchy'ego: dla kryształów jednoosiowych 439—441; k. C-go dla kryształów dwuosiowych 444—447  
 Kordieryt 454  
 Kostka Wollastona (camera lucida — komora przejrzysta) 82  
 Krawędzie łamiące pryzmatu 59  
 Kriesa teoria 169  
 Krótkowidztwo (miopia) 159  
 Krytalograficzne rodzaje i układy 427  
 Kryształy jednoosiowe 380; 427; 428; k-y dwuosiowe 427; k-y równokierunkowe 427; k-y dodatnie 437; 446; k-y ujemne 437; 446; k-y dychroiczne 454; k-y trychroiczne 454; k-y sztuczne 455-456



- Krzywe jednakowego nachylenia 222;  
k. j. n. w świetle białym lub niejednorodnym 248; k. j.-ej grubości 230  
Kwarc lewy 487; kw. prawy 487
- Lagrange'a wzór 103, 104, 110, 149  
Lamberta prawo 6  
Lampa Vernon-Harcourta 12  
Lens cristallina (soczewka oczna) 152  
Liczba okularu (mikroskopu) 180  
Linie Fraunhofer'a 66—67; 70—74  
Linie obojętne krystalicznej płytki płasko-równoległej 457; l-e jednakowego zabarwienia (izochromaty) 476; l-e achromatyczne (achromatyczne izochromaty) 477  
Linie widzenia oczu 162  
Lornetka 189  
Lornety pryzmatyczne 190  
Luks 12  
Lumen międzynarodowy 12  
Lunety 184; l-a astronomiczna 184; zdolność rozpoznawcza l-y a-ej 329—330; l. ziemską 184; l. Galileusza 189  
Lupa 175; l-y moc optyczna 176; l-y powiększenie subiektywne 177; l. Stanhope'a 178; l. Wollastona 178; l. Fresnela 210
- Magnetoptyczne zjawisko 485  
Maksima główne i maksima wtórne (siatki dyfrakcyjne) 349; (s. d. wklęsłe) 365—366;  
Malusa twierdzenie 35; 38; 198; 211;  
M-a prawo 377, 383  
Maxwella teoria 167  
Metoda najmniejszego odchylenia (dla pryzmatu) 62—64; (dla siatki dyfrakcyjnej) 364; m. n. o. dla wyznaczania głównych współczynników załamania w kryształach dwuosiowych 451; m. n. o. dla badania rozszczepienia obrazu w zjawisku polaryzacji obrotowej pryzmatu kwarcowego 490  
Michelsona metoda mierzenia prędkości światła 23; M-a pomiary prędkości światła 202  
Migotanie — fotometryczna metoda migotania 170—171  
Mikrofotografia 374  
Mikroskop prosty 175; m. złożony 179; m-u powiększenie bezwzględne i subiektywne 180; m-u p. maksymalne 184; m-u zdolność rozpoznawcza 184; m. polaryzacyjny 476  
Milifot — 12  
Miopia (krótkowidztwo) 159  
Moc optyczna lupy 176  
Monochromator 82  
Monochromatyczne źródło 198  
Moore'a światło 170
- Naczyniówka oka (chorioidea) 152  
Nadfioletkowa część widma 394  
Nadwyżka ułamkowa (przesunięcie środkowego prążka interferencyjnego) 269  
Nadwyżki drgań spolaryzowanych w promieniach odbitych i załamanych 412  
Napięcia sprężyste w ciałach przezroczystych — wyznaczanie rozkładu n-ć s-yh na podstawie dwójłomności wymuszonej 480—481  
Narzędzia optyczne 174  
Nateżenie światła 5; n. kuliste 11; n. półkuliste 11; n. przeciętne 11; n. barwy mieszanej 171; n. św. przeciętne 211; n. promieni interferujących odbitych wielokrotnie i przechodzących 257—261; rozkład nateżeń 254; 260—262; n. wiązki odbitej (prawo Malusa) 377; n. światła odbitego w zjawisku fal stojących 391; n. św-a odbitego na powierzchni metalowej — p. amplituda i nateżenie promieni odbitych; nateżenie św-a odbitego na powierzchni ciał przezroczystych — p. amplituda i nateżenie promieni odbitych  
Newcomba metoda mierzenia prędkości światła 23  
Newtona metoda widm „skrzyżowanych“ 76; N-a wzór na odległości przedmiotu i obrazu 100, 110; N-a teleskop 188; N-a pierścienie 233—236; N-a pierścienie bardzo wysokich rzędów (doświadczenie Fizeau) 255—257  
Nieodchylający układ pryzmatów 78



- Nikol 165; 381; n-e równoległe i skrzyżowane 383; 475; 477—478
- Numeryczna apertura 142
- Obiektyw mikroskopu 179; o. Amici'ego 181; o. Chevaliera 191; o. Ch-a-krzywe aberacji sferycznej i astygmatyzmu 192; o. Wollastona 191; o. Merté'go 192; o. Rudolpha 192; o. Taylora 192
- Obraz rzeczywisty 38; o. katoptryczny 39; o. urojony 39; o. dyfrakcyjny dla bardzo wąskiej przesłony 195; o. d. 285; o. d. dla otworu kołowego i dla przesłony kołowej 289; o. d. dla przesłony o krawędzi prostoliniowej 299; o. d. dla wąskiej szczeliny 308; o. d. dla dwóch równoległych szczelin 316; o. d. w płaszczyźnie sprzężonej ze źródłem światła 317; o. d. punktu świecącego przy użyciu układu zbierającego dla pojedynczego otworu kołowego 318—324; dla dwóch otworów kołowych 325—327; dla wielu otworów przesłony 327; o. punktu w przyrządach optycznych 327—332; o. liniowy 332; o. dyfrakcyjny otworu prostokątnego 332—344; o. d. siatki dyfrakcyjnej 355; 360; o. d. siatki dyfrakcyjnej wklęsłej 366; o-y mikroskopowe przedmiotów oświetlonych (teoria Abbe'go) 371—374; podobieństwo między obrazem i przedmiotem 374; o. siatki dyfrakcyjnej umieszczonej pod mikroskopem 372—374; o. zwyczajny 380; o. nadzwyczajny 380
- Odbicie całkowite wewnętrzne 31; 190; 382; o. c. w. i polaryzacja eliptyczna 415
- Odbicie i załamanie promieni światła — prawa o. i z. 25—32; o. i z. promieni na powierzchniach kulistych 85; o. i z. na powierzchniach przewodzących 416; o. i z. na powierzchniach przezroczystych — p. amplituda i natężenie promieni odbitych; skęcenie płaszczyzny polaryzacji 411; nadwyżki drgań spolaryzowanych w promieniach odbitych i załamanych 412; przy przejściu ze środowiska optycznie gęstszego do rzadszego 415
- Odchylenie promieni od pierwotnego kierunku przez kolejne odbicie 48; o. p-i w pryzmatach o niewielkiej rozwartości 64
- Odległość wyraźnego (dokładnego) widzenia 159; 177; o. dioptryczna punktu (obrazu) 160—161; o. kątowna gwiazd podwójnych 214—215
- Odległości ogniskowe 100; o. o. soczewek — metoda pomiaru Bessela 125; Cornu 126; Mac Gillavry'ego 127; o. o-a — związek między o-ą o-ą i rodzajem światła dla soczewski pojedynczej i dla układu achromatycznego 131
- Ogniska główne 90; 107; o. rzeczywiste układu 90; o. urojone układu 90; o. przestrzeni obrazu 100; o. przestrzeni przedmiotu 100; o. główne siatki Soreta 288—289
- Ogniskowa radialna 52; 63; o. styczna 52, 63; o-e wiązki 52; 63; o-wa oka ludzkiego 157
- Ogniskowa płaszczyzna przedmiotu 100, 107—108; o-wa pł. przestrzeni obrazu 100; 107—108
- Oko 152; o. schematyczne 153; o. zredukowane 157; oka czułość na oświetlenie 12—13; oka oślepienie 13; oka zdolność rozpoznawcza (rozdzielcza) 161; 174; oka wrażliwość na widzenie barw 168—169; zmiana wrażliwości zależnie od oświetlenia 169
- Okresowość zjawisk świetlnych 195; o. przestrzenna 196
- Okular mikroskopu 179; liczba (siła) o-u m-u 180; o. ujemny 134; o. Huygensa 133—134; 182; 188; o. dodatni 134; o. Ramsdena 133—134; 188
- Optometr Badala 161
- Optyczny — o-ny interwał 113; o-ny odstęp 113; o-na rozwartości 142; 187; 331—332; o-ne narzędzia 174; o-ne zetknięcie 265;
- Optycznie spójne zaburzenia 202; 210; o. niespójne z-a 210; o-nie czynne ciała 487
- Optyka geometryczna 38
- Ortoskopii warunek 146; 181
- Ortoskopowy układ 45; 146
- Oscylator Hertza 395
- Osiowy układ kulistych powierzchni łamiących 105



- Ostrosłup ograniczony trzema ścianami  
łamiącymi — własności optyczne 83—  
84
- Ostrość widzenia 161
- Oś powierzchni łamiącej 49; oś główna  
86; oś układu 86; oś optyczna kry-  
ształu 380; 429; osie optyczne główne  
kryształu dwuosowego (binormale) 446;  
osie optyczne wtórne (biradialne) 449;  
rozszczipienie osi optycznych 478;  
zmiana położenia o. o-ej przy zmianie  
temperatury 478
- Oświetlenie powierzchni 6; o. p-ni  
przez księżyc 13; oświetlenie obrazu  
150; o. przerywane — metoda o-nia  
p-go 171; o. ekranu w zjawisku inter-  
ferencji 209
- Owal Descartes'a 42
- Paralaksa słońca 16
- Penin 454
- Pentanowa lampa Vernon-Harcourta 12
- Perspektywy (lunety ziemskie) 188
- Pierścienie Newtona 233—236; 476;  
p. N-a bardzo wysokich rzędów (do-  
świadczenie Fizeau) 255—257
- Plamka żółta 153
- Pleochroizm 453
- Plaszczyzna padania 26; p. załamania  
27; p. ogniska przestrzeni przedmiotu  
100; p. ogniskowa przedmiotu 100;  
107—108; p. ogniskowa przestrzeni  
obrazu 100; 107—108; p-y główne  
układu 107
- Plaszczyzna odniesienia (w interfero-  
metrze Michelsona) 268; p-a polary-  
zacji 377; p. p. promieni załamanych  
i odbitych 379; p-y p. promieni, które  
uległy podwójnemu załamaniu 379;  
p-y p. skrócenie 411; p. p. w środo-  
wiskach różnokierunkowych 444; p.  
przecięcia głównego kryształu 380; 439
- Płytką falowa, półfalowa, ćwierćfalowa  
462; p-i płaskie o ściankach równo-  
ległych 56—59; 220; p-a płasko rów-  
noległa wycięta z kryształu 456; linie  
obojętne i przecięcie główne płytki 457
- Podczerwona część widma 394; pasma  
pochlaniań w p. cz. w. dla kwarcu,  
soli kamiennej i sylwinu 399;
- Podłużna aberacja sferyczna 135
- Podłużne powiększenie liniowe 102
- Postawowe barwy widma 166
- Podwójna soczewka Billeta 219
- Podwójne załamanie w kryształach 379
- Polaroid 455
- Polaryzacja światła 376; p. św-a przez  
odbicie 376; p. św-a przez podwójne  
załamanie w kryształach 379; p. św-a  
przez zwykłe załamanie 412—413; p.  
prostoliniowa 377; eliptyczna 415;  
457; kołowa 416; rozpoznanie rodzaju  
polaryzacji 470—474; p. chromatyczna  
475; p. obrotowa 486
- Polaryzacyjny mikroskop 476
- Polaryzator 377; 454
- Pole widzenia układu 148; p. w. oka 158
- Pole zwierciadła 46
- Pomiar subiektywny i obiektywny 13
- Powierzchnia doskonale odbijająca;  
p. d. rozpraszająca 25; p. astygmatycz-  
na 50, 96; p. diakaustyczna 52; p.  
kaustyczna 52, 87; wierzchołek p-ni  
odbijającej 86; p. katakaustyczna 87—  
88; p. łamiące — kulisty układ osiowy  
p-i ł-ch 105
- Powierzchnia falowa 36; 198; p. f.  
promieni załamanych 51; strefy p-ni  
f-ej 273—274; działanie strefy biegu-  
nowej p-ni f-ej 277; strefy czynne  
i całkowite p-ni f-ej 284; p. f. zaburzeń  
zwycajnych i nadzwyczajnych 429—  
430; p. f. w kryształach dwuosowych  
449—451; powierzchnia falowa prom-  
ieni zwyczajnych i nadzwyczajnych  
w pryzmacie Cornu 492
- Powiększenie liniowe poprzeczne 92,  
101; p. kątowe 103; p. osiowe 103;  
p. bezwzględne lupy 175; p. b. mi-  
kroskopu 180; p. subiektywne lupy  
177; p. s. mikroskopu 180; p. mikrosko-  
pu 180; p. m-pu maksymalne 184;  
p. normalne 186
- Powłoka zwyrodniała 52
- Pólcień 3
- Półfalówka 462; 475
- Prążki interferencyjne — rozkład p-ów  
in-ch 208; p-ów i-nych zanikanie  
213—214; p-i Fresnela 211; 212;  
333; p-ki i-ne nie umiejscowione 208;



- p. i. „umiejscowione“ w nieskończoności 222; p-ki Brewstera 236; p-ek interferencyjny bezbarwny 244; 470; p-ki i-ne i dyfrakcyjne 314; 344; p-ki Younga 315—316; 344; p-ki Y-ga w nieskończoności 326; p-ki Wienera 388—392
- Presbiopia 159
- Pręciki (bacilli) 152; zmiana działaności pręcików i czopków 169
- Prędkość fazy 200—201; 423; p. grupy 200—201; 423; p. rozchodzenia się zaburzeń elektromagnetycznych 397—398; p. rozchodzenia się promieni zwyczajnych i nadzwyczajnych 429; 433—437; pr-ści główne — dwie p-ci gł. w kryształach jednoosiowych 429; trzy p-ci gł. w kryształach dwuosiowych 444; p-śe promienia (radialna) 433; p. rozchodzenia się fali (p. normalna w danym kierunku) 433
- Prędkość światła — pomiar p-i ś-a metodą Römera 14; metodą Fizeau (koła zębatego) 16—20; pomiar wykonany przez Perrotin'a 20; Karolusa i Mittelstaedta 20; Andersona 20; pomiar metodą komórki Kerra 20; metodą Foucault (zwierciadła wirującego) 20—24; metodą Newcomba 23; metodą Michelsona 23; p-ci ś-a wartość 24; p. ś. w wodzie i dwusiarczku węgla (sprawdzenie wzoru Gouy'a-Rayleigh'a) 202
- Projekcja episkopowa 194
- Projektory 194
- Promienie świetlne 2; p-e izogeniczne 36; p-e sprzężone 44; 92; p-ń środkowy 86; p-e nadzwyczajne 380; wyznaczenie współczynnika załamania p-i n-ch 428—429; prędkość rozchodzenia się p-i n-ch 429; (prędkość radialna) 433; p-nie zwyczajne 380; wyznaczenie współczynnika załamania p-ni zw-ch 428—429; prędkość rozchodzenia się p-ni zw-ch 429; 435; p-nie pozostające — metoda p-ni p-ych 423
- Promieniowanie ciemne 394; p. ciała doskonale czarne 425
- Pryzmat 59; p-u przecięcie główne 59, 63; p-u podstawa 60; wyznaczenie kierunku promienia załamane w pryzmacie 61; p. wydrążony 68; p-ów układ achromatyczny 78; nie odchyłający 78; p. odbijający 81; p. Amici'ego 82; p. Pellin-Broca (o stałym odchyleniu 82—83; p. Nicola 165; p. (podwójny) Fresnela 217; p. kwarcowy Fresnela do badania rozszczepienia światła w zjawisku polaryzacji obrotowej 491; p. normalny 346; p-u zdolność rozszczepiająca 346; p. Foucault 382; p. Glazebrooka 382; p. Prazmowskiego 382; p. P. Thomsona 382; p. kalcytowy 428; p-ów układ Fresnela do wytwarzania dwójłomności wymuszonej 480; p. kwarcowy Fresnela do badania rozszczepienia obrazu w zjawisku polaryzacji obrotowej 490; p. Cornu 491—492
- Pryzmatyczne lornety 190
- Przecięcie główne pryzmatu 59, 63; p. gł. krystalicznej płytki płaskorównoległej 457
- Przesłona (diagrama) 146; p. pola 148; p. p-a lupy i oka 177—178; p. p-a mikroskopu 182—183; p-ny dopełniające się geometrycznie (zjawiska Fresnela) 314—315
- Przeźroczystość przedmiotu 91; p. obrazu 91
- Przeźroczystość dla promieni podczerwonych i nadfioletowych 394; p. środowiska 407
- Pulfricha metoda stereoskopowa 171
- Punkty sprzężone 44; p-y anaberacyjne 97; p-y główne układu 107; p-y węzłowe 108; p-y kardynalne układu 109; p. aplanatyczny 141; p. oczny 149; p. najbliższy (punctum proximum) 159; 175; — zmiana położenia p-tu n-ego; p. najdalszy (punctum remotum) 159; 175; — zmiana położenia p-tu n-ego 159
- Pupilla (źrenica oka) 152
- Purkiniego zjawisko 169
- Refrakcja drobinowa 75
- Refraktometr Pulfricha i Abbego 68; r. interferencyjny Jamina 240—242
- Refraktor 188
- Retina (siatkówka) 152



- Rogówka oka (cornea) 152  
 Rooda metoda migotania 170  
 Römera metoda pomiaru prędkości światła 14  
 Rozbieżność wiązki 104  
 Rozpraszanie — współczynnik r-a — (albedo) 7; r. selekcyjne 8  
 Rozszczepienie całkowite 70; r. w szkle lekkim 70; r. w szkle ciężkim 70; r. w wodzie 70; r. częściowe 72; r. w gazach 74; r. anomalne 76; r. względne 79; r. osi optycznych 478  
 Rozwartość pryzmatu 60; r. optyczna 142; 187; 331—332; stosunek rozwartości układu optycznego 151; r. kątowna nikola 382; r. k. pryzmatu P. Thomsona 382; r. k. pryzmatu Foucault 382  
 Równoległością Fresnela 416  
 Rząd interferencji środka obrazu interferencyjnego 222
- Satelici linii głównej (interferencyjnej) 263  
 Selekcyjne pochłanianie drgań elektromagnetycznych 399  
 Siatka ogniskowa Soreta 286—287; s. o. dodatnia i ujemna 287; ognisko główne s-ki o-iej S-ta 288—289; s. Wooda 289  
 Siatki dyfrakcyjne 347; stała s-ki d-iej 348; s. d. odbijająca 354; s-ki d-e wklęsłe 365—366; s-ki d-iej zdolność rozszczepiająca 367—368; s-i Rowlanda 347; 352; wklęsłe 365; s. d. Michelsona 368  
 Siatkówka oka (retina) 7; 152  
 Siła świetlna układu 150; s. św. aparatu fotograficznego 193  
 Skala barw interferencyjnych (s. b. Newtona) 249—250; 475  
 Sklerotyka (białkówka) 152  
 Skręcenie (obrazu) 144; s. (dystorsja) beczkowate 145; s. poduszkowate 145; s. płaszczyzny polaryzacji 411  
 Soczewki 113; s-ki środek optyczny 114; s-i wypukło-wklęsłe 117; s-ki wklęsło-wypukłe 117; s-i płasko-wklęsłe 117; s-i płasko-wypukłe 117; s-i dwuwypukłe 117; s-a układem teleskopowym 121; s-ka oka (lens cristallina) 152; s-a przedmiotowa 179; s-a oczna mikroskopu 179; s-a odwracająca 188; s-a Billeta 219  
 Sól Seignette'a 478; 487  
 Spektrometr 68  
 Spektroskop interferencyjny Fabry i Pérot 262—264; s. schodkowy Michelsona 368—371  
 Spirala Cornu 291—292; 295; zastosowanie s-i C. do uginania na krawędzi prostoliniowej 297—301; zastosowanie do wąskiej szczeliny 304—309; zastosowanie do bardzo wąskiej przesłony 310—312  
 Stała dielektryczna i współczynnik załamania gazów 399—400; s. d. — zmienność wartości s. d. w kryształach jednoosiowych 442; s. Kerra 482—486; s. zjawiska Cottona i Moutona 486  
 Stereoskopowa różnica 163; s-a metoda fotometryczna Pulfricha 171—172  
 Stilb 12  
 Stos szklany 413  
 Stożek Lamberta 166  
 Stożkowe załamanie wewnętrzne 452; s. z. zewnętrzne 453  
 Strefy powierzchni falowej 273—274; działanie strefy biegunowej 277; strefy czynne i całkowite 284  
 Stroboskop 22  
 Strumień światła 5; s. św. — zależność s. św. od natężenia pola elektrycznego i magnetycznego 395—397  
 Stygmatyzm 38; 62; 99; 140; warunek s-u 38; 140—143; 181  
 Symetria optyczna i krystalograficzna 427  
 Synchroniczne źródła światła 203  
 Szczytce turmalinowe 476  
 Szkło flintowe Guinanda 30; 80; sz. f. Bontemps'a 30; sz. f. Rosette'a 346; 368; sz. koronowe Dollanda 80; s. St. Gobain 416  
 Szpat islandzki (kalcyt) 379—381; 453
- Średnica kątowna gwiazd 214—215  
 Środek optyczny soczewki 114  
 Środek perspektywy 148



- Środowisko optycznie rzadsze 30; śr. o. gęstsze 30
- Światło białe 31; św. niejednorodne 31; św. jednorodne — monochromatyczne 31; św. Moore'a 170; św. pozornie jednorodne 199—200; św. spolaryzowane prostoliniowo 377; eliptycznie 415; 457; kołowo 416; św. całkowicie spolaryzowane prostoliniowo 378; św. częściowo spolaryzowane 378; św. normalne 381; św. n. i spolaryzowane 385
- Świeca Carcela 12; św. dziesiąta 12; św. Hefnera-Altenecka 12; św. metrowa 12; św. międzynarodowa 12; św. nowa 12
- Talбота prawo 171
- Teleobiektyw 193
- Teleskopy 184; t. Scheinera 184; t. Newtona 188; t. odbijający 188;
- Teleskopowy układ 107
- Termometr oporowy (bolometr) 13
- Tessar 192
- Tęczówka oka (iris) 152
- Trychroiczne kryształy 454
- Turmalin 383; 454; t-e szczytce 476
- Tytanit 478
- Uginanie się światła 195; szczególnie przypadki p. dyfrakcyjny obraz
- Układ stygmatyczny 38; u. dioptryczny 42; u. ortoskopowy 45; u. chromatyczny 58; u. osiowy kulistych powierzchni łamiących 105; u. teleskopowy 107; u. bezogniskowy (teleskopowy) 123; u. ortoskopowy 146; u. immersyjny 181; u. optyczny Newtona 233; u. optyczny Fizeau 233—234; u. Arago 283
- Ultramikroskopowa obserwacja 374—375
- Undulacyjna teoria światła 198
- Urojone źródło światła 40
- Vernon-Harcourta lampa 12
- Violle'a jednostka 12
- Wektor świetlny 384; kierunek w-a św-go w promieniu spolaryzowanym 388; identyczność w-a św-go i wektora Fresnela 393; identyczność w-a św-go i wektora elektrycznego 395; w. św. w kryształach jednoosiowych, identyczność z wektorem  $\vec{D}$  444; w. św. w krystalicznej płycie płasko-równoległej 457
- Wektor Poyntinga (promieniowania) 397; w. natężenia pola elektrycznego i w. natężenia pola magnetycznego 395; w. zjawisku odbicia i załamania na powierzchni ciał przezroczystych wiązki równoległej promieni spolaryzowanych w płaszczyźnie padania 401—407; spolaryzowanych w płaszczyźnie prostopadłej do płaszczyzny padania 407—410; spolaryzowanych w płaszczyźnie tworzącej dowolny kąt z płaszczyzną padania 410—411; w kryształach jednoosiowych 442—444; w kryształach dwuosiowych 447—451
- Węzłowe punkty układu 108
- Wiązka homocentryczna 89; w-ki zbieżność i rozbieżność 104—105; w. czynna 146
- Widmo ciągle pryzmatyczne 65; w. liniowe pryzmatyczne 65; w. słońca 66; w. sodu 67; w. — metoda newtonowska widm „skrzyżowanych“ 76—77; w. wtórne 79; 132; w. prądkowane (spectre cannelé) 246; w. interferencyjne układu pryzmat-szczelina 246—248; w. dyfrakcyjne 360; w. d. i widmo pryzmatyczne 362—363; w-a wyższego rzędu interferencji (siatka dyfrakcyjna) 360—361; w-a pierwszej, drugiej i trzeciej klasy 360; w. normalne 362; 366; w. — część nadfioletowa i podczerwona 394; w. światła jednorodnego w podczerwieni 423
- Widzenie przedmiotów położonych pod wodą 52; w. starcze (presbiopia) 159; w. wyraźne 159; w. pośrednie 162; w. bezpośrednie (oglądanie) 162; w. barw 164; teoria fizjologiczna w-a b. Younga 167, 169; Helmholtza 167; psychologiczna Heringa 168, 169; teoria zmiany wrażliwości oka na w. barw Kriesa 169
- Wrażliwość oka ludzkiego na widzenie barw 168—169; 246; zmiana wrażli-



- wości zależnie od oświetlenia 169; w. o. l. na drganie elektromagnetyczne o określonej długości fali 393
- Współczynnik załamania 27; w. z. względny i bezwzględny 28; 199; w. z. — pomiar metodą de Chaulnes'a 69; w. z. w gazach 74; w. z. — zależność od gęstości ciała 75; 400; zależność od ciśnienia 75; zależność od temperatury 75, 76; w. z. mniejszy od jedności 77; w. z. i stała dielektryczna gazów 400—401; w. z. gazów — wyznaczanie w. z. g. 241—243; w. z. — zależność od długości fali (wzór Cauchy'ego) 346—347; powyższa zależność i położenie pasów absorpcyjnych 399—400; wzór Sellmeiera 399; wzór H. A. Lorentza 400; w. z. — zależność zdolności odbijającej od w-ka z-nia 406; zależność przezroczystości od w-ka z-nia 407; w. z. w metalach (wartości) 420; w. główny załamania 420; w. g. wygaszania 420; zależność w-ka z-nia w metalach od kąta padania 423—424; zależność w-ka z-nia w metalach od zdolności elektrycznej, przewodnictwa i okresu drgań świetlnych 424—426; w. — i. z. główne (kryształu jednoosiowego) 433; w. z. g. (kryształu dwuosiowego) 445; w. z. fali w danym kierunku 433; w. z. promieni zwyczajnych i nadzwyczajnych 428—429; 437; wartości 438
- Współczynnik odbicia 406
- Współczynnik przezroczystości 496
- Współczynnik rozpraszania — albedo — (białość) 7
- Współczynnik wygaszania (wykładnik absorpcji) 419; w. w. w kryształach (główne w. w.) 455
- Współczynnik wzmocnienia światła 194
- Wygięcie pola obrazu 144
- Zaburzenia optycznie spójne 202, 210; z. o. niespójne 210; z. o. elementarne 272—273
- Załamanie i odbicie promieni światła — prawa z. i o. 25—32; z. na powierzchni kulistej 95; z. stożkowe wewnętrzne 452; z. s. zewnętrzne 453
- Zasada Fermata 32—35; z. Huygensa Fresnela 272—273; konsekwencje z-dy H. F. przy przesłonięciu kołobiegowej strefy powierzchni falowej 286
- Zdolność zbierająca soczewki 117
- Zdolność rozszczepiająca pryzmatu 346; 368; z. r. siatki dyfrakcyjnej 367—368; z. r. spektroskopu schodkowego 370
- Zdolność rozpoznawcza oka 161; 174; 330; z. r. przyrządu optycznego 329; z. r. mikroskopu 184; dla punktów świecących (promieni niespójnych) 331—332; dla przedmiotów oświetlonych (promienie spójne) 371; z. r. lunety 329—330; z. r. prostokątnej szczeliny uginającej 344—345
- Zdolność magnetyczna środowisk ferromagnetycznych dla drgań o dużej częstotliwości 397—398:
- Zdolność elektryczna środowiska — zależność z-ci e-ej s. od gęstości 400
- Zdolność odbijająca 406; z. o. metalu 421; zależność z-ci o-ej metalu od długości fali (zabarwienie metali) 421—423; z. o. metalu w podczerwieni 426; z. pochłaniająca metalu 425; w podczerwieni 426
- Zmiana fazy — p. Faza
- Zwierciadło wirujące 20; z-a pole 46; z-a Fresnela 202; 312; z. F. w świetle spolaryzowanym 383
- Żelazo Bravais'go 486
- Żrenica oka (pupilla) 7, 152; źr. pierwsza wejściowa (układu) 147; źr. druga, wyjściowa (układu) 147
- Źródło światła urojone 40; źr. monochromatyczne 198; źr-a synchroniczne światła 203; źr-a pochodne światła 273



## SPIS NAZWISK

- Abbe — warunek sinusów 140—143; powiększenie bezwzględne lupy 175; teoria obrazów mikroskopowych przedmiotów oświetlonych 371—374
- Abbe i Littrow — spektrometryczny pomiar współczynnika załamania 68
- Abbe i Pulfrich — refraktometr 68
- Abney — fotografia podczerwonej części widma słonecznego 394
- Abraham i Lemoine — pomiar czasu zanikania działania elektrooptycznego 484
- Agafonow — pleochroizm w nadfioletowej części widma 453
- Airy — warunek układu ortoskopowego 146; rozkład natężeń prążków interferencyjnych w świetle odbitym i przepuszczonym 260—261
- Alhazen — prawo odbijania się światła 28
- Allard — przeciętne natężenie źródeł światła: kuliste i półkuliste 11
- Allison — p. Beams i A.
- Amici — pryzmat 82; obiektyw 181
- Anderson — pomiar prędkości światła 20; prędkość światła 24; odległość kątowna gwiazd podwójnych 214
- Arago — 20; pomiar współczynnika załamania powietrza 68; rozszczepienie światła w parach 74; odmiana refraktometru interferencyjnego 243; układ optyczny 283; potwierdzenie doświadczalne postulatów Huygensa-Fresnela przy przesłonięciu kołobiegunowej strefy powierzchni falowej 286; kierunek płaszczyzny polaryzacji promieni odbitych 379; nadwyżki drgań spolaryzowanych w promieniach odbitych i załamanych 412; prawo o stosunku natężenia światła spolaryzowanego w wiązce do natężenia wiązki odbitej i załamanej 412; polaryzacja obrotowa 486—487
- Arkadiew — rozkład oświetlenia w zjawisku dyfrakcji przy różnych krawędziach przesłonu 299; zdolność magnetyczna środowisk ferromagnetycznych dla drgań o dużej częstotliwości 398
- Arystoteles — 1
- Babinet — twierdzenie 315, 327; kompensator 468—470
- Bacon — obrazy w ciemni optycznej — 4
- Badal — optometr 161
- Bartholinus — podwójne załamanie w kryształach — 379
- Beams i Allison — pomiar czasu zanikania działania elektrooptycznego 485
- Becquerel E. — pierwsze spostrzeżenia dotyczące zjawiska stojących fal świetlnych 388; linie absorpcyjne w nadfioletowej części widma słonecznego 394
- Becquerel H. — dyspersja anomalna w zabarwionych parach 77
- Benoit, Fabry i Pérot — długość fali czerwonej linii kadmu 271
- Bergstrand — prędkość światła 24
- Bessel — metoda pomiaru odległości ogniskowych 125
- Billet — podwójna soczewka 219
- Biot — pomiar współczynnika załamania powietrza 68; kryształy przyciągające (dodatnie); odpychające (ujemne) 437; dwójłomność wymuszona przez drgania podłużne 480
- Bontemps — szkło flintowe 30



- Bouasse — widmo interferencyjne układu: pryzmat — szczelina 246—248; skala barw interferencyjnych przy wyżarzaniu stali 251
- Bouguer — fotometr 9; rozszczepienie światła w powietrzu 74
- Bradley — prędkość światła 24
- Brady — p. Ives i B.
- Bravais — kompensator 463—468, 475; żelazo 486
- Brewster — linie w widmie słonecznym 67; prążki interferencyjne 236; kąt całkowitej polaryzacji 378, 409, 411; całkowita polaryzacja przez wielokrotne odbicie od powierzchni metalowej 417; polaryzacja eliptyczna 417; warunek zachowania polaryzacji w świetle spolaryzowanym odbijającym się od powierzchni metalu 418; własności optyczne kryształów dwuosiowych 444; badanie dwójłomności wymuszonej 479; wyznaczanie rozkładu napięć sprężystych w szkle 480—481
- Brodhun — fotometr 9
- Bunsen — fotometr 9
- Cady — krzywa wrażliwości oka na widzenie barw 168—169
- Carcel — świeca 12
- Cauchy — zależność współczynnika załamania od długości fali 346—347, 368; elipsoida 439
- Chaudier — pomiary stałej Kerra 483; badanie zjawiska elektrooptycznego dla środowiska zawieszin stałych w cieczy 485
- de Chaulnes — metoda pomiaru współczynnika załamania 69
- Chevalier — obiektyw 191—192
- Christiansen — współczynniki załamania linii Fraunhofera w alkoholowym roztworze fuksyny (rozszczepienie anomalne) 76
- Chwolson — pomiary zielonej linii talu za pomocą interferometru Pérot i Fabry 263
- Conroy — sprawdzenie doświadczalne wzorów Fresnela 414
- Cordier — odkrycie zjawiska pleochromizmu 453, 454
- Cornu — ulepszenie metody pomiaru prędkości światła za pomocą koła zębatego 18—20; metoda pomiaru odległości ogniskowych 126; spirala 291—292, 295, 301, 304—309, 310—312; teoria wklęsłych siatek dyfrakcyjnych 366; pryzmat 491—492
- Cornu-Helwert — prędkość światła 24
- Cotton i Mouton — teoria zjawiska elektrooptycznego 485; zjawisko magneto-optyczne 485—486
- Czapski — warunek otrzymania obrazów stygmatycznych 143
- Dale i Gladstone — wzór na współczynnik załamania 75
- Delombre — pomiar prędkości światła 16
- Demokryt — 1
- Descartes — idea pomiaru prędkości światła 14; prawo załamania światła 28, 403; kierunek promienia załamane go 30; — prawa 32, 35, 36, 38; owal 42
- Des Coudres — metoda pomiaru stałej Kerra 483
- Dolland — szkło koronowe 80
- Donders — akomodacja oka u dziecka 159
- Dowell — konstrukcja 106
- Draper — odkrycie linii absorpcyjnych w podczerwonej części widma słonecznego 394
- Drude — dyspersja anomalna w sodzie 77; pomiary głównego kąta padania i azymutu przywróconej polaryzacji 420, 424
- Drude i Nernst — badanie zjawiska stojących fal świetlnych 390, 392
- Dumas — lampa 12
- Epikur — 1
- Euklides — prawo odbijania się światła 28
- Fabry — doświadczalne stwierdzenie zmiany fazy przy przejściu wiązki przez ognisko 280; zmiana z wiekiem wrażliwości oka ludzkiego 393
- Fabry i Pérot — spektroskop interferencyjny 262—264
- Fermat — zasada 32—35



- Féry — filtry o pochłanianiu selekcyjnym 173
- Fizeau — pomiar prędkości światła (metoda koła zębatego) 16—20; zależność współczynnika załamania od temperatury 75, 214; układ służący do obserwowania pierścieni Newtona 233—234; pierścienie Newtona bardzo wysokich rzędów 255—257
- Forsythe — krzywa wrażliwości oka na widzenie barw 168—169
- Foucault — pomiar prędkości światła (metoda zwierciadła wirującego) 20—24; pomiar prędkości światła w wodzie 202; pryzmat 382
- Fraunhofer — linie w widmie słonecznym 66—67, 70—74; zjawiska dyfrakcji 318; siatki dyfrakcyjne 347
- Fresnel — okresowość zaburzeń źródła światła 196; zjawisko interferencji otrzymane za pomocą dwóch zwierciadeł 202—206, 312; lupa 210; prążki 211, 212, 333; zmiana fazy przy odbiciu 216; dwupryzmat 217; odmiana refraktometru interferencyjnego 243; konstrukcja 274, 287; amplituda zaburzeń fali ograniczonej przesłoną 281; całki 293; doświadczenia nad ugięciem światła 300, 302; grupa zjawisk 315; analogia między drganiami świetlnymi i poprzecznymi drganiami sprężystymi 387—388; sprężysta teoria światła i hipoteza eteru 401; skrócenie płaszczyzny polaryzacji przy odbiciu i załamaniu 411; wzory na stosunek natężeń światła odbitego i załamanego do padającego 405—407, 410—413; „depolaryzacja“ światła, polaryzacja eliptyczna 415; kołowa 416; równoległości 416; kryształy dodatnie i ujemne 437; własności kryształów dwuosiowych, trzy prędkości główne 444; elipsoida prędkości promieni 447—451; układ pryzmatów do wytwarzania zjawiska dwójłomności wymuszonej 480; teoria polaryzacji obrotowej w ciałach optycznie czynnych 488—491; pryzmat kwarcowy 491
- Fresnel-Arago — interferencja wiązek spolaryzowanych 383
- Fresnel-Huygens — zasada (postulat) 272—273; konsekwencje zasady F.-H. przy przesłonięciu kołobiegunowej strefy powierzchni falowej 286; odległość punktów obserwowanych w przyrządach optycznych 328—329
- Frey — barwy dopełniające 166
- Fuchs i Wolff — pasma pochłaniania soli kuchennej w odległej części widma podczerwonego 399
- Galileusz — próba pomiaru prędkości światła 14; luneta 189
- Gauss — płaszczyzny i punkty główne układu 107
- Gilbert — teoria całek Fresnela 295
- Gladstone — linie w widmie słonecznym 67
- Gladstone i Dale — wzór na współczynnik załamania 75
- Glasenapp — pomiar prędkości światła 16
- Glazebrook — teoria wklęsłych siatek dyfrakcyjnych 366; pryzmat 382
- Goodeve i de Groot — wrażliwość oka ludzkiego na światło nadfioletowe 393
- Gottlieb — wrażliwość oka ludzkiego na widzenie barw 168
- Gouy — trudności warunku zgodności faz 199; prędkość grupowa 201; potwierdzenie doświadczalne różnicy faz w punkcie bliskim i odległym od źródła 279—280; zjawisko zachodzące w bezpośrednim sąsiedztwie krawędzi przesłony 281; doświadczenia nad rozkładem oświetlenia dla dużych kątów ugięcia 299
- Grimaldi — doświadczenia nad uginaniem światła 196
- de Groot — p. Goodeve i de G.
- Guinand — szkło flintowe 30, 80
- Gullstrand — współczynnik załamania soczewki ocznej 155; ogniskowe oka 157
- Gutton — sprawdzenie wzoru Gouy'a-Rayleigh'a 202; pomysł zastosowania komórki Kerra do elektrycznego przenoszenia obrazów na odległość 485
- Hagen p. Rubens i H.
- Haidinger — stwierdzenie bezpośredniej różnicy między światłem spolaryzowa-



- nym i zwykłym 377; przyrząd do badania pleochroizmu 453—454
- Hamilton — teoria załamania stożkowego 451, 453
- Hauswaldt — dwójłomność wymuszona na skutek napięć wewnętrznych 480—481
- Hayghton — pomiary głównego kąta padania i azymutu przywróconej polaryzacji 420
- Hefner-Alteneck — świeca 12
- Helmholtz — dostrzeganie bryłowości i spostrzeganie różnic odległości przedmiotów 162—164; przyrząd do badania zjawiska mieszania barw 164—165; teoria fizjologiczna widzenia barw 167; fotometria heterochromatyczna 170; stwierdzenie bezpośrednio różnicy między światłem spolaryzowanym i zwykłym 377—378; próby stworzenia teorii dyspersji 399
- Helwert — p. Cornu i H.
- Herapath — własności polaryzujące kryształów sztucznych 454
- Hering — psychologiczna teoria widzenia barw 168, 169
- Heron z Aleksandrii — prawo odbijania się światła 28
- Herschel J. — teoria prążków Brewstera 237
- Herschel W. — zwierciadło wklęsłe 93; odkrycie promieniowania niewidzialnego w widmie słonecznym 394
- Hertz — oscylator 395
- Heycraft — metoda oświetlenia przezywanego 171
- Huttel — prędkość światła 24
- Huygens — idea pomiaru prędkości światła 14; okular 133—134, 182, 188; falowa teoria światła 198; zbadanie zjawiska podwójnego załamania w kryształach 379; zaburzenia zwyczajne i nadzwyczajne 429; elipsoida 429; dwupowłokowa powierzchnia 430, 434, 437; konstrukcja 430—433
- Huygens-Fresnel — zasada 272—273; konsekwencje zasady H.-F. przy przesłonięciu kołobiegunowej strefy powierzchni falowej 286; rozchodzenie się zaburzeń zwyczajnych i nadzwyczajnych 429—433
- Hyde — krzywa wrażliwości oka na widzenie barw 168—169
- Ives — barwa światła słonecznego, żarówki, palnika Auera, łuku elektrycznego, światła Moore'a 170; filtr o pochłanianiu selekcyjnym 173
- Ives i Brady — fotometr 171
- Ives i Fry — badanie stojących fal świetlnych za pomocą zjawiska fotoelektrycznego 390, 392
- Jamin — układ do wytwarzania prążków Brewstera 257; refraktometr interferencyjny 240—242; odstępstwa od prawa Brewstera 379; pomiary głównego kąta padania i azymutu przywróconej polaryzacji 420
- Janson — pierwszy mikroskop 180
- Karolusi Mittelstaedt — pomiar prędkości światła 20
- Kepler — pomysł lunety 184
- Kerr — komórka 20, 485, zjawisko elektrooptyczne 481; doświadczenie 485
- Ketteler — rozszczepienie światła w powietrzu 74; kształt prążków interferencyjnych Brewstera 239; zależność współczynnika załamania światła w metalach od kąta padania 424
- Kirchoff — linie w widmie słonecznym 67; prawo 425
- Kohlrausch — spektrometryczny pomiar współczynnika załamania 68
- Kraft — badania skali barw interferencyjnych (Newtona) 249—250
- Kries — barwy dopełniające 166; zmiana wrażliwości oka na widzenie barw 169
- Kundt — dyspersja anomalna 76; d. an. w metalach 77; d. an. w zabarwionych parach 77
- Lagrange — elementy sprzężone 92; wzór na zbieżność i rozbieżność wiązki 103—104, 106, 110
- Lake — nieinterferowanie promieni wychodzących z różnych źródeł 244
- Lambert — prawo L.-a 6; albedo 7 stożek barw 166



- Land — polaroidy 455
- Langevin — teoria zjawiska elektroop-  
tycznego 485
- Langley — metoda pomiaru długości fa-  
li i współczynnika załamania promieni  
podczerwonych 394; zależność zdolności  
odbijającej metalu od długości fali świa-  
tła 421
- Larmor — teoria zjawiska elektroop-  
tycznego 485
- Laue — fotografia obrazu interferome-  
trycznego zielonej linii rtęci 263
- Lee — teleobiektyw 193
- Leiser — dwójłomność elektryczna ga-  
zów 482
- Lemoine — p. Abraham i L.
- Lippershey — luneta 189
- Lippmann — fotografie barwne 392
- Littrow i Abbe — spektrometryczny  
pomiar współczynnika załamania 68
- Lloyd — zmiana fazy przy odbiciu 216;  
doświadczenia nad załamaniem stożko-  
wym w aragonicie 451—453
- Lorentz H. A. — teoria dyspersji 399;  
wzór na zależność zdolności elektrycz-  
nej od gęstości 400
- Lorenz L. i Lorentz H. A. — wzór na  
refrakcję drobinową 75
- Lummer — fotometr 9; dyspersja ano-  
malna w metalach 77; d. an. w za-  
barwionych parach 77; prążki inter-  
ferencyjne wyższego rzędu w odmianie  
doświadczenia Brewstera 240
- Lummer i Pringsheim — fotometr  
171
- Lummer i Reiche — opracowanie teorii  
Abbe'go obrazów mikroskopowych  
przedmiotów oświetlonych 371
- Mac Comb — pomiary stałej Kerra 483
- Mach E. — pogląd na doświadczenie  
Porty 4; dowód na okresowość czaso-  
wą wiązki promieni 196; schemat ana-  
lizy drgań świetlnych 470—474; dwój-  
łomność wymuszona w ciałach pół-  
ciekłych 481;
- Mach L. — ulepszenie refraktometru in-  
terferencyjnego Jamina 243
- Mac-Gillavry — metoda pomiaru od-  
ległości ogniskowych 127
- Magri — zależność współczynnika zała-  
mania od ciśnienia 75
- Majorana — dwójłomność magnetyczna  
roztworów koloidalnych związków że-  
laza 486
- Malus — twierdzenie 35—38, 198; pola-  
ryzacja światła 376; prawo 377; wza-  
jemny kierunek płaszczyzn promieni,  
które uległy podwójnemu załamaniu  
379; odmienność praw polaryzacji dla  
metali i dielektryków 416
- Mascart — zależność współczynnika za-  
łamania od temperatury 76; zdolność  
rozszerzająca pryzmatu 346; teoria  
wklęsłych siatek dyfrakcyjnych 366
- Matthews — współczynnik rozpraszania  
płytki gipsowej 8
- Maxwell — sposób wykreślenia owalów  
Descartes'a 42; mieszanie barw pod-  
stawowych 166—167; elektromagne-  
tyczna teoria światła 393; początki  
teorii dyspersji 399; związki między  
współczynnikiem załamania światła  
a zdolnością elektryczną i przewod-  
nictwem środowiska 424—425
- Merczyng — teoria wklęsłych siatek dy-  
frakcyjnych 366
- Merté — obiektyw 192
- Merrit — pleochroizm w podczerwonej  
części widma 453
- Meslin — odmiana doświadczenia Bille-  
ta 219—220; zmiana fazy przy przejściu  
od punktu bliskiego do punktu odlegle-  
go od źródła 279; badanie zjawiska  
elektrooptycznego dla środowiska za-  
wiesin stałych w cieczy 485
- Michelson — pomiar prędkości światła  
23; p. pr. św. w dwusiarczku węgla  
(sprawdzenie wzoru Gouy'a—Raylei-  
gh'a) 202; pomiar katowej odległości  
gwiazd podwójnych i katowej średnicy  
gwiazd stałych 214; interferometr 243;  
264—271; brak satelitów czerwonej  
linii kadmu 264; siatka dyfrakcyjna  
368; spektroskop schodkowy 368—371
- Michelson i Benoit — długość fali  
czerwonej linii kadmu 271
- Michelson i Morley — metoda pomia-  
ru długości fali czerwonej linii kadmu  
271



- Michelson i Peace — średnica kątowna gwiazd 215
- Michelson Peace i Pearson — prędkość światła w próżni 24
- Milikan — osiągnięcie skrajnie krótkich długości fali w nadfioletowej części widma 394—395
- Minor — dyspersja anomalna w srebrze 77
- Mittelstaedti Karolus — pomiar prędkości światła 20
- Moore — światło M-a 170
- Morley — p. Michelson i M.
- Morse 84
- Mouton — p. Cotton i M.
- Murphy — sprawdzenie doświadczalne wzorów Fresnela 414
- Nernst — p. Drude i N.
- Newcomb — pomiar prędkości światła 23
- Newton — związek między widmową barwą światła i współczynnikiem załamania 66; wzór na współczynnik załamania 75; metoda widm „skrzyżowanych“ 76; pogląd na rozszczepienie względne w różnych ciałach 79; wzór na odległość przedmiotu i obrazu 100, 110; teleskop 188; pierścienie 233—236; konstrukcja 244—246; skala barw interferencyjnych 249—250
- Nichols — pasma pochłaniania kwarcu w odległej części widma podczerwonego 398; zależność zdolności odbijającej metalu od długości fali światła 421
- Nichols i Tear — wytwarzanie drgań elektromagnetycznych o częstości rzędu częstości promieniowania podczerwonego 395
- Nicol — pryzmat 165, 381
- Olszewski — p. Witkowski i O.
- Paschen — pasma pochłaniania kwarcu w odległej części widma podczerwonego 398
- Peace — p. Michelson i P.
- Pellin-Broca — pryzmat o stałym odchyleniu 82—83
- Péroti Fabry — spektroskop interferencyjny 262—264
- Perrotin — pomiar prędkości światła 20
- Pfannenberg — sprawdzenie doświadczalne wzorów Fresnela przy użyciu długich fal elektromagnetycznych 414
- Pflugger — współczynnik załamania mniejszy od jedności 77
- Pitagoras 1
- Poggendorf — załamanie światła stożkowe 453
- Pohl i Pringsheim — czułość komórki fotoelektrycznej na różne części widma 173
- Poincaré — zjawiska zachodzące przy przejściu fali w bezpośrednim sąsiedztwie krawędzi przesłony 281
- Poisson — konsekwencje postulatu Huygensa-Fresnela przy przesłonięciu kolobiegunowej strefy powierzchni falowej 286
- della Porta — obrazy w ciemni optycznej 4
- Porter — opracowanie teorii Abbe'go obrazów mikroskopowych przedmiotów oświetlonych 371
- Poynting — wektor 397
- Prażmowski — pryzmat 382
- Pringsheim — p. Pohl i Pr.
- Ptolomeusz 1
- Pulfrich — zależność współczynnika załamania i rozszczepienia od temperatury 75; stereoskopowa metoda fotometryczna 171—172
- Pulfrich i Abbe — refraktometr 68
- Purkinje — zjawisko zmiany wrażliwości oka na widzenie barw w zależności od oświetlenia 169
- Quincke — pomiary głównego kąta padania i azymutu przywróconej polaryzacji 420
- Ramsden — okular 133—134, 188
- Rayleigh — mieszanie barw 165; prędkość grupowa 201; zdolność rozszczepiająca pryzmatu 346; zdolność rozszczepiająca siatki dyfrakcyjnej 367; stojące fale świetlne 388; sprawdzenie doświadczalne wzorów Fresnela 414
- Regnault — lampa 12
- Reiche — p. Lummer i R.



- Righi — wahanie się natężenia prążków interferencyjnych 244
- Rohr — 159, 164
- Rood — fotometryczna metoda migotania 170—171
- Rosette — flint 346; 368
- Le Roux — rozszczepienie światła w powietrzu 74; dyspersja anomalna w zabarwionych parach 77
- Rowland — siatki dyfrakcyjne 347, 352; s. d. wkłesłe 365
- Römer — pomiar prędkości światła 14—16
- Rubens — pasma pochłaniania kwarcu w odległej części widma podczerwonego 398
- Rubens i von Bayer — osiągnięcie największej długości fali promieniowania podczerwonego 395
- Rubens i Hagen — zdolność magnetyczna środowisk ferromagnetycznych dla drgań o dużej częstotliwości 398; pomiary zdolności odbijającej metali 421; zależność zdolności odbijającej metalu od przewodnictwa i od okresu drgań świetlnych 425—426
- Rubens i Nichols — metoda otrzymania widma światła jednorodnego w podczerwieni 423
- Rudolph — obiektyw 192
- Sagnac — doświadczalne stwierdzenie zmiany fazy przy przejściu wiązki przez ognisko 280
- Sarrasin — wartości współczynników załamania (zwyczajnego i nadzwyczajnego) w szpacie islandzkim 428
- Scheiner — pierwszy teleskop 184
- Schönroch — kąt skrócenia płaszczyzny polaryzacji w kwarcu 490
- Schumann — badania widma nadfioletowego dla bardzo krótkich długości fali 394—395; klisze 395
- Schuster — amplituda wypadkowa zaburzeń wysyłanych przez poszczególne strefy powierzchni falowej 275—278
- Seebeck — sprawdzenie doświadczalne prawa Brewstera 379; odkrycie dwójłomności wymuszonej 479
- Seignette — sól 478, 487
- Sellmeier — próby stworzenia teorii dyspersji 399; wzór na współczynnik załamania 399—400
- Shea — pomiary zależności współczynnika załamania w metalach od kąta padania 423—424
- Snellius — prawo załamania światła 28
- Soret — siatka ogniskowa 286—287; s. ogn. dodatnia i ujemna 287; ognisko główne s. S-a 288—289
- Stanhope — lupa 178
- Stokes — stopień polaryzacji światła w stosie szklanym 413
- Struve — p. Weber i S.
- Talbot — prawo o natężeniu światła barwy mieszanej 171
- Taylor — obiektyw 192
- Tear — p. Nichols i T.
- Thomson P. — pryzmat 382
- Thomson W. — ujemna ściśliwość eteru 401
- Trowbridge — zależność zdolności odbijającej metalu od długości fali światła 421
- Ulbricht — fotometr kulisty 11
- Verdet — powiększenie bezwzględne lupy 175; rozkład oświetleń obrazu dyfrakcyjnego dla wielu otworów przesłony 327
- Vernon-Harcourt — lampa pentanova 12
- da Vinci — obrazy w ciemni optycznej 4; opis prawa oświetlenia 6
- Violle — jednostka natężenia źródła światła 12
- Voigt — dyspersja anomalna w glinie i cynie 77; teoria załamania stożkowego 453
- Weber i Struve — teoria obrazów interferencyjnych dwupryzmatu Fresnela 219
- Weierstrass — konstrukcja 97
- Wernicke — pomiary natężenia światła przechodzącego przez warstewki metalu 418
- Wiener — świetlne fale stojące 388—392



- Witkowski — definicja pojęcia emisji (blasku) 5
- Witkowski i Olszewski — współczynnik załamania w ciekłym tlenie 74
- Wolff — p. Fuchs i W.
- Wolfke — opracowanie teorii Abbe'go obrazów mikroskopowych przedmiotów oświetlonych 371
- Wollaston — nieciągłość widma słonecznego 66; metoda pomiaru współczynnika załamania 68; kostka (camera lucida) 82; lupa 178; obiektyw 191—192; pierwsza obserwacja nadfioletowej części widma 394
- Wood — dyspersja anomalna w zabarwionych parach 77; siatka 289; polaryzacja przez odbicie dla środowiska odbijającego o wielkiej zdolności rozszczepiającej 378
- Wullner — wzór na przesunięcie obrazu po przejściu promieni przez powierzchnię łamiącą 55
- Young — koło najmniejszego rozproszenia 144; akomodacja oka 158; teoria fizjologiczna widzenia barw 167, 169; doświadczenia nad uginaniem światła 196, 214; pierścienie Newtona o jasnym środku 286; prążki Younga 315—316, 344
- Zenker — stojące fale świetlne 388; 390



K. 1111 / 55



KT  
A



### Prace Wydziału III

1. Wiśniewski F. J. La théorie des noyaux
2. Pawłowski L. K. Sur la biologie du *Cystobranchnus fasciatus* (Kollar)
3. Dylík J. Ukształtowanie powierzchni i podział na krainy podlódzkiego obszaru
4. Dylík J. Rozwój osadnictwa w okolicach Łodzi
5. Wiśniewski F. J. La section efficace d'une particule lourde
6. Kołodziejczyk L. The passage of electromagnetic waves through the ionosphere
7. Michalski I. Struktura antropologiczna Polski
8. Pawłowski L. K. Contribution à la systématique des sangsues du genre *Erpobdella* de Blainville
9. Wiśniewski F. J. Sur une déduction possible des équations invariantes du champ électromagnétique
10. Kołodziejczyk L. On the radio-signal sent out vertically to the ground
11. Dylíkowa A. O metodzie badań strukturalnych w morfologii glacialnej
12. Sandner H. Contribution à la connaissance de la faune parasitaire des Batriaciens des environs de Varsovie
13. Klekowski R. Contribution à la connaissance du Crapaud calamite
14. Wiśniewski F. J. Le mouvement de deux particules lourdes qui s'attirent en raison inverse de la 4 puissance de leurs distance
15. Kołodziejczyk L. 1. Stationary waves in ionosphere. 2. Time taken by the radio-signal sent out vertically to the ground
16. Sandner H. Badania nad fauną pijawek
17. Wiśniewski F. J. La masse électromagnétique des particules élémentaires
18. Klekowska Z. Badania nad rozrodnością pijawek z rodzaju *Erpobdella* de Blainville
19. Klekowski R. Studia nad małżoraczkami (Ostracoda) wód śródlądowych słonych i siarczanych
20. Swaryczewski A. Stałe geometryczne i optyczne kryształów  $\text{CuCl}_3\text{CSN}_2\text{H}_4$
21. Dobrowolski J. O elektromagnetycznym oznaczaniu soli rtęciowych bez użycia pomocniczego źródła prądu
22. Swaryczewski A. Studia nad strukturą kryształów  $\text{AgJO}_3$
23. Swaryczewski A. O nowym przyrządzie do sporządzania orientowanych preparatów z kryształów
24. Dylík J. O peryglacialnym charakterze rzeźby środkowej Polski
25. Kroh J. Mikroultrachemiluminescencja soli sodowej chloryloaminy kwasu benzenosulfonowego (annogenu)
26. Zbrożyna A. Zjawisko utożsamiania bodźca działającego na różnych płaszczyznach fizjologicznych u psów
27. Fonberg E. Przewlekła nerwica doświadczalna u psa z dominującymi zaburzeniami ruchowymi
28. Musiatowicz T. Rozchodzenie się ciepła w cieczy w zależności od prędkości i rodzaju przepływu
29. Włodawer P. O trawieniu i metabolizmie wosku u mola woskowego (*Galleria mellonella*)
30. Zawadzki A. Hodoskopowe wyznaczanie przebiegu koherentnych i niekoherentnych cząstek jonizujących.
31. Wojtczak L. Badania nad enzymami mola woskowego (*Galleria mellonella*)



299574

Cena zł 60.—